

Biblioteka
U. M. K.
Toruń

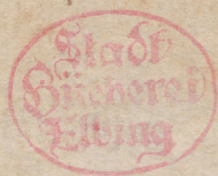
040435/

1850

U

~~Um 72~~

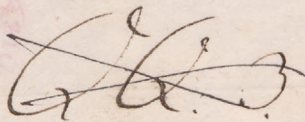
10 Ua 8



Berliner Astronomisches Jahrbuch

für

1 8 3 0.



Mit Genehmigung der Königlichen Akademie
der Wissenschaften

herausgegeben

von

J. F. E N C K E.

Königl. Astronom, Sekretar der mathematischen Klasse der Akademie der Wissenschaften, Corresp. der
astronomischen Societät von London, des Instituts von Frankreich u. a. g. G. Mitgl.

~~~~~  
*Mit einer Kupfertafel.*  
~~~~~



Berlin.

Gedruckt in der Druckerei der Königl. Akademie
der Wissenschaften.

1828.

In Commission bei F. Dümmler.

Astronomisch Jahrbuch
Berliner



4873

Mit Genehmigung der Königl. Akademie
der Wissenschaften



010435



Berlin
Verlegt in der Druckerei der Königl. Akademie
der Wissenschaften.

1873

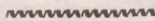
In Commission bei F. Dümmler.

Astronomisches Jahrbuch

für

1830.

Der Sammlung Berliner astronomischer Jahrbücher
fünf und funfzigster Band.



V o r w o r t.

Der gegenwärtige Jahrgang schließt sich an die seit dem Jahre 1776 in ununterbrochener Folge erschienenen Berliner astronomischen Jahrbücher an.

Von dem unsterblichen Lambert ging der erste Vorschlag dazu aus. Er bewog die Königliche Akademie der Wissenschaften, den ursprünglichen Plan ihrer früher so sehr beliebten astronomischen Kalender zu erweitern, und nach dem Vorgange des Auslandes, die regelmässige Erscheinung einer deutschen Ephemeride zu veranstalten, der ersten und bisher einzigen ihrer Art. Nach seinem Plane sollte jeder Band zwei volle Jahre voraus im Drucke erscheinen, und so eingerichtet sein, daß die darin vorkommende Berechnung des Himmelslaufes auf den Horizont eines jeden Ortes mit gleicher Leichtigkeit angewandt werden könne. Die letzte Hälfte jedes Bandes sollte eine Sammlung der neuesten in die astronomischen Wissenschaften einschlagenden Nachrichten, Beobachtungen, Aufgaben und Bemerkungen enthalten. Er verband damit den für jene Zeit so passenden, und von ihm so zweckmässig durchgeführten Vorschlag, in einer besondern Sammlung alle Tafeln zu vereinigen, welche theils zum Gebrauche der Ephemeriden, theils zu andern astronomischen Rechnungen erforderlich sind.

Zur Ausführung der hiemit verbundenen Berechnungen ward mein hochverehrter Vorgänger, J. El. Bode, im Jahre 1772 herberufen, welcher auch seit dem Anfange, mit Ausnahme der fünf Jahrgänge 1777-1781, in welchen Herr Schulze als sein Mitarbeiter angeführt wird, die dazu nöthigen Arbeiten ganz allein und ohne Beihülfe vollführte.

Nur die ersten fünf Jahrgänge 1776-1780 hatten sich der Oberaufsicht Lambert's zu erfreuen. Nach seinem unerwarteten, am 25^{ten} Sptbr. 1777 erfolgten Tode setzte die Akademie noch bis zum Jahrgänge 1783 die Ephemeriden nach dem ursprünglichen Plane fort. Als sich dann Schwierigkeiten der Fortsetzung in den Weg zu stellen schienen, übernahm Bode für sich allein die fernere Herausgabe, ermuthigt durch den Beifall des großen Lagrange.

Bis zu dem letzten Jahrgange für 1829 blieb Bode unverbrüchlich treu dem Wege, welchen Lambert vorgezeichnet, und erlaubte sich selbst keine sehr wesentlichen Abänderungen in der Form. Das Verdienst welches Bode sich durch diese beharrliche Ausführung um die Astronomie erwarb, wird nicht vergessen werden. Besonders erhob er auch durch seine Verbindungen im In- und Auslande, den zweiten Theil der Nachrichten und Bemerkungen, zu einem so wichtigen Vereinigungspunkte für die Astronomen, daß in ihm die Anregung zu den vortrefflichen astronomischen Zeitschriften, die seit dem Anfange dieses Jahrhunderts in Deutschland mit geringen Unterbrechungen auf einander gefolgt sind, mit Recht zu suchen ist.

Durch die hohe Ausbildung der Theorie in den letzten Jahrzehnten, die große Vervollkommnung der Instru-

mente und die Zweckmäßigkeit der Methoden, mittelst welcher man die Resultate der Erfahrung verbindet und benutzt, sind indessen die Anforderungen der Astronomen an die Ephemeriden gestiegen. Nach dem Vorgange der *Connaissance des tems* und des *Nautical Almanac*, deren Angaben der äußersten Genauigkeit sich immer mehr genähert haben, nach den musterhaften Berechnungen für die Sonne in den Mailänder Ephemeriden, welche das unmittelbare Eingehen in die Tafeln unnöthig machen, und nach den, diese Vorzüge auf Planeten und Fixsterne ausdehnenden, vortrefflichen Schumacherschen Hülftafeln, scheint es der allgemeine Wunsch zu sein, durch die jährlichen Vorausberechnungen die zeitraubenden einzelnen Vergleichen erspart zu sehen. In dieser Beziehung habe ich gewagt, die bisherige Form gänzlich zu verändern, und gebe die Resultate der Rechnungen in der Form, welche mir nach vielen Versuchen die bequemste schien, mit der Bitte, daß die Benutzer der Ephemeriden mich in der Verbesserung derselben durch ihren gütigen Rath künftig unterstützen mögen.

Der zweite Theil des Jahrbuchs hatte schon in den letzten Jahrgängen mit den Schwierigkeiten zu kämpfen, welche an die jährliche Herausgabe einer Zeitschrift, in Vergleich mit andern in kürzeren Zeitabschnitten stets das Neueste mittheilenden, unabänderlich geknüpft sind. Ohne deshalb je die Hinzufügung eines kleinen Anhangs ganz bei Seite zu setzen, hat mich zum Theil auch die größere Ausdehnung der Zahlenangaben bewogen, hierin von dem Lambertschen Plane abzuweichen. Es wird mein Bestre-

ben sein, entweder durch kleinere Aufsätze, die, wie einige der hier gegebenen, die Benutzung der Ephemeriden erleichtern sollen, oder durch geschichtliche Zusammenstellungen der neueren Fortschritte, welche jedem wissenschaftlich gebildeten Leser zugänglich und interessant sein möchten, diesen Abschnitt auszufüllen.

Da die Worte, welche ich bei zwei öffentlichen Veranlassungen dem Andenken meines hochverehrten Vorgängers zu widmen aufgefordert war, in den Denkschriften der Königlichen Akademie der Wissenschaften und der hiesigen naturforschenden Gesellschaft im Druck erscheinen werden, so habe ich geglaubt, die zahlreichen Verehrer Bode's auf diese Schriften, wenn bei einem so weit verbreiteten Rufe diese Äußerungen des Einzelnen noch Interesse haben sollten, verweisen zu dürfen.

Berlin, im Mai 1828.

Der Herausgeber.

Calender der Juden.

5590	Tebeth	1	1829	Decb.	27
		10	Fasten Belagerung Jerusalems	1830	Jan.	5
	Schebat	1	-	-	25
	Adar	1	-	Febr.	24
		13	Fasten Esther	-	Mrz.	8
		14	Purim *	-	-	9
		15	Schuschan Purim	-	-	10
	Nisan	1	-	-	25
		15	Passah-Anfang *	-	Apr	8
		16	Zweites Fest *	-	-	9
		21	Siebentes Fest *	-	-	14
		22	Passah-Ende *	-	-	15
	Ijar	1	-	-	24
		18	Lag beomer	-	Mai	11
	Sivan	1	-	-	23
		6	Wochenfest *	-	-	28
		7	Zweites Fest	-	-	29
	Thamus	1	-	Jun.	22
		17	Fasten Tempel-Eroberung	-	Jul.	8
	Ab	1	-	-	21
		9	Fasten Tempel-Verbrennung *	-	-	29
	Elul	1	-	Aug.	20
5591	Thischri	1	Neujahrsfest *	-	Spt.	18
		2	Zweites Neujahrsfest *	-	-	19
		3	Fasten Gedaljah	-	-	20
		10	Versöhnungsfest *	-	-	27
		15	Laubhüttenfest *	-	Oct.	2
		16	Zweites Fest *	-	-	3
		21	Palmenfest	-	-	8
		22	Versammlung oder Laubhütten-Ende *	-	-	9
		23	Gesetzfreude *	-	-	10
	Marcheschvan	1	-	-	18
	Kislev	1	-	Nvb.	17
		25	Tempelweihe	-	Decb.	11
	Tebeth	1	-	-	17

Die mit * bezeichneten Feste werden strenge
gefeiert.

Erklärung der Zeichen.

° Grad	● Neu-Mond.	+ Nördl. Abw. od. Breite.
h Stunde.	● Erstes Viertel.	— Südl. Abw. od. Breite.
' Minute.	○ Voll-Mond.	Ω Aufsteigender
" Secunde.	○ Letztes Viertel.	Ω Niedersteigender } Knoten.

Zeichen des Thierkreises.

0. ♈ Widder.....	0 Grad.	VI. ♎ Waage.....	180 Grad.
I. ♉ Stier.....	30 -	VII. ♏ Scorpion....	210 -
II. ♊ Zwillinge.....	60 -	VIII. ♐ Schütze.....	240 -
III. ♋ Krebs.....	90 -	IX. ♑ Steinbock....	270 -
IV. ♌ Löwe.....	120 -	X. ♒ Wassermann	300 -
V. ♍ Jungfrau.....	150 -	XI. ♏ Fische.....	330 -

Bezeichnung
der Himmelskörper.

☉ Sonne.
☾ Mond.
☿ Merkur.
♀ Venus.
♁ Erde.
♂ Mars.
♃ Vesta.
♄ Juno.
♅ Pallas.
♁ Ceres.
♃ Jupiter.
♄ Saturn.
♅ Uranus.

Bezeichnung
der Wochentage.

☉ Sonntag.
☾ Montag.
♂ Dienstag.
♀ Mittwoch.
♄ Donnerstag.
♀ Freitag.
♄ Sonnabend.

Aspecten.

♂ Conjunction.
□ Quadratur.
♂ Opposition.



Das Jahr 1830 entspricht dem
Jahr 6543 der Julianischen Periode und dem
Jahr 7838-7839 der Hephästischen Aera.

Inhalt.

Zeit- und Festrechnung	Seite x
Zeichen-Erklärung	xix
Sonnen- und Mondephemeride	1
Planeten-Ephemeriden	75
Stern-Oerter	157
Erscheinungen und Beobachtungen	199
Sterne im Parallel des Mondes	207
Sternbedeckungen	224

A n h a n g.

Ueber die Einrichtung des Jahrbuchs	Seite 239
Ueber die Vorausberechnung der Sternbedeckungen	253
Ueber Interpolation	265
Ueber den Spiegelsextanten	285
Ueber das Mittagsfernrohr	305

Die Epoche der Hephästischen Aera ist auf den 1. Julius gesetzt.

(*) Bei der Berechnung des hiesigen Calenders in Beziehung auf Zeitrechnung habe ich mich nach den Angaben des Herrn Prof. Löcher zu richten gehabt.

Zeit- und Festrechnung 1830 (*).

Das Jahr 1830 entspricht dem

Jahr 6543 der Julianischen Periode und dem

Jahr 7338-7339 der Byzantinischen Aere.

Gregorianischer oder Neuer Calender.

Julianischer oder Alter Calender.

Göldene Zahl.	7	7
Epakten	VI	XVII
Sonnencirkel	19	19
Römer Zinszahl.	3	3
Sonntags-Buchstab	C	E
Septuagesimae	7 Febr.	2 Febr.
Aschermittwoch	24 Febr.	19 Febr.
Osternsonntag	11 Apr.	6 Apr.
Himmelfahrt	20 Mai	15 Mai
Pfingstsonntag	30 Mai	25 Mai
1. Advent	28 Nvb.	30 Nvb.

Die vier Quatember.

3 März	26 Februar
2 Junius	28 Mai
15 September	17 September
15 December	17 December

Calender der Muhammedaner.

1245	Redscheb 1	1829 Dec. 26
	Schabân 1.	1830 Jan. 25
	Ramadân 1. Fasten-Monat	- Febr. 23
	Schewwâl 1. Bairâm	- Mrz. 25
	Dsû 'l-kade 1	- Apr. 23
	Dsû 'l-hedsche 1	- Mai 23
1246	Moharrem 1	- Jun. 21
	Safar 1	- Jul. 21
	Rebî el-awwel 1	- Aug. 19
	Rebî el-accher 1	- Spt. 18
	Dschemâdi el-awwel 1	- Oct. 17
	Dschemâdi el-accher 1	- Nvb. 16
	Redscheb 1	- Dec. 15
	Schabân 1.	- Jan. 14

Die Epoche der Hedschra ist auf den 15. Julius gesetzt.

(*) Bei der Berichtigung der fremden Calender in Benennung und Zahlenangabe, habe ich mich der gütigen Anleitung des Herrn Prof. Ideler zu erfreuen gehabt.

JANUAR 1830.

Wahrer Berliner Mittag.

Tag	Monat	Zeit	Recht. Asc.	Decl.	Dist.	Long.	Lat.
1	Jan.	1830	18 30 11.89	23 2 1.7	0 3 18.61	10 3 18.61	10 3 18.61
2	Jan.	1830	18 30 38.67	22 56 55.4	0 4 17.38	10 4 17.38	10 4 17.38
3	Jan.	1830	18 31 1.15	22 51 21.5	0 4 16.23	10 4 16.23	10 4 16.23
4	Jan.	1830	18 31 25.63	22 20.8	0 5 15.87	10 5 15.87	10 5 15.87
5	Jan.	1830	18 31 49.58	20 52.7	0 5 20.08	10 5 20.08	10 5 20.08
6	Jan.	1830	18 32 13.88	21 57.7	0 6 0.66	10 6 0.66	10 6 0.66
7	Jan.	1830	18 32 38.19	21 58.0	0 6 22.83	10 6 22.83	10 6 22.83
8	Jan.	1830	18 33 02.49	21 58.0	0 7 12.57	10 7 12.57	10 7 12.57
9	Jan.	1830	18 33 26.79	20 46.8	0 8 12.50	10 8 12.50	10 8 12.50
10	Jan.	1830	18 33 51.09	21 15.1	0 8 22.76	10 8 22.76	10 8 22.76
11	Jan.	1830	18 34 15.39	21 18.1	0 8 32.61	10 8 32.61	10 8 32.61
12	Jan.	1830	18 34 39.69	20 58.3	0 9 20.81	10 9 20.81	10 9 20.81
13	Jan.	1830	18 35 03.99	20 58.3	0 9 30.66	10 9 30.66	10 9 30.66
14	Jan.	1830	18 35 28.29	20 58.3	0 10 20.81	10 10 20.81	10 10 20.81
15	Jan.	1830	18 35 52.59	20 58.3	0 11 10.96	10 11 10.96	10 11 10.96
16	Jan.	1830	18 36 16.89	20 58.3	0 12 0.96	10 12 0.96	10 12 0.96
17	Jan.	1830	18 36 41.19	20 58.3	0 12 50.96	10 12 50.96	10 12 50.96
18	Jan.	1830	18 37 05.49	20 58.3	0 13 40.96	10 13 40.96	10 13 40.96
19	Jan.	1830	18 37 29.79	20 58.3	0 14 30.96	10 14 30.96	10 14 30.96
20	Jan.	1830	18 37 54.09	20 58.3	0 15 20.96	10 15 20.96	10 15 20.96
21	Jan.	1830	18 38 18.39	20 58.3	0 16 10.96	10 16 10.96	10 16 10.96
22	Jan.	1830	18 38 42.69	20 58.3	0 17 0.96	10 17 0.96	10 17 0.96
23	Jan.	1830	18 39 06.99	20 58.3	0 17 50.96	10 17 50.96	10 17 50.96
24	Jan.	1830	18 39 31.29	20 58.3	0 18 40.96	10 18 40.96	10 18 40.96
25	Jan.	1830	18 39 55.59	20 58.3	0 19 30.96	10 19 30.96	10 19 30.96
26	Jan.	1830	18 40 19.89	20 58.3	0 20 20.96	10 20 20.96	10 20 20.96
27	Jan.	1830	18 40 44.19	20 58.3	0 21 10.96	10 21 10.96	10 21 10.96
28	Jan.	1830	18 41 08.49	20 58.3	0 22 0.96	10 22 0.96	10 22 0.96
29	Jan.	1830	18 41 32.79	20 58.3	0 22 50.96	10 22 50.96	10 22 50.96
30	Jan.	1830	18 41 57.09	20 58.3	0 23 40.96	10 23 40.96	10 23 40.96
31	Jan.	1830	18 42 21.39	20 58.3	0 24 30.96	10 24 30.96	10 24 30.96

Sonnen- und Mond-Ephemeride

für
1830.

Berlin 44' 12",6 östlich von Paris.

JANUAR 1830.

Wahrer Berliner Mittag.

Monats- und Wochentag.		Mittl. Zeit.	Gr. Aufst. ☉	Abweichg. ☉	Log. μ .	Culm. Dauer ☉ Sternzeit.
1	♀	^h 0 3' 49,04	^h 18 46' 11,89	— 23° 2' 1,7	2,76716	2' 22,10
2	♂	4 17,38	50 36,87	22 56 55,4	2,80618	22,01
3	☉	0 4 45,33	18 55 1,45	— 22 51 21,7	2,84173	2 21,91
4	☾	5 12,87	59 25,63	45 20,8	2,87448	21,80
5	♂	5 39,99	19 3 49,38	38 52,7	2,90477	21,68
6	♀	6 6,66	8 12,68	31 57,7	2,93283	21,57
7	♂	6 32,85	12 35,49	24 36,0	2,95899	21,44
8	♀	6 58,53	16 57,79	16 47,8	2,98345	21,30
9	♂	7 23,68	21 19,57	8 33,4	3,00621	21,15
10	☉	0 7 48,27	19 25 40,79	— 21 59 53,0	3,02784	2 21,00
11	☾	8 12,30	30 1,45	50 46,8	3,04840	20,84
12	♂	8 35,76	34 21,52	41 15,1	3,06770	20,68
13	♀	8 58,61	38 40,99	31 18,1	3,08596	20,51
14	♂	9 20,84	42 59,83	20 56,2	3,10329	20,33
15	♀	9 42,42	47 18,03	10 9,6	3,11976	20,15
16	♂	10 3,34	51 35,56	20 58 58,7	3,13542	19,96
17	☉	0 10 23,58	19 55 52,42	— 20 47 23,7	3,15036	2 19,77
18	☾	10 43,14	20 0 8,58	35 25,0	3,16456	19,57
19	♂	11 1,98	4 24,03	23 3,0	3,17814	19,37
20	♀	11 20,09	8 38,75	10 17,9	3,19117	19,16
21	♂	11 37,46	12 52,73	19 57 10,0	3,20361	18,95
22	♀	11 54,06	17 5,94	43 39,8	3,21545	18,74
23	♂	12 9,90	21 18,37	29 47,7	3,22681	18,52
24	☉	0 12 24,97	20 25 30,04	— 19 15 34,0	3,23769	2 18,31
25	☾	12 39,25	29 40,91	0 59,1	3,24812	18,08
26	♂	12 52,71	33 50,96	18 46 3,4	3,25811	17,86
27	♀	13 5,36	38 0,20	30 47,3	3,26771	17,63
28	♂	13 17,19	42 8,61	15 11,1	3,27694	17,40
29	♀	13 28,19	46 16,19	17 59 15,2	3,28578	17,17
30	♂	13 38,34	50 22,92	43 0,1	3,29425	16,94
31	☉	0 13 47,64	20 54 28,81	— 17 26 26,2	3,30237	2 16,71

JANUAR 1830.

Mittlerer Berliner Mittag.

Monats- und Jahrestag.		Sternzeit.	Länge ☉	Breite ☉	Lg. Rad. v. ☉	Halbm. ☉
1	1	^h 18 42 22,23	[°] 280 37 14,2	— 0,27	9,9926395	16' 17,77
2	2	46 18,79	281 38 24,5	— 0,39	9,9926394	17,76
3	3	18 50 15,34	282 39 34,5	— 0,50	9,9926417	16 17,75
4	4	54 11,90	283 40 44,1	— 0,59	9,9926464	17,74
5	5	58 8,46	284 41 53,3	— 0,66	9,9926536	17,72
6	6	19 2 5,02	285 43 2,1	— 0,71	9,9926635	17,69
7	7	6 1,57	286 44 10,5	— 0,73	9,9926761	17,66
8	8	9 58,13	287 45 18,5	— 0,70	9,9926915	17,63
9	9	13 54,68	288 46 26,2	— 0,67	9,9927096	17,59
10	10	19 17 51,24	289 47 33,6	— 0,61	9,9927306	16 17,54
11	11	21 47,80	290 48 40,6	— 0,53	9,9927544	17,48
12	12	25 44,35	291 49 47,3	— 0,42	9,9927809	17,42
13	13	29 40,91	292 50 53,8	— 0,30	9,9928101	17,36
14	14	33 37,46	293 52 0,0	— 0,17	9,9928419	17,30
15	15	37 34,02	294 53 5,9	— 0,05	9,9928761	17,23
16	16	41 30,58	295 54 11,5	+ 0,07	9,9929127	17,15
17	17	19 45 27,13	296 55 16,7	+ 0,17	9,9929516	16 17,07
18	18	49 23,69	297 56 21,6	+ 0,25	9,9929926	16,98
19	19	53 20,24	298 57 26,1	+ 0,31	9,9930356	16,88
20	20	57 16,80	299 58 30,2	+ 0,34	9,9930804	16,78
21	21	20 1 13,36	300 59 33,7	+ 0,35	9,9931270	16,68
22	22	5 9,91	302 0 36,6	+ 0,33	9,9931752	16,58
23	23	9 6,47	303 1 38,7	+ 0,28	9,9932249	16,47
24	24	20 13 3,02	304 2 40,0	+ 0,21	9,9932762	16 16,36
25	25	16 59,58	305 3 40,4	+ 0,11	9,9933290	16,25
26	26	20 56,13	306 4 39,9	— 0,01	9,9933833	16,12
27	27	24 52,69	307 5 38,3	— 0,13	9,9934391	15,98
28	28	28 49,24	308 6 35,7	— 0,25	9,9934964	15,86
29	29	32 45,79	309 7 31,8	— 0,37	9,9935554	15,72
30	30	36 42,35	310 8 26,5	— 0,48	9,9936161	15,58
31	31	20 40 38,90	311 9 19,9	— 0,57	9,9936786	16 15,43

JANUAR 1830.

Mittlerer Mittag und Mitternacht.

Monatstag.	Länge \llcorner	Breite \llcorner	Gr. Aufst. \llcorner	Abweichg. \llcorner
1 ^h 0	2° 9' 42,1	— 0° 53' 3,9	2° 20' 6,1	+ 0° 2' 56,4
12	9 12 18,1	1 29 28,2	9 2 35,7	2 16 49,0
2 ^h 0	16 14 37,6	2 4 29,6	15 45 51,1	4 28 39,3
12	23 16 37,5	2 37 34,3	22 30 53,0	6 36 37,6
3 ^h 0	30 18 10,6	3 8 13,4	29 18 33,6	8 38 52,5
12	37 19 8,0	3 35 57,5	36 9 33,1	10 33 38,3
4 ^h 0	44 19 19,7	4 0 22,5	43 4 18,9	12 19 12,0
12	51 18 32,1	4 21 6,9	50 2 59,7	13 53 56,9
5 ^h 0	58 16 29,3	4 37 53,8	57 5 24,4	15 16 24,4
12	65 12 50,7	4 50 30,0	64 10 58,9	16 25 17,4
6 ^h 0	72 7 16,0	— 4 58 46,9	71 18 49,8	+ 17 19 33,2
12	78 59 22,0	5 2 40,7	78 27 44,6	17 58 26,0
7 ^h 0	85 48 43,8	5 2 13,5	85 36 15,3	18 21 28,0
12	92 34 59,5	4 57 30,0	92 42 48,5	18 28 34,0
8 ^h 0	99 17 46,1	4 48 40,6	99 45 47,2	18 19 57,9
12	105 56 43,2	4 35 59,1	106 43 40,0	17 56 13,7
9 ^h 0	112 31 35,5	4 19 43,0	113 35 9,9	17 18 11,7
12	119 2 10,2	4 0 11,4	120 19 14,6	16 26 57,0
10 ^h 0	125 28 20,0	3 37 46,4	126 55 12,0	15 23 43,6
12	131 50 3,1	3 12 50,4	133 22 41,1	14 9 52,8
11 ^h 0	138 7 22,7	— 2 45 47,3	139 41 40,0	+ 12 46 47,7
12	144 20 27,9	2 17 0,5	145 52 25,3	11 15 51,5
12 ^h 0	150 29 32,9	1 46 52,3	151 55 29,4	9 38 25,8
12	156 34 57,4	1 15 45,1	157 51 37,6	7 55 47,6
13 ^h 0	162 37 5,5	0 44 1,3	163 41 44,7	6 9 7,5
12	168 36 24,3	— 0 12 0,4	169 26 53,3	4 19 34,2
14 ^h 0	174 33 26,3	+ 0 19 58,7	175 8 13,0	2 28 10,6
12	180 28 45,4	0 51 37,5	180 46 55,9	+ 0 35 54,6
15 ^h 0	186 22 58,9	1 22 38,5	186 24 17,4	— 1 16 18,3
12	192 16 44,8	1 52 44,8	192 1 33,4	3 7 34,7
16 ^h 0	198 10 44,4	+ 2 21 40,1	197 40 2,4	— 4 57 2,9
12	204 5 37,1	2 49 9,4	203 20 59,8	6 43 48,8

☉ Jan. 1 15^h 31,7
 ○ 8 16 33,7

☉ Jan. 16 17^h 7,0

JANUAR 1830.

Mittlerer Mittag und Mitternacht.			☾ im Meridian.			Auf- und Untergang.	
	Par. ☾	Halbm. ☾	Mittl. Zeit.	Gr. Aufst.	Abweichg.	☾	☉
1	59 12,1	16 7,9	^h 5 38,7 O	^o 5 29,4	+ 1 5,7	^h 12 2 U	^h 3 54 U
	59 10,9	16 7,6	18 4,4 U	12 26,7	3 22,6	23 56 A	20 13 A
2	59 8,4	16 6,9	6 30,3 O	19 25,2	5 37,5	13 18 U	3 55 U
	59 4,9	16 6,0	18 56,3 U	26 26,4	7 47,5	* *	20 13 A
3	59 0,4	16 4,8	7 22,6 O	33 30,9	9 50,4	0 24 A	3 57 U
	58 55,0	16 3,3	19 49,1 U	40 39,6	11 43,6	14 34 U	20 13 A
4	58 48,5	16 1,5	8 15,9 O	47 52,3	13 25,7	0 56 A	3 58 U
	58 40,6	15 59,4	20 43,0 U	55 9,8	14 55,0	15 48 U	20 12 A
5	58 31,5	15 56,9	9 10,4 O	62 30,7	16 10,3	1 32 A	3 59 U
	58 21,2	15 54,1	21 37,9 U	69 54,5	17 9,9	16 58 U	20 12 A
6	58 9,8	15 51,0	10 5,5 O	77 19,5	+ 17 53,3	2 14 A	4 0 U
	57 56,7	15 47,4	22 33,1 U	84 44,6	18 19,4	18 2 U	20 11 A
7	57 42,7	15 43,6	11 0,6 O	92 7,7	18 28,6	3 3 A	4 1 U
	57 28,1	15 39,6	23 27,9 U	99 26,9	18 20,5	18 58 U	20 11 A
8	57 12,4	15 35,3	11 54,8 O	106 40,7	17 56,4	3 59 A	4 3 U
	56 55,6	15 30,7	* *	* *	* *	19 46 U	20 10 A
9	56 38,6	15 26,1	0 21,2 U	113 47,0	17 16,7	5 0 A	4 4 U
	56 21,5	15 21,5	12 47,0 O	120 45,3	16 23,0	20 26 U	20 10 A
10	56 4,2	15 16,7	1 12,3 U	127 34,3	15 16,7	6 4 A	4 5 U
	55 47,2	15 12,1	13 36,9 O	134 14,2	13 59,3	21 0 U	20 9 A
11	55 31,0	15 7,8	2 0,8 U	140 44,3	+ 12 32,2	7 9 A	4 7 U
	55 15,3	15 3,4	14 24,2 O	147 5,7	10 56,9	21 28 U	20 9 A
12	55 0,8	14 59,5	2 47,0 U	153 18,6	9 15,2	8 15 A	4 8 U
	54 47,6	14 55,9	15 9,4 O	159 24,3	7 28,2	21 53 U	20 8 A
13	54 36,2	14 52,8	3 31,3 U	165 23,5	5 37,3	9 19 A	4 10 U
	54 26,7	14 50,2	15 52,9 O	171 17,7	3 43,7	22 16 U	20 7 A
14	54 19,2	14 48,1	4 14,2 U	177 8,1	+ 1 48,6	10 23 A	4 12 U
	54 13,9	14 46,7	16 35,4 O	182 56,1	- 0 7,0	22 38 U	20 6 A
15	54 11,0	14 45,9	4 56,5 U	188 43,2	2 2,2	11 26 A	4 13 U
	54 10,8	14 45,8	17 17,7 O	194 30,7	3 56,1	23 0 U	20 5 A
16	54 12,8	14 46,4	5 38,9 U	200 20,1	- 5 47,8	12 29 A	4 15 U
	54 17,7	14 47,7	18 0,4 O	206 12,9	7 36,1	23 23 U	20 4 A

☾ Apog. Jan. 15 7^h0,7 11 01. nat. 0
0,0 3 12

JANUAR 1830.

Mittlerer Mittag und Mitternacht.

Monatstag.	Länge (Breite (Gr. Anfst. (Abweichg. (
16 ^h 0	198° 10' 44,4	+ 2° 21' 40,1	197° 40' 2,4	— 4° 57' 2,9
12	204 5 37,1	2 49 9,4	203 20 59,8	6 43 48,8
17 0	210 2 4,6	3 14 56,0	209 5 40,9	8 26 59,5
12	216 0 47,3	3 38 44,1	214 55 17,6	10 5 38,2
18 0	222 2 24,3	4 0 18,2	220 50 57,0	11 38 44,4
12	228 7 33,8	4 19 21,8	226 53 40,1	13 5 14,5
19 0	234 16 50,2	4 35 39,0	233 4 18,0	14 23 59,6
12	240 30 44,7	4 48 32,4	239 23 29,8	15 33 48,6
20 0	246 49 44,5	4 58 46,5	245 51 40,8	16 33 25,5
12	253 14 12,6	5 5 5,9	252 28 58,3	17 21 34,1
21 0	259 44 22,5	+ 5 7 35,7	259 15 7,8	— 17 56 59,8
12	266 20 24,9	5 6 4,0	266 9 36,4	18 18 32,1
22 0	273 2 20,2	5 0 20,8	273 11 27,5	18 25 9,8
12	279 50 0,0	4 50 19,5	280 19 24,7	18 16 5,2
23 0	286 43 9,2	4 35 58,2	287 31 58,1	17 50 48,1
12	293 41 25,4	4 17 20,0	294 47 29,8	17 9 9,5
24 0	300 44 16,3	3 54 34,9	302 4 17,7	16 11 23,2
12	307 51 6,1	3 27 57,0	309 20 48,5	14 58 9,5
25 0	315 1 13,2	2 57 48,3	316 35 40,8	13 30 31,0
12	322 13 52,5	2 24 35,9	323 47 50,5	11 49 52,8
26 0	329 28 17,6	+ 1 48 53,0	330 56 34,1	— 9 57 57,9
12	336 43 42,3	1 11 16,3	338 1 30,2	7 56 43,7
27 0	343 59 24,7	+ 0 32 26,2	345 2 39,1	5 48 16,1
12	351 14 43,5	— 0 6 56,1	352 0 17,2	3 34 47,7
28 0	358 29 4,3	0 46 8,7	358 54 57,2	— 1 18 31,6
12	5 41 55,9	1 24 30,5	5 47 20,2	+ 0 58 20,5
29 0	12 52 53,5	2 1 22,0	12 38 14,9	3 13 41,2
12	20 1 37,8	2 36 9,3	19 28 32,1	5 25 28,8
30 0	27 7 52,7	3 8 19,9	26 18 59,6	7 31 46,6
12	34 11 27,2	3 37 24,9	33 10 20,5	9 30 49,3
31 0	41 12 13,7	— 4 3 1,2	40 3 7,5	+ 11 20 57,2
12	48 10 6,6	4 24 51,4	46 57 42,7	13 0 39,1

○ Jan. 16 17^h 7,0
● 24 6 0,6

○ Jan. 30 23^h 54,1

JANUAR 1830.

Mittlerer Mittag und Mitternacht.			☾ im Meridian.			Auf- und Untergang.	
	Par. ☾	Halbm. ☾	Mittl. Zeit.	Gr. Aufst.	Abweichg.	☾	☉
16	54' 12,8	14' 46,4	5 ^h 38,9 <i>U</i>	200° 20,1	— 5° 47,8	12 29 <i>A</i>	4 15 <i>U</i>
	54 17,7	14 47,7	18 0,4 <i>O</i>	206 12,9	7 36,1	23 23 <i>U</i>	20 4 <i>A</i>
17	54 25,3	14 49,8	6 22,2 <i>U</i>	212 10,6	9 20,1	13 32 <i>A</i>	4 17 <i>U</i>
	54 35,4	14 52,5	18 44,4 <i>O</i>	218 14,3	10 58,7	23 49 <i>U</i>	20 3 <i>A</i>
18	54 48,0	14 56,0	7 7,1 <i>U</i>	224 25,3	12 31,0	14 36 <i>A</i>	4 18 <i>U</i>
	55 3,1	15 0,1	19 30,3 <i>O</i>	230 44,5	13 55,5	* *	20 2 <i>A</i>
19	55 20,6	15 4,9	7 54,2 <i>U</i>	237 13,2	15 11,0	0 19 <i>U</i>	4 20 <i>U</i>
	55 40,0	15 10,2	20 18,8 <i>O</i>	243 51,5	16 16,2	15 39 <i>A</i>	20 1 <i>A</i>
20	56 1,2	15 15,9	8 44,0 <i>U</i>	250 40,1	17 9,6	0 54 <i>U</i>	4 21 <i>U</i>
	56 23,7	15 22,1	21 9,8 <i>O</i>	257 38,4	17 49,8	16 41 <i>A</i>	20 0 <i>A</i>
21	56 47,2	15 28,5	9 36,3 <i>U</i>	264 46,5	— 18 15,3	1 36 <i>U</i>	4 23 <i>U</i>
	57 11,1	15 35,0	22 3,3 <i>O</i>	272 2,7	18 25,2	17 39 <i>A</i>	19 59 <i>A</i>
22	57 34,9	15 41,5	10 30,8 <i>U</i>	279 26,3	18 18,0	2 27 <i>U</i>	4 24 <i>U</i>
	57 58,5	15 47,9	22 58,7 <i>O</i>	286 55,1	17 53,6	18 32 <i>A</i>	19 57 <i>A</i>
23	58 21,1	15 54,1	11 26,9 <i>U</i>	294 27,4	17 11,2	3 28 <i>U</i>	4 26 <i>U</i>
	58 42,2	15 59,8	23 55,1 <i>O</i>	302 1,3	16 11,8	19 19 <i>A</i>	19 56 <i>A</i>
24	59 1,2	16 5,0	12 23,4 <i>U</i>	309 34,8	14 55,4	4 37 <i>U</i>	4 28 <i>U</i>
	59 17,8	16 9,5	* *	* *	* *	19 59 <i>A</i>	19 55 <i>A</i>
25	59 31,9	16 13,3	0 51,3 <i>O</i>	317 6,6	13 23,8	5 52 <i>U</i>	4 30 <i>U</i>
	59 43,0	16 16,4	13 19,2 <i>U</i>	324 35,0	11 38,1	20 34 <i>A</i>	19 53 <i>A</i>
26	59 50,9	16 18,5	1 46,8 <i>O</i>	331 59,9	— 9 40,6	7 10 <i>U</i>	4 32 <i>U</i>
	59 55,7	16 19,8	14 14,1 <i>U</i>	339 20,2	7 33,4	21 5 <i>A</i>	19 52 <i>A</i>
27	59 57,7	16 20,4	2 41,1 <i>O</i>	346 36,5	5 18,9	8 29 <i>U</i>	4 34 <i>U</i>
	59 56,2	16 20,0	15 7,9 <i>U</i>	353 48,8	2 59,5	21 33 <i>A</i>	19 50 <i>A</i>
28	59 52,3	16 18,9	3 34,5 <i>O</i>	0 58,0	— 0 37,8	9 48 <i>U</i>	4 36 <i>U</i>
	59 46,0	16 17,2	16 0,9 <i>U</i>	8 4,9	+ 1 43,8	22 1 <i>A</i>	19 49 <i>A</i>
29	59 37,6	16 14,9	4 27,2 <i>O</i>	15 10,5	4 3,1	11 7 <i>U</i>	4 38 <i>U</i>
	59 27,5	16 12,2	16 53,5 <i>U</i>	22 15,8	6 17,7	22 29 <i>A</i>	19 48 <i>A</i>
30	59 16,0	16 9,0	5 19,8 <i>O</i>	29 21,6	8 25,7	12 23 <i>U</i>	4 40 <i>U</i>
	59 3,3	16 5,6	17 46,2 <i>U</i>	36 28,8	10 25,0	23 0 <i>A</i>	19 46 <i>A</i>
31	58 50,0	16 2,0	6 12,7 <i>O</i>	43 37,6	+ 12 14,0	13 38 <i>U</i>	4 42 <i>U</i>
	58 36,2	15 58,2	18 39,4 <i>U</i>	50 48,8	13 51,0	23 34 <i>A</i>	19 44 <i>A</i>

☾ Perig. Jan. 27 1^h

FEBRUAR 1830.

Wahrer Berliner Mittag.

Monats- und Wochentag.	Mittl. Zeit.	Gr. Aufst. ☉	Abweichg. ☉	Log. μ .	Culm. Dauer ☉ Sternzeit.
1 ☾	^h 0 ['] 13 ["] 56,10	^h 20 ['] 58 ["] 33,84	— 17 [°] 9' 33,9	3,31019	2' 16,48
2 ♂	14 3,71	21 2 38,03	16 52 23,6	3,31769	16,25
3 ♀	14 10,49	6 41,38	34 55,7	3,32492	16,02
4 ♄	14 16,43	10 43,89	17 10,5	3,33185	15,79
5 ♀	14 21,54	14 45,56	15 59 8,6	3,33850	15,56
6 ☿	14 25,82	18 46,41	40 50,3	3,34490	15,33
7 ☉	0 14 29,29	21 22 46,44	— 15 22 16,0	3,35108	2 15,10
8 ☾	14 31,95	26 45,66	3 26,0	3,35702	14,87
9 ♂	14 33,81	30 44,09	14 44 20,8	3,36269	14,65
10 ♀	14 34,89	34 41,73	25 0,9	3,36814	14,42
11 ♄	14 35,19	38 38,58	5 26,6	3,37339	14,21
12 ♀	14 34,72	42 34,67	13 45 38,3	3,37844	13,99
13 ☿	14 33,51	46 30,02	25 36,4	3,38326	13,77
14 ☉	0 14 31,57	21 50 24,62	— 13 5 21,4	3,38789	2 13,56
15 ☾	14 28,90	54 18,49	12 44 53,6	3,39233	13,34
16 ♂	14 25,51	58 11,65	24 13,5	3,39657	13,13
17 ♀	14 21,42	22 2 4,11	3 21,5	3,40062	12,93
18 ♄	14 16,64	5 55,87	11 42 18,0	3,40451	12,73
19 ♀	14 11,19	9 46,96	21 3,4	3,40822	12,53
20 ☿	14 5,07	13 37,37	10 59 38,1	3,41176	12,34
21 ☉	0 13 58,29	22 17 27,13	— 10 38 2,6	3,41511	2 12,15
22 ☾	13 50,87	21 16,24	16 17,3	3,41828	11,97
23 ♂	13 42,82	25 4,72	9 54 22,7	3,42132	11,78
24 ♀	13 34,15	28 52,57	32 19,0	3,42423	11,60
25 ♄	13 24,87	32 39,82	10 6,7	3,42695	11,42
26 ♀	13 15,00	36 26,47	8 47 46,3	3,42949	11,25
27 ☿	13 4,54	40 12,54	25 18,3	3,43191	11,09
28 ☉	0 12 53,52	22 43 58,04	— 8 2 42,9	3,43420	2 10,93

FEBRUAR 1830.

Mittlerer Berliner Mittag.

Monats- und Jahrestag.		Sternzeit.	Länge ☉	Breite ☉	Lg. Rad. v. ☉	Halbm. ☉
1	32	^h 20 44' 35,46	^o 312 10' 11,8	— 0,65	9,9937430	16' 15,27
2	33	48 32,01	313 11' 2,4	— 0,70	9,9938093	15,11
3	34	52 28,57	314 11' 51,6	— 0,72	9,9938777	14,95
4	35	56 25,12	315 12' 39,4	— 0,71	9,9939482	14,79
5	36	21 0 21,67	316 13' 25,7	— 0,68	9,9940210	14,63
6	37	4 18,23	317 14' 10,5	— 0,63	9,9940961	14,46
7	38	21 8 14,78	318 14' 54,0	— 0,55	9,9941735	16 14,29
8	39	12 11,33	319 15' 36,2	— 0,45	9,9942532	14,10
9	40	16 7,89	320 16' 17,1	— 0,33	9,9943352	13,92
10	41	20 4,45	321 16' 56,6	— 0,20	9,9944194	13,74
11	42	24 1,00	322 17' 34,8	— 0,08	9,9945058	13,56
12	43	27 57,56	323 18' 11,7	+ 0,04	9,9945942	13,37
13	44	31 54,11	324 18' 47,4	+ 0,15	9,9946846	13,16
14	45	21 35 50,67	325 19' 21,9	+ 0,24	9,9947768	16 12,96
15	46	39 47,22	326 19' 55,1	+ 0,31	9,9948706	12,75
16	47	43 43,77	327 20' 27,0	+ 0,35	9,9949660	12,54
17	48	47 40,33	328 20' 57,6	+ 0,37	9,9950627	12,33
18	49	51 36,88	329 21' 26,8	+ 0,36	9,9951607	12,12
19	50	55 33,43	330 21' 54,6	+ 0,31	9,9952598	11,90
20	51	59 29,98	331 22' 21,0	+ 0,23	9,9953600	11,67
21	52	22 3 26,53	332 22' 45,9	+ 0,14	9,9954610	16 11,45
22	53	7 23,09	333 23' 9,2	+ 0,03	9,9955627	11,22
23	54	11 19,64	334 23' 30,8	— 0,09	9,9956651	10,99
24	55	15 16,19	335 23' 50,6	— 0,21	9,9957682	10,76
25	56	19 12,74	336 24' 8,6	— 0,32	9,9958721	10,53
26	57	23 9,30	337 24' 24,8	— 0,43	9,9959768	10,30
27	58	27 5,85	338 24' 38,9	— 0,53	9,9960821	10,06
28	59	22 31 2,41	339 24' 51,0	— 0,62	9,9961882	16 9,81

FEBRUAR 1830.

Mittlerer Mittag und Mitternacht.

Monatstag.	Länge (Breite (Gr. Aufst. (Abweichg. (
1 0 ^h	55° 5' 1,7	— 4° 42' 39,6	53° 54' 11,9	+ 14° 28' 36,2
12	61 56 56,7	4 56 15,4	60 52 26,0	15 43 39,9
2 0	68 45 49,9	5 5 33,1	67 51 59,5	16 44 53,7
12	75 31 40,0	5 10 30,4	74 52 12,4	17 31 34,7
3 0	82 14 24,7	5 11 9,0	81 52 9,6	18 3 14,9
12	88 54 2,2	5 7 34,2	88 50 47,4	18 19 42,0
4 0	95 30 30,5	4 59 54,9	95 46 56,7	18 20 59,1
12	102 3 47,5	4 48 21,7	102 39 28,1	18 7 26,4
5 0	108 33 50,6	4 33 9,4	109 27 15,9	17 39 37,2
12	115 0 37,3	4 14 34,9	116 9 22,8	16 58 18,8
6 0	121 24 6,8	— 3 52 56,8	122 45 4,9	+ 16 4 29,2
12	127 44 18,8	3 28 35,2	129 13 51,4	14 59 15,4
7 0	134 1 13,4	3 1 52,3	135 35 25,7	13 43 49,8
12	140 14 55,3	2 33 10,5	141 49 48,7	12 19 28,4
8 0	146 25 29,5	2 2 51,8	147 57 13,3	10 47 28,9
12	152 33 2,7	1 31 20,4	153 58 3,9	9 9 10,5
9 0	158 37 45,1	0 58 58,7	159 52 56,1	7 25 46,4
12	164 39 50,3	0 26 9,3	165 42 34,7	5 38 29,6
10 0	170 39 35,4	— 0 6 47,4	171 27 52,1	3 48 30,3
12	176 37 20,0	+ 0 39 30,1	177 9 45,7	1 56 54,1
11 0	182 33 25,7	+ 1 11 39,7	182 49 16,5	+ 0 4 42,7
12	188 28 17,1	1 42 57,9	188 27 26,2	— 1 47 5,7
12 0	194 22 22,7	2 13 6,8	194 5 23,3	3 37 31,7
12	200 16 12,4	2 41 49,6	199 44 13,8	5 25 41,5
13 0	206 10 17,8	3 8 50,9	205 25 4,3	7 10 40,4
12	212 5 12,2	3 33 55,7	211 9 0,2	8 51 34,7
14 0	218 1 31,7	3 56 48,6	216 57 6,1	10 27 27,0
12	223 59 52,3	4 17 15,4	222 50 22,5	11 57 23,6
15 0	230 0 50,8	4 35 1,6	228 49 45,0	13 20 24,7
12	236 5 4,3	4 49 53,4	234 56 3,2	14 35 28,9
16 0	242 13 9,3	+ 5 1 36,9	241 9 58,0	— 15 41 32,3
12	248 25 40,3	5 9 58,5	247 31 58,4	16 37 28,8

○ Febr. 7 8^h 54,5● Febr. 15 13^h 35,9

FEBRUAR 1830.

Mittlerer Mittag und Mitternacht.			☾ im Meridian.			Auf- und Untergang.	
	Par. ☾	Halbm. ☾	Mittl. Zeit.	Gr. Aufst.	Abweichg.	☾	☉
1	58' 22,0	15' 54,3	^h 7 6,3 O	58° 1,8	+ 15° 14,8	^h * *	^h 4 43 U
	58 7,5	15 50,4	19 33,3 U	65 16,6	16 23,8	14 48 U	19 44 A
2	57 52,7	15 46,3	8 0,3 O	72 32,3	17 17,7	0 14 A	4 45 U
	57 37,8	15 42,2	20 27,3 U	79 48,2	17 55,4	15 53 U	19 42 A
3	57 22,7	15 38,1	8 54,2 O	87 3,0	18 16,9	0 59 A	4 47 U
	57 7,8	15 34,1	21 21,0 U	94 15,4	18 21,8	16 51 U	19 41 A
4	56 53,2	15 30,1	9 47,6 O	101 24,0	18 10,9	1 51 A	4 48 U
	56 38,4	15 26,1	22 13,8 U	108 27,4	17 44,3	17 41 U	19 39 A
5	56 23,8	15 22,1	10 39,6 O	115 24,8	17 3,5	2 49 A	4 50 U
	56 9,3	15 18,1	23 4,9 U	122 15,0	16 9,0	18 24 U	19 37 A
6	55 55,0	15 14,2	11 29,7 O	128 57,7	+ 15 2,3	3 51 A	4 52 U
	55 40,8	15 10,4	23 53,9 U	135 32,2	13 44,5	18 59 U	19 35 A
7	55 27,2	15 6,6	12 17,6 O	141 58,9	12 17,2	4 55 A	4 54 U
	55 14,1	15 3,1	* *	* *	* *	19 30 U	19 33 A
8	55 1,7	14 59,7	0 40,8 U	148 17,8	10 42,0	6 0 A	4 56 U
	54 50,2	14 56,6	13 3,6 O	154 29,7	9 0,3	19 56 U	19 32 A
9	54 39,5	14 53,7	1 26,0 U	160 34,9	7 13,4	7 5 A	4 58 U
	54 30,0	14 51,1	13 47,9 O	166 34,6	5 22,5	20 20 U	19 30 A
10	54 21,6	14 48,9	2 9,6 U	172 29,7	3 28,7	8 9 A	5 0 U
	54 15,0	14 47,0	14 31,0 O	178 21,2	+ 1 33,4	20 42 U	19 28 A
11	54 9,8	14 45,6	2 52,2 U	184 10,2	— 0 22,1	9 12 A	5 2 U
	54 6,2	14 44,6	15 13,3 O	189 58,1	2 16,9	21 4 U	19 26 A
12	54 4,7	14 44,2	3 34,5 U	195 46,2	4 10,0	10 16 A	5 4 U
	54 5,5	14 44,4	15 55,8 O	201 35,6	6 0,4	21 27 U	19 24 A
13	54 8,6	14 45,2	4 17,2 U	207 27,6	7 47,2	11 18 A	5 6 U
	54 13,7	14 46,6	16 38,9 O	213 23,3	9 29,3	21 52 U	19 22 A
14	54 21,6	14 48,8	5 0,9 U	219 24,2	11 5,8	12 21 A	5 7 U
	54 31,8	14 51,6	17 23,4 O	225 31,1	12 35,6	22 19 U	19 20 A
15	54 44,7	14 55,1	5 46,4 U	231 45,2	13 57,6	13 23 A	5 9 U
	55 0,1	14 59,3	18 9,7 O	238 7,1	15 10,6	22 51 U	19 18 A
16	55 17,8	15 4,1	6 33,7 U	244 37,9	— 16 13,5	14 24 A	5 11 U
	55 38,0	15 9,6	18 58,3 O	251 17,6	17 5,0	23 29 U	19 16 A

☾ Apog. Febr. 12 2^h

FEBRUAR 1830.

Mittlerer Mittag und Mitternacht.

Monatstag.	Länge (Breite (Gr. Aufst. (Abweichg. (
16 0 ^h	242 13' 9,3	+ 5° 1' 36,9	241° 9' 58,0	— 15° 41' 32,3
12	248 25 40,3	5 9 58,5	247 31 58,4	16 37 28,8
17 0	254 43 10,1	5 14 45,2	254 2 20,8	17 22 11,1
12	261 6 8,9	5 15 44,3	260 41 6,7	17 54 33,1
18 0	267 35 2,3	5 12 44,7	267 28 0,6	18 13 31,1
12	274 10 10,6	5 5 37,1	274 22 29,3	18 18 7,2
19 0	280 51 48,4	4 54 14,9	281 23 44,5	18 7 32,9
12	287 40 2,4	4 38 34,4	288 30 43,1	17 41 13,1
20 0	294 34 50,8	4 18 36,9	295 42 11,0	16 58 50,0
12	301 36 1,6	3 54 28,7	302 56 48,6	16 0 25,4
21 0	308 43 15,6	+ 3 26 22,3	310 13 18,7	— 14 46 24,2
12	315 56 2,3	2 54 36,8	317 30 28,1	13 17 36,0
22 0	323 13 42,9	2 19 38,2	324 47 15,4	11 35 14,2
12	330 35 29,1	1 41 59,7	332 2 52,0	9 40 55,0
23 0	338 0 26,6	1 2 19,9	339 16 45,9	7 36 34,9
12	345 27 38,2	+ 0 21 23,4	346 28 43,0	5 24 25,2
24 0	352 56 0,4	— 0 20 3,0	353 38 40,9	3 6 50,6
12	0 24 31,2	1 1 10,0	0 46 50,6	— 0 46 21,0
25 0	7 52 10,9	1 41 10,5	7 53 33,1	+ 1 34 30,8
12	15 18 3,8	2 19 18,4	14 59 13,8	3 53 16,3
26 0	22 41 18,9	— 2 54 52,9	22 4 19,0	+ 6 7 32,3
12	30 1 11,9	3 27 17,4	29 9 12,0	8 15 6,5
27 0	37 17 8,6	3 56 3,3	36 14 12,9	10 13 58,9
12	44 28 39,7	4 20 47,0	43 19 29,9	12 2 23,6
28 0	51 35 23,9	4 41 11,7	50 25 0,5	13 38 50,4
12	58 37 9,4	4 57 7,4	57 30 32,4	15 2 5,5
29 0	65 33 48,6	5 8 29,5	64 35 39,1	16 11 11,5
12	72 25 21,6	5 15 17,7	71 39 44,1	17 5 28,6
30 0	79 11 51,4	5 17 36,3	78 42 0,7	17 44 33,2
12	85 53 26,4	5 15 33,4	85 41 37,0	18 8 17,9
31 0	92 30 17,7	— 5 9 19,4	92 37 38,8	+ 18 16 50,8
12	99 2 38,5	4 59 7,7	99 29 13,0	18 10 33,7

● Febr. 22 17^h 43,6○ Mrz. 1 9^h 8,0

FEBRUAR 1830.

Mittlerer Mittag und Mitternacht.			☾ im Meridian.			Auf- und Untergang.	
	Par. ☾	Halbm. ☾	Mittl. Zeit.	Gr. Aufst.	Abweichg.	☾	☉
16	55' 17,8	15' 4,1	^h 6 33,7 <i>U</i>	244° 37,9	— 16° 13,5	^h 14 24 <i>A</i>	^h 5 11 <i>U</i>
	55 38,0	15 9,6	18 58,3 <i>O</i>	251 17,6	17 5,0	23 29 <i>U</i>	19 16 <i>A</i>
17	56 0,4	15 15,7	7 23,6 <i>U</i>	258 7,1	17 43,7	15 23 <i>A</i>	5 13 <i>U</i>
	56 24,4	15 22,3	19 49,5 <i>O</i>	265 5,6	18 8,6	* *	19 14 <i>A</i>
18	56 50,3	15 29,3	8 16,0 <i>U</i>	272 12,9	18 18,3	0 14 <i>U</i>	5 15 <i>U</i>
	57 17,4	15 36,7	20 42,9 <i>O</i>	279 27,8	18 12,0	16 18 <i>A</i>	19 11 <i>A</i>
19	57 44,8	15 44,1	9 10,3 <i>U</i>	286 49,7	17 48,7	1 9 <i>U</i>	5 17 <i>U</i>
	58 12,6	15 51,6	21 38,0 <i>O</i>	294 16,9	17 8,4	17 7 <i>A</i>	19 9 <i>A</i>
20	58 39,8	15 59,2	10 6,0 <i>U</i>	301 47,9	16 10,5	2 13 <i>U</i>	5 19 <i>U</i>
	59 6,0	16 6,3	22 34,2 <i>O</i>	309 21,2	14 56,0	17 51 <i>A</i>	19 7 <i>A</i>
21	59 30,6	16 13,0	11 2,5 <i>U</i>	316 55,4	— 13 25,0	3 25 <i>U</i>	5 21 <i>U</i>
	59 52,3	16 18,9	23 30,7 <i>O</i>	324 29,5	11 39,6	18 28 <i>A</i>	19 5 <i>A</i>
22	60 11,3	16 24,1	11 58,8 <i>U</i>	332 2,0	9 41,0	4 42 <i>U</i>	5 23 <i>U</i>
	60 26,6	16 28,2	* *	* *	* *	19 2 <i>A</i>	19 3 <i>A</i>
23	60 38,3	16 31,4	0 26,8 <i>O</i>	339 32,9	7 31,8	6 3 <i>U</i>	5 25 <i>U</i>
	60 45,3	16 33,3	12 54,7 <i>U</i>	347 1,4	5 14,1	19 33 <i>A</i>	19 1 <i>A</i>
24	60 48,0	16 34,1	1 22,4 <i>O</i>	354 27,8	2 50,9	7 25 <i>U</i>	5 26 <i>U</i>
	60 46,9	16 33,8	13 50,0 <i>U</i>	1 52,1	— 0 24,9	20 2 <i>A</i>	18 59 <i>A</i>
25	60 41,8	16 32,4	2 17,4 <i>O</i>	9 14,9	+ 2 1,1	8 46 <i>U</i>	5 28 <i>U</i>
	60 32,5	16 29,9	14 44,8 <i>U</i>	16 36,6	4 24,3	20 31 <i>A</i>	18 57 <i>A</i>
26	60 19,8	16 26,4	3 12,2 <i>O</i>	23 57,7	+ 6 42,2	10 7 <i>U</i>	5 30 <i>U</i>
	60 4,1	16 22,1	15 39,6 <i>U</i>	31 18,8	8 52,2	21 2 <i>A</i>	18 55 <i>A</i>
27	59 46,0	16 17,2	4 6,9 <i>O</i>	38 40,0	10 52,4	11 25 <i>U</i>	5 32 <i>U</i>
	59 26,5	16 11,9	16 34,2 <i>U</i>	46 1,6	12 40,4	21 36 <i>A</i>	18 53 <i>A</i>
28	59 5,5	16 6,2	5 1,6 <i>O</i>	53 23,2	14 15,3	12 38 <i>U</i>	5 34 <i>U</i>
	58 43,9	16 0,3	17 29,0 <i>U</i>	60 44,9	15 35,3	22 14 <i>A</i>	18 50 <i>A</i>
29	58 22,0	15 54,3	5 56,4 <i>O</i>	68 5,7	16 39,9	13 46 <i>U</i>	5 35 <i>U</i>
	58 0,4	15 48,4	18 23,6 <i>U</i>	75 25,0	17 28,1	22 58 <i>A</i>	18 48 <i>A</i>
30	57 38,8	15 42,5	6 50,7 <i>O</i>	82 41,8	18 0,0	14 47 <i>U</i>	5 37 <i>U</i>
	57 18,0	15 36,9	19 17,6 <i>U</i>	89 55,0	18 15,3	23 48 <i>A</i>	18 46 <i>A</i>
31	56 57,7	15 30,3	7 44,1 <i>O</i>	97 3,6	+ 18 14,5	15 39 <i>U</i>	5 39 <i>U</i>
	56 38,7	15 26,1	20 10,2 <i>U</i>	104 6,5	17 58,0	* *	18 43 <i>A</i>

☾ Perig. Febr. 24 3^h

MAERZ 1830.

Wahrer Berliner Mittag.

Monats- und Wochentag.	Mittl. Zeit.	Gr. Aufst. ☉	Abweichg. ☉	Log. μ .	Culm. Dauer ☉ Sternzeit.
1 ☾	^h 0 ['] 12 ["] 41,95	^h 22 ['] 47 ["] 42,99	— [°] 7 ['] 40 ["] 0,6	3,43634	['] 2 ["] 10,78
2 ♂	12 29,86	51 27,41	7 17 11,8	3,43833	10,64
3 ♀	12 17,25	55 11,31	6 54 16,9	3,44022	10,50
4 ♄	12 4,13	58 54,72	6 31 16,2	3,44196	10,36
5 ♀	11 50,54	23 2 37,65	6 8 10,2	3,44356	10,22
6 ♄	11 36,50	6 20,13	5 44 59,3	3,44503	10,10
7 ☉	0 11 22,04	23 10 2,18	— 5 21 43,9	3,44640	2 9,98
8 ☾	11 7,16	13 43,82	4 58 24,2	3,44767	9,86
9 ♂	10 51,90	17 25,07	4 35 0,6	3,44880	9,75
10 ♀	10 36,28	21 5,96	4 11 33,6	3,44982	9,65
11 ♄	10 20,33	24 46,51	3 48 3,4	3,45074	9,55
12 ♀	10 4,07	28 26,76	3 24 30,4	3,45154	9,46
13 ♄	9 47,52	32 6,71	3 0 55,0	3,45220	9,37
14 ☉	0 9 30,69	23 35 46,38	— 2 37 17,7	3,45276	2 9,29
15 ☾	9 13,61	39 25,81	2 13 38,7	3,45322	9,22
16 ♂	8 56,31	43 5,01	1 49 58,4	3,45356	9,15
17 ♀	8 38,80	46 44,01	1 26 17,1	3,45380	9,08
18 ♄	8 21,11	50 22,82	1 2 35,3	3,45390	9,03
19 ♀	8 3,25	54 1,47	0 38 53,3	3,45390	8,98
20 ♄	7 45,26	57 39,98	— 0 15 11,5	3,45380	8,94
21 ☉	0 7 27,15	0 1 18,37	+ 0 8 30,2	3,45360	2 8,90
22 ☾	7 8,94	4 56,66	0 32 10,8	3,45330	8,87
23 ♂	6 50,63	8 34,85	0 55 50,1	3,45286	8,84
24 ♀	6 32,24	12 12,96	1 19 27,8	3,45230	8,82
25 ♄	6 13,79	15 51,01	1 43 3,4	3,45160	8,81
26 ♀	5 55,30	19 29,03	2 6 36,6	3,45081	8,80
27 ♄	5 36,79	23 7,02	2 30 7,1	3,44991	8,80
28 ☉	0 5 18,27	0 26 45,00	+ 2 53 34,4	3,44889	2 8,81
29 ☾	4 59,77	30 23,00	3 16 58,3	3,44776	8,82
30 ♂	4 41,30	34 1,03	3 40 18,3	3,44652	8,83
31 ♀	4 22,88	37 39,11	4 3 34,2	3,44527	8,85

MAERZ 1830.

Mittlerer Berliner Mittag.

Monats- und Jahrestag.		Sternzeit.	Länge ☉	Breite ☉	Lg. Rad. v. ☉	Halbm. ☉
		^h ' "	^o ' "	"		' "
1	60	22 34 58,96	340 25 1,0	— 0,67	9,9962953	16 9,56
2	61	38 55,51	341 25 9,0	— 0,69	9,9964033	9,31
3	62	42 52,06	342 25 14,9	— 0,69	9,9965124	9,06
4	63	46 48,61	343 25 18,7	— 0,67	9,9966226	8,81
5	64	50 45,17	344 25 20,3	— 0,63	9,9967340	8,56
6	65	54 41,72	345 25 19,7	— 0,55	9,9968467	8,31
7	66	22 58 38,27	346 25 17,1	— 0,45	9,9969608	16 8,05
8	67	23 2 34,82	347 25 12,4	— 0,33	9,9970762	7,79
9	68	6 31,38	348 25 5,8	— 0,20	9,9971928	7,53
10	69	10 27,93	349 24 57,2	— 0,07	9,9973108	7,27
11	70	14 24,48	350 24 46,8	+ 0,05	9,9974301	7,01
12	71	18 21,03	351 24 34,5	+ 0,15	9,9975506	6,74
13	72	22 17,58	352 24 20,4	+ 0,24	9,9976722	6,47
14	73	23 26 14,13	353 24 4,5	+ 0,31	9,9977949	16 6,20
15	74	30 10,69	354 23 46,7	+ 0,37	9,9979185	5,94
16	75	34 7,24	355 23 27,1	+ 0,38	9,9980429	5,67
17	76	38 3,79	356 23 5,9	+ 0,37	9,9981678	5,40
18	77	42 0,34	357 22 42,9	+ 0,33	9,9982931	5,13
19	78	45 56,90	358 22 18,2	+ 0,27	9,9984187	4,85
20	79	49 53,45	359 21 51,7	+ 0,18	9,9985443	4,57
21	80	23 53 50,00	0 21 23,3	+ 0,08	9,9986699	16 4,29
22	81	57 46,55	1 20 53,1	— 0,04	9,9987954	4,01
23	82	0 1 43,10	2 20 21,0	— 0,17	9,9989207	3,73
24	83	5 39,65	3 19 46,8	— 0,28	9,9990457	3,45
25	84	9 36,20	4 19 10,6	— 0,39	9,9991703	3,18
26	85	13 32,75	5 18 32,2	— 0,48	9,9992946	2,91
27	86	17 29,31	6 17 51,6	— 0,57	9,9994185	2,63
28	87	0 21 25,86	7 17 8,9	— 0,63	9,9995421	16 2,36
29	88	25 22,41	8 16 23,9	— 0,67	9,9996653	2,08
30	89	29 18,96	9 15 36,6	— 0,68	9,9997882	1,80
31	90	33 15,51	10 14 47,0	— 0,65	9,9999109	1,53

MAERZ 1830.

Mittlerer Mittag und Mitternacht.

Monatstag.	Länge (Breite (Gr. Aufst. (Abweichg. (
h	° ' "	° ' "	° ' "	° ' "
1 0	65 33 48,6	— 5 8 29,5	64 35 39,1	+ 16 11 11,5
12	72 25 21,6	5 15 17,7	71 39 44,1	17 5 28,6
2 0	79 11 51,4	5 17 36,3	78 42 0,7	17 44 33,2
12	85 53 26,4	5 15 33,4	85 41 37,0	18 8 17,9
3 0	92 30 17,7	5 9 19,4	92 37 38,8	18 16 50,8
12	99 2 38,5	4 59 7,7	99 29 13,0	18 10 33,7
4 0	105 30 42,6	4 45 13,3	106 15 30,2	17 50 0,4
12	111 54 46,5	4 27 53,5	112 55 51,2	17 15 55,4
5 0	118 15 6,3	4 7 25,4	119 29 46,1	16 29 13,0
12	124 31 58,1	3 44 8,7	125 56 56,4	15 30 52,5
6 0	130 45 37,1	— 3 18 23,6	132 17 14,7	+ 14 21 59,1
12	136 56 18,9	2 50 30,4	138 30 46,3	13 3 41,4
7 0	143 4 18,0	2 20 50,3	144 37 46,7	11 37 9,7
12	149 9 49,0	1 49 45,5	150 38 40,7	10 3 34,2
8 0	155 13 6,3	1 17 36,7	156 34 2,4	8 24 6,4
12	161 14 22,3	0 44 46,3	162 24 29,9	6 39 56,1
9 0	167 13 52,0	— 0 11 35,7	168 10 49,3	4 52 11,3
12	173 11 49,3	+ 0 21 34,5	173 53 49,9	3 1 59,1
10 0	179 8 27,6	0 54 23,3	179 34 22,4	+ 1 10 24,6
12	185 4 4,6	1 26 30,6	185 13 23,0	— 0 41 30,3
11 0	190 58 55,1	+ 1 57 37,8	190 51 45,9	— 2 32 43,2
12	196 53 17,4	2 27 26,4	196 30 27,4	4 22 14,7
12 0	202 47 29,2	2 55 39,1	202 10 21,9	6 9 5,9
12	208 41 52,6	3 21 59,5	207 52 25,4	7 52 19,6
13 0	214 36 49,1	3 46 12,4	213 37 30,4	9 30 58,1
12	220 32 42,6	4 8 3,2	219 26 27,1	11 4 4,4
14 0	226 29 58,4	4 27 18,0	225 20 1,9	12 30 41,7
12	232 29 4,4	4 43 44,2	231 18 57,5	13 49 52,1
15 0	238 30 28,5	4 57 9,3	237 23 48,8	15 0 38,8
12	244 34 40,6	5 7 22,3	243 35 5,1	16 2 0,5
16 0	250 42 11,5	+ 5 14 11,8	249 53 5,8	— 16 53 2,5
12	256 53 32,7	5 17 27,7	256 18 1,2	17 32 46,9

○ Mrz. 1 9^h 8,0

○ Mrz. 9 2^h 35,1

MAERZ 1830.

Mittlerer Mittag und Mitternacht.			☾ im Meridian.			Auf- und Untergang.	
	Par. ☾	Halbm. ☾	Mittl. Zeit.	Gr. Aufst.	Abweichg.	☾	☉
1	58' 22,0	15' 54,3	^h 5 56,4 O	68° 5,7	+ 16 39,9	^h 13 46 U	^h 5 35 U
	58 0,4	15 48,4	18 23,6 U	75 25,0	17 28,1	22 58 A	18 48 A
2	57 38,8	15 42,5	6 50,7 O	82 41,8	18 0,0	14 47 U	5 37 U
	57 18,0	15 36,9	19 17,6 U	89 55,0	18 15,3	23 48 A	18 46 A
3	56 57,7	15 30,3	7 44,1 O	97 3,6	18 14,5	15 39 U	5 39 U
	56 38,7	15 26,1	20 10,2 U	104 6,5	17 58,0	* *	18 43 A
4	56 20,7	15 21,2	8 35,9 O	111 3,1	17 26,8	0 43 A	5 41 U
	56 3,5	15 16,6	21 1,2 U	117 52,5	16 41,9	16 23 U	18 41 A
5	55 47,6	15 12,2	9 26,0 O	124 34,7	15 44,3	1 43 A	5 42 U
	55 33,0	15 8,2	21 50,3 U	131 9,2	14 35,1	17 0 U	18 38 A
6	55 18,8	15 4,4	10 14,1 O	137 36,3	+ 13 15,7	2 46 A	5 44 U
	55 6,0	15 0,9	22 37,4 U	143 56,2	11 47,4	17 32 U	18 36 A
7	54 54,2	14 57,7	11 0,2 O	150 9,4	10 11,5	3 50 A	5 46 U
	54 43,4	14 54,7	23 22,6 U	156 15,9	8 29,4	18 0 U	18 34 A
8	54 33,4	14 52,0	11 44,7 O	162 17,1	6 42,2	4 54 A	5 48 U
	54 24,7	14 49,6	* *	* *	* *	18 24 U	18 32 A
9	54 17,1	14 47,6	0 6,4 U	168 13,8	4 51,2	5 58 A	5 50 U
	54 11,0	14 45,9	12 27,9 O	174 7,0	2 57,7	18 47 U	18 29 A
10	54 5,5	14 44,4	0 49,3 U	179 57,6	+ 1 2,8	7 2 A	5 51 U
	54 1,6	14 43,3	13 10,5 O	185 46,6	- 0 52,4	19 9 U	18 27 A
11	53 58,8	14 42,6	1 31,6 U	191 34,9	- 2 46,7	8 5 A	5 53 U
	53 58,0	14 42,3	13 52,8 O	197 23,7	4 39,1	19 32 U	18 25 A
12	53 58,3	14 42,4	2 14,1 U	203 14,0	6 28,5	9 8 A	5 55 U
	54 0,8	14 43,1	14 35,7 O	209 6,8	8 14,0	19 55 U	18 23 A
13	54 4,8	14 44,2	2 57,5 U	215 3,2	9 54,4	10 10 A	5 57 U
	54 10,8	14 45,8	15 19,5 O	221 4,0	11 28,7	20 21 U	18 20 A
14	54 19,0	14 48,1	3 41,9 U	227 10,2	12 55,9	11 12 A	5 59 U
	54 28,6	14 50,7	16 4,6 O	233 22,3	14 14,9	20 51 U	18 18 A
15	54 41,0	14 54,1	4 27,8 U	239 41,3	15 24,6	12 13 A	6 0 U
	54 55,3	14 58,0	16 51,4 O	246 7,3	16 23,9	21 25 U	18 15 A
16	55 12,3	15 2,6	5 15,7 U	252 41,1	- 17 11,8	13 12 A	6 2 U
	55 31,3	15 7,8	17 40,5 O	259 22,4	17 47,3	22 7 U	18 13 A

☾ Apog. Mrz. 11 16^h

MAERZ 1830.

Mittlerer Mittag und Mitternacht.

Monatstag.	Länge (Breite (Gr. Aufst. (Abweichg. (
16 0 ^h	250° 42' 11,5	+ 5° 14' 11,8	249° 53' 5,8	— 16° 53' 2,5
12	256 53 32,7	5 17 27,7	256 18 1,2	17 32 46,9
17 0	263 9 15,2	5 17 1,5	262 49 50,4	18 0 17,9
12	269 29 49,3	5 12 44,9	269 28 21,3	18 14 44,4
18 0	275 55 44,7	5 4 30,5	276 13 11,9	18 15 21,3
12	282 27 25,5	4 52 15,1	283 3 46,7	18 1 28,7
19 0	289 5 17,1	4 35 56,3	289 59 27,2	17 32 38,9
12	295 49 36,9	4 15 35,2	296 59 26,1	16 48 36,4
20 0	302 40 37,6	3 51 15,4	304 2 55,5	15 49 22,6
12	309 38 24,5	3 23 8,6	311 9 7,9	14 35 12,7
21 0	316 42 54,3	+ 2 51 30,0	318 17 20,6	— 13 6 44,3
12	323 53 54,0	2 16 40,9	325 26 58,1	11 24 54,5
22 0	331 11 0,4	1 39 9,7	332 37 34,6	9 31 2,6
12	338 33 39,8	0 59 31,6	339 48 54,3	7 26 47,6
23 0	346 1 7,7	+ 0 18 27,7	347 0 51,9	5 14 8,6
12	353 32 29,1	— 0 23 16,2	354 13 30,2	2 55 21,6
24 0	1 6 41,4	1 4 50,0	1 26 59,1	— 0 32 55,7
12	8 42 34,4	1 45 22,7	8 41 31,3	+ 1 50 30,1
25 0	16 18 54,4	2 24 3,7	15 57 19,9	4 12 13,5
12	23 54 26,3	3 0 6,0	23 14 34,1	6 29 32,9
26 0	31 27 57,1	— 3 32 47,7	30 33 15,9	+ 8 39 53,8
12	38 58 18,4	4 1 34,0	37 53 16,9	10 40 53,7
27 0	46 24 29,9	4 25 57,3	45 14 16,8	12 30 27,1
12	53 45 40,9	4 45 39,0	52 35 41,8	14 6 48,5
28 0	61 1 10,0	5 0 28,4	59 56 44,0	15 28 34,6
12	68 10 26,6	5 10 22,7	67 16 24,0	16 34 45,4
29 0	75 13 12,3	5 15 25,1	74 33 34,9	17 24 45,9
12	82 9 18,2	5 15 44,6	81 47 5,6	17 58 23,0
30 0	88 58 44,6	5 11 34,3	88 55 45,5	18 15 44,2
12	95 41 40,1	5 3 10,4	95 58 30,4	18 17 17,0
31 0	102 18 20,1	— 4 50 50,7	102 54 25,4	+ 18 3 41,6
12	108 49 4,6	4 34 56,1	109 42 48,3	17 35 50,1

○ Mrz. 17 6^h 38,6● Mrz. 24 3^h 44,5

○ Mrz. 30 19 55,7

MAERZ 1830.

Mittlerer Mittag und Mitternacht.			☾ im Meridian.			Auf- und Untergang.	
	Par. ☾	Halbm. ☾	Mittl. Zeit.	Gr. Aufst.	Abweichg.	☾	☉
16	55 12,3	15 2,6	^h 5 15,7 <i>U</i>	^o 252 41,1	— ^o 17 11,8	^h 13 12 <i>A</i>	^h 6 2 <i>U</i>
	55 31,3	15 7,8	17 40,5 <i>O</i>	259 22,4	17 47,3	22 7 <i>U</i>	18 13 <i>A</i>
17	55 52,7	15 13,6	6 5,7 <i>U</i>	266 11,5	18 9,3	14 7 <i>A</i>	6 4 <i>U</i>
	56 16,1	15 20,0	18 31,4 <i>O</i>	273 7,7	18 17,0	22 56 <i>U</i>	18 11 <i>A</i>
18	56 41,5	15 26,9	6 57,6 <i>U</i>	280 10,7	18 9,1	14 57 <i>A</i>	6 6 <i>U</i>
	57 8,1	15 34,2	19 24,1 <i>O</i>	287 19,7	17 45,4	23 54 <i>U</i>	18 8 <i>A</i>
19	57 36,2	15 41,8	7 51,0 <i>U</i>	294 33,8	17 5,4	15 42 <i>A</i>	6 8 <i>U</i>
	58 4,9	15 49,6	20 18,2 <i>O</i>	301 52,2	16 9,3	* *	18 6 <i>A</i>
20	58 34,2	15 57,6	8 45,6 <i>U</i>	309 13,8	14 56,5	1 0 <i>U</i>	6 9 <i>U</i>
	59 2,9	16 5,4	21 13,2 <i>O</i>	316 38,0	13 28,4	16 21 <i>A</i>	18 3 <i>A</i>
21	59 30,6	16 13,0	9 40,9 <i>U</i>	324 3,8	— 11 45,3	2 13 <i>U</i>	6 11 <i>U</i>
	59 56,8	16 20,1	22 8,6 <i>O</i>	331 30,9	9 49,3	16 56 <i>A</i>	18 1 <i>A</i>
22	60 20,4	16 26,6	10 36,4 <i>U</i>	338 58,7	7 41,5	3 31 <i>U</i>	6 13 <i>U</i>
	60 40,6	16 32,1	23 4,2 <i>O</i>	346 27,4	5 24,6	17 28 <i>A</i>	17 59 <i>A</i>
23	60 57,1	16 36,6	11 32,1 <i>U</i>	353 56,8	3 0,7	4 52 <i>U</i>	6 15 <i>U</i>
	61 9,4	16 39,9	* *	* *	* *	17 58 <i>A</i>	17 57 <i>A</i>
24	61 16,9	16 42,0	0 0,1 <i>O</i>	1 27,1	— 0 32,9	6 16 <i>U</i>	6 17 <i>U</i>
	61 19,4	16 42,6	12 28,2 <i>U</i>	8 58,6	+ 1 56,1	18 28 <i>A</i>	17 54 <i>A</i>
25	61 17,1	16 42,0	0 56,3 <i>O</i>	16 31,4	4 23,1	7 39 <i>U</i>	6 18 <i>U</i>
	61 9,5	16 39,9	13 24,6 <i>U</i>	24 6,1	6 45,1	18 58 <i>A</i>	17 52 <i>A</i>
26	60 57,5	16 36,7	1 53,0 <i>O</i>	31 42,3	+ 8 59,5	9 1 <i>U</i>	6 20 <i>U</i>
	60 41,4	16 32,3	14 21,5 <i>U</i>	39 20,0	11 3,3	19 32 <i>A</i>	17 50 <i>A</i>
27	60 21,8	16 26,9	2 50,0 <i>O</i>	46 58,5	12 54,4	10 20 <i>U</i>	6 22 <i>U</i>
	59 59,2	16 20,5	15 18,5 <i>U</i>	54 37,3	14 30,9	20 10 <i>A</i>	17 48 <i>A</i>
28	59 34,6	16 14,1	3 46,9 <i>O</i>	62 15,3	15 51,3	11 33 <i>U</i>	6 24 <i>U</i>
	59 8,3	16 6,9	16 15,3 <i>U</i>	69 51,6	16 54,5	20 53 <i>A</i>	17 45 <i>A</i>
29	58 41,3	15 59,6	4 43,5 <i>O</i>	77 24,7	17 40,0	12 39 <i>U</i>	6 25 <i>U</i>
	58 14,0	15 52,1	17 11,3 <i>U</i>	84 53,1	18 7,9	21 42 <i>A</i>	17 43 <i>A</i>
30	57 47,2	15 44,8	5 38,8 <i>O</i>	92 15,5	18 18,4	13 35 <i>U</i>	6 27 <i>U</i>
	57 21,0	15 37,7	18 5,8 <i>U</i>	99 30,5	18 12,2	22 37 <i>A</i>	17 40 <i>A</i>
31	56 56,1	15 30,9	6 32,2 <i>O</i>	106 37,7	+ 17 50,3	14 23 <i>U</i>	6 29 <i>U</i>
	56 32,2	15 24,4	18 58,0 <i>U</i>	113 36,1	17 13,5	23 37 <i>A</i>	17 38 <i>A</i>

☾ Perig. Mrz. 24 12^h

APRIL 1830.

Wahrer Berliner Mittag.

Monats- und Wochentag.		Mittl. Zeit.	Gr. Aufst. ☉	Abweichg. ☉	Log. μ .	Culm. Dauer ☉ Sternzeit.
1	♈	^h 0 ['] 4 ["] 4,52	^h 0 ['] 41 ["] 17,25	+	4 [°] 26 ['] 45,5	2 ['] 8,88
2	♀	3 46,25	44 55,47		49 51,9	8,91
3	♊	3 28,08	48 33,81		5 12 53,1	8,95
4	☉	0 3 10,04	0 52 12,27	+	5 35 48,8	2 8,99
5	♋	2 52,15	55 50,88		58 38,5	9,04
6	♊	2 34,42	59 29,66		6 21 22,0	9,10
7	♀	2 16,87	1 3 8,62		43 58,9	9,16
8	♈	1 59,54	6 47,80		7 6 28,9	9,23
9	♀	1 42,45	10 27,22		28 51,7	9,30
10	♊	1 25,62	14 6,89		51 6,9	9,38
11	☉	0 1 9,07	1 17 46,84	+	8 13 14,3	2 9,46
12	♋	0 52,81	21 27,09		35 13,6	9,54
13	♊	0 36,86	25 7,65		57 4,3	9,63
14	♀	0 21,24	28 48,54		9 18 46,2	9,73
15	♈	0 5,97	32 29,79		40 18,9	9,83
16	♀	23 59 51,07	36 11,40	10	1 42,2	9,94
17	♊	59 36,55	39 53,39		22 55,6	10,05
18	☉	23 59 22,42	1 43 35,78	+	10 43 58,9	2 10,16
19	♋	59 8,70	47 18,57		11 4 51,7	10,28
20	♊	58 55,40	51 1,79		25 33,6	10,40
21	♀	58 42,54	54 45,45		46 4,4	10,53
22	♈	58 30,11	58 29,54	12	6 23,6	10,65
23	♀	58 18,13	2 2 14,08		26 31,0	10,78
24	♊	58 6,61	5 59,07		46 26,2	10,92
25	☉	23 57 55,55	2 9 44,53	+	13 6 8,8	2 11,06
26	♋	57 44,96	13 30,46		25 38,5	11,20
27	♊	57 34,86	17 16,88		44 54,9	11,34
28	♀	57 25,25	21 3,79	14	3 57,8	11,49
29	♈	57 16,11	24 51,19		22 46,8	11,64
30	♀	57 7,47	28 39,09		41 21,6	11,80

APRIL 1830.

Mittlerer Berliner Mittag.

Monats- und Jahrestag.		Sternzeit.	Länge ☉	Breite ☉	L. v. Fad. v. ☉	Halbm. ☉
1	91	^h 0 37' 12,06	11° 13' 55,0	— 0,61	0,0000336	16' 1,25
2	92	41 8,61	12 13 0,8	— 0,54	0,0001563	0,97
3	93	45 5,16	13 12 4,3	— 0,44	0,0002791	0,69
4	94	0 49 1,72	14 11 5,5	— 0,33	0,0004021	16 0,41
5	95	52 58,27	15 10 4,5	— 0,20	0,0005252	0,14
6	96	56 54,82	16 9 1,4	— 0,07	0,0006486	15 59,86
7	97	1 0 51,37	17 7 56,1	+ 0,05	0,0007723	59,59
8	98	4 47,93	18 6 48,7	+ 0,16	0,0008962	59,32
9	99	8 44,48	19 5 39,4	+ 0,25	0,0010202	59,05
10	100	12 41,03	20 4 28,1	+ 0,33	0,0011444	58,78
11	101	1 16 37,58	21 3 15,0	+ 0,38	0,0012688	15 58,51
12	102	20 34,14	22 2 0,0	+ 0,40	0,0013931	58,24
13	103	24 30,69	23 0 43,3	+ 0,40	0,0015172	57,97
14	104	28 27,24	23 59 24,9	+ 0,38	0,0016410	57,70
15	105	32 23,79	24 58 4,8	+ 0,32	0,0017645	57,43
16	106	36 20,35	25 56 43,0	+ 0,24	0,0018875	57,16
17	107	40 16,90	26 55 19,5	+ 0,14	0,0020097	56,90
18	108	1 44 13,45	27 53 54,3	+ 0,01	0,0021309	16 56,63
19	109	48 10,00	28 52 27,4	— 0,10	0,0022511	56,37
20	110	52 6,56	29 50 58,8	— 0,21	0,0023702	56,11
21	111	56 3,11	30 49 28,5	— 0,33	0,0024882	55,85
22	112	59 59,67	31 47 56,4	— 0,45	0,0026048	55,60
23	113	2 3 56,22	32 46 22,4	— 0,53	0,0027199	55,35
24	114	7 52,77	33 44 46,6	— 0,59	0,0028336	55,10
25	115	2 11 49,32	34 43 8,8	— 0,63	0,0029459	15 54,85
26	116	15 45,88	35 41 29,1	— 0,64	0,0030568	54,61
27	117	19 42,43	36 39 47,4	— 0,61	0,0031663	54,37
28	118	23 38,98	37 38 3,7	— 0,56	0,0032746	54,12
29	119	27 35,53	38 36 18,0	— 0,50	0,0033817	53,88
30	120	31 32,09	39 34 30,2	— 0,42	0,0034875	53,64

APRIL 1830.

Mittlerer Mittag und Mitternacht.

Monatstag.	Länge (Breite (Gr. Aufst. (Abweichg. (
1 ^h 0	115° 14' 17,3	— 4° 15' 46,7	116° 23' 11,0	+ 16° 54' 44,1
12	121 34 25,5	3 53 43,7	122 55 21,5	16 1 30,2
2 0	127 49 57,5	3 29 8,2	129 19 21,4	14 57 18,5
12	134 1 24,0	3 2 21,2	135 35 27,8	13 43 19,4
3 0	140 9 13,6	2 33 43,8	141 44 6,1	12 20 44,0
12	146 13 54,8	2 3 36,7	147 45 52,6	10 50 42,0
4 0	152 15 56,6	1 32 20,3	153 41 31,8	9 14 21,4
12	158 15 45,5	1 0 15,0	159 31 52,9	7 32 48,5
5 0	164 13 46,2	— 0 27 41,1	165 17 48,7	5 47 7,9
12	170 10 21,8	+ 0 5 1,8	171 0 14,7	3 58 23,2
6 0	176 5 54,2	+ 0 37 33,8	176 40 8,1	+ 2 7 36,1
12	182 0 42,8	1 9 35,7	182 18 26,0	+ 0 15 48,2
7 0	187 55 6,7	1 40 48,4	187 56 5,9	— 1 36 0,5
12	193 49 22,6	2 10 53,5	193 34 3,6	3 26 49,2
8 0	199 43 46,0	2 39 32,6	199 13 12,4	5 15 38,0
12	205 38 31,9	3 6 28,6	204 54 23,9	7 1 26,5
9 0	211 33 54,8	3 31 25,2	210 38 26,5	8 43 13,9
12	217 30 8,3	3 54 6,6	216 26 3,4	10 19 59,5
10 0	223 27 27,9	4 14 18,4	222 17 55,1	11 50 42,9
12	229 26 6,8	4 31 46,5	228 14 33,3	13 14 23,7
11 0	235 26 21,9	+ 4 46 19,2	234 16 26,0	— 14 30 2,0
12	241 28 29,3	4 57 44,9	240 23 51,6	15 36 39,2
12 0	247 32 46,3	5 5 54,2	246 37 0,3	16 33 18,1
12	253 39 32,4	5 10 38,3	252 55 54,2	17 19 3,7
13 0	259 49 8,1	5 11 49,7	259 20 25,7	17 53 8,3
12	266 1 56,0	5 9 23,2	265 50 19,5	18 14 42,8
14 0	272 18 18,2	5 3 14,1	272 25 10,9	18 23 8,6
12	278 38 38,9	4 53 19,7	279 4 29,6	18 17 53,2
15 0	285 3 23,0	4 39 39,4	285 47 42,2	17 58 32,4
12	291 32 54,2	4 22 14,8	292 34 11,8	17 24 52,0
16 0	298 7 35,9	+ 4 1 10,5	299 23 23,2	— 16 36 48,6
12	304 47 50,5	3 36 33,1	306 14 46,4	15 34 31,9

○ Apr. 7 20^h 24,4○ Apr. 15 19^h 42,7

APRIL 1830.

Mittlerer Mittag und Mitternacht.			☾ im Meridian.			Auf- und Untergang.	
	Par. ☾	Halbm. ☾	Mittl. Zeit.	Gr. Aufst.	Abweichg.	☾	☉
1	56° 10,3	15° 18,4	^h 7 23,3 <i>O</i>	^o 120 25,6	+ ^o 16 23,2	15 ^h 2' <i>U</i>	^h 6 30' <i>U</i>
	55 49,8	15 12,8	19 47,9 <i>U</i>	127 5,8	15 20,9	* *	17 36 <i>A</i>
2	55 31,3	15 7,8	8 12,0 <i>O</i>	133 37,2	14 7,7	0 39 <i>A</i>	6 32 <i>U</i>
	55 14,4	15 3,2	20 35,5 <i>U</i>	140 0,0	12 45,0	15 36 <i>U</i>	17 33 <i>A</i>
3	54 59,4	14 59,1	8 58,5 <i>O</i>	146 15,2	11 14,0	1 42 <i>A</i>	6 34 <i>U</i>
	54 45,9	14 55,4	21 21,0 <i>U</i>	152 23,4	9 36,1	16 4 <i>U</i>	17 31 <i>A</i>
4	54 34,4	14 52,3	9 43,0 <i>O</i>	158 25,6	7 52,5	2 46 <i>A</i>	6 35 <i>U</i>
	54 24,5	14 49,6	22 4,8 <i>U</i>	164 22,7	6 4,3	16 29 <i>U</i>	17 28 <i>A</i>
5	54 15,7	14 47,2	10 26,3 <i>O</i>	170 15,8	4 12,7	3 50 <i>A</i>	6 37 <i>U</i>
	54 8,7	14 45,3	22 47,7 <i>U</i>	176 6,0	2 18,8	16 52 <i>U</i>	17 26 <i>A</i>
6	54 3,5	14 43,9	11 8,9 <i>O</i>	181 54,4	+ 0 23,7	4 53 <i>A</i>	6 39 <i>U</i>
	53 59,2	14 42,7	23 30,1 <i>U</i>	187 42,1	- 1 31,4	17 14 <i>U</i>	17 24 <i>A</i>
7	53 56,5	14 41,9	11 51,2 <i>O</i>	193 30,0	3 25,5	5 56 <i>A</i>	6 41 <i>U</i>
	53 54,8	14 41,5	* *	* *	* *	17 36 <i>U</i>	17 22 <i>A</i>
8	53 54,8	14 41,5	0 12,4 <i>U</i>	199 19,1	5 17,5	6 59 <i>A</i>	6 43 <i>U</i>
	53 56,2	14 41,9	12 33,8 <i>O</i>	205 10,5	7 6,3	17 59 <i>U</i>	17 19 <i>A</i>
9	53 58,9	14 42,6	0 55,4 <i>U</i>	211 5,1	8 50,9	8 2 <i>A</i>	6 44 <i>U</i>
	54 3,1	14 43,8	13 17,3 <i>O</i>	217 3,7	10 30,0	18 24 <i>U</i>	17 17 <i>A</i>
10	54 8,5	14 45,2	1 39,5 <i>U</i>	223 7,0	12 2,6	9 5 <i>A</i>	6 46 <i>U</i>
	54 15,6	14 47,1	14 2,1 <i>O</i>	229 15,6	13 27,6	18 53 <i>U</i>	17 15 <i>A</i>
11	54 24,2	14 49,5	2 25,0 <i>U</i>	235 30,1	- 14 44,1	10 6 <i>A</i>	6 48 <i>U</i>
	54 34,2	14 52,2	14 48,3 <i>O</i>	241 50,6	15 50,9	19 25 <i>U</i>	17 13 <i>A</i>
12	54 45,6	14 55,3	3 12,1 <i>U</i>	248 17,6	16 46,7	11 6 <i>A</i>	6 50 <i>U</i>
	54 59,5	14 59,1	15 36,3 <i>O</i>	254 50,8	17 30,6	20 4 <i>U</i>	17 10 <i>A</i>
13	55 15,1	15 3,4	4 0,9 <i>U</i>	261 30,3	18 1,7	12 1 <i>A</i>	6 51 <i>U</i>
	55 32,2	15 8,0	16 25,8 <i>O</i>	268 15,5	18 19,3	20 49 <i>U</i>	17 8 <i>A</i>
14	55 51,0	15 13,1	4 51,1 <i>U</i>	275 6,2	18 22,6	12 52 <i>A</i>	6 53 <i>U</i>
	56 11,9	15 18,8	17 16,8 <i>O</i>	282 1,5	18 11,1	21 43 <i>U</i>	17 5 <i>A</i>
15	56 34,1	15 24,9	5 42,7 <i>U</i>	289 0,6	17 44,2	13 38 <i>A</i>	6 54 <i>U</i>
	56 57,9	15 31,4	18 8,8 <i>O</i>	296 3,2	17 2,1	22 44 <i>U</i>	17 3 <i>A</i>
16	57 23,2	15 38,3	6 35,2 <i>U</i>	303 8,7	- 16 4,4	14 18 <i>A</i>	6 56 <i>U</i>
	57 49,7	15 45,5	19 1,7 <i>O</i>	310 16,5	14 51,8	23 52 <i>U</i>	17 1 <i>A</i>

☾ Apog. Apr. 7 18^h

APRIL 1830.

Mittlerer Mittag und Mitternacht.

Monatstag.	Länge (Breite (Gr. Aufst. (Abweichg. (
16 0 ^h	298° 7' 35,9	+ 4° 1' 10,5	299° 23' 23,2	— 16° 36' 48,6
12	304 47 50,5	3 36 33,1	306 14 46,4	15 34 31,9
17 0	311 33 55,4	3 8 33,5	313 7 54,8	14 18 24,6
12	318 26 6,6	2 37 27,0	320 2 33,0	12 49 2,7
18 0	325 24 32,7	2 3 32,8	326 58 33,3	11 7 18,6
12	332 29 16,1	1 27 15,5	333 55 58,4	9 14 20,4
19 0	339 40 11,4	0 49 5,1	340 55 1,4	7 11 31,8
12	346 57 3,3	+ 0 9 37,4	347 56 3,1	5 0 33,1
20 0	354 19 25,5	— 0 30 27,9	354 59 30,3	2 43 21,7
12	1 46 40,5	1 10 25,9	2 5 53,3	— 0 22 9,3
21 0	9 17 58,9	— 1 49 29,8	9 15 42,0	+ 2 0 38,2
12	16 52 22,5	2 26 51,1	16 29 23,0	4 22 26,3
22 0	24 28 40,6	3 1 43,2	23 47 12,0	6 40 32,3
12	32 5 40,0	3 33 21,1	31 9 14,6	8 52 15,6
23 0	39 42 0,9	4 1 6,9	38 35 17,3	10 54 59,1
12	47 16 23,5	4 24 29,5	46 4 46,7	12 46 17,5
24 0	54 47 32,8	4 43 5,2	53 36 49,2	14 24 3,8
12	62 14 18,9	4 56 40,2	61 10 9,3	15 46 36,8
25 0	69 35 43,0	5 5 8,9	68 43 16,0	16 52 38,5
12	76 50 56,3	5 8 34,8	76 14 25,4	17 41 22,3
26 0	83 59 23,2	— 5 7 7,3	83 41 49,3	+ 18 12 31,6
12	91 0 40,0	5 1 2,1	91 3 42,3	18 26 16,7
27 0	97 54 36,4	4 50 38,4	98 18 31,1	18 23 12,9
12	104 41 12,4	4 36 19,4	105 24 58,1	18 4 13,6
28 0	111 20 39,7	4 18 28,8	112 22 9,2	17 30 27,6
12	117 53 17,2	3 57 31,4	119 9 30,8	16 43 10,7
29 0	124 19 28,6	3 33 52,2	125 46 50,8	15 43 46,6
12	130 39 45,0	3 7 55,2	132 14 18,9	14 33 38,5
30 0	136 54 40,2	2 40 4,4	138 32 21,6	13 14 8,0
12	143 4 50,4	2 10 41,9	144 41 39,8	11 46 34,3
31 0	149 10 52,6	— 1 40 9,5	150 43 4,4	+ 10 12 12,1
12	155 13 24,8	1 8 47,5	156 37 35,2	8 32 12,1

● Apr. 22 12^h 18,7○ Apr. 29 8^h 44,7

APRIL 1830.

Mittlerer Mittag und Mitternacht.			☾ im Meridian.			Auf- und Untergang.	
	Par. ☾	Halbm. ☾	Mittl. Zeit.	Gr. Aufst.	Abweichg.	☾	☉
16	57' 23,2	15' 38,3	^h 6 35,2 <i>U</i>	303° 8,7	— 16° 4,4	^h 14 18' <i>A</i>	^h 6 56' <i>U</i>
	57' 49,7	15 45,5	19 1,7 <i>O</i>	310 16,5	14 51,8	23 52 <i>U</i>	17 1 <i>A</i>
17	58 16,6	15 52,8	7 28,3 <i>U</i>	317 25,7	13 24,3	14 53 <i>A</i>	6 58 <i>U</i>
	58 44,0	16 0,3	19 54,9 <i>O</i>	324 36,6	11 43,3	* *	16 59 <i>A</i>
18	59 10,7	16 7,6	8 21,7 <i>U</i>	331 49,0	9 49,5	1 5 <i>U</i>	7 0 <i>U</i>
	59 37,0	16 14,7	20 48,6 <i>O</i>	339 3,4	7 44,9	15 25 <i>A</i>	16 57 <i>A</i>
19	60 1,6	16 21,4	9 15,7 <i>U</i>	346 19,7	5 30,9	2 23 <i>U</i>	7 1 <i>U</i>
	60 24,0	16 27,5	21 42,9 <i>O</i>	353 38,7	3 9,9	15 55 <i>A</i>	16 55 <i>A</i>
20	60 43,1	16 32,7	10 10,3 <i>U</i>	1 0,7	— 0 43,8	3 43 <i>U</i>	7 3 <i>U</i>
	60 58,9	16 37,0	22 37,9 <i>O</i>	8 26,5	+ 1 44,3	16 24 <i>A</i>	16 53 <i>A</i>
21	61 10,5	16 40,2	11 5,8 <i>U</i>	15 56,7	+ 4 11,8	5 6 <i>U</i>	7 5 <i>U</i>
	61 17,7	16 42,2	23 34,1 <i>O</i>	23 31,4	6 35,6	16 53 <i>A</i>	16 51 <i>A</i>
22	61 19,7	16 42,7	12 2,7 <i>U</i>	31 11,1	8 53,2	6 29 <i>U</i>	7 7 <i>U</i>
	61 17,1	16 42,0	* *	* *	* *	17 25 <i>A</i>	16 49 <i>A</i>
23	61 9,2	16 39,9	0 31,6 <i>O</i>	38 55,0	11 0,1	7 52 <i>U</i>	7 8 <i>U</i>
	60 56,7	16 36,4	13 0,8 <i>U</i>	46 43,0	12 55,1	18 1 <i>A</i>	16 46 <i>A</i>
24	60 39,9	16 31,9	1 30,1 <i>O</i>	54 33,5	14 35,3	9 10 <i>U</i>	7 10 <i>U</i>
	60 19,4	16 26,3	13 59,5 <i>U</i>	62 25,5	15 58,7	18 43 <i>A</i>	16 44 <i>A</i>
25	59 55,7	16 19,8	2 28,9 <i>O</i>	70 16,8	17 4,1	10 22 <i>U</i>	7 11 <i>U</i>
	59 29,6	16 12,7	14 58,0 <i>U</i>	78 5,5	17 50,5	19 31 <i>A</i>	16 42 <i>A</i>
26	59 1,7	16 5,1	3 26,9 <i>O</i>	85 49,5	+ 18 18,2	11 25 <i>U</i>	7 13 <i>U</i>
	58 33,2	15 57,3	15 55,4 <i>U</i>	93 26,5	18 26,8	20 25 <i>A</i>	16 40 <i>A</i>
27	58 4,2	15 49,4	4 23,3 <i>O</i>	100 55,4	18 17,9	12 19 <i>U</i>	7 15 <i>U</i>
	57 35,2	15 41,5	16 50,5 <i>U</i>	108 14,3	17 52,2	21 25 <i>A</i>	16 38 <i>A</i>
28	57 7,0	15 33,9	5 17,0 <i>O</i>	115 22,8	17 11,3	13 2 <i>U</i>	7 17 <i>U</i>
	56 40,5	15 26,6	17 42,8 <i>U</i>	122 19,8	16 16,4	22 28 <i>A</i>	16 36 <i>A</i>
29	56 15,3	15 19,8	6 7,8 <i>O</i>	129 6,0	15 9,3	13 38 <i>U</i>	7 18 <i>U</i>
	55 52,3	15 13,5	18 32,1 <i>U</i>	135 41,3	13 51,5	23 33 <i>A</i>	16 34 <i>A</i>
30	55 31,2	15 7,7	6 55,8 <i>O</i>	142 6,7	12 24,5	14 8 <i>U</i>	7 20 <i>U</i>
	55 12,4	15 2,6	19 18,8 <i>U</i>	148 22,8	10 49,8	* *	16 31 <i>A</i>
31	54 55,9	14 58,2	7 41,3 <i>O</i>	154 30,9	+ 9 8,7	0 37 <i>A</i>	7 23 <i>U</i>
	54 41,2	14 54,1	20 3,3 <i>U</i>	160 32,2	7 22,5	14 35 <i>U</i>	16 29 <i>A</i>

☾ Perig. Apr. 21 23^h

MAI 1830.

Wahrer Berliner Mittag.

Monats- und Wochentag.	Mittl. Zeit.	Gr. Aufst. ☉	Abweichg. ☉	Log. μ .	Culm. Dauer ☉ Sternzeit.
1 \bar{h}	^h 23 56' 59,35	^h 2 32' 27,51	+ 14° 59' 41,8	3,33957	2' 11,96
2 ☉	23 56 51,75	2 36 16,45	+ 15 17 47,2	3,33357	2 12,11
3 ☾	56 44,68	40 5,92	35 37,4	3,32736	12,27
4 ♂	56 38,15	43 55,92	53 12,2	3,32092	12,43
5 ♀	56 32,16	47 46,46	16 10 31,1	3,31425	12,59
6 ♄	56 26,73	51 37,56	27 34,0	3,30737	12,75
7 ♀	56 21,87	55 29,23	44 20,5	3,30025	12,92
8 \bar{h}	56 17,57	59 21,48	17 0 50,4	3,29288	13,08
9 ☉	23 56 13,84	3 3 14,29	+ 17 17 3,3	3,28522	2 13,24
10 ☾	56 10,69	7 7,69	32 58,9	3,27731	13,41
11 ♂	56 8,13	11 1,68	48 37,0	3,26914	13,58
12 ♀	56 6,15	14 56,25	18 3 57,3	3,26067	13,74
13 ♄	56 4,77	18 51,42	18 59,5	3,25190	13,90
14 ♀	56 3,98	22 47,18	33 43,4	3,24282	14,07
15 \bar{h}	56 3,78	26 43,54	48 8,6	3,23338	14'23
16 ☉	23 56 4,17	3 30 40,49	+ 19 2 14,9	3,22360	2 14,39
17 ☾	56 5,15	34 38,03	16 2,0	3,21344	14,56
18 ♂	56 6,71	38 36,15	29 29,6	3,20289	14,72
19 ♀	56 8,84	42 34,84	42 37,5	3,19193	14,87
20 ♄	56 11,54	46 34,10	55 25,3	3,18050	15,03
21 ♀	56 14,79	50 33,92	20 7 52,8	3,16862	15,18
22 \bar{h}	56 18,59	54 34,28	19 59,7	3,15628	15,33
23 ☉	23 56 22,92	3 58 35,18	+ 20 31 45,9	3,14345	2 15,48
24 ☾	56 27,78	4 2 36,60	43 11,1	3,13004	15,63
25 ♂	56 33,14	6 38,54	54 15,0	3,11601	15,77
26 ♀	56 39,00	10 40,97	21 4 57,3	3,10133	15,91
27 ♄	56 45,33	14 43,87	15 17,8	3,08600	16,05
28 ♀	56 52,13	18 47,24	25 16,3	3,06997	16,19
29 \bar{h}	56 59,37	22 51,06	34 52,6	3,05312	16,32
30 ☉	23 57 7,05	4 26 55,31	+ 21 44 6,4	3,03547	2 16,44
31 ☾	57 15,15	30 59,99	52 57,7	3,01691	16,56

MAI 1830.

Mittlerer Berliner Mittag.

Monats- und Jahrestag.	Sternzeit.	Länge ☉	Breite ☉	Lg. Rad. v. ☉	Halbm. ☉
1 121	^h 2 35' 28,64	40° 32' 40,4	— 0,31	0,0035924	15' 53,40
2 122	2 39 25,20	41 30 48,7	— 0,18	0,0036963	15 53,16
3 123	43 21,75	42 28 55,0	— 0,05	0,0037994	52,93
4 124	47 18,31	43 26 59,4	+ 0,08	0,0039016	52,71
5 125	51 14,86	44 25 2,0	+ 0,19	0,0040031	52,48
6 126	55 11,41	45 23 2,8	+ 0,29	0,0041039	52,26
7 127	59 7,96	46 21 1,9	+ 0,37	0,0042041	52,04
8 128	3 3 4,52	47 18 59,5	+ 0,44	0,0043035	51,82
9 129	3 7 1,07	48 16 55,5	+ 0,47	0,0044022	15 51,61
10 130	10 57,63	49 14 50,1	+ 0,47	0,0045000	51,40
11 131	14 54,18	50 12 43,3	+ 0,44	0,0045970	51,19
12 132	18 50,74	51 10 35,2	+ 0,39	0,0046930	50,99
13 133	22 47,29	52 8 25,8	+ 0,31	0,0047880	50,79
14 134	26 43,85	53 6 15,1	+ 0,21	0,0048817	50,59
15 135	30 40,40	54 4 3,3	+ 0,09	0,0049741	50,39
16 136	3 34 36,96	55 1 50,3	— 0,03	0,0050649	15 50,19
17 137	38 33,51	55 59 36,3	— 0,14	0,0051541	50,01
18 138	42 30,07	56 57 21,1	— 0,25	0,0052415	49,82
19 139	46 26,62	57 55 4,7	— 0,35	0,0053270	49,64
20 140	50 23,18	58 52 47,2	— 0,45	0,0054104	49,45
21 141	54 19,73	59 50 28,5	— 0,53	0,0054917	49,27
22 142	58 16,29	60 48 8,6	— 0,57	0,0055709	49,10
23 143	4 2 12,84	61 45 47,4	— 0,58	0,0056479	15 48,93
24 144	6 9,40	62 43 25,0	— 0,57	0,0057227	48,76
25 145	10 5,96	63 41 1,3	— 0,53	0,0057954	48,60
26 146	14 2,52	64 38 36,3	— 0,47	0,0058659	48,45
27 147	17 59,07	65 36 10,0	— 0,38	0,0059343	48,30
28 148	21 55,64	66 33 42,3	— 0,27	0,0060008	48,15
29 149	25 52,18	67 31 13,2	— 0,15	0,0060654	48,01
30 150	4 29 48,74	68 28 42,8	— 0,02	0,0061282	15 47,88
31 151	33 45,29	69 26 11,1	+ 0,10	0,0061893	47,74

MAI 1830.

Mittlerer Mittag und Mitternacht.

Monatstag.	Länge (Breite (Gr. Aufst. (Abweichg. (
1 ^h 0	149° 10' 52,4	— 1° 40' 9,7	150° 43' 4,2	+ 10° 12' 11,9
12	155 13 25,0	1 8 47,4	156 37 35,5	8 32 12,2
2 0	161 13 4,4	0 36 55,6	162 26 17,1	6 47 41,3
12	167 10 26,8	— 0 4 53,1	168 10 17,0	4 59 41,9
3 0	173 6 7,8	+ 0 27 1,2	173 50 45,2	3 9 14,1
12	179 0 39,1	0 58 29,9	179 28 50,8	+ 1 17 17,3
4 0	184 54 29,2	1 29 14,9	185 5 40,1	— 0 35 11,3
12	190 48 7,0	1 58 58,1	190 42 20,7	2 27 15,7
5 0	196 41 57,9	2 27 23,1	196 19 57,1	4 17 57,7
12	202 36 23,2	2 54 13,8	201 59 28,6	6 6 19,3
6 0	208 31 43,2	+ 3 19 13,3	207 41 51,6	— 7 51 20,2
12	214 28 13,2	3 42 4,9	213 27 54,8	9 32 0,0
7 0	220 26 9,7	4 2 33,8	219 18 23,7	11 7 16,8
12	226 25 43,4	4 20 26,3	225 13 53,5	12 36 4,9
8 0	232 27 6,2	4 35 28,6	231 14 52,5	13 57 22,1
12	238 30 26,0	4 47 28,5	237 21 37,0	15 10 4,1
9 0	244 35 52,5	4 56 16,1	243 34 15,2	16 13 8,3
12	250 43 32,3	5 1 41,5	249 52 41,3	17 5 36,2
10 0	256 53 32,9	5 3 38,7	256 16 38,9	17 46 31,6
12	263 6 3,1	5 2 1,4	262 45 41,8	18 15 6,7
11 0	269 21 11,5	+ 4 56 47,0	269 19 13,6	— 18 30 39,5
12	275 39 7,9	4 47 54,4	275 56 30,6	18 32 37,9
12 0	282 0 4,3	4 35 24,5	282 36 46,2	18 20 39,9
12	288 24 13,5	4 19 21,3	289 19 12,2	17 54 34,2
13 0	294 51 48,2	3 59 50,4	296 3 1,8	17 14 22,1
12	301 23 6,2	3 37 1,3	302 47 38,2	16 20 15,1
14 0	308 58 22,4	3 11 4,4	309 32 30,7	15 12 38,8
12	314 37 53,7	2 42 15,0	316 17 20,9	13 52 8,2
15 0	321 21 57,1	2 10 50,3	323 2 4,5	12 19 30,9
12	328 10 45,3	1 37 12,3	329 46 46,7	10 35 44,9
16 0	335 4 31,9	+ 1 1 44,4	336 31 50,0	— 8 42 0,6
12	342 3 25,5	0 24 55,5	343 17 46,1	6 39 37,5

○ Mai 7 12^h 52,9○ Mai 15 5^h 7,5

MAI 1830.

Mittlerer Mittag und Mitternacht.			☾ im Meridian.			Auf- und Untergang.	
	Par. ☾	Halbm. ☾	Mittl. Zeit.	Gr. Aufst.	Abweichg.	☾	☉
1	54 55,9	14 58,2	7 ^h 41,3 O	154 30,9	+ 9 8,7	0 37 A	7 23 U
	54 41,2	14 54,1	20 3,3 U	160 32,2	7 22,5	14 35 U	16 29 A
2	54 28,9	14 50,8	8 25,0 O	166 28,0	5 32,3	1 41 A	7 25 U
	54 18,8	14 48,0	20 46,4 U	172 19,5	3 39,1	14 58 U	16 27 A
3	54 10,7	14 45,8	9 7,6 O	178 8,0	+ 1 44,1	2 45 A	7 27 U
	54 4,8	14 44,2	21 28,8 U	183 54,9	— 0 11,6	15 20 U	16 25 A
4	54 0,5	14 43,0	9 49,9 O	189 41,4	2 7,1	3 48 A	7 28 U
	53 58,1	14 42,4	22 11,1 U	195 28,8	4 1,3	15 42 U	16 24 A
5	53 57,3	14 42,2	10 32,2 O	201 18,0	5 53,2	4 51 A	7 30 U
	53 58,0	14 42,4	22 53,7 U	207 10,2	7 41,8	16 4 U	16 22 A
6	54 0,3	14 42,9	11 15,4 O	213 6,3	— 9 25,9	5 54 A	7 31 U
	54 4,0	14 44,0	23 37,5 U	219 7,4	11 4,4	16 28 U	16 20 A
7	54 9,4	14 45,5	11 59,9 O	225 13,9	12 36,1	6 57 A	7 33 U
	54 15,7	14 47,2	* *	* *	* *	16 55 U	16 18 A
8	54 23,1	14 49,2	0 22,9 U	231 26,5	13 59,8	8 0 A	7 35 U
	54 32,0	14 51,6	12 45,9 O	237 45,2	15 14,4	17 26 U	16 16 A
9	54 41,9	14 54,3	1 9,5 U	244 10,6	16 18,7	9 1 A	7 36 U
	54 53,1	14 57,4	13 33,5 O	250 42,3	17 11,6	18 3 U	16 15 A
10	55 5,2	15 0,7	1 58,0 U	257 20,2	17 52,0	9 58 A	7 38 U
	55 18,5	15 4,3	14 22,9 O	264 3,5	18 19,2	18 46 U	16 13 A
11	55 33,0	15 8,2	2 48,1 U	270 51,7	— 18 32,4	10 51 A	7 39 U
	55 48,6	15 12,5	15 13,5 O	277 43,8	18 30,8	19 37 U	16 11 A
12	56 5,1	15 17,0	3 39,1 U	284 39,0	18 14,1	11 38 A	7 41 U
	56 22,8	15 21,8	16 4,9 O	291 36,4	17 42,5	20 35 U	16 9 A
13	56 41,4	15 26,9	4 30,8 U	298 35,1	16 55,8	12 19 A	7 43 U
	57 1,2	15 32,3	16 56,8 O	305 34,5	15 54,5	21 40 U	16 8 A
14	57 21,8	15 37,9	5 22,7 U	312 33,8	14 38,3	12 55 A	7 44 U
	57 43,0	15 43,7	17 48,6 O	319 33,2	13 8,7	22 49 U	16 6 A
15	58 4,8	15 49,6	6 14,5 U	326 32,4	11 27,1	13 27 A	7 46 U
	58 27,2	15 55,7	18 40,4 O	333 31,9	9 34,3	* *	16 5 A
16	58 49,3	16 1,7	7 6,3 U	340 32,0	— 7 30,7	0 3 U	7 47 U
	59 10,9	16 7,6	19 32,4 O	347 33,6	5 18,9	13 56 A	16 3 A

☾ Apog. Mai 5 0^h

MAI 1830.

Mittlerer Mittag und Mitternacht.

Monatstag.		Länge (Breite (Gr. Aufst. (Abweichg. (
16	0 ^h	335° 4' 31,9	+ 1° 1' 44,4	336° 31' 50,0	— 8° 42' 0,6
	12	342 3 25,5	+ 0 24 55,5	343 17 46,1	6 39 37,5
17	0	349 7 29,0	— 0 12 42,3	350 5 16,9	4 30 8,0
	12	356 16 40,4	0 50 34,0	356 55 11,8	— 2 15 15,1
18	0	3 30 46,5	1 28 1,1	3 48 22,4	+ 0 3 5,7
	12	10 49 27,3	2 4 22,7	10 45 41,8	2 22 48,4
19	0	18 12 12,8	2 38 57,2	17 47 59,4	4 41 37,0
	12	25 38 20,9	3 11 3,5	24 55 53,9	6 57 5,9
20	0	33 6 59,9	3 40 1,6	32 9 49,8	9 6 45,6
	12	40 37 9,9	4 5 15,4	39 29 53,1	11 8 5,7
21	0	48 7 44,8	— 4 26 14,6	46 55 46,4	+ 12 58 40,4
	12	55 37 31,3	4 42 34,9	54 26 42,4	14 36 14,9
22	0	63 5 17,7	4 53 59,9	62 1 28,3	15 58 53,0
	12	70 29 54,1	5 0 22,2	69 38 25,3	17 5 1,9
23	0	77 50 14,4	5 1 42,1	77 15 32,2	17 53 37,4
	12	85 5 23,2	4 58 7,2	84 50 38,2	18 24 8,2
24	0	92 14 32,8	4 49 52,9	92 21 28,1	18 36 32,8
	12	99 17 9,2	4 37 19,3	99 45 57,1	18 31 20,3
25	0	106 12 49,9	4 20 50,8	107 2 17,6	18 9 24,3
	12	113 1 23,6	4 0 53,3	114 9 5,7	17 31 58,6
26	0	119 42 50,9	— 3 37 54,9	121 5 26,1	+ 16 40 29,4
	12	126 17 22,8	3 12 24,0	127 50 52,3	15 36 29,6
27	0	132 45 17,4	2 44 47,5	134 25 23,2	14 21 35,4
	12	139 7 1,6	2 15 31,9	140 49 21,8	12 57 20,4
28	0	145 23 6,1	1 45 1,9	147 3 28,4	11 25 14,2
	12	151 34 6,7	1 13 41,0	153 8 38,5	9 46 40,5
29	0	157 40 42,2	0 41 50,5	159 5 58,1	8 2 56,5
	12	163 43 31,9	— 0 9 51,7	164 56 38,4	6 15 12,6
30	0	169 43 17,1	+ 0 21 57,4	170 41 56,9	4 24 35,5
	12	175 40 38,0	0 53 18,4	176 23 11,4	2 32 5,4
31	0	181 36 14,4	+ 1 23 54,2	182 1 40,7	+ 0 38 40,0
	12	187 30 46,0	1 53 28,7	187 38 44,1	— 1 14 45,6

● Mai 21 20^h 3,1○ Mai 28 23^o 39,0

MAI 1830.

Mittlerer Mittag und Mitternacht.			☾ im Meridian.			Auf- und Untergang.	
	Par. ☾	Halbm. ☾	Mittl. Zeit.	Gr. Aufst.	Abweichg.	☾	☉
16	58 49,3 59 10,9	16 1,7 16 7,6	^h 6,3 <i>U</i> 19 32,4 <i>O</i>	^o 32,0 347 33,6	— ^o 7 30,7 5 18,9	^h 3 <i>U</i> 13 56 <i>A</i>	^h 7 47 <i>U</i> 16 3 <i>A</i>
17	59 31,9 59 51,7	16 13,3 16 18,7	7 58,6 <i>U</i> 20 25,1 <i>O</i>	354 37,5 1 44,7	3 0,7 — 0 38,4	1 20 <i>U</i> 14 24 <i>A</i>	7 49 <i>U</i> 16 2 <i>A</i>
18	60 9,0 60 24,0	16 23,5 16 27,5	8 51,8 <i>U</i> 21 18,8 <i>O</i>	8 56,3 16 13,0	+ 1 46,2 4 10,5	2 39 <i>U</i> 14 52 <i>A</i>	7 51 <i>U</i> 16 0 <i>A</i>
19	60 36,2 60 45,1	16 30,9 16 33,3	9 46,3 <i>U</i> 22 14,3 <i>O</i>	23 36,1 31 5,7	6 32,2 8 48,2	4 0 <i>U</i> 15 21 <i>A</i>	7 52 <i>U</i> 15 59 <i>A</i>
20	60 49,7 60 50,4	16 34,5 16 34,7	10 42,7 <i>U</i> 23 11,5 <i>O</i>	38 42,5 46 25,6	10 55,4 12 51,6	5 21 <i>U</i> 15 54 <i>A</i>	7 54 <i>U</i> 15 57 <i>A</i>
21	60 46,7 60 38,8	16 33,7 16 31,6	11 40,7 <i>U</i> * *	54 14,8 * *	+ 14 33,8 * *	6 42 <i>U</i> 16 32 <i>A</i>	7 55 <i>U</i> 15 56 <i>A</i>
22	60 26,8 60 10,7	16 28,3 16 23,9	0 10,2 <i>O</i> 12 39,9 <i>U</i>	62 8,0 70 3,9	15 59,9 17 8,1	7 59 <i>U</i> 17 17 <i>A</i>	7 57 <i>U</i> 15 55 <i>A</i>
23	59 51,2 59 29,0	16 18,6 16 12,6	1 9,6 <i>O</i> 13 39,1 <i>U</i>	77 59,6 85 52,9	17 57,3 18 26,8	9 8 <i>U</i> 18 9 <i>A</i>	7 58 <i>U</i> 15 54 <i>A</i>
24	59 4,2 58 38,1	16 5,8 15 58,7	2 8,2 <i>O</i> 14 36,9 <i>U</i>	93 41,2 101 21,6	18 36,8 18 28,0	10 8 <i>U</i> 19 7 <i>A</i>	8 0 <i>U</i> 15 52 <i>A</i>
25	58 10,9 57 43,3	15 51,3 15 43,8	3 4,9 <i>O</i> 15 32,1 <i>U</i>	108 52,8 116 12,7	18 1,3 17 18,2	10 57 <i>U</i> 20 11 <i>A</i>	8 1 <i>U</i> 15 51 <i>A</i>
26	57 15,8 56 48,7	15 36,2 15 28,9	3 58,7 <i>O</i> 16 24,4 <i>U</i>	123 21,0 130 16,8	+ 16 20,6 15 10,2	11 38 <i>U</i> 21 17 <i>A</i>	8 3 <i>U</i> 15 50 <i>A</i>
27	56 23,1 55 59,6	15 21,9 15 15,5	4 49,3 <i>O</i> 17 13,4 <i>U</i>	137 0,9 143 33,3	13 48,8 12 18,2	12 11 <i>U</i> 22 23 <i>A</i>	8 4 <i>U</i> 15 49 <i>A</i>
28	55 37,6 55 17,6	15 9,5 15 4,1	5 36,8 <i>O</i> 17 59,6 <i>U</i>	149 55,4 156 8,0	10 39,8 8 55,4	12 39 <i>U</i> 23 29 <i>A</i>	8 6 <i>U</i> 15 48 <i>A</i>
29	55 0,2 54 45,2	14 59,3 14 55,2	6 21,9 <i>O</i> 18 43,8 <i>U</i>	162 12,7 168 10,9	7 6,2 5 13,5	13 4 <i>U</i> * *	8 7 <i>U</i> 15 47 <i>A</i>
30	54 32,4 54 21,9	14 51,7 14 48,9	7 5,3 <i>O</i> 19 26,5 <i>U</i>	174 4,0 179 53,4	3 18,3 + 1 21,8	0 34 <i>A</i> 13 26 <i>U</i>	8 8 <i>U</i> 15 46 <i>A</i>
31	54 14,3 54 9,1	14 46,8 14 45,4	7 47,6 <i>O</i> 20 8,7 <i>U</i>	185 40,6 191 27,4	— 0 35,1 2 31,3	1 37 <i>A</i> 13 48 <i>U</i>	8 9 <i>U</i> 15 45 <i>A</i>

☾ Perig. Mai 20 ^h 8

JUNI 1830.

Wahrer Berliner Mittag.

Monats- und Wochentag.		Mittl. Zeit.	Gr. Aufst. ☉	Abweichg. ☉	Log. μ .	Culm. Dauer ☉ Sternzeit.
1	♂	^h 23 ['] 57 ["] 23,66	^h 4 ['] 35 ["] 5,08	+ 22 [°] 1' 26,1	2,99730	2' 16,68
2	♀	57 32,56	39 10,57	22 9 31,5	2,97663	16,78
3	♂	57 41,84	43 16,43	17 13,7	2,95477	16,89
4	♀	57 51,49	47 22,66	24 32,6	2,93166	17,00
5	♂	58 1,48	51 29,23	31 28,1	2,90703	17,10
6	☉	23 58 11,80	4 55 36,14	+ 22 37 59,9	2,88070	2 17,20
7	☾	58 22,45	59 43,38	44 7,9	2,85254	17,28
8	♂	58 33,41	5 3 50,93	49 52,0	2,82230	17,36
9	♀	58 44,67	7 58,77	55 12,1	2,78965	17,43
10	♂	58 56,19	12 6,88	23 0 8,1	2,75412	17,50
11	♀	59 7,96	16 15,24	4 39,8	2,71533	17,57
12	♂	59 19,97	20 23,85	8 47,3	2,67256	17,63
13	☉	23 59 32,20	5 24 32,67	+ 23 12 30,3	2,62480	2 17,68
14	☾	59 44,63	28 41,69	15 48,8	2,57101	17,72
15	♂	59 57,22	32 50,87	18 42,7	2,50947	17,76
16	♀	0 0 9,96	37 0,20	21 12,0	2,43775	17,80
17	♂	0 22,82	41 9,65	23 16,7	2,35141	17,82
18	♀	0 35,78	45 19,20	24 56,6	2,24304	17,84
19	♂	0 48,81	49 28,82	26 11,7	2,09864	17,86
20	☉	0 1 1,89	5 53 38,49	+ 23 27 2,1	1,88081	2 17,86
21	☾	1 14,98	57 48,17	27 27,7	1,41996	17,86
22	♂	1 28,05	6 1 57,83	27 28,4	1,30736	17,85
23	♀	1 41,07	6 7,45	27 4,4	1,86213	17,84
24	♂	1 54,02	10 16,99	26 15,6	2,08778	17,83
25	♀	2 6,88	14 26,44	25 2,0	2,23528	17,80
26	♂	2 19,61	18 35,77	23 23,7	2,34498	17,77
27	☉	0 2 32,20	6 22 44,95	+ 23 21 20,7	2,43233	2 17,73
28	☾	2 44,62	26 53,96	18 53,1	2,50488	17,68
29	♂	2 56,84	31 2,77	16 0,9	2,56691	17,63
30	♀	3 8,84	35 11,36	12 44,2	2,62086	17,57

JUNI 1830.

Mittlerer Berliner Mittag.

Monats- und Jahrestag.		Sternzeit.	Länge ☉	Breite ☉	Lg. Rad. v. ☉	Halbm. ☉
1	152	4 ^h 37' 41",85	70° 23' 38",2	+ 0",22	0,0062488	15' 47",60
2	153	41 38,41	71 21 4,1	+ 0,32	0,0063068	47,47
3	154	45 34,97	72 18 28,9	+ 0,41	0,0063633	47,34
4	155	49 31,52	73 15 52,6	+ 0,47	0,0064185	47,21
5	156	53 28,08	74 13 15,3	+ 0,51	0,0064724	47,09
6	157	4 57 24,64	75 10 37,0	+ 0,53	0,0065250	15 46,97
7	158	5 1 21,20	76 7 58,0	+ 0,52	0,0065763	46,86
8	159	5 17,75	77 5 18,3	+ 0,47	0,0066262	46,75
9	160	9 14,31	78 2 38,0	+ 0,39	0,0066747	46,65
10	161	13 10,86	78 59 57,0	+ 0,29	0,0067217	46,56
11	162	17 7,42	79 57 15,6	+ 0,17	0,0067672	46,47
12	163	21 3,98	80 54 33,8	+ 0,05	0,0068110	46,38
13	164	5 25 0,54	81 51 51,6	— 0,06	0,0068530	15 46,29
14	165	28 57,09	82 49 9,1	— 0,18	0,0068931	46,22
15	166	32 53,65	83 46 26,3	— 0,29	0,0069312	46,15
16	167	36 50,21	84 43 43,1	— 0,37	0,0069670	46,08
17	168	40 46,77	85 40 59,7	— 0,45	0,0070005	46,01
18	169	44 43,32	86 38 16,0	— 0,50	0,0070316	45,94
19	170	48 39,88	87 35 32,0	— 0,53	0,0070602	45,87
20	171	5 52 36,43	88 32 47,6	— 0,52	0,0070863	15 45,81
21	172	56 32,99	89 30 2,8	— 0,49	0,0071099	45,76
22	173	6 0 29,55	90 27 17,7	— 0,43	0,0071309	45,71
23	174	4 26,11	91 24 32,2	— 0,34	0,0071494	45,67
24	175	8 22,66	92 21 46,2	— 0,24	0,0071653	45,63
25	176	12 19,22	93 18 59,8	— 0,12	0,0071788	45,59
26	177	16 15,78	94 16 13,0	— 0,00	0,0071899	45,57
27	178	6 20 12,34	95 13 25,7	+ 0,13	0,0071987	15 45,55
28	179	24 8,89	96 10 37,9	+ 0,25	0,0072054	45,53
29	180	28 5,45	97 7 49,7	+ 0,37	0,0072100	45,52
30	181	32 2,01	98 5 1,2	+ 0,46	0,0072128	45,51

JUNI 1830.

Mittlerer Mittag und Mitternacht.

Monatstag.	Länge ζ	Breite ζ	Gr. Aufst. ζ	Abweichg. ζ
1 ^h 0	193° 24' 47,8	+ 2° 21' 46,0	193° 15' 36,2	— 3° 7' 16,4
12	199 18 54,7	2 48 29,8	198 53 30,3	4 57 59,0
2 0	205 13 37,9	3 13 25,8	204 33 35,6	6 45 57,1
12	211 9 25,5	3 36 18,7	210 16 55,9	8 30 13,6
3 0	217 6 43,9	3 56 54,1	216 4 30,2	10 9 49,6
12	223 5 55,2	4 14 57,7	221 57 9,3	11 43 43,1
4 0	229 7 16,5	4 30 15,9	227 55 33,1	13 10 49,8
12	235 11 3,9	4 42 36,6	234 0 13,6	14 30 3,7
5 0	241 17 29,3	4 51 47,4	240 11 28,9	15 40 18,8
12	247 26 40,0	4 57 38,7	246 29 22,3	16 40 28,5
6 0	253 38 41,8	+ 5 0 1,8	252 53 43,5	— 17 29 29,6
12	259 53 37,9	4 58 50,3	259 24 7,1	18 6 24,6
7 0	266 11 28,8	4 54 0,2	265 59 52,9	18 30 20,8
12	272 32 14,2	4 45 29,6	272 40 9,1	18 40 37,4
8 0	278 55 53,0	4 33 19,8	279 23 54,9	18 36 43,7
12	285 22 22,7	4 17 35,0	286 10 3,7	18 18 23,0
9 0	291 51 42,6	3 58 22,8	292 57 30,0	17 45 32,2
12	298 23 52,8	3 35 53,0	299 45 13,5	16 58 23,8
10 0	304 58 53,7	3 10 20,1	306 32 21,4	15 57 22,9
12	311 36 47,5	2 41 59,4	313 18 14,9	14 43 10,6
11 0	318 17 38,9	+ 2 11 10,8	320 2 31,1	— 13 16 37,9
12	325 1 31,9	1 38 17,0	326 45 1,7	11 38 47,5
12 0	331 48 32,9	1 3 42,7	333 25 55,9	9 50 51,5
12	338 38 48,8	+ 0 27 56,1	340 5 38,7	7 54 9,8
13 0	345 32 25,8	— 0 8 34,0	346 44 48,8	5 50 10,7
12	352 29 29,2	0 45 14,5	353 24 15,9	3 40 28,1
14 0	359 30 0,4	1 21 32,1	0 4 57,0	— 1 26 44,1
12	6 33 58,8	1 56 52,4	6 47 56,0	+ 0 49 12,9
15 0	13 41 19,5	2 30 39,7	13 34 18,0	3 5 28,4
12	20 51 50,5	3 2 17,4	20 25 4,5	5 20 2,2
16 0	28 5 13,2	— 3 31 11,8	27 21 10,1	+ 7 30 46,6
12	35 21 0,6	3 56 49,8	34 23 16,1	9 35 31,0

○ Jun. 6 3^h 11,1● Jun. 13 11^h 42,8

JUNI 1830.

Mittlerer Mittag und Mitternacht.			☾ im Meridian.			Auf- und Untergang.	
	Par. ☾	Halbm. ☾	Mittl. Zeit.	Gr. Aufst.	Abweichg.	☾	☉
1	54' 6,2	14' 44,6	^h 8 29,9 O	197° 14,7	— 4° 25,9	^h 2 41' A	^h 8 10' U
	54' 5,1	14' 44,3	20 51,2 U	203 4,2	6 17,9	14 10 U	15 45 A
2	54' 6,1	14' 44,6	9 12,6 O	208 56,8	8 6,3	3 44 A	8 11 U
	54' 9,2	14' 45,4	21 34,4 U	214 53,9	9 50,1	14 33 U	15 44 A
3	54' 14,2	14' 46,7	9 56,5 O	220 56,3	11 28,0	4 47 A	8 12 U
	54' 20,5	14' 48,4	22 19,1 U	227 5,0	12 59,0	14 58 U	15 43 A
4	54' 28,2	14' 50,6	10 42,1 O	233 20,4	14 21,9	5 50 A	8 13 U
	54' 37,5	14' 53,1	23 5,6 U	239 43,1	15 35,4	15 28 U	15 42 A
5	54' 47,8	14' 55,9	11 29,6 O	246 13,3	16 38,2	6 52 A	8 14 U
	54' 59,1	14' 59,0	23 54,0 U	252 50,6	17 29,1	16 2 U	15 41 A
6	55' 11,6	15' 2,4	12 18,9 O	259 34,4	— 18 7,2	7 52 A	8 15 U
	55' 24,6	15' 6,0	* *	* *	* *	16 43 U	15 41 A
7	55' 38,6	15' 9,8	0 44,2 U	266 24,4	18 31,3	8 48 A	8 16 U
	55' 52,9	15' 13,7	13 9,8 O	273 19,2	18 40,8	17 31 U	15 40 A
8	56' 7,5	15' 17,6	1 35,5 U	280 17,8	18 35,0	9 38 A	8 17 U
	56' 22,8	15' 21,8	14 1,6 O	287 18,9	18 13,9	18 28 U	15 40 A
9	56' 38,1	15' 23,0	2 27,7 U	294 21,1	17 36,9	10 22 A	8 17 U
	56' 53,6	15' 30,2	14 53,9 O	301 23,6	16 44,9	19 31 U	15 39 A
10	57' 9,1	15' 34,4	3 19,9 U	308 25,0	15 38,0	10 59 A	8 18 U
	57' 25,0	15' 38,8	15 45,9 O	315 25,2	14 17,3	20 40 U	15 39 A
11	57' 40,7	15' 43,0	4 11,7 U	322 23,3	— 12 43,6	11 32 A	8 19 U
	57' 56,6	15' 47,4	16 37,5 O	329 19,7	10 58,3	21 52 U	15 39 A
12	58' 11,9	15' 51,6	5 3,1 U	336 14,2	9 2,7	12 2 A	8 20 U
	58' 27,0	15' 55,7	17 28,6 O	343 7,8	6 58,4	23 6 U	15 39 A
13	58' 42,3	15' 59,8	5 54,1 U	350 1,1	4 46,9	12 29 A	8 20 U
	58' 56,5	16' 3,7	18 19,7 O	356 55,4	2 30,3	* *	15 39 A
14	59' 10,3	16' 7,5	6 45,4 U	3 51,5	— 0 10,2	0 23 U	8 21 U
	59' 22,9	16' 10,9	19 11,3 O	10 50,9	+ 2 11,0	12 55 A	15 38 A
15	59' 34,4	16' 14,0	7 37,5 U	17 54,8	4 31,4	1 40 U	8 21 U
	59' 44,5	16' 16,8	20 4,1 O	25 4,2	6 48,5	13 23 A	15 38 A
16	59' 52,2	16' 18,9	8 31,1 U	32 20,3	+ 9 0,1	2 59 U	8 22 U
	59' 58,1	16' 20,5	20 58,6 O	39 43,2	11 3,6	13 53 A	15 38 A

☾ Apog. Jun. 1 12^h

JUNI 1830.

Mittlerer Mittag und Mitternacht.

Monatstag.	Länge (Breite (Gr. Aufst. (Abweichg. (
16 ^h 0	28° 5' 13,2	— 3° 31' 11,8	27° 21' 10,1	+ 7° 30' 46,6
12	35 21 0,6	3 56 49,8	34 23 16,1	9 35 31,0
17 0	42 38 41,4	4 18 41,6	41 31 49,5	11 32 4,0
12	49 57 33,8	4 36 21,8	48 46 52,1	13 18 15,3
18 0	57 16 49,8	4 49 30,7	56 7 59,1	14 52 0,4
12	64 35 38,7	4 57 53,8	63 34 19,3	16 11 29,3
19 0	71 53 4,2	5 1 23,5	71 4 29,7	17 15 8,6
12	79 8 11,6	5 0 0,3	78 36 44,2	18 1 47,8
20 0	86 20 6,9	4 53 50,9	86 8 56,8	18 30 44,3
12	93 28 0,8	4 43 8,2	93 38 52,3	18 41 45,3
21 0	100 31 8,9	— 4 28 11,7	101 4 15,0	+ 18 35 6,7
12	107 28 55,8	4 9 23,8	108 23 2,4	18 11 33,1
22 0	114 20 55,3	3 47 11,6	115 33 32,1	17 32 10,2
12	121 6 49,9	3 22 3,7	122 34 27,4	16 38 21,2
23 0	127 46 31,7	2 54 29,8	129 25 0,1	15 31 40,5
12	134 20 3,2	2 24 59,1	136 4 52,0	14 13 47,5
24 0	140 47 33,0	1 54 0,3	142 34 8,7	12 46 23,0
12	147 9 19,4	1 22 0,3	148 53 19,5	11 11 3,7
25 0	153 25 45,1	0 49 24,9	155 3 10,0	9 29 21,5
12	159 37 19,4	— 0 16 37,2	161 4 40,1	7 42 40,9
26 0	165 44 35,9	+ 0 16 0,7	166 58 59,5	+ 5 52 19,5
12	171 48 10,9	0 48 8,8	172 47 23,6	3 59 27,6
27 0	177 48 41,7	1 19 29,8	178 31 11,1	2 5 11,5
12	183 46 48,6	1 49 45,9	184 11 43,3	+ 0 10 29,8
28 0	189 43 11,7	2 18 41,5	189 50 21,4	— 1 43 41,1
12	195 38 31,2	2 46 1,3	195 28 25,8	3 36 27,8
29 0	201 33 25,9	3 11 31,8	201 7 14,4	5 26 56,6
12	207 28 34,2	3 34 58,7	206 48 2,5	7 14 15,0
30 0	213 24 31,7	3 56 9,4	212 32 0,6	8 57 28,1
12	219 21 52,9	4 14 50,0	218 20 14,3	10 35 40,3
31 0	225 21 9,0	+ 4 30 48,2	224 13 42,0	— 12 7 52,5
12	231 22 48,2	4 43 52,0	230 13 13,4	13 33 2,7

● Jun. 20 3^h 58,0○ Jun. 27 16^h 12,1

JUNI 1830.

Mittlerer Mittag und Mitternacht.			☾ im Meridian.			Auf- und Untergang.	
	Par. ☾	Halbm. ☾	Mittl. Zeit.	Gr. Aufst.	Abweichg.	☾	☉
16	59° 52,2	16° 18,9	8 ^h 31,1 <i>U</i>	32° 20,3	+ 9° 0,1	2 59 <i>U</i>	8 22 <i>U</i>
	59 58,1	16 20,5	20 58,6 <i>O</i>	39 43,2	11 3,6	13 53 <i>A</i>	15 38 <i>A</i>
17	60 1,4	16 21,4	9 26,6 <i>U</i>	47 13,8	12 56,5	4 18 <i>U</i>	8 22 <i>U</i>
	60 1,7	16 21,5	21 55,0 <i>O</i>	54 51,0	14 36,7	14 27 <i>A</i>	15 38 <i>A</i>
18	59 59,0	16 20,7	10 23,9 <i>U</i>	62 34,7	16 1,6	5 35 <i>U</i>	8 23 <i>U</i>
	59 53,1	16 19,1	22 53,0 <i>O</i>	70 22,5	17 9,9	15 7 <i>A</i>	15 38 <i>A</i>
19	59 44,3	16 16,7	11 22,4 <i>U</i>	78 13,2	17 59,8	6 47 <i>U</i>	8 23 <i>U</i>
	59 32,2	16 13,4	23 51,7 <i>O</i>	86 3,7	18 30,5	15 54 <i>A</i>	15 38 <i>A</i>
20	59 17,2	16 9,3	12 20,8 <i>U</i>	93 51,8	18 41,8	7 52 <i>U</i>	8 24 <i>U</i>
	59 59,4	16 4,5	* *	* *	* *	16 49 <i>A</i>	15 38 <i>A</i>
21	58 39,9	15 59,2	0 49,6 <i>O</i>	101 34,8	+ 18 34,0	8 48 <i>U</i>	8 24 <i>U</i>
	58 18,3	15 53,3	13 17,9 <i>U</i>	109 9,9	18 8,1	17 51 <i>A</i>	15 39 <i>A</i>
22	57 55,6	15 47,1	1 45,6 <i>O</i>	116 35,9	17 25,2	9 33 <i>U</i>	8 24 <i>U</i>
	57 32,0	15 40,7	14 12,5 <i>U</i>	123 50,6	16 26,8	18 57 <i>A</i>	15 39 <i>A</i>
23	57 7,8	15 34,1	2 38,7 <i>O</i>	130 54,0	15 15,0	10 10 <i>U</i>	8 25 <i>U</i>
	56 44,1	15 27,6	15 4,1 <i>U</i>	137 45,2	13 51,7	20 5 <i>A</i>	15 39 <i>A</i>
24	56 21,1	15 21,4	3 28,7 <i>O</i>	144 25,0	12 18,9	10 41 <i>U</i>	8 25 <i>U</i>
	55 58,6	15 15,2	15 52,6 <i>U</i>	150 53,7	10 38,6	21 13 <i>A</i>	15 40 <i>A</i>
25	55 38,0	15 9,6	4 15,8 <i>O</i>	157 12,5	8 52,0	11 7 <i>U</i>	8 25 <i>U</i>
	55 19,2	15 4,5	16 38,4 <i>U</i>	163 22,5	7 0,5	22 19 <i>A</i>	15 40 <i>A</i>
26	55 2,4	14 59,9	5 0,6 <i>O</i>	169 25,1	+ 5 5,4	11 31 <i>U</i>	8 25 <i>U</i>
	54 47,9	14 56,0	17 22,3 <i>U</i>	175 21,8	3 8,4	23 24 <i>A</i>	15 41 <i>A</i>
27	54 35,7	14 52,6	5 43,8 <i>O</i>	181 14,1	+ 1 10,4	11 53 <i>U</i>	8 25 <i>U</i>
	54 26,0	14 50,0	18 5,0 <i>U</i>	187 3,5	— 0 47,5	* *	15 41 <i>A</i>
28	54 18,9	14 48,1	6 26,2 <i>O</i>	192 51,6	2 44,4	0 28 <i>A</i>	8 25 <i>U</i>
	54 14,2	14 46,8	18 47,4 <i>U</i>	198 39,9	4 39,3	12 15 <i>U</i>	15 42 <i>A</i>
29	54 12,4	14 46,3	7 8,8 <i>O</i>	204 29,8	6 31,3	1 31 <i>A</i>	8 24 <i>U</i>
	54 12,9	14 46,4	19 30,3 <i>U</i>	210 22,7	8 19,4	12 37 <i>U</i>	15 42 <i>A</i>
30	54 15,6	14 47,2	7 52,1 <i>O</i>	216 19,8	10 2,5	2 35 <i>A</i>	8 24 <i>U</i>
	54 20,8	14 48,6	20 14,2 <i>U</i>	222 22,3	11 39,5	13 1 <i>U</i>	15 43 <i>A</i>
31	54 28,0	14 50,5	8 36,7 <i>O</i>	228 31,0	— 13 9,5	3 38 <i>A</i>	8 24 <i>U</i>
	54 37,2	14 53,0	20 59,7 <i>U</i>	234 47,2	14 31,5	13 29 <i>U</i>	15 43 <i>A</i>

☾ Perig. Jun. 17 7^h

Apog. Jun. 29 3

JULI 1830.

Wahrer Berliner Mittag.

Monats- und Wochentag.	Mittl. Zeit.	Gr. Aufst. ☉	Abweichg. ☉	Log. μ .	Culm. Dauer ☉ Sternzeit.
1 24	^h 0 3 20,60	^h 6 39 19,71	+ 23° 9' 3,2	2,66867	2' 17,51
2 ♀	3 32,11	43 27,80	4 57,9	2,71164	17,44
3 ♂	3 43,34	47 35,63	0 28,4	2,75066	17,36
4 ☉	0 3 54,28	6 51 43,16	+ 22 55 34,7	2,78625	2 17,28
5 ☾	4 4,92	55 50,38	50 17,1	2,81889	17,19
6 ♂	4 15,22	59 57,27	44 35,7	2,84917	17,10
7 ♀	4 25,18	7 4 3,81	38 30,5	2,87737	17,00
8 24	4 34,78	8 9,99	32 1,7	2,90363	16,89
9 ♀	4 44,01	12 15,80	25 9,5	2,92819	16,78
10 ♂	4 52,85	16 21,22	17 54,1	2,95129	16,67
11 ☉	0 5 1,29	7 20 26,24	+ 22 10 15,6	2,97308	2 16,55
12 ☾	5 9,32	24 30,84	2 14,2	2,99366	16,43
13 ♂	5 16,91	28 35,01	21 53 50,1	3,01313	16,30
14 ♀	5 24,05	32 38,73	45 3,5	3,03165	16,16
15 24	5 30,73	36 41,99	35 54,5	3,04926	16,03
16 ♀	5 36,94	40 44,78	26 23,4	3,06599	15,89
17 ♂	5 42,66	44 47,07	16 30,4	3,08196	15,74
18 ☉	0 5 47,86	7 48 48,85	+ 21 6 15,7	3,09722	2 15,59
19 ☾	5 52,55	52 50,10	20 55 39,5	3,11180	15,44
20 ♂	5 56,72	56 50,83	44 42,1	3,12574	15,29
21 ♀	6 0,34	8 0 51,01	33 23,7	3,13909	15,13
22 24	6 3,39	4 50,62	21 44,6	3,15189	14,97
23 ♀	6 5,86	8 49,65	9 45,0	3,16418	14,81
24 ♂	6 7,74	12 48,10	19 57 25,2	3,17595	14,65
25 ☉	0 6 9,03	8 16 45,95	+ 19 44 45,5	3,18727	2 14,48
26 ☾	6 9,71	20 43,19	31 46,1	3,19819	14,32
27 ♂	6 9,79	24 39,83	18 27,2	3,20868	14,15
28 ♀	6 9,26	28 35,85	4 49,2	3,21877	13,98
29 24	6 8,12	32 31,26	18 50 52,3	3,22850	13,81
30 ♀	6 6,35	36 26,04	36 36,8	3,23787	13,63
31 ♂	6 3,96	40 20,20	22 3,0	3,24689	13,46

JULI 1830.

Mittlerer Berliner Mittag.

Monats- und Jahrestag.	Sternzeit.	Länge ☉	Breite ☉	Lg. Rad. v. ☉	Halbm. ☉
1 182	^h 6 35 58,56	99° 2' 12,4	+ 0,52	0,0072137	15' 45,50
2 183	39 55,12	99 59 23,4	+ 0,56	0,0072129	45,50
3 184	43 51,68	100 56 34,2	+ 0,58	0,0072104	45,50
4 185	6 47 48,23	101 53 45,0	+ 0,57	0,0072065	15 45,51
5 186	51 44,79	102 50 55,7	+ 0,53	0,0072011	45,52
6 187	55 41,35	103 48 6,5	+ 0,46	0,0071941	45,53
7 188	59 37,91	104 45 17,4	+ 0,36	0,0071856	45,54
8 189	7 3 34,46	105 42 28,6	+ 0,25	0,0071757	45,57
9 190	7 31,02	106 39 40,1	+ 0,13	0,0071643	45,61
10 191	11 27,57	107 36 52,0	+ 0,01	0,0071511	45,65
11 192	7 15 24,13	108 34 4,4	— 0,10	0,0071362	15 45,69
12 193	19 20,68	109 31 17,3	— 0,21	0,0071195	45,73
13 194	23 17,24	110 28 30,8	— 0,32	0,0071009	45,78
14 195	27 13,80	111 25 44,9	— 0,40	0,0070802	45,83
15 196	31 10,36	112 22 59,7	— 0,45	0,0070574	45,89
16 197	35 6,91	113 20 15,2	— 0,47	0,0070323	45,95
17 198	39 3,47	114 17 31,3	— 0,48	0,0070048	46,01
18 199	7 43 0,02	115 14 48,0	— 0,46	0,0069748	15 46,08
19 200	46 56,58	116 12 5,4	— 0,39	0,0069424	46,16
20 201	50 53,13	117 9 23,4	— 0,31	0,0069074	46,24
21 202	54 49,69	118 6 42,0	— 0,21	0,0068699	46,32
22 203	58 46,24	119 4 1,1	— 0,09	0,0068299	46,40
23 204	8 2 42,80	120 1 20,8	+ 0,03	0,0067875	46,48
24 205	6 39,36	120 58 40,9	+ 0,15	0,0067427	46,58
25 206	8 10 35,92	121 56 1,5	+ 0,27	0,0066956	15 46,68
26 207	14 32,47	122 53 22,6	+ 0,37	0,0066462	46,78
27 208	18 29,03	123 50 44,2	+ 0,47	0,0065948	46,89
28 209	22 25,58	124 48 6,4	+ 0,56	0,0065414	47,00
29 210	26 22,14	125 45 29,1	+ 0,61	0,0064863	47,11
30 211	30 18,69	126 42 52,4	+ 0,62	0,0064295	47,23
31 212	34 15,25	127 40 16,3	+ 0,62	0,0063712	47,36

JULI 1830.

Mittlerer Mittag und Mitternacht.

Monatstag.	Länge (Breite (Gr. Aufst. (Abweichg. (
1 0 ^h	225° 21' 9,0	+ 4° 30' 48,2	224° 13' 42,0	+ 12° 7' 52,5
12	231 22 48,2	4 43 52,0	230 13 13,4	13 33 2,7
2 0	237 27 15,1	4 53 49,7	236 19 27,2	14 50 6,3
12	243 34 50,5	5 0 30,2	242 32 48,9	15 57 57,6
3 0	249 45 51,7	5 3 43,9	248 53 30,3	16 55 29,6
12	256 0 30,2	5 3 22,1	255 21 24,8	17 41 37,3
4 0	262 18 54,6	4 59 19,3	261 56 10,0	18 15 18,3
12	268 41 8,9	4 51 31,4	268 37 6,3	18 35 37,6
5 0	275 7 12,0	4 39 57,3	275 23 17,2	18 41 49,6
12	281 37 0,2	4 24 38,6	282 13 35,5	18 33 21,6
6 0	288 10 26,1	+ 4 5 41,4	289 6 45,2	- 18 9 54,9
12	294 47 19,6	3 43 15,5	296 1 27,8	17 31 28,3
7 0	301 27 28,6	3 17 33,8	302 56 28,4	16 38 18,0
12	308 10 40,8	2 48 54,0	309 50 41,4	15 30 57,2
8 0	314 56 43,4	2 17 36,8	316 43 14,9	14 10 16,9
12	321 45 22,9	1 44 7,1	323 33 32,4	12 37 21,3
9 0	328 36 26,3	1 8 53,0	330 21 15,3	10 53 28,1
12	335 29 43,4	+ 0 32 24,6	337 6 25,2	9 0 5,1
10 0	342 25 4,4	- 0 4 45,6	343 49 20,0	6 58 47,8
12	349 22 20,6	0 42 3,4	350 30 32,8	4 51 18,0
11 0	356 21 24,0	- 1 18 54,4	357 10 48,9	- 2 39 22,6
12	3 22 7,8	1 54 43,7	3 51 3,4	- 0 24 51,1
12 0	10 24 25,1	2 28 56,5	10 32 17,1	+ 1 50 24,5
12	17 28 7,9	3 1 0,1	17 15 33,1	4 4 29,3
13 0	24 33 7,5	3 30 22,6	24 1 52,6	6 15 28,0
12	31 39 12,5	3 56 34,4	30 52 10,9	8 21 24,4
14 0	38 46 9,7	4 19 9,1	37 47 13,9	10 20 22,7
12	45 53 41,3	4 37 45,3	44 47 31,7	12 10 27,0
15 0	53 1 26,7	4 52 3,2	51 53 16,1	13 49 48,3
12	60 9 0,8	5 1 48,8	59 4 15,3	15 16 42,9
16 0	67 15 57,2	- 5 6 54,4	66 19 55,5	+ 16 29 37,7
12	74 21 44,7	5 7 16,2	73 39 15,2	17 27 14,5

○ Jul. 5 15^h 22,4○ Jul. 12 16^h 35,5

JULI 1830.

Mittlerer Mittag und Mitternacht.			☾ im Meridian.			Auf- und Untergang.	
	Par. ☾	Halbm. ☾	Mittl. Zeit.	Gr. Aufst.	Abweichg.	☾	☉
1	54° 28,0	14° 50,5	^h 36,7 <i>O</i>	^o 228 31,0	— 13° 9,5	^h 3 38 <i>A</i>	^h 8 24 <i>U</i>
	54 37,2	14 53,0	20 59,7 <i>U</i>	234 47,2	14 31,5	13 29 <i>U</i>	15 43 <i>A</i>
2	54 48,3	14 56,1	9 23,3 <i>O</i>	241 10,9	15 44,1	4 40 <i>A</i>	8 24 <i>U</i>
	55 1,0	14 59,5	21 47,4 <i>U</i>	247 42,8	16 45,8	14 1 <i>U</i>	15 44 <i>A</i>
3	55 14,7	15 3,3	10 12,0 <i>O</i>	254 22,8	17 35,5	5 42 <i>A</i>	8 23 <i>U</i>
	55 29,7	15 7,3	22 37,1 <i>U</i>	261 10,5	18 12,1	14 39 <i>U</i>	15 45 <i>A</i>
4	55 45,6	15 11,7	11 2,7 <i>O</i>	268 5,0	18 34,5	6 40 <i>A</i>	8 23 <i>U</i>
	56 2,1	15 16,2	23 28,7 <i>U</i>	275 5,6	18 41,9	15 25 <i>U</i>	15 45 <i>A</i>
5	56 19,0	15 20,7	11 55,0 <i>O</i>	282 10,7	18 33,5	7 33 <i>A</i>	8 22 <i>U</i>
	56 36,2	15 25,5	* * *	* *	* *	16 19 <i>U</i>	15 46 <i>A</i>
6	56 53,1	15 30,1	0 21,5 <i>U</i>	289 19,1	— 18 9,0	8 20 <i>A</i>	8 22 <i>U</i>
	57 9,9	15 34,6	12 48,1 <i>O</i>	296 29,2	17 28,4	17 20 <i>U</i>	15 47 <i>A</i>
7	57 25,8	15 39,0	1 14,8 <i>U</i>	303 39,5	16 31,9	9 1 <i>A</i>	8 21 <i>U</i>
	57 41,2	15 43,2	13 41,4 <i>O</i>	310 48,9	15 20,4	18 28 <i>U</i>	15 48 <i>A</i>
8	57 55,2	15 47,0	2 7,8 <i>U</i>	317 56,3	13 54,6	9 36 <i>A</i>	8 20 <i>U</i>
	58 8,9	15 50,7	14 34,1 <i>O</i>	325 1,0	12 16,0	19 41 <i>U</i>	15 49 <i>A</i>
9	58 21,0	15 54,0	3 0,2 <i>U</i>	332 2,9	10 25,9	10 7 <i>A</i>	8 20 <i>U</i>
	58 32,3	15 57,1	15 26,1 <i>O</i>	339 1,9	8 26,1	20 56 <i>U</i>	15 51 <i>A</i>
10	58 42,3	15 59,8	3 51,8 <i>U</i>	345 58,5	6 18,3	10 35 <i>A</i>	8 19 <i>U</i>
	58 50,8	16 2,1	16 17,4 <i>O</i>	352 53,6	4 4,5	22 12 <i>U</i>	15 52 <i>A</i>
11	58 58,4	16 4,2	4 43,0 <i>U</i>	359 48,0	— 1 46,7	11 2 <i>A</i>	8 19 <i>U</i>
	59 4,8	16 6,0	17 8,7 <i>O</i>	6 42,9	+ 0 33,1	23 28 <i>U</i>	15 53 <i>A</i>
12	59 9,7	16 7,3	5 34,4 <i>U</i>	13 39,3	2 53,0	11 28 <i>A</i>	8 18 <i>U</i>
	59 13,9	16 8,5	18 0,3 <i>O</i>	20 38,5	5 10,6	* *	15 54 <i>A</i>
13	59 16,8	16 9,2	6 26,4 <i>U</i>	27 41,6	7 23,8	0 46 <i>U</i>	8 17 <i>U</i>
	59 18,5	16 9,7	18 52,9 <i>O</i>	34 49,5	9 30,6	11 56 <i>A</i>	15 55 <i>A</i>
14	59 18,8	16 9,8	7 19,8 <i>U</i>	42 3,2	11 28,8	2 3 <i>U</i>	8 16 <i>U</i>
	59 17,9	16 9,5	19 47,1 <i>O</i>	49 23,1	13 16,3	12 28 <i>A</i>	15 56 <i>A</i>
15	59 15,3	16 8,8	8 14,8 <i>U</i>	56 49,1	14 50,9	3 19 <i>U</i>	8 15 <i>U</i>
	59 11,4	16 7,8	20 42,8 <i>O</i>	64 20,2	16 11,1	13 4 <i>A</i>	15 57 <i>A</i>
16	59 5,6	16 6,2	9 11,1 <i>U</i>	71 56,2	+ 17 15,2	4 31 <i>U</i>	8 14 <i>U</i>
	58 58,2	16 4,2	21 39,6 <i>O</i>	79 34,8	18 1,8	13 47 <i>A</i>	15 59 <i>A</i>

☾ Perig. Jul. 13 21^h

JULI 1830.

Mittlerer Mittag und Mitternacht.

Monatstag.	Länge (Breite (Gr. Aufst. (Abweichg. (
16 ^h 0	67° 15' 57,2	— 5° 6' 54,4	66° 19' 55,5	+ 16° 29' 37,7
12	74 21 44,7	5 7 16,2	73 39 15,2	17 27 14,5
17 0	81 25 50,0	5 2 56,2	81 0 49,9	18 8 34,0
12	88 27 40,7	4 54 2,7	88 22 58,5	18 32 58,0
18 0	95 26 43,4	4 40 48,7	95 43 46,6	18 40 13,2
12	102 22 26,2	4 23 30,9	103 1 17,4	18 30 32,0
19 0	109 14 20,8	4 2 32,7	110 13 40,0	18 4 28,4
12	116 2 2,2	3 38 18,9	117 19 17,0	17 22 59,2
20 0	122 45 11,9	3 11 16,2	124 16 52,6	16 27 18,8
12	129 23 34,0	2 41 54,0	131 5 31,1	15 18 53,3
21 0	135 57 0,5	— 2 10 41,8	137 44 43,5	+ 13 59 16,7
12	142 25 29,4	1 38 8,9	144 14 23,9	12 30 6,5
22 0	148 49 4,5	1 4 43,3	150 34 47,5	10 52 59,8
12	155 7 55,9	— 0 30 51,8	156 46 27,6	9 9 30,4
23 0	161 22 18,5	+ 0 3 0,5	162 50 11,0	7 21 6,8
12	167 32 33,1	0 36 30,5	168 46 56,2	5 29 11,3
24 0	173 39 4,1	1 9 16,2	174 37 48,8	3 34 59,1
12	179 42 18,7	1 40 58,8	180 23 59,1	+ 1 39 40,0
25 0	185 42 49,0	2 11 20,6	186 6 42,2	— 0 15 41,3
12	191 41 8,4	2 40 5,9	191 47 14,2	2 10 6,3
26 0	197 37 52,3	+ 3 6 59,4	197 26 51,1	— 4 2 39,2
12	203 33 37,6	3 31 48,0	203 6 48,7	5 52 26,1
27 0	209 29 1,8	3 54 18,9	208 48 20,9	7 38 34,6
12	215 24 42,1	4 14 20,3	214 32 38,0	9 20 11,9
28 0	221 21 15,5	4 31 40,4	220 20 46,2	10 56 24,6
12	227 19 18,6	4 46 8,4	226 13 46,8	12 26 17,3
29 0	233 19 26,9	4 57 33,8	232 12 34,0	13 48 52,5
12	239 22 13,6	5 5 46,4	238 17 52,4	15 3 10,0
30 0	245 28 9,5	5 10 36,4	244 30 15,4	16 8 8,0
12	251 37 42,3	5 11 55,2	250 50 3,1	17 2 43,0
31 0	257 51 16,2	+ 5 9 35,3	257 17 20,3	— 17 45 51,7
12	264 9 12,3	5 3 30,3	263 51 56,7	18 16 33,6

● Jul. 19 ^h 13 13,3○ Jul. 27 ^h 9 35,7

JULI 1830.

Mittlerer Mittag und Mitternacht.			☾ im Meridian.			Auf- und Untergang.	
	Par. ☾	Halbm. ☾	Mittl. Zeit.	Gr. Aufst.	Abweichg.	☾	☉
16	59' 5,6"	16' 6,2"	^h 9 ['] 11,1 <i>U</i>	^o 71 ['] 56,2	+ 17 ['] 15,2	^h 4 ['] 31 <i>U</i>	^h 8 ['] 14 <i>U</i>
	58 58,2	16 4,2	21 39,6 <i>O</i>	79 34,8	18 1,8	13 47 <i>A</i>	15 59 <i>A</i>
17	58 48,9	16 1,6	10 8,2 <i>U</i>	87 14,5	18 30,3	5 38 <i>U</i>	8 13 <i>U</i>
	58 37,6	15 58,6	22 36,8 <i>O</i>	94 53,0	18 40,2	14 37 <i>A</i>	16 0 <i>A</i>
18	58 24,6	15 55,0	11 5,1 <i>U</i>	102 28,0	18 31,9	6 36 <i>U</i>	8 12 <i>U</i>
	58 10,0	15 51,0	23 33,0 <i>O</i>	109 57,6	18 5,8	15 35 <i>A</i>	16 1 <i>A</i>
19	57 53,8	15 46,6	12 0,4 <i>U</i>	117 19,6	17 22,8	7 26 <i>U</i>	8 11 <i>U</i>
	57 36,6	15 41,9	* *	* *	* *	16 39 <i>A</i>	16 3 <i>A</i>
20	57 18,4	15 37,0	0 27,2 <i>O</i>	124 32,5	16 24,9	8 7 <i>U</i>	8 10 <i>U</i>
	56 59,4	15 31,8	12 53,3 <i>U</i>	131 35,4	15 13,3	17 46 <i>A</i>	16 4 <i>A</i>
21	56 39,9	15 26,5	1 18,8 <i>O</i>	138 27,8	+ 13 50,0	8 41 <i>U</i>	8 8 <i>U</i>
	56 20,6	15 21,2	13 43,5 <i>U</i>	145 9,7	12 16,7	18 54 <i>A</i>	16 5 <i>A</i>
22	56 1,9	15 16,1	2 7,6 <i>O</i>	151 41,3	10 35,1	9 9 <i>U</i>	8 7 <i>U</i>
	55 43,7	15 11,2	14 31,0 <i>U</i>	158 3,3	8 47,2	20 2 <i>A</i>	16 7 <i>A</i>
23	55 26,2	15 6,4	2 53,9 <i>O</i>	164 16,9	6 54,3	9 35 <i>U</i>	8 5 <i>U</i>
	55 10,1	15 2,0	15 16,3 <i>U</i>	170 23,1	4 58,2	21 8 <i>A</i>	16 8 <i>A</i>
24	54 55,5	14 58,0	3 38,3 <i>O</i>	176 23,2	3 0,1	9 58 <i>U</i>	8 4 <i>U</i>
	54 43,1	14 54,7	16 0,0 <i>U</i>	182 18,5	+ 1 1,2	22 13 <i>A</i>	16 10 <i>A</i>
25	54 32,4	14 51,7	4 21,4 <i>O</i>	188 10,5	— 0 57,4	10 19 <i>U</i>	8 2 <i>U</i>
	54 24,1	14 49,5	16 42,7 <i>U</i>	194 0,6	2 54,6	23 17 <i>A</i>	16 11 <i>A</i>
26	54 18,2	14 47,9	5 4,0 <i>O</i>	199 50,3	— 4 49,4	10 41 <i>U</i>	8 1 <i>U</i>
	54 14,5	14 46,9	17 25,3 <i>U</i>	205 41,1	6 40,9	* *	16 13 <i>A</i>
27	54 13,4	14 46,6	5 46,8 <i>O</i>	211 34,1	8 28,2	0 20 <i>A</i>	7 59 <i>U</i>
	54 14,7	14 46,9	18 8,5 <i>U</i>	217 30,5	10 10,1	11 5 <i>U</i>	16 14 <i>A</i>
28	54 19,2	14 48,1	6 30,6 <i>O</i>	223 31,6	11 46,0	1 23 <i>A</i>	7 58 <i>U</i>
	54 25,8	14 49,9	18 53,1 <i>U</i>	229 38,9	13 14,6	11 31 <i>U</i>	16 16 <i>A</i>
29	54 35,0	14 52,4	7 16,0 <i>O</i>	235 53,0	14 34,9	2 26 <i>A</i>	7 56 <i>U</i>
	54 46,6	14 55,6	19 39,5 <i>U</i>	242 14,8	15 45,7	12 0 <i>U</i>	16 17 <i>A</i>
30	55 0,5	14 59,4	8 3,4 <i>O</i>	248 44,5	16 45,9	3 27 <i>A</i>	7 55 <i>U</i>
	55 16,1	15 3,6	20 27,9 <i>U</i>	255 22,6	17 34,4	12 35 <i>U</i>	16 19 <i>A</i>
31	55 33,6	15 8,4	8 52,9 <i>O</i>	262 8,7	— 18 9,9	4 27 <i>A</i>	7 53 <i>U</i>
	55 52,4	15 13,5	21 18,4 <i>U</i>	269 2,8	18 31,2	13 17 <i>U</i>	16 20 <i>A</i>

☾ Apog. Jul. 27 0^h

AUGUST 1830.

Wahrer Berliner Mittag.

Monats- und Wochentag.		Mittl. Zeit.	Gr. Aufst. ☉	Abweichg. ☉	Log. μ .	Culm. Dauer ☉ Sternzeit.
1	☉	^h 0 ['] 6 ["] 0,95	^h 8 44 ['] 13,74	+ 18 [°] 7 ['] 11,2	3,25561	2 ['] 13,29
2	☾	5 57,33	48 6,67	17 52 1,6	3,26404	13,12
3	♂	5 53,10	51 58,98	36 34,5	3,27217	12,95
4	♀	5 48,27	55 50,69	20 50,2	3,28000	12,77
5	♂	5 42,84	59 41,80	4 49,0	3,28760	12,60
6	♀	5 36,82	9 3 32,32	16 48 31,1	3,29491	12,42
7	♂	5 30,21	7 22,25	31 57,0	3,30196	12,25
8	☉	0 5 23,03	9 11 11,60	+ 16 15 6,8	3,30882	2 12,08
9	☾	5 15,27	15 0,37	15 58 0,8	3,31542	11,92
10	♂	5 6,94	18 48,58	40 39,4	3,32181	11,75
11	♀	4 58,07	22 36,24	23 2,8	3,32799	11,58
12	♂	4 48,65	26 23,35	5 11,3	3,33393	11,42
13	♀	4 38,69	30 9,91	14 47 5,4	3,33967	11,26
14	♂	4 28,20	33 55,94	28 45,2	3,34526	11,10
15	☉	0 4 17,19	9 37 41,45	+ 14 10 11,0	3,35062	2 10,94
16	☾	4 5,65	41 26,44	13 51 23,3	3,35575	10,79
17	♂	3 53,60	45 10,91	32 22,4	3,36074	10,64
18	♀	3 41,04	48 54,87	13 8,5	3,36559	10,49
19	♂	3 27,98	52 38,33	12 53 41,9	3,37022	10,35
20	♀	3 14,42	56 21,29	34 3,1	3,37466	10,21
21	♂	3 0,39	10 0 3,78	14 12,4	3,37896	10,07
22	☉	0 2 45,88	10 3 45,79	+ 11 54 10,0	3,38312	2 9,93
23	☾	2 30,91	7 27,33	33 56,3	3,38708	9,79
24	♂	2 15,49	11 8,41	13 31,7	3,39092	9,67
25	♀	1 59,63	14 49,06	10 52 56,4	3,39461	9,55
26	♂	1 43,33	18 29,27	32 10,8	3,39813	9,43
27	♀	1 26,61	22 9,06	11 15,3	3,40152	9,31
28	♂	1 9,50	25 48,45	9 50 10,1	3,40478	9,20
29	☉	0 0 52,01	10 29 27,46	+ 9 28 55,6	3,40792	2 9,09
30	☾	0 34,15	33 6,11	7 32,0	3,41093	8,99
31	♂	0 15,95	36 44,41	8 45 59,7	3,41380	8,90

AUGUST 1830.

Mittlerer Berliner Mittag.

Monats- und Jahrestag.		Sternzeit.	Länge ☉	Breite ☉	Lg. Rad. v. ☉	Halbm. ☉
		^h ' "	^o ' "	"		['] "
1	213	8 38 11,80	128 37 40,9	+ 0,58	0,0063115	15 47,49
2	214	42 8,36	129 35 6,3	+ 0,50	0,0062504	47,62
3	215	46 4,91	130 32 32,6	+ 0,41	0,0061880	47,76
4	216	50 1,47	131 29 59,8	+ 0,31	0,0061243	47,90
5	217	53 58,02	132 27 28,1	+ 0,19	0,0060595	48,04
6	218	57 54,58	133 24 57,5	+ 0,07	0,0059934	48,19
7	219	9 1 51,13	134 22 28,0	— 0,05	0,0059261	48,34
8	220	9 5 47,69	135 19 59,8	— 0,16	0,0058576	15 48,49
9	221	9 44,24	136 17 33,0	— 0,26	0,0057877	48,65
10	222	13 40,80	137 15 7,5	— 0,35	0,0057163	48,81
11	223	17 37,35	138 12 43,5	— 0,42	0,0056435	48,98
12	224	21 33,91	139 10 21,0	— 0,45	0,0055690	49,16
13	225	25 30,46	140 8 0,0	— 0,45	0,0054928	49,34
14	226	29 27,01	141 5 40,6	— 0,43	0,0054148	49,52
15	227	9 33 23,56	142 3 22,6	— 0,39	0,0053350	15 49,70
16	228	37 20,12	143 1 6,1	— 0,31	0,0052533	49,88
17	229	41 16,67	143 58 51,1	— 0,21	0,0051694	50,06
18	230	45 13,23	144 56 37,5	— 0,11	0,0050834	50,24
19	231	49 9,78	145 54 25,4	+ 0,01	0,0049955	50,43
20	232	53 6,34	146 52 14,7	+ 0,14	0,0049056	50,63
21	233	57 2,89	147 50 5,3	+ 0,26	0,0048136	50,84
22	234	10 0 59,44	148 47 57,3	+ 0,38	0,0047196	15 51,05
23	235	4 56,00	149 45 50,5	+ 0,48	0,0046238	51,26
24	236	8 52,55	150 43 45,0	+ 0,54	0,0045263	51,47
25	237	12 49,10	151 41 40,8	+ 0,58	0,0044272	51,68
26	238	16 45,65	152 39 37,9	+ 0,61	0,0043267	51,89
27	239	20 42,20	153 37 36,3	+ 0,61	0,0042250	52,10
28	240	24 38,76	154 35 36,0	+ 0,59	0,0041222	52,31
29	241	10 28 35,31	155 33 37,1	+ 0,53	0,0040183	15 52,53
30	242	32 31,87	156 31 39,6	+ 0,44	0,0039136	52,76
31	243	36 28,42	157 29 43,6	+ 0,33	0,0038082	52,99

AUGUST 1830.

Mittlerer Mittag und Mitternacht.

Monatstag.	Länge ζ	Breite ζ	Gr. Aufst. ζ	Abweichg. ζ
1 ^h 0	270° 31' 45,5	+ 4° 53' 36,7	270° 33' 22,8	— 18° 33' 51,7
12	276 59 6,0	4 39 53,0	277 20 53,4	18 36 57,8
2 0	283 31 19,8	4 22 20,3	284 13 30,4	18 25 15,0
12	290 8 25,9	4 1 3,7	291 10 3,3	17 58 20,2
3 0	296 15 18,4	3 36 12,9	298 9 16,7	17 16 6,7
12	303 36 46,2	3 8 2,5	305 9 54,7	16 18 46,0
4 0	310 27 32,4	2 36 50,8	312 10 46,1	15 6 50,7
12	317 22 16,8	2 3 1,2	319 10 51,0	13 41 12,1
5 0	324 20 34,8	1 27 2,1	326 9 23,4	12 2 59,6
12	331 21 59,5	0 49 25,9	333 5 53,1	10 13 39,1
6 0	338 26 1,4	+ 0 10 48,3	340 0 8,5	— 8 14 50,2
12	345 32 11,0	— 0 28 12,7	346 52 14,5	6 8 23,2
7 0	352 39 58,1	1 6 57,7	353 42 31,5	3 56 16,3
12	359 48 53,3	1 44 46,7	0 31 31,8	— 1 40 32,3
8 0	6 58 28,1	2 21 0,9	7 19 57,4	+ 0 36 42,9
12	14 8 16,2	2 55 3,9	14 8 36,5	2 53 23,3
9 0	21 17 53,2	3 26 21,1	20 58 18,8	5 7 24,8
12	28 26 57,0	3 54 22,4	27 49 53,0	7 16 46,1
10 0	35 35 7,3	4 18 41,5	34 44 1,7	9 19 30,1
12	42 42 5,5	4 38 56,8	41 41 17,6	11 13 45,4
11 0	49 47 35,6	— 4 54 52,0	48 42 1,7	+ 12 57 47,7
12	56 51 22,3	5 6 14,6	55 46 18,0	14 30 2,1
12 0	63 53 10,9	5 12 57,7	62 53 51,5	15 49 4,1
12	70 52 48,5	5 14 59,9	70 4 9,3	16 53 41,4
13 0	77 50 2,3	5 12 23,6	77 16 18,9	17 42 57,8
12	84 44 40,1	5 5 16,2	84 29 11,4	18 16 14,0
14 0	91 36 30,4	4 53 47,7	91 41 25,6	18 33 9,9
12	98 25 21,9	4 38 14,0	98 51 33,5	18 33 46,5
15 0	105 11 4,0	4 18 54,2	105 58 6,1	18 18 19,8
12	111 53 27,1	3 56 9,1	112 59 40,2	17 47 28,8
16 0	118 32 22,4	— 3 30 22,2	119 55 3,5	— 17 2 7,7
12	125 7 42,7	3 1 59,5	126 43 19,1	16 3 24,2

○ Aug. 4 1^h 56,5● Aug. 10 21^h 7,0

AUGUST 1830.

Mittlerer Mittag und Mitternacht.			☾ im Meridian.			Auf- und Untergang.	
	Par. ☾	Halbm. ☾	Mittl. Zeit.	Gr. Aufst.	Abweichg.	☾	☉
1	56' 12,6	15' 19,0	9 ^h 44,4 O	276° 3,7	— 18° 37,5	5 ^h 22' A	7 ^h 52' U
	56 33,4	15 24,7	22 10,8 U	283 10,8	18 27,9	14 7 U	16 22 A
2	56 54,5	15 30,5	10 37,6 O	290 22,3	18 2,2	6 12 A	7 50 U
	57 15,9	15 36,3	23 4,5 U	297 36,9	17 19,8	15 6 U	16 23 A
3	57 36,9	15 42,0	11 31,5 O	304 53,2	16 21,3	6 57 A	7 48 U
	57 57,1	15 47,5	23 58,6 U	312 9,9	15 6,9	16 12 U	16 25 A
4	58 16,5	15 52,8	12 25,7 O	319 25,9	13 37,9	7 35 A	7 46 U
	58 34,3	15 57,6	* *	* *	* *	17 24 U	16 26 A
5	58 50,2	16 2,0	0 52,6 U	326 39,8	11 55,3	8 8 A	7 45 U
	59 3,9	16 5,7	13 19,3 O	333 51,6	10 0,9	18 40 U	16 28 A
6	59 15,3	16 8,8	1 45,9 U	341 0,7	— 7 56,6	8 38 A	7 43 U
	59 24,3	16 11,3	14 12,3 O	348 7,7	5 44,5	19 58 U	16 30 A
7	59 31,0	16 13,1	2 38,5 U	355 12,6	3 26,6	9 6 A	7 41 U
	59 35,2	16 14,2	15 4,7 O	2 16,3	— 1 5,3	21 16 U	16 32 A
8	59 36,7	16 14,6	3 30,9 U	9 19,6	+ 1 16,9	9 33 A	7 39 U
	59 36,4	16 14,6	15 57,1 O	16 23,4	3 37,9	22 34 U	16 33 A
9	59 33,8	16 13,9	4 23,4 U	23 28,7	5 55,3	10 1 A	7 37 U
	59 29,5	16 12,7	16 49,9 O	30 36,3	8 7,1	23 52 U	16 35 A
10	59 23,6	16 11,1	5 16,6 U	37 47,2	10 10,9	10 32 A	7 35 U
	59 16,3	16 9,1	17 43,5 O	45 1,6	12 4,8	* *	16 37 A
11	59 7,4	16 6,7	6 10,7 U	52 20,2	+ 13 47,0	1 8 U	7 33 U
	58 58,1	16 4,1	18 38,1 O	59 42,4	15 15,5	11 6 A	16 39 A
12	58 47,7	16 1,3	7 5,8 U	67 8,2	16 29,2	2 21 U	7 31 U
	58 36,6	15 58,3	19 33,6 O	74 36,3	17 26,6	11 46 A	16 40 A
13	58 24,7	15 55,0	8 1,6 U	82 5,9	18 7,0	3 28 U	7 29 U
	58 12,4	15 51,7	20 29,5 O	89 35,2	18 29,9	12 32 A	16 42 A
14	57 59,5	15 48,2	8 57,3 U	97 2,6	18 35,1	4 29 U	7 27 U
	57 45,9	15 44,5	21 24,8 O	104 26,5	18 23,0	13 26 A	16 43 A
15	57 31,7	15 40,6	9 52,0 U	111 45,1	17 54,1	5 20 U	7 25 U
	57 17,0	15 36,6	22 18,7 O	118 57,1	17 9,3	14 26 A	16 45 A
16	57 2,1	15 32,5	10 44,9 U	126 1,1	+ 16 10,0	6 4 U	7 23 U
	56 47,0	15 28,4	23 10,6 O	132 56,6	14 57,8	15 31 A	16 46 A

☾ Perig. Aug. 8 4^h

AUGUST 1830.

Mittlerer Mittag und Mitternacht.

Monatstag.	Länge (Breite (Gr. Aufst. (Abweichg. (
16 ^h 0	118° 32' 22,4	— 3° 30' 22,2	119° 55' 3,5	+ 17° 2' 7,7
12	125 7 42,7	3 1 59,5	126 43 19,5	16 3 24,2
17 0	131 39 22,6	2 31 28,1	133 23 47,8	14 52 36,0
12	138 7 18,3	1 59 15,6	139 56 8,5	13 31 8,8
18 0	144 31 29,1	1 25 49,6	146 20 18,8	12 0 31,7
12	150 51 56,3	0 51 37,8	152 36 32,0	10 22 14,7
19 0	157 8 44,5	— 0 17 6,4	158 45 16,0	8 37 47,0
12	163 22 1,3	+ 0 17 19,1	164 47 9,9	6 48 34,5
20 0	169 31 56,5	0 51 14,3	170 43 1,6	4 55 58,6
12	175 38 43,7	1 24 17,8	176 33 46,5	3 1 17,0
21 0	181 42 39,8	+ 1 56 9,2	182 20 24,3	+ 1 5 41,8
12	187 44 4,3	2 26 29,5	188 3 59,0	— 0 49 40,5
22 0	193 43 20,1	2 55 2,2	193 45 36,3	2 43 46,9
12	199 40 51,7	3 21 32,6	199 26 22,0	4 35 37,7
23 0	205 37 6,4	3 45 46,9	205 7 22,0	6 24 16,8
12	211 32 33,7	4 7 32,7	210 49 41,1	8 8 50,1
24 0	217 27 44,9	4 26 38,8	216 34 22,0	9 48 24,6
12	223 23 12,7	4 42 55,2	222 22 24,3	11 22 7,5
25 0	229 19 31,0	4 56 12,2	228 14 43,2	12 49 6,0
12	235 17 13,9	5 6 21,4	234 12 7,8	14 8 25,6
26 0	241 16 56,2	+ 5 13 14,7	240 15 20,3	— 15 19 11,4
12	247 19 13,4	5 16 44,0	246 24 54,9	16 20 27,8
27 0	253 24 39,2	5 16 42,3	252 41 14,3	17 11 18,2
12	259 33 46,1	5 13 4,3	259 4 29,5	17 50 45,4
28 0	265 47 5,8	5 5 45,0	265 34 39,4	18 17 54,7
12	272 5 7,0	4 54 40,2	272 11 28,7	18 31 55,4
29 0	278 28 14,4	4 39 49,2	278 54 28,3	18 32 1,2
12	284 56 48,9	4 21 13,2	285 42 57,4	18 17 34,8
30 0	291 31 7,4	3 58 55,7	292 36 6,3	17 48 11,1
12	298 11 19,7	3 33 4,3	299 32 57,8	17 3 38,4
31 0	304 57 29,3	+ 3 3 51,5	306 32 32,4	— 16 4 1,3
12	311 49 33,0	2 31 34,9	313 33 52,7	14 49 42,5

● Aug. 18 ^h 0 50,5○ Aug. 26 ^h 2 58,5

AUGUST 1830.

Mittlerer Mittag und Mitternacht.			☾ im Meridian.			Auf- und Untergang.	
	Par. ☾	Halbm. ☾	Mittl. Zeit.	Gr. Aufst.	Abweichg.	☾	☉
16	57° 2,1	15° 32,5	10 ^h 44,9 U	126° 1,1	+ 16° 10,0	6 ^h 4' U	7 ^h 23' U
	56 47,0	15 28,4	23 10,6 O	132 56,6	14 57,8	15 31 A	16 46 A
17	56 31,6	15 24,2	11 35,6 U	139 42,9	13 34,0	6 40 U	7 21 U
	56 16,1	15 20,0	* *	* *	* *	16 38 A	16 48 A
18	56 0,5	15 15,7	0 0,1 O	146 20,4	12 0,5	7 11 U	7 19 U
	55 45,1	15 11,5	12 24,0 U	152 48,9	10 18,9	17 46 A	16 50 A
19	55 30,5	15 7,6	0 47,3 O	159 9,3	8 30,8	7 37 U	7 17 U
	55 16,3	15 3,7	13 10,1 U	165 22,0	6 37,8	18 53 A	16 51 A
20	55 2,7	15 0,0	1 32,5 O	171 28,3	4 41,4	8 1 U	7 15 U
	54 50,1	14 56,6	13 54,5 U	177 29,1	2 43,0	19 59 A	16 53 A
21	54 39,0	14 53,5	2 16,3 O	183 25,6	+ 0 43,8	8 23 U	7 13 U
	54 29,1	14 50,8	14 37,8 U	189 18,9	- 1 14,8	21 3 A	16 55 A
22	54 21,0	14 48,6	2 59,2 O	195 10,4	3 11,9	8 45 U	7 11 U
	54 14,6	14 46,9	15 20,5 U	201 1,3	5 6,3	22 7 A	16 57 A
23	54 10,2	14 45,7	3 41,9 O	206 52,7	6 57,0	9 8 U	7 9 U
	54 8,0	14 45,1	16 3,5 U	212 45,9	8 43,1	23 10 A	16 58 A
24	54 8,0	14 45,1	4 25,2 O	218 42,1	10 23,6	9 33 U	7 7 U
	54 10,5	14 45,8	16 47,2 U	224 42,4	11 57,7	* *	17 0 A
25	54 15,5	14 47,1	5 9,5 O	230 47,7	13 24,3	0 12 A	7 5 U
	54 23,1	14 49,2	17 32,2 U	236 59,0	14 42,3	10 0 U	17 1 A
26	54 33,0	14 51,9	5 55,4 O	243 16,9	- 15 50,7	1 14 A	7 3 U
	54 45,8	14 55,4	18 19,1 U	249 42,2	16 48,6	10 32 U	17 3 A
27	55 0,7	14 59,4	6 43,2 O	256 15,0	17 34,9	2 13 A	7 0 U
	55 18,1	15 4,2	19 7,9 U	262 55,7	18 8,4	11 10 U	17 5 A
28	55 37,8	15 9,5	7 33,1 O	269 43,7	18 28,2	3 10 A	6 58 U
	55 59,3	15 15,4	19 58,7 U	276 38,9	18 33,5	11 56 U	17 6 A
29	56 22,7	15 21,8	8 24,7 O	283 40,3	18 23,5	4 2 A	6 56 U
	56 47,3	15 28,5	20 51,1 U	290 47,6	17 57,3	12 49 U	17 8 A
30	57 12,5	15 35,4	9 17,8 O	297 59,2	17 15,0	4 48 A	6 53 U
	57 38,5	15 42,4	21 44,8 U	305 13,8	16 16,4	13 51 U	17 10 A
31	58 4,2	15 49,4	10 11,9 O	312 30,6	- 15 1,8	5 29 A	6 51 U
	58 29,3	15 56,3	22 39,0 U	319 48,5	13 32,1	15 1 U	17 12 A

☾ Apog. Aug. 23^h 18

SEPTEMBER 1830.

Wahrer Berliner Mittag.

Monats- und Wochentag.	Mittl. Zeit.	Gr. Aufst. ☉	Abweichg. ☉	Log. μ .	Culm. Dauer ☉ Sternzeit.
1 ♀	^h 23 ['] 59 ["] 57,43	^h 10 ['] 40 ["] 22,39	[°] + 8 ['] 24 ["] 19,0	3,41655	['] 2 ["] 8,81
2 ♀	59 38,60	44 0,06	2 30,2	3,41919	8,72
3 ♀	59 19,48	47 37,45	7 40 33,6	3,42172	8,63
4 ♂	59 0,10	51 14,56	18 29,5	3,42411	8,56
5 ☉	23 58 40,47	10 54 51,43	+ 6 56 18,3	3,42638	2 8,49
6 ☉	58 20,62	58 28,08	34 0,3	3,42856	8,42
7 ♂	58 0,57	11 2 4,53	11 35,7	3,43062	8,36
8 ♀	57 40,34	5 40,79	5 49 4,9	3,43259	8,30
9 ♀	57 19,94	9 16,89	26 28,1	3,43444	8,26
10 ♀	56 59,40	12 52,85	3 45,7	3,43616	8,21
11 ♂	56 38,74	16 28,69	4 40 58,1	3,43777	8,17
12 ☉	23 56 17,99	11 20 4,43	+ 4 18 5,6	3,43928	2 8,14
13 ☉	55 57,15	23 40,09	3 55 8,4	3,44069	8,11
14 ♂	55 36,23	27 15,68	32 7,0	3,44198	8,09
15 ♀	55 15,26	30 51,21	9 1,6	3,44316	8,07
16 ♀	54 54,26	34 26,70	2 45 52,7	3,44422	8,06
17 ♀	54 33,25	38 2,18	22 40,5	3,44517	8,06
18 ♂	54 12,24	41 37,66	1 59 25,5	3,44601	8,07
19 ☉	23 53 51,24	11 45 13,15	+ 1 36 7,9	3,44674	2 8,08
20 ☉	53 30,27	48 48,67	12 48,2	3,44734	8,09
21 ♂	53 9,34	52 24,23	0 49 26,7	3,44785	8,11
22 ♀	52 48,49	55 59,87	26 3,7	3,44827	8,13
23 ♀	52 27,72	59 35,60	+ 0 2 39,5	3,44855	8,16
24 ♀	52 7,06	12 3 11,43	- 0 20 45,3	3,44873	8,20
25 ♂	51 46,52	6 47,38	44 10,6	3,44882	8,25
26 ☉	23 51 26,12	12 10 23,48	- 1 7 36,0	3,44880	2 8,30
27 ☉	51 5,89	13 59,74	31 1,2	3,44866	8,36
28 ♂	50 45,84	17 36,19	54 25,7	3,44840	8,42
29 ♀	50 26,00	21 12,85	2 17 49,2	3,44804	8,49
30 ♀	50 6,38	24 49,74	41 11,4	3,44759	8,57

SEPTEMBER 1830.

Mittlerer Berliner Mittag.

Monats- und Jahrestag.		Sternzeit.	Länge ☉	Breite ☉	Lg. Rad. v. ☉	Halbm. ☉
1	244	10 ^h 40' 24,97	158° 27' 49,2	+ 0,21	0,0037022	15' 53,22
2	245	44 21,52	159 25 56,4	+ 0,09	0,0035955	53,46
3	246	48 18,08	160 24 5,3	— 0,03	0,0034882	53,70
4	247	52 14,63	161 22 15,9	— 0,15	0,0033805	53,94
5	248	10 56 11,18	162 20 28,4	— 0,27	0,0032722	15 54,19
6	249	11 0 7,73	163 18 42,8	— 0,36	0,0031634	54,43
7	250	4 4,29	164 16 59,1	— 0,42	0,0030541	54,68
8	251	8 0,84	165 15 17,5	— 0,46	0,0029441	54,93
9	252	11 57,39	166 13 37,9	— 0,47	0,0028334	55,18
10	253	15 53,94	167 12 0,5	— 0,45	0,0027219	55,43
11	254	19 50,50	168 10 25,2	— 0,40	0,0026096	55,68
12	255	11 23 47,05	169 8 52,0	— 0,34	0,0024962	15 55,93
13	256	27 43,60	170 7 21,0	— 0,27	0,0023818	56,19
14	257	31 40,15	171 5 52,0	— 0,16	0,0022663	56,45
15	258	35 36,71	172 4 25,1	— 0,03	0,0021496	56,71
16	259	39 33,26	173 3 0,2	+ 0,10	0,0020318	56,98
17	260	43 29,81	174 1 37,3	+ 0,22	0,0019127	57,24
18	261	47 26,36	175 0 16,3	+ 0,33	0,0017923	57,51
19	262	11 51 22,91	175 58 57,3	+ 0,43	0,0016708	15 57,77
20	263	55 19,46	176 57 40,1	+ 0,51	0,0015483	58,04
21	264	59 16,01	177 56 24,8	+ 0,56	0,0014248	58,30
22	265	12 3 12,56	178 55 11,3	+ 0,59	0,0013004	58,57
23	266	7 9,12	179 53 59,5	+ 0,59	0,0011753	58,85
24	267	11 5,67	180 52 49,4	+ 0,56	0,0010496	59,12
25	268	15 2,22	181 51 41,1	+ 0,51	0,0009234	59,40
26	269	12 18 58,77	182 50 34,6	+ 0,42	0,0007970	15 59,68
27	270	22 55,32	183 49 29,8	+ 0,31	0,0006704	59,95
28	271	26 51,87	184 48 26,8	+ 0,20	0,0005438	16 0,23
29	272	30 48,42	185 47 25,6	+ 0,08	0,0004173	0,51
30	273	34 44,97	186 46 26,3	— 0,04	0,0002912	0,79

SEPTEMBER 1830.

Mittlerer Mittag und Mitternacht.

Monatstag.	Länge ζ	Breite ζ	Gr. Aufst. ζ	Abweichg. ζ
1 0 ^h	318° 47' 19,5	+ 1° 56' 36,3	320° 36' 7,5	— 13° 21' 25,5
12	325 50 29,2	1 19 23,6	327 38 34,4	11 40 13,3
2 0	332 58 36,2	0 40 30,4	334 40 44,5	9 47 27,4
12	340 11 7,3	+ 0 0 34,7	341 42 22,1	7 44 47,9
3 0	347 27 20,3	— 0 39 42,4	348 43 22,3	5 34 10,3
12	354 46 30,8	1 19 36,7	355 43 55,8	3 17 43,5
4 0	2 7 48,3	1 58 22,3	2 44 20,7	— 0 57 43,9
12	9 30 21,0	2 35 15,6	9 45 3,5	+ 1 23 24,7
5 0	16 53 16,7	3 9 34,6	16 46 34,6	3 43 17,9
12	24 15 43,0	3 40 41,5	23 49 23,2	5 59 32,0
6 0	31 36 51,0	— 4 8 3,3	30 53 55,2	+ 8 9 49,4
12	38 55 57,5	4 31 13,7	38 0 31,0	10 12 0,3
7 0	46 12 22,6	4 49 52,5	45 9 18,2	12 4 6,0
12	53 25 34,0	5 3 46,2	52 20 12,8	13 44 21,4
8 0	60 35 4,4	5 12 48,6	59 32 54,8	15 11 15,7
12	67 40 34,4	5 16 58,7	66 46 49,9	16 23 36,0
9 0	74 41 48,9	5 16 21,4	74 1 7,7	17 20 27,1
12	81 38 40,0	5 11 5,7	81 14 46,9	18 1 13,7
10 0	88 31 4,9	5 1 24,7	88 26 38,1	18 25 39,3
12	95 19 3,4	4 47 35,2	95 35 26,4	18 33 46,0
11 -0	102 2 40,2	+ 4 29 56,0	102 39 59,7	+ 18 25 54,4
12	108 42 2,7	4 8 48,5	109 39 11,9	18 2 40,2
12 0	115 17 18,1	3 44 35,3	116 32 5,1	17 24 53,8
12	121 48 39,2	3 17 40,7	123 17 58,9	16 33 35,8
13 0	128 16 15,7	2 48 29,9	129 56 23,6	15 29 56,0
12	134 40 18,3	2 17 26,8	136 27 6,2	14 15 12,1
14 0	141 0 59,1	1 44 58,3	142 50 8,6	12 50 42,6
12	147 18 30,1	1 11 29,6	149 5 46,8	11 17 49,8
15 0	153 33 0,1	0 37 25,6	155 14 25,0	9 37 55,4
12	159 44 42,5	— 0 3 11,2	161 16 41,1	7 52 20,9
16 0	165 53 46,4	+ 0 30 49,6	167 13 16,5	+ 6 2 25,3
12	172 0 21,8	1 4 15,3	173 4 59,5	4 9 26,9

○ Sptb. 2 11^h 30,9
 ● 9 2 49,2

● Sptb. 16 15^h 16,4

SEPTEMBER 1830.

Mittlerer Mittag und Mitternacht.			☾ im Meridian.			Auf- und Untergang.	
	Par. ☾	Halbm. ☾	Mittl. Zeit.	Gr. Aufst.	Abweichg.	☾	☉
1	58 53,4	16 2,9	11 ^h 6,2 <i>O</i>	327° 7,0	— 11° 48,2	6 ^h 5 ['] <i>A</i>	6 48 ^h <i>U</i>
	59 15,4	16 8,9	23 33,4 <i>U</i>	334 25,1	9 51,7	16 16 <i>U</i>	17 13 <i>A</i>
2	59 35,3	16 14,3	12 0,5 <i>O</i>	341 42,7	7 44,7	6 37 <i>A</i>	6 46 <i>U</i>
	59 52,8	16 19,0	* *	* *	* *	17 35 <i>U</i>	17 15 <i>A</i>
3	60 6,8	16 22,9	0 27,6 <i>U</i>	348 59,4	5 29,0	7 7 <i>A</i>	6 44 <i>U</i>
	60 17,3	16 25,7	12 54,6 <i>O</i>	356 15,8	3 7,2	18 55 <i>U</i>	17 16 <i>A</i>
4	60 24,3	16 27,6	1 21,6 <i>U</i>	3 32,0	— 0 41,7	7 35 <i>A</i>	6 42 <i>U</i>
	60 27,3	16 28,4	13 48,7 <i>O</i>	10 48,7	+ 1 44,7	20 16 <i>U</i>	17 18 <i>A</i>
5	60 26,7	16 28,3	2 15,9 <i>U</i>	18 6,3	4 9,4	8 3 <i>A</i>	6 39 <i>U</i>
	60 22,7	16 27,2	14 43,1 <i>O</i>	25 25,4	6 29,7	21 37 <i>U</i>	17 20 <i>A</i>
6	60 15,3	16 25,2	3 10,4 <i>U</i>	32 46,6	+ 8 43,0	8 33 <i>A</i>	6 37 <i>U</i>
	60 5,1	16 22,5	15 37,9 <i>O</i>	40 10,0	10 47,1	22 56 <i>U</i>	17 21 <i>A</i>
7	59 52,4	16 18,9	4 5,6 <i>U</i>	47 36,2	12 39,6	9 7 <i>A</i>	6 35 <i>U</i>
	59 37,6	16 14,9	16 33,5 <i>O</i>	55 4,4	14 19,0	* *	17 23 <i>A</i>
8	59 20,9	16 10,5	5 1,5 <i>U</i>	62 34,6	15 43,3	0 11 <i>U</i>	6 33 <i>U</i>
	59 3,0	16 5,5	17 29,5 <i>O</i>	70 5,6	16 51,6	9 46 <i>A</i>	17 25 <i>A</i>
9	58 44,8	16 0,5	5 57,5 <i>U</i>	77 36,6	17 42,6	1 21 <i>U</i>	6 30 <i>U</i>
	58 25,5	15 55,3	18 25,4 <i>O</i>	85 6,2	18 16,4	10 30 <i>A</i>	17 26 <i>A</i>
10	58 6,3	15 50,0	6 53,1 <i>U</i>	92 33,1	18 32,2	2 24 <i>U</i>	6 28 <i>U</i>
	57 47,6	15 44,9	19 20,6 <i>O</i>	99 55,8	18 30,8	11 22 <i>A</i>	17 28 <i>A</i>
11	57 29,1	15 39,9	7 47,7 <i>U</i>	107 12,9	+ 18 12,5	3 18 <i>U</i>	6 25 <i>U</i>
	57 11,0	15 34,9	20 14,3 <i>O</i>	114 23,4	17 38,3	12 20 <i>A</i>	17 30 <i>A</i>
12	56 53,3	15 30,1	8 40,5 <i>U</i>	121 26,1	16 49,0	4 3 <i>U</i>	6 23 <i>U</i>
	56 36,3	15 25,5	21 6,1 <i>O</i>	128 20,8	15 46,3	13 22 <i>A</i>	17 32 <i>A</i>
13	56 20,0	15 21,1	9 31,1 <i>U</i>	135 6,8	14 31,5	4 41 <i>U</i>	6 21 <i>U</i>
	56 4,2	15 16,7	21 55,6 <i>O</i>	141 44,4	13 6,0	14 28 <i>A</i>	17 34 <i>A</i>
14	55 49,4	15 12,7	10 19,5 <i>U</i>	148 13,7	11 31,3	5 13 <i>U</i>	6 18 <i>U</i>
	55 35,2	15 8,8	22 42,9 <i>O</i>	154 35,3	9 48,9	15 34 <i>A</i>	17 35 <i>A</i>
15	55 21,8	15 5,2	11 5,9 <i>U</i>	160 49,7	8 0,5	5 40 <i>U</i>	6 16 <i>U</i>
	55 9,0	15 1,7	23 28,4 <i>O</i>	166 57,8	6 7,3	16 41 <i>A</i>	17 37 <i>A</i>
16	54 57,2	14 58,5	11 50,6 <i>U</i>	173 0,4	+ 4 10,9	6 5 <i>U</i>	6 13 <i>U</i>
	54 46,0	14 55,4	* *	* *	* *	17 46 <i>A</i>	17 38 <i>A</i>

☾ Perig. Sptb. 4 16^h

SEPTEMBER 1830.

Mittlerer Mittag und Mitternacht.

Monatstag.	Länge (Breite (Gr. Aufst. (Abweich. (
16 ^h 00	165° 53' 46,4	+ 0° 30' 49,6	167° 13' 16,5	+ 6° 2' 25,3
12	172 0 21,8	1 4 15,3	173 4 59,5	4 9 26,9
17 00	178 4 41,0	1 36 43,0	178 52 43,1	2 14 37,5
12	184 6 55,8	2 7 53,5	184 37 22,5	+ 0 19 8,7
18 00	190 7 18,7	2 37 27,6	190 19 53,7	— 1 35 52,7
12	196 6 3,2	3 5 8,3	196 1 13,2	3 29 21,8
19 00	202 3 24,0	3 30 39,9	201 42 16,6	5 20 17,4
12	207 59 38,2	3 53 49,9	207 23 59,8	7 7 38,7
20 00	213 55 4,6	4 14 24,7	213 7 15,6	8 50 30,0
12	219 50 4,1	4 32 13,9	218 52 54,9	10 27 55,4
21 00	225 44 58,5	+ 4 47 8,7	224 41 44,1	— 11 58 59,6
12	231 40 12,7	4 58 59,4	230 34 25,7	13 22 51,2
22 00	237 36 12,2	5 7 39,3	236 31 36,0	14 38 36,9
12	243 33 26,1	5 13 2,9	242 33 47,0	15 45 23,4
23 00	349 32 24,5	5 15 4,7	248 41 22,0	16 42 20,8
12	255 33 37,6	5 13 39,9	254 54 35,3	17 28 39,2
24 00	261 37 38,8	5 8 44,7	261 13 33,9	18 3 30,7
12	267 45 0,0	5 0 17,4	267 38 14,0	18 26 9,0
25 00	273 56 15,9	4 48 17,3	274 8 25,6	18 35 51,8
12	280 11 59,9	4 32 43,2	280 43 48,6	18 32 3,7
26 00	286 32 42,3	+ 4 13 37,6	287 23 54,5	— 18 14 15,0
12	292 58 54,4	3 51 5,3	294 8 12,5	17 42 4,0
27 00	299 31 1,7	3 25 13,2	300 56 6,1	16 55 21,3
12	306 9 27,9	2 56 11,4	307 47 1,8	15 54 9,5
28 00	312 54 29,9	2 24 15,1	314 40 26,6	14 38 45,2
12	319 46 19,1	1 49 43,3	321 35 54,6	13 9 41,6
29 00	326 44 57,2	1 13 0,6	328 33 5,2	11 27 49,3
12	333 50 17,9	+ 0 34 36,6	335 31 48,1	9 34 17,4
30 00	341 2 5,2	— 0 4 53,6	342 32 2,7	7 30 32,9
12	348 19 51,1	0 44 49,8	349 33 55,9	5 18 21,4
31 00	355 42 56,3	— 1 24 27,7	356 37 42,2	— 2 59 45,8
12	3 10 31,5	2 3 1,8	3 43 42,8	0 37 4,7

● Sptb. 16 15^h 16,4○ Sptb. 24 19^h 38,0

SEPTEMBER 1830.

Mittlerer Mittag und Mitternacht.			☾ im Meridian.			Auf- und Untergang.	
	Par. ☾	Halbm. ☾	Mittl. Zeit.	Gr. Aufst.	Abweichg.	☾	☉
16	54 57,2	14 58,5	11 50,6 ^h U	173 0,4	+ 4 10,9	6 5 ^h U	6 13 ^h U
	54 46,0	14 55,4	* *	* *	* *	17 46 <i>A</i>	17 38 <i>A</i>
17	54 36,0	14 52,7	0 12,4 <i>O</i>	178 58,7	2 12,6	6 27 <i>U</i>	6 11 <i>U</i>
	54 26,9	14 50,2	12 34,0 <i>U</i>	184 53,6	+ 0 13,7	18 51 <i>A</i>	17 40 <i>A</i>
18	54 18,7	14 48,0	0 55,5 <i>O</i>	190 46,2	- 1 44,7	6 49 <i>U</i>	6 9 <i>U</i>
	54 11,8	14 46,1	13 16,9 <i>U</i>	196 37,6	3 41,4	19 55 <i>A</i>	17 42 <i>A</i>
19	54 6,3	14 44,6	1 38,3 <i>O</i>	202 28,9	5 35,2	7 12 <i>U</i>	6 6 <i>U</i>
	54 2,5	14 43,6	13 59,7 <i>U</i>	208 21,0	7 25,1	20 59 <i>A</i>	17 43 <i>A</i>
20	54 0,2	14 43,0	2 21,2 <i>O</i>	214 14,9	9 10,1	7 36 <i>U</i>	6 4 <i>U</i>
	53 59,6	14 42,8	14 43,0 <i>U</i>	220 11,6	10 49,2	22 1 <i>A</i>	17 45 <i>A</i>
21	54 0,8	14 43,1	3 5,0 <i>O</i>	226 11,9	- 12 21,3	8 2 <i>U</i>	6 1 <i>U</i>
	54 3,9	14 44,0	15 27,3 <i>U</i>	232 16,8	13 45,5	23 3 <i>A</i>	17 47 <i>A</i>
22	54 9,5	14 45,5	3 49,9 <i>O</i>	238 26,7	15 0,9	8 31 <i>U</i>	5 59 <i>U</i>
	54 17,0	14 47,5	16 13,0 <i>U</i>	244 42,3	16 6,5	* *	17 49 <i>A</i>
23	54 27,0	14 50,3	4 36,4 <i>O</i>	251 4,0	17 1,3	0 3 <i>A</i>	5 57 <i>U</i>
	54 39,3	14 53,6	17 0,2 <i>U</i>	257 32,0	17 44,5	9 6 <i>U</i>	17 50 <i>A</i>
24	54 54,1	14 57,6	5 24,4 <i>O</i>	264 6,3	18 15,2	0 59 <i>A</i>	5 54 <i>U</i>
	55 11,1	15 2,3	17 49,1 <i>U</i>	270 46,9	18 32,4	9 48 <i>U</i>	17 52 <i>A</i>
25	55 30,7	15 7,6	6 14,1 <i>O</i>	277 33,3	18 35,6	1 52 <i>A</i>	5 52 <i>U</i>
	55 52,7	15 13,6	18 39,5 <i>U</i>	284 25,3	18 23,9	10 37 <i>U</i>	17 53 <i>A</i>
26	56 16,8	15 20,2	7 5,3 <i>O</i>	291 22,2	- 17 57,0	2 40 <i>A</i>	5 49 <i>U</i>
	56 42,4	15 27,2	19 31,4 <i>U</i>	298 23,5	17 14,4	11 34 <i>U</i>	17 55 <i>A</i>
27	57 9,6	15 34,6	7 57,7 <i>O</i>	305 28,5	16 16,4	3 22 <i>A</i>	5 47 <i>U</i>
	57 37,8	15 42,3	20 24,1 <i>U</i>	312 36,3	15 2,7	12 38 <i>U</i>	17 57 <i>A</i>
28	58 6,7	15 50,1	8 50,7 <i>O</i>	319 46,5	13 34,4	4 0 <i>A</i>	5 45 <i>U</i>
	58 35,5	15 58,0	21 17,5 <i>U</i>	326 58,8	11 51,8	13 49 <i>U</i>	17 58 <i>A</i>
29	59 3,6	16 5,6	9 44,4 <i>O</i>	334 12,8	9 56,5	4 33 <i>A</i>	5 42 <i>U</i>
	59 30,4	16 12,9	22 11,4 <i>U</i>	341 28,5	7 49,7	15 6 <i>U</i>	18 0 <i>A</i>
30	59 55,2	16 19,7	10 38,6 <i>O</i>	348 46,1	5 33,7	5 3 <i>A</i>	5 40 <i>U</i>
	60 17,4	16 25,7	23 5,9 <i>U</i>	356 5,8	3 10,3	16 26 <i>U</i>	18 2 <i>A</i>
31	60 36,3	16 30,9	11 33,3 <i>O</i>	3 27,9	- 0 42,4	5 32 <i>A</i>	5 38 <i>U</i>
	60 50,8	16 34,8	* *	* *	* *	17 48 <i>U</i>	18 3 <i>A</i>

☾ Apog. Spt. 20 10^h

OCTOBER 1830.

Wahrer Berliner Mittag.

Monats- und Wochentag.		Mittl. Zeit.	Gr. Aufst. ☉	Abweichg. ☉	Log. μ .	Culm. Dauer ☉ Sternzeit.
1	♀	^h 23 ['] 49 ["] 47,04	^h 12 ['] 28 ["] 26,89	— 3° 4' 32,0	3,44703	2' 8,65
2	♄	49 27,97	32 4,32	27 50,6	3,44635	8,73
3	☉	23 49 9,21	12 35 42,06	— 3 51 6,8	3,44557	2 8,83
4	☾	48 50,77	39 20,13	4 14 20,4	3,44470	8,93
5	♂	48 32,69	42 58,55	37 31,0	3,44371	9,04
6	♀	48 14,98	46 37,35	5 0 38,3	3,44262	9,15
7	♂	47 57,67	50 16,54	23 41,9	3,44141	9,26
8	♀	47 40,78	53 56,16	46 41,5	3,44007	9,39
9	♄	47 24,33	57 36,21	6 9 36,6	3,43860	9,52
10	☉	23 47 8,34	13 1 16,73	— 6 32 26,9	3,43704	2 9,65
11	☾	46 52,83	4 57,73	55 12,1	3,43535	9,78
12	♂	46 37,82	8 39,23	7 17 51,8	3,43353	9,93
13	♀	46 23,32	12 21,24	40 25,6	3,43157	10,08
14	♂	46 9,35	16 3,79	8 2 53,1	3,42949	10,24
15	♀	45 55,92	19 46,88	25 14,0	3,42727	10,40
16	♄	45 43,06	23 30,54	47 27,8	3,42490	10,56
17	☉	23 55 30,78	13 27 14,77	— 9 9 34,1	3,42238	2 10,73
18	☾	45 19,09	30 59,60	31 32,5	3,41973	10,91
19	♂	45 8,01	34 45,03	53 22,7	3,41691	11,09
20	♀	44 57,53	38 31,07	10 15 4,1	3,41394	11,27
21	♂	44 47,67	42 17,74	36 36,5	3,41083	11,46
22	♀	44 38,46	46 5,06	57 59,4	3,40754	11,65
23	♄	44 29,90	49 53,03	11 19 12,4	3,40410	11,85
24	☉	23 44 22,02	13 53 41,69	— 11 40 15,1	3,40047	2 12,06
25	☾	44 14,83	57 31,03	12 1 7,0	3,39669	12,26
26	♂	44 8,33	14 1 21,07	21 47,9	3,39273	12,47
27	♀	44 2,55	5 11,82	42 17,2	3,38858	12,68
28	♂	43 57,49	9 3,30	13 2 34,6	3,38424	12,90
29	♀	43 53,17	12 55,52	22 39,6	3,37974	13,11
30	♄	43 49,61	16 48,50	42 32,0	3,37506	13,34
31	☉	23 43 46,82	14 20 42,26	— 14 2 11,3	3,37016	2 13,56

OCTOBER 1830.

Mittlerer Berliner Mittag.

Monats- und Jahrestag.		Sternzeit.	Länge ☉	Breite ☉	Lg. Rad. v. ☉	Halbm. ☉
1	274	^h 12 ['] 38 ["] 41,53	^o 187 ['] 45 ["] 28,9	— 0,15	0,0001654	16' 1,06
2	275	42 38,08	188 44 33,5	— 0,26	0,0000400	1,34
3	276	12 46 34,63	189 43 40,1	— 0,36	9,9999151	16 1,61
4	277	50 31,18	190 42 48,9	— 0,44	9,9997908	1,89
5	278	54 27,74	191 41 59,8	— 0,48	9,9996669	2,16
6	279	58 24,29	192 41 13,0	— 0,50	9,9995435	2,44
7	280	13 2 20,84	193 40 28,4	— 0,48	9,9994204	2,72
8	281	6 17,39	194 39 46,2	— 0,45	9,9992977	3,00
9	282	10 13,94	195 39 6,2	— 0,39	9,9991753	3,28
10	283	13 14 10,49	196 38 28,5	— 0,31	9,9990531	16 3,56
11	284	18 7,05	197 37 53,1	— 0,20	9,9989311	3,83
12	285	22 3,60	198 37 20,1	— 0,08	9,9988091	4,11
13	286	26 0,15	199 36 49,3	+ 0,04	9,9986870	4,38
14	287	29 56,70	200 36 20,8	+ 0,17	9,9985648	4,65
15	288	33 53,26	201 35 54,4	+ 0,29	9,9984426	4,92
16	289	37 49,81	202 35 30,1	+ 0,39	9,9983202	5,19
17	290	13 41 46,36	203 35 7,9	+ 0,47	9,9981977	16 5,47
18	291	45 42,91	204 34 47,8	+ 0,54	9,9980750	5,74
19	292	49 39,46	205 34 29,6	+ 0,58	9,9979522	6,01
20	293	53 36,02	206 34 13,2	+ 0,59	9,9978296	6,28
21	294	57 32,57	207 33 58,6	+ 0,57	9,9977072	6,55
22	295	14 1 29,12	208 33 45,8	+ 0,51	9,9975851	6,82
23	296	5 25,68	209 33 34,7	+ 0,42	9,9974634	7,09
24	297	14 9 22,23	210 33 25,4	+ 0,32	9,9973422	16 7,35
25	298	13 18,79	211 33 17,7	+ 0,21	9,9972217	7,61
26	299	17 15,34	212 33 11,8	+ 0,09	9,9971021	7,87
27	300	21 11,89	213 33 7,6	— 0,03	9,9969835	8,13
28	301	25 8,44	214 33 5,0	— 0,15	9,9968661	8,39
29	302	20 5,00	215 33 4,1	— 0,26	9,9967500	8,64
30	303	33 1,55	216 33 5,0	— 0,35	9,9966354	8,89
31	304	14 36 58,11	217 33 7,7	— 0,43	9,9965222	16 9,14

OCTOBER 1830.

Mittlerer Mittag und Mitternacht.

Monatstag.	Länge ζ	Breite ζ	Gr. Aufst. ζ	Abweichg. ζ
1 h 0	355 42 56,3	— 1 24 27,7	356 37 42,2	— 2 59 45,8
12	3 10 31,5	2 3 1,8	3 43 42,8	— 0 37 4,7
2 0	10 41 36,1	2 39 43,3	10 52 18,7	+ 1 47 12,9
12	18 15 4,9	3 13 47,0	18 3 53,7	4 10 28,8
3 0	25 49 44,7	3 44 29,2	25 18 43,9	6 30 2,4
12	33 24 19,4	4 11 13,0	32 36 56,3	8 43 14,3
4 0	40 57 36,3	4 33 28,2	39 58 27,7	10 47 30,7
12	48 28 24,5	4 50 51,1	47 22 57,2	12 40 35,7
5 0	55 55 40,9	5 3 9,6	54 49 48,0	14 20 25,5
12	63 18 30,1	5 10 17,2	62 18 4,0	15 45 21,1
6 0	70 36 8,1	— 5 12 16,7	69 46 34,5	+ 16 54 6,8
12	77 48 2,1	5 9 17,8	77 13 56,5	17 45 52,9
7 0	84 53 48,6	5 1 35,7	84 38 37,6	18 20 15,5
12	91 53 17,7	4 49 29,6	91 59 7,9	18 37 16,4
8 0	98 46 26,4	4 33 21,8	99 14 0,1	18 37 19,4
12	105 33 20,5	4 13 36,9	106 21 58,6	18 21 7,4
9 0	112 14 13,8	3 50 40,1	113 22 4,7	17 49 38,7
12	118 49 24,4	3 24 59,3	120 13 36,6	17 4 0,6
10 0	125 19 14,6	2 56 59,4	126 56 12,1	16 5 30,7
12	131 44 9,7	2 27 6,4	133 29 47,6	14 55 29,6
11 0	138 4 35,3	— 1 55 45,4	139 54 34,9	+ 13 35 18,8
12	144 20 59,3	1 23 20,3	146 11 1,8	12 6 20,8
12 0	150 33 47,4	0 50 16,0	152 19 45,6	10 29 55,7
12	156 43 26,8	— 0 16 54,8	158 21 34,3	8 47 20,2
13 0	162 50 19,6	+ 0 16 21,7	164 17 18,9	6 59 51,2
12	168 54 49,3	0 49 11,6	170 7 57,2	5 8 40,1
14 0	174 57 17,4	1 21 14,8	175 54 29,1	3 14 56,3
12	180 58 1,7	1 52 11,7	181 37 53,8	+ 1 19 49,5
15 0	186 57 18,7	2 21 44,0	187 19 10,7	— 0 35 36,0
12	192 55 23,4	2 49 34,1	192 59 17,9	2 30 15,2
16 0	198 52 28,4	+ 3 15 25,9	198 39 11,4	— 4 23 5,3
12	204 48 50,3	3 39 4,9	204 19 45,4	6 13 3,8

○ Oct. 1 20^h 39,9● Oct. 8 11^h 13,4● Oct. 16 8^h 11,0

OCTOBER 1830.

Mittlerer Mittag und Mitternacht.			☾ im Meridian.			Auf- und Untergang.	
	Par. ☾	Halbm. ☾	Mittl. Zeit.	Gr. Aufst.	Abweichg.	☾	☉
1	60 36,3	16 30,9	11 ^h 33,3 O	3 ^o 27,9	— 0 42,4	5 32 A	5 38 U
	60 50,8	16 34,8	* *	* *	* *	17 48 U	18 3 A
2	61 1,5	16 37,8	0 0,9 U	10 52,8	+ 1 47,4	6 1 A	5 35 U
	61 7,9	16 39,5	12 28,8 O	18 21,0	4 16,2	19 10 U	18 5 A
3	61 9,2	16 39,9	0 56,9 U	25 53,1	6 40,9	6 31 A	5 33 U
	61 6,0	16 39,0	13 25,2 O	33 29,0	8 58,6	20 33 U	18 7 A
4	60 58,4	16 36,9	1 53,8 U	41 8,6	11 6,3	7 5 A	5 31 U
	60 46,4	16 33,6	14 22,6 O	48 51,4	13 1,5	21 53 U	18 8 A
5	60 30,9	16 29,4	2 51,7 U	56 36,7	14 42,1	7 42 A	5 29 U
	60 12,2	16 24,3	15 20,6 O	64 23,1	16 6,2	23 10 U	18 10 A
6	59 50,7	16 18,5	3 49,6 U	72 9,5	+ 17 12,5	8 25 A	5 26 U
	59 27,6	16 12,2	16 18,5 O	79 53,9	18 0,3	* *	18 12 A
7	59 2,9	16 5,4	4 47,2 U	87 34,8	18 29,1	0 17 U	5 24 U
	58 37,6	15 58,5	17 15,5 O	95 10,4	18 39,4	9 16 A	18 14 A
8	58 12,3	15 51,6	5 43,4 U	102 38,9	18 31,5	1 15 U	5 22 U
	57 47,0	15 44,8	18 10,7 O	109 59,2	18 6,7	10 12 A	18 16 A
9	57 22,5	15 38,1	6 37,4 U	117 10,2	17 26,0	2 4 U	5 19 U
	56 59,1	15 31,7	19 3,4 O	124 11,5	16 31,0	11 15 A	18 17 A
10	56 36,8	15 25,6	7 28,8 U	131 2,6	15 23,1	2 43 U	5 17 U
	56 15,9	15 19,9	19 53,5 O	137 43,9	14 3,8	12 20 A	18 19 A
11	55 56,5	15 14,6	8 17,6 U	144 15,6	+ 12 34,7	3 17 U	5 14 U
	55 38,6	15 9,8	20 41,1 O	150 38,7	10 57,2	13 26 A	18 21 A
12	55 22,1	15 5,3	9 4,0 U	156 53,7	9 13,0	3 45 U	5 12 U
	55 7,2	15 1,2	21 26,5 O	163 1,9	7 23,2	14 32 A	18 23 A
13	54 54,1	14 57,6	9 48,6 U	169 4,3	5 29,2	4 10 U	5 10 U
	54 42,4	14 54,4	12 10,5 O	175 2,0	3 32,3	15 37 A	18 25 A
14	54 31,8	14 51,6	10 32,1 U	180 56,1	+ 1 33,9	4 32 U	5 7 U
	54 22,7	14 49,1	22 53,5 O	186 47,8	— 0 25,0	16 42 A	18 26 A
15	54 14,9	14 47,0	11 14,8 U	192 38,0	2 23,1	4 54 U	5 5 U
	54 8,2	14 45,1	23 36,8 O	198 27,9	4 19,4	17 46 A	18 28 A
16	54 3,0	14 43,7	11 57,4 U	204 18,5	— 6 12,7	5 16 U	5 3 U
	53 58,9	14 42,6	* *	* *	* *	18 49 A	18 30 A

☾ Perig. Oct. 21^h

OCTOBER 1830.

Mittlerer Mittag und Mitternacht.

Monatstag.		Länge (Breite (Gr. Aufst. (Abweichg. (
16	0 ^h	198 52' 29,4	+ 3 15' 25,9	198 39' 11,4	— 4 23' 5,3
	12	204 48 50,3	3 39 4,9	204 19 45,4	6 13 4,3
17	0	210 44 37,9	4 0 16,9	210 1 49,3	7 59 12,2
	12	216 40 4,2	4 18 50,9	215 46 9,3	9 40 28,2
18	0	222 35 21,8	4 34 35,8	221 33 26,5	11 15 54,7
	12	228 30 42,5	4 47 21,5	227 24 14,8	12 44 34,6
19	0	234 26 20,0	4 57 1,8	233 19 3,4	14 5 30,7
	12	240 22 30,7	5 3 30,4	239 18 15,4	15 17 49,5
20	0	246 19 31,4	5 6 42,3	245 22 4,9	16 20 39,0
	12	252 17 39,9	5 6 35,0	251 30 37,7	17 13 9,2
21	0	258 17 19,0	+ 5 3 5,3	257 43 54,0	— 17 54 35,4
	12	264 18 51,1	4 56 13,1	264 1 44,1	18 24 15,3
22	0	270 22 41,9	4 45 59,0	270 23 52,8	18 41 31,8
	12	276 29 19,0	4 32 24,7	276 49 58,6	18 45 54,0
23	0	282 39 11,9	4 15 34,2	283 19 36,7	18 36 56,3
	12	288 52 51,9	3 55 32,2	289 52 20,2	18 14 21,6
24	0	295 10 50,4	3 32 25,3	296 27 42,1	17 38 0,8
	12	301 33 39,2	3 6 22,2	303 5 18,0	16 47 53,9
25	0	308 1 51,1	2 37 35,0	309 44 50,2	15 44 9,6
	12	314 35 54,9	2 6 17,3	316 26 5,6	14 27 8,9
26	0	321 16 17,7	+ 1 32 47,5	323 9 0,2	— 12 57 23,3
	12	328 3 22,6	0 57 26,6	329 53 40,2	11 15 37,5
27	0	334 57 26,6	+ 0 20 40,6	326 40 20,8	9 22 49,6
	12	341 58 37,4	— 0 17 0,1	343 29 24,8	7 20 13,1
28	0	349 6 56,2	0 55 0,7	350 21 25,9	5 9 15,9
	12	356 22 10,7	1 32 42,2	357 17 1,5	2 51 43,5
29	0	3 43 56,0	2 9 22,4	4 16 52,4	— 0 29 37,9
	12	11 11 34,2	2 44 16,9	11 21 39,7	+ 1 54 43,4
30	0	18 44 14,5	3 16 39,8	18 32 0,6	4 18 50,0
	12	26 20 50,8	3 45 47,5	25 48 21,2	6 39 59,4
31	0	34 0 9,1	— 4 11 0,9	33 10 56,4	+ 8 55 23,3
	12	41 40 45,5	4 31 44,9	40 39 39,6	11 2 14,8

● Oct. 16 8^h 11,0

○ 24 10 57,8

○ Oct. 31 5^h 55,7

OCTOBER 1830.

Mittlerer Mittag und Mitternacht.			☾ im Meridian.			Auf- und Untergang.	
	Par. ☾	Halbm. ☾	Mittl. Zeit.	Gr. Aufst.	Abweichg.	☾	☉
16	54' 3",0	14' 43",7	11 ^h 57,4 <i>U</i>	204° 18,5	— 6° 12,7	5 ^h 16' <i>U</i>	5 ^h 3' <i>U</i>
	53 58,9	14 42,6	* *	* *	* *	18 49 <i>A</i>	18 30 <i>A</i>
17	53 56,2	14 41,9	0 18,9 <i>O</i>	210 10,8	8 1,9	5 39 <i>U</i>	5 1 <i>U</i>
	53 54,6	14 41,4	12 40,6 <i>U</i>	216 5,6	9 46,1	19 53 <i>A</i>	18 32 <i>A</i>
18	53 54,6	14 41,4	1 2,4 <i>O</i>	222 3,7	11 24,0	6 4 <i>U</i>	4 59 <i>U</i>
	53 55,7	14 41,7	13 24,5 <i>U</i>	228 5,7	12 54,5	20 55 <i>A</i>	18 34 <i>A</i>
19	53 58,3	14 42,4	1 46,8 <i>O</i>	234 12,1	14 16,8	6 32 <i>U</i>	4 57 <i>U</i>
	54 2,6	14 43,6	14 9,6 <i>U</i>	240 23,5	15 29,8	21 55 <i>A</i>	18 35 <i>A</i>
20	54 8,6	14 45,2	2 32,7 <i>O</i>	246 39,9	16 32,7	7 6 <i>U</i>	4 55 <i>U</i>
	54 16,2	14 47,3	14 56,1 <i>U</i>	253 1,6	17 24,3	22 53 <i>A</i>	18 37 <i>A</i>
21	54 25,8	14 49,9	3 19,8 <i>O</i>	259 28,3	— 18 4,0	7 44 <i>U</i>	4 53 <i>U</i>
	54 37,1	14 53,1	15 43,9 <i>U</i>	266 0,1	18 30,9	23 47 <i>A</i>	18 39 <i>A</i>
22	54 50,6	14 56,7	4 8,3 <i>O</i>	272 36,6	18 44,5	8 29 <i>U</i>	4 50 <i>U</i>
	55 6,2	15 0,9	16 33,0 <i>U</i>	279 17,3	18 44,0	* *	18 41 <i>A</i>
23	55 23,9	15 5,8	4 57,9 <i>O</i>	286 1,8	18 29,2	0 36 <i>A</i>	4 48 <i>U</i>
	55 43,7	15 11,2	17 23,0 <i>U</i>	292 49,4	17 59,7	9 21 <i>U</i>	18 43 <i>A</i>
24	56 5,9	15 17,2	5 48,3 <i>O</i>	299 39,8	17 15,5	1 19 <i>A</i>	4 46 <i>U</i>
	56 29,7	15 23,7	18 13,8 <i>U</i>	306 32,5	16 16,5	10 21 <i>U</i>	18 44 <i>A</i>
25	56 55,0	15 30,6	6 39,4 <i>O</i>	313 27,2	15 3,1	1 57 <i>A</i>	4 44 <i>U</i>
	57 22,3	15 38,0	19 5,1 <i>U</i>	320 23,8	13 35,7	11 28 <i>U</i>	18 46 <i>A</i>
26	57 50,6	15 45,7	7 31,0 <i>O</i>	327 22,3	— 11 55,0	2 31 <i>A</i>	4 42 <i>U</i>
	58 19,5	15 53,6	19 57,0 <i>U</i>	334 22,8	10 2,1	12 40 <i>U</i>	18 48 <i>A</i>
27	58 48,4	16 1,5	8 23,1 <i>O</i>	341 25,9	7 58,1	3 1 <i>A</i>	4 40 <i>U</i>
	59 16,6	16 9,2	20 49,5 <i>U</i>	348 32,1	5 44,5	13 56 <i>U</i>	18 50 <i>A</i>
28	59 43,9	16 16,6	9 16,2 <i>O</i>	355 42,1	3 23,3	3 30 <i>A</i>	4 38 <i>U</i>
	60 9,4	16 23,6	21 43,1 <i>U</i>	2 56,7	— 0 56,8	15 15 <i>U</i>	18 52 <i>A</i>
29	60 32,4	16 29,8	10 10,4 <i>O</i>	10 16,7	+ 1 32,7	3 57 <i>A</i>	4 36 <i>U</i>
	60 51,6	16 35,1	22 38,1 <i>U</i>	17 42,9	4 2,5	16 37 <i>U</i>	18 54 <i>A</i>
30	61 7,0	16 39,3	11 6,2 <i>O</i>	25 15,6	6 29,6	4 26 <i>A</i>	4 34 <i>U</i>
	61 18,0	16 42,3	23 34,8 <i>U</i>	32 55,4	8 50,7	18 1 <i>U</i>	18 56 <i>A</i>
31	61 24,4	16 44,0	12 3,8 <i>O</i>	40 42,1	+ 11 2,8	4 58 <i>A</i>	4 32 <i>U</i>
	61 25,2	16 44,2	* *	* *	* *	19 24 <i>U</i>	18 57 <i>A</i>

☾ Apog. Oct. 17 18^h
Perig. Oct. 31 8

NOVEMBER 1830.

Wahrer Berliner Mittag.

Monats- und Wochentag.	Mittl. Zeit.	Gr. Aufst. ☉	Abweichg. ☉	Log. μ .	Culm. Dauer ☉ Sternzeit.
1 ☾	^h 23 ['] 43 ["] 44,82	^h 14 ['] 24 ["] 36,80	— 14 ^o 21' 37,1	3,36507	2' 13,79
2 ♂	43 43,62	28 32,15	40 49,1	3,35976	14,02
3 ♀	43 43,22	32 28,31	59 46,7	3,35422	14,25
4 ♄	43 43,65	36 25,30	15 18 29,7	3,34850	14,48
5 ♀	43 44,92	40 23,13	36 57,7	3,34252	14,71
6 ♃	43 47,03	44 21,80	55 10,2	3,33628	14,95
7 ☉	23 43 49,98	14 48 21,32	— 16 13 6,8	3,32978	2 15,19
8 ☾	43 53,79	52 21,69	30 47,1	3,32305	15,43
9 ♂	43 58,46	56 22,93	48 10,8	3,31605	15,66
10 ♀	44 4,00	15 0 25,03	17 5 17,5	3,30876	15,90
11 ♄	44 10,41	4 28,01	22 6,7	3,30114	16,14
12 ♀	44 17,68	8 31,85	38 38,0	3,29343	16,38
13 ♃	44 25,81	12 36,56	54 51,0	3,28497	16,62
14 ☉	23 44 34,80	15 16 42,13	— 18 10 45,4	3,27639	2 16,86
15 ☾	44 44,63	20 48,55	26 20,7	3,26741	17,09
16 ♂	44 55,31	24 55,81	41 36,4	3,25804	17,32
17 ♀	45 6,83	29 3,92	56 32,2	3,24829	17,56
18 ♄	45 19,19	33 12,86	19 11 7,7	3,23813	17,79
19 ♀	45 32,36	37 22,62	25 22,5	3,22753	18,02
20 ♃	45 46,34	41 33,19	39 16,3	3,21646	18,25
21 ☉	23 46 1,12	15 45 44,57	— 19 52 48,6	3,20485	2 18,47
22 ☾	46 16,68	49 56,73	20 5 59,0	3,19274	18,69
23 ♂	46 33,01	54 9,67	18 47,2	3,18010	18,91
24 ♀	46 50,11	58 23,37	31 12,9	3,16688	19,13
25 ♄	47 7,97	16 2 37,83	43 15,7	3,15299	19,34
26 ♀	47 26,56	6 53,03	54 55,2	3,13843	19,54
27 ♃	47 45,87	11 8,95	21 6 11,1	3,12320	19,74
28 ☉	23 48 5,90	16 15 25,59	— 21 17 3,2	3,10721	2 19,93
29 ☾	48 26,63	19 42,94	27 31,1	3,09033	20,12
30 ♂	48 48,04	24 0,97	37 34,4	3,07258	20,31

NOVEMBER 1830.

Mittlerer Berliner Mittag.

Monats- und Jahrestag.	Sternzeit.	Länge ☉	Breite ☉	Lg. Rad. v. ☉	Halbm. ☉
1 305	^h 14 40' 54,66	^o 218 33' 12,2	— 0,49	9,9964106	16' 9,39
2 306	44 51,21	219 33 18,6	— 0,52	9,9963005	9,63
3 307	48 47,76	220 33 26,9	— 0,51	9,9961921	9,88
4 308	52 34,32	221 33 37,2	— 0,48	9,9960853	10,12
5 309	56 40,87	222 33 49,6	— 0,42	9,9959800	10,36
6 310	15 0 37,43	223 34 3,9	— 0,34	9,9958761	10,60
7 311	15 4 33,98	224 34 20,2	— 0,24	9,9957736	16 10,83
8 312	8 30,54	225 34 38,5	— 0,12	9,9956725	11,07
9 313	12 27,09	226 34 58,8	0,00	9,9955727	11,30
10 314	16 23,65	227 35 21,0	+ 0,12	9,9954740	11,52
11 315	20 20,20	228 35 45,2	+ 0,24	9,9953763	11,74
12 316	24 16,75	229 36 11,2	+ 0,35	9,9952796	11,96
13 317	28 13,30	230 36 39,1	+ 0,44	9,9951839	12,18
14 318	15 32 9,86	231 37 8,7	+ 0,51	9,9950891	16 12,39
15 319	36 6,41	232 37 40,0	+ 0,54	9,9949952	12,60
16 320	40 2,97	233 38 12,8	+ 0,54	9,9949022	12,80
17 321	43 59,52	234 38 47,1	+ 0,53	9,9948103	13,00
18 322	47 56,08	235 39 22,8	+ 0,50	9,9947194	13,20
19 323	51 52,63	236 39 59,9	+ 0,42	9,9946296	13,40
20 324	55 49,19	237 40 38,3	+ 0,31	9,9945410	13,59
21 325	15 59 45,75	238 41 17,8	+ 0,19	9,9944538	16 13,78
22 326	16 3 42,31	239 41 58,5	+ 0,07	9,9943679	13,98
23 327	7 38,86	240 42 40,4	— 0,05	9,9942838	14,16
24 328	11 35,42	241 43 23,3	— 0,17	9,9942013	14,34
25 329	15 31,97	242 44 7,3	— 0,29	9,9941208	14,51
26 330	19 28,53	243 44 52,3	— 0,40	9,9940423	14,68
27 331	23 25,08	244 45 38,4	— 0,48	9,9939659	14,85
28 332	16 27 21,64	245 46 25,5	— 0,53	9,9938918	16 15,02
29 333	31 18,20	246 47 13,7	— 0,56	9,9938202	15,17
30 334	35 14,76	247 48 3,1	— 0,56	9,9937510	15,32

NOVEMBER 1830.

Mittlerer Mittag und Mitternacht.

Monatstag.	Länge ζ	Breite ζ	Gr. Aufst. ζ	Abweich. ζ
1 ^h 0	49° 21' 11,5	— 4° 47' 32,6	48° 14' 0,4	+ 12° 57' 53,4
12	56 59 58,9	4 58 7,6	55 53 3,1	14 39 52,4
2 0	64 35 43,1	5 3 21,3	63 35 24,3	16 6 8,6
12	72 7 8,0	5 3 15,6	71 19 17,5	17 15 6,6
3 0	79 33 8,5	4 58 0,9	79 2 38,2	18 5 43,2
12	86 52 51,4	4 47 54,7	86 43 11,8	18 37 29,9
4 0	94 5 38,5	4 33 20,6	94 18 45,2	18 50 31,1
12	101 11 5,8	4 14 45,9	101 47 17,2	18 45 21,7
5 0	108 9 3,3	3 52 41,2	109 7 6,4	18 23 0,1
12	114 59 31,4	3 27 37,4	116 16 55,3	17 44 44,0
6 0	121 42 42,9	— 3 0 4,6	123 15 57,6	+ 16 52 3,8
12	128 18 58,1	2 30 33,8	130 3 52,7	15 46 34,6
7 0	134 48 42,6	1 59 33,6	136 40 44,6	14 29 53,3
12	141 12 29,1	1 27 30,2	143 7 1,6	13 3 36,7
8 0	147 30 51,4	0 54 49,1	149 23 26,4	11 29 15,9
12	153 44 26,5	— 0 21 54,3	155 30 56,0	9 48 15,1
9 0	159 53 51,0	+ 0 10 53,1	161 30 35,5	8 1 55,7
12	165 59 41,4	0 43 12,4	167 23 35,6	6 11 31,9
10 0	172 2 32,3	1 14 43,9	173 11 8,8	4 18 12,6
12	178 2 58,6	1 45 10,6	178 54 31,4	2 23 3,9
11 0	184 1 29,7	+ 2 14 15,8	184 34 55,2	+ 0 27 9,0
12	189 58 34,5	2 41 42,8	190 13 32,0	— 1 28 32,5
12 0	195 54 38,6	3 7 17,0	195 51 30,1	3 23 0,8
12	201 50 4,0	3 30 44,2	201 29 53,5	5 15 17,1
13 0	207 45 10,6	3 51 50,8	207 9 41,7	7 4 22,8
12	213 40 16,2	4 10 25,0	212 51 49,6	8 49 18,9
14 0	219 35 34,2	4 26 16,0	218 37 3,5	10 29 5,1
12	225 31 17,9	4 39 13,5	224 26 4,4	12 2 42,1
15 0	231 27 37,4	4 49 10,3	230 19 23,6	13 29 9,0
12	237 24 43,3	4 55 57,9	236 17 23,9	14 47 28,3
16 0	243 22 43,4	+ 4 59 30,1	242 20 16,9	— 15 56 43,2
12	249 21 46,4	4 59 44,9	248 28 5,0	16 55 57,4

○ Nov. 6 23^h 30,3● Nov. 15 2^h 33,7

NOVEMBER 1830.

Mittlerer Mittag und Mitternacht.			☾ im Meridian.			Auf- und Untergang.	
	Par. ☾	Halbm. ☾	Mittl. Zeit.	Gr. Aufst.	Abweichg.	☾	☉
1	61° 21,2	16° 43,1	^h 0 33,3 <i>U</i>	^o 48 35,2	+ 13° 2,9	^h 5 34' <i>A</i>	^h 4 30' <i>U</i>
	61 12,4	16 40,7	13 3,2 <i>O</i>	56 33,6	14 48,1	20 45 <i>U</i>	18 59 <i>A</i>
2	60 58,9	16 37,1	1 33,3 <i>U</i>	64 35,6	16 16,1	6 15 <i>A</i>	4 29 <i>U</i>
	60 40,9	16 32,2	14 3,5 <i>O</i>	72 38,9	17 25,1	22 1 <i>U</i>	19 1 <i>A</i>
3	60 19,3	16 26,3	2 33,6 <i>U</i>	80 41,2	18 13,9	7 4 <i>A</i>	4 27 <i>U</i>
	59 55,2	16 19,7	15 3,4 <i>O</i>	88 39,8	18 42,6	23 6 <i>U</i>	19 3 <i>A</i>
4	59 28,7	16 12,5	3 32,8 <i>U</i>	96 32,2	18 50,9	8 0 <i>A</i>	4 25 <i>U</i>
	59 0,7	16 4,8	16 1,7 <i>O</i>	104 16,0	18 39,8	* *	19 5 <i>A</i>
5	58 31,7	15 56,9	4 29,9 <i>U</i>	111 49,4	18 10,4	0 0 <i>U</i>	4 23 <i>U</i>
	58 2,8	15 49,1	16 57,3 <i>O</i>	119 11,2	17 24,6	9 3 <i>A</i>	19 7 <i>A</i>
6	57 34,2	15 41,3	5 23,9 <i>U</i>	126 20,8	+ 16 24,1	0 44 <i>U</i>	4 21 <i>U</i>
	57 6,6	15 33,7	17 49,6 <i>O</i>	133 17,9	15 10,7	10 9 <i>A</i>	19 9 <i>A</i>
7	56 40,3	15 26,6	6 14,5 <i>U</i>	140 2,9	13 46,1	1 20 <i>U</i>	4 19 <i>U</i>
	56 15,6	15 19,8	18 38,8 <i>O</i>	146 36,6	12 12,3	11 16 <i>A</i>	19 11 <i>A</i>
8	55 52,8	15 13,6	7 2,4 <i>U</i>	153 0,0	10 30,7	1 50 <i>U</i>	4 17 <i>U</i>
	55 31,8	15 7,9	19 25,3 <i>O</i>	159 14,2	8 43,0	12 23 <i>A</i>	19 13 <i>A</i>
9	55 13,0	15 2,8	7 47,7 <i>U</i>	165 20,6	6 50,6	2 16 <i>U</i>	4 16 <i>U</i>
	54 56,8	14 58,4	20 9,6 <i>O</i>	171 20,4	4 54,7	13 29 <i>A</i>	19 14 <i>A</i>
10	54 42,4	14 54,5	8 31,2 <i>U</i>	177 15,3	2 56,6	2 39 <i>U</i>	4 15 <i>U</i>
	54 30,0	14 51,1	20 52,6 <i>O</i>	183 6,5	+ 0 57,4	14 34 <i>A</i>	19 16 <i>A</i>
11	54 19,9	14 48,4	9 13,8 <i>U</i>	188 55,5	— 1 1,8	3 1 <i>U</i>	4 13 <i>U</i>
	54 11,5	14 46,0	21 35,0 <i>O</i>	194 43,5	3 0,1	15 38 <i>A</i>	19 18 <i>A</i>
12	54 4,6	14 44,2	9 56,2 <i>U</i>	200 31,6	4 56,2	3 22 <i>U</i>	4 11 <i>U</i>
	54 0,0	14 42,9	22 17,5 <i>O</i>	206 21,2	6 49,1	16 42 <i>A</i>	19 20 <i>A</i>
13	53 56,5	14 41,9	10 39,0 <i>U</i>	212 13,2	8 37,7	3 44 <i>U</i>	4 10 <i>U</i>
	53 54,7	14 41,5	23 0,6 <i>O</i>	218 8,5	10 21,1	17 45 <i>A</i>	19 22 <i>A</i>
14	53 54,6	14 41,4	11 22,5 <i>U</i>	224 7,8	11 58,0	4 8 <i>U</i>	4 8 <i>U</i>
	53 55,7	14 41,7	23 44,7 <i>O</i>	230 11,9	13 27,4	18 48 <i>A</i>	19 23 <i>A</i>
15	53 57,9	14 42,3	12 7,3 <i>U</i>	236 21,1	14 48,3	4 35 <i>U</i>	4 7 <i>U</i>
	54 1,3	14 43,3	* *	* *	* *	19 50 <i>A</i>	19 25 <i>A</i>
16	54 6,1	14 44,6	0 30,2 <i>O</i>	242 35,6	— 15 59,4	5 6 <i>U</i>	4 5 <i>U</i>
	54 12,1	14 46,2	12 53,5 <i>U</i>	248 55,6	17 0,0	20 48 <i>A</i>	19 27 <i>A</i>

☾ Apog. Nov. 13 18^h

NOVEMBER 1830.

Mittlerer Mittag und Mitternacht.

Monatstag.	Länge (Breite (Gr. Aufst. (Abweichg. (
16 0 ^h	243 22 43,4	+ 4 59 30,1	242 20 16,9	— 15 56 43,2
12	249 21 46,4	4 59 44,9	248 28 5,0	16 55 57,4
17 0	255 22 1,3	4 56 40,3	254 40 39,4	17 44 19,9
12	261 23 37,8	4 50 15,6	260 57 41,4	18 21 5,3
18 0	267 26 47,7	4 40 32,3	267 18 43,9	18 45 34,1
12	273 31 43,0	4 27 34,8	273 43 11,5	18 57 13,3
19 0	279 38 39,6	4 11 27,4	280 10 25,7	18 55 40,0
12	285 47 55,3	3 52 17,7	286 39 45,9	18 40 38,8
20 0	291 59 49,1	3 30 12,7	293 10 32,0	18 12 6,2
12	298 14 44,0	3 5 25,7	299 42 9,6	17 30 3,8
21 0	304 33 4,7	— 2 38 8,3	306 14 11,5	— 16 34 46,2
12	310 55 17,3	2 8 34,3	312 46 20,9	15 26 37,1
22 0	317 21 49,1	1 37 1,2	319 18 28,8	14 6 7,4
12	323 53 8,5	1 3 47,8	325 50 44,1	12 33 59,1
23 0	330 29 42,6	+ 0 29 16,0	332 23 24,7	10 51 0,8
12	337 11 57,1	— 0 6 9,8	338 57 1,5	8 58 11,8
24 0	344 0 13,8	0 42 1,3	345 32 15,7	6 56 40,3
12	350 54 50,8	1 17 48,8	352 9 59,9	4 47 46,1
25 0	357 55 58,7	1 52 57,6	358 51 12,2	2 32 59,4
12	5 3 38,8	2 26 52,2	5 36 55,5	— 0 14 4,7
26 0	12 17 43,5	— 2 58 53,5	12 28 14,5	+ 2 7 2,2
12	19 37 52,5	3 28 23,1	19 26 10,6	4 28 9,9
27 0	27 3 33,1	3 54 43,3	26 31 38,0	6 46 54,4
12	34 33 58,0	4 17 15,0	33 45 14,0	9 0 44,2
28 0	42 8 8,3	4 35 25,2	41 7 18,2	11 6 58,9
12	49 44 51,1	4 48 47,7	48 37 40,9	13 2 55,7
29 0	57 22 49,4	4 57 5,5	56 15 45,0	14 45 57,0
12	65 0 35,2	5 0 2,9	64 0 11,2	16 13 45,8
30 0	72 36 44,3	4 57 40,7	71 49 12,0	17 24 21,9
12	80 9 51,3	4 50 5,6	79 40 25,4	18 16 18,7
31 0	87 38 41,5	— 4 37 34,9	87 31 11,9	+ 18 48 44,1
12	95 2 5,6	4 20 31,0	95 18 40,6	19 1 26,8

☉ Nov. 23 0^h 24,6☉ Nov. 29 15^h 50,9

NOVEMBER 1830.

Mittlerer Mittag und Mitternacht.			☾ im Meridian.			Auf- und Untergang.	
	Par. ☾	Halbm. ☾	Mittl. Zeit.	Gr. Aufst.	Abweichg.	☾	☉
16	54' 6,1"	14' 44,6"	^h 0 30,2 <i>O</i>	^o 242 35,6	— 15 59,4	^h 5 6 <i>U</i>	^h 4 5 <i>U</i>
	54 12,1	14 46,2	12 53,5 <i>U</i>	248 55,6	17 0,0	20 48 <i>A</i>	19 27 <i>A</i>
17	54 19,3	14 48,2	1 17,2 <i>O</i>	255 20,9	17 48,8	5 43 <i>U</i>	4 3 <i>U</i>
	54 27,9	14 50,5	13 41,2 <i>U</i>	261 51,0	18 25,3	21 44 <i>A</i>	19 29 <i>A</i>
18	54 37,6	14 53,1	2 5,4 <i>O</i>	268 25,4	18 48,6	6 25 <i>U</i>	4 1 <i>U</i>
	54 48,3	14 56,1	14 29,9 <i>U</i>	275 3,6	18 58,0	22 35 <i>A</i>	19 30 <i>A</i>
19	55 0,8	14 59,5	2 54,6 <i>O</i>	281 44,7	18 53,3	7 15 <i>U</i>	4 0 <i>U</i>
	55 14,6	15 3,2	15 19,4 <i>U</i>	288 27,9	18 34,0	23 20 <i>A</i>	19 31 <i>A</i>
20	55 29,9	15 7,4	3 44,4 <i>O</i>	295 12,5	18 0,4	8 12 <i>U</i>	3 59 <i>U</i>
	55 47,0	15 12,1	16 9,4 <i>U</i>	301 58,0	17 12,5	23 59 <i>A</i>	19 33 <i>A</i>
21	56 5,4	15 17,1	4 34,4 <i>O</i>	308 43,6	— 16 10,3	9 15 <i>U</i>	3 58 <i>U</i>
	56 25,3	15 22,5	16 59,4 <i>U</i>	315 29,3	14 54,5	* *	19 35 <i>A</i>
22	56 47,1	15 28,5	5 24,4 <i>O</i>	322 15,2	13 26,0	0 33 <i>A</i>	3 57 <i>U</i>
	57 9,9	15 34,6	17 49,4 <i>U</i>	329 1,3	11 45,4	10 23 <i>U</i>	19 37 <i>A</i>
23	57 34,1	15 41,2	6 14,5 <i>O</i>	335 48,0	9 53,5	1 4 <i>A</i>	3 56 <i>U</i>
	57 58,8	15 48,0	18 39,7 <i>U</i>	342 36,2	7 51,7	11 35 <i>U</i>	19 39 <i>A</i>
24	58 24,3	15 54,9	7 5,0 <i>O</i>	349 26,7	5 41,3	1 31 <i>A</i>	3 55 <i>U</i>
	58 50,1	16 1,9	19 30,5 <i>U</i>	356 20,6	3 24,0	12 50 <i>U</i>	19 40 <i>A</i>
25	59 15,4	16 8,8	7 56,4 <i>O</i>	3 19,1	— 1 1,5	1 57 <i>A</i>	3 54 <i>U</i>
	59 39,6	16 15,4	20 22,7 <i>U</i>	10 23,5	+ 1 24,3	14 8 <i>U</i>	19 42 <i>A</i>
26	60 2,3	16 21,6	8 49,4 <i>O</i>	17 34,9	+ 3 51,0	2 25 <i>A</i>	3 53 <i>U</i>
	60 22,8	16 27,2	21 16,7 <i>U</i>	24 54,4	6 15,8	15 28 <i>U</i>	19 44 <i>A</i>
27	60 40,0	16 31,9	9 44,5 <i>O</i>	32 23,0	8 36,0	2 53 <i>A</i>	3 52 <i>U</i>
	60 53,9	16 35,8	22 13,0 <i>U</i>	40 1,1	10 48,8	16 50 <i>U</i>	19 45 <i>A</i>
28	61 3,8	16 38,4	10 42,1 <i>O</i>	47 48,6	12 50,9	3 25 <i>A</i>	3 51 <i>U</i>
	61 9,4	16 40,0	23 11,8 <i>U</i>	55 44,8	14 39,5	18 13 <i>U</i>	19 46 <i>A</i>
29	61 10,2	16 40,0	11 42,0 <i>O</i>	63 48,5	16 11,8	4 3 <i>A</i>	3 50 <i>U</i>
	61 6,3	16 39,1	* *	* *	* *	19 33 <i>U</i>	19 47 <i>A</i>
30	60 57,5	16 36,7	0 12,6 <i>U</i>	71 57,4	17 25,5	4 47 <i>A</i>	3 50 <i>U</i>
	60 44,4	16 33,1	12 43,3 <i>O</i>	80 8,8	18 18,8	20 45 <i>U</i>	19 48 <i>A</i>
31	60 27,2	16 28,4	1 13,9 <i>U</i>	88 19,4	+ 18 50,9	5 41 <i>A</i>	3 49 <i>U</i>
	60 6,3	16 22,7	13 44,3 <i>O</i>	96 26,0	19 1,6	21 48 <i>U</i>	19 50 <i>A</i>

☾ Perig. Nov. 28 20^h

DECEMBER 1830.

Wahrer Berliner Mittag.

Monats- und Wochentag.		Mittl. Zeit.	Gr. Aufst. ☉	Abweichg. ☉	Log. μ .	Culm. Dauer ☉ Sternzeit.
1	♂	23 ^h 49' 10,13	16 ^h 28' 19,67	— 21° 47' 13,0	3,05389	2' 20,49
2	♂	49 32,87	32 39,03	56 26,5	3,03411	20,66
3	♀	49 56,24	36 59,02	22 5 14,7	3,01318	20,83
4	♂	50 20,22	41 19,63	13 37,3	2,99092	21,00
5	☉	23 50 44,80	16 45 40,83	— 22 21 34,0	2,96727	2 21,15
6	☾	51 9,94	50 2,60	29 4,7	2,94201	21,29
7	♂	51 35,63	54 24,92	36 9,0	2,91493	21,43
8	♀	52 1,84	58 47,76	42 46,8	2,88581	21,57
9	♂	52 28,55	17 3 11,09	48 57,8	2,85437	21,69
10	♀	52 55,72	7 34,89	54 41,9	2,82020	21,81
11	♂	53 23,33	11 59,13	59 58,8	2,78283	21,91
12	☉	23 53 51,33	17 16 23,77	— 23 4 48,4	2,74170	2 22,01
13	☾	54 19,69	20 48,77	9 10,5	2,69566	22,10
14	♂	54 48,39	25 14,10	13 4,9	2,64414	22,19
15	♀	55 17,39	29 39,74	16 31,5	2,58591	22,26
16	♂	55 46,64	34 5,63	19 30,3	2,51786	22,33
17	♀	56 16,11	38 31,74	22 1,0	2,43680	22,38
18	♂	56 45,77	42 58,03	24 3,7	2,33686	22,43
19	☉	23 57 15,57	17 47 24,47	— 23 25 38,2	2,20602	2 22,47
20	☾	57 45,49	51 51,03	26 44,4	2,01745	22,49
21	♂	58 15,48	56 17,66	27 22,3	1,67669	22,51
22	♀	58 45,51	18 0 44,32	27 31,9	0,96379	22,53
23	♂	59 15,54	5 10,99	27 13,1	1,81889	22,52
24	♀	59 45,53	9 37,63	26 26,0	2,08814	22,51
25	♂	0 0 15,46	14 4,20	25 10,6	2,25310	22,50
26	☉	0 0 45,30	18 18 30,67	— 23 23 26,9	2,37236	2 22,47
27	☾	1 15,00	22 57,01	21 14,9	2,46553	22,44
28	♂	1 44,54	27 23,19	18 34,8	2,54208	22,39
29	♀	2 13,90	31 49,19	15 26,5	2,60692	22,33
30	♂	2 43,04	36 14,97	11 50,3	2,66304	22,27
31	♀	3 11,93	40 40,50	7 46,2	2,71265	22,20

DECEMBER 1830.

Mittlerer Berliner Mittag.

Monats- und Jahrestag.		Sternzeit.	Länge ☉	Breite ☉	Lg. Rad. v. ☉	Halbm. ☉
1	335	16 ^h 39' 11,31"	248° 48' 53,7"	— 0,54	9,9936842	16' 15,46"
2	336	43 7,87	249 49 45,4	— 0,49	9,9936199	15,60
3	337	47 4,43	250 50 38,4	— 0,41	9,9935580	15,74
4	338	51 0,99	251 51 32,5	— 0,31	9,9934985	15,88
5	339	16 54 57,54	252 52 27,9	— 0,21	9,9934414	16 16,02
6	340	58 54,10	253 53 24,4	— 0,09	9,9933865	16,15
7	341	17 2 50,66	254 54 22,1	+ 0,05	9,9933338	16,27
8	342	6 47,22	255 55 21,0	+ 0,18	9,9932831	16,39
9	343	10 43,77	256 56 21,0	+ 0,28	9,9932345	16,50
10	344	14 40,33	257 57 22,2	+ 0,37	9,9931878	16,61
11	345	18 36,89	258 58 24,5	+ 0,45	9,9931428	16,71
12	346	17 22 33,45	259 59 27,7	+ 0,50	9,9930995	16 16,81
13	347	26 30,00	261 0 31,8	+ 0,52	9,9930579	16,90
14	348	30 26,56	262 1 36,6	+ 0,50	9,9930179	16,99
15	349	34 23,12	263 2 42,2	+ 0,45	9,9929795	17,08
16	350	38 19,68	264 3 48,4	+ 0,38	9,9929428	17,17
17	351	42 16,23	265 4 55,1	+ 0,29	9,9929076	17,25
18	352	46 12,79	266 6 2,2	+ 0,19	9,9928741	17,32
19	353	17 50 9,35	267 7 9,7	+ 0,07	9,9928423	16 17,39
20	354	54 5,91	268 8 17,5	— 0,06	9,9928124	17,45
21	355	58 2,46	269 9 25,5	— 0,18	9,9927845	17,50
22	356	18 1 59,02	270 10 33,7	— 0,29	9,9927587	17,55
23	357	5 55,58	271 11 41,9	— 0,39	9,9927351	17,59
24	358	9 52,14	272 12 50,2	— 0,48	9,9927139	17,63
25	359	13 48,69	273 13 58,5	— 0,54	9,9926951	17,67
26	360	18 17 45,25	274 15 6,9	— 0,58	9,9926788	16 17,70
27	361	21 41,80	275 16 15,3	— 0,59	9,9926653	17,72
28	362	25 38,36	276 17 23,7	— 0,58	9,9926545	17,74
29	363	29 34,92	277 18 32,3	— 0,53	9,9926465	17,76
30	364	33 31,48	278 19 41,0	— 0,46	9,9926414	17,78
31	365	37 28,03	279 20 49,8	— 0,37	9,9926391	17,78

DECEMBER 1830.

Mittlerer Mittag und Mitternacht.

Monatstag.	Länge (Breite (Gr. Aufst. (Abweichg. (
1 0 ^h	87° 38' 41,5	— 4° 37' 34,9	87° 31' 11,9	+ 18° 48' 44,1
12	95 2 5,6	4 20 31,0	95 18 40,6	19 1 26,8
2 0	102 19 11,3	3 59 23,6	103 0 10,3	18 54 51,1
12	109 29 19,0	3 34 46,1	110 33 18,7	18 29 54,4
3 0	116 32 1,4	3 7 13,5	117 56 10,6	17 48 0,4
12	123 27 7,8	2 37 21,2	125 7 28,8	16 50 50,4
4 0	130 14 38,5	2 5 43,8	132 6 30,9	15 40 16,3
12	136 54 43,4	1 32 54,2	138 53 6,8	14 18 12,3
5 0	143 27 45,5	0 59 23,3	145 27 39,2	12 46 29,4
12	149 54 10,6	— 0 25 38,5	151 50 49,8	11 6 54,5
6 0	156 14 33,0	+ 0 7 55,3	158 3 40,5	+ 9 21 5,4
12	162 29 28,6	0 40 54,7	164 7 22,8	7 30 30,8
7 0	168 39 37,1	1 13 0,2	170 3 17,2	5 36 31,8
12	174 45 39,3	1 43 53,6	175 52 48,2	3 40 21,0
8 0	180 48 13,1	2 13 18,0	181 37 18,3	+ 1 43 4,1
12	186 48 0,7	2 40 59,1	187 18 15,2	— 0 14 14,5
9 0	192 45 40,0	3 6 43,0	192 57 0,6	2 10 40,6
12	198 41 45,7	3 30 17,5	198 34 52,7	4 5 16,6
10 0	204 36 53,7	3 51 30,2	204 13 8,2	5 57 9,6
12	210 31 33,5	4 10 10,8	209 52 55,6	7 45 24,0
11 0	216 26 13,5	+ 4 26 8,3	215 35 18,7	— 9 29 5,5
12	222 21 18,2	4 39 14,1	221 21 13,7	11 7 16,9
12 0	228 17 9,7	4 49 20,1	227 11 28,7	12 39 0,4
12	234 14 6,3	4 56 18,6	233 6 41,1	14 3 17,2
13 0	240 12 23,6	5 0 2,9	239 7 17,7	15 19 8,2
12	246 12 13,7	5 0 28,8	245 13 31,9	16 25 33,8
14 0	252 13 46,3	4 57 34,0	251 25 24,1	17 21 35,7
12	258 17 9,5	4 51 15,9	257 42 40,7	18 6 20,7
15 0	264 22 29,1	4 41 36,5	264 4 54,8	18 38 59,4
12	270 29 50,5	4 28 37,9	270 31 27,6	18 58 50,8
16 0	276 39 17,1	+ 4 12 25,5	277 1 29,4	— 19 5 22,2
12	282 50 52,9	3 53 8,4	283 34 3,8	18 58 10,7

○ Dec. 6 16^h 0,5● Dec. 14 21^h 8,1

DECEMBER 1830.

Mittlerer Mittag und Mitternacht.			☾ im Meridian.			Auf- und Untergang.	
	Par. ☾	Halbm. ☾	Mittl. Zeit.	Gr. Aufst.	Abweichg.	☾	☉
1	60' 27,2	16' 28,4	^h 1 13,9 <i>U</i>	^o 88 19,4	+ ^o 18 50,9	^h 5 41' <i>A</i>	^h 3 49' <i>U</i>
	60 6,3	16 22,7	13 44,3 <i>O</i>	96 26,0	19 1,6	21 48 <i>U</i>	19 51 <i>A</i>
2	59 42,4	16 16,2	2 14,2 <i>U</i>	104 25,4	18 51,6	6 42 <i>A</i>	3 48 <i>U</i>
	59 16,3	16 9,1	14 43,4 <i>O</i>	112 14,8	18 21,8	22 39 <i>U</i>	19 52 <i>A</i>
3	58 48,4	16 1,5	3 11,8 <i>U</i>	119 52,3	17 34,1	7 49 <i>A</i>	3 48 <i>U</i>
	58 19,4	15 53,6	15 39,4 <i>O</i>	127 16,5	16 30,6	23 19 <i>U</i>	19 54 <i>A</i>
4	57 50,3	15 45,7	4 6,0 <i>U</i>	134 26,8	15 13,5	8 59 <i>A</i>	3 47 <i>U</i>
	57 21,3	15 37,8	16 31,8 <i>O</i>	141 23,4	13 44,6	23 53 <i>U</i>	19 55 <i>A</i>
5	56 53,5	15 30,2	4 56,6 <i>U</i>	148 6,8	12 6,3	10 8 <i>A</i>	3 47 <i>U</i>
	56 26,8	15 22,9	17 20,7 <i>O</i>	154 38,1	10 20,4	* *	19 57 <i>A</i>
6	56 1,8	15 16,2	5 44,1 <i>U</i>	160 58,6	+ 8 28,7	0 21 <i>U</i>	3 46 <i>U</i>
	55 38,9	15 9,8	18 6,8 <i>O</i>	167 9,6	6 32,8	11 16 <i>A</i>	19 58 <i>A</i>
7	55 18,1	15 4,2	6 29,0 <i>U</i>	173 12,8	4 33,9	0 46 <i>U</i>	3 46 <i>U</i>
	54 59,9	14 59,2	18 50,7 <i>O</i>	179 9,8	2 33,5	12 23 <i>A</i>	19 59 <i>A</i>
8	54 44,1	14 54,9	7 12,2 <i>U</i>	185 2,3	+ 0 32,6	1 8 <i>U</i>	3 46 <i>U</i>
	54 30,8	14 51,1	19 33,5 <i>O</i>	190 51,8	- 1 27,8	13 28 <i>A</i>	20 0 <i>A</i>
9	54 20,1	14 48,4	7 54,7 <i>U</i>	196 39,8	3 26,5	1 29 <i>U</i>	3 45 <i>U</i>
	54 11,4	14 46,0	20 15,8 <i>O</i>	202 27,7	5 22,7	14 32 <i>A</i>	20 2 <i>A</i>
10	54 5,2	14 44,3	8 37,1 <i>U</i>	208 16,9	7 15,3	1 50 <i>U</i>	3 44 <i>U</i>
	54 1,4	14 43,3	20 58,5 <i>O</i>	214 8,7	9 3,4	15 36 <i>A</i>	20 3 <i>A</i>
11	53 59,5	14 42,8	9 20,2 <i>U</i>	220 4,1	- 10 46,0	2 13 <i>U</i>	3 44 <i>U</i>
	53 59,7	14 42,8	21 42,1 <i>O</i>	226 4,1	12 22,0	16 39 <i>A</i>	20 4 <i>A</i>
12	54 1,8	14 43,4	10 4,4 <i>U</i>	232 9,3	13 50,3	2 38 <i>U</i>	3 44 <i>U</i>
	54 5,3	14 44,3	22 27,1 <i>O</i>	238 20,5	15 9,8	17 41 <i>A</i>	20 5 <i>A</i>
13	54 10,3	14 45,7	10 50,3 <i>U</i>	244 37,8	16 19,6	3 7 <i>U</i>	3 44 <i>U</i>
	54 16,3	14 47,3	23 13,8 <i>O</i>	251 1,4	17 18,3	18 41 <i>A</i>	20 6 <i>A</i>
14	54 24,0	14 49,4	11 37,7 <i>U</i>	257 30,9	18 5,1	3 42 <i>U</i>	3 44 <i>U</i>
	54 32,5	14 51,8	* *	* *	* *	19 39 <i>A</i>	20 6 <i>A</i>
15	54 41,9	14 54,3	0 2,0 <i>O</i>	264 6,0	18 39,1	4 22 <i>U</i>	3 44 <i>U</i>
	54 52,6	14 57,2	12 26,6 <i>U</i>	270 45,8	18 59,3	20 33 <i>A</i>	20 7 <i>A</i>
16	55 3,8	15 0,3	0 51,5 <i>O</i>	277 29,5	- 19 5,3	5 10 <i>U</i>	3 44 <i>U</i>
	55 15,5	15 3,5	13 16,5 <i>U</i>	284 15,9	18 56,6	21 20 <i>A</i>	20 8 <i>A</i>

☾ Apog. Dec. 11 ^h 5

DECEMBER 1830.

Mittlerer Mittag und Mitternacht.

Monatstag.	Länge ζ	Breite ζ	Gr. Aufst. ζ	Abweichg. ζ
16 0 ^h	276° 39' 17,1	+ 4° 12' 25,5	277° 1' 31,2	— 19° 5' 22,2
12	282 50 52,9	3 53 8,4	283 34 3,8	18 58 10,7
17 0	289 4 43,7	3 30 54,7	290 8 14,3	18 37 7,7
12	295 20 54,6	3 5 57,2	296 43 3,2	18 2 15,1
18 0	301 39 34,2	2 38 30,9	303 17 41,1	17 13 47,0
12	308 0 50,6	2 8 52,3	309 51 26,3	16 12 10,2
19 0	314 24 56,2	1 37 20,1	316 23 51,9	14 58 1,7
12	320 52 5,0	1 4 15,8	322 54 45,0	13 32 7,7
20 0	327 22 31,2	+ 0 30 2,2	329 24 6,8	11 55 23,6
12	333 56 31,8	— 0 4 56,5	335 52 15,6	10 8 52,7
21 0	340 34 26,5	— 0 40 13,3	342 19 45,5	— 8 13 43,2
12	347 16 29,6	1 15 20,0	348 47 19,3	6 11 12,1
22 0	354 2 59,8	1 49 46,8	355 15 55,5	4 2 41,0
12	0 54 10,1	2 23 3,0	1 46 38,9	— 1 49 39,7
23 0	7 50 11,2	2 54 36,0	8 20 41,1	+ 0 26 15,2
12	14 51 8,3	3 23 3,0	14 59 16,9	2 43 18,3
24 0	21 56 59,1	3 50 23,1	21 43 39,4	4 59 35,8
12	29 7 36,1	4 13 33,0	28 34 57,9	7 13 4,8
25 0	36 22 39,7	4 32 52,9	35 34 7,6	9 21 33,6
12	43 41 43,1	4 47 55,9	42 41 53,5	11 22 45,4
26 0	51 4 8,9	— 4 58 19,9	49 58 33,8	+ 13 14 18,1
12	58 29 9,0	5 3 47,2	57 23 57,7	14 53 51,9
27 0	65 55 46,9	5 4 7,6	64 57 20,4	16 19 12,5
12	73 23 0,4	4 59 18,5	72 37 21,8	17 28 22,2
28 0	80 49 42,6	4 49 24,8	80 22 5,9	18 19 44,3
12	88 14 44,7	4 34 39,8	88 9 7,2	18 52 11,6
29 0	95 37 0,7	4 15 24,1	95 55 41,8	19 5 11,7
12	102 55 28,1	3 52 4,3	103 38 59,4	18 58 48,8
30 0	110 9 11,1	3 25 13,7	111 16 17,2	18 33 40,9
12	117 17 26,1	2 55 25,8	118 45 17,7	17 51 0,3
31 0	124 19 36,6	— 2 23 19,1	126 4 10,4	+ 16 52 20,0
12	131 15 17,8	1 49 30,8	133 11 40,9	15 39 31,5

○ Dec. 22 11^h 34,8○ Dec. 29 2^h 58,0

DECEMBER 1830.

Mittlerer Mittag und Mitternacht.			☾ im Meridian.			Auf- und Untergang.	
	Par. ☾	Halbm. ☾	Mittl. Zeit.	Gr. Aufst.	Abweichg.	☾	☉
16	55 3,8	15 0,3	^h 0 51,5 <i>O</i>	^o 277 29,5	— ^o 19 5,3	^h 5 10 <i>U</i>	^h 3 44 <i>U</i>
	55 15,5	15 3,5	13 16,5 <i>U</i>	284 15,9	18 56,6	21 20 <i>A</i>	20 8 <i>A</i>
17	55 28,4	15 7,0	1 41,7 <i>O</i>	291 4,0	18 33,0	6 6 <i>U</i>	3 44 <i>U</i>
	55 41,8	15 10,6	14 6,9 <i>U</i>	297 52,7	17 54,7	22 2 <i>A</i>	20 9 <i>A</i>
18	55 56,1	15 14,5	2 32,1 <i>O</i>	304 41,0	17 1,9	7 7 <i>U</i>	3 44 <i>U</i>
	56 10,6	15 18,5	14 57,2 <i>U</i>	311 28,1	15 55,1	22 37 <i>A</i>	20 9 <i>A</i>
19	56 25,9	15 22,7	3 22,2 <i>O</i>	318 13,8	14 35,0	8 14 <i>U</i>	3 45 <i>U</i>
	56 42,1	15 27,0	15 47,1 <i>U</i>	324 57,8	13 2,7	23 9 <i>A</i>	20 10 <i>A</i>
20	56 59,0	15 31,6	4 11,9 <i>O</i>	331 40,0	11 19,2	9 24 <i>U</i>	3 45 <i>U</i>
	57 16,6	15 36,5	16 36,6 <i>U</i>	338 21,2	9 25,6	23 37 <i>A</i>	20 10 <i>A</i>
21	57 34,6	15 41,3	5 1,3 <i>O</i>	345 1,9	— 7 23,2	10 36 <i>U</i>	3 45 <i>U</i>
	57 53,1	15 46,4	17 26,0 <i>U</i>	351 43,1	5 13,7	* *	20 11 <i>A</i>
22	58 12,2	15 51,6	5 50,8 <i>O</i>	358 25,9	2 58,3	0 3 <i>A</i>	3 46 <i>U</i>
	58 31,2	15 56,8	18 15,8 <i>U</i>	5 11,9	— 0 38,9	11 51 <i>U</i>	20 11 <i>A</i>
23	58 50,0	16 1,9	6 41,1 <i>O</i>	12 2,0	+ 1 42,6	0 28 <i>A</i>	3 47 <i>U</i>
	59 8,5	16 7,0	19 6,8 <i>U</i>	18 58,2	4 4,3	13 7 <i>U</i>	20 12 <i>A</i>
24	59 26,4	16 11,8	7 33,0 <i>O</i>	26 1,6	6 24,1	0 54 <i>A</i>	3 47 <i>U</i>
	59 42,6	16 16,2	19 59,7 <i>U</i>	33 13,3	8 39,4	14 25 <i>U</i>	20 12 <i>A</i>
25	59 57,0	16 20,2	8 27,1 <i>O</i>	40 34,5	10 47,8	1 23 <i>A</i>	3 48 <i>U</i>
	60 9,4	16 23,6	20 55,1 <i>U</i>	48 5,6	12 46,7	15 45 <i>U</i>	20 13 <i>A</i>
26	60 18,9	16 26,1	9 23,8 <i>O</i>	55 46,7	+ 14 33,4	1 56 <i>A</i>	3 48 <i>U</i>
	60 25,2	16 27,8	21 53,1 <i>U</i>	63 36,9	16 5,3	17 4 <i>U</i>	20 13 <i>A</i>
27	60 28,0	16 28,6	10 22,9 <i>O</i>	71 35,0	17 20,1	2 36 <i>A</i>	3 49 <i>U</i>
	60 27,1	16 28,4	22 53,1 <i>U</i>	79 38,8	18 15,7	18 20 <i>U</i>	20 13 <i>A</i>
28	60 22,6	16 27,2	11 23,5 <i>O</i>	87 45,4	18 51,0	3 23 <i>A</i>	3 50 <i>U</i>
	60 14,2	16 24,9	23 53,9 <i>U</i>	95 51,8	19 5,2	19 28 <i>U</i>	20 13 <i>A</i>
29	60 2,3	16 21,6	12 24,0 <i>O</i>	103 54,4	18 58,3	4 20 <i>A</i>	3 51 <i>U</i>
	59 46,6	16 17,3	* *	* *	* *	20 26 <i>U</i>	20 13 <i>A</i>
30	59 28,0	16 12,3	0 53,7 <i>U</i>	111 50,1	18 31,1	5 25 <i>A</i>	3 52 <i>U</i>
	59 6,8	16 6,5	13 22,7 <i>O</i>	119 36,3	17 45,0	21 13 <i>U</i>	20 13 <i>A</i>
31	58 43,2	16 0,1	1 50,9 <i>U</i>	127 10,8	+ 16 41,9	6 35 <i>A</i>	3 53 <i>U</i>
	58 18,5	15 53,3	14 18,3 <i>O</i>	134 32,4	15 24,0	21 51 <i>U</i>	20 13 <i>A</i>

☾ Perig. Dec. 27 3^h

1830.	Schiefe der Ecl.	Par. ☉	Aberr. ☉	Gleichg. der Aequin. Punkte.	Ω ☾
Jan. 0	23° 27' 31,54	8,72	— 20,60	— 1,63	173° 3,1
10	31,65	8,72	20,60	1,38	172 31,3
20	31,79	8,72	20,58	1,25	171 59,5
30	31,98	8,70	20,55	1,25	171 27,7
Febr. 9	32,18	8,69	20,52	1,40	170 56,0
19	23 27 32,38	8,67	— 20,48	— 1,71	170 24,2
Mrz. 1	32,53	8,65	20,43	2,18	169 52,4
11	32,64	8,63	20,38	2,74	169 20,7
21	32,67	8,60	20,32	3,35	168 48,9
31	32,64	8,58	20,26	3,94	168 17,2
Apr. 10	23 27 32,54	8,56	— 20,20	— 4,48	167 45,4
20	32,41	8,53	20,14	4,94	167 13,6
30	32,23	8,51	20,09	5,26	166 41,8
Mai 10	32,04	8,49	20,05	5,41	166 10,1
20	31,87	8,47	20,00	5,42	165 38,3
30	23 27 31,74	8,46	— 19,97	— 5,31	165 6,5
Jun. 9	31,64	8,45	19,95	5,09	164 34,7
19	31,60	8,44	19,93	4,80	164 3,0
29	31,62	8,44	19,92	4,52	163 31,2
Jul. 9	31,72	8,44	19,92	4,26	162 59,5
19	23 27 31,85	8,44	— 19,93	— 4,09	162 27,7
29	32,04	8,45	19,95	4,03	161 55,9
Aug. 8	32,24	8,46	19,98	4,11	161 24,1
18	32,49	8,48	20,02	4,33	160 52,4
28	32,70	8,50	20,06	4,70	160 20,6
Spt. 7	23 27 32,82	8,52	— 20,11	— 5,20	159 48,8
17	32,87	8,54	20,17	5,77	159 17,0
27	32,89	8,56	20,22	6,38	158 45,2
Oct. 7	32,85	8,59	20,28	6,96	158 13,5
17	32,74	8,61	20,34	7,47	157 41,7
27	23 27 32,61	8,64	— 20,40	— 7,86	157 9,9
Nov. 6	32,43	8,66	20,45	8,12	156 38,1
16	32,26	8,68	20,49	8,20	156 6,4
26	32,10	8,70	20,53	8,12	155 34,6
Dcb. 6	31,97	8,71	20,57	7,91	155 2,9
16	23 27 31,92	8,72	— 20,59	— 7,62	154 31,1
26	31,95	8,72	20,60	7,28	153 59,3
36	32,04	8,72	20,60	6,98	153 27,5

Planeten - Ephemeriden

für

1830.

Berlin $44^{\circ} 12',6$ östlich von Paris.

MERKUR 1830.

Heliocentrischer Ort.

0 ^h Mittl. Zt.	Helioc. Länge. ♊	Helioc. Breite. ♋	Rad. vect. ♀	♌	
				Aufg.	Unterg.
Jan. 0	291° 52' 42,5	— 6° 22' 53,9	0,4433021	20 44 ^h	3 58 ^h
2	298 7 24,1	6 39 24,6	0,4357868	20 48	4 6
4	304 36 28,1	6 51 32,2	0,4273429	20 51	4 16
6	311 22 19,9	6 58 38,4	0,4180417	20 54	4 26
8	318 27 36,2	6 59 53,3	0,4079761	20 56	4 37
10	325 55 4,3	6 54 19,7	0,3972642	20 57	4 48
12	333 47 40,6	6 40 55,8	0,3860542	20 57	5 0
14	342 8 23,7	6 18 32,1	0,3745326	20 57	5 12
16	351 0 8,9	5 46 0,6	0,3629302	20 56	5 24
18	0 25 32,2	5 2 21,7	0,3515249	20 53	5 36
20	10 26 30,6	— 4 6 57,8	0,3406467	20 50	5 48
22	21 3 53,4	2 59 53,8	0,3306728	20 46	5 59
24	32 16 51,3	1 42 18,0	0,3220103	20 41	6 9
26	44 2 19,8	— 0 16 42,4	0,3150721	20 35	6 17
28	56 14 34,2	+ 1 12 52,5	0,3102332	20 28	6 23
30	68 45 4,3	2 41 7,0	0,3077813	20 19	6 27
Febr. 1	81 23 7,1	4 2 18,5	0,3078711	20 10	6 25
3	93 56 47,9	5 11 11,7	0,3104972	19 58	6 20
5	106 14 29,4	6 4 6,7	0,3154936	19 46	6 11
7	118 6 22,0	6 39 22,0	0,3225652	19 33	5 58
9	129 25 15,7	+ 6 57 11,0	0,3313329	19 19	5 42
11	140 7 1,9	6 59 15,4	0,3413833	19 5	5 23
13	150 10 15,7	6 48 3,1	0,3523098	18 52	5 2
15	159 35 40,5	6 26 14,7	0,3637396	18 40	4 42
17	168 25 23,6	5 56 23,1	0,3753445	18 30	4 22
19	176 42 27,2	5 20 38,5	0,3868503	18 21	4 5
21	184 30 10,0	4 40 51,5	0,3980304	18 13	3 50
23	191 51 57,5	3 58 25,7	0,4087012	18 7	3 37
25	198 51 12,3	3 14 27,6	0,4187010	18 2	3 27
27	205 30 58,5	2 29 47,1	0,4279596	17 58	3 19
Mrz. 1	211 54 9,6	+ 1 44 59,1	0,4363407	17 55	3 13
3	218 3 20,9	1 0 35,0	0,4437882	17 52	3 10

MERKUR 1830.

Geocentrischer Ort.

\odot^h Mittl. Zt.	Geoc. Gr. Aufst. \oslash	Geoc. Abweich. \oslash	Log. Entfern. \oslash von \odot	\oslash im Merid.
Jan. 0	^h 18 59' 4,59	— 24° 45' 52,1	0,1515689	^h 0 20,7
2	19 13 23,15	24 27 51,8	0,1475363	0 27,2
4	19 27 41,82	24 3 29,6	0,1426213	0 33,6
6	19 41 58,70	23 32 47,6	0,1367420	0 40,0
8	19 56 11,47	22 55 43,6	0,1298045	0 46,2
10	20 10 17,35	22 12 18,8	0,1216962	0 52,5
12	20 24 12,70	21 22 40,7	0,1122834	0 58,6
14	20 37 53,33	20 27 1,4	0,1014197	1 4,4
16	20 51 13,24	19 25 44,2	0,0889294	1 9,8
18	21 4 5,14	18 19 28,5	0,0746346	1 14,8
20	21 16 19,49	— 17 9 5,1	0,0583520	1 19,2
22	21 27 44,05	15 55 52,5	0,0399275	1 22,7
24	21 38 3,99	14 41 37,1	0,0192517	1 25,1
26	21 47 0,78	13 28 35,6	9,9963438	1 26,1
28	21 54 13,72	12 19 38,4	9,9713880	1 25,4
30	21 59 21,00	11 18 5,3	9,9448229	1 22,5
Febr. 1	22 2 2,32	10 27 25,2	9,9174034	1 17,3
3	22 2 3,21	9 50 58,8	9,8902307	1 9,3
5	21 59 19,87	9 31 19,7	9,8647131	0 58,7
7	21 54 4,15	9 29 38,9	9,8424169	0 45,5
9	21 46 45,11	— 9 45 16,4	9,8248467	0 30,5
11	21 38 9,19	10 15 36,2	9,8131005	0 14,1
13	21 29 11,13	10 56 19,2	9,8076592	23 57,3
15	21 20 44,80	11 42 34,3	9,8082962	23 41,2
17	21 13 33,85	12 29 49,9	9,8142105	23 26,1
19	21 8 6,23	13 14 33,4	9,8242824	23 12,9
21	21 4 36,55	13 54 19,2	9,8373381	23 1,4
23	21 3 4,49	14 27 43,7	9,8523089	22 52,0
25	21 3 24,49	14 54 4,5	9,8683692	22 44,4
27	21 5 25,36	15 13 11,1	9,8848605	22 38,5
Mrz. 1	21 8 55,56	— 15 25 5,3	9,9013400	22 34,1
3	21 13 42,95	15 29 48,4	9,9175584	22 31,0

MERKUR 1830.

Heliocentrischer Ort.

0 ^h Mittl. Zt.	Helioc. Länge. ♊	Helioc. Breite. ♊	Rad. vect. ♊	♊	
				Aufg.	Unterg.
Mrz. 1	211° 54' 9,6	+ 1° 44' 59,1	0,4363407	17 ^h 55'	3 ^h 13'
3	218 3 20,9	1 0 35,0	0,4437882	17 52	3 10
5	224 0 58,2	+ 0 16 51,7	0,4502475	17 50	3 8
7	229 49 13,9	— 0 25 53,4	0,4556767	17 48	3 7
9	235 30 7,5	1 7 29,0	0,4600438	17 46	3 9
11	241 5 33,0	1 47 44,4	0,4633260	17 45	3 11
13	246 37 16,0	2 26 31,7	0,4655067	17 43	3 15
15	252 6 58,9	3 3 41,8	0,4665760	17 41	3 20
17	257 36 21,1	3 39 5,8	0,4665286	17 39	3 26
19	263 6 59,6	4 12 34,4	0,4653645	17 37	3 32
21	268 40 33,0	— 4 43 56,2	0,4630902	17 35	3 39
23	274 18 42,2	5 12 59,1	0,4597155	17 33	3 47
25	280 3 11,0	5 39 26,2	0,4552573	17 31	3 56
27	285 55 48,8	6 2 57,8	0,4497395	17 29	4 5
29	291 58 32,1	6 23 11,2	0,4431947	17 26	4 15
31	298 13 25,8	6 39 37,7	0,4356654	17 23	4 26
Apr. 2	304 42 43,7	6 51 41,3	0,4272082	17 21	4 37
4	311 28 52,6	6 58 42,1	0,4178951	17 18	4 49
6	318 34 28,5	6 59 51,3	0,4078193	17 15	5 2
8	326 2 18,7	6 54 11,1	0,3970988	17 12	5 15
10	333 55 19,6	— 6 40 39,3	0,3858827	17 9	5 29
12	342 16 30,3	6 18 6,8	0,3743587	17 7	5 43
14	351 8 45,9	5 45 25,3	0,3627568	17 4	5 58
16	0 34 41,8	5 1 35,8	0,3513571	17 0	6 15
18	10 36 13,4	4 6 0,8	0,3404902	16 58	6 31
20	21 14 10,3	2 58 46,2	0,3305329	16 56	6 48
22	32 27 40,5	1 41 1,3	0,3218935	16 54	7 6
24	44 13 36,3	— 0 15 19,2	0,3149848	16 52	7 24
26	56 26 11,9	+ 1 14 16,0	0,3101801	16 50	7 43
28	68 56 54,9	2 42 26,8	0,3077657	16 48	8 2
30	81 34 59,0	+ 4 3 28,4	0,3078943	16 47	8 20
Mai 2	94 8 29,8	5 12 9,1	0,3105578	16 46	8 38

MERKUR 1830.

Geocentrischer Ort.

Θ^h Mittl. Zt.	Geoc. Gr. Aufst. φ	Geoc. Abweichg. φ	Log. Entfern. φ von \odot	φ im Merid.
Mrz. 1	21 ^h 8' 55,56	— 15° 25' 5,3	9,9013400	22 ^h 34,1
3	21 13 42,95	15 29 48,4	9,9175584	22 31,0
5	21 19 36,46	15 27 42,4	9,9332768	22 28,9
7	21 26 26,32	15 18 57,5	9,9484065	22 27,6
9	21 34 4,11	15 3 46,6	9,9628896	22 27,5
11	21 42 22,78	14 42 24,1	9,9767062	22 28,0
13	21 51 16,30	14 15 0,2	9,9898563	22 29,0
15	22 0 39,89	13 41 45,0	0,0023547	22 30,5
17	22 10 29,19	13 2 50,5	0,0142299	22 32,4
19	22 20 41,32	12 18 24,0	0,0254991	22 34,7
21	22 31 13,57	— 11 28 34,7	0,0361907	22 37,4
23	22 42 4,02	10 33 31,3	0,0463284	22 40,4
25	22 53 11,20	9 33 21,2	0,0559328	22 43,6
27	23 4 34,22	8 28 11,5	0,0650161	22 47,1
29	23 16 12,52	7 18 10,4	0,0735881	22 50,8
31	23 28 6,03	6 3 25,4	0,0816488	22 54,8
Apr. 2	23 40 14,99	4 44 3,3	0,0891857	22 59,1
4	23 52 40,03	3 20 13,8	0,0961845	23 3,7
6	0 5 22,06	1 52 7,1	0,1026066	23 8,5
8	0 18 22,22	— 0 19 53,8	0,1084025	23 13,6
10	0 31 41,93	+ 1 16 9,8	0,1135060	23 19,0
12	0 45 22,68	2 55 45,4	0,1178295	23 24,8
14	0 59 25,98	4 38 27,9	0,1212631	23 31,0
16	1 13 53,15	6 23 44,8	0,1236743	23 37,5
18	1 28 45,08	8 10 53,4	0,1249064	23 44,5
20	1 44 1,89	9 58 58,8	0,1247859	23 51,9
22	1 59 42,58	11 46 52,8	0,1231288	23 59,7
24	2 15 44,54	13 33 12,5	0,1197572	0 7,9
26	2 32 3,37	15 16 24,4	0,1145194	0 16,3
28	2 48 32,68	16 54 47,9	0,1073118	0 24,9
30	3 5 4,33	+ 18 26 45,2	0,0980999	0 33,5
Mai 2	3 21 29,09	19 50 49,1	0,0869251	0 42,0

MERKUR 1830.

Heliocentrischer Ort.

Oh Mittl. Zt.	Helioc. Länge. ♊	Helioc. Breite. ♊	Rad. vect. ♊	♊	
				Aufg.	Unterg.
Mai 0	81° 34' 59,0	+ 4° 3' 28,4	0,3078943	16 ^h 47'	8 ^h 20'
2	94 8 29,8	5 12 9,1	0,3105578	16 46	8 38
4	106 25 52,4	6 4 47,4	0,3155883	16 46	8 55
6	118 17 17,3	6 39 46,0	0,3226884	16 46	9 10
8	129 35 37,6	6 57 19,4	0,3314782	16 46	9 25
10	140 16 48,7	6 59 11,3	0,3415445	16 47	9 37
12	150 19 26,9	6 47 47,5	0,3524811	16 49	9 46
14	159 44 17,4	6 25 49,9	0,3639145	16 50	9 55
16	168 33 28,8	5 55 51,7	0,3755199	16 51	10 2
18	176 50 3,8	5 20 2,7	0,3870220	16 53	10 6
20	184 37 20,8	+ 4 40 12,7	0,3981955	16 54	10 8
22	191 58 47,0	3 57 45,1	0,4088572	16 55	10 8
24	198 57 41,1	3 13 46,3	0,4188614	16 56	10 6
26	205 37 10,5	2 29 5,1	0,4280920	16 57	10 2
28	212 0 6,6	1 44 18,6	0,4364595	16 56	9 56
30	218 9 6,8	0 59 53,9	0,4438925	16 55	9 48
Jun. 1	224 6 34,5	+ 0 16 11,4	0,4503366	16 52	9 39
3	229 54 42,6	— 0 26 32,9	0,4557496	16 49	9 28
5	235 35 30,3	1 8 7,2	0,4601005	16 45	9 15
7	241 10 51,1	1 48 21,6	0,4633663	16 39	9 1
9	246 42 32,0	— 2 27 7,1	0,4655304	16 33	8 46
11	252 12 14,3	3 4 15,5	0,4665828	16 25	8 30
13	257 41 36,6	3 39 37,6	0,4665188	16 16	8 14
15	263 12 18,0	4 13 4,7	0,4653385	16 7	7 58
17	268 45 55,8	4 44 24,6	0,4630473	15 58	7 43
19	274 24 10,2	5 13 24,9	0,4596560	15 48	7 28
21	280 8 46,6	5 39 49,8	0,4551820	15 38	7 14
23	286 1 33,5	6 3 18,5	0,4496484	15 28	7 3
25	292 4 27,2	6 23 28,7	0,4430882	15 19	6 53
27	298 19 33,9	6 39 50,7	0,4355444	15 10	6 44
29	304 49 7,1	— 6 51 50,2	0,4270738	15 2	6 38
Jul. 1	311 35 32,9	6 58 45,8	0,4177483	14 54	6 34

MERKUR 1830.

Geocentrischer Ort.

0 ^h Mittl. Zt.	Geoc. Gr. Aufst. ♀	Geoc. Abweichg. ♀	Log. Entfern. ♀ von ♂	♀ im Merid.
Mai 0	3 ^h 5' 43,3	+ 18° 26' 45,2	0,0980999	0 ^h 33,5
2	3 21 29,09	19 50 49,1	0,0869251	0 42,0
4	3 37 37,29	21 5 50,7	0,0739010	0 50,3
6	3 53 19,68	22 11 9,5	0,0592048	0 58,1
8	4 8 27,82	23 6 23,6	0,0430377	1 5,4
10	4 22 53,98	23 51 30,8	0,0256230	1 11,9
12	4 36 32,52	24 26 54,1	0,0071731	1 17,7
14	4 49 17,31	24 52 59,8	9,9878984	1 22,6
16	5 1 4,72	25 10 26,1	9,9680030	1 26,5
18	5 11 49,77	25 19 52,3	9,9476079	1 29,3
20	5 21 29,15	+ 25 22 0,8	9,9269397	1 31,1
22	5 29 59,20	25 17 29,8	9,9061653	1 31,7
24	5 37 16,34	25 7 3,0	9,8854381	1 31,1
26	5 43 17,57	24 51 17,3	0,8650186	1 29,3
28	5 47 59,96	24 30 51,0	9,8450860	1 26,1
30	5 51 21,45	24 6 20,1	9,8259253	1 21,5
Jun. 1	5 53 21,08	23 38 21,4	9,8078454	1 15,6
3	5 53 59,46	23 7 32,2	9,7911941	1 8,3
5	5 53 19,31	22 34 33,3	9,7763586	0 59,8
7	5 51 26,88	22 0 9,4	9,7637457	0 50,1
9	5 48 30,46	+ 21 25 12,4	9,7537547	0 39,3
11	5 44 42,57	20 50 40,8	9,7467573	0 27,6
13	5 40 18,67	20 17 40,7	9,7430477	0 15,3
15	5 35 36,48	19 47 21,5	9,7428121	0 2,8
17	5 30 54,99	19 20 53,4	9,7461068	23 50,2
19	5 26 33,05	18 59 19,4	9,7528458	23 37,9
21	5 22 47,83	18 43 30,7	9,7628152	23 26,2
23	5 19 54,14	18 34 3,3	9,7756991	23 15,4
25	5 18 3,75	18 31 11,9	9,7911148	23 5,7
27	5 17 25,03	18 34 51,9	9,8086102	22 57,2
29	5 18 4,57	+ 18 44 48,0	9,8278881	22 50,0
Jul. 1	5 20 5,34	19 0 18,9	9,8484351	22 44,1

MERKUR 1830.

Heliocentrischer Ort.

0 ^h Mittl. Zt.	Helioc. Länge. ♊	Helioc. Breite. ♊	Rad. vect. ♊	☿	
				Aufg.	Unterg.
Jul. 1	311° 35' 32,9	— 6° 58' 45,8	0,4177483	14 ^h 54'	6 ^h 34'
3	318 41 28,4	6 59 49,1	0,4076613	14 47	6 32
5	326 9 40,8	6 54 2,4	0,3969320	14 41	6 31
7	334 3 6,9	6 40 22,6	0,3857100	14 37	6 33
9	342 24 45,3	6 17 41,3	0,3741823	14 33	6 36
11	351 17 31,1	5 44 49,7	0,3625814	14 31	6 41
13	0 43 58,8	5 0 49,0	0,3511868	14 30	6 47
15	10 46 3,7	4 5 3,1	0,3403303	14 31	6 53
17	21 24 33,7	2 57 38,4	0,3303900	14 33	7 1
19	32 38 35,1	1 39 44,4	0,3217736	14 38	7 9
21	44 24 58,0	— 0 13 56,8	0,3148937	14 44	7 18
23	56 37 55,1	+ 1 15 39,4	0,3101235	14 53	7 26
25	69 8 49,1	2 43 46,7	0,3077470	15 3	7 33
27	81 46 53,9	4 4 38,5	0,3079146	15 15	7 40
29	94 20 14,9	5 13 5,3	0,3106158	15 29	7 46
31	106 37 16,7	6 5 27,8	0,3156800	15 44	7 51
Aug. 2	118 28 13,1	6 40 9,0	0,3228088	15 59	7 54
4	129 46 0,7	6 57 27,9	0,3316216	16 15	7 57
6	140 26 35,4	6 59 6,1	0,3417039	16 32	7 58
8	150 28 37,5	6 47 31,7	0,3526506	16 47	7 59
10	159 52 53,7	+ 6 25 25,4	0,3640895	17 3	7 58
12	168 41 33,1	5 55 20,8	0,3756949	17 18	7 57
14	176 57 38,9	5 19 27,5	0,3871942	17 33	7 55
16	184 44 30,1	4 39 34,3	0,3983615	17 47	7 53
18	192 5 33,5	3 57 5,3	0,4090145	18 1	7 50
20	199 4 7,9	3 13 5,3	0,4190077	18 14	7 46
22	205 43 20,1	2 28 23,7	0,4282266	18 26	7 43
24	212 6 1,8	1 43 37,6	0,4365804	18 38	7 39
26	218 14 50,1	0 59 13,5	0,4439989	18 50	7 35
28	224 12 8,2	+ 0 15 31,7	0,4504278	19 0	7 30
30	230 0 8,3	— 0 27 11,7	0,4558255	19 11	7 25
Spt. 1	235 40 50,3	1 8 44,6	0,4601600	19 20	7 21

MERKUR 1830.

Geocentrischer Ort.

0 ^h Mittl. Zeit.		Geoc. Gr. Aufst. ♀	Geoc. Abweichg. ♀	Log. Entfern. ♀ von ♂	♂ im Merid.
Jul.	1	^h 5 20' 5,34	+ 19° 0' 18,9	9,8484351	^h 22 44,1
	3	5 23 29,53	19 20 38,9	9,8699276	22 39,6
	5	5 28 17,92	19 44 51,7	9,8920366	22 36,5
	7	5 34 30,60	20 11 52,4	9,9144644	22 34,9
	9	5 42 7,22	20 40 31,1	9,9369416	22 34,6
	11	5 51 7,04	21 9 25,0	9,9592096	22 35,7
	13	6 1 28,92	21 37 15,5	9,9810262	22 38,2
	15	6 13 10,96	22 2 29,9	0,0021436	22 42,0
	17	6 26 10,10	22 23 33,2	0,0223119	22 47,1
	19	6 40 21,62	22 38 48,6	0,0412775	22 53,4
	21	6 55 38,49	+ 22 46 41,2	0,0587890	23 0,8
	23	7 11 51,09	22 45 46,7	0,0746170	23 9,1
	25	7 28 47,21	22 34 58,8	0,0885689	23 18,2
	27	7 46 12,77	22 13 37,3	0,1005153	23 27,7
	29	8 3 52,87	21 41 33,1	0,1104052	23 37,5
	31	8 21 33,22	20 59 7,5	0,1182674	23 47,3
Aug.	2	8 39 1,42	20 7 7,3	0,1242014	23 56,9
	4	8 56 7,72	19 6 37,8	0,1283538	0 6,1
	6	9 12 45,18	17 58 50,3	0,1309100	0 14,8
	8	9 28 49,91	16 44 59,2	0,1320363	0 23,0
	10	9 44 18,94	+ 15 26 18,6	0,1319344	0 30,6
	12	9 59 12,32	14 3 51,3	0,1307446	0 37,6
	14	10 13 31,84	12 38 27,8	0,1285817	0 44,1
	16	10 27 17,53	11 11 4,1	0,1255848	0 50,0
	18	10 40 31,67	9 42 19,5	0,1218327	0 55,4
	20	10 53 16,19	8 12 49,8	0,1173950	1 0,2
	22	11 5 33,07	6 43 5,6	0,1123235	1 4,6
	24	11 17 24,16	5 13 33,6	0,1066544	1 8,5
	26	11 28 51,13	3 44 36,9	0,1004121	1 12,1
	28	11 39 55,43	2 16 36,3	0,0936082	1 15,3
	30	11 50 38,27	+ 0 49 50,9	0,0862447	1 18,1
Spt.	1	12 1 0,54	- 0 35 21,5	0,0782945	1 20,6

MERKUR 1830.

Heliocentrischer Ort.

0 ^h Mittl. Zt.	Helioc. Länge. ♂ ♀	Helioc. Breite. ♂ ♀	Rad. vect. ♂ ♀	♂	
				Aufg.	Unterg.
Spt. 1	235 0° 50,3	— 1° 8' 44,6	0,4601600	19 20 ^h	7 21 ^h
3	241 16 7,2	1 48 57,9	0,4634093	19 30	7 15
5	246 47 45,0	2 27 41,8	0,4655568	19 39	7 10
7	252 17 26,6	3 4 48,6	0,4665922	19 47	7 5
9	257 46 49,7	3 40 9,3	0,4665112	19 55	6 59
11	263 17 32,6	4 13 34,4	0,4653140	20 2	6 54
13	268 51 13,7	4 44 52,3	0,4630057	20 9	6 48
15	274 29 33,5	5 13 50,4	0,4595978	20 15	6 42
17	280 14 16,3	5 40 12,6	0,4551070	20 20	6 36
19	286 7 11,6	6 3 39,1	0,4495572	20 24	6 29
21	292 10 15,9	— 6 23 45,9	0,4429817	20 27	6 23
23	298 25 34,7	6 40 3,7	0,4354231	20 28	6 16
25	304 55 22,0	6 51 59,2	0,4269381	20 28	6 9
27	311 42 4,8	6 58 49,5	0,4176003	20 26	6 2
29	318 48 19,6	6 59 46,9	0,4075023	20 21	5 55
Oct. 1	326 16 53,4	6 53 53,8	0,3967637	20 14	5 47
3	334 10 44,0	6 40 6,1	0,3855357	20 3	5 39
5	342 32 49,4	6 17 15,9	0,3740048	19 49	5 30
7	351 26 4,5	5 44 14,6	0,3624042	19 31	5 22
9	0 53 3,7	5 0 2,9	0,3510155	19 10	5 14
11	10 55 41,5	— 4 4 6,1	0,3401699	18 47	5 6
13	21 34 44,8	2 56 31,0	0,3302461	18 23	4 58
15	32 49 17,3	1 38 28,7	0,3216534	18 0	4 51
17	44 36 6,8	— 0 12 35,8	0,3148034	17 39	4 44
19	56 49 24,2	+ 1 17 1,8	0,3100679	17 21	4 38
21	69 20 29,8	2 45 4,7	0,3077295	17 8	4 33
23	81 58 34,8	4 5 47,7	0,3079366	17 0	4 28
25	94 31 45,3	5 14 1,0	0,3106757	16 56	4 24
27	106 48 27,2	6 6 7,9	0,3157744	16 56	4 19
29	118 38 55,8	6 40 32,9	0,3229320	16 59	4 16
31	129 56 10,2	+ 6 57 36,1	0,3317674	17 4	4 12
Nvb. 2	140 36 9,6	6 59 0,8	0,3418662	17 12	4 8

MERKUR 1830.

Geocentrischer Ort.

Θ^h Mittl. Zt.	Geoc. Gr. Aufst. φ	Geoc. Abweichg. φ	Log. Entfern. φ von \odot	φ im Merid.
Spt. 1	12 ^h 1' 0,54	— 0° 35' 21,5	0,0782945	1 ^h 20,6
3	12 11 2,81	1 58 43,6	0,0698076	1 22,8
5	12 20 45,29	3 19 58,1	0,0606980	1 24,6
7	12 30 7,79	4 38 47,3	0,0509589	1 26,1
9	12 39 9,60	5 54 51,9	0,0405587	1 27,2
11	12 47 49,46	7 7 51,3	0,0294604	1 28,0
13	12 56 5,49	8 17 21,4	0,0176239	1 28,4
15	13 3 54,95	9 22 55,4	0,0050108	1 28,3
17	13 11 14,24	10 24 0,6	9,9915871	1 27,7
19	13 17 58,61	11 20 0,7	9,9773236	1 26,6
21	13 24 2,14	— 12 10 2,7	9,9622120	1 24,8
23	13 29 17,29	12 53 15,1	9,9462722	1 22,1
25	13 33 35,05	12 28 27,5	9,9295909	1 18,5
27	13 36 44,86	13 54 14,0	9,9122962	1 13,8
29	13 38 34,81	14 8 54,3	9,8946505	1 7,8
Oct. 1	13 38 52,61	14 10 31,4	9,8770709	1 0,2
3	13 37 27,13	13 57 0,7	9,8601850	0 50,9
5	13 34 11,25	13 26 27,6	9,8448857	0 39,7
7	13 29 5,98	12 37 41,0	9,8323375	0 26,8
9	13 22 25,12	11 31 6,5	9,8239100	0 12,1
11	13 14 38,74	— 10 9 39,0	9,8209725	23 56,5
13	13 6 32,84	8 39 21,9	9,8245653	23 40,6
15	12 59 2,96	7 8 46,0	9,8350422	23 25,2
17	12 53 2,96	5 47 9,6	9,8518929	23 11,4
19	12 49 14,51	4 42 29,6	9,8737884	22 59,6
21	12 47 59,10	3 59 39,8	9,8990320	22 50,5
23	12 49 19,47	3 40 18,2	9,9258502	22 43,9
25	12 53 3,50	3 43 19,7	9,9527471	22 39,8
27	12 58 50,77	4 5 57,6	9,9786237	22 37,7
29	13 6 18,10	4 44 40,5	0,0027860	22 37,2
31	13 15 3,41	— 5 35 52,3	0,0248727	22 38,1
Nov. 2	13 24 47,47	6 36 15,5	0,0447626	22 39,9

MERKUR 1830.

Heliocentrischer Ort.

0 ^h Mittl. Zt.	Helioc. Länge. ♂	Helioc. Breite. ♀	Rad. vect. ♀	♀	
				Aufg.	Unterg.
Nov. 0	129° 56' 10,2	+ 6° 57' 36,1	0,3317674	17 ^h 4'	4 ^h 12'
8,12 2	140 36 9,6	6 59 0,8	0,3418662	17 12	4 8
16,12 4	150 37 36,5	6 47 15,5	0,3528236	17 20	4 5
24,12 6	160 1 18,2	6 25 1,2	0,3642671	17 30	4 1
32,12 8	168 49 26,1	5 54 50,0	0,3758732	17 40	3 59
40,12 10	177 5 3,8	5 18 52,6	0,3873691	17 50	3 56
48,12 12	184 51 29,9	4 38 56,2	0,3985295	18 1	3 53
56,12 14	192 12 11,7	3 56 25,6	0,4091735	18 12	3 50
64,12 16	199 10 27,1	3 12 24,6	0,4191562	18 24	3 47
72,12 18	205 49 23,5	2 27 42,8	0,4283617	18 35	3 45
8,1 20	212 11 51,4	+ 1 42 56,7	0,4367019	18 46	3 43
16,1 22	218 20 28,3	0 58 33,4	0,4441057	18 57	3 41
24,1 24	224 17 37,8	+ 0 14 52,1	0,4505188	19 9	3 40
32,1 26	230 5 29,8	— 0 27 50,1	0,4559002	19 20	3 39
40,1 28	235 46 6,0	1 9 22,0	0,4602185	19 31	3 38
48,1 30	241 21 18,8	1 49 33,8	0,4634504	19 41	3 38
Dec. 0 2	246 52 54,5	2 28 16,6	0,4655805	19 52	3 38
8,1 4	252 22 34,6	3 5 21,6	0,4665988	20 2	3 39
16,1 6	257 51 58,1	3 40 40,8	0,4665004	20 12	3 40
24,1 8	263 22 43,3	4 14 3,8	0,4652859	20 21	3 42
32,1 10	268 56 27,9	— 4 45 20,0	0,4629605	20 30	3 45
40,1 12	274 34 52,4	5 14 15,6	0,4595355	20 39	3 48
48,1 14	280 19 41,8	5 40 35,1	0,4550282	20 47	3 53
56,1 16	286 12 45,2	6 3 58,7	0,4494620	20 54	3 58
64,1 18	292 15 59,6	6 24 2,3	0,4428707	21 0	4 4
72,1 20	298 31 30,4	6 40 16,4	0,4352975	21 6	4 11
80,1 22	305 1 31,7	6 52 8,0	0,4267989	21 11	4 18
88,1 24	311 48 30,9	6 58 53,1	0,4174480	21 15	4 26
96,1 26	318 55 4,4	6 59 44,9	0,4073394	21 18	4 35
1,1 28	326 24 0,2	6 53 45,5	0,3965926	21 20	4 45
9,1 30	334 18 14,8	— 6 39 50,0	0,3853582	21 22	4 55
17,1 31	338 25 47,8	6 29 32,6	0,3796153	21 22	5 0

MERKUR 1830.

Geocentrischer Ort.

0 ^h Mittl. Zt.	Geoc. Gr. Aufst. ♀	Geoc. Abweichg. ♀	Log. Entfern. ♀ von ♂	♀ im Merid.
Nov. 0	13 ^h 15' 3,41	— 5° 35' 52,3	0,0248727	22 ^h 38,1
2	13 24 47,47	6 36 15,5	0,0447626	22 39,9
4	13 35 15,89	7 43 2,1	0,0624897	22 42,5
6	13 46 16,29	8 53 55,5	0,0781751	22 45,6
8	13 57 40,38	10 7 5,5	0,0919796	22 49,2
10	14 9 22,32	11 21 8,6	0,1040818	22 53,0
12	14 21 17,77	12 34 57,3	0,1146452	22 57,0
14	14 33 24,04	13 47 40,6	0,1238265	23 1,2
16	14 45 39,32	14 58 38,3	0,1317633	23 5,6
18	14 58 2,59	16 7 18,6	0,1385751	23 10,1
20	15 10 33,23	— 17 13 15,6	0,1443637	23 14,7
22	15 23 11,02	18 16 8,1	0,1492148	23 19,4
24	15 35 55,93	19 15 38,5	0,1531992	23 24,3
26	15 48 48,02	20 11 30,4	0,1563747	23 29,3
28	16 1 47,46	21 3 29,8	0,1587874	23 34,4
30	16 14 54,39	21 51 23,8	0,1604718	23 39,6
Decb. 2	16 28 8,91	22 34 59,7	0,1614529	23 45,0
4	16 41 31,10	23 14 5,2	0,1617473	23 50,5
6	16 55 0,82	23 48 29,1	0,1613604	23 56,1
8	17 8 37,88	24 17 59,2	0,1602906	0 1,8
10	17 22 21,90	— 24 42 24,2	0,1585274	0 7,7
12	17 36 12,30	25 1 32,6	0,1560517	0 13,6
14	17 50 8,29	25 15 13,2	0,1528349	0, 19,7
16	18 4 8,81	25 23 15,4	0,1488386	0 25,8
18	18 18 12,54	25 25 28,7	0,1440139	0 32,0
20	18 32 17,80	25 21 43,7	0,1382996	0 38,2
22	18 46 22,47	25 11 53,1	0,1316217	0 44,4
24	19 0 23,99	24 55 50,3	0,1238910	0 50,5
26	19 14 19,11	24 33 32,9	0,1150020	0 56,6
28	19 28 3,80	24 5 1,5	0,1048321	1 2,5
30	19 41 33,98	— 23 30 34,7	0,0931818	1 8,1
31	19 48 9,73	23 10 49,5	0,0868634	1 10,7

VENUS 1830.

Heliocentrischer Ort.

0 ^h Mittl. Zt.	Helioc. Länge. ♀	Helioc. Breite. ♀	Rad. vect. ♀	♀	
				Aufg.	Unterg.
Jan. 0	59° 21' 22,6	— 0° 55' 20,3	0,7216076	22 29	8 9
2	62 34 19,8	44 14,9	0,7213466	22 24	8 13
4	65 47 23,9	33 0,8	0,7210958	22 18	8 17
6	69 0 35,1	21 40,4	0,7208522	22 12	8 21
8	72 13 53,8	— 0 10' 15,1	0,7206161	22 6	8 24
10	75 27 19,8	+ 0 1 12,4	0,7203886	22 0	8 28
12	78 40 52,6	12 40,0	0,7201703	21 53	8 31
14	81 54 32,9	24 5,8	0,7199619	21 46	8 34
16	85 8 20,2	35 27,5	0,7197642	21 39	8 36
18	88 22 14,6	46 42,7	0,7195777	21 32	8 38
20	91 36 15,7	+ 0 57 49,3	0,7194030	21 25	8 40
22	94 50 23,6	1 8 45,2	0,7192407	21 18	8 41
24	98 4 37,9	19 28,1	0,7190914	21 10	8 42
26	101 18 58,6	29 56,1	0,7189555	21 2	8 42
28	104 33 25,4	40 7,3	0,7188334	20 54	8 42
30	107 47 57,9	49 59,2	0,7187256	20 46	8 41
Febr. 1	111 2 35,7	1 59 30,2	0,7186325	20 37	8 41
3	114 17 18,3	2 8 38,4	0,7185542	20 28	8 40
5	117 32 5,8	17 21,9	0,7184912	20 18	8 37
7	120 46 57,3	25 39,2	0,7184435	20 9	8 34
9	124 1 52,4	+ 2 33 28,4	0,7184112	19 59	8 30
11	127 16 50,6	40 48,0	0,7183947	19 49	8 26
13	130 31 51,3	47 36,8	0,7183938	19 39	8 20
15	133 46 54,0	53 53,2	0,7184088	19 29	8 14
17	137 1 57,9	2 59 36,1	0,7184393	19 18	8 6
19	140 17 2,4	3 4 44,2	0,7184853	19 8	7 57
21	143 32 6,9	9 16,8	0,7185467	18 58	7 48
23	146 47 10,7	13 12,7	0,7186234	18 46	7 37
25	150 2 13,2	16 31,4	0,7187151	18 34	7 26
27	153 17 13,8	19 12,2	0,7188213	18 23	7 14
Mrz. 1	156 32 11,6	+ 3 21 14,6	0,7189421	18 12	7 1
3	159 47 5,8	22 38,4	0,7190766	18 1	6 47

VENUS 1830.

Geocentrischer Ort.

0 ^h Mittl. Zt.	Geoc. Gr. Aufst. ♀	Geoc. Abweichg. ♀	Log. Entfern. ♀ von ♂	♀ im Merid.
Jan. 0	^h 21 57 21,46	— 13° 35' 31,8	9,8034333	^h 3 18,9
2	22 4 34,47	12 44 33,8	9,7931941	3 18,3
4	22 11 35,57	11 52 59,3	9,7827242	3 17,4
6	22 18 24,31	11 0 57,3	9,7720213	3 16,3
8	22 25 0,15	10 8 34,9	9,7610816	3 15,0
10	22 31 22,66	9 16 0,9	9,7499041	3 13,5
12	22 37 31,31	8 23 23,8	9,7384892	3 11,8
14	22 43 25,49	7 30 51,3	9,7268359	3 9,8
16	22 49 4,51	6 38 32,9	9,7149400	3 7,6
18	22 54 27,68	5 46 37,7	9,7028079	3 5,1
20	22 59 34,15	— 4 55 15,5	9,6904411	3 2,3
22	23 4 22,93	4 4 36,2	9,6778429	2 59,2
24	23 8 52,93	3 14 51,3	9,6650208	2 55,8
26	23 13 2,91	2 26 12,3	9,6519860	2 52,1
28	23 16 51,54	1 38 51,2	9,6487552	2 48,0
30	23 20 17,21	0 53 3,7	9,6253518	2 43,5
Febr. 1	23 23 18,42	— 0 9 3,4	9,6118052	2 38,7
3	23 25 53,49	+ 0 32 53,7	9,5981570	2 33,4
5	23 28 0,71	1 12 29,7	9,5844550	2 27,6
7	23 29 38,40	1 49 26,7	9,5707618	2 21,3
9	23 30 44,99	+ 2 23 24,4	9,5571520	2 14,6
11	23 31 18,99	2 54 2,1	9,5437108	2 7,3
13	23 31 19,17	3 20 58,8	9,5305410	1 59,4
15	23 30 44,65	3 43 51,7	9,5177561	1 51,0
17	23 29 34,93	4 2 18,6	9,5054884	1 41,9
19	23 27 50,16	4 15 58,2	9,4938817	1 32,3
21	23 25 31,13	4 24 31,8	9,4830950	1 22,1
23	23 22 39,47	4 27 43,0	9,4732946	1 11,4
25	23 19 17,81	4 25 21,6	9,4646542	1 0,1
27	23 15 29,79	4 17 23,0	9,4573462	0 48,4
Mrz. 1	23 11 20,20	+ 4 3 52,7	9,4515330	0 36,3
3	23 6 55,01	3 45 5,7	9,4473574	0 24,0

VENUS 1830.

Heliocentrischer Ort.

0 ^h	Helioc. Länge.		Helioc. Breite	Rad. vect.	♀	
Mittl. Zt.	♀		♀	♀	Aufg.	Unterg.
Mrz.	1	156° 32' 11,6	+ 3° 21' 14,6	0,7189421	18 ^h 12'	7 ^h 1'
3	159 47 5,8	22 38,4	0,7190766	18 1	6 47	
5	163 1 55,9	23 23,0	0,7192246	17 51	6 32	
7	166 16 41,2	23 28,5	0,7193855	17 41	6 17	
9	169 31 20,8	22 55,0	0,7195590	17 31	6 2	
11	172 45 54,3	21 42,7	0,7197444	17 22	5 47	
13	176 0 20,9	19 51,8	0,7199411	17 13	5 32	
15	179 14 40,3	17 22,5	0,7201486	17 5	5 17	
17	182 28 51,7	14 15,7	0,7203660	16 58	5 3	
19	185 42 54,5	10 32,1	0,7205927	16 50	4 50	
21	188 56 48,3	+ 3 6 12,3	0,7208282	16 43	4 37	
23	192 10 32,7	3 1 17,1	0,7210714	16 37	4 25	
25	195 24 7,3	2 55 47,8	0,7213216	16 31	4 14	
27	198 37 31,8	2 49 45,4	0,7215782	16 25	4 4	
29	201 50 45,8	43 11,0	0,7218402	16 20	3 55	
31	205 3 49,0	36 6,0	0,7221067	16 15	3 47	
Apr.	2	208 16 41,4	28 32,1	0,7223771	16 10	3 39
4	211 29 22,9	20 30,5	0,7226505	16 6	3 32	
6	214 41 53,5	12 2,7	0,7229259	16 2	3 26	
8	217 54 12,9	2 3 10,6	0,7232024	15 57	3 21	
10	221 6 21,4	+ 1 53 55,9	0,7234793	15 53	3 16	
12	224 18 18,9	44 20,2	0,7237557	15 49	3 12	
14	227 30 5,6	34 25,7	0,7240305	15 45	3 9	
16	230 41 41,6	24 13,7	0,7243031	15 41	3 7	
18	233 53 7,5	13 46,8	0,7245727	15 38	3 5	
20	237 4 23,5	1 3 6,5	0,7248384	15 34	3 3	
22	240 15 29,7	0 52 15,3	0,7250992	15 31	3 2	
24	243 26 26,6	41 14,3	0,7253543	15 27	3 2	
26	246 37 14,7	30 6,2	0,7256033	15 23	3 1	
28	249 47 54,4	18 53,3	0,7258448	15 19	3 1	
30	252 58 26,1	+ 0 7 37,2	0,7260787	15 16	3 2	
Mai	2	256 8 50,5	- 0 3 39,5	0,7263040	15 12	3 3

VENUS 1830.

Geocentrischer Ort.

0h Mittl. Zt.		Geoc. Gr. Aufst. ♀ ♀		Geoc. Abweichg. ♀		Log. Entfern. ♀ von ♂		♀ im Merid.
Mrz. 1		h	'	"	0	'	"	h
		23	11	20,20	+	4	3 52,7	0 36,3
3		23	6	55,01		3	45 5,7	0 24,0
5		23	2	20,76		3	21 26,8	0 11,6
7		22	57	44,60		2	53 32,1	23 59,1
9		22	53	14,33		2	22 7,3	23 46,7
11		22	48	56,86		1	48 4,8	23 34,5
13		22	44	59,15		1	12 18,7	23 22,7
15		22	41	26,83	+	0	35 43,7	23 11,3
17		22	38	24,69	-	0	0 45,9	23 0,4
19		22	35	56,28		0	36 21,9	22 50,0
21		22	34	3,87	-	1	10 23,7	22 40,2
23		22	32	48,74		1	42 17,3	22 31,0
25		22	32	11,19		2	11 34,9	22 22,6
27		22	32	10,79		2	37 56,6	22 14,7
29		22	32	46,61		3	1 8,0	22 7,4
31		22	33	57,21		3	20 59,2	22 0,7
Apr. 2		22	35	40,93		3	37 24,1	21 54,5
4		22	37	55,97		3	50 21,1	21 48,9
6		22	40	40,33		3	59 50,5	21 43,8
8		22	43	52,07		4	5 54,5	21 39,1
10		22	47	29,15	-	4	8 37,3	21 34,8
12		22	51	29,63		4	8 4,6	21 30,9
14		22	55	51,58		4	4 22,3	21 27,4
16		23	0	33,23		3	57 38,4	21 24,2
18		23	5	32,74		3	47 59,9	21 21,3
20		23	10	48,54		3	35 35,4	21 18,7
22		23	16	19,14		3	20 32,2	21 16,3
24		23	22	3,19		3	3 0,0	21 14,1
26		23	27	59,44		2	43 5,6	21 12,2
28		23	34	6,83		2	20 57,0	21 10,5
30		23	40	24,44	-	1	56 42,2	21 8,9
Mai 2		23	46	51,39		1	30 28,2	21 7,5

VENUS 1830.

Heliocentrischer Ort.

Oh Mittl. Zt.	Helioc. Länge. ♀	Helioc. Breite. ♀	Rad. vect. ♀	♀	
				Aufg.	Unterg.
Mai 0	252 58' 26,1	+ 0° 7' 37,2	0,7260787	15 ^h 16'	3 ^h 2'
0,12 2	256 8 50,5	— 0 3 39,5	0,7263040	15 12	3 3
0,24 4	259 19 7,9	14 55,4	0,7265199	15 9	3 4
0,36 6	262 29 19,3	26 8,1	0,7267260	15 5	3 6
0,48 8	265 39 24,9	37 15,6	0,7269214	15 1	3 8
0,60 10	268 49 25,4	48 16,4	0,7271057	14 57	3 9
0,72 12	271 59 21,2	0 59 7,7	0,7272781	14 53	3 11
0,84 14	275 9 13,0	1 9 47,8	0,7274385	14 49	3 13
0,96 16	278 19 1,4	20 14,9	0,7275860	14 46	3 16
1,08 18	281 28 47,0	30 27,1	0,7277204	14 42	3 19
1,20 20	284 38 30,4	— 1 40 22,8	0,7278413	14 38	3 22
1,32 22	287 48 12,2	49 59,7	0,7279482	14 34	3 25
1,44 24	290 57 52,9	1 59 16,4	0,7280408	14 31	3 28
1,56 26	294 7 33,1	2 8 11,3	0,7281188	14 27	3 31
1,68 28	297 17 13,2	16 42,6	0,7281821	14 23	3 35
1,80 30	300 26 53,7	24 49,1	0,7282303	14 19	3 38
Jun. 1	303 36 35,3	32 29,0	0,7282635	14 16	3 42
1,88 3	306 46 17,8	39 41,0	0,7282815	14 12	3 46
1,96 5	309 56 2,5	46 24,0	0,7282842	14 8	3 50
2,04 7	313 5 49,5	52 36,5	0,7282716	14 4	3 54
2,12 9	316 15 39,0	— 2 58 17,5	0,7282437	14 1	3 59
2,20 11	319 25 31,5	3 3 26,1	0,7282007	13 57	4 3
2,28 13	322 35 27,2	8 1,2	0,7281426	13 54	4 7
2,36 15	325 45 26,6	12 1,9	0,7280697	13 51	4 11
2,44 17	328 55 29,8	15 27,4	0,7279822	13 48	4 16
2,52 19	332 5 37,3	18 17,5	0,7278802	13 45	4 21
3,00 21	335 15 49,2	20 31,2	0,7277642	13 42	4 26
3,08 23	338 26 5,6	22 8,2	0,7276345	13 39	4 30
3,16 25	341 36 26,7	23 8,2	0,7274913	13 36	4 35
3,24 27	344 46 52,8	23 30,9	0,7273354	13 33	4 40
3,32 29	347 57 24,1	— 3 23 16,1	0,7271670	13 31	4 45
Jul. 1	351 8 0,6	22 24,0	0,7269866	12 29	4 49

VENUS 1830.

Geocentrischer Ort.

0 ^h Mittl. Zt.		Geoc. Gr. Aufst. ♀	Geoc. Abweichg. ♀	Log. Entfern. ♀ von ♂	♀ im Merid.
Mai	0	^h 23 40' 24,44"	— ^o 1 56' 42,2"	9,7534301	^h 21 8,9
	2	23 46 51,39	1 30 28,2	9,7652685	21 7,4
	4	23 53 27,01	1 2 22,8	9,7768586	21 6,1
	6	0 0 10,63	0 32 33,4	9,7882040	21 5,0
	8	0 7 1,71	— 0 1 6,8	9,7993060	21 4,0
	10	0 13 59,81	+ 0 31 49,6	9,8101669	21 3,1
	12	0 21 4,42	1 6 9,1	9,8207891	21 2,2
	14	0 28 15,14	1 41 44,5	9,8311764	21 1,5
	16	0 35 31,66	2 18 27,6	9,8413320	21 0,9
	18	0 42 53,63	2 56 13,4	9,8512602	21 0,4
	20	0 50 20,77	+ 3 34 54,4	9,8609657	21 0,0
	22	0 57 52,90	4 14 22,6	9,8704543	20 59,6
	24	1 5 29,82	4 54 31,8	9,8797317	20 59,3
	26	1 13 11,43	5 35 15,3	9,8888043	20 59,1
	28	1 20 57,63	6 16 26,9	9,8976776	20 59,0
	30	1 28 48,38	6 57 59,9	9,9063582	20 59,0
Jun.	1	1 36 43,71	7 39 48,3	9,9148519	20 59,0
	3	1 44 43,62	8 21 45,8	9,9231619	20 59,1
	5	1 52 48,17	9 3 46,2	9,9312951	20 59,3
	7	2 0 57,41	9 45 43,7	9,9392544	20 59,6
	9	2 9 11,41	+ 10 27 32,0	9,9470424	21 0,0
	11	2 17 30,21	11 9 4,7	9,9546626	21 0,4
	13	2 25 53,89	11 50 15,8	9,9621186	21 0,9
	15	2 34 22,45	12 30 59,2	9,9694126	21 1,5
	17	2 42 55,95	13 11 9,0	9,9765487	21 2,2
	19	2 51 34,43	13 50 37,5	9,9835301	21 3,0
	21	3 0 17,88	14 29 20,0	9,9903608	21 3,8
	23	3 9 6,33	15 7 10,0	9,9970446	21 4,7
	25	3 17 59,83	15 44 1,5	0,0035854	21 5,7
	27	3 26 58,37	16 19 48,6	0,0099878	21 6,7
	29	3 36 1,99	+ 16 54 25,3	0,0162555	21 7,9
	Jul. 1	3 45 10,71	17 27 46,0	0,0223917	21 9,3

VENUS 1830.

Heliocentrischer Ort.

0 ^h Mittl. Zt.	Helioc. Länge. ♀	Helioc. Breite. ♀	Rad vect. ♀	♀	
				Aufg.	Unterg.
Jul. 1	351° 8' 0,6	— 3° 22' 24,0	0,7269866	13 ^h 29'	4 ^h 49'
3	354 18 42,5	20 54,6	0,7267948	13 27	4 54
5	357 29 29,9	18 48,1	0,7265924	13 25	4 59
7	0 40 22,7	16 4,8	0,7263796	13 23	5 4
9	3 51 21,5	12 45,3	0,7261573	13 22	5 9
11	7 2 26,3	8 50,1	0,7259262	13 21	5 13
13	10 13 36,8	3 4 19,7	0,7256869	13 20	5 18
15	13 24 53,1	2 59 15,0	0,7254401	13 19	5 22
17	16 36 15,5	53 36,7	0,7251866	13 19	5 26
19	19 47 44,2	47 26,0	0,7249273	13 19	5 30
21	22 59 19,0	— 2 40 43,9	0,7246629	13 19	5 34
23	26 10 59,9	33 31,6	0,7243941	13 19	5 38
25	29 22 47,4	25 50,5	0,7241220	13 20	5 41
27	32 34 41,6	17 41,6	0,7238473	13 21	5 44
29	35 46 42,0	9 6,6	0,7235708	13 22	5 47
31	38 58 49,1	2 0 7,1	0,7232935	13 24	5 50
Aug. 2	42 11 2,8	1 50 44,7	0,7230161	13 26	5 53
4	45 23 23,4	41 1,2	0,7227396	13 29	5 55
6	48 35 50,7	30 58,2	0,7224650	13 31	5 57
8	51 48 25,2	20 37,5	0,7221929	13 34	5 59
10	55 1 6,5	— 1 10 1,2	0,7219243	13 37	6 0
12	58 13 54,9	0 59 11,3	0,7216598	13 41	6 1
14	61 26 50,2	48 9,7	0,7214005	13 45	6 2
16	64 39 52,9	36 58,3	0,7211472	13 49	6 3
18	67 53 2,9	25 39,9	0,7209007	13 53	6 3
20	71 6 19,9	14 16,0	0,7206617	13 58	6 3
22	74 19 44,2	— 0 2 48,9	0,7204310	14 3	6 2
24	77 33 15,7	+ 0 8 38,9	0,7202093	14 9	6 2
26	80 46 54,5	20 5,8	0,7199975	14 14	6 1
28	84 0 40,6	31 28,9	0,7197961	14 19	6 0
30	87 14 33,5	+ 0 42 46,8	0,7196058	14 24	5 59
Spt. 1	90 28 33,3	53 57,0	0,7194274	14 30	5 57

VENUS 1830.

Geocentrischer Ort.

0 ^h Mittl. Zt.		Geoc. Gr. Aufst. ♀	Geoc. Abweichg. ♀	Log. Entfern. ♀ von ♂	♀ im Merid.
Jul.	1	^h 3 ['] 45 ["] 10,71	+ 17 ^o 27' 46,0	0,0223917	^h 21 ['] 9,3
	3	3 54 24,54	17 59 45,1	0,0283994	21 10,6
	5	4 3 43,44	18 30 17,0	0,0342821	21 12,0
	7	4 13 7,39	18 59 16,2	0,0400408	21 13,5
	9	4 22 36,31	19 26 37,2	0,0456789	21 15,1
	11	4 32 10,09	19 52 14,8	0,0511978	21 16,8
	13	4 41 48,58	20 16 4,1	0,0565978	21 18,5
	15	4 51 31,60	20 37 59,7	0,0618812	21 20,3
	17	5 1 18,93	20 57 58,0	0,0670495	21 22,3
	19	5 11 10,33	21 15 53,3	0,0721056	21 24,3
	21	5 21 5,51	+ 21 31 42,0	0,0770511	21 26,3
	23	5 31 4,18	45 20,0	0,0818885	21 28,4
	25	5 41 6,04	21 56 43,7	0,0866207	21 30,5
	27	5 51 10,77	22 5 50,0	0,0912509	21 32,7
	29	6 1 18,02	12 36,2	0,0957806	21 34,9
	31	6 11 27,47	16 59,4	0,1002129	21 37,2
Aug.	2	6 21 38,75	18 58,0	0,1045486	21 39,5
	4	6 31 51,53	18 29,9	0,1087899	21 41,8
	6	6 42 5,40	15 34,0	0,1129386	21 44,1
	8	6 52 20,03	10 9,5	0,1169955	21 46,5
	10	7 2 34,99	+ 22 2 15,8	0,1209608	21 48,9
	12	7 12 49,92	21 51 53,1	0,1248355	21 51,3
	14	7 23 4,41	39 1,6	0,1286205	21 53,6
	16	7 33 18,10	23 42,5	0,1323173	21 56,0
	18	7 43 30,60	21 5 56,7	0,1359266	21 58,3
	20	7 53 41,55	20 45 46,3	0,1394496	22 0,6
Spt.	22	8 3 50,63	20 23 13,3	0,1428889	22 2,9
	24	8 13 57,57	19 58 19,9	0,1462459	22 5,1
	26	8 24 2,11	31 9,3	0,1495224	22 7,3
	28	8 34 4,03	19 1 44,4	0,1527205	22 9,4
	30	8 44 3,13	+ 18 30 8,9	0,1558417	22 11,5
	1	8 53 59,33	17 56 26,2	0,1588866	22 13,6

VENUS 1830.

Heliocentrischer Ort.

0 ^h Mittl. Zt.	Helioc. Länge. ♀	Helioc. Breite. ♀	Rad. vect. ♀	♀	
				Aufg.	Unterg.
Spt. 1	90 28 33,3	+ 0 53 57,0	0,7194274	14 30 ^h	5 57 ^h
3	93 42 40,0	1 4 57,0	0,7192612	14 36	5 55
5	96 56 53,1	15 44,8	0,7191079	14 42	5 53
7	100 11 12,7	26 18,3	0,7189679	14 48	5 51
9	103 25 38,3	36 35,6	0,7188417	14 54	5 48
11	106 40 9,7	46 34,6	0,7187297	15 0	5 46
13	109 54 46,6	1 56 13,1	0,7186321	15 7	5 43
15	113 9 28,6	2 5 29,5	0,7185494	15 13	5 40
17	116 24 15,2	14 21,9	0,7184819	15 19	5 37
19	119 39 6,1	22 48,5	0,7184299	15 25	5 34
21	122 54 0,8	+ 2 30 47,7	0,7183934	15 31	5 31
23	126 8 58,9	38 18,0	0,7183725	15 37	5 28
25	129 23 59,4	45 17,7	0,7183673	15 44	5 24
27	132 39 2,1	51 45,6	0,7183779	15 50	5 21
29	135 54 6,3	2 57 40,2	0,7184041	15 57	5 17
Oct. 1	139 9 11,4	3 3 0,7	0,7184460	16 3	5 14
3	142 24 16,7	7 45,8	0,7185035	16 9	5 10
5	145 39 21,5	11 54,5	0,7185762	16 15	5 6
7	148 54 25,2	15 26,4	0,7186640	16 22	5 2
9	152 9 27,0	18 20,5	0,7187665	16 28	4 59
11	155 24 26,3	+ 3 20 36,4	0,7188834	16 35	4 55
13	158 39 22,3	22 13,7	0,7190145	16 42	4 51
15	161 54 14,2	23 11,8	0,7191593	16 48	4 47
17	165 9 1,6	23 31,1	0,7193170	16 54	4 43
19	168 23 43,9	23 11,4	0,7194877	17 1	4 39
21	171 38 20,0	22 12,4	0,7196702	17 7	4 35
23	174 52 49,4	20 34,8	0,7198643	17 13	4 31
25	178 7 11,7	18 18,8	0,7200693	17 20	4 28
27	181 21 26,1	15 25,0	0,7202846	17 26	4 24
29	184 35 32,1	11 54,2	0,7205095	17 33	4 20
31	187 49 29,4	+ 3 7 47,0	0,7207430	17 40	4 16
Nov. 2	191 3 17,3	3 4,1	0,7209847	17 46	4 13

VENUS 1830.

Geocentrischer Ort.

0 ^h Mittl. Zt.	Geoc. Gr. Aufst. ♀	Geoc. Abweichg. ♀	Log. Entfern. ♀ von ♂	♀ im Merid.
Spt. 1	8 ^h 53' 59,33	+ 17° 56' 26,2	0,1588866	22 ^h 13,6
3	9 3 52,47	17 20 40,2	0,1618572	22 15,6
5	9 13 42,48	16 42 55,2	0,1647538	22 17,5
7	9 23 29,31	16 3 15,5	0,1675775	22 19,4
9	9 33 12,95	15 21 45,6	0,1703283	22 21,2
11	9 42 53,40	14 38 30,8	0,1730066	22 23,0
13	9 52 30,66	13 53 35,4	0,1756133	22 24,8
15	10 2 4,79	13 7 4,9	0,1781488	22 26,5
17	10 11 35,84	12 19 4,5	0,1806134	22 28,1
19	10 21 3,93	11 29 39,6	0,1830092	22 29,7
21	10 30 29,17	+ 10 38 55,6	0,1853368	22 31,2
23	10 39 51,73	9 46 58,0	0,1875980	22 32,7
25	10 49 11,76	8 53 52,4	0,1897937	22 34,2
27	10 58 29,49	7 59 44,2	0,1919259	22 35,6
29	11 7 45,14	7 4 39,0	0,1939957	22 36,9
Oct. 1	11 16 58,98	6 8 42,7	0,1960038	22 38,3
3	11 26 11,26	5 12 0,5	0,1979519	22 39,6
5	11 35 22,26	4 14 38,2	0,1998401	22 40,9
7	11 44 32,29	3 16 41,6	0,2016688	22 42,2
9	11 53 41,62	2 18 16,4	0,2034380	22 43,5
11	12 2 50,55	+ 1 19 28,4	0,2051484	22 44,7
13	12 11 59,37	+ 0 20 23,6	0,2068003	22 46,0
15	12 21 8,37	- 0 38 52,3	0,2083940	22 47,2
17	12 30 17,87	1 38 13,0	0,2099299	22 48,5
19	12 39 28,13	2 37 32,7	0,2114089	22 49,8
21	12 48 39,48	3 36 45,2	0,2128325	22 51,1
23	12 57 52,21	4 35 44,5	0,2142014	22 52,4
25	13 7 6,63	5 34 24,4	0,2155169	22 53,8
27	13 16 23,07	6 32 38,8	0,2167801	22 55,2
29	13 25 41,83	7 30 21,5	0,2179923	56 56,6
31	13 35 3,23	- 8 27 26,3	0,2191544	22 58,1
Nov. 2	13 44 27,57	9 23 47,3	0,2202673	22 59,7

VENUS 1830.

Heliocentrischer Ort.

0 ^h Mittl. Zt.	Helioc. Länge. ♀	Helioc. Breite. ♀	Rad. vect. ♀	♀	
				Aufg.	Unterg.
Nov. 0	187° 49' 29,4	+ 3° 7' 47,0	0,7207430	17 ^h 40'	4 ^h 16'
2	191 3 17,3	3 3 4,1	0,7209847	17 46	4 13
4	194 16 55,7	2 57 46,3	0,7212336	17 53	4 10
6	197 30 23,8	51 55,4	0,7214891	18 0	4 7
8	200 43 41,5	45 32,0	0,7217504	18 6	4 3
10	203 56 48,6	38 37,6	0,7220164	18 13	3 59
12	207 9 44,9	31 13,6	0,7222864	18 20	3 56
14	210 22 30,3	23 21,3	0,7225596	18 26	3 53
16	213 35 4,8	15 2,5	0,7228351	18 33	3 51
18	216 47 28,2	2 6 18,9	0,7231120	18 40	3 48
20	219 59 40,5	+ 1 57 11,8	0,7233896	18 46	3 46
22	223 11 41,8	47 43,1	0,7236668	18 53	3 44
24	226 23 32,4	37 54,9	0,7239429	19 0	3 42
26	229 35 12,2	27 48,9	0,7242169	19 6	3 40
28	232 46 41,6	17 27,0	0,7244882	19 13	3 38
30	235 58 0,8	1 6 51,0	0,7247559	19 19	3 37
Dec. 2	239 9 10,5	0 56 3,3	0,7250186	19 25	3 36
4	242 20 10,8	45 5,4	0,7252763	19 31	3 36
6	245 31 1,9	34 0,2	0,7255276	19 37	3 35
8	248 41 44,1	22 48,5	0,7257722	19 43	3 35
10	251 52 18,5	+ 0 11 33,1	0,7260092	19 49	3 35
12	255 2 45,5	+ 0 0 16,3	0,7262379	19 54	3 36
14	258 13 5,3	- 0 10 59,9	0,7264571	19 59	3 37
16	261 23 18,6	22 14,2	0,7266668	20 4	3 38
18	264 33 25,9	33 23,5	0,7268661	20 8	3 40
20	267 43 27,7	44 26,9	0,7270544	20 12	3 42
22	270 53 25,1	0 55 21,9	0,7272311	20 16	3 44
24	274 3 18,0	1 6 6,0	0,7273957	20 20	3 47
26	277 13 7,5	16 37,9	0,7275478	20 23	3 50
28	280 22 54,0	26 55,4	0,7276869	20 26	3 53
30	283 32 37,9	- 1 36 57,1	0,7278124	20 28	3 57
31	285 7 39,2	41 51,2	0,7278700	20 29	3 59

VENUS 1830.

Geocentrischer Ort.

0 ^h Mittl. Zt.	Geoc. Gr. Aufst. ♀	Geoc. Abweichg. ♀	Log. Entfern. ♀ von ♂	♀ im Merid.
Nov. 0	13 ^h 35' 3,23	— 8° 27' 26,3	0,2191544	22 ^h 58,1
2	13 44 27,57	9 23 47,3	0,2202673	22 59,6
4	13 53 55,15	10 19 18,1	0,2213310	23 1,2
6	14 3 26,23	11 13 52,2	0,2223458	23 2,8
8	14 13 1,08	12 7 23,5	0,2233120	23 4,5
10	14 22 39,91	12 59 45,4	0,2242298	23 6,3
12	14 32 22,96	13 50 51,5	0,2250989	23 8,1
14	14 42 10,38	14 40 35,3	0,2259197	23 10,0
16	14 52 2,33	15 28 50,3	0,2266928	23 12,0
18	15 1 58,93	16 15 29,8	0,2274186	23 14,1
20	15 12 0,25	— 17 0 27,5	0,2280982	23 16,2
22	15 22 6,37	17 43 37,0	0,2287319	23 18,4
24	15 32 17,33	18 24 52,0	0,2293211	23 20,7
26	15 42 33,11	19 4 6,2	0,2298664	23 23,1
28	15 52 53,69	19 41 13,7	0,2303693	23 25,5
30	16 3 18,99	20 16 8,6	0,2308301	23 28,1
Dec. 2	16 13 48,94	20 48 45,5	0,2312489	23 30,7
4	16 24 23,36	21 18 58,8	0,2316267	23 33,4
6	16 35 2,05	21 46 43,0	0,2319634	23 36,1
8	16 45 44,73	22 11 54,1	0,2322574	23 38,9
10	16 56 31,15	— 22 34 27,0	0,2325103	23 41,8
12	17 7 20,97	22 54 17,6	0,2327211	23 44,8
14	17 18 13,77	23 11 21,9	0,2328902	23 47,8
16	17 29 9,13	23 25 37,2	0,2330176	23 50,8
18	17 40 6,59	23 37 0,1	0,2331028	23 53,9
20	17 51 5,67	23 45 28,7	0,2331472	23 57,0
22	18 2 5,86	23 51 1,1	0,2331507	0 0,1
24	18 13 6,65	23 53 35,9	0,2331145	0 3,3
26	18 24 7,53	23 53 12,6	0,2330386	0 6,4
28	18 35 8,00	23 49 51,0	0,2329239	0 9,5
30	18 46 7,55	— 23 43 31,8	0,2327709	0 12,6
31	18 51 37,13	23 39 15,3	0,2326885	0 14,2

MARS 1830.

Heliocentrischer Ort.

12 ^h Mittl. Zt.	Helioc. Länge. ♂ ♀	Helioc. Breite. ♂	Rad. vect. ♂ ♀	♂	
				Aufg.	Unterg.
Jan. 10	206° 9' 2,1	+ 0° 41' 43,9	1,599800	16 ^h 19'	1 ^h 5'
12	208 2 53,2	0 38 17,9	1,595565	16 18	0 57
14	209 57 20,9	0 34 48,2	1,591232	16 17	0 48
16	211 52 26,4	0 31 15,0	1,586805	16 16	0 39
18	213 48 10,8	0 27 38,4	1,582286	16 15	0 30
20	215 44 35,2	0 23 58,8	1,576682	16 14	0 22
22	217 41 40,7	0 20 16,2	1,572996	16 13	0 14
24	219 39 28,5	0 16 30,8	1,568234	16 12	0 7
Febr. 1	221 37 59,5	0 12 42,9	1,563401	16 10	0 0
3	223 37 14,9	0 8 52,6	1,558503	16 8	23 53
5	225 37 15,7	+ 0 5 10,3	1,553545	16 6	23 47
7	227 38 2,9	+ 0 1 6,1	1,548532	16 4	23 41
9	229 39 37,5	- 0 2 49,7	1,543470	16 1	23 35
11	231 42 0,5	0 6 46,9	1,538366	15 58	23 30
13	233 45 12,5	0 10 45,1	1,533225	15 54	23 25
15	235 49 14,5	0 14 44,1	1,528054	15 50	23 21
17	237 54 7,0	0 18 43,6	1,522859	15 46	23 17
19	239 59 50,9	0 22 43,2	1,517649	15 41	23 13
21	242 6 26,8	0 26 42,7	1,512429	15 36	23 10
23	244 13 55,6	0 30 41,7	1,507205	15 31	23 7
25	246 22 17,8	- 0 34 39,7	1,501988	15 25	23 4
27	248 31 33,9	0 38 36,5	1,496782	15 19	23 2
29	250 41 44,1	0 42 31,6	1,491595	15 13	23 0
Apr. 1	252 52 48,9	0 46 24,5	1,486435	15 6	22 58
3	255 4 48,5	0 50 14,9	1,481310	14 58	22 56
5	257 17 43,3	0 54 2,4	1,476227	14 51	22 54
7	259 31 33,1	0 57 46,6	1,471195	14 43	22 53
9	261 46 18,2	1 1 27,1	1,466221	14 35	22 52
11	264 1 58,3	1 5 3,5	1,461314	14 26	22 51
13	266 18 33,2	1 8 35,2	1,456482	14 18	22 50
15	268 36 2,4	- 1 12 1,7	1,451733	14 9	22 48

MARS 1830.

Geocentrischer Ort.

12 ^h Mittl. Zt.	Geoc. Gr. Aufst. ♂	Geoc. Abweichg. ♂	Log. Entfern. ♂ von ☿	♂ im Merid.
Jan. 0	^h 15 22' 43,28	— 18° 0' 33,9	0,3214886	20 ^h 42,3
4	33 28,59	18 41 34,7	0,3149128	20 37,3
8	44 19,71	19 20 20,8	0,3081363	20 32,4
12	55 16,67	19 56 46,5	0,3011572	20 27,6
16	16 6 19,37	20 30 45,5	0,2939729	20 22,8
20	17 27,55	21 2 11,7	0,2865799	20 18,2
24	28 40,82	21 30 59,8	0,2789774	20 13,7
28	39 58,81	21 57 3,9	0,2711690	20 9,2
Febr. 1	51 21,08	22 20 19,6	0,2631579	20 4,8
5	17 2 47,37	22 40 42,6	0,2549487	20 0,5
9	17 14 17,34	— 22 58 9,1	0,2465415	19 56,2
13	25 50,61	23 12 36,3	0,2379335	19 52,0
17	37 26,56	23 24 1,9	0,2291216	19 47,8
21	49 4,50	23 32 23,8	0,2201049	19 43,6
25	18 0 43,69	23 37 41,0	0,2108856	19 39,5
Mrz. 1	12 23,47	23 39 52,6	0,2014700	19 35,4
5	24 3,29	23 38 59,1	0,1918620	19 31,4
9	35 42,63	23 35 1,5	0,1820630	19 27,3
13	47 21,06	23 28 1,6	0,1720710	19 23,1
17	58 57,84	23 18 2,4	0,1618814	19 18,9
21	19 10 32,24	— 23 5 6,9	0,1514931	19 14,7
25	22 3,47	22 49 19,8	0,1409074	19 10,5
29	33 30,85	22 30 45,9	0,1301300	19 6,2
Apr. 2	44 53,89	22 9 30,6	0,1191665	19 1,8
6	56 12,23	21 45 39,6	0,1080191	18 57,3
10	20 7 25,53	21 19 19,8	0,0966850	18 52,8
14	18 33,33	20 50 38,7	0,0851576	18 48,2
18	29 35,02	20 19 45,5	0,0734334	18 43,4
22	40 29,94	19 46 48,9	0,0615121	18 38,5
26	51 17,55	19 11 58,5	0,0493984	18 33,5
30	21 1 57,50	— 18 35 23,9	0,0370994	18 28,5

MARS 1830.

Heliocentrischer Ort.

12 ^h Mittl. Zt.	Helioc. Länge. ♂	Helioc. Breite. ♂	Rad. vect. ♂	♂	
				Aufg.	Unterg.
Mai 00	268 36' 2,4	— 1 12' 1,7	1,451733	14 ^h 9'	22 ^h 48'
04	270 54 25,7	1 15 22,4	1,447075	14 0	22 47
08	273 13 42,4	1 18 37,0	1,442516	13 50	22 46
12	275 33 52,0	1 21 45,0	1,438064	13 41	22 45
16	277 54 53,5	1 24 45,9	1,433727	13 31	22 43
20	280 16 46,0	1 27 39,4	1,429515	13 21	22 42
24	282 39 28,2	1 30 24,9	1,425435	13 10	22 40
28	285 2 59,1	1 33 1,8	1,421494	13 0	22 38
Jun. 01	287 27 17,2	1 35 29,8	1,417699	12 49	22 36
05	289 52 21,4	1 37 48,3	1,414058	12 39	22 34
09	292 18 9,8	— 1 39 57,0	1,410578	12 28	22 32
13	294 44 40,8	1 41 55,5	1,407267	12 17	22 28
17	297 11 52,4	1 43 43,5	1,404131	12 6	22 24
21	299 39 42,9	1 45 20,4	1,401178	11 55	22 20
25	302 8 9,9	1 46 45,9	1,398412	11 43	22 16
29	304 37 11,0	1 47 59,7	1,395840	11 32	22 11
Jul. 03	307 6 43,9	1 49 1,6	1,393468	11 20	22 6
07	309 36 46,2	1 49 51,3	1,391301	11 8	22 0
11	312 7 15,3	1 50 28,6	1,389344	10 56	21 54
15	314 38 8,7	1 50 53,2	1,387601	10 44	21 47
19	317 9 23,4	— 1 51 5,1	1,386075	10 32	21 40
23	319 40 56,6	1 51 4,0	1,384771	10 19	21 31
27	322 12 45,4	1 50 49,9	1,383690	10 6	21 21
31	324 44 47,1	1 50 22,8	1,382835	9 53	21 10
Aug. 4	327 16 58,4	1 49 42,7	1,382208	9 39	20 59
8	329 49 16,4	1 48 49,6	1,381812	9 25	20 46
12	332 21 37,9	1 47 43,8	1,381647	9 11	20 33
16	334 53 59,6	1 46 25,4	1,381713	8 56	20 18
20	337 26 18,6	1 44 54,6	1,382010	8 41	20 2
24	339 58 31,8	1 43 11,3	1,382538	8 25	19 45
28	342 30 36,3	— 1 41 15,9	1,383294	8 9	19 26

MARS 1830.

Geocentrischer Ort.

12 ^h Mittl. Zt.	Geoc. Gr. Aufst. ♂	Geoc. Abweichg. ♂	Log. Entfern. ♂ von ☿	♂ im Merid.
Mai 0	21 ^h 1' 57,50	— 18° 35' 23,9	0,0370994	18 ^h 28,5
4	12 29,57	17 57 14,4	0,0246161	18 23,3
8	22 53,64	17 17 40,2	0,0119456	18 17,9
12	33 9,33	16 36 52,9	9,9990765	18 12,4
16	43 16,09	15 55 4,8	9,9860049	18 6,7
20	53 13,22	15 12 28,9	9,9727259	18 0,9
24	22 3 0,06	14 29 18,5	9,9592445	17 54,9
28	12 36,07	13 45 46,0	9,9455662	17 48,7
Jun. 1	22 0,90	13 2 2,9	9,9316941	17 42,3
5	31 14,17	12 18 23,3	9,9176253	17 35,8
9	22 40 15,23	— 11 35 0,4	9,9033494	17 29,1
13	49 3,15	10 52 10,1	9,8888570	17 22,2
17	57 36,55	10 10 8,1	9,8741481	17 14,9
21	23 5 54,11	9 29 11,0	9,8592291	17 7,4
25	13 54,43	8 49 34,4	9,8441156	16 59,6
29	21 36,35	8 11 33,2	9,8288223	16 51,6
Jul. 3	28 58,49	7 35 22,4	9,8133566	16 43,2
7	35 59,23	7 1 17,9	9,7977257	16 34,4
11	42 36,23	6 29 37,3	9,7819402	16 25,2
15	48 47,09	6 0 39,7	9,7660252	16 15,6
19	23 54 28,57	— 5 34 44,0	9,7500269	16 5,6
23	59 37,89	5 12 5,6	9,7340128	15 55,0
27	0 4 12,33	4 52 58,6	9,7180628	15 43,7
31	8 9,31	4 37 35,1	9,7022621	15 31,8
Aug. 4	11 25,89	4 26 7,0	9,6867089	15 19,4
8	13 58,80	4 18 45,2	9,6715221	15 6,2
12	15 44,63	4 15 37,8	9,6568600	14 52,2
16	16 40,46	4 16 48,3	9,6429221	14 37,4
20	16 44,56	4 22 9,6	9,6299577	14 21,6
24	15 56,83	4 31 22,4	9,6182358	14 5,0
28	0 14 18,87	— 4 43 59,7	9,6080230	13 47,7

MARS 1830.

Heliocentrischer Ort.

12 ^h Mittl. Zt.	Helioc. Länge. ♂	Helioc. Breite. ♂	Rad. vect. ♂	♂	
				Aufg.	Unterg.
Spt. 1	345° 2' 29,1	— 1° 39' 8,9	1,384277	7 ^h 53'	19 ^h 6'
5	347 34 7,1	1 36 50,6	1,385485	7 35	18 46
9	350 5 27,3	1 34 21,1	1,386916	7 17	18 25
13	352 36 27,0	1 31 41,1	1,388566	6 59	18 3
17	355 7 3,4	1 28 51,0	1,390432	6 40	17 41
21	357 37 13,9	1 25 51,2	1,392509	6 21	17 19
25	0 6 55,7	1 22 42,1	1,394792	6 2	16 58
29	2 36 6,5	1 19 24,3	1,397275	5 43	16 38
Oct. 3	5 4 43,9	1 15 58,4	1,399955	5 24	16 18
7	7 32 45,7	1 12 24,8	1,402825	5 6	15 59
11	10 0 9,6	— 1 8 44,1	1,405880	4 47	15 41
15	12 26 53,6	1 4 56,8	1,409114	4 29	15 25
19	14 52 55,9	1 1 3,7	1,412519	4 10	15 10
23	17 18 14,9	0 57 5,2	1,416088	3 53	14 56
27	19 42 48,7	0 53 1,6	1,419813	3 36	14 43
31	22 6 35,7	0 48 53,6	1,423688	3 19	14 32
Nov. 4	24 29 34,7	0 44 42,0	1,427705	3 3	14 21
8	26 51 44,5	0 40 27,3	1,431856	2 47	14 11
12	29 13 4,0	0 36 10,0	1,436135	2 31	14 2
16	31 33 32,3	0 31 50,7	1,440533	2 16	13 54
20	33 53 8,4	— 0 27 29,7	1,445041	2 1	13 46
24	36 11 51,8	0 23 7,7	1,449651	1 46	13 39
28	38 29 41,7	0 18 45,2	1,454357	1 32	13 33
Decb. 2	40 46 37,8	0 14 22,5	1,459149	1 18	13 27
6	43 2 39,5	0 10 0,1	1,464017	1 4	13 22
10	45 17 46,6	0 5 38,6	1,468955	0 50	13 17
14	47 31 59,1	— 0 1 18,4	1,473956	0 37	13 13
18	49 45 17,1	+ 0 3 0,1	1,479011	0 23	13 9
22	51 57 40,4	0 7 16,7	1,484111	0 10	13 5
26	54 9 9,0	0 11 30,8	1,489250	23 57	13 1
30	56 19 43,1	+ 0 15 42,1	1,494414	23 44	12 58

MARS 1830.

Geocentrischer Ort.

12 ^h Mittl. Zt.		Geoc. Gr. Aufst. ♂	Geoc. Abweichg. ♂	Log. Entfern. ♂ von ♀	♂ im Merid.
Spt.	1	0 ^h 11' 53",73	— 4° 59' 24,1"	9,5995819	13 ^h 29',5
	5	8 45,85	5 16 50,5	9,5931682	13 10,6
	9	5 1,54	5 35 26,3	9,5890256	12 51,1
	13	0 49,23	5 54 10,7	9,5873662	12 31,1
	17	23 56 19,75	6 11 54,5	9,5883403	12 10,8
	21	51 45,46	6 27 30,6	9,5919985	11 50,5
	25	47 18,83	6 39 57,2	9,5982769	11 30,3
	29	43 11,26	6 48 28,3	9,6070142	11 10,4
Oct.	3	39 32,05	6 52 29,8	9,6179895	10 51,0
	7	36 28,54	6 51 46,7	9,6309515	10 32,2
	11	23 34 6,37	— 6 46 9,6	9,6456342	10 14,0
	15	32 29,69	6 35 39,4	9,6617583	9 56,7
	19	31 40,93	6 20 21,6	9,6790407	9 40,1
	23	31 40,73	6 0 29,0	9,6971977	9 24,3
	27	32 27,80	5 36 19,8	9,7159794	9 9,3
	31	33 59,83	5 8 16,5	9,7351698	8 55,0
Nov.	4	36 13,79	4 36 40,5	9,7546036	8 41,5
	8	39 6,75	4 1 51,6	9,7741518	8 28,7
	12	42 36,03	3 24 6,6	9,7937045	8 16,4
	16	46 39,01	2 43 40,9	9,8131672	8 4,6
	20	23 51 12,97	— 2 0 50,9	9,8324508	7 53,4
	24	56 15,08	1 15 51,5	9,8514865	7 42,7
	28	0 1 42,47	— 0 28 59,0	9,8702236	7 32,4
Dec.	2	7 32,49	+ 0 19 31,3	9,8886329	7 22,4
	6	13 43,03	1 9 26,1	9,9066995	7 12,8
	10	20 12,43	2 0 33,8	9,9244100	7 3,6
	14	26 59,37	2 52 44,4	9,9417539	6 54,6
	18	34 2,53	3 45 47,3	9,9587137	6 45,8
	22	41 20,53	4 39 32,0	9,9752773	6 37,3
	26	48 52,04	5 33 46,8	9,9914385	6 29,1
	30	0 56 35,81	+ 6 28 19,8	0,0072005	6 21,1

VESTA 1830.

Geocentrischer Ort.

12 ^h Mittl. Zt.	Geoc. Gr. Aufst. ☾	Geoc. Abweichg. ☾	Log. Entf. ☾ von ☿	☾		
				Aufg.	im Merid.	Unterg.
Jan. 0	19 ^h 36,6	— 22 ^o 51'	0,5002	21 ^h 5	0 ^h 56,2	4 ^h 47'
0,01 4	19 45,7	22 35	0,5019	20 57	0 49,5	4 43
1,16 8	19 54,7	22 18	0,5034	20 48	0 42,8	4 38
1,12 12	20 3,6	21 59	0,5047	20 39	0 35,9	4 34
2,01 16	20 12,5	21 38	0,5057	20 29	0 29,0	4 29
2,02 20	20 21,3	21 16	0,5065	20 20	0 22,1	4 25
2,02 24	20 30,1	20 52	0,5072	20 10	0 15,1	4 20
1,01 28	20 38,8	20 27	0,5077	20 0	0 8,0	4 16
Febr. 1	20 47,5	20 0	0,5078	19 50	0 0,9	4 12
2,22 5	20 56,1	19 32	0,5078	19 40	23 53,7	4 8
0,11 9	21 4,6	— 19 3	0,5075	19 29	23 46,5	4 4
1,35 13	21 13,0	18 33	0,5071	19 19	23 39,2	4 0
1,01 17	21 21,3	18 1	0,5064	19 8	23 31,7	3 55
2,02 21	21 29,5	17 28	0,5055	18 57	23 24,1	3 51
2,22 25	21 37,7	16 55	0,5044	18 46	23 16,5	3 47
Mrz. 1	21 45,8	16 21	0,5031	18 35	23 8,8	3 42
2,14 5	21 53,8	15 47	0,5016	18 23	23 1,1	3 38
1,02 9	22 1,7	15 12	0,4999	18 12	22 53,2	3 34
1,01 13	22 9,6	14 36	0,4979	18 1	22 45,3	3 29
0,3 17	22 17,4	14 0	0,4957	17 50	22 37,3	3 24
2,22 21	22 25,0	— 13 23	0,4933	17 38	22 29,2	3 20
1,02 25	22 32,6	12 46	0,4907	17 27	22 21,0	3 15
2,22 29	22 40,1	12 9	0,4878	17 15	22 12,8	3 11
Apr. 2	22 47,5	11 32	0,4847	17 3	22 4,4	3 6
2,21 6	22 54,8	10 55	0,4814	16 51	21 55,9	3 1
0,2 10	23 2,0	10 18	0,4779	16 39	21 47,3	2 55
0,14 14	23 9,1	9 42	0,4741	16 27	21 38,7	2 50
2,22 18	23 16,1	9 5	0,4701	16 15	21 29,9	2 45
2,02 22	23 23,1	8 29	0,4659	16 3	21 21,1	2 39
1,02 26	23 30,0	7 54	0,4615	15 51	21 12,2	2 33
1,12 30	23 36,7	— 7 19	0,4568	15 39	21 3,2	2 28

VESTA 1830.

Geocentrischer Ort.

12 ^h Mittl. Zt.		Geoc. Gr. Aufst. ☾	Geoc. Abweichg. ☾	Log. Entf. ☾ von ☿	☾ Aufg. im Merid. Unterg.		
		^h [']	[°] [']		^h [']	^h [']	^h [']
Mai	0	23 36,7	— 7 19	0,4568	15 39	21 3,2	2 28
	4	23 43,3	6 45	0,4519	15 27	20 54,1	2 22
	8	23 49,9	6 11	0,4467	15 14	20 44,9	2 16
	12	23 55,3	5 38	0,4413	15 2	20 35,6	2 9
	16	0 2,7	5 6	0,4356	14 50	20 26,1	2 2
	20	0 8,9	4 35	0,4297	14 38	20 16,6	1 56
	24	0 15,1	4 5	0,4235	14 25	20 7,0	1 49
	28	0 21,1	3 36	0,4171	14 13	19 57,2	1 42
Jun.	1	0 27,0	3 8	0,4105	14 1	19 47,3	1 34
	5	0 32,7	2 42	0,4036	13 49	19 37,3	1 26
	9	0 38,3	— 2 17	0,3964	13 36	19 27,1	1 18
	13	0 43,7	1 53	0,3890	13 24	19 16,8	1 10
	17	0 49,0	1 31	0,3814	13 11	19 6,3	1 1
	21	0 54,1	1 11	0,3735	12 59	18 55,6	0 52
	25	0 59,0	0 52	0,3654	12 46	18 44,7	0 43
	29	1 3,7	0 35	0,3571	12 34	18 33,7	0 34
Jul.	3	1 8,3	0 20	0,3485	12 21	18 22,5	0 24
	7	1 12,6	— 0 7	0,3397	12 9	18 11,0	0 14
	11	1 16,7	+ 0 4	0,3307	11 56	17 59,3	0 3
	15	1 20,5	0 13	0,3215	11 44	17 47,4	23 52
	19	1 24,0	+ 0 19	0,3121	11 31	17 35,1	23 40
	23	1 27,2	0 23	0,3026	11 18	17 22,5	23 28
	27	1 30,2	0 26	0,2930	11 4	17 9,7	23 15
	31	1 32,8	0 25	0,2833	10 51	16 56,6	23 2
Aug.	4	1 35,1	0 22	0,2735	10 38	16 43,1	22 48
	8	1 37,0	0 17	0,2637	10 25	16 29,3	22 34
	12	1 38,5	+ 0 9	0,2541	10 11	16 15,0	22 19
	16	1 39,6	— 0 2	0,2445	9 57	16 0,3	22 3
	20	1 40,2	0 15	0,2351	9 43	15 45,1	21 47
	24	1 40,4	0 30	0,2260	9 29	15 29,5	21 30
	28	1 40,2	— 0 48	0,2173	9 15	15 13,6	21 12

VESTA 1830.

Geocentrischer Ort.

12 ^h Mittl. Zt.		Geoc. Gr. Aufst.	Geoc. Abweichg.	Log. Entf.	☾		
		☾	☾	☾ von ☉	Aufg.	im Merid.	Unterg.
Spt.	1	1 ^h 39,5	— 1° 9'	0,2090	9 ^h 0'	14 57,1	20 54'
	5	1 38,3	1 31	0,2013	8 45	14 40,2	20 35
	9	1 36,7	1 54	0,1942	8 30	14 22,8	20 16
	13	1 34,8	2 19	0,1879	8 14	14 5,0	19 56
	17	1 32,3	2 45	0,1824	7 58	13 46,8	19 36
	21	1 29,5	3 11	0,1780	7 42	13 28,3	19 15
	25	1 26,4	3 38	0,1747	7 25	13 9,4	18 54
Oct.	29	1 23,0	4 4	0,1725	7 8	12 50,3	18 43
	3	1 19,4	4 29	0,1715	6 51	12 30,9	18 11
	7	1 15,6	4 53	0,1718	6 34	12 11,3	17 49
	11	1 11,8	— 5 14	0,1734	6 16	11 51,7	17 27
	15	1 8,0	5 33	0,1761	5 58	11 32,2	17 6
	19	1 4,3	5 49	0,1802	5 40	11 12,7	16 45
	23	1 0,8	6 2	0,1853	5 22	10 53,4	16 25
Nov.	27	0 57,5	6 12	0,1916	5 4	10 34,3	16 5
	31	0 54,5	6 18	0,1989	4 46	10 15,5	15 46
	4	0 51,9	6 20	0,2069	4 27	9 57,2	15 27
	8	0 49,6	6 19	0,2157	4 9	9 39,2	15 9
	12	0 47,7	6 15	0,2252	3 51	9 21,5	14 52
	16	0 46,3	6 7	0,2352	3 33	9 4,2	14 36
	20	0 45,3	— 5 56	0,2456	3 15	8 47,5	14 20
Decb.	24	0 44,7	5 42	0,2564	2 57	8 31,2	14 5
	28	0 44,5	5 25	0,2675	2 40	8 15,2	13 50
	2	0 44,7	5 6	0,2787	2 23	7 59,6	13 36
	6	0 45,4	4 44	0,2899	2 6	7 44,5	13 23
	10	0 46,5	4 20	0,3012	1 49	7 29,9	13 10
	14	0 47,9	3 54	0,3124	1 33	7 15,5	12 58
	18	0 49,7	3 26	0,3235	1 16	7 1,5	12 46
	22	0 51,8	2 57	0,3345	1 0	6 47,8	12 35
	26	0 54,3	2 26	0,3454	0 44	6 34,5	12 25
	30	0 57,1	— 1 54	0,3561	0 28	6 21,6	12 15

VESTA 1830.

Ephemeride für die Opposition.

12 ^h		Geoc. Gr. Aufst.		Geoc. Abweichg.		Log. Entfern.	
Mittl. Zt.		☾		☾		☾ von ☉	☾ von ☿
Spt.	22	1 ^h	28' 44,56"	—	3° 18' 4,1"	0,17709	0,39064
	23		27 58,00		24 42,9	0,17622	
	24		27 10,34		31 20,8	0,17542	
	25		26 21,63		37 57,4	0,17469	
	26		25 31,92		44 32,2	0,17403	0,39124
	27		24 41,28		51 4,5	0,17345	
	28		23 49,75		27 34,0	0,17294	
	29		22 57,40	4	4 0,2	0,17251	
	30		22 4,29		10 22,6	0,17215	0,39182
Oct.	1		21 10,48		16 40,7	0,17187	
	2	1	20 16,03	—	4 22 54,0	0,17167	
	3		19 21,01		29 2,1	0,17154	
	4		18 25,49		35 4,4	0,17149	0,39240
	5		17 29,53		41 0,6	0,17152	
	6		16 33,20		46 50,1	0,17163	
	7		15 36,57		52 32,5	0,17181	
	8		14 39,71		58 7,3	0,17208	0,39298
	9		13 42,69	5	3 34,2	0,17242	
	10		12 45,58		8 52,7	0,17285	
	11		11 48,46		14 2,3	0,17335	
	12	1	10 51,40	—	5 19 2,6	0,17394	0,39354
	13		9 54,48		23 53,3	0,17460	
	14		8 57,76		28 33,9	0,17534	
	15		8 1,33		33 4,1	0,17615	
	16		7 5,26		37 23,5	0,17704	0,39410
	17		6 9,61		41 31,8	0,17801	
	18		5 14,47		45 28,7	0,17905	
	19		4 19,89		49 13,9	0,18016	
	20		3 25,95		52 47,2	0,18135	0,39465
	21		2 32,72		56 8,4	0,18261	
	22	1	1 40,26	—	5 59 17,1	0,18393	
	23		0 48,62		6 2 13,3	0,18533	
	24	0	59 57,87		4 56,8	0,18679	0,39519

JUNO 1830.

Geocentrischer Ort.

12h Mittl. Zt.	Geoc. Gr. Aufst. †	Geoc. Abweichg. †	Log. Entf. † von ☿	†		
				Aufg.	im Merid.	Unterg.
Jan. 10	18 47,2 ^h	— 13 47 ^o	0,6003	19 18 ^h	0 6,8 ^h	4 56 ^h
4	18 53,4	13 42	0,5994	19 8	23 57,3	4 47
8	18 59,7	13 36	0,5983	18 58	23 47,8	4 38
12	19 6,0	13 29	0,5969	18 48	23 38,3	4 29
16	19 12,3	13 20	0,5952	18 37	23 28,8	4 20
20	19 18,6	13 10	0,5932	18 27	23 19,4	4 12
24	19 24,9	12 58	0,5910	18 16	23 9,9	4 4
28	19 31,2	12 46	0,5884	18 6	23 0,4	3 56
Febr. 1	19 37,4	12 33	0,5856	17 55	22 50,8	3 47
5	19 43,7	12 18	0,5825	17 44	22 41,3	3 39
9	19 49,9	— 12 2	0,5792	17 33	22 31,8	3 31
13	19 56,1	11 46	0,5755	17 22	22 22,2	3 23
17	20 2,2	11 28	0,5716	17 11	22 12,6	3 15
21	20 8,3	11 9	0,5674	16 59	22 2,9	3 7
25	20 14,3	10 49	0,5629	16 47	21 53,1	2 59
Mrz. 1	20 20,3	10 29	0,5581	16 36	21 43,3	2 51
5	20 26,2	10 7	0,5530	16 24	21 33,5	2 43
9	20 32,1	9 45	0,5476	16 12	21 23,6	2 35
13	20 37,9	9 22	0,5420	16 0	21 13,6	2 27
17	20 43,6	8 59	0,5361	15 48	21 3,6	2 19
21	20 49,3	— 8 35	0,5299	15 36	20 53,5	2 11
25	20 54,9	8 10	0,5234	15 24	20 43,3	2 3
29	21 0,3	7 45	0,5166	15 11	20 33,0	1 55
Apr. 2	21 5,7	7 20	0,5095	14 58	20 22,6	1 47
6	21 11,1	6 54	0,5022	14 45	20 12,2	1 39
10	21 16,3	6 28	0,4945	14 32	20 1,6	1 31
14	21 21,4	6 1	0,4866	14 19	19 51,0	1 23
18	21 26,4	5 35	0,4783	14 6	19 40,2	1 14
22	21 31,2	5 9	0,4698	13 53	19 29,2	1 5
26	21 35,9	4 42	0,4609	13 40	19 18,1	0 57
30	21 40,5	— 4 16	0,4518	13 26	19 7,0	0 48

JUNO 1830.

Geocentrischer Ort.

12 ^h		Geoc. Gr. Aufst.	Geoc. Abweichg.	Log. Entf.	†		
Mittl. Zt.		†	†	† von ☿	Aufg.	im Merid.	Unterg.
Mai	0	21 ^h 40,5	— 4 16	0,4518	13 26	19 7,0	0 48
	4	21 45,0	3 50	0,4423	13 13	18 55,7	0 39
	8	21 49,3	3 25	0,4326	12 59	18 44,3	0 29
	12	21 53,4	3 0	0,4227	12 45	18 32,7	0 20
	16	21 57,4	2 36	0,4125	12 31	18 20,8	0 10
	20	22 1,2	2 13	0,4020	12 17	18 8,8	0 0
	24	22 4,7	1 50	0,3911	12 3	17 56,6	23 50
	28	22 8,1	1 28	0,3800	11 49	17 44,2	23 40
Jun.	1	22 11,3	1 7	0,3687	11 35	17 31,6	23 29
	5	22 14,3	0 48	0,3571	11 20	17 18,8	23 18
	9	22 16,9	— 0 31	0,3454	11 5	17 5,7	23 6
	13	22 19,3	0 15	0,3335	10 51	16 52,4	22 54
	17	22 21,5	— 0 1	0,3214	10 36	16 38,8	22 42
	21	22 23,4	+ 0 11	0,3092	10 21	16 24,9	22 29
	25	22 24,9	0 21	0,2969	10 6	16 10,6	22 15
	29	22 26,1	0 28	0,2845	9 51	15 56,0	22 1
Jul.	3	22 27,0	0 33	0,2721	9 35	15 41,2	21 47
	7	22 27,5	0 35	0,2598	9 20	15 25,9	21 32
	11	22 27,7	0 33	0,2477	9 5	15 10,3	21 16
	15	22 27,4	0 27	0,2357	8 50	14 54,3	20 59
	19	22 26,8	+ 0 18	0,2240	8 34	14 37,9	20 42
	23	22 25,9	+ 0 7	0,2127	8 18	14 21,1	20 24
	27	22 24,5	— 0 9	0,2020	8 2	14 4,0	20 6
	31	22 22,8	0 28	0,1919	7 47	13 46,6	19 47
Aug.	4	22 20,8	0 53	0,1824	7 31	13 28,8	19 27
	8	22 18,5	1 21	0,1738	7 15	13 10,7	19 7
	12	22 15,9	1 52	0,1662	6 59	12 52,4	18 46
	16	22 13,0	2 26	0,1596	6 44	12 33,8	18 24
	20	22 10,0	3 4	0,1542	6 28	12 14,9	18 2
	24	22 6,9	3 44	0,1500	6 13	11 56,0	17 40
	28	22 3,7	— 4 26	0,1470	5 57	11 37,1	17 17

JUNO 1830.

Geocentrischer Ort.

12 ^h		Geoc. Gr. Aufst.	Geoc. Abweichg.	Log. Entf.	†		
Mittl. Zt.		†	†	† von ☉	Aufg.	im Merid.	Unterg.
Spt.	1	22 ^h 0,6	— 5° 9'	0,1454	5 ^h 42'	11 ^h 18,2	16 ^h 54'
	5	21 57,6	5 54	0,1451	5 27	10 59,4	16 31
	9	21 54,8	6 38	0,1460	5 13	10 40,9	16 9
	13	21 52,2	7 21	0,1482	4 58	10 22,6	15 47
	17	21 49,9	8 3	0,1517	4 44	10 4,4	15 25
	21	21 47,9	8 44	0,1562	4 30	9 46,6	15 4
	25	21 46,4	9 23	0,1615	4 16	9 29,4	14 43
	29	21 45,3	9 59	0,1677	4 2	9 12,6	14 23
Oct.	3	21 44,7	10 32	0,1748	3 49	8 56,2	14 13
	7	21 44,5	11 2	0,1824	3 36	8 40,2	13 45
	11	21 44,8	— 11 29	0,1906	3 23	8 24,7	13 27
	15	21 45,6	11 53	0,1992	3 10	8 9,7	13 10
	19	21 46,9	12 13	0,2081	2 58	7 55,3	12 53
	23	21 48,6	12 30	0,2173	2 45	7 41,3	12 38
	27	21 50,8	12 43	0,2266	2 33	7 27,6	12 23
	31	21 53,4	12 53	0,2359	2 20	7 14,4	12 9
Nov.	4	21 56,5	12 59	0,2453	2 8	7 1,8	11 56
	8	22 0,0	13 2	0,2546	1 56	6 49,5	11 43
	12	22 3,8	13 3	0,2640	1 45	6 37,6	11 31
	16	22 8,0	13 0	0,2732	1 33	6 26,0	11 20
	20	22 12,5	— 12 54	0,2824	1 21	6 14,7	11 9
	24	22 17,3	12 45	0,2913	1 9	6 3,7	10 59
	28	22 22,4	12 34	0,2999	0 57	5 53,1	10 49
	2	22 27,7	12 21	0,3084	0 45	5 42,7	10 40
Dec.	6	22 33,3	12 4	0,3167	0 34	5 32,4	10 31
	10	22 39,1	11 45	0,3248	0 22	5 22,4	10 23
	14	22 45,2	11 24	0,3325	0 10	5 12,8	10 15
	18	22 51,5	11 1	0,3400	23 58	5 3,3	10 8
	22	22 57,9	10 35	0,3473	23 47	4 53,9	10 1
	26	23 4,5	10 7	0,3544	23 35	4 44,7	9 54
	30	23 11,3	— 9 38	0,3612	23 24	4 35,8	9 48

JUNO 1830.

Ephemeride für die Opposition.

12 ^h Mittl. Zt.		Geoc. Gr. Aufst.	Geoc. Abweichg.	Log. Entfern.	
		†	†	† von ☿	† von ☾
Aug.	9	22 ^h 17' 51",58	— 1° 28' 2",6	0,17182	0,39082
	10	17 12,80	35 44,5	0,16990	
	11	16 33,07	43 39,6	0,16803	
	12	15 52,44	51 47,6	0,16622	
	13	15 10,95	2 0 8,3	0,16447	0,38885
	14	14 28,65	8 41,3	0,16279	
	15	13 45,59	17 26,3	0,16117	
	16	13 1,83	26 22,8	0,15962	
	17	12 17,42	35 30,6	0,15815	0,38688
	18	11 32,42	44 49,2	0,15675	
	19	22 10 46,90	— 2 54 18,2	0,15543	
	20	10 0,92	3 3 57,0	0,15418	
	21	9 14,54	13 45,3	0,15301	0,38490
	22	8 27,84	23 42,5	0,15192	
	23	7 40,87	33 48,2	0,15091	
	24	6 53,71	44 1,7	0,14997	
♂	25	6 6,41	54 22,6	0,14912	0,38292
	26	5 19,05	4 4 50,2	0,14834	
	27	4 31,69	15 24,0	0,14765	
	28	3 44,40	26 3,5	0,14703	
	29	22 2 57,25	— 4 36 48,0	0,14650	0,38093
	30	2 10,30	47 37,0	0,14605	
	31	1 23,62	58 29,9	0,14569	
Spt.	1	22 0 37,27	5 9 26,1	0,14540	
	2	21 59 51,32	20 25,0	0,14520	0,37895
	3	59 5,83	31 26,0	0,14507	
	4	58 20,86	42 28,5	0,14503	
	5	57 36,48	53 31,8	0,14507	
	6	56 52,75	6 4 35,4	0,14519	0,37695
	7	56 9,74	15 38,8	0,14539	
	8	21 55 27,50	— 6 26 41,3	0,14567	
	9	54 46,09	37 42,3	0,14603	
	10	54 5,58	48 41,3	0,14646	0,37496

PALLAS 1830.

Geocentrischer Ort.

12h Mittl. Zt.	Geoc. Gr. Aufst. ↑	Geoc. Abweichg. ↑	Log. Entf. ↑ von ☿	↑		
				Aufg.	im Merid.	Unterg.
Jan. 0	14 ^h 18,3	— 2° 4'	0,4210	13 ^h 46'	19 ^h 37,9	1 ^h 30'
4	14 24,2	1 46	0,4144	13 34	19 28,1	1 22
8	14 30,0	1 26	0,4075	13 23	19 18,1	1 14
12	14 35,6	1 3	0,4004	13 11	19 7,8	1 5
16	14 40,9	0 37	0,3931	12 58	18 57,4	0 57
20	14 46,1	— 0 8	0,3857	12 45	18 46,8	0 49
24	14 51,0	+ 0 25	0,3782	12 31	18 36,0	0 41
28	14 55,7	1 1	0,3706	12 17	19 24,9	0 33
Febr. 1	15 0,1	1 41	0,3629	12 2	18 13,5	0 25
5	15 4,2	2 24	0,3552	11 46	18 1,9	0 17
9	15 8,1	+ 3 11	0,3474	11 30	17 50,0	0 10
13	15 11,6	4 1	0,3397	11 14	17 37,8	0 2
17	15 14,8	4 54	0,3320	10 57	17 25,2	23 54
21	15 17,7	5 50	0,3245	10 39	17 12,3	23 46
25	15 20,2	6 49	0,3172	10 20	16 59,0	23 38
Mrz. 1	15 22,3	7 52	0,3101	10 1	16 45,3	23 30
5	15 24,0	8 57	0,3034	9 41	16 31,3	23 22
9	15 25,3	10 4	0,2971	9 20	16 17,8	23 14
13	15 26,1	11 13	0,2912	8 59	16 1,8	23 5
17	15 26,5	12 24	0,2859	8 37	15 46,4	22 56
21	15 26,4	+ 13 35	0,2811	8 14	15 30,6	22 47
25	15 26,0	14 46	0,2770	7 51	15 14,4	22 38
29	15 25,1	15 57	0,2736	7 27	14 57,8	22 29
Apr. 2	15 23,7	17 7	0,2710	7 3	14 40,7	22 19
6	15 22,0	18 14	0,2692	6 38	14 23,1	22 8
10	15 19,9	19 20	0,2682	6 13	14 5,3	21 57
14	15 17,5	20 21	0,2681	5 48	13 47,1	21 46
18	15 14,8	21 19	0,2689	5 23	13 28,6	21 34
22	15 11,8	22 13	0,2705	4 57	13 9,8	21 22
26	15 8,7	23 1	0,2730	4 32	12 50,9	21 9
30	15 5,4	+ 23 43	0,2764	4 8	12 31,9	20 56

PALLAS 1830.

Geocentrischer Ort.

12 ^h		Geoc. Gr. Aufst.	Geoc. Abweichg.	Log. Entf.	↑		
Mittl. Zt.		↑	↑	↑ von ☿	Aufg.	im Merid.	Unterg.
Mai	0	^h 15 ['] 5,4	+ ^o 23 43	0,2764	^h 4 8	^h 12 31,9	^h 20 56
	4	15 2,1	24 19	0,2805	3 44	12 12,8	20 41
	8	14 58,8	24 50	0,2854	3 21	11 53,8	20 26
	12	14 55,5	25 14	0,2909	2 59	11 34,7	20 10
	16	14 52,4	25 32	0,2971	2 37	11 15,8	19 54
	20	14 49,5	25 44	0,3038	2 17	10 57,1	19 37
	24	14 46,7	25 50	0,3110	1 58	10 38,6	19 20
	28	14 44,2	25 51	0,3186	1 40	10 20,3	19 2
	Jun. 1	14 41,9	25 47	0,3266	1 22	10 2,2	18 43
	5	14 40,0	25 38	0,3348	1 6	9 44,6	18 24
	9	14 38,5	+ 25 25	0,3433	0 50	9 27,3	18 5
	13	14 37,3	25 7	0,3520	0 36	9 10,3	17 46
	17	14 36,4	24 46	0,3609	0 22	8 53,7	17 26
	21	14 35,9	24 22	0,3698	0 9	8 37,5	17 7
	25	14 35,7	23 55	0,3788	23 56	8 21,6	16 47
	29	14 35,9	23 25	0,3878	23 44	8 6,1	16 27
	Jul. 3	14 36,5	22 53	0,3968	23 33	7 50,8	16 8
	7	14 37,3	22 20	0,4057	23 22	7 35,8	15 49
	11	14 38,5	21 45	0,4145	23 12	7 21,1	15 30
	15	14 40,0	21 8	0,4232	23 2	7 6,8	15 11
	19	14 41,7	+ 20 31	0,4318	22 52	6 52,8	14 53
	23	14 43,7	19 53	0,4403	22 43	6 39,0	14 35
	27	14 46,0	19 15	0,4486	22 34	6 25,5	14 17
	31	14 48,5	18 36	0,4568	22 25	6 12,3	14 0
	Aug. 4	14 51,3	17 56	0,4648	22 16	5 59,3	13 43
	8	14 54,3	17 16	0,4726	22 7	5 46,5	13 26
	12	14 57,5	16 37	0,4803	21 59	5 34,0	13 9
	16	15 0,9	15 57	0,4877	21 51	5 21,6	12 52
	20	15 4,5	15 18	0,4950	21 43	5 9,4	12 36
	24	15 8,3	14 39	0,5020	21 35	4 57,4	12 20
	28	15 12,2	+ 14 1	0,5089	21 27	4 45,6	12 5

PALLAS 1830.

Geocentrischer Ort.

12 ^h	Geoc. Gr. Aufst.		Geoc. Abweichg.	Log. Entf.	↑		
Mittl. Zt.	↑		↑	↑ von ☿	Aufg.	im Merid.	Unterg.
Spt.	1	15 ^h 16,3	+ 13 23 ^o	0,5156	21 ^h 19 ^h	4 33,9	11 49 ^h
	5	15 20,5	12 45	0,5219	21 11	4 22,4	11 34
	9	15 24,9	12 8	0,5281	21 3	4 11,0	11 19
	13	15 29,4	11 32	0,5341	20 55	3 59,7	11 4
	17	15 34,0	10 57	0,5399	20 47	3 48,5	10 50
	21	15 38,8	10 23	0,5454	20 39	3 37,5	10 36
	25	15 43,6	9 50	0,5507	20 31	3 26,6	10 22
	29	15 48,6	9 18	0,5558	20 23	3 15,9	10 8
Oct.	3	15 53,8	8 47	0,5607	20 16	3 5,3	9 55
	7	15 59,0	8 17	0,5654	20 8	2 54,7	9 41
	11	16 4,3	+ 7 48	0,5698	20 0	2 44,2	9 28
	15	16 9,6	7 21	0,5740	19 52	2 33,8	9 15
	19	16 15,0	6 55	0,5780	19 44	2 23,4	9 3
	23	16 20,5	6 30	0,5818	19 36	2 13,1	8 50
	27	16 26,0	6 7	0,5854	19 28	2 2,8	8 38
	31	16 31,6	5 45	0,5887	19 19	1 52,7	8 26
Nov.	4	16 37,3	5 24	0,5918	19 11	1 42,6	8 14
	8	16 43,0	5 5	0,5947	19 3	1 32,5	8 2
	12	16 48,7	4 47	0,5973	18 55	1 22,5	7 50
	16	16 54,5	4 31	0,5997	18 46	1 12,5	7 39
	20	17 0,3	+ 4 17	0,6019	18 37	1 2,5	7 28
	24	17 6,2	4 4	0,6038	18 29	0 52,6	7 17
	28	17 12,0	3 53	0,6055	18 20	0 42,7	7 6
Dec.	2	17 17,9	3 43	0,6070	18 11	0 32,8	6 55
	6	17 23,8	3 35	0,6083	18 1	0 22,9	6 45
	10	17 29,7	3 29	0,6094	17 52	0 13,0	6 34
	14	17 35,6	3 24	0,6102	17 43	0 3,2	6 24
	18	17 41,4	3 21	0,6108	17 33	23 53,3	6 14
	22	17 47,3	3 20	0,6112	17 23	23 43,3	6 4
	26	17 53,1	3 20	0,6113	17 13	23 33,4	5 54
	30	17 58,9	+ 3 22	0,6112	17 3	23 23,4	5 44

PALLAS 1830.

Ephemeride für die Opposition.

12 ^h Mittl. Zt.	Geoc. Gr. Aufst.		Geoc. Abweichg. ↑	Log. Entfern.	
	↑			↑ von ☿	↑ von ☉
Apr. 10	15 ^h 19' 55,16		+ 19° 19' 38,3	0,26818	0,43019
11	19 20,61		35 26,7	0,26808	
12	18 44,85		51 1,9	0,26803	
13	18 7,92		20 6 23,3	0,26803	
14	17 29,85		21 30,3	0,26809	0,43184
15	16 50,69		36 22,2	0,26820	
16	16 10,47		50 58,3	0,26837	
17	15 29,24		21 5 18,1	0,26859	
18	14 47,05		19 21,0	0,26887	0,43348
19	14 3,95		33 6,4	0,26920	
20	15 13 19,99		+ 21 46 33,7	0,26959	
21	12 35,23		59 42,5	0,27003	
22	11 49,72		22 12 32,2	0,27052	0,43511
23	11 3,52		25 2,3	0,27107	
24	10 16,68		37 12,4	0,27167	
25	9 29,27		49 2,1	0,27233	
♂ 26	8 41,34		23 0 31,0	0,27304	0,43673
27	7 52,95		11 38,7	0,27380	
28	7 4,15		22 25,0	0,27461	
29	6 15,02		32 49,5	0,27547	
30	15 5 25,60		+ 23 42 52,0	0,27639	0,43834
Mai 1	4 35,96		52 32,2	0,27735	
2	3 46,16		24 1 49,9	0,27836	
3	2 56,26		10 45,0	0,27942	
4	2 6,31		19 17,3	0,28052	0,43994
5	1 16,38		27 26,8	0,28167	
6	15 0 26,51		35 13,4	0,28287	
7	14 59 36,77		42 36,9	0,28411	
8	58 47,20		49 37,4	0,28539	0,44152
9	57 57,85		56 14,8	0,28671	
10	14 57 8,77		+ 25 2 29,1	0,28808	
11	56 19,99		8 20,3	0,28948	
12	55 31,56		13 48,3	0,29092	0,44310

CERES 1830.

Geocentrischer Ort.

12 ^h Mittl. Zt.	Geoc. Gr. Aufst.		Log. Entf. ☿ von ☿	☿		
	☿	☿		Aufg.	im Merid.	Unterg.
Jan. 0	14 ^h 14,2	— 3 ^o 44'	0,4489	13 50	19 33,8	1 17
4	14 19,4	4 6	0,4416	13 42	19 23,2	1 5
8	14 24,5	4 25	0,4340	13 33	19 12,6	0 53
12	14 29,4	4 42	0,4262	13 24	19 1,7	0 41
16	14 34,1	4 58	0,4182	13 14	18 50,6	0 28
20	14 38,5	5 13	0,4099	13 4	18 39,3	0 16
24	14 42,8	5 26	0,4014	12 53	18 27,8	0 3
28	14 46,9	5 37	0,3927	12 42	18 16,1	23 50
Febr. 1	14 50,7	5 47	0,3837	12 31	18 4,1	23 37
5	14 54,2	5 55	0,3746	12 20	17 51,9	23 24
9	14 57,5	— 6 2	0,3654	12 8	17 39,4	23 11
13	15 0,4	6 7	0,3560	11 56	17 26,5	22 58
17	15 3,0	6 10	0,3465	11 43	17 13,4	22 44
21	15 5,3	6 11	0,3370	11 29	16 59,9	22 31
25	15 7,2	6 11	0,3275	11 15	16 46,0	22 17
Mrz. 1	15 8,7	6 10	0,3180	11 1	16 31,7	22 3
5	15 9,9	6 7	0,3085	10 46	16 17,2	21 48
9	15 10,7	6 3	0,2992	10 31	16 2,2	21 33
13	15 11,0	5 57	0,2901	10 15	15 46,7	21 18
17	15 10,9	5 50	0,2813	9 58	15 30,9	21 3
21	15 10,3	— 5 43	0,2729	9 41	15 14,5	20 48
25	15 9,4	5 34	0,2649	9 24	14 57,8	20 32
29	15 8,0	5 25	0,2575	9 6	14 40,7	20 15
Apr. 2	15 6,2	5 16	0,2506	8 48	14 23,1	19 59
6	15 4,0	5 6	0,2447	8 29	14 5,1	19 42
10	15 1,5	4 56	0,2394	8 10	13 46,8	19 24
14	14 58,7	4 47	0,2350	7 50	13 28,3	19 6
18	14 55,5	4 38	0,2316	7 31	13 9,3	18 48
22	14 52,2	4 30	0,2293	7 11	12 50,2	18 30
26	14 48,7	4 23	0,2280	6 51	12 31,0	18 11
30	14 45,1	— 4 17	0,2279	6 31	12 11,6	17 52

CERES 1830.

Geocentrischer Ort.

12 ^h Mittl. Zt.		Geoc. Gr. Aufst. ♀	Geoc. Abweichg. ♀	Log. Entf. ♀ von ♂	♀		
					Aufg.	im Merid.	Unterg.
		^h ' "	^o ' "		^h ' "	^h ' "	^h ' "
Mai	0	14 45,1	— 4 17	0,2279	6 31	12 11,6	17 52
	4	14 41,5	4 13	0,2289	6 12	11 52,2	17 33
	8	14 37,9	4 11	0,2310	5 52	11 32,9	17 14
	12	14 34,4	4 10	0,2341	5 32	11 13,6	16 55
	16	14 31,0	4 12	0,2382	5 13	10 54,4	16 36
	20	14 27,9	4 16	0,2413	4 55	10 35,5	16 16
	24	14 25,0	4 23	0,2493	4 37	10 16,9	15 57
	28	14 22,4	4 31	0,2561	4 19	9 58,5	15 38
Jun.	1	14 20,1	4 42	0,2636	4 2	9 40,4	15 19
	5	14 18,3	4 55	0,2717	3 45	9 22,9	15 0
	9	14 16,8	— 5 9	0,2803	3 29	9 5,6	14 42
	13	14 15,7	5 25	0,2894	3 14	8 48,7	14 23
	17	14 14,9	5 44	0,2988	2 59	8 32,2	14 5
	21	14 14,6	6 4	0,3085	2 45	8 16,1	13 47
	25	14 14,6	6 26	0,3184	2 31	8 0,3	13 30
	29	14 15,0	6 49	0,3285	2 18	7 44,9	13 12
Jul.	3	14 15,8	7 14	0,3386	2 5	7 30,0	12 55
	7	14 16,9	7 40	0,3487	1 53	7 15,3	12 38
	11	14 18,4	8 6	0,3588	1 41	7 1,0	12 21
	15	14 20,2	8 33	0,3688	1 29	6 47,1	12 5
	19	14 22,3	— 9 1	0,3788	1 18	6 33,4	11 49
	23	14 24,7	9 30	0,3887	1 7	6 20,1	11 33
	27	14 27,4	10 0	0,3984	0 57	6 6,9	11 17
	31	14 30,3	10 30	0,4079	0 47	5 54,1	11 1
Aug.	4	14 33,5	11 1	0,4173	0 37	5 41,5	10 46
	8	14 36,9	11 32	0,4265	0 27	5 29,1	10 31
	12	14 40,6	12 3	0,4354	0 18	5 17,1	10 16
	16	14 44,5	12 34	0,4441	0 9	5 5,2	10 1
	20	14 48,6	13 6	0,4525	0 1	4 53,5	9 46
	24	14 52,9	13 38	0,4607	23 52	4 42,1	9 32
	28	14 57,4	— 14 9	0,4687	23 44	4 30,8	9 18

CERES 1830.

Geocentrischer Ort.

12 ^h Mittl. Zt.	Geoc. Gr. Aufst. ☿	Geoc. Abweichg. ☿	Log. Entf. ☿ von ☉	☿		
				Aufg.	im Merid.	Unterg.
Spt. 1	15 ^h 2,1	— 14 ^o 41	0,4764	23 36	4 19,7	9 4
5	15 6,9	15 12	0,4839	23 29	4 8,7	8 50
9	15 11,9	15 43	0,4911	23 21	3 58,0	8 35
13	15 17,1	16 13	0,4981	23 13	3 47,4	8 21
17	15 22,4	16 43	0,5048	23 5	3 36,9	8 8
21	15 27,8	17 13	0,5112	22 58	3 26,6	7 55
25	15 33,3	17 42	0,5174	22 51	3 16,3	7 42
29	15 39,0	18 11	0,5233	22 44	3 6,2	7 29
Oct. 3	15 44,8	18 39	0,5289	22 37	2 56,3	7 16
7	15 50,8	19 6	0,5343	22 30	2 46,5	7 3
11	15 56,9	— 19 32	0,5394	22 23	2 36,8	6 51
15	16 3,0	19 58	0,5442	22 16	2 27,2	6 38
19	16 9,3	20 23	0,5488	22 10	2 17,7	6 26
23	16 15,7	20 47	0,5531	22 3	2 8,3	6 14
27	16 22,2	21 10	0,5571	21 56	1 59,0	6 2
31	16 28,7	21 33	0,5609	21 49	1 49,8	5 50
Nov. 4	16 35,3	21 54	0,5644	21 43	1 40,6	5 39
8	16 42,0	22 13	0,5677	21 36	1 31,5	5 27
12	16 48,8	22 32	0,5707	21 29	1 22,6	5 16
16	16 55,6	22 50	0,5734	21 22	1 13,6	5 5
20	17 2,5	— 23 7	0,5758	21 15	1 4,7	4 54
24	17 9,5	23 22	0,5780	21 8	0 55,9	4 43
28	17 16,5	23 37	0,5799	21 2	0 47,2	4 33
Dec. 2	17 23,5	23 50	0,5815	20 54	0 38,4	4 22
6	17 30,5	24 2	0,5829	20 47	0 29,6	4 12
10	17 37,6	24 13	0,5840	20 40	0 21,0	4 2
14	17 44,7	24 23	0,5848	20 32	0 12,3	3 52
18	17 51,8	24 31	0,5854	20 25	0 3,6	3 42
22	17 58,9	24 39	0,5857	20 17	23 54,9	3 33
26	18 6,1	24 45	0,5858	20 9	23 46,4	3 23
30	18 13,3	— 24 49	0,5856	20 1	23 37,8	3 14

CERES 1830.

Ephemeride für die Opposition.

12 ^h Mittl. Zt.	Geoc. Gr. Aufst. ♀	Geoc. Abweichg. ♀	Log. Entfern.	
			♀ von ☉	♀ von ☉
Apr. 14	14 ^h 58' 40",95	— 4° 46' 39",1	0,23627	0,42795
15	57 55,33	44 22,1	0,23533	
16	57 8,70	42 7,3	0,23445	
17	56 21,14	39 55,1	0,23364	
18	55 32,69	37 45,7	0,23289	0,42845
19	54 43,42	35 39,5	0,23221	
20	53 53,38	33 36,6	0,23159	
21	53 2,63	31 37,4	0,23104	
22	52 11,21	29 42,1	0,23055	0,42894
23	51 19,20	27 51,0	0,23013	
24	14 50 26,65	— 4 26 4,3	0,22978	
25	49 33,62	24 22,3	0,22950	
26	48 40,19	22 45,2	0,22929	0,42944
27	47 46,41	21 13,2	0,22915	
28	46 52,34	19 46,5	0,22908	
29	45 58,05	18 25,5	0,22908	
♂ 30	45 3,60	17 10,2	0,22914	0,42993
Mai 1	44 9,05	16 1,0	0,22928	
2	43 14,47	14 57,9	0,22948	
3	42 19,92	14 1,2	0,22976	
4	14 41 25,45	— 4 13 11,1	0,23010	0,43043
5	40 31,13	12 27,6	0,23051	
6	39 37,01	11 51,0	0,23099	
7	38 43,15	11 21,3	0,23154	
8	37 49,60	10 58,7	0,23215	0,43093
9	36 56,42	10 43,4	0,23283	
10	36 3,67	10 35,4	0,23358	
11	35 11,40	10 35,0	0,23439	
12	34 19,67	10 42,1	0,23527	0,43144
13	33 28,55	10 57,0	0,23621	
14	14 32 38,10	— 4 11 19,6	0,23722	
15	30 48,37	11 50,1	0,23828	
16	30 59,39	12 28,5	0,23941	0,43194

JUPITER 1830.

Heliocentrischer Ort.

12 ^h Mittl. Zt.	Helioc. Länge. 24	Helioc. Breite. 24	Rad. vect. 24	24	
				Aufg.	Unterg.
Jan. 0	267° 34' 2,3	+ 0° 15' 10,9	5,25152	19 ^h 29'	3 ^h 6'
4	267 53 35,8	14 44,5	5,25008	19 18	2 54
8	268 13 9,9	14 18,1	5,24864	19 6	2 42
12	268 32 44,6	13 51,6	5,24720	18 54	2 30
16	268 52 20,0	13 25,1	5,24575	18 42	2 18
20	269 11 55,9	12 58,5	5,24431	18 30	2 7
24	269 31 32,5	12 31,9	5,24286	18 17	1 55
28	269 51 9,7	12 5,3	5,24142	18 5	1 43
Febr. 1	270 10 47,5	11 38,6	5,23997	17 53	1 31
5	270 30 25,9	11 11,9	5,23852	17 41	1 19
9	270 50 5,0	+ 0 10 45,1	5,23707	17 28	1 7
13	271 9 44,8	10 18,3	5,23562	17 15	0 55
17	271 29 25,1	9 51,5	5,23416	17 2	0 43
21	271 49 6,1	9 24,7	5,23271	16 49	0 31
25	272 8 47,7	8 57,8	5,23125	16 36	0 18
Mrz. 1	272 28 30,0	8 30,9	5,22980	16 23	0 6
5	272 48 12,9	8 3,9	5,22834	16 10	23 53
9	273 7 56,4	7 36,9	5,22688	15 57	23 41
13	273 27 40,6	7 9,9	5,22542	15 43	23 28
17	273 47 25,5	6 42,9	5,22396	15 29	23 15
21	274 7 11,0	+ 0 6 15,8	5,22249	15 15	23 2
25	274 26 57,2	5 48,7	5,22103	15 1	22 49
29	274 46 44,0	5 21,5	5,21956	14 46	22 35
Apr. 2	275 6 31,5	4 54,4	5,21809	14 32	22 21
6	275 26 19,7	4 27,2	5,21662	14 18	22 7
10	275 46 8,6	4 0,0	5,21515	14 4	21 53
14	276 5 58,2	3 32,8	5,21368	13 49	21 39
18	276 25 48,5	3 5,6	5,21221	13 34	21 24
22	276 45 39,5	2 38,3	5,21074	13 19	21 9
26	277 5 31,2	2 11,0	5,20927	13 4	20 54
30	277 25 23,5	+ 0 1 43,7	5,20779	12 48	20 39

JUPITER 1830.

Geocentrischer Ort.

12 ^h Mittl. Zt.	Geoc. Gr. Aufst. 24	Geoc. Abweich. 24	Log. Entfern. 24 von ☿	24 im Merid.
Jan. 0	^h 17 57 58,87	— 23° 14' 38,9	0,7934348	^h 23 17,6
4	18 1 55,88	15 0,1	0,7923870	23 5,7
8	5 51,33	14 58,5	0,7911008	22 53,9
12	9 44,88	14 35,1	0,7895764	22 42,0
16	13 36,13	13 50,5	0,7878151	22 30,1
20	17 24,68	12 45,5	0,7858182	22 18,2
24	21 10,08	11 21,3	0,7835853	22 6,2
28	24 51,86	9 38,8	0,7811214	21 54,1
Febr. 1	28 29,57	7 39,5	0,7784291	21 41,9
5	32 2,85	5 24,8	0,7755123	21 29,7
9	18 35 31,24	— 23 2 55,9	0,7723770	21 17,4
13	38 54,42	0 14,7	0,7690264	21 5,0
17	42 11,91	22 57 22,8	0,7654625	20 52,6
21	45 23,25	54 22,4	0,7616923	20 40,0
25	48 27,97	51 15,4	0,7577205	20 27,3
Mrz. 1	51 25,58	48 3,7	0,7535572	20 14,4
5	54 15,68	44 49,4	0,7492098	20 1,5
9	56 57,88	41 34,6	0,7446879	19 48,5
13	59 31,75	38 21,6	0,7400000	19 35,2
17	19 1 56,87	35 12,5	0,7351557	19 21,9
21	19 4 12,75	— 22 32 9,8	0,7301643	19 8,4
25	6 18,89	29 15,7	0,7250414	18 54,7
29	8 14,86	26 32,5	0,7198007	18 40,9
Apr. 2	10 0,27	24 2,0	0,7144598	18 26,9
6	11 34,77	21 46,3	0,7090356	18 12,7
10	12 58,02	19 47,3	0,7035458	17 58,3
14	14 9,64	18 7,0	0,6980107	17 43,8
18	15 9,25	16 46,9	0,6924442	17 29,0
22	15 56,51	15 48,7	0,6868776	17 13,9
26	16 31,13	15 13,4	0,6813347	16 58,8
30	19 16 52,97	— 22 15 1,8	0,6758432	16 43,4

JUPITER 1830.

Heliocentrischer Ort.

12 ^h Mittl. Zt.	Helioc. Länge. 24	Helioc. Breite. 24	Rad. vect. 24	24		
				Aufg.	Unterg.	
Mai	0	277° 25' 23,5	+ 0° 1' 43,7	5,20779	12 ^h 48'	20 ^h 39'
	4	277 45 16,6	1 16,4	5,20632	12 33	20 23
	8	278 5 10,3	0 49,0	5,20484	12 17	20 7
	12	278 25 4,8	+ 0 0 21,6	5,20336	12 1	19 51
	16	278 44 59,9	— 0 0 5,8	5,20188	11 45	19 35
	20	279 4 55,8	0 33,2	5,20040	11 29	19 18
	24	279 24 52,3	1 0,6	5,19892	11 12	19 1
	28	279 44 49,6	1 28,1	5,19744	10 56	18 44
Jun.	1	280 4 47,5	1 55,5	5,19596	10 39	18 27
	5	280 24 46,1	2 23,0	5,19448	10 22	18 9
	9	280 44 45,4	— 0 2 50,4	5,19300	10 5	17 51
	13	281 4 45,5	3 17,9	5,19152	9 48	17 33
	17	281 24 46,2	3 45,4	5,19004	9 30	17 15
	21	281 44 47,6	4 12,9	5,18857	9 13	16 57
	25	282 4 49,7	4 40,4	5,18709	8 55	16 38
	29	282 24 52,5	5 8,0	5,18561	8 38	16 20
Jul.	3	282 44 56,0	5 35,5	5,18413	8 20	16 2
	7	283 5 0,1	6 3,1	5,18266	8 3	15 44
	11	283 25 4,9	6 30,6	5,18118	7 45	15 25
	15	283 45 10,4	6 58,1	5,17971	7 28	15 7
	19	284 5 16,5	— 0 7 25,6	5,17823	7 10	14 48
	23	284 25 23,3	7 53,1	5,17676	6 53	14 30
	27	284 45 30,8	8 20,5	5,17528	6 35	14 12
	31	285 5 38,9	8 48,0	5,17381	6 18	13 55
Aug.	4	285 25 47,8	9 15,5	5,17233	6 1	13 37
	8	285 45 57,4	9 43,0	5,17086	5 44	13 20
	12	286 6 7,5	10 10,4	5,16938	5 27	13 2
	16	286 26 18,3	10 37,9	5,16791	5 10	12 45
	20	286 46 29,9	11 5,4	5,16644	4 54	12 28
	24	287 6 47,1	11 32,9	5,16497	4 37	12 11
	28	287 26 54,9	— 0 12 0,3	5,16350	4 21	11 55

JUPITER 1830.

Geocentrischer Ort.

12 ^h Mittl. Zeit.	Geoc. Gr. Aufst. 24	Geoc. Abweich. 24	Log. Entfern. 24 von ☿	24 im Merid.
Mai 0	19 ^h 16' 52,97	— 22° 15' 1,8	0,6758432	16 ^h 43,4
4	17 1,95	15 14,4	0,6704327	16 27,7
8	16 58,05	15 51,4	0,6651297	16 12,0
12	16 41,25	16 52,0	0,6599643	15 55,9
16	16 11,61	18 18,6	0,6549679	15 39,6
20	15 29,27	20 7,4	0,6501444	15 23,1
24	14 34,56	22 18,4	0,6456197	15 6,5
28	13 27,97	24 49,3	0,6413379	14 49,6
Jun. 1	12 10,12	27 38,5	0,6373624	14 32,5
5	10 41,77	30 43,7	0,6337235	14 15,3
9	19 9 3,71	— 22 34 2,0	0,6304495	13 57,9
13	7 16,84	37 31,1	0,6275694	13 40,3
17	5 22,19	41 8,0	0,6251097	13 22,7
21	3 20,99	44 49,6	0,6230972	13 4,8
25	1 14,61	48 32,8	0,6215496	12 46,9
29	18 59 4,53	52 14,6	0,6204816	12 29,0
Jul. 3	56 52,22	55 52,4	0,6199002	12 11,1
7	54 39,15	59 24,2	0,6198108	11 53,1
11	52 26,77	23 2 47,2	0,6202113	11 35,1
15	50 16,57	6 0,0	0,6211000	11 17,2
19	18 48 10,04	— 23 39 0,9	0,6224680	10 59,3
23	46 8,70	11 48,9	0,6243018	10 41,5
27	44 13,97	14 23,1	0,6265806	10 23,7
31	42 27,06	16 43,2	0,6292803	10 6,3
Aug. 4	40 49,10	18 49,1	0,6323725	9 48,8
8	39 21,01	20 41,0	0,6358302	9 31,6
12	38 3,63	22 19,0	0,6396234	9 14,6
16	36 57,76	23 43,3	0,6437234	8 57,7
20	36 4,08	24 54,3	0,6480951	8 41,0
24	35 23,11	25 52,5	0,6527051	8 24,6
28	18 34 55,17	— 23 26 38,2	0,6575168	8 8,3

JUPITER 1830.

Heliocentrischer Ort.

12 ^h Mittl. Zt.	Helioc. Länge. 24	Helioc. Breite. 24	Rad. vect. 24	24	
				Aufg.	Unterg.
Spt. 1	287° 47' 8,4	— 0° 12' 27,8	5,16203	4 ^h 6'	11 ^h 39'
5	288 7 22,6	12 55,3	5,16056	3 50	11 23
9	288 27 37,5	13 22,8	5,15910	3 34	11 8
13	288 47 53,0	13 50,2	5,15763	3 19	10 52
17	289 8 9,2	14 17,6	5,15617	3 4	10 37
21	289 28 26,1	14 45,0	5,15470	2 49	10 22
25	289 48 43,7	15 12,4	5,15324	2 34	10 8
29	290 9 1,9	15 39,8	5,15178	2 19	9 53
Oct. 3	290 29 20,9	16 7,2	5,15032	2 5	9 39
7	290 49 40,5	16 34,5	5,14886	1 50	9 25
11	291 10 0,9	— 0 17 1,9	5,14741	1 36	9 12
15	291 30 22,0	17 29,2	5,14595	1 22	8 58
19	291 50 43,9	17 56,5	5,14450	1 9	8 45
23	292 11 6,4	18 23,7	5,14305	0 55	8 32
27	292 31 29,7	18 51,0	5,14160	0 41	8 19
31	292 51 53,6	19 18,2	5,14015	0 27	8 6
Nov. 4	293 12 18,3	19 45,4	5,13871	0 14	7 53
8	293 32 43,7	20 12,6	5,13726	0 1	7 41
12	293 53 9,8	20 39,7	5,13582	23 48	7 29
16	294 13 36,7	21 6,8	5,13438	23 34	7 17
20	294 34 4,3	— 0 21 33,9	5,13294	23 21	7 5
24	294 54 32,5	22 0,9	5,13150	23 8	6 53
28	295 15 1,5	22 27,9	5,13007	22 55	6 42
Dec. 2	295 35 31,2	22 54,9	5,12863	22 42	6 30
6	295 56 1,6	23 21,9	5,12720	22 29	6 19
10	296 16 32,7	23 48,8	5,12576	22 16	6 8
14	296 37 4,5	24 15,7	5,12433	22 3	5 57
18	296 57 36,9	24 42,5	5,12290	21 50	5 46
22	297 18 10,0	25 9,3	5,12147	21 37	5 35
26	297 38 43,8	25 36,1	5,12004	21 24	5 24
30	297 59 18,3	— 0 26 2,9	5,11861	21 12	5 13

JUPITER 1830.

Geocentrischer Ort.

12h Mittl. Zt.	Geoc. Gr. Aufst. 24	Geoc. Abweichg. 24	Log. Entfern. 24 von ☿	24 im Merid.
Spt. 1	18 ^h 34' 40,44	— 23° 27' 12,0	0,6624962	7 ^h 52,3
5	34 38,99	27 33,7	0,6676123	7 36,4
9	34 50,82	27 43,6	0,6728368	7 20,9
13	35 15,89	27 41,4	0,6781396	7 5,6
17	35 54,15	27 26,9	0,6834933	6 50,4
21	36 45,39	26 59,9	0,6888687	6 35,6
25	37 49,33	26 19,9	0,6942409	6 20,8
29	39 5,58	25 26,4	0,6995840	6 6,3
Oct. 3	40 33,78	24 18,6	0,7048781	5 52,1
7	42 13,36	22 55,7	0,7101052	5 37,9
11	18 44 4,13	— 23 21 16,8	0,7152479	5 24,0
15	46 5,61	19 20,9	0,7202875	5 10,3
19	48 17,37	17 7,2	0,7252089	4 56,7
23	50 38,93	14 34,6	0,7299949	4 43,2
27	53 9,73	11 42,5	0,7346335	4 30,0
31	55 49,23	8 29,6	0,7391130	4 16,9
Nov. 4	58 36,97	4 55,1	0,7434254	4 3,9
8	19 1 32,47	0 58,0	0,7475607	3 51,0
12	4 35,32	22 56 37,5	0,7515115	3 38,4
16	7 45,04	51 52,8	0,7552671	3 25,8
20	19 11 1,13	— 22 46 43,5	0,7588200	3 13,2
24	14 23,03	41 8,8	0,7621633	3 0,8
28	17 50,27	35 8,4	0,7652936	2 48,5
Decb. 2	21 22,38	28 41,9	0,7682059	2 36,3
6	24 58,94	21 48,9	0,7708975	2 24,1
10	28 39,53	14 29,3	0,7733632	2 12,1
14	32 23,75	6 43,1	0,7755993	2 0,0
18	36 11,11	21 58 30,4	0,7776014	1 48,0
22	40 1,16	49 51,7	0,7793669	1 36,0
26	43 53,43	40 47,2	0,7808943	1 24,2
30	19 47 47,51	— 21 31 17,3	0,7821841	1 12,3

SATURN 1830.

Heliocentrischer Ort.

12 ^h Mittl. Zt.	Helioc. Länge. ° ′ ″	Helioc. Breite. ″	Rad. vect. ″	″	
				Aufg.	Unterg.
Jan. 0	133° 29' 19,2	+ 0° 54' 12,6	9,14199	7 ^h 5'	22 ^h 14'
1,86 4	38 3,1	54 33,8	9,14283	6 48	21 58
3,02 8	46 46,8	54 55,0	9,14366	6 30	21 42
4,5 12	55 30,4	55 16,2	9,14450	6 13	21 26
6,02 16	134 4 13,9	55 37,3	9,14533	5 55	21 9
7,56 20	12 57,3	55 58,4	9,14617	5 38	20 53
9,02 24	21 40,5	56 19,5	9,14702	5 20	20 37
10,5 28	30 23,7	56 40,5	9,14787	5 2	20 21
Febr. 1	39 6,7	57 1,5	9,14871	4 44	20 4
2,76 5	47 49,6	57 22,5	9,14956	4 27	19 47
4,32 9	134 56 32,3	+ 0° 57' 43,5	9,15042	4 9	19 31
5,81 13	135 5 15,0	58 4,5	9,15128	3 51	19 14
7,33 17	13 57,5	58 25,4	9,15213	3 34	18 58
8,81 21	22 39,9	58 46,3	9,15299	3 16	18 41
10,3 25	31 22,2	59 7,2	9,15385	2 59	18 25
Mrz. 1	40 4,4	59 28,1	9,15471	2 41	18 9
2,8 5	48 46,5	59 48,9	9,15558	2 24	17 53
4,32 9	57 28,5	1 0 9,7	9,15645	2 7	17 36
5,86 13	136 6 10,3	0 30,5	9,15732	1 50	17 20
7,42 17	14 52,0	0 51,2	9,15820	1 33	17 4
8,91 21	136 23 33,7	+ 1° 1' 11,9	9,15907	1 16	16 48
10,4 25	32 15,3	1 32,6	9,15995	0 59	16 32
11,91 29	40 56,7	1 53,2	9,16083	0 43	16 16
Apr. 2	49 38,0	2 13,8	9,16171	0 27	16 0
3,46 6	58 19,3	2 34,4	9,16260	0 11	15 44
5,01 10	137 7 0,5	2 55,0	9,16349	23 55	15 28
6,5 14	15 41,6	3 15,5	9,16437	23 39	15 12
8,04 18	24 22,6	3 36,0	9,16526	23 23	14 56
9,56 22	33 3,5	3 56,5	9,16615	23 8	14 41
11,08 26	41 44,3	4 17,0	9,16704	22 53	14 25
12,61 30	137 50 25,1	+ 1° 4' 37,4	9,16794	22 38	14 10

SATURN 1830.

Geocentrischer Ort.

12 ^h Mittl. Zt.	Geoc. Gr. Aufst. h	Geoc. Abweichg. h	Log. Entfern. h von S	h im Merid.
Jan. 0	9 ^h 19' 54,03	+ 16° 38' 1,5	0,9210954	14 ^h 39,5
4	18 58,65	42 57,7	0,9191213	14 22,8
8	17 58,35	48 13,7	0,9173592	14 6,1
12	16 53,64	53 46,8	0,9158227	13 49,2
16	15 45,05	59 33,9	0,9145225	13 32,3
20	14 33,19	17 5 32,0	0,9134710	13 15,4
24	13 18,67	11 37,9	0,9126779	12 58,3
28	12 2,25	17 47,8	0,9121499	12 41,2
Febr. 1	10 44,63	23 58,6	0,9118897	12 24,1
5	9 26,55	30 6,8	0,9118992	12 7,1
9	9 8 8,72	+ 17 36 9,3	0,9121779	11 50,0
13	6 51,81	42 3,1	0,9127218	11 33,0
17	5 36,52	47 45,3	0,9135278	11 16,0
21	4 23,54	53 13,0	0,9145898	10 59,0
25	3 13,57	58 23,4	0,9158980	10 42,0
Mrz. 1	2 7,24	18 3 14,4	0,9174429	10 25,1
5	1 5,16	7 43,9	0,9192101	10 8,4
9	0 7,81	11 50,0	0,9211852	9 51,6
13	8 59 15,63	15 31,3	0,9233532	9 35,0
17	58 29,05	18 46,5	0,9257002	9 18,5
21	8 57 48,43	+ 18 21 34,6	0,9282088	9 2,0
25	57 14,14	23 54,4	0,9308632	8 45,6
29	56 46,43	25 45,3	0,9336444	8 29,5
Apr. 2	56 25,51	27 7,0	0,9365349	8 13,3
6	56 11,49	27 59,3	0,9395160	7 57,2
10	56 4,43	28 22,3	0,9425710	7 41,4
14	56 4,35	28 15,7	0,9456834	7 25,7
18	56 11,28	27 39,9	0,9488385	7 10,0
22	56 25,21	26 35,0	0,9520202	6 54,4
26	56 46,09	25 1,3	0,9552120	6 39,1
30	8 57 13,81	+ 18 22 59,2	0,9583391	6 23,7

SATURN 1830.

Heliocentrischer Ort.

12h Mittl. Zt.	Helioc. Länge. h	Helioc. Breite. h	Rad. vect. h	h	
				Aufg.	Unterg.
Mai 0	137° 50' 25,1"	+ 1° 4' 37,4"	9,16794	22 ^h 38'	14 ^h 10'
4	59 5,8	4 57,7	9,16884	22 23	13 54
8	138 7 46,4	5 18,1	9,16973	22 8	13 39
12	16 26,9	5 38,5	9,17063	21 53	13 23
16	25 7,4	5 58,8	9,17154	21 39	13 8
20	33 47,8	6 19,1	9,17245	21 24	12 53
24	42 28,1	6 39,3	9,17336	21 10	12 38
28	51 8,3	6 59,5	9,17427	20 56	12 22
Jun. 1	59 48,4	7 19,7	9,17519	20 42	12 7
5	139 8 28,4	7 39,9	9,17611	20 28	11 52
9	139 17 8,4	+ 1 8 0,0	9,17703	20 15	11 38
13	25 48,2	8 20,1	9,17795	20 1	11 22
17	34 28,0	8 40,2	9,17887	19 48	11 7
21	43 7,7	9 0,2	9,17979	19 34	10 52
25	51 47,2	9 20,2	9,18072	19 21	10 38
29	140 0 26,6	9 40,2	9,18165	19 8	10 23
Jul. 3	9 5,9	10 0,2	9,18258	18 55	10 8
7	17 45,1	10 20,1	9,18351	18 41	9 53
11	26 24,2	10 40,0	9,18444	18 28	9 39
15	35 3,2	10 59,9	9,18538	18 15	9 24
19	140 43 42,0	+ 1 11 19,7	9,18632	18 3	9 9
23	52 20,7	11 39,5	9,18726	17 50	8 54
27	141 0 59,3	11 59,3	9,18820	17 37	8 39
31	9 37,8	12 19,1	9,18915	17 24	8 24
Aug. 4	18 16,1	12 38,8	9,19010	17 11	8 10
8	26 54,3	12 58,5	9,19105	16 58	7 55
12	35 32,4	13 18,1	9,19200	16 46	7 41
16	44 10,3	13 37,7	9,19295	16 33	7 26
20	52 48,1	13 57,3	9,19391	16 20	7 11
24	142 1 25,8	14 16,9	9,19486	16 7	6 56
28	142 10 3,4	+ 1 14 36,4	9,19582	15 54	6 42

SATURN 1830.

Geocentrischer Ort.

12 ^h Mittl. Zt.	Geoc. Gr. Aufst. h	Geoc. Abweicg. h	Log. Entfern. h von ☿	h im Merid.
Mai 0	8 ^h 57' 13,81	+ 18° 22' 59,2	0,9583991	6 ^h 23,7
4	57 48,17	20 29,5	0,9615660	6 8,5
8	58 28,97	17 32,6	0,9647030	5 53,5
12	59 16,05	14 9,4	0,9677966	5 38,5
16	9 0 9,21	10 20,2	0,9708363	5 23,6
20	1 8,25	6 5,8	0,9738117	5 8,7
24	2 12,95	1 26,8	0,9767112	4 54,1
28	3 23,05	17 56 24,0	0,9795253	4 39,5
Jun. 1	4 38,26	50 58,4	0,9822452	4 24,9
5	5 58,29	45 10,9	0,9848634	4 10,6
9	9 7 22,89	+ 17 39 2,1	0,9873732	3 56,2
13	8 51,79	32 33,0	0,9897689	3 41,9
17	10 24,75	25 44,2	0,9920435	3 27,7
21	12 1,49	18 36,5	0,9941912	3 13,5
25	13 41,73	11 11,3	0,9962060	2 59,4
29	15 25,17	13 29,3	0,9980832	2 45,3
Jul. 3	17 11,51	16 55 31,7	0,9998188	2 31,4
7	19 0,47	47 19,3	1,0014101	2 17,4
11	20 51,82	38 53,1	1,0028539	2 3,5
15	22 45,29	30 14,2	1,0041476	1 49,7
19	9 24 40,63	+ 16 21 23,5	1,0052872	1 35,8
23	26 37,57	12 22,3	1,0062693	1 22,0
27	28 35,78	3 11,8	1,0070921	1 8,1
31	30 35,01	15 53 53,3	1,0077554	0 54,4
Aug. 4	32 34,98	44 27,9	1,0082571	0 40,6
8	34 35,46	34 56,8	1,0085974	0 26,8
12	36 36,21	25 21,2	1,0087741	0 13,1
16	38 36,97	15 42,5	1,0087868	23 59,3
20	40 37,48	6 2,0	1,0086343	23 45,5
24	42 37,43	14 56 21,4	1,0083159	23 31,8
28	9 44 36,56	+ 14 46 42,2	1,0078335	23 18,0

SATURN 1830.

Heliocentrischer Ort.

12 ^h Mittl. Zt.	Helioc. Länge. ° ′	Helioc. Breite. ° ′	Rad. vect. ″	h	
				Aufg.	Unterg.
Spt. 1	142° 18' 40,9	+ 1° 14' 55,9	9,19678	15 ^h 42'	6 ^h 27'
5	27 18,2	15 15,3	9,19774	15 29	6 12
9	35 55,4	15 34,7	9,19870	15 16	5 57
13	44 32,5	15 54,1	9,19966	15 3	5 42
17	53 9,5	16 13,5	9,20063	14 50	5 28
21	143 1 46,3	16 32,8	9,20159	14 37	5 13
25	10 23,0	16 52,1	9,20255	14 24	4 58
29	18 59,7	17 11,3	9,20352	14 11	4 43
Oct. 3	27 36,2	17 30,5	9,20449	13 57	4 28
7	36 12,7	17 49,7	9,20547	13 44	4 13
11	143 44 49,0	+ 1 18 8,9	9,20644	13 30	3 58
15	53 25,3	18 28,0	9,20742	13 17	3 43
19	144 2 1,5	18 47,1	9,20840	13 3	3 28
23	10 37,6	19 6,1	9,20939	12 49	3 13
27	19 13,6	19 25,1	9,21037	12 35	2 58
31	27 49,5	19 44,1	9,21136	12 21	2 43
Nov. 4	36 25,3	20 3,1	9,21235	12 7	2 28
8	45 1,0	20 22,0	9,21334	11 53	2 13
12	53 36,6	20 40,9	9,21433	11 38	1 57
16	145 2 12,2	20 59,7	9,21533	11 24	1 42
20	145 10 47,6	+ 1 21 18,5	9,21633	11 9	1 27
24	19 23,0	21 37,3	9,21733	10 54	1 12
28	27 58,3	21 56,1	9,21833	10 39	0 56
Dcb. 2	36 33,5	22 14,8	9,21933	10 24	0 41
6	45 8,6	22 33,5	9,22033	10 8	0 25
10	53 43,6	22 52,1	9,22134	9 52	0 9
14	146 2 18,5	23 10,7	9,22235	9 36	23 53
18	10 53,3	23 29,3	9,22336	9 20	23 37
22	19 28,0	23 47,9	9,22437	9 4	23 22
26	28 2,7	24 6,4	9,22539	8 48	23 6
30	146 36 37,2	+ 1 24 24,9	9,22641	8 31	22 50

SATURN 1830.

Geocentrischer Ort.

12 ^h Mittl. Zt.	Geoc. Gr. Aufst. h	Geoc. Abweichg. h	Log. Entfern. h von ☉	h im Merid.
Spt. 1	9 ^h 46' 34,59	+ 14° 37' 5,6	1,0071885	23 ^h 4,2
5	48 31,31	27 33,2	1,0063814	22 50,3
9	50 26,47	18 6,5	1,0054134	22 36,5
13	52 19,79	8 47,2	1,0042858	22 22,6
17	54 11,00	13 59 36,9	1,0029999	22 8,7
21	55 59,80	50 37,3	1,0015576	21 54,8
25	57 45,93	41 50,4	0,9999626	21 40,8
29	59 29,10	33 17,5	0,9982199	21 26,7
Oct. 3	10 1 9,08	25 0,5	0,9963332	21 12,7
7	2 45,62	17 1,1	0,9943068	20 58,5
11	10 4 18,45	+ 13 9 21,1	0,9921433	20 44,2
15	5 47,28	2 2,1	0,9898495	20 30,0
19	7 11,82	12 55 6,2	0,9874308	20 15,6
23	8 31,78	48 35,1	0,9848958	20 1,1
27	9 46,92	42 30,5	0,9822512	19 46,6
31	10 57,01	36 53,9	0,9795071	19 32,1
Nov. 4	12 1,81	31 46,9	0,9766715	19 17,3
8	13 1,11	27 10,9	0,9737532	19 2,5
12	13 54,63	23 7,7	0,9707623	18 47,7
16	14 42,15	19 38,6	0,9677117	18 32,7
20	10 15 23,44	+ 12 16 44,7	0,9646138	18 17,6
24	15 58,35	14 27,2	0,9614824	18 2,4
28	16 26,76	12 46,9	0,9583325	17 47,1
Dcb. 2	16 48,55	11 44,4	0,9551773	17 31,7
6	17 3,61	11 20,0	0,9520323	17 16,2
10	17 11,85	11 34,3	0,9489135	17 0,6
14	17 13,21	12 27,3	0,9458377	16 44,8
18	17 7,70	13 58,8	0,9428233	16 28,9
22	16 55,38	16 8,2	0,9398892	16 12,9
26	16 36,39	18 54,2	0,9370534	15 56,9
30	10 16 10,88	+ 12 22 15,8	0,9343335	15 40,7

URANUS 1830.

Heliocentrischer Ort.

12 ^h Mittl. Zt.	Helioc. Länge.	Helioc. Breite.	Rad. vect. ⊙	⊕	
	⊕	⊕		Aufg.	Unterg.
Jan. 0	306° 9' 15,7	— 0° 37' 9,2	19,84528	21 ^h 36'	6 ^h 3'
4	11 54,3	37 10,5	19,84579	21 21	5 49
8	14 32,9	37 11,8	19,84629	21 6	5 34
12	17 11,5	37 13,1	19,84679	20 51	5 20
16	19 50,0	37 14,4	19,84729	20 35	5 5
20	22 28,5	37 15,7	19,84779	20 20	4 51
24	25 7,0	37 17,0	19,84829	20 5	4 36
28	27 45,5	37 18,3	19,84879	19 50	4 22
Febr. 1	30 24,0	37 19,5	19,84929	19 35	4 7
5	33 2,4	37 20,8	19,84979	19 20	3 53
9	306 35 40,8	— 0 37 22,1	19,85029	19 4	3 38
13	38 19,2	37 23,4	19,85078	18 49	3 24
17	40 57,5	37 24,6	19,85128	18 34	3 9
21	43 35,8	37 25,9	19,85178	18 19	2 55
25	46 14,1	37 27,2	19,85228	18 3	2 40
Mrz. 1	48 52,3	37 28,5	19,85277	17 48	2 26
5	51 30,5	37 29,7	19,85327	17 33	2 11
9	54 8,7	37 31,0	19,85377	17 18	1 57
13	56 46,8	37 32,3	19,85426	17 2	1 42
17	59 25,0	37 33,6	19,85475	16 47	1 27
21	307 2 3,1	— 0 37 34,8	19,85524	16 32	1 12
25	4 41,2	37 36,1	19,85573	16 17	0 57
29	7 19,4	37 37,3	19,85623	16 1	0 42
Apr. 2	9 57,6	37 38,6	19,85672	15 46	0 27
6	12 35,8	37 39,8	19,85721	15 30	0 12
10	15 13,9	37 41,1	19,85770	15 15	23 57
14	17 52,1	37 42,3	19,85819	14 59	23 42
18	20 30,3	37 43,6	19,85867	14 44	23 27
22	23 8,5	37 44,8	19,85916	14 28	23 11
26	25 46,7	37 46,1	19,85965	14 13	22 56
30	307 28 24,9	— 0 37 47,3	19,86013	13 57	22 41

URANUS 1830.

Geocentrischer Ort.

12 ^h Mittl. Zt.	Geoc. Gr. Aufst. ⊕	Geoc. Abweichg. ⊕	Log. Entfern. ⊕ von ⊕	⊕ im Merid.
Jan. 0	^h 20 29' 51,95	— 19° 36' 59,1	1,3166638	^h 1 49,5
4	30 46,32	33 45,4	1,3172391	1 34,6
8	31 41,69	30 27,3	1,3177243	1 19,8
12	32 37,90	27 5,5	1,3181184	1 4,9
16	33 34,76	23 40,6	1,3184197	0 50,1
20	34 32,09	20 13,3	1,3186274	0 35,3
24	35 29,67	16 44,3	1,3187403	0 20,5
28	36 27,30	13 14,6	1,8187578	0 5,7
Febr. 1	37 24,77	9 44,7	1,3186803	23 50,8
5	38 21,89	6 15,0	1,3185089	23 36,1
9	20 39 18,48	— 19 2 46,6	1,3182446	23 21,2
13	40 14,36	18 59 20,2	1,3178888	23 6,3
17	41 9,35	55 56,6	1,3174425	22 51,6
21	42 3,26	52 36,4	1,3169070	22 36,7
25	42 55,91	49 20,4	0,3162846	22 21,7
Mrz. 1	43 47,09	46 9,5	1,3155779	22 6,8
5	44 36,66	43 4,2	1,3147902	21 51,9
9	45 24,45	40 5,2	1,3139252	21 36,9
13	46 10,33	37 13,3	1,3129859	21 21,9
17	46 54,14	34 29,1	1,3119759	21 6,9
21	20 47 35,75	— 18 31 53,3	1,3108989	20 51,8
25	48 14,99	29 26,4	1,3097592	20 36,6
29	48 51,75	27 9,0	1,3085615	20 21,6
Apr. 2	49 25,87	25 1,9	1,3073114	20 6,3
6	49 57,29	23 5,4	1,3060140	19 51,1
10	50 25,90	21 20,3	1,3046749	19 35,7
14	50 51,63	19 46,6	1,3032991	19 20,5
18	51 14,37	18 24,2	1,3018919	19 5,0
22	51 34,06	17 14,0	1,3004597	18 49,6
26	51 50,61	16 16,8	1,2990089	18 34,1
30	20 52 4,01	— 18 15 32,2	1,2975465	18 18,6

URANUS 1830.

Heliocentrischer Ort.

12 ^h Mittl. Zt.	Helioc. Länge. ⊕	Helioc. Breite. ⊕	Rad. vect. ⊕	⊕	
				Aufg.	Unterg.
Mai 0	307° 28' 24,9	— 0° 37' 47,3	19,86013	13 ^h 57'	22 ^h 41'
4	31 3,1	37 48,6	19,86062	13 41	22 26
8	33 41,4	37 49,8	19,86111	13 25	22 10
12	36 19,6	37 51,1	19,86160	13 9	21 54
16	38 57,9	37 52,3	19,86208	12 54	21 38
20	41 36,2	37 53,6	19,86257	12 38	21 22
24	44 14,5	37 54,8	19,86305	12 22	21 6
28	46 52,8	37 56,1	19,86354	12 6	20 50
Jun. 1	49 31,2	37 57,3	19,86402	11 50	20 34
5	52 9,6	37 58,5	19,86450	11 34	20 18
9	307 54 47,9	— 0 37 59,7	19,86498	11 19	20 2
13	57 26,3	38 1,0	19,86546	11 3	19 46
17	308 0 4,6	38 2,2	19,86594	10 47	19 29
21	2 43,0	38 3,5	19,86642	10 31	19 13
25	5 21,3	38 4,7	19,86690	10 15	18 56
29	7 59,7	38 6,0	19,86738	9 59	18 40
Jul. 3	10 38,0	38 7,2	19,86786	9 43	18 23
7	13 16,3	38 8,4	19,86833	9 27	18 7
11	15 54,6	38 9,6	19,86881	9 10	17 50
15	18 32,9	38 10,9	19,86929	8 54	17 34
19	308 21 11,1	— 0 38 12,1	19,86977	8 38	17 17
23	23 49,3	38 13,3	19,87024	8 22	17 0
27	26 27,5	38 14,5	19,87072	8 6	16 43
31	29 5,7	38 15,8	19,87120	7 50	16 27
Aug. 4	31 43,8	38 17,0	19,87167	7 34	16 10
8	34 21,9	38 18,2	19,87215	7 18	15 54
12	37 0,0	38 19,4	19,87262	7 1	15 37
16	39 38,1	38 20,7	19,87310	6 45	15 20
20	42 16,1	38 21,9	19,87357	6 29	15 3
24	44 54,1	38 23,1	19,87404	6 13	14 47
28	308 47 32,0	— 0 38 24,3	19,87451	5 57	14 30

URANUS 1830.

Geocentrischer Ort.

12h Mittl. Zt.	Geoc. Gr. Aufst. ☿	Geoc. Abweichg. ♄	Log. Entfern. ☿ von ☿	☿ im Merid.
Mai 0	^h 20 52' 4,01	— 18° 15' 32,2	1,2975465	^h 18 18,6
4	52 14,20	15 0,4	1,2960793	18 2,9
8	52 21,20	14 41,4	1,2946135	17 47,4
12	52 24,99	14 35,4	1,2931551	17 31,6
16	52 25,59	14 42,3	1,2917111	17 15,8
20	52 22,97	15 2,0	1,2902885	17 0,0
24	52 17,23	15 34,3	1,2888946	16 44,2
28	52 8,36	16 18,8	1,2875366	16 28,2
Jun. 1	51 56,47	17 15,3	1,2862209	16 12,2
5	51 41,66	18 23,2	1,2849539	15 56,3
9	20 51 24,01	— 18 19 42,1	1,2837421	15 40,2
13	51 3,62	21 11,4	1,2825916	15 24,1
17	50 40,65	22 50,7	1,2815085	15 8,0
21	50 15,21	24 39,3	1,2804985	14 51,8
25	49 47,50	26 36,3	1,2795679	14 35,5
29	49 17,66	28 40,8	1,2787224	14 19,2
Jul. 3	48 45,91	30 52,0	1,2779661	14 3,0
7	48 12,44	33 9,0	1,2773027	13 46,6
11	47 37,48	35 31,0	1,2767362	13 30,2
15	47 1,20	37 57,2	1,2762700	13 13,9
19	20 46 23,87	— 18 40 26,4	1,2759074	12 57,5
23	45 45,73	42 57,6	1,2756513	12 41,2
27	45 7,04	45 29,8	1,2755028	12 24,6
31	44 28,06	48 1,8	1,2754627	12 8,3
Aug. 4	43 49,03	50 32,9	1,2755311	11 51,8
8	43 10,21	53 2,1	1,2757077	11 35,4
12	42 31,85	55 28,4	1,2759923	11 19,0
16	41 54,18	57 50,8	1,2763840	11 2,6
20	41 17,48	19 0 8,3	1,2768806	10 46,2
24	40 42,01	2 20,2	1,2774794	10 29,9
28	20 40 8,02	— 19 4 25,6	1,2781768	10 13,5

URANUS 1830.

Heliocentrischer Ort.

12 ^h Mittl. Zt.	Helioc. Länge. ⊕	Helioc. Breite. ⊕	Rad. vect. ⊕	⊕	
				Aufg.	Unterg.
Spt. 1	308° 50' 9,9	— 0° 38' 25,5	19,87498	5 ^h 41'	14 ^h 14'
5	52 47,8	38 26,7	19,87545	5 24	13 57
9	55 25,7	38 27,9	19,87592	5 8	13 41
13	58 3,5	38 29,1	19,87639	4 52	13 24
17	309 0 41,4	38 30,3	19,87686	4 36	13 8
21	3 19,2	38 31,5	19,87733	4 20	12 52
25	5 57,0	38 32,7	19,87779	4 5	12 36
29	8 34,9	38 33,9	19,87826	3 49	12 20
Oct. 3	11 12,7	38 35,1	19,87873	3 33	12 4
7	13 50,5	38 36,3	19,87920	3 17	11 48
11	309 16 28,3	— 0 38 37,4	19,87966	3 1	11 32
15	19 6,2	38 38,6	19,88013	2 45	11 16
19	21 44,0	38 39,8	19,88060	2 29	11 0
23	24 21,9	38 41,0	19,88106	2 13	10 44
27	26 59,8	38 42,2	19,88153	1 58	10 29
31	29 37,7	38 43,4	19,88199	1 42	10 13
Nov. 4	32 15,6	38 44,6	19,88246	1 26	9 58
8	34 53,6	38 45,8	19,88292	1 10	9 43
12	37 31,5	38 46,9	19,88338	0 55	9 28
16	40 9,5	38 48,1	19,88384	0 39	9 12
20	309 42 47,5	— 0 38 49,3	19,88430	0 24	8 57
24	45 25,5	38 50,5	19,88476	0 8	8 42
28	48 3,5	38 51,6	19,88522	23 53	8 27
Decb. 2	50 41,6	38 52,8	19,88568	23 38	8 12
6	53 19,6	38 54,0	19,88614	23 23	7 57
10	55 57,7	38 55,1	19,88660	23 8	7 42
14	58 35,7	38 56,3	19,88705	22 52	7 28
18	310 1 13,8	38 57,5	19,88751	22 37	7 13
22	3 51,8	38 58,7	19,88797	22 21	6 58
26	6 29,9	38 59,9	19,88842	22 6	6 43
30	310 9 8,0	— 0 39 1,0	19,88888	21 51	6 29

URANUS 1830.

Geocentrischer Ort.

12 ^h Mittl. Zt.	Geoc. Gr. Aufst. ⊕	Geoc. Abweichg. ⊕	Log. Entfern. ⊕ von ⊕	⊕ im Merid.
Spt. 1	20 ^h 39' 35,72	— 19° 6' 23,6	1,2789688	9 ^h 57,2
5	39 5,32	8 13,6	1,2798513	9 40,9
9	38 37,02	9 54,9	1,2808196	9 24,7
13	38 11,01	11 27,0	1,2818689	9 8,5
17	37 47,48	12 49,1	1,2829942	8 52,3
21	37 26,62	14 0,8	1,2841890	8 36,2
25	37 8,57	15 1,6	1,2854464	8 20,1
29	36 53,47	15 51,2	1,2867599	8 4,1
Oct. 3	36 41,40	16 29,2	1,2881226	7 48,2
7	36 32,47	16 55,4	1,2895280	7 32,2
11	20 36 26,73	— 19 17 9,6	1,2909692	7 16,3
15	36 24,28	17 11,7	1,2924390	7 0,6
19	36 25,17	17 1,4	1,2939302	6 44,8
23	36 29,43	16 38,7	1,2954350	6 29,1
27	36 37,04	16 3,5	1,2969457	6 13,4
31	36 48,00	15 16,1	1,2984554	5 57,9
Nov. 4	37 2,26	14 16,5	1,2999572	5 42,3
8	37 19,79	13 4,8	1,3014451	5 26,8
12	37 40,54	11 41,2	1,3029121	5 11,5
16	38 4,46	10 6,0	1,3043511	4 56,1
20	20 38 31,46	— 19 8 19,3	1,3057553	4 40,7
24	39 1,43	6 21,4	1,3071186	4 25,4
28	39 34,24	4 12,8	1,3084354	4 10,3
Decb. 2	40 9,78	1 53,8	1,3097004	3 55,1
6	40 47,90	18 59 24,9	1,3109089	3 39,9
10	41 28,48	56 46,6	1,3120556	3 24,9
14	42 11,39	53 59,1	1,3131356	3 9,8
18	42 56,45	51 3,2	1,3141443	2 54,7
22	43 43,48	47 59,4	1,3150775	2 39,7
26	44 32,33	44 48,2	3,3159326	2 24,8
30	20 45 22,81	— 18 41 30,3	1,3167061	2 9,9

TRABANT I.

Eintritte Mittl. Zt.			Eintritte Mittl. Zt.			Eintritte Mittl. Zt.		
Jan. 1	^h 20 3' 38,8		Mrz. 1	^h 5 40' 24,5		Mai 2	^h 4 13' 10,5	
3	[14 32 6,3]		3	0 8 44,2		3	22 41 38,1	
5	[9 0 31,4]		4	18 37 6,6		5	17 10 1,3	
7	[3 28 58,5]		6	13 5 26,3		7	11 38 29,3	
8	[21 57 23,1]		8	7 33 48,5		9	6 6 53,0	
10	[16 25 49,5]		10	2 2 8,1		11	0 35 21,6	
12	[10 54 13,5]		11	20 30 30,3		12	19 3 45,8	
14	5 22 39,3		13	14 58 49,3		14	13 32 15,1*	
15	23 51 2,7		15	9 27 11,9		16	8 0 39,9	
17	18 19 28,4		17	3 55 30,8		18	2 29 9,8	
19	12 47 51,5		18	22 23 53,9		19	20 57 35,6	
21	7 16 16,7		20	16 52 12,9*		21	15 26 6,6*	
23	1 44 39,6		22	11 20 36,1		23	9 54 32,8	
24	20 13 4,2		24	5 48 55,0		25	4 23 4,2	
26	14 41 26,7		26	0 17 18,3		26	22 51 31,5	
28	9 9 51,3		27	18 45 37,3		28	17 20 3,6	
30	3 38 12,8		29	13 14 0,6		30	11 48 31,8*	
31	22 6 37,2		31	7 42 20,0		Jun. 1	6 17 5,0	
Febr. 2	16 34 58,4		Apr. 2	2 10 43,3		3	0 45 33,9	
4	11 3 22,3		3	20 39 2,7		4	19 14 7,8	
6	5 31 43,2		5	15 7 26,6*		6	13 42 37,6*	
8	0 0 6,5		7	9 35 45,9		8	8 11 12,5	
9	18 28 27,2*		9	4 4 10,2		10	2 39 43,4	
11	12 56 50,5		10	22 32 29,1		11	21 8 18,9	
13	7 25 11,0		12	17 0 54,5*		13	15 36 50,4*	
15	1 53 34,2		14	11 29 13,8		15	10 5 26,9*	
16	20 21 54,6		16	5 57 39,5		17	4 33 59,9	
18	14 50 17,6		18	0 25 59,8		18	23 2 37,5	
20	9 18 37,8		19	18 54 25,2		20	17 31 10,8	
22	3 47 0,5		21	13 22 46,2*		22	11 59 49,6*	
23	22 15 19,9		23	7 51 11,7		24	6 28 24,4	
25	16 43 42,4*		25	2 19 33,2		26	0 57 4,1	
27	11 12 2,0		26	20 47 59,3		27	19 25 39,5	
			28	15 16 21,3*		29	13 54 20,0*	
			30	9 44 48,0				

TRABANT I.

Geoc. Ob. Conj. Mittl. Zt.			$\frac{a}{b}$	Geoc. Ob. Conj. Mittl. Zt.			$\frac{a}{b}$	Geoc. Ob. Conj. Mittl. Zt.			$\frac{a}{b}$
Jan. 1	^h 21 24,5	—46,9		Mrz. 1	^h 7 52,4	—55,6		Mai 2	^h 6 31,9	—66,7	
3	15 54,8			3	2 21,8			4	0 59,4		
5	10 25,1			4	20 51,2			5	19 26,8		
7	4 55,4			6	15 20,6			7	13 54,2		
8	23 25,6	—47,8		8	9 49,9	—56,8		9	8 21,5	—67,8	
10	17 55,8			10	4 19,2			11	2 48,6		
12	12 25,9			11	22 48,4			12	21 15,7		
14	6 56,1			13	17 17,6			14	15 42,7		
16	1 26,2	—48,7		15	11 46,7	—58,1		16	10 9,7	—68,9	
17	19 56,4			17	6 15,7			18	4 36,7		
19	14 26,5			19	0 44,7			19	23 3,6		
21	8 56,6			20	19 13,7			21	17 30,4		
23	3 26,7	—49,7		22	13 42,6	—59,3		23	11 57,2	—70,0	
24	21 56,8			24	8 11,5			25	6 24,0		
26	16 26,9			26	2 40,4			27	0 50,8		
28	10 57,0			27	21 9,2			28	19 17,5		
30	5 27,0	—50,7		29	15 37,9	—60,6		30	13 44,1	—70,9	
31	23 57,0			31	10 6,5			Jun. 1	8 10,6		
Febr. 2	18 26,9			Apr. 2	4 35,0			3	2 37,0		
4	12 56,8			3	23 3,5			4	21 3,3		
6	7 26,7	—51,7		5	17 31,9	—62,0		6	15 29,6	—71,7	
8	1 56,6			7	12 10,3			8	9 56,0		
9	20 26,5			9	6 28,7			10	4 22,3		
12	14 56,3			11	0 57,0			11	22 48,5		
13	9 26,1	—52,8		12	19 25,3	—63,3		13	17 14,7	—72,5	
15	3 55,8			14	13 53,5			15	11 40,9		
16	22 25,5			16	8 21,7			17	6 7,0		
18	16 55,1			18	2 49,8			19	0 33,1		
20	11 24,7	—54,0		19	21 17,8	—64,6		20	18 59,2	—73,2	
22	5 54,3			21	15 45,7			22	13 25,3		
24	0 23,9			23	10 13,5			24	7 51,3		
25	18 53,5			25	4 41,2			26	2 17,3		
27	13 23,0	—55,3		26	23 9,0	—65,8		27	20 43,2	—73,8	
				28	17 36,7			29	15 9,3		
				30	12 4,3						

TRABANT I.

Eintritte Mittl. Zt.			Austritte Mittl. Zt.			Austritte Mittl. Zt.		
Jul.	1	^h 8 22' 56,6	Spt.	1	^h 9 24' 27,6 *	Nov.	2	^h 8 14' 27,5
	3	2 51 38,5		3	3 53 17,4		4	2 43 18,2
	4	21 20 16,0		4	22 22 12,2		5	21 12 4,7
Austritte.				6	16 51 1,8		7	15 40 54,8
	6	18 2 58,8		8	11 19 56,5		9	10 9 40,5
	8	12 31 38,4 *		10	5 48 46,7		11	4 38 29,9
	10	7 0 23,1		12	0 17 41,3		12	23 7 15,1
	12	1 29 3,6		13	18 46 31,4		14	17 36 3,7
	13	19 57 49,0		15	13 15 26,2		16	12 4 48,2
	15	14 26 30,4 *		17	7 44 16,4 *		18	6 33 36,2 *
	17	8 55 16,9		19	2 13 11,3		20	1 2 20,9
	19	3 23 59,5		20	20 42 1,6		21	19 31 7,9
	20	21 52 46,5		22	15 10 56,5		23	13 59 51,5
	22	16 21 30,2		24	9 39 46,7 *		25	8 28 37,9
	24	10 50 18,2 *		26	4 8 41,4		27	2 57 21,0
	26	5 19 2,7		27	22 37 31,6		28	21 26 6,9
	27	23 47 51,2		29	17 6 26,2		30	15 54 49,2
	29	18 16 36,1	Oct.	1	11 35 15,7	Decb.	2	10 23 33,9
	31	12 45 25,7 *		3	6 4 10,2 *		4	4 52 15,7 *
Aug.	2	7 14 11,1		5	0 32 59,9		5	23 20 59,9
	4	1 43 1,5		6	19 1 53,8		7	17 49 40,9
	5	20 11 47,4		8	13 30 43,2		9	12 18 24,4
	7	14 40 38,3		10	7 59 36,8 *		11	6 47 4,6
	9	9 25,1 *		12	2 28 26,0		13	1 15 47,4
	11	3 38 17,0		13	20 56 19,4		14	19 44 27,1
	12	22 7 4,3		15	15 26 18,3		16	14 13 9,1
	14	16 35 56,4		17	9 55 1,1		18	8 41 47,8
	16	11 4 44,3 *		19	4 23 49,8		20	3 10 29,0
	18	5 33 36,8		20	22 52 42,7		21	21 39 7,3
	20	0 2 25,4		22	17 21 30,9		23	16 7 47,9
	21	18 31 18,4		24	11 50 22,9		25	[10 36 25,4]
	23	13 0 7,2		26	6 19 10,6 *		27	[5 5 4,8]
	25	7 29 0,6 *		28	0 48 2,3		29	[23 33 41,8]
	27	1 57 49,9		29	19 16 49,8		31	[18 2 20,6]
	28	20 26 44,0		31	13 45 40,9			
	30	14 55 33,5						

TRABANT I.

Geoc. Ob. Conj. Mittl. Zt.			$\frac{a}{b}$	Geoc. Ob. Conj. Mittl. Zt.			$\frac{a}{b}$	Geoc. Ob. Conj. Mittl. Zt.			$\frac{a}{b}$
Jul. 1	^h 9 35,4	—74,2		Spt. 1	^h 7 7,7	—81,0		Nov. 2	^h 5 57,0	—98,5	
3	4 1,5			3	1 35,4			4	0 26,8		
4	22 27,5			4	20 3,2			5	18 56,7		
6	16 53,5			6	14 31,1			7	13 26,6		
8	11 19,6	—74,8		8	8 59,1	—82,2		9	7 56,6	—101,9	
10	5 45,6			10	3 27,2			11	2 26,6		
12	0 11,6			11	21 55,3			12	20 56,5		
13	18 37,7			13	16 23,5			14	15 26,5		
13	13 3,8	—75,5		15	10 51,7	—83,6		16	9 56,5	—106,1	
15	7 29,9			17	5 20,0			18	4 26,5		
19	1 56,1			18	23 48,3			19	22 56,6		
20	20 22,3			20	18 16,7			21	17 26,6		
22	14 48,5	—76,1		22	12 45,2	—85,0		23	11 56,7	—111,0	
25	9 14,8			24	7 13,8			25	6 26,8		
26	3 41,1			26	1 42,4			27	0 57,0		
27	22 7,5			27	20 11,1			28	19 27,1		
29	16 33,9	—76,8		29	14 39,9	—86,6		30	13 57,3	—116,5	
31	11 0,4			Oct. 1	9 8,7			Dcb. 2	8 27,5		
Aug. 2	5 26,9			3	3 37,6			4	2 57,8		
3	23 53,5			4	22 6,5			5	21 28,1		
5	18 20,1	—77,5		6	16 35,6	—88,4		7	15 58,4	—123,1	
7	12 46,8			8	11 4,7			9	10 28,7		
9	7 13,6			10	5 33,9			11	4 59,0		
11	1 40,5			12	0 3,1			12	23 29,3		
12	20 7,4	—78,3		13	18 32,3	—90,5		14	17 59,6	—131,0	
14	14 34,4			15	13 1,5			16	12 30,0		
16	9 1,5			17	7 30,8			18	7 0,4		
18	3 28,6			19	2 0,1			20	1 30,9		
19	21 25,8	—79,2		20	20 29,5	—93,0		21	20 1,4	—140,7	
21	16 23,0			22	14 59,0			23	14 31,9		
23	10 50,2			24	9 28,6			25	9 2,3		
25	5 17,5			26	3 58,3			27	3 32,8		
26	23 44,9	—80,2		27	22 27,9	—95,9		28	22 3,2	—152,8	
28	18 12,4			29	16 57,6			30	16 33,7		
30	12 40,0			31	11 27,3						

TRABANT I.

$t - \text{Ob. Conj.}$			x	y'	$t - \text{Ob. Conj.}$			x	y'				
t	h	$'$			t	h	$'$						
0	0	0	+	0,00	+	5,70	0	11	0	+	5,69	-	0,32
		20		0,28		5,69		20		5,67			0,60
		40		0,56		5,67		40		5,63			0,88
1	0	0		0,84		5,64		12	0	5,58			1,16
		20		1,12		5,59		20		5,52			1,43
		40		1,39		5,53		40		5,44			1,70
0	2	0	+	1,66	+	5,45	0	13	0	+	5,35	-	1,96
		20		1,93		5,36		20		5,25			2,22
		40		2,19		5,26		40		5,13			2,48
3	0	0		2,45		5,15		14	0	5,00			2,73
		20		2,70		5,02		20		4,86			2,98
		40		2,94		4,88		40		4,70			3,22
0	4	0	+	3,18	+	4,72	0	15	0	+	4,54	-	3,45
		20		3,41		4,56		20		4,37			3,66
		40		3,63		4,40		40		4,19			3,87
5	0	0		3,84		4,22		16	0	3,99			4,07
		20		4,04		4,02		20		3,78			4,26
		40		4,24		3,81		40		3,56			4,44
0	6	0	+	4,42	+	3,59	0	17	0	+	3,34	-	4,62
		20		4,59		3,37		20		3,11			4,78
		40		4,75		3,14		40		2,87			4,92
7	0	0		4,90		2,90		18	0	2,63			5,06
		20		5,04		2,66		20		2,38			5,18
		40		5,16		2,42		40		2,12			5,30
0	8	0	+	5,28	+	2,16	0	19	0	+	1,85	-	5,39
		20		5,38		1,90		20		1,59			5,47
		40		5,46		1,63		40		1,32			5,54
9	0	0		5,54		1,36		20	0	1,04			5,60
		20		5,60		1,08		20		0,76			5,64
		40		5,64		0,80		40		0,48			5,68
0	10	0	+	5,67	+	0,52	0	21	0	+	0,20	-	5,69
		20		5,69	+	0,24		20		- 0,08			5,70
		40		5,70	-	0,04		40		0,36			5,68
11	0	0		5,69		0,32		22	0	0,64			5,66

Synod. Umlaufszeit $42^h 28',6$

TRABANT I.

$t - \text{Ob. Conj.}$	x	y'	$t - \text{Ob. Conj.}$	x	y'
$^t \quad ^h \quad '$ 0 22 0	— 0,64	— 5,66	$^t \quad ^h \quad '$ 1 9 0	— 5,62	+ 0,96
20	0,92	5,63	20	5,56	1,23
40	1,20	5,57	40	5,49	1,51
23 0	1,47	5,50	10 0	5,41	1,78
20	1,74	5,42	20	5,32	2,04
40	2,00	5,33	40	5,21	2,30
1 0 0	— 2,26	— 5,23	1 11 0	— 5,09	+ 2,56
20	2,52	5,11	20	4,96	2,80
40	2,77	4,98	40	4,82	3,04
1 0	3,01	4,84	12 0	4,66	3,28
20	3,25	4,68	20	4,50	3,50
40	3,47	4,52	40	4,32	3,72
1 2 0	— 3,69	— 4,35	1 13 0	— 4,13	+ 3,93
20	3,90	4,16	20	3,93	4,13
40	4,10	3,96	40	3,72	4,32
3 0	4,29	3,75	14 0	3,50	4,50
20	4,47	3,53	20	3,28	4,66
40	4,64	3,31	40	3,04	4,82
1 4 0	— 4,80	— 3,07	1 15 0	— 2,80	+ 4,96
20	4,94	2,83	20	2,56	5,09
40	5,08	2,59	40	2,30	5,21
5 0	5,20	2,34	16 0	2,04	5,32
20	5,31	2,08	20	1,78	5,41
40	5,40	1,82	40	1,51	5,49
1 6 0	— 5,48	— 1,55	1 17 0	— 1,23	+ 5,57
20	5,55	1,27	20	0,96	5,62
40	5,61	1,00	40	0,68	5,66
7 0	5,65	0,72	18 0	0,40	5,68
20	5,68	0,44	20	— 0,12	5,70
40	5,69	— 0,16	40	+ 0,16	5,69
1 8 0	— 5,70	+ 0,12	1 19 0	+ 0,44	+ 5,68
20	5,68	0,40	20	0,72	5,65
40	5,66	0,68	40	1,00	5,61
9 0	5,62	0,96	20 0	1,27	5,55

Synodische Umlaufszeit $42^h 28',6$

TRABANT II.

Eintritte Mittl. Zt.		Eintritte Mittl. Zt.		Austritte Mittl. Zt.	
Jan. 3	[17 ^h 47' 2",7]	Mai 4	13 ^h 44' 28,6*	Spt. 2	12 ^h 9' 19,0
7	[7 5 50,1]	8	3 1 21,6	6	1 27 17,2
10	[20 24 35,2]	11	16 18 15,4	9	14 45 15,6
14	9 42 19,0	15	5 35 8,2	13	4 3 19,6
17	23 0 56,8	18	18 52 0,6	16	17 21 23,2
21	12 18 36,6	22	8 8 53,3	20	6 39 33,7*
25	1 37 8,0	25	21 25 44,4	23	19 57 41,1
28	14 54 43,1	29	10 43 36,2	27	9 15 58,4*
Febr. 1	4 13 7,8	Jun. 1	23 59 28,2	30	22 34 8,8
4	17 30 38,9	5	13 16 21,0*	Oct. 4	11 52 32,9
8	6 48 56,3	9	2 33 13,7	8	1 10 46,8
11	20 6 24,3	12	15 50 8,2	11	14 29 17,0
15	9 24 33,3	16	5 7 1,7	15	3 47 33,4
18	22 41 56,9	19	18 24 0,0	18	17 6 10,5
22	11 59 57,5	23	7 40 55,4	22	6 24 29,5*
26	1 17 17,4	26	20 57 55,4	25	19 43 14,2
Mrz. 1	14 35 10,4	30	10 14 54,9*	29	9 1 33,1
5	3 52 26,0	Jul. 3	23 31 56,5	Nov. 1	22 20 23,3
8	17 10 11,3*	Austritte.		5	11 38 46,9
12	6 27 23,1	7	15 28 22,8	9	0 57 42,0
15	19 45 0,7	11	4 45 36,8	12	14 16 7,4
19	9 2 8,1	14	18 2 53,9	16	3 35 7,6
22	22 19 38,5	18	7 20 11,4	19	16 53 33,4
26	11 36 45,4	21	20 37 33,4	23	6 12 39,2*
30	0 54 8,4	25	9 54 55,9*	26	19 31 4,8
Apr. 2	14 11 11,1	28	23 12 22,7	30	8 50 15,2
6	3 28 27,4	Aug. 1	12 29 51,8*	Dcb. 3	22 8 40,4
9	16 45 26,9*	5	1 47 24,3	7	11 27 55,1
13	6 2 37,5	8	15 4 58,2	11	0 46 21,8
16	19 19 35,8	12	4 22 36,2	14	14 5 38,7
20	8 36 40,0	15	17 40 15,4	18	3 24 5,9
23	21 53 36,3	19	6 57 59,2	21	[16 43 25,5]
27	11 10 37,1	23	20 15 44,4	25	[6 1 52,3]
Mai 1	0 27 31,3	26	9 33 33,0*	28	[19 21 15,2]
		29	22 51 25,1		

TRABANT II.

Geoc. Ob. Conj. Mittl. Zt.			$\frac{a}{b}$	Geoc. Ob. Conj. Mittl. Zt.			$\frac{a}{b}$	Geoc. Ob. Conj. Mittl. Zt.			$\frac{a}{b}$
Jan. 3	19 39,1 ^h	—47,1		Mai 4	17 24,6 ^h	—67,1		Spt. 2	8 26,4 ^h	—81,2	
	7 9 4,6				8 6 37,1				5 21 40,1		
	10 22 30,0	—48,0			11 19 49,1	—68,2			9 10 54,4	—82,4	
	14 11 55,4				15 9 0,6				13 0 9,4		
	18 1 20,6	—48,9			18 22 11,5	—69,3			16 13 24,9	—83,8	
	21 14 45,6				22 11 21,9				20 2 41,0		
	25 4 10,5	—50,0			26 0 31,7	—70,3			23 15 57,6	—85,3	
	28 17 35,4				29 13 40,8				27 5 14,9		
Febr. 1	7 0,0	—51,0		Jun. 2	2 49,5	—71,2			30 18 32,6	—86,9	
	4 20 24,2				5 15 57,8			Oct. 4	7 50,9		
	8 9 48,2	—52,0			9 5 5,7	—72,0			7 21 9,8	—88,8	
	11 23 11,9				12 18 13,3				11 10 29,2		
	15 12 35,2	—53,1			16 7 20,6	—72,8			14 23 49,0	—90,9	
	19 1 58,3				19 20 27,6				18 13 9,3		
	22 15 21,1	—54,3			23 9 34,3	—73,5			22 2 30,1	—93,5	
	26 4 43,6				26 22 40,9				25 15 51,4		
Mrz. 1	18 5,7	—55,6			30 11 47,4	—74,2			29 5 13,1	—96,5	
	5 7 27,3			Jul. 4	0 53,8			Nov. 1	18 35,3		
	8 20 48,5	—56,9			7 14 0,1	—74,8			5 7 57,8	—100,0	
	12 10 9,4				11 3 6,5				8 21 20,7		
	15 23 29,8	—58,2			14 16 13,1	—75,4			12 10 43,9	—103,9	
	19 12 49,9				18 5 20,0				16 0 7,2		
	23 2 9,6	—59,4			21 18 27,1	—76,1			19 13 30,7	—108,3	
	26 15 28,8				25 7 34,6				23 2 54,3		
	30 4 47,5	—60,7			28 20 42,4	—76,7			26 16 18,1	—113,4	
Apr. 2	18 5,7			Aug. 1	9 50,5				30 5 42,3		
	6 7 23,4	—62,1			4 22 58,9	—77,4		Dec. 3	19 6,8	—119,6	
	9 20 40,5				8 12 7,9				7 8 31,5		
	13 9 57,1	—63,4			12 1 17,4	—78,2			10 21 56,3	—126,5	
	16 23 13,1				15 14 27,5				14 11 20,9		
	20 12 28,6	—64,7			19 3 38,1	—79,1			18 0 44,8	—135,3	
	24 1 43,5				22 16 49,3				21 14 9,5		
	27 14 57,7	—65,9			26 6 1,1	—80,1			25 3 33,4	—146,0	
Mai 1	4 11,4				29 19 13,4				28 16 58,0		

TRABANT II.

t — Ob. Conj.	x	y'	t — Ob. Conj.	x	y'
$0^{\text{h}} 0^{\text{m}} 0^{\text{s}}$	+ 0,00	+ 9,07	$0^{\text{h}} 22^{\text{m}} 0^{\text{s}}$	+ 9,05	— 0,45
0 0 40	0,45	9,05	22 40	9,02	0,89
1 20	0,89	9,02	23 20	8,97	1,34
2 0	1,33	8,97	1 0 0	8,89	1,78
2 40	1,77	8,89	0 40	8,79	2,21
3 20	2,20	8,79	1 20	8,67	2,64
0 4 0	+ 2,63	+ 8,68	1 2 0	+ 8,53	— 3,06
4 40	3,05	8,54	2 40	8,37	3,48
5 20	3,47	8,38	3 20	8,19	3,88
6 0	3,88	8,20	4 0	7,99	4,28
6 40	4,28	8,00	4 40	7,77	4,66
7 20	4,67	7,78	5 20	7,53	5,04
0 8 0	+ 5,04	+ 7,54	1 6 0	+ 7,27	— 5,41
8 40	5,40	7,28	6 40	7,00	5,76
9 20	5,75	7,01	7 20	6,71	6,10
10 0	6,09	6,72	8 0	6,40	6,42
10 40	6,41	6,41	8 40	6,08	6,72
11 20	6,72	6,09	9 20	5,74	7,01
0 12 0	+ 7,01	+ 5,75	1 10 0	+ 5,39	— 7,28
12 40	7,28	5,40	10 40	5,03	7,54
13 20	7,54	5,03	11 20	4,66	7,78
14 0	7,78	4,66	12 0	4,27	8,00
14 40	8,00	4,27	12 40	3,87	8,20
15 20	8,20	3,88	13 20	3,46	8,38
0 16 0	+ 8,38	+ 3,47	1 14 0	+ 3,04	— 8,54
16 40	8,54	3,06	14 40	2,62	8,68
17 20	8,68	2,63	15 20	2,19	8,80
18 0	8,80	2,20	16 0	1,76	8,89
18 40	8,89	1,76	16 40	1,32	8,97
19 20	8,97	1,32	17 20	0,88	9,02
0 20 0	+ 9,02	+ 0,88	1 18 0	+ 0,44	— 9,05
20 40	9,05	+ 0,44	18 40	— 0,01	9,07
21 20	9,07	— 0,01	19 20	0,46	9,05
22 0	9,05	0,45	20 0	— 0,90	9,02

Synod. Umlaufszeit $85^{\text{h}} 17,9$

TRABANT II.

t - Ob. Conj.	x	y'	t - Ob. Conj.	x	y'
$1^{\text{t}} 20^{\text{h}} 0'$	— 0,90	— 9,02	$2^{\text{t}} 18^{\text{h}} 0'$	— 8,97	+ 1,35
20 40	1,34	8,97	18 40	8,89	1,79
21 20	1,78	8,89	19 20	8,79	2,22
22 0	2,21	8,79	20 0	8,67	2,65
22 40	2,64	8,67	20 40	8,53	3,07
23 20	3,06	8,53	21 20	8,37	3,49
$2^{\text{t}} 0^{\text{h}} 0'$	— 3,48	— 8,37	$2^{\text{t}} 22^{\text{h}} 0'$	— 8,19	+ 3,89
0 40	3,89	8,19	22 40	7,99	4,29
1 20	4,29	7,99	23 20	7,77	4,67
2 0	4,68	7,77	$3^{\text{t}} 0^{\text{h}} 0'$	7,53	5,05
2 40	5,05	7,53	0 40	7,27	5,42
3 20	5,41	7,27	1 20	7,00	5,77
$2^{\text{t}} 4^{\text{h}} 0'$	— 5,76	— 7,00	$3^{\text{t}} 2^{\text{h}} 0'$	— 6,71	+ 6,11
4 40	6,10	6,71	2 40	6,40	6,43
5 20	6,42	6,40	3 20	6,08	6,73
6 0	6,73	6,08	4 0	5,74	7,02
6 40	7,02	5,74	4 40	5,39	7,29
7 20	7,29	5,39	5 20	5,02	7,55
$2^{\text{t}} 8^{\text{h}} 0'$	— 7,55	— 5,02	$3^{\text{t}} 6^{\text{h}} 0'$	— 4,64	+ 7,79
8 40	7,79	4,65	6 40	4,25	8,01
9 20	8,00	4,26	7 20	3,86	8,21
10 0	8,20	3,87	8 0	3,45	8,38
10 40	8,38	3,46	8 40	3,04	8,54
11 20	8,54	3,04	9 20	2,61	8,68
$2^{\text{t}} 12^{\text{h}} 0'$	— 8,68	— 2,62	$3^{\text{t}} 10^{\text{h}} 0'$	— 2,18	+ 8,80
12 40	8,80	2,19	10 40	1,75	8,90
13 20	8,90	1,75	11 20	1,31	8,98
14 0	8,97	1,31	12 0	0,87	9,03
14 40	9,02	0,87	12 40	— 0,43	9,06
15 20	9,05	— 0,43	13 20	+ 0,02	9,07
$2^{\text{t}} 16^{\text{h}} 0'$	— 9,07	+ 0,02	$3^{\text{t}} 14^{\text{h}} 0'$	+ 0,47	+ 9,06
16 40	9,05	0,47	14 40	0,91	9,02
17 20	9,02	0,91	15 20	1,35	8,97
18 0	8,97	1,35	16 0	1,79	8,89

Synod. Umlaufszeit $85^{\text{h}} 17',9$

TRABANT III.

Mitte der Verfinster. Mittl. Zt.			Verfinster. Halbe Dauer.	Geocentr. Ob. Conj. Mittl. Zt.			$\frac{a}{b}$
Jan.	5	20 ^h 32' 24,0	1 26' 23,1	Jan.	5	21 ^h 51,3	— 47,3
	13	0 31 48,8	1 26 49,7		13	2 20,1	— 48,3
	20	4 30 34,2	1 27 16,1		20	6 47,4	— 49,3
	27	8 29 17,8	1 27 42,4		27	11 13,6	— 50,4
Febr.	3	12 27 26,2	1 28 8,4	Febr.	3	15 37,7	— 51,4
	10	16 25 53,0	1 28 34,0		10	20 0,3	— 52,5
	17	20 24 31,8	1 28 59,3		18	0 21,4	— 53,6
	25	0 23 6,5	1 29 24,0		25	4 40,4	— 54,8
Mrz.	4	4 22 15,7	1 29 48,6	Mrz.	4	8 57,6	— 56,1
	11	8 20 47,8	1 30 14,0		11	13 10,9	— 57,3
	18	12 19 19,9	1 30 39,5		18	17 21,6	— 58,6
	25	16 17 31,6	1 31 4,8		25	21 28,6	— 59,9
Apr.	1	20 15 45,8	1 31 29,9	Apr.	2	1 31,9	— 61,3
	9	0 14 27,1	1 31 54,7		9	5 31,8	— 62,7
	16	4 13 6,9	1 32 19,3		16	9 27,6	— 64,0
	23	8 12 24,9	1 32 43,7		23	13 19,5	— 65,2
	30	12 11 9,7	1 33 7,9		30	17 6,6	— 66,4
Mai	7	16 9 57,7	1 33 31,9	Mai	7	20 48,8	— 67,5
	14	20 8 31,9	1 33 55,6		15	0 26,4	— 68,7
	22	0 7 14,9	1 34 18,8		22	3 59,5	— 69,8
	29	4 6 30,9	1 34 41,8		29	7 29,0	— 70,8
Jun.	5	8 5 48,9	1 35 4,6	Jun.	5	10 54,7	— 71,6
	12	12 5 48,5	1 35 27,4		12	14 17,2	— 72,4
	19	16 5 18,4	1 35 49,7		19	17 37,0	— 73,1
	26	20 4 54,3	1 36 11,6		26	20 54,0	— 73,7
Jul.	4	0 4 21,7	1 36 33,2	Jul.	4	0 10,7	— 74,4
	11	4 4 1,0	1 36 54,6		11	3 26,9	— 75,1
	18	8 4 16,6	1 37 15,8		18	6 44,5	— 75,7
	25	12 4 32,6	1 37 36,7		25	10 4,0	— 76,4
Aug.	1	16 5 28,4	1 37 57,4	Aug.	1	13 26,5	— 77,1
	8	20 5 52,5	1 38 17,8		8	16 51,8	— 77,8
	16	0 6 18,9	1 38 37,5		15	20 20,5	— 78,6
	23	4 6 35,6	1 38 56,8		22	23 53,8	— 79,6
	30	8 7 1,2	1 39 16,2		30	3 31,5	— 80,7
Spt.	6	12 7 59,3	1 39 35,3	Spt.	6	7 14,4	— 81,9
	13	16 8 50,7	1 39 54,0		13	11 1,6	— 83,3
	20	20 10 15,5	1 40 12,3		20	14 54,3	— 84,7
	28	0 11 2,8	1 40 30,3		27	18 50,6	— 86,2

TRABANT III.

Mitte der Verfinster. Mittl. Zt.			Verfinster. Halbe Dauer.	Geocentr Ob. Conj. Mittl. Zt.		$\frac{a}{b}$
Oct. 5	^h 4 ['] 11 ["] 45,9	^h 1 ['] 40 ["] 47,9	Oct. 4	^h 22 ['] 51,3	—	88,0
12	8 12 14,8	1 41 4,6	12	2 55,4	—	90,0
19	12 12 48,1	1 41 20,9	19	7 3,8	—	92,4
26	16 13 49,6	1 41 37,3	26	11 16,0	—	95,2
Nov. 2	20 14 38,7	1 41 53,3	Nov. 2	15 31,3	—	98,5
10	0 15 56,0	1 42 8,7	9	19 49,4	—	102,2
17	4 16 31,7	1 42 23,8	17	0 9,8	—	106,5
24	8 16 57,9	1 42 38,6	24	4 32,5	—	111,5
Dcb. 1	12 17 8,2	1 42 53,1	Dcb. 1	8 56,7	—	117,2
8	16 17 20,1	1 43 7,2	8	13 22,7	—	124,0
15	20 17 58,9	1 43 20,8	15	17 50,7	—	132,3
23	0 18 20,6	1 43 34,0	22	22 19,5	—	142,4
30	4 19 7,2	1 43 46,8	30	2 49,9	—	154,9

TRABANT IV.

Jan. 1	1 39 20,4		Jan. 1	3 57,7	—	53,3
17	19 40 36,4		18	0 39,6	—	55,5
Febr. 3	13 42 1,1		Febr. 3	21 8,7	—	58,0
20	7 43 5,1		20	17 15,6	—	61,0
Mrz. 9	1 43 51,0	0 16 27	Mrz. 9	12 52,8	—	64,1
25	19 45 0,7	0 33 50	26	7 53,1	—	67,4
Apr. 11	13 46 4,9	0 44 59	Apr. 12	2 6,4	—	70,9
28	7 47 16,5	0 54 5	28	19 26,1	—	74,4
Mai 15	1 49 18,8	1 1 38	Mai 15	11 48,5	—	77,9
31	19 51 40,7	1 8 31	Jun. 1	3 14,6	—	81,1
Jun. 17	13 54 43,1	1 14 43	17	17 54,9	—	84,1
Jul. 4	7 59 7,5	1 20 14	Jul. 4	8 9,6	—	87,0
21	2 4 58,7	1 25 36	20	22 23,1	—	90,0
Aug. 6	20 9 36,4	1 30 28	Aug. 6	13 0,1	—	93,1
23	14 16 34,3	1 34 53	23	4 23,0	—	96,5
Spt. 9	8 23 40,0	1 39 14	Spt. 8	20 44,6	—	100,5
26	2 31 12,5	1 43 11	25	14 4,4	—	105,3
Oct. 12	20 39 35,7	1 46 54	Oct. 12	8 19,9	—	111,1
29	14 47 36,9	1 50 30	29	3 22,6	—	119,1
Nov. 15	8 55 38,0	1 53 51	Nov. 14	23 5,5	—	129,7
Dcb. 2	3 4 10,9	1 56 55	Dcb. 1	19 19,1	—	145,8
18	21 12 0,7	1 59 51	18	15 55,0	—	169,4

TRABANT III.

t — Ob. Conj.	x	y'	t — Ob. Conj.	x	y'
$\begin{smallmatrix} t & h & ' \\ 0 & 0 & 0 \end{smallmatrix}$	$+$ 0,00	$+$ 14,46	$\begin{smallmatrix} t & h & ' \\ 1 & 20 & 0 \end{smallmatrix}$	$+$ 14,45	$-$ 0,53
1 20	0,71	14,44	21 20	14,41	1,23
2 40	1,41	14,39	22 40	14,33	1,93
4 0	2,11	14,31	2 0 0	14,22	2,63
5 20	2,80	14,19	1 20	14,08	3,32
6 40	3,49	14,04	2 40	13,90	4,00
8 0	$+$ 4,17	$+$ 13,85	2 4 0	$+$ 13,69	$-$ 4,67
9 20	4,83	13,63	5 20	13,44	5,33
10 40	5,49	13,38	6 40	13,16	5,98
12 0	6,14	13,09	8 0	12,86	6,61
13 20	6,77	12,78	9 20	12,53	7,23
14 40	7,38	12,43	10 40	12,16	7,83
16 0	$+$ 7,98	$+$ 12,06	2 12 0	$+$ 11,77	$-$ 8,42
17 20	8,56	11,66	13 20	11,34	8,98
18 40	9,12	11,23	14 40	10,89	9,52
20 0	9,65	10,77	16 0	10,41	10,04
21 20	10,16	10,29	17 20	9,91	10,53
22 40	10,65	9,78	18 40	9,38	11,00
1 0 0	$+$ 11,12	$+$ 9,25	2 20 0	$+$ 8,83	$-$ 11,45
1 20	11,55	8,70	21 20	8,27	11,86
2 40	11,96	8,13	22 40	7,68	12,25
4 0	12,35	7,54	3 0 0	7,08	12,61
5 20	12,70	6,93	1 20	6,46	12,94
6 40	13,02	6,30	2 40	5,82	13,24
1 8 0	$+$ 13,31	$+$ 5,66	3 4 0	$+$ 5,17	$-$ 13,51
9 20	13,57	5,00	5 20	4,50	13,74
10 40	13,80	4,33	6 40	3,82	13,95
12 0	13,99	3,65	8 0	3,14	14,12
13 20	14,15	2,97	9 20	2,45	14,26
14 40	14,28	2,28	10 40	1,75	14,36
1 16 0	$+$ 14,38	$+$ 1,58	3 12 0	$+$ 1,05	$-$ 14,43
17 20	14,44	0,88	13 20	$+$ 0,35	14,46
18 40	14,46	$+$ 0,17	14 40	$-$ 0,36	14,45
20 0	14,45	$-$ 0,53	16 0	1,06	14,42

Synod. Umlaufszeit $7^t 3^h 59',6$

TRABANT III.

t — Ob. Conj.	x	y	t — Ob. Conj.	x	y
^t ^h ['] 3 16 0	— 1,06	— 14,42	^t ^h ['] 5 12 0	— 14,37	+ 1,58
17 20	1,76	14,35	13 20	14,28	2,28
18 40	2,46	14,25	14 40	14,15	2,97
20 0	3,15	14,12	16 0	13,99	3,66
21 20	3,83	13,95	17 20	13,80	4,34
22 40	4,50	13,75	18 40	13,57	5,00
4 0 0	— 5,17	— 13,51	5 20 0	— 13,31	+ 5,66
1 20	5,82	13,24	21 20	13,02	6,30
2 40	6,46	12,94	22 40	12,70	6,93
4 0	7,08	12,61	6 0 0	12,34	7,54
5 20	7,69	12,25	1 20	11,96	8,13
6 40	8,28	11,86	2 40	11,55	8,70
4 8 0	— 8,84	— 11,45	6 4 0	— 11,11	+ 9,25
9 20	9,39	11,00	5 20	10,65	9,78
10 40	9,91	10,53	6 40	10,16	10,29
12 0	10,41	10,04	8 0	9,65	10,77
13 20	10,89	9,52	9 20	9,11	11,23
14 40	11,34	8,98	10 40	8,55	11,66
4 16 0	— 11,76	— 8,41	6 12 0	— 7,98	+ 12,07
17 20	12,16	7,83	13 20	7,38	12,44
18 40	12,53	7,23	14 40	6,76	12,79
20 0	12,86	6,61	16 0	6,13	13,10
21 20	13,17	5,98	17 20	5,49	13,38
22 40	13,44	5,33	18 40	4,83	13,63
5 0 0	— 13,69	— 4,67	6 20 0	— 4,16	+ 13,85
1 20	13,90	4,00	21 20	3,48	14,04
2 40	14,08	3,31	22 40	2,79	14,19
4 0	14,22	2,62	7 0 0	2,10	14,31
5 20	14,33	1,93	1 20	1,40	14,39
6 40	14,41	1,23	2 40	— 0,70	14,44
5 8 0	— 14,45	— 0,52	7 4 0	+ 0,00	— 14,46
9 20	14,46	+ 0,18	5 20	0,71	14,44
10 40	14,43	0,88	6 40	1,41	14,39
12 0	14,37	1,58	8 0	2,11	14,31

Synod. Umlaufszeit 7^t 3^h 59',6

TRABANT IV.

$t - \text{Ob. Conj.}$	x	y'	$t - \text{Ob. Conj.}$	x	y'
t^h			t^h		
0 0	+ 0,00	+ 25,44	4 6	+ 25,43	- 0,59
3	1,19	25,41	9	25,37	1,78
6	2,38	25,32	12	25,26	2,97
9	3,56	25,18	15	25,10	4,15
12	4,74	24,99	18	24,87	5,32
15	5,91	24,74	21	24,60	6,48
0 18	+ 7,06	+ 24,44	5 0	+ 24,27	- 7,62
21	8,20	24,08	3	23,89	8,75
1 0	9,32	23,67	6	23,45	9,86
3	10,42	23,20	9	22,96	10,95
6	11,49	22,69	12	22,42	12,01
9	12,54	22,13	15	21,83	13,05
1 12	+ 13,57	+ 21,52	5 18	+ 21,20	- 14,06
15	14,56	20,86	21	20,52	15,04
18	15,52	20,15	6 0	19,79	15,98
21	16,45	19,40	3	19,02	16,89
2 0	17,34	18,61	6	18,20	17,76
3	18,19	17,77	9	17,35	18,60
2 6	+ 19,01	+ 16,90	6 12	+ 16,46	- 19,39
9	19,78	15,99	15	15,53	20,14
12	20,51	15,05	18	14,57	20,85
15	21,19	14,08	21	13,58	21,51
18	21,82	13,07	7 0	12,56	22,12
21	22,41	12,03	3	11,51	22,68
3 0	+ 22,95	+ 10,97	7 6	+ 10,43	- 23,20
3	23,44	9,88	9	9,33	23,66
6	23,88	8,77	12	8,21	24,07
9	24,26	7,64	15	7,07	24,43
12	24,59	6,49	18	5,92	24,74
15	24,87	5,33	21	4,76	24,99
3 18	+ 25,09	+ 4,16	8 0	+ 3,58	- 25,18
21	25,26	2,98	3	2,40	25,32
4 0	25,37	1,80	6	1,21	25,41
3	25,43	+ 0,61	9	+ 0,02	25,44
6	25,43	- 0,59	12	- 1,18	25,41

Synod. Umlaufszeit $16^t 18^h 5',1$

TRABANT IV.

$t - \text{Ob. Conj.}$	x	y'	$t - \text{Ob. Conj.}$	x	y'
$8^t 12^h$	— 1,18	— 25,41	$12^t 18^h$	— 25,38	+ 1,76
15	2,37	25,33	21	25,27	2,95
18	3,55	25,19	13 0	25,10	4,13
21	4,72	25,00	3	24,88	5,30
9 0	5,89	24,74	6	24,60	6,46
3	7,04	24,44	9	24,27	7,61
9 6	— 8,18	— 24,08	13 12	— 23,89	+ 8,74
9	9,30	23,67	15	23,46	9,85
12	10,40	23,21	18	22,97	10,93
15	11,48	22,70	21	22,43	12,00
18	12,53	22,14	14 0	21,84	13,04
21	13,55	21,53	3	21,20	14,05
10 0	— 14,55	— 20,87	14 6	— 20,52	+ 15,02
3	15,51	20,16	9	19,80	15,97
6	16,44	19,41	12	19,03	16,88
9	17,33	18,62	15	18,22	17,75
12	18,18	17,79	18	17,36	18,59
15	18,99	16,92	21	16,47	19,38
10 18	— 19,77	— 16,01	15 0	— 15,55	+ 20,13
21	20,50	15,07	3	14,59	20,84
11 0	21,18	14,09	6	13,60	21,50
3	21,81	13,08	9	12,57	22,11
6	22,40	12,04	12	11,52	22,68
9	22,94	10,98	15	10,45	23,19
11 12	— 23,43	— 9,89	15 18	— 9,35	+ 23,66
15	23,87	8,79	21	8,23	24,07
18	24,26	7,66	16 0	7,09	24,43
21	24,59	6,51	3	5,94	24,73
12 0	24,87	5,35	6	4,77	24,98
3	25,09	4,18	9	3,60	25,18
12 6	— 25,26	— 3,00	16 12	— 2,42	+ 25,32
9	25,37	1,81	15	1,23	25,41
12	25,43	— 0,62	18	— 0,03	25,44
15	25,43	+ 0,57	21	+ 1,16	25,41
18	25,38	+ 1,76	17 0	+ 2,35	25,31

Synod. Umlaufszeit $16^t 18^h 5',1$

Lage und Gröfse des Saturns-Ringes

nach
BESSEL und STRUVE.

12 ^h	<i>p</i>	<i>l</i>	<i>a</i>	<i>b</i>
Jan. 0	— 7° 25'	— 14° 38'	46,00	— 11,62
Febr. 9	— 7 33	— 15 57	46,96	— 12,91
Mrz. 21	— 7 40	— 17 2	45,26	— 13,25
Apr. 30	— 7 40	— 17 4	42,22	— 12,40
Jun. 9	— 7 34	— 16 2	39,49	— 10,90
Jul. 19	— 7 22	— 14 12	37,90	— 9,30
Aug. 28	— 7 5	— 12 2	37,67	— 7,86
Oct. 7	— 6 48	— 10 1	38,87	— 6,76
Nov. 16	— 6 36	— 8 44	41,32	— 6,27
Decb. 26	— 6 34	— 8 40	44,34	— 6,68

p.....Winkel der kleinen halben Axe der Ring-Ellipse mit dem Deklinations-Kreise, östlich positiv, westlich negativ.

l.....Erhöhungs-Winkel der Erde über der Ring-Ebene vom Saturn aus gesehen, nördlich positiv, südlich negativ.

a.....Halbe große Axe der Ring-Ellipse.

b.....Halbe kleine Axe, positiv wenn die nördliche Fläche des Ringes sichtbar ist, negativ wenn die südliche.



Oerter der Haupt-Sterne

für 1830.

Epoche: Culminations-Zeit für Berlin.

Reductions-Formeln

nach

BESSEL.

Allgemeine Praecession 50'', 231

$$\begin{aligned}
 A &= t - 0,02652 \sin 2\odot - 0,33316 \sin \oslash + 0,00401 \sin 2 \oslash \\
 B &= - 0'',580 \cos 2\odot - 8'',977 \cos \oslash + 0'',088 \cos 2 \oslash \\
 C &= - 20,255 \cos \varepsilon \cos \odot \\
 D &= - 20,255 \sin \odot
 \end{aligned}$$

$$\begin{aligned}
 a &= 46'',053 + 20'',057 \operatorname{tg} \delta \sin \alpha \\
 b &= \operatorname{tg} \delta \cos \alpha \\
 c &= \sec \delta \cos \alpha \\
 d &= \sec \delta \sin \alpha
 \end{aligned}$$

$$\begin{aligned}
 a' &= 20'',057 \cos \alpha \\
 b' &= - \sin \alpha \\
 c' &= \operatorname{tg} \varepsilon \cos \delta - \sin \delta \sin \alpha \\
 d' &= \sin \delta \cos \alpha
 \end{aligned}$$

m eigne Bewegung in Gerader Aufsteigung.*m'* eigne Bewegung in Abweichung.*t* Tage seit Anfang des Jahres in Theilen des Jahres ausgedrückt.

$$AR \text{ app.} = AR \text{ 1830} + Aa + Bb + Cc + Dd + tm$$

$$Decl. \text{ app.} = Decl. \text{ 1830} + Aa' + Bb' + Cc' + Dd' + tm'$$

Setzt man

$$\begin{array}{ll}
 A \ 20'',057 = g \cos G & D = h \cos H \\
 B \quad \quad \quad = g \sin G & C = h \sin H \\
 A \ 46'',053 = f & C \operatorname{tg} \varepsilon = i
 \end{array}$$

so wird

$$AR \text{ app.} = AR \text{ 1830} + f + tm + g \sin (G + \alpha) \operatorname{tg} \delta + h \sin (H + \alpha) \sec \delta.$$

$$Decl. \text{ app.} = Decl. \text{ 1830} + i \cos \delta + tm' + g \cos (G + \alpha) + h \cos (H + \alpha) \sin \delta$$

Mittlere Oerter der Haupt-Sterne für 1830

nach

B E S S E L.

Namen.	Mittl. A. R. 1830	Jährl. Veränd. 1830	Mittl. Decl. 1830	Jährl. Veränd. 1830
γ Pegasi	0 ^h 4' 29,455	+ 3,0795	+ 14 ^o 14' 16,49	+ 20,026
α Cassiop.	0 30 54,657	+ 3,3389	+ 55 36 12,67	+ 19,828
α Arietis	1 57 36,404	+ 3,3576	+ 22 39 15,70	+ 17,325
α Ceti	2 53 24,030	+ 3,1237	+ 3 25 2,42	+ 14,459
α Persei	3 12 13,766	+ 4,2299	+ 49 14 54,09	+ 13,357
α Tauri	4 26 10,416	+ 3,4303	+ 16 9 35,48	+ 7,809
α Aurigae	5 4 8,595	+ 4,4148	+ 45 48 53,59	+ 4,415
β Orion	5 6 22,224	+ 2,8787	- 8 24 17,82	+ 4,620
β Tauri	5 15 33,058	+ 3,7861	+ 28 27 17,25	+ 3,658
α Orion.	5 45 58,190	+ 3,2455	+ 7 22 3,12	+ 1,220
α Can. maj.	6 37 39,268	+ 2,6441	- 16 29 22,17	- 4,521
α Gemin. (*)	7 23 44,061	+ 3,8424	+ 32 15 8,89	- 7,243
α Can. min.	7 30 23,907	+ 3,1469	+ 5 39 12,74	- 8,779
β Gemin.	7 34 54,069	+ 3,6845	+ 28 25 44,42	- 8,136
α Hydrae	9 19 13,891	+ 2,9473	- 7 55 34,55	- 15,300
α Leonis	9 59 18,576	+ 3,2045	+ 12 47 40,36	- 17,333
α Urs. maj.	10 53 9,761	+ 3,7963	+ 62 39 59,99	- 19,305
β Leonis	11 40 22,910	+ 3,0663	+ 15 31 19,19	- 20,087
β Virgin.	11 41 50,365	+ 3,1244	+ 2 43 19,90	- 20,292
γ Urs. maj.	11 44 51,166	+ 3,2092	+ 54 38 22,67	- 20,035
α Virgin.	13 16 14,849	+ 3,1465	- 10 16 17,88	- 19,012
η Urs. maj.	13 40 50,026	+ 2,3778	+ 50 9 51,81	- 18,172
α Beotis	14 7 54,573	+ 2,7324	+ 20 4 15,45	- 18,987
1 α Librae	14 41 17,870	+ 3,3008	- 15 17 7,16	- 15,374
2 α Librae	14 41 29,250	+ 3,3028	- 15 19 48,63	- 15,343
β Urs. min.	14 51 17,597	- 0,2915	+ 74 51 0,58	- 14,760
α Coronae	15 27 29,506	+ 2,5365	+ 27 17 29,76	- 12,453
α Serpent.	15 35 53,992	+ 2,9494	+ 6 57 57,10	- 11,756
α Scorpii	16 18 59,827	+ 3,6624	- 26 2 49,25	- 8,601
α Herculis	17 6 53,940	+ 2,7308	+ 14 35 24,50	- 4,575

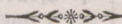
(*) Bei α Gemin. ist die Ger. Aufsteig. das Mittel beider Sterne, die Abweichung die des folgenden.

Mittlere Oerter der Haupt-Sterne für 1830

nach

BESSEL.

Namen.	Mittl. A. R. 1830	Jährl. Veränd. 1830	Mittl. Abweichg. 1830	Jährl. Veränd. 1830
α Ophiuch.	17 27' 2,704	+ 2,7773	+ 12 41' 24,61	— 3,085
γ Dracon.	17 52 39,741	+ 1,3929	+ 51 30 42,51	— 0,699
α Lyrae	18 31 10,981	+ 2,0301	+ 38 37 47,54	+ 2,991
γ Aquilae	19 38 10,646	+ 2,8549	+ 10 12 17,02	+ 8,324
α Aquilae	19 42 29,280	+ 2,9285	+ 8 25 30,90	+ 9,040
β Aquilae	19 46 57,776	+ 2,9500	+ 5 59 15,90	+ 8,525
1 α Capric.	20 8 13,160	+ 3,3327	— 13 1 39,57	+ 10,622
2 α Capric.	20 8 37,014	+ 3,3371	— 13 3 57,19	+ 10,650
α Cygni	20 35 38,294	+ 2,0412	+ 44 40 34,21	+ 12,586
α Cephei	21 14 30,988	+ 1,4404	+ 61 52 1,44	+ 15,036
β Cephei	21 26 26,099	+ 0,8131	+ 69 48 54,97	+ 15,658
α Aquarii	21 57 3,000	+ 3,0836	— 1 8 33,42	+ 17,218
α Pisc. austr.	22 48 14,510	+ 3,3391	— 30 31 20,25	+ 18,851
α Pegasi	22 56 17,880	+ 2,9815	+ 14 17 31,69	+ 19,270
α Androm.	23 59 36,906	+ 3,0786	+ 28 9 5,65	+ 19,906



(*) Bei einem Vergleich der Mittel der Beobachtungen mit den berechneten, so ergab sich, dass die Abweichungen der Beobachtungen von den berechneten, im Allgemeinen sehr geringe waren.

Obere Culmination.

1830	α URSAE MINORIS.		δ URSAE MINORIS.	
	Ger. Aufstg.	Abweichg.	Ger. Aufstg.	Abweichg.
	^h 0	^o 88	^h 18	^o 86
Jan. 0	59' 58,03	24' 25,45	26' 46,76	35' 14,76
1	57,24 ⁷⁹	25,50 ⁵	46,76 ⁰	14,44 ³²
2	56,48 ⁷⁶	25,54 ⁴	46,77 ¹	14,11 ³³
3	55,77 ⁷¹	25,58 ⁴	46,77 ⁰	13,81 ³⁰
4	55,07 ⁷⁰	25,63 ⁵	46,76 ¹	13,52 ²⁹
5	54,40 ⁶⁷	25,69 ⁶	46,75 ¹	13,21 ³¹
6	53,72 ⁶⁸	25,76 ⁷	46,73 ²	12,90 ³¹
7	53,02 ⁷⁰	25,82 ⁶	46,71 ²	12,57 ³³
8	52,26 ⁷⁶	25,90 ⁸	46,70 ¹	12,23 ³⁴
9	51,47 ⁷⁹	25,97 ⁷	46,71 ¹	11,86 ³⁷
10	50,63 ⁸⁴	26,01 ⁴	46,73 ²	11,49 ³⁷
11	49,78 ⁸⁵	26,05 ⁴	46,78 ⁵	11,11 ³⁸
12	48,90 ⁸⁸	26,06 ¹	46,84 ⁶	10,74 ³⁷
13	48,03 ⁸⁷	26,03 ³	46,93 ⁹	10,39 ³⁵
14	47,19 ⁸⁴	25,99 ⁴	47,03 ¹⁰	10,05 ³⁴
15	46,40 ⁷⁹	25,95 ⁴	47,13 ¹⁰	9,73 ³²
16	45,64 ⁷⁶	25,92 ³	47,24 ¹¹	9,43 ³⁰
17	44,93 ⁷¹	25,87 ⁵	47,34 ¹⁰	9,14 ²⁹
18	44,25 ⁶⁸	25,83 ⁴	47,43 ⁹	8,86 ²⁸
19	43,57 ⁶⁸	25,79 ⁴	47,51 ⁸	8,56 ³⁰
20	42,88 ⁶⁹	25,77 ²	47,59 ⁸	8,26 ³⁰
21	42,16 ⁷²	25,76 ¹	47,67 ⁸	7,95 ³¹
22	41,40 ⁷⁶	25,74 ²	47,76 ⁹	7,61 ³⁴
23	40,61 ⁷⁹	25,71 ³	47,86 ¹⁰	7,27 ³⁴
24	39,78 ⁸³	25,67 ⁴	47,99 ¹³	6,92 ³⁵
25	38,94 ⁸⁴	25,61 ⁶	48,14 ¹⁵	6,56 ³⁶
26	38,09 ⁸⁵	25,52 ⁹	48,30 ¹⁶	6,23 ³³
27	37,26 ⁸³	25,42 ¹⁰	48,49 ¹⁹	5,91 ³²
28	36,49 ⁷⁷	25,29 ¹³	48,69 ²⁰	5,61 ³⁰
29	35,74 ⁷⁵	25,15 ¹⁴	48,88 ¹⁹	5,33 ²⁸
30	35,05 ⁶⁹	25,03 ¹²	49,08 ²⁰	5,06 ²⁷
31	34,39 ⁶⁶	24,89 ¹⁴	49,27 ¹⁹	4,81 ²⁵
O.C. + 0,74 cos ϕ		O.C. + 0,35 cos ϕ		
U.C. - 0,74 cos ϕ		U.C. - 0,35 cos ϕ		

Obere Culmination.

1830	α URSAE MINORIS.		δ URSAE MINORIS.	
	Ger. Aufstg.	Abweichg.	Ger. Aufstg.	Abweichg.
	^h 0	^o 88	^h 18	^o 86
Febr. 0	59' 34,39 63	24' 24,89 12	26' 49,27 18	35' 4,81 25
1	33,76 62	24,77 11	49,45 17	4,56 26
2	33,14 63	24,66 11	49,62 16	4,30 27
3	32,51 67	24,55 8	49,78 17	4,03 28
4	31,84 70	24,47 12	49,95 18	3,75 30
5	31,14 75	24,35 12	50,13 20	3,45 30
6	30,39 76	24,23 12	50,33 21	3,15 31
7	29,63 78	24,11 16	50,54 24	2,84 30
8	28,85 78	23,95 18	50,78 26	2,54 29
9	28,07 72	23,77 20	51,04 27	2,25 27
10	27,35 68	23,57 21	51,31 28	1,98 24
11	26,67 63	23,36 21	51,59 28	1,74 22
12	26,04 59	23,15 21	51,87 27	1,52 21
13	25,45 55	22,94 21	52,14 27	1,31 19
14	24,90 52	22,73 20	52,41 25	1,12 20
15	24,38 52	22,53 19	52,66 24	0,92 20
16	23,86 55	22,34 18	52,90 24	0,72 22
17	23,31 56	22,16 17	53,14 25	0,50 22
18	22,75 59	21,99 19	53,39 25	0,28 23
19	22,16 62	21,80 19	53,64 27	0,05 24
20	21,54 65	21,61 20	53,91 30	34 59,81 25
21	20,89 63	21,41 23	54,21 31	59,56 23
22	20,26 61	21,18 25	54,52 32	59,33 21
23	19,65 59	20,93 26	54,84 34	59,12 20
24	19,06 55	20,67 28	55,18 34	58,92 17
25	18,51 48	20,39 29	55,52 34	58,75 15
26	18,03 44	20,10 28	55,86 33	58,60 13
27	17,59 39	19,82 27	56,19 30	58,47 12
28	17,20 37	19,55 26	56,49 32	58,35 12
29	16,83	19,29	56,81	58,23
	O.C. + 0,74 cos ϕ		O.C. + 0,35 cos ϕ	
	U.C. - 0,74 cos ϕ		U.C. - 0,35 cos ϕ	

Obere Culmination.

1830	α URSAE MINORIS.		δ URSAE MINORIS.	
	Ger. Aufstg.	Abweichg.	Ger. Aufstg.	Abweichg.
	^h 0	^o 88	^h 18	^o 86
Mrz. 0	59' 17,20	24' 19,55	26' 56,49	34' 58,35
1	16,83 37	19,29 26	56,81 32	58,23 12
2	16,45 38	19,05 24	57,10 29	58,10 13
3	16,07 38	18,82 23	57,39 29	57,96 14
4	15,65 42	18,60 22	57,69 30	57,81 15
5	15,22 43	18,36 24	58,00 31	57,65 16
6	14,75 47	18,11 25	58,32 32	57,48 17
7	14,26 49	17,84 27	58,66 34	57,31 17
8	13,79 47	17,56 28	59,01 35	57,17 14
9	13,34 45	17,25 31	59,39 38	57,04 13
	40	32	38	10
10	12,94 35	16,93 32	59,77 38	56,94 8
11	12,59 29	16,61 32	27 0,15 38	56,86 7
12	12,30 24	16,29 32	0,53 38	56,79 4
13	12,06 19	15,97 30	0,89 36	56,75 4
14	11,87 19	15,67 29	1,23 34	56,71 4
15	11,68 18	15,38 28	1,56 33	56,67 4
16	11,50 21	15,10 28	1,88 32	56,61 6
17	11,29 23	14,83 27	2,20 32	56,55 6
18	11,06 28	14,57 26	2,53 33	56,48 7
19	10,78 28	14,29 28	2,86 33	56,40 8
	28	29	35	9
20	10,50 28	14,00 30	3,21 36	56,31 7
21	10,22 28	13,70 32	3,57 39	56,24 5
22	9,94 24	13,38 33	3,96 39	56,19 4
23	9,70 19	13,05 35	4,35 39	56,15 1
24	9,51 14	12,70 34	4,74 39	56,14 1
25	9,37 7	12,36 34	5,13 38	56,15 3
26	9,30 3	12,02 35	5,51 37	56,18 5
27	9,27 0	11,67 31	5,88 34	56,23 5
28	9,27 1	11,36 31	6,22 33	56,28 4
29	9,28 0	11,05 29	6,55 32	56,32 3
30	9,28 2	10,76 29	6,87 33	56,35 2
31	9,26	10,47	7,20	56,37
	O.C. + 0,74 cos φ		O.C. + 0,35 cos φ	
	U.C. - 0,74 cos φ		U.C. - 0,35 cos φ	

Obere Culmination.

1830	α URSAE MINORIS.		δ URSAE MINORIS.	
	Ger. Aufstg.	Abweichg.	Ger. Aufstg.	Abweichg.
	^h 0	^o 88	^h 18	^o 86
Apr. 0	59' 9,26	24' 10,47	27' 7,20	34' 56,37
1	9,22	10,20	7,52	56,38
2	9,15	9,91	7,86	56,38
3	9,07	9,62	8,21	56,39
4	8,99	9,31	8,58	56,40
5	{8,93}	{8,97}	8,95	56,44
	{8,91}	{8,64}		
6	8,93	8,30	9,33	56,49
7	9,02	7,94	9,71	56,58
8	9,15	7,61	10,09	56,68
9	9,34	7,28	10,46	56,80
10	9,54	6,96	10,79	56,93
11	9,76	6,68	11,12	57,06
12	9,96	6,41	11,42	57,18
13	10,13	6,13	11,72	57,30
14	10,28	5,87	12,02	57,40
15	10,39	5,60	12,33	57,49
16	10,51	5,31	12,64	57,58
17	10,62	5,01	12,97	57,66
18	10,78	4,70	13,30	57,77
19	10,95	4,38	13,66	57,89
20	11,19	4,05	14,01	58,03
21	11,48	3,73	14,35	58,19
22	11,83	3,41	14,68	58,37
23	12,21	3,12	15,00	58,57
24	12,60	2,85	15,29	58,78
25	13,01	2,58	15,57	58,98
26	13,38	2,35	15,82	59,17
27	13,73	2,12	16,08	59,36
28	14,06	1,87	16,33	59,53
29	14,35	1,63	16,59	59,69
30	14,64	1,38	16,86	59,84
O.C. + 0,74 cos ϕ		O.C. + 0,35 cos ϕ		
U.C. - 0,74 cos ϕ		U.C. - 0,35 cos ϕ		

Obere Culmination.

1830	α URSAE MINORIS.		δ URSAE MINORIS.	
	Ger. Aufstg.	Abweichg.	Ger. Aufstg.	Abweichg.
	h 0	88°	h 18	86°
Mai 0	59' 14,64	24' 1,38	27' 16,86	34' 59,84
1	14,94 30	1,11 27	17,14 28	0,00 16
2	15,28 34	0,83 28	17,43 29	0,18 18
3	15,66 38	0,56 27	17,73 30	0,37 19
4	16,08 42	0,26 30	18,03 30	0,59 22
5	16,57 49	23 59,99 27	18,31 28	0,83 24
6	17,08 51	59,73 26	18,58 27	1,08 25
7	17,64 56	59,48 25	18,84 26	1,36 28
8	18,21 57	59,26 22	19,07 23	1,62 26
9	18,76 55	59,05 21	19,28 21	1,88 26
	53	19	20	25
10	19,29	58,86 18	19,48 18	2,13 24
11	19,78 49	58,68 20	19,66 20	2,37 22
12	20,25 47	58,48 18	19,86 20	2,59 22
13	20,71 46	58,30 21	20,06 20	2,81 20
14	21,14 43	58,09 22	20,26 22	3,01 22
15	21,59 45	57,87 23	20,48 22	3,23 23
16	22,08 49	57,64 23	20,70 23	3,46 26
17	22,62 54	57,41 22	20,93 22	3,72 27
18	23,20 58	57,19 21	21,15 21	3,99 29
19	23,84 64	56,98 20	21,36 20	4,28 31
	67	18	17	32
20	24,51 70	58,78 14	21,56 15	4,59 31
21	25,21 70	56,60 14	21,73 13	4,91 30
22	25,91 68	56,46 13	21,88 12	5,22 30
23	26,59 64	56,32 12	22,01 12	5,52 28
24	27,23 61	56,19 13	22,13 11	5,82 26
25	27,84 57	56,07 13	22,25 11	6,10 25
26	28,41 56	55,94 14	22,36 14	6,36 26
27	28,97 55	55,81 16	22,47 15	6,61 28
28	29,52 57	55,67 16	22,61 15	6,86 28
29	30,09 60	55,51 16	22,75 15	7,12 28
30	30,69 66	55,35 16	22,90 15	7,40 28
31	31,35	55,19	23,05 15	7,68 28
	O.C. + 0,74 cos ϕ U.C. — 0,74 cos ϕ		O.C. + 0,35 cos ϕ U.C. — 0,35 cos ϕ	

Obere Culmination.

1830	α URSAE MINORIS.		δ URSAE MINORIS.	
	Ger. Aufstg.	Abweichg.	Ger. Aufstg.	Abweichg.
	h 0	o 88	h 18	o 86
Jun. 0	59' 31,35 69	23' 55,19 16	27' 23,05 14	35' 7,68 32
1	32,04 75	55,03 15	23,19 12	8,00 33
2	32,79 78	54,88 13	23,31 12	8,33 34
3	33,57 80	54,75 11	23,43 7	8,67 35
4	34,37 78	54,64 8	23,50 7	9,02 33
5	35,15 75	54,56 6	23,57 4	9,35 33
6	35,90 72	54,50 5	23,61 3	9,68 32
7	36,62 68	54,45 5	23,64 4	10,00 29
8	37,30 65	54,40 4	23,68 3	10,29 29
9	37,95 63	54,36 6	23,71 4	10,58 27
10	38,58 63	54,30 8	23,75 6	10,85 28
11	39,21 65	54,22 8	23,81 5	11,13 29
12	39,86 69	54,14 9	23,86 7	11,42 30
13	40,55 73	54,05 9	23,93 6	11,72 32
14	41,28 78	53,96 8	23,99 5	12,04 33
15	42,06 82	53,88 6	24,04 3	12,37 34
16	42,88 84	53,82 4	24,07 2	12,71 37
17	43,72 84	53,78 3	24,09 1	13,08 35
18	44,56 84	53,75 1	24,08 3	13,43 35
19	45,40 79	53,76 2	24,05 5	13,78 33
20	46,19 76	53,78 2	24,00 6	14,11 31
21	46,95 71	53,80 2	23,94 5	14,42 30
22	47,66 69	53,82 3	23,89 5	14,72 29
23	48,35 66	53,85 1	23,84 4	15,01 27
24	49,01 66	53,86 0	23,80 3	15,28 28
25	49,67 69	53,86 1	23,77 3	15,56 29
26	50,36 74	53,85 1	23,74 2	15,85 31
27	51,10 77	53,84 1	23,72 2	16,16 33
28	51,87 82	53,83 1	23,70 5	16,49 34
29	52,69 84	53,84 1	23,65 6	16,83 35
30	53,53	53,85	23,59	17,18
	O.C. + 0,74 cos ϕ		O.C. + 0,35 cos ϕ	
	U.C. - 0,74 cos ϕ		U.C. - 0,35 cos ϕ	

Obere Culmination.

1830	α URSAE MINORIS.		δ URSAE MINORIS.	
	Ger. Aufstg.	Abweichg.	Ger. Aufstg.	Abweichg.
	h 0	o 88	h 18	o 86
Jul. 0	59' 53,53	23' 53,85	27' 23,59	35' 17,18
1	54,39	53,89	23,52	17,54
2	55,25	53,95	23,41	17,89
3	56,08	54,03	23,29	18,23
4	56,88	54,13	23,16	18,55
5	57,63	54,22	23,02	18,85
6	58,33	54,32	22,89	19,14
7	59,01	54,42	22,75	19,41
8	59,66	54,50	22,64	19,67
9	60,34	54,57	22,52	19,94
	1^h			
10	0 1,04	54,63	22,41	20,23
11	1,77	54,70	22,31	20,52
12	2,55	54,77	22,19	20,83
13	3,36	54,85	22,06	21,16
14	4,20	54,95	21,93	21,50
15	5,03	55,07	21,75	21,84
16	5,87	55,21	21,57	22,17
17	6,67	55,37	21,36	22,48
18	7,43	55,54	21,14	22,78
19	8,13	55,71	20,83	23,05
20	8,79	55,88	20,71	23,31
21	9,42	56,04	20,49	23,55
22	10,04	56,19	20,30	23,79
23	10,68	56,34	20,10	24,04
24	11,35	56,46	19,92	24,30
25	12,05	56,60	19,74	24,58
26	12,79	56,74	19,54	24,86
27	13,57	56,88	19,34	25,16
28	14,37	57,05	19,12	25,47
29	15,15	57,24	18,87	25,77
30	15,92	57,46	18,61	26,06
31	16,64	57,69	18,32	26,34
	O.C. + 0,74 cos ϕ		O.C. + 0,35 cos ϕ	
	U.C. - 0,74 cos ϕ		U.C. - 0,35 cos ϕ	

Obere Culmination.

1830	α URSAE MINORIS.		δ URSAE MINORIS.	
	Ger. Aufstg.	Abweichg.	Ger. Aufstg.	Abweichg.
	1^h	88°	18^h	86°
Aug. 0	0' 16,64	23' 57,69	27' 18,32	35' 26,34
1	17,33	57,93	18,03	26,59
2	17,97	58,17	17,74	26,82
3	18,56	58,40	17,45	27,05
4	19,13	58,63	17,17	27,25
5	19,68	58,84	16,91	27,45
6	20,26	59,04	16,65	27,67
7	20,86	59,22	16,40	27,89
8	21,50	59,42	16,15	28,14
9	22,17	59,63	15,89	28,39
	70	21	28	26
10	22,87	59,84	15,61	28,65
11	23,59	24 0,08	15,32	28,92
12	24,29	0,34	15,00	29,17
13	24,96	0,62	14,67	29,42
14	25,59	0,91	14,32	29,64
15	26,17	1,21	13,97	29,84
16	26,71	1,50	13,62	30,03
17	27,21	1,79	13,27	30,20
18	27,68	2,06	12,94	30,35
19	28,15	2,32	12,62	30,52
	49	26	31	17
20	28,64	2,58	12,31	30,69
21	29,17	2,82	12,01	30,86
22	29,73	3,07	11,69	31,06
23	30,32	3,34	11,38	31,26
24	30,92	3,61	11,05	31,47
25	31,54	3,90	10,69	31,69
26	32,12	4,22	10,32	31,89
27	32,68	4,55	9,93	32,07
28	33,19	4,89	9,53	32,24
29	33,65	5,24	9,13	32,38
	40	34	40	13
30	34,05	5,58	8,73	32,51
31	34,43	5,91	8,34	32,62
	38	33	39	11
O.C. + 0,74 cos ϕ		O.C. + 0,35 cos ϕ		
U.C. - 0,74 cos ϕ		U.C. - 0,35 cos ϕ		

Obere Culmination.

1830	α URSAE MINORIS.			δ URSAE MINORIS.		
	Ger. Aufstg.		Abweichg.	Ger. Aufstg.		Abweichg.
	^h 1		^o 88	^h 18		^o 86
Spt. 0	0'	34,43	24' 5,91	27'	8,34	35' 32,62
1		34,78	6,23		7,97	32,72
2		35,13	6,53		7,60	32,83
3		35,52	6,82		7,25	32,95
4		35,93	7,10		6,91	33,07
5		36,38	7,40		6,56	33,22
6		36,86	7,70		6,19	33,37
7		37,35	8,02		5,82	33,52
8		37,83	8,37		5,42	33,67
9		38,31	8,72		5,01	33,81
10		38,72	9,10		4,57	33,93
11		39,09	9,49		4,14	34,02
12		39,40	9,85		3,71	34,10
13		39,67	10,23		3,28	34,17
14		39,90	10,58		2,86	34,21
15		40,11	10,92		2,47	34,26
16		40,33	11,25		2,08	34,31
17		40,59	11,57		1,71	34,36
18		40,87	11,89		1,34	34,43
19		41,20	12,22		0,96	34,51
20		41,54	12,56		0,56	34,60
21		41,89	12,92		0,16	34,69
22		42,23	13,29	26	59,73	34,78
23		42,54	13,67		59,28	34,85
24		42,80	14,07		58,83	34,90
25		43,01	14,47		58,37	34,93
26		43,16	14,86		57,93	34,93
27		43,29	15,26		57,50	34,92
28		43,38	15,63		57,07	34,90
29		43,43	15,99		56,67	34,87
30		43,52	16,33		56,28	34,86
O.C. + 0,74 cos ϕ			O.C. + 0,35 cos ϕ			
U.C. - 0,74 cos ϕ			U.C. - 0,35 cos ϕ			

Obere Culmination.

1830	α URSAE MINORIS.		δ URSAE MINORIS.	
	Ger. Aufstg.	Abweichg.	Ger. Aufstg.	Abweichg.
	^h 1	^o 88	^h 18	^o 86
Oct. 0	0' 43,52	24' 16,33	26' 56,28	35' 34,86
1	43,64	16,67	55,90	34,85
2	43,78	17,01	55,51	34,86
3	43,96	17,36	55,12	34,87
4	44,15	17,71	54,71	34,90
5	44,35	18,09	54,29	34,93
6	44,53	18,48	53,86	34,94
7	44,67	18,89	53,41	34,93
8	44,75	19,29	52,95	34,91
9	44,79	19,71	52,51	34,86
10	44,77	20,10	52,06	34,79
11	44,72	20,50	51,62	34,71
12	44,64	20,87	51,22	34,61
13	44,57	21,23	50,81	34,53
14	44,50	21,57	50,43	34,45
15	44,48	21,91	50,06	34,37
16	44,47	22,25	49,67	34,31
17	44,50	22,60	49,29	34,27
18	44,53	22,96	48,90	34,22
19	44,57	23,33	48,49	34,18
20	44,57	23,72	48,07	34,12
21	44,53	24,13	47,64	34,04
22	44,44	24,53	47,20	33,95
23	44,30	24,93	46,77	33,82
24	44,11	25,33	46,34	33,69
25	43,89	25,71	45,94	33,53
26	43,64	26,07	45,56	33,37
27	43,41	26,41	45,19	33,22
28	43,19	26,74	44,84	33,07
29	43,00	27,06	44,49	32,94
30	42,84	27,40	44,14	32,82
31	42,70	27,73	43,78	32,70
O.C. + 0,74 cos ϕ		O.C. + 0,35 cos ϕ		
U.C. - 0,74 cos ϕ		U.C. - 0,35 cos ϕ		

Obere Culmination.

1830	α URSAE MINORIS		δ URSAE MINORIS.	
	Ger. Aufstg.	Abweichg.	Ger. Aufstg.	Abweichg.
	^h 1	^o 88	^h 18	^o 86
Nov. 0	0' 42,70	24' 27,73	26' 43,78	35' 32,70
1	42,58 12	28,08 35	43,42 36	32,59 11
2	42,44 14	28,43 35	43,03 39	32,47 12
3	42,28 16	28,80 37	42,64 39	32,34 13
4	42,07 21	29,17 37	42,23 41	32,19 15
5	41,80 27	29,56 39	41,83 40	32,01 18
6	41,47 33	29,93 37	41,44 39	31,81 20
7	41,10 37	30,31 38	41,07 37	31,61 20
8	40,70 40	30,68 37	40,71 36	31,38 23
9	40,28 42	31,02 34	40,37 34	31,15 23
	39	31	32	22
10	39,89 37	31,33 39	40,05 30	30,93 20
11	39,52 33	31,62 29	39,75 30	30,73 20
12	39,19 32	31,91 30	39,45 30	30,53 18
13	38,87 29	32,21 30	39,15 32	30,35 18
14	38,58 29	32,51 33	38,83 32	30,17 17
15	38,29 31	32,84 33	38,51 34	30,00 18
16	37,98 34	33,17 34	38,17 34	29,82 20
17	37,64 40	33,51 35	37,83 35	29,62 22
18	37,24 44	33,86 34	37,48 33	29,40 25
19	36,80 50	34,20 33	37,15 34	29,15 26
20	36,30 52	34,53 32	36,81 32	28,89 28
21	35,78 57	34,85 30	36,49 28	28,61 29
22	35,21 56	35,15 27	36,21 28	28,32 28
23	34,65 54	35,42 27	35,93 25	28,04 27
24	34,11 52	35,69 24	35,68 24	27,77 27
25	33,59 48	35,93 24	35,44 25	27,50 24
26	33,11 46	36,17 25	35,19 24	27,26 24
27	32,65 43	36,42 26	34,95 24	27,02 23
28	32,22 44	36,68 27	34,71 26	26,79 22
29	31,78 46	36,95 28	34,45 26	26,57 25
30	31,32	37,23	34,19	26,32
	O.C. + 0,74 cos ϕ		O.C. + 0,35 cos ϕ	
	U.C. - 0,74 cos ϕ		U.C. - 0,35 cos ϕ	

Obere Culmination.

1830	α URSAE MINORIS.		δ URSAE MINORIS.	
	Ger. Aufstg.	Abweichg.	Ger. Aufstg.	Abweichg.
	1°	88°	18^{h}	86°
Decb. 0	0' 31,32	24' 37,23	26' 34,19	35' 26,32
1	30,82 50	37,53 30	33,91 28	26,06 26
2	30,27 55	37,81 28	33,64 27	25,79 27
3	29,66 61	38,09 28	33,39 25	25,49 30
4	29,02 64	38,37 28	33,13 26	25,17 32
5	28,32 70	38,62 25	32,90 23	24,85 32
6	27,62 70	38,86 24	32,69 21	24,52 33
7	26,94 68	39,07 21	32,50 19	24,19 33
8	26,27 67	39,25 18	32,34 16	23,87 32
9	25,63 64	39,44 19	32,18 16	23,57 30
10	25,03 60	39,62 18	32,01 17	23,28 29
11	24,47 56	39,80 18	31,85 16	23,00 28
12	23,91 56	40,00 20	31,68 17	22,73 27
13	23,34 57	40,21 21	31,50 18	22,45 28
14	22,76 58	40,43 22	31,32 18	22,16 29
15	22,13 63	40,65 22	31,13 19	21,86 30
16	21,46 67	40,88 23	30,94 19	21,53 33
17	20,72 74	41,10 22	30,77 17	21,19 34
18	19,95 77	41,28 18	30,62 15	20,84 35
19	19,16 79	41,45 17	30,48 14	20,47 37
20	18,35 81	41,60 15	30,36 12	20,11 36
21	17,54 81	41,73 13	30,27 9	19,75 36
22	16,79 75	41,84 11	30,20 7	19,41 34
23	16,08 71	41,94 10	30,14 6	19,09 32
24	15,39 69	42,05 11	30,07 7	18,77 32
25	14,74 65	42,15 10	30,00 7	18,47 30
26	14,08 66	42,27 12	29,93 7	18,18 29
27	13,44 64	42,40 13	{29,84} 9	{17,88} 30
28	12,75 69	42,54 14	{29,75} 9	{17,56} 32
29	12,02 73	42,69 15	29,65 10	17,24 32
30	11,24 78	42,82 13	29,57 8	16,89 35
31	10,42 82	42,94 12	29,49 8	16,52 37
			29,43 6	16,14 38
	O.C. + 0,74 cos ϕ		O.C. + 0,35 cos ϕ	
	U.C. - 0,74 cos ϕ		U.C. - 0,35 cos ϕ	

1830	γ PEGASI.		α CASSIOPEIAE.	
	Ger. Aufstg.	Abweichg.	Ger. Aufstg.	Abweichg.
	^h 0	^o 14	^h 0	^o 55
Jan. 0	4' 29,32	14' 19,24	30' 55,41	36' 26,63
10	29,20	18,33	55,12	26,10
20	29,09	17,33	54,84	25,08
30	28,98	16,26	54,55	23,60
Febr. 9	28,88	15,17	54,30	21,71
19	28,81	14,10	54,09	19,52
Mrz. 1	28,77	13,11	53,93	17,09
11	28,76	12,26	53,83	14,53
21	28,79	11,59	53,79	11,95
31	* 28,86	11,15	* 53,83	9,22
Apr. 10	28,96	11,02	53,94	6,93
20	29,11	11,20	54,13	4,94
30	29,30	11,70	54,39	3,30
Mai 10	29,53	12,52	54,71	2,11
20	29,79	13,64	55,08	1,37
30	30,08	15,05	55,50	1,13
Jun. 9	30,38	16,70	55,94	1,38
19	30,69	18,53	56,41	2,14
29	31,00	20,50	56,88	3,36
Jul. 9	31,31	22,58	57,34	5,02
19	31,60	24,70	57,78	7,05
29	31,86	26,80	58,20	9,44
Aug. 8	32,10	28,84	58,56	12,12
18	32,31	30,75	58,89	14,99
28	32,48	32,51	59,16	18,04
Spt. 7	32,60	34,11	59,38	21,16
17	32,69	35,48	59,54	24,34
27	32,75	36,66	59,65	27,46
Oct. 7	32,77	37,61	59,70	30,50
17	32,76	38,32	59,70	33,39
27	32,71	38,82	59,64	36,05
Nov. 6	32,65	39,11	59,54	38,46
16	32,57	39,17	59,39	40,53
26	32,47	39,03	59,20	42,20
Decb. 6	32,36	38,69	58,98	43,44
16	32,24	38,17	58,73	44,22
26	32,12	37,50	58,45	44,46
36	31,99	36,67	58,16	44,27

1830	α ARIETIS.		α CETI.	
	Ger. Aufstg.	Abweichg.	Ger. Aufstg.	Abweichg.
	^h 1	^o 22	^h 2	^o 3
Jan. 0	57' 37,03 ¹³	39' 16,44 ³⁵	53' 24,72 ¹⁰	24' 55,00 ⁷⁴
10	36,90 ¹⁴	16,09 ⁵²	24,62 ¹²	54,26 ⁶⁸
20	36,76 ¹⁵	15,57 ⁶⁹	24,50 ¹⁴	53,58 ⁶⁰
30	36,61 ¹⁶	14,88 ⁸²	24,36 ¹⁶	52,98 ⁵³
Febr. 9	36,45 ¹⁶	14,06 ⁹²	24,20 ¹⁶	52,45 ⁴²
19	36,29 ¹⁴	13,14 ⁹⁹	24,04 ¹⁵	52,03 ²⁸
Mrz. 1	36,15 ¹²	12,15 ⁹⁵	23,89 ¹⁵	51,75 ¹⁵
11	36,03 ⁹	11,20 ⁹⁵	23,74 ¹²	51,60 ⁰
21	35,94 ⁵	10,25 ⁸⁵	23,62 ¹⁰	51,60 ¹⁷
31	35,89 ¹	9,40 ⁷⁰	23,52 ⁶	51,77 ³⁸
Apr. 10	35,88 ⁴	8,70 ⁵⁰	23,46 ²	52,15 ⁵⁴
20	* 35,92 ¹⁰	8,20 ²⁹	23,44 ²	52,69 ⁷⁹
30	36,02 ¹⁴	7,91 ⁰	* 23,46 ⁸	53,48 ¹⁰⁸
Mai 10	36,16 ¹⁹	7,91 ²⁶	23,54 ¹²	54,56 ¹²⁰
20	36,35 ²²	8,17 ⁵⁶	23,66 ¹⁷	55,76 ¹³⁸
30	36,57 ²⁷	8,73 ⁸³	23,83 ²⁰	57,14 ¹⁵³
Jun. 9	36,84 ²⁹	9,56 ¹⁰⁹	24,03 ²³	58,67 ¹⁶⁵
19	37,13 ³¹	10,65 ¹³¹	24,26 ²⁶	60,32 ¹⁷³
29	37,44 ³²	11,96 ¹⁴⁹	24,52 ²⁸	62,05 ¹⁷⁵
Jul. 9	37,76 ³²	13,45 ¹⁶⁴	24,80 ³⁰	63,80 ¹⁷²
19	38,08 ³²	15,09 ¹⁷³	25,10 ²⁹	65,52 ¹⁶⁵
29	38,40 ³⁰	16,82 ¹⁷⁸	25,39 ³⁰	67,17 ¹⁵⁴
Aug. 8	38,70 ²⁹	18,60 ¹⁸¹	25,69 ²⁸	68,71 ¹³⁴
18	38,99 ²⁶	20,41 ¹⁷⁴	25,97 ²⁷	70,05 ¹¹⁷
28	39,25 ²⁴	22,15 ¹⁶⁹	26,24 ²⁶	71,22 ⁹³
Spt. 7	39,49 ²¹	23,84 ¹⁵⁸	26,50 ²³	72,15 ⁶³
17	39,70 ¹⁷	25,42 ¹⁴⁵	26,73 ²¹	72,78 ⁴¹
27	39,87 ¹⁴	26,87 ¹²⁸	26,94 ¹⁸	73,19 ¹⁶
Oct. 7	40,01 ¹²	28,15 ¹¹⁵	27,12 ¹⁵	73,35 ⁹
17	40,13 ⁸	29,30 ⁹⁷	27,27 ¹³	73,26 ²⁹
27	40,21 ⁴	30,27 ⁸¹	27,40 ¹⁰	72,97 ⁴⁶
Nov. 6	40,25 ²	31,08 ⁶¹	27,50 ⁶	72,51 ⁶²
16	40,27 ¹	31,69 ⁴⁵	27,56 ⁴	71,89 ⁷¹
26	40,26 ⁴	32,14 ²⁷	27,60 ¹	71,18 ⁷⁵
Dcb. 6	40,22 ⁷	32,41 ¹⁰	27,61 ²	70,43 ⁷⁹
16	40,15 ⁹	32,51 ⁷	27,59 ⁶	69,64 ⁷⁶
26	40,06 ¹¹	32,44 ²⁶	27,53 ⁸	68,88 ⁷⁶
36	39,95	32,18	27,45	68,12

1830	α PERSEI.		α TAURI.	
	Ger. Aufstg.	Abweichg.	Ger. Aufstg.	Abweichg.
	^h 3	^o 49	^h 4	^o 16
Jan. 0	12' 15,42 ¹⁶	14' 57,57 ⁹³	26' 11,56 ⁴	9' 28,15 ²⁶
10	15,26 ²⁰	58,50 ⁵⁹	11,52 ⁸	27,89 ²⁴
20	15,06 ²⁴	59,09 ²²	11,44 ¹¹	27,65 ²⁶
30	14,82 ²⁵	59,31 ¹⁶	11,33 ¹⁴	27,39 ²⁸
Febr. 9	14,57 ²⁷	59,15 ⁵³	11,19 ¹⁷	27,11 ²⁶
19	14,30 ²⁷	58,60 ⁸⁹	11,02 ¹⁸	26,85 ³⁰
Mrz. 1	14,03 ²⁵	57,71 ¹¹⁹	10,84 ¹⁹	26,55 ²⁶
11	13,78 ²³	56,52 ¹⁴⁶	10,65 ¹⁸	26,29 ²⁸
21	13,55 ¹⁷	55,06 ¹⁶⁵	10,47 ¹⁶	26,01 ²³
31	13,38 ¹²	53,41 ¹⁷⁷	10,31 ¹³	25,78 ²⁰
Apr. 10	13,26 ⁶	51,64 ¹⁸⁰	10,18 ⁹	25,58 ¹⁰
20	13,20 ⁰	49,84 ¹⁷⁸	10,09 ⁶	25,48 ¹
30	13,20 ⁸	48,06 ¹⁶⁵	10,03 ¹	25,47 ¹¹
Mai 10	13,28 ¹⁵	46,41 ¹⁶²	10,02 ⁴	25,58 ²⁵
20	* 13,43 ²²	44,79 ¹²⁰	10,06 ⁸	25,83 ³⁹
30	13,65 ²⁷	43,59 ⁹⁶	* 10,14 ¹⁴	26,22 ⁶²
Jun. 9	13,92 ³²	42,63 ⁶¹	* 10,28 ¹⁸	26,84 ⁶⁸
19	14,24 ³⁶	42,02 ²⁹	10,46 ²¹	27,52 ⁸³
29	14,60 ⁴⁰	41,73 ⁵	10,67 ²⁴	28,35 ⁹⁰
Jul. 9	15,00 ⁴¹	41,78 ³⁷	10,91 ²⁶	29,25 ¹⁰⁰
19	15,41 ⁴²	42,15 ⁶⁸	11,17 ²⁸	30,25 ¹⁰²
29	15,83 ⁴³	42,83 ⁹⁸	11,45 ²⁹	31,27 ¹⁰⁴
Aug. 8	16,26 ⁴¹	43,81 ¹²⁵	11,74 ³⁰	32,31 ⁹⁷
18	16,67 ⁴¹	45,06 ¹⁴⁶	12,04 ³⁰	33,28 ⁹⁰
28	17,08 ³⁸	46,52 ¹⁶⁸	12,34 ²⁹	34,18 ⁸⁰
Spt. 7	17,46 ³⁶	48,20 ¹⁸⁵	12,63 ²⁸	34,98 ⁶⁷
17	17,82 ³³	50,05 ¹⁹⁵	12,91 ²⁸	35,65 ⁵⁴
27	18,15 ²⁹	52,00 ²⁰⁷	13,19 ²⁶	36,19 ⁴⁰
Oct. 7	18,44 ²⁵	54,07 ²¹²	13,45 ²⁴	36,59 ²⁵
17	18,69 ²²	56,19 ²¹⁶	13,69 ²²	36,84 ¹¹
27	18,91 ¹⁷	58,35 ²¹⁴	13,91 ²⁰	36,95 ⁰
Nov. 6	19,08 ¹³	60,49 ²¹⁰	14,11 ¹⁶	36,95 ⁹
16	19,21 ⁸	62,59 ¹⁹⁹	14,27 ¹⁴	36,86 ¹⁷
26	19,29 ²	64,58 ¹⁸⁴	14,41 ¹¹	36,69 ²⁰
Dcb. 6	19,31 ³	66,42 ¹⁶⁶	14,52 ⁶	36,49 ²²
16	19,28 ⁸	68,08 ¹³⁹	14,58 ³	36,27 ²³
26	19,20 ¹³	69,47 ¹¹³	14,61 ¹	36,04 ²⁴
36	19,07	70,60	14,60	35,80

1830	α AURIGAE.		β ORIONIS.	
	Ger. Aufstg.	Abweichg.	Ger. Aufstg.	Abweichg.
	^h 5	^o 45	^h 5	^o 8
Jan. 0	4' 10,39 ²	48' 48,89 ¹³⁵	6' 23,37 ²	24' 29,79 ¹⁵¹
10	10,37 ⁸	50,24 ¹²¹	23,35 ⁶	31,30 ¹³³
20	10,29 ¹⁴	51,45 ¹⁰²	23,29 ¹⁰	32,63 ¹¹³
30	10,15 ¹⁹	52,47 ⁷⁷	23,19 ¹³	33,76 ⁹¹
Febr. 9	9,96 ²²	53,24 ⁴⁹	22,06 ¹⁶	34,67 ⁶⁶
19	9,74 ²⁵	53,73 ²¹	22,90 ¹⁸	35,33 ⁴²
Mrz. 1	9,49 ²⁷	53,94 ¹⁰	22,72 ¹⁹	35,75 ¹⁷
11	9,22 ²⁷	53,84 ³⁹	22,53 ¹⁹	35,92 ¹⁰
21	8,95 ²⁴	53,45 ⁶⁷	22,34 ¹⁸	35,82 ³⁵
31	8,71 ²²	52,78 ⁹³	22,16 ¹⁶	35,47 ⁵⁸
Apr. 10	8,49 ¹⁷	51,85 ¹¹¹	22,00 ¹³	34,89 ⁸²
20	8,32 ¹²	50,74 ¹²⁶	21,87 ¹⁰	34,07 ¹⁰⁷
30	8,20 ⁷	49,48 ¹³⁵	21,77 ⁵	33,00 ¹²⁷
Mai 10	8,13 ¹	48,13 ¹³⁶	21,72 ¹	31,73 ¹⁴⁷
20	8,12 ⁶	46,77 ¹³⁵	21,71 ³	30,26 ¹⁶⁶
30	8,18 ¹⁴	45,42 ¹⁴¹	21,74 ⁷	28,60 ¹⁷⁸
Jun. 9	* 8,32 ¹⁸	44,01 ¹¹⁴	* 21,81 ¹³	26,82 ²¹⁰
19	8,50 ²³	42,87 ⁹⁸	21,94 ¹⁵	24,72 ¹⁹⁶
29	8,73 ²⁸	41,89 ⁸⁰	22,09 ¹⁹	22,76 ¹⁹⁴
Jul. 9	9,01 ³²	41,09 ⁶¹	22,28 ²²	20,82 ¹⁸⁷
19	9,33 ³⁵	40,48 ⁴¹	22,50 ²⁴	18,95 ¹⁷⁶
29	9,68 ³⁷	40,07 ²⁰	22,74 ²⁶	17,19 ¹⁵⁸
Aug. 8	10,05 ³⁸	39,87 ¹	23,00 ²⁶	15,61 ¹³⁶
18	10,43 ³⁹	39,86 ¹⁷	23,26 ²⁸	14,25 ¹⁰⁵
28	10,82 ⁴⁰	40,03 ³⁶	23,54 ²⁸	13,20 ⁷³
Spt. 7	11,22 ⁴⁰	40,39 ⁵³	23,82 ²⁷	12,47 ³⁷
17	11,62 ³⁸	40,92 ⁶⁸	24,09 ²⁷	12,10 ⁰
27	12,00 ³⁸	41,60 ⁸⁴	24,36 ²⁶	12,10 ³⁸
Oct. 7	12,38 ³⁶	42,44 ⁹⁷	24,62 ²⁵	12,48 ⁷²
17	12,74 ³⁴	43,41 ¹⁰⁸	24,87 ²⁴	13,20 ¹⁰⁴
27	13,08 ³¹	44,49 ¹²¹	25,11 ²¹	14,24 ¹³³
Nov. 6	13,39 ²⁷	45,70 ¹³⁴	25,32 ¹⁹	15,57 ¹⁵²
16	13,66 ²⁴	47,04 ¹⁴¹	25,51 ¹⁶	17,09 ¹⁶⁸
26	13,90 ¹⁸	48,45 ¹⁴⁷	25,67 ¹²	18,77 ¹⁷⁵
Decb. 6	14,08 ¹⁴	49,92 ¹⁵⁰	25,79 ⁹	20,52 ¹⁷⁵
16	14,22 ⁷	51,42 ¹⁴⁹	25,88 ⁴	22,27 ¹⁶⁸
26	14,29 ¹	52,91 ¹⁴¹	25,92 ¹	23,95 ¹⁵⁹
36	14,30	54,32	25,93	25,54

1830	β TAURI.		α ORIONIS.	
	Ger. Aufstg.	Abweichg.	Ger. Aufstg.	Abweichg.
	^h 5	^o 28	^h 5	^o 7
Jan. 0	15' 34,44	27' 9,87	45' 59,42	21' 52,70
10	34,45 ¹	10,28 ⁴¹	59,45 ³	51,96 ⁷⁴
20	34,40 ⁵	10,69 ⁴¹	59,43 ²	51,24 ⁷²
30	34,31 ⁹	11,02 ³³	59,36 ⁷	50,67 ⁵⁷
Febr. 9	34,18 ¹³	11,28 ²⁶	59,26 ¹⁰	50,19 ⁴⁸
19	34,01 ¹⁷	11,44 ¹⁶	59,12 ¹⁴	49,83 ³⁶
Mrz. 1	33,82 ¹⁹	11,50 ⁶	58,96 ¹⁶	49,58 ²⁵
11	33,61 ²¹	11,42 ⁸	58,78 ¹⁸	49,44 ¹⁴
21	33,40 ²¹	11,23 ¹⁹	58,60 ¹⁸	49,40 ⁴
31	33,21 ¹⁹	10 90 ³³	58,42 ¹⁸	49,44 ⁴
Apr. 10	33,03 ¹⁸	10,51 ³⁹	58,25 ¹⁷	49,61 ¹⁷
20	32,89 ¹⁴	10,04 ⁴⁷	58,10 ¹⁵	49,87 ²⁶
30	32,79 ¹⁰	9,54 ⁵⁰	57,99 ¹¹	50,24 ³⁷
Mai 10	32,73 ⁶	9,05 ⁴⁹	57,92 ⁷	50,73 ⁴⁹
20	32,72 ¹	8,60 ⁴⁵	57,88 ⁴	51,35 ⁶²
30	32,76 ⁴	8,20 ⁴⁰	57,89 ¹	52,08 ⁷³
Jun. 9	32,85 ⁹	7,89 ³¹	57,94 ⁵	52,92 ⁸⁴
19	* 33,01 ¹⁶	7,65 ²⁴	58,03 ⁹	53,86 ⁹⁴
29	33,19 ¹⁸	7,59 ⁶	* 58,17 ¹⁴	54,84 ⁹⁸
Jul. 9	33,41 ²²	7,62 ³	58,34 ¹⁷	55,86 ¹⁰²
19	33,66 ²⁵	7,76 ¹⁴	58,54 ²⁰	56,95 ¹⁰⁹
29	33,94 ²⁸	7,99 ²³	58,76 ²²	58,00 ¹⁰⁵
Aug. 8	34,24 ³⁰	8,32 ³³	59,00 ²⁴	58,99 ⁹⁹
18	34,55 ³¹	8,68 ³⁶	59,26 ²⁶	59,89 ⁹⁰
28	34,86 ³¹	9,07 ³⁹	59,53 ²⁷	60,62 ⁷³
Spt. 7	35,18 ³²	9,49 ⁴²	59,80 ²⁷	61,18 ⁵⁶
17	35,50 ³²	9,91 ⁴²	60,08 ²⁸	61,53 ³⁵
27	35,82 ³²	10,31 ⁴⁰	60,36 ²⁸	61,66 ¹³
Oct. 7	36,13 ³¹	10,71 ⁴⁰	60,64 ²⁸	61,55 ¹¹
17	36,43 ³⁰	11,06 ³⁵	60,92 ²⁸	61,24 ³¹
27	36,71 ²⁸	11,41 ³⁵	61,18 ²⁶	60,70 ⁵⁴
Nov. 6	36,97 ²⁶	11,76 ³⁵	61,43 ²⁵	59,99 ⁷¹
16	37,21 ²⁴	12,11 ³⁵	61,66 ²³	59,18 ⁸¹
26	37,41 ²⁰	12,48 ³⁷	61,86 ²⁰	58,24 ⁹⁴
Decb. 6	37,58 ¹⁷	12,88 ⁴⁰	62,04 ¹⁸	57,29 ⁹⁵
16	37,71 ¹³	13,32 ⁴⁴	62,18 ¹⁴	56,33 ⁹⁶
26	37,79 ⁸	13,76 ⁴⁴	62,27 ⁹	55,41 ⁹²
36	37,82 ³	14,21 ⁴⁵	62,33 ⁶	54,57 ⁸⁴

1830	α CANIS MAJORIS.		α GEMINORUM.	
	Ger. Aufstg.	Abweichg.	Ger. Aufstg.	Abweichg.
	^h 6	^o — 16	^h 7	^o 32
Jan. 0	37' 40,62 ⁵	29' 32,80 ²³⁰	23' 45,35 ¹⁵	14' 56,83 ⁴⁸
10	40,67 ¹	35,10 ²¹¹	45,50 ⁹	57,31 ⁶⁴
20	40,68 ⁴	37,21 ¹⁸⁷	45,59 ³	57,95 ⁷²
30	40,64 ⁸	39,08 ¹⁶¹	45,62 ³	58,67 ⁸³
Febr. 9	40,56 ¹³	40,69 ¹³³	45,59 ⁸	59,50 ⁸⁴
19	40,43 ¹⁶	42,02 ⁹⁹	45,51 ¹³	60,34 ⁸⁰
Mrz. 1	40,27 ¹⁸	43,01 ⁷¹	45,38 ¹⁶	61,14 ⁷⁵
11	40,09 ²⁰	43,72 ³⁵	45,22 ²⁰	61,89 ⁶²
21	39,89 ²⁰	44,07 ⁵	45,02 ²⁰	62,51 ⁴⁹
31	39,69 ²⁰	44,12 ²⁵	44,82 ²¹	63,00 ³³
Apr. 10	39,49 ¹⁸	43,87 ⁵⁷	44,61 ²⁰	63,33 ¹⁶
20	39,31 ¹⁵	43,30 ⁸⁴	44,41 ¹⁸	63,49 ¹
30	39,16 ¹³	42,46 ¹¹⁴	44,23 ¹⁵	63,48 ¹⁶
Mai 10	39,03 ⁹	41,32 ¹³⁸	44,08 ¹¹	63,32 ²⁹
20	38,94 ⁶	39,94 ¹⁶⁰	43,97 ⁸	63,03 ⁴⁴
30	38,88 ¹	38,34 ¹⁸¹	43,89 ³	62,59 ⁵⁰
Jun. 9	38,87 ²	36,53 ¹⁹³	43,86 ¹	62,09 ⁵⁸
19	38,89 ⁶	34,60 ²⁰⁵	43,87 ⁵	61,51 ⁶⁵
29	38,95 ¹¹	32,55 ²³¹	43,92 ⁹	60,86 ⁶⁸
Jul. 9	* 39,06 ¹⁴	30,24 ²⁰⁵	* 44,01 ¹⁴	60,18 ⁷¹
19	39,20 ¹⁶	28,19 ¹⁹⁸	44,15 ¹⁷	59,47 ⁷¹
29	39,36 ²⁰	26,21 ¹⁸³	44,32 ²⁰	58,76 ⁷²
Aug. 8	39,56 ²¹	24,38 ¹⁵⁸	44,52 ²³	58,04 ⁷³
18	39,77 ²⁴	22,80 ¹³⁰	44,75 ²⁶	57,31 ⁷²
28	40,01 ²⁵	21,50 ⁹⁶	45,01 ²⁷	56,59 ⁷⁴
Spt. 7	40,26 ²⁷	20,54 ⁵⁵	45,28 ³⁰	55,85 ⁷⁴
17	40,53 ²⁸	19,99 ¹¹	45,58 ³¹	55,11 ⁷⁴
27	40,81 ²⁸	19,88 ³²	45,89 ³³	54,37 ⁷⁴
Oct. 7	41,09 ²⁸	20,20 ⁷⁶	46,22 ³⁴	53,63 ⁶⁸
17	41,37 ²⁸	20,96 ¹²⁰	46,56 ³⁴	52,95 ⁶⁵
27	41,65 ²⁷	22,16 ¹⁵⁷	46,90 ³⁴	52,30 ⁵⁸
Nov. 6	41,92 ²⁶	23,73 ¹⁸⁸	47,24 ³⁴	51,72 ⁴³
16	42,18 ²⁴	25,61 ²¹⁵	47,58 ³²	51,29 ³⁵
26	42,42 ²⁰	27,76 ²³¹	47,90 ³⁰	50,94 ¹⁶
Dcb. 6	42,62 ¹⁷	30,07 ²⁴⁰	48,20 ²⁶	50,78 ³
16	42,79 ¹³	32,47 ²³⁹	48,46 ²³	50,81 ²²
26	42,92 ⁸	34,86 ²³²	48,69 ¹⁸	51,03 ⁴⁰
36	43,00	37,18	48,87	51,43

1830	α CANIS MINORIS.		β GEMINORUM.	
	Ger. Aufstg.	Abweichg.	Ger. Aufstg.	Abweichg.
	^h 7	^o 5	^h 7	^o 28
Jan. 0	30' 25,10	38' 62,30	34' 55,29	25' 32,30
10	25,22 ¹²	61,08 ¹²²	55,45 ¹⁶	32,50 ²⁰
20	25,30 ⁸	60,04 ¹⁰⁴	55,55 ¹⁰	32,88 ³⁸
30	25,33 ³	59,15 ⁸⁹	55,59 ⁴	33,37 ⁴⁹
Febr. 9	25,31 ²	58,44 ⁷¹	55,57 ²	33,98 ⁶¹
19	25,24 ⁷	57,92 ⁵²	55,50 ⁷	34,68 ⁷⁰
Mrz. 1	25,13 ¹¹	57,58 ³⁴	55,39 ¹¹	35,36 ⁶⁸
11	24,99 ¹⁴	57,40 ¹⁸	55,24 ¹⁵	36,03 ⁶⁷
21	24,82 ¹⁷	57,35 ⁵	55,05 ¹⁹	36,65 ⁶²
31	24,65 ¹⁷	57,41 ⁶	54,86 ¹⁹	37,13 ⁴⁸
Apr. 10	24,47 ¹⁸	57,59 ¹⁸	54,66 ²⁰	37,50 ³⁷
20	24,30 ¹⁷	57,86 ²⁷	54,47 ¹⁹	37,76 ²⁶
30	24,15 ¹⁵	58,25 ³⁹	54,30 ¹⁷	37,88 ¹²
Mai 10	24,02 ¹³	58,72 ⁴⁷	54,15 ¹⁵	37,88 ⁰
20	23,92 ¹⁰	59,27 ⁵⁵	54,03 ¹²	37,75 ¹³
30	23,85 ⁷	59,88 ⁶¹	53,95 ⁸	37,51 ²⁴
Jun. 9	23,81 ⁴	60,57 ⁶⁹	53,91 ⁴	37,22 ²⁹
19	23,81 ⁰	61,34 ⁷⁷	53,91 ⁰	37,22 ³⁸
29	23,84 ³	62,13 ⁷⁹	55,95 ⁴	36,84 ⁴²
Jul. 9	23,91 ⁷	62,95 ⁸²	54,02 ⁷	36,42 ⁴⁸
19	* 24,02 ¹¹	63,84 ⁸⁹	* 54,15 ¹³	35,94 ⁵⁴
29	24,15 ¹³	64,60 ⁷⁶	54,30 ¹⁵	35,40 ⁵³
Aug. 8	24,31 ¹⁶	65,28 ⁶⁸	54,48 ¹⁸	34,87 ⁵⁶
18	24,49 ¹⁸	65,85 ⁵⁷	54,69 ²¹	34,31 ⁶⁰
28	24,70 ²¹	66,26 ⁴¹	54,92 ²³	33,71 ⁶³
Spt. 7	24,93 ²³	66,47 ²¹	55,18 ²⁶	33,08 ⁶⁷
17	25,17 ²⁴	66,48 ¹	55,45 ²⁷	32,41 ⁷³
27	25,43 ²⁶	66,22 ²⁶	55,75 ³⁰	31,68 ⁷⁵
Oct. 7	25,70 ²⁷	65,72 ⁵⁰	56,06 ³¹	30,93 ⁷⁹
17	25,99 ²⁹	65,00 ⁷²	56,38 ³²	30,14 ⁷⁹
27	26,28 ²⁹	64,05 ⁹⁵	56,71 ³³	29,35 ⁷⁸
Nov. 6	26,57 ²⁹	62,89 ¹¹⁶	57,05 ³⁴	28,57 ⁷⁵
16	26,86 ²⁹	61,59 ¹³⁰	57,38 ³³	27,82 ⁶⁹
26	27,14 ²⁸	60,17 ¹⁴²	57,69 ³¹	27,13 ⁵⁷
Dcb. 6	27,39 ²³	58,72 ¹⁴⁵	57,98 ²⁹	26,56 ⁴²
16	27,62 ²³	57,28 ¹⁴⁴	58,25 ²⁷	26,14 ²⁴
26	27,81 ¹⁹	55,89 ¹³⁹	58,48 ²³	25,90 ⁷
36	27,96 ¹⁵	54,63 ¹²⁶	58,65 ¹⁷	25,83 ¹²
				25,95

1830	α HYDRAE.		α LEONIS.	
	Ger. Aufstg.	Abweichg.	Ger. Aufstg.	Abweichg.
	^h 9	^o — 7	^h 9	^o 12
Jan. 0	19' 14,90	55' 39,84	59' 19,23	47' 31,26
10	15,12 ²²	42,01 ²¹⁷	19,49 ²⁶	29,94 ¹³²
20	15,29 ¹⁷	44,05 ²⁰⁴	19,71 ²²	28,89 ¹⁰⁵
30	15,41 ¹²	45,95 ¹⁹⁰	19,89 ¹⁸	28,09 ⁸⁰
Febr. 9	15,49 ⁸	47,62 ¹⁶⁷	20,01 ¹²	27,56 ⁵³
19	15,52 ³	49,07 ¹⁴⁵	20,09 ⁸	27,30 ²⁶
Mrz. 1	15,50 ²	50,26 ¹¹⁹	20,12 ³	27,26 ⁴
11	15,44 ⁶	51,21 ⁹⁵	20,10 ²	27,45 ¹⁹
21	15,34 ¹⁰	51,90 ⁶⁹	20,04 ⁶	27,81 ³⁶
31	15,22 ¹²	52,35 ⁴⁵	19,95 ⁹	28,30 ⁴⁹
Apr. 10	15,08 ¹⁴	52,57 ²²	19,84 ¹¹	28,86 ⁵⁶
20	14,93 ¹⁵	52,57 ⁰	19,71 ¹³	29,51 ⁶⁵
30	14,78 ¹⁵	52,35 ²²	19,57 ¹⁴	30,14 ⁶³
Mai 10	14,63 ¹⁵	51,96 ³⁹	19,44 ¹³	30,80 ⁶⁶
20	14,50 ¹³	51,38 ⁵⁸	19,30 ¹⁴	31,41 ⁶¹
30	14,38 ¹²	50,62 ⁷⁶	19,18 ¹²	31,97 ⁵⁶
Jun. 9	14,28 ¹⁰	49,73 ⁸⁹	19,07 ¹¹	32,48 ⁵¹
19	14,20 ⁸	48,70 ¹⁰³	18,98 ⁹	32,95 ⁴⁷
29	14,15 ⁵	47,58 ¹¹²	18,91 ⁷	33,32 ³⁷
Jul. 9	14,13 ²	46,36 ¹²²	18,86 ⁵	33,63 ³¹
19	14,12 ¹	45,11 ¹²⁵	18,84 ²	33,82 ¹⁹
29	14,14 ²	43,86 ¹²⁵	18,83 ¹	33,92 ¹⁰
Aug. 8	14,18 ⁴	42,68 ¹¹⁸	18,86 ³	33,91 ¹
18	* 14,27 ⁹	41,46 ¹²²	18,90 ⁴	33,74 ¹⁷
28	14,38 ¹¹	40,54 ⁹²	* 18,99 ⁹	33,37 ³⁷
Spt. 7	14,51 ¹³	39,81 ⁷³	19,09 ¹⁰	32,87 ⁵⁰
17	14,68 ¹⁷	39,36 ⁴⁵	19,23 ¹⁴	32,15 ⁷²
27	14,87 ¹⁹	39,20 ¹⁶	19,39 ¹⁶	31,25 ⁹⁰
Oct. 7	15,09 ²²	39,38 ¹⁸	19,59 ²⁰	30,15 ¹¹⁰
17	15,34 ²⁵	39,91 ⁵³	19,83 ²⁴	28,84 ¹³¹
27	15,62 ²⁸	40,79 ⁸⁸	20,08 ²⁵	27,35 ¹⁴⁹
Nov. 6	15,91 ²⁹	42,01 ¹²²	20,37 ²⁹	25,71 ¹⁶⁴
16	16,21 ³⁰	43,56 ¹⁵⁵	20,68 ³¹	23,97 ¹⁷⁴
26	16,52 ³¹	45,36 ¹⁸⁰	21,00 ³²	22,18 ¹⁷⁹
Dcb. 6	16,83 ³¹	47,37 ²⁰¹	21,32 ³²	20,37 ¹⁸¹
16	17,12 ²⁹	49,53 ²¹⁶	21,64 ³²	18,66 ¹⁷¹
26	17,39 ²⁷	51,73 ²²⁰	21,95 ³¹	17,05 ¹⁶¹
36	17,63 ²⁴	53,92 ²¹⁹	22,22 ²⁷	15,63 ¹⁴²

1830	α URSAE MAJORIS.		β LEONIS.	
	Ger. Aufstg.	Abweichg.	Ger. Aufstg.	Abweichg.
	^h 10	^o 62	^h 11	^o 15
Jan. 0	53' 9,75	39' 41,08	40' 22,98	30' 72,37
10	10,29 ⁵⁴	41,48 ⁴⁰	23,30 ³²	70,74 ¹⁶³
20	10,78 ⁴⁹	42,42 ⁹⁴	23,59 ²⁹	69,38 ¹³⁶
30	11,19 ⁴¹	43,88 ¹⁴⁶	23,85 ²⁶	68,36 ¹⁰²
Febr. 9	11,52 ³³	45,79 ¹⁹¹	24,07 ²²	67,69 ⁶⁷
19	11,75 ²³	48,07 ²²⁸	24,24 ¹⁷	67,34 ³⁵
Mrz. 1	11,89 ¹⁴	50,57 ²⁵⁰	24,37 ¹³	67,33 ¹
11	11,93 ⁴	53,25 ²⁶⁸	24,46 ⁹	67,61 ²⁸
21	11,88 ⁵	55,94 ²⁶⁹	24,50 ⁴	68,15 ⁵⁴
31	11,75 ¹³	58,57 ²⁶³	24,50 ⁰	68,88 ⁷³
Apr. 10	11,54 ²¹	61,01 ²⁴⁴	24,47 ³	69,77 ⁸⁹
20	11,28 ²⁶	63,18 ²¹⁷	24,41 ⁶	70,75 ⁹⁸
30	10,97 ³¹	65,05 ¹⁸⁷	24,33 ⁸	71,76 ¹⁰¹
Mai 10	10,64 ³³	66,43 ¹³⁸	24,24 ⁹	72,78 ¹⁰²
20	10,29 ³⁵	67,40 ⁹⁷	24,14 ¹⁰	73,75 ⁹⁷
30	9,93 ³⁶	67,89 ⁴⁹	24,02 ¹²	74,65 ⁹⁰
Jun. 9	9,59 ³⁴	67,92 ³	23,91 ¹¹	75,42 ⁷⁷
19	9,27 ³²	67,45 ⁴⁷	23,80 ¹¹	76,08 ⁶⁶
29	8,98 ²⁹	66,52 ⁹³	23,69 ¹¹	76,60 ⁵²
Jul. 9	8,73 ²⁵	65,16 ¹³⁶	23,59 ¹⁰	76,98 ³⁸
19	8,52 ²¹	63,42 ¹⁷⁴	23,49 ¹⁰	77,16 ¹⁸
29	8,35 ¹⁷	61,29 ²¹³	23,41 ⁸	77,19 ³
Aug. 8	8,24 ¹¹	58,86 ²⁴³	23,35 ⁶	77,05 ¹⁴
18	8,18 ⁶	56,16 ²⁷⁰	23,30 ⁵	76,70 ³⁵
28	8,19 ¹	53,25 ²⁹¹	23,27 ³	76,14 ⁵⁶
Spt. 7	* 8,26 ⁷	49,87 ³³⁸	23,27 ⁰	75,39 ⁷⁵
17	8,40 ¹⁴	46,68 ³¹⁹	23,30 ³	74,42 ⁹⁷
27	8,61 ²¹	43,44 ³²⁴	* 23,37 ⁷	73,06 ¹³⁶
Oct. 7	8,88 ²⁷	40,26 ³¹⁸	23,48 ¹¹	71,63 ¹⁴³
17	9,22 ³⁴	37,13 ³¹³	23,62 ¹⁴	69,96 ¹⁶⁷
27	9,63 ⁴¹	34,21 ²⁹²	23,80 ¹⁸	68,14 ¹⁸²
Nov. 6	10,09 ⁴⁶	31,52 ²⁶⁹	24,02 ²²	66,10 ²⁰⁴
16	10,61 ⁵²	29,15 ²³⁷	24,29 ²⁷	63,97 ²¹³
26	11,17 ⁵⁶	27,15 ²⁰⁰	24,58 ²⁹	61,80 ²¹⁷
Dcb. 6	11,75 ⁵⁸	25,62 ¹⁵³	24,89 ³¹	59,60 ²²⁰
16	12,35 ⁶⁰	24,62 ¹⁰⁰	25,23 ³⁴	57,47 ²¹³
26	12,94 ⁵⁹	24,16 ⁴⁶	25,56 ³³	55,50 ¹⁹⁷
36	13,51 ⁵⁷	24,23 ⁷	25,88 ³²	53,73 ¹⁷⁷

1830		β VIRGINIS.		γ URSAE MAJORIS.	
		Ger. Aufstg.	Abweichg.	Ger. Aufstg.	Abweichg.
		^h 11	^o 2	^h 11	^o 54
Jan.	0	41' 50,57 ³⁰	42' 77,41 ¹⁹⁸	44' 50,71 ⁴⁷	37' 65,80 ⁴⁶
	10	50,87 ²⁸	75,43 ¹⁷⁹	51,18 ⁴⁴	65,34 ⁵
	20	51,15 ²⁶	73,64 ¹⁵⁷	51,62 ⁴⁰	65,39 ⁶⁵
	30	51,41 ²¹	72,07 ¹³⁵	52,02 ³⁴	66,04 ¹¹⁶
Febr.	9	51,62 ¹⁷	70,72 ¹⁰⁴	52,36 ²⁷	67,20 ¹⁶⁴
	19	51,79 ¹³	69,68 ⁷⁷	52,63 ²⁰	68,84 ²⁰¹
Mrz.	1	51,92 ⁹	68,91 ⁵¹	52,83 ¹³	70,85 ²³⁰
	11	52,01 ⁵	68,40 ²³	52,96 ⁵	73,15 ²⁴⁹
	21	52,06 ⁰	68,17 ²	53,01 ²	75,64 ²⁶¹
	31	52,06 ²	68,15 ¹⁹	52,99 ⁸	78,25 ²⁵³
Apr.	10	52,04 ⁵	68,34 ³²	52,91 ¹³	80,78 ²⁴⁰
	20	51,99 ⁷	68,66 ⁴⁷	52,78 ¹⁷	83,18 ²¹⁹
	30	51,92 ⁸	69,13 ⁵⁵	52,61 ²¹	85,37 ¹⁹¹
Mai	10	51,84 ¹⁰	69,68 ⁶²	52,40 ²⁴	87,28 ¹⁵⁵
	20	51,74 ¹⁰	70,30 ⁶⁶	52,16 ²⁵	88,83 ¹¹⁶
	30	51,64 ¹⁰	70,96 ⁶⁸	51,91 ²⁵	89,99 ⁷³
Jun.	9	51,54 ¹⁰	71,64 ⁶⁶	51,66 ²⁵	90,72 ²⁵
	19	51,44 ¹⁰	72,30 ⁶⁵	51,41 ²⁴	90,97 ¹⁵
	29	51,34 ¹⁰	72,95 ⁶²	51,17 ²³	90,82 ⁶³
Jul.	9	51,24 ⁹	73,57 ⁵⁷	50,94 ²¹	90,19 ¹⁰³
	19	51,15 ⁸	74,14 ⁴⁸	50,73 ¹⁸	89,16 ¹⁴⁵
	29	51,07 ⁶	74,62 ⁴⁰	50,55 ¹⁵	87,71 ¹⁸³
Aug.	8	51,01 ⁵	75,02 ²⁹	50,40 ¹¹	85,88 ²¹⁶
	18	50,96 ²	75,31 ¹²	50,29 ⁸	83,72 ²⁴⁷
	28	50,94 ⁰	75,43 ⁰	50,21 ³	81,25 ²⁷⁴
Spt.	7	50,94 ²	75,43 ²³	50,18 ²	78,51 ²⁹³
	17	50,96 ⁸	75,20 ⁵¹	50,20 ⁸	75,58 ³⁴³
	27	* 51,04 ¹⁰	74,69 ⁷²	* 50,28 ¹⁴	72,15 ³²¹
Oct.	7	51,14 ¹⁴	73,97 ⁹⁸	50,42 ¹⁹	68,94 ³²⁵
	17	51,28 ¹⁹	72,99 ¹²²	50,61 ²⁶	65,69 ³¹⁹
	27	51,47 ²²	71,77 ¹⁴⁹	50,87 ³¹	62,50 ³⁰⁹
Nov.	6	51,69 ²⁶	70,28 ¹⁷³	51,18 ³⁷	59,41 ²⁹⁰
	16	51,95 ²⁸	68,55 ¹⁹¹	51,55 ⁴²	56,51 ²⁶²
	26	52,23 ³¹	66,64 ²⁰¹	51,97 ⁴⁵	53,89 ²²⁴
Dcb.	6	52,54 ³²	64,63 ²⁰⁹	52,42 ⁴⁸	51,65 ¹⁸⁴
	16	52,86 ³³	62,54 ²¹¹	52,90 ⁴⁹	49,81 ¹³¹
	26	53,19 ³²	60,43 ²⁰³	53,39 ⁴⁹	48,50 ⁸⁰
	36	53,51	58,40	53,88	47,70

1830	α VIRGINIS.		η URSAE MAJORIS.	
	Ger. Aufstg.	Abweichg.	Ger. Aufstg.	Abweichg.
	^h 13	^o — 10	^h 13	^o 50
Jan. 0	16' 14,63 ³³	16' 12,05 ¹⁹⁸	40' 48,69 ⁴³	9' 40,59 ¹⁹⁰
10	14,96 ³¹	14,03 ¹⁹⁸	49,12 ⁴³	38,69 ¹³⁵
20	15,27 ³⁰	16,01 ¹⁹²	49,55 ⁴³	37,34 ⁷³
30	15,57 ²⁸	17,93 ¹⁷⁹	49,98 ⁴⁰	36,61 ¹³
Febr. 9	15,85 ²⁵	19,72 ¹⁶⁵	50,38 ³⁶	36,48 ⁴⁹
19	16,10 ²¹	21,37 ¹⁴²	50,74 ³²	36,97 ¹⁰⁵
Mrz. 1	16,31 ¹⁷	22,79 ¹²⁰	51,06 ²⁸	38,02 ¹⁵⁷
11	16,48 ¹⁴	23,99 ⁹⁷	51,34 ²¹	39,59 ¹⁹⁷
21	16,62 ¹⁰	24,96 ⁷⁵	51,55 ¹⁶	41,56 ²³⁴
31	16,72 ⁸	25,71 ⁵⁵	51,71 ¹⁰	43,90 ²⁵⁶
Apr. 10	16,80 ⁴	26,26 ³³	51,81 ⁴	46,46 ²⁷¹
20	16,84 ¹	26,59 ¹⁶	51,85 ¹	49,17 ²⁷²
30	16,85 ¹	26,75 ¹	51,84 ⁵	51,89 ²⁶⁴
Mai 10	16,84 ³	26,74 ¹⁴	51,79 ¹⁰	54,53 ²⁴⁸
20	16,81 ⁵	26,60 ²⁵	51,69 ¹⁴	57,01 ²²³
30	16,76 ⁷	26,35 ³⁶	51,55 ¹⁶	59,24 ¹⁹⁰
Jun. 9	16,69 ⁸	25,99 ⁴⁴	51,39 ¹⁹	61,14 ¹⁵⁶
19	16,61 ¹⁰	25,55 ⁵²	51,20 ²²	62,70 ¹¹⁵
29	16,51 ¹¹	25,03 ⁵⁹	50,98 ²³	63,85 ⁶⁸
Jul. 9	16,40 ¹¹	24,44 ⁶³	50,75 ²⁴	64,53 ²⁵
19	16,29 ¹²	23,81 ⁶⁶	50,51 ²⁵	64,78 ²²
29	16,17 ¹²	23,15 ⁶⁸	50,26 ²⁴	64,56 ⁶⁶
Aug. 8	16,05 ¹²	22,47 ⁶⁷	50,02 ²³	63,90 ¹¹¹
18	15,93 ¹⁰	21,80 ⁶²	49,79 ²²	62,79 ¹⁵⁵
28	15,83 ⁹	21,18 ⁵⁶	49,57 ¹⁹	61,24 ¹⁹⁴
Spt. 7	15,74 ⁶	20,62 ⁴⁵	49,38 ¹⁶	59,30 ²³⁴
17	15,68 ³	20,17 ³¹	49,22 ¹²	56,96 ²⁶⁵
27	15,65 ⁰	19,86 ¹¹	49,10 ⁷	54,31 ²⁹⁴
Oct. 7	* 15,65 ⁵	19,75 ¹⁶	49,03 ¹	51,37 ³²¹
17	* 15,70 ¹⁰	19,91 ³⁹	49,02 ⁵	48,16 ³⁷²
27	15,80 ¹⁵	20,30 ⁶⁹	* 49,07 ¹²	44,44 ³⁴⁷
Nov. 6	15,95 ¹⁹	20,99 ⁹⁷	49,19 ¹⁸	40,97 ³⁵⁰
16	16,14 ²³	21,96 ¹²³	49,37 ²⁴	37,47 ³⁴²
26	16,37 ²⁷	23,19 ¹⁴⁹	49,61 ³⁰	34,05 ³²⁸
Dcb. 6	16,64 ³⁰	24,68 ¹⁷¹	49,91 ³⁶	30,77 ²⁹⁶
16	16,94 ³¹	26,39 ¹⁸⁷	50,27 ³⁹	27,81 ²⁶⁰
26	17,25 ³³	28,26 ¹⁹⁶	50,66 ⁴²	25,21 ²¹⁹
36	17,58	30,22	51,08	23,02

1830	α BOOTIS.		γ LIBRAE.	
	Ger. Aufstg.	Abweichg.	Ger. Aufstg.	Abweichg.
	^h 14	^o 20	^h 14	^o — 15
Jan. 0	7' 53,74 ³²	3' 73,24 ²²⁵	41' 17,19 ³¹	16' 57,34 ¹⁵⁶
10	54,06 ³²	70,99 ¹⁹⁵	17,50 ³²	58,90 ¹⁶²
20	54,38 ³²	69,04 ¹⁵⁹	17,82 ³²	60,52 ¹⁶³
30	54,70 ³⁰	67,45 ¹¹⁷	18,14 ³¹	62,15 ¹⁵⁸
Febr. 9	55,00 ²⁸	66,28 ⁷²	18,45 ³⁰	63,73 ¹⁴⁹
19	55,28 ²⁶	65,56 ²⁸	18,75 ²⁷	65,22 ¹³⁶
Mrz. 1	55,54 ²²	65,28 ¹⁴	19,02 ²⁴	66,58 ¹²²
11	55,76 ¹⁸	65,42 ⁵⁵	19,26 ²²	67,80 ¹⁰¹
21	55,94 ¹⁵	65,97 ⁸⁹	19,48 ¹⁹	68,81 ⁸²
31	56,09 ¹²	66,86 ¹¹⁸	19,67 ¹⁶	69,63 ⁶⁷
Apr. 10	56,21 ⁸	68,04 ¹⁴²	19,83 ¹³	70,30 ⁴⁹
20	56,29 ⁵	69,46 ¹⁵⁵	19,96 ¹⁰	70,79 ³⁴
30	56,34 ²	71,01 ¹⁶⁴	20,06 ⁸	71,13 ²⁰
Mai 10	56,36 ⁰	72,65 ¹⁶⁴	20,14 ⁴	71,33 ⁷
20	56,36 ⁴	74,29 ¹⁵⁶	20,18 ²	71,40 ³
30	56,32 ⁶	75,85 ¹⁴⁸	20,20 ¹	71,37 ¹⁰
Jun. 9	56,26 ⁸	77,33 ¹³³	20,19 ³	71,27 ¹⁹
19	56,18 ⁹	78,66 ¹¹³	20,16 ⁶	71,08 ²⁶
29	56,09 ¹²	79,79 ⁹⁰	20,10 ⁹	70,82 ³³
Jul. 9	55,97 ¹³	80,69 ⁶⁷	20,01 ¹⁰	70,49 ³⁸
19	55,84 ¹⁵	81,36 ⁴²	19,91 ¹³	70,11 ⁴⁵
29	55,69 ¹⁵	81,78 ¹²	19,78 ¹⁴	69,66 ⁴⁹
Aug. 8	55,54 ¹⁵	81,90 ¹³	19,64 ¹⁵	69,17 ⁵²
18	55,39 ¹⁴	81,77 ⁴⁴	19,49 ¹⁵	68,65 ⁵⁴
28	55,25 ¹⁴	81,33 ⁷²	19,34 ¹⁵	68,11 ⁵⁵
Spt. 7	55,11 ¹²	80,61 ¹⁰³	19,19 ¹³	67,56 ⁵⁰
17	54,99 ⁹	79,58 ¹³⁰	19,06 ¹⁰	67,06 ⁴⁷
27	54,90 ⁵	78,28 ¹⁶⁰	18,96 ⁸	66,59 ³²
Oct. 7	54,85 ²	76,68 ¹⁸⁵	18,88 ³	66,27 ²¹
17	54,83 ³	74,83 ²³⁵	18,85 ¹	66,06 ³
27	* 54,86 ⁸	72,48 ²³⁶	* 18,86 ⁶	66,03 ²²
Nov. 6	54,94 ¹³	70,12 ²⁵⁵	18,92 ¹²	66,25 ⁴⁴
16	55,07 ¹⁸	67,57 ²⁶⁴	19,04 ¹⁶	66,69 ⁷¹
26	55,25 ²²	64,93 ²⁷¹	19,20 ²²	67,40 ⁹⁴
Dcb. 6	55,47 ²⁶	62,22 ²⁷¹	19,42 ²⁵	68,34 ¹¹⁴
16	55,73 ²⁹	59,51 ²⁵⁷	19,67 ²⁸	69,48 ¹³⁶
26	56,02 ³²	56,94 ²⁴²	19,95 ³¹	70,84 ¹⁵³
36	56,34	54,52	20,26	72,37

1830	2 α LIBRAE.		β URSAE MINORIS.	
	Ger. Aufstg.	Abweichg.	Ger. Aufstg.	Abweichg.
	^h 14	^o — 15	^h 14	^o 74
Jan. 0	14' 28,57 ³¹	19' 38,80 ¹⁵⁵	51' 13,06 ⁷⁷	50' 50,82 ²³¹
10	28,88 ³²	40,35 ¹⁶²	13,83 ⁸⁵	48,51 ¹⁷⁵
20	29,20 ³²	41,97 ¹⁶³	14,68 ⁸⁹	46,76 ¹¹⁰
30	29,52 ³¹	43,60 ¹⁵⁹	15,57 ⁹⁰	45,66 ⁴⁵
Febr. 9	29,83 ³⁰	45,19 ¹⁴⁸	16,47 ⁸⁸	45,21 ²⁶
19	30,13 ²⁷	46,67 ¹³⁷	17,35 ⁸³	45,47 ⁸⁹
Mrz. 1	30,40 ²⁴	48,04 ¹¹⁹	18,18 ⁷⁶	46,36 ¹⁵¹
11	30,64 ²²	49,23 ¹⁰²	18,94 ⁶⁵	47,87 ²⁰⁵
21	30,86 ¹⁹	50,25 ⁸⁵	19,59 ⁵³	49,92 ²⁵⁰
31	31,05 ¹⁶	51,10 ⁶⁵	20,12 ³⁹	52,42 ²⁸³
Apr. 10	31,21 ¹³	51,75 ⁵⁰	20,51 ²⁶	55,25 ³⁰⁷
20	31,34 ¹⁰	52,25 ³³	20,77 ¹¹	58,32 ³¹⁶
30	31,44 ⁸	52,58 ²⁰	20,88 ⁴	61,48 ³¹⁷
Mai 10	31,52 ⁵	52,78 ⁷	20,84 ¹⁶	64,65 ³⁰⁷
20	31,57 ¹	52,85 ¹	20,68 ³⁰	67,72 ²⁸²
30	31,58 ¹	52,84 ¹⁰	20,38 ⁴²	70,54 ²⁵³
Jun. 9	31,57 ³	52,74 ¹⁹	19,96 ⁵¹	73,07 ²¹⁸
19	31,54 ⁶	52,55 ²⁶	19,45 ⁶¹	75,25 ¹⁷⁴
29	31,48 ⁸	52,29 ³⁴	18,84 ⁶⁷	76,99 ¹²⁶
Jul. 9	31,40 ¹¹	51,95 ³⁸	18,17 ⁷⁴	78,25 ⁷⁶
19	31,29 ¹³	51,57 ⁴³	17,43 ⁷⁷	79,01 ²⁵
29	31,16 ¹⁴	51,14 ⁴⁹	16,66 ⁷⁹	79,26 ³⁰
Aug. 8	31,02 ¹⁵	50,65 ⁵²	15,87 ⁷⁸	78,96 ⁷⁹
18	30,87 ¹⁵	50,13 ⁵⁶	15,09 ⁷⁷	78,17 ¹³⁰
28	30,72 ¹⁴	49,57 ⁵⁵	14,32 ⁷⁴	76,87 ¹⁸⁰
Spt. 7	30,58 ¹³	49,02 ⁵¹	13,58 ⁶⁸	75,07 ²²⁵
17	30,45 ¹¹	48,51 ⁴⁵	12,90 ⁶¹	72,82 ²⁶⁴
27	30,34 ⁷	48,06 ³²	12,29 ⁵¹	70,18 ³⁰²
Oct. 7	30,27 ⁴	47,74 ²²	11,78 ⁴⁰	67,16 ³³³
17	30,23 ¹	47,52 ³	11,38 ²⁸	63,83 ³⁵⁶
27	30,24 ⁶	47,49 ²⁰	11,10 ¹⁴	60,27 ⁴¹⁰
Nov. 6	* 30,30 ¹²	47,69 ⁴⁵	* 10,96 ²	56,17 ³⁸⁰
16	30,42 ¹⁶	48,14 ⁶⁹	10,98 ¹⁹	52,37 ³⁷⁷
26	30,58 ²²	48,83 ⁹²	11,17 ³³	48,60 ³⁶⁶
Dcb. 6	30,80 ²⁵	49,75 ¹¹⁶	11,50 ⁴⁸	44,94 ³⁴⁰
16	31,05 ²⁸	50,91 ¹³⁶	11,98 ⁶¹	41,54 ³⁰⁶
26	31,33 ³¹	52,27 ¹⁵¹	12,59 ⁷³	38,48 ²⁶³
36	31,64	53,78	13,32	35,85

1830	α CORONAE.		α SERPENTIS.	
	Ger. Aufstg.	Abweichg.	Ger. Aufstg.	Abweichg.
	^h 15	^o 27	^h 15	^o 6
Jan. 0	27' 28,21	17' 29,49	35' 52,91	57' 61,98
10	28,49 ²⁸	26,90 ²⁵⁹	53,18 ²⁷	59,88 ²¹⁰
20	28,80 ³¹	24,62 ²²⁸	53,47 ²⁹	57,94 ¹⁹⁴
30	29,12 ³²	22,72 ¹⁹⁰	53,77 ³⁰	56,18 ¹⁷⁶
Febr. 9	29,44 ³²	21,28 ¹⁴⁴	54,07 ³⁰	54,72 ¹⁴⁶
19	29,76 ³²	20,34 ⁹⁴	54,37 ³⁰	53,55 ¹¹⁷
Mrz. 1	30,06 ³⁰	19,92 ⁴²	54,65 ²⁸	52,76 ⁷⁹
11	30,34 ²⁸	20,03 ¹¹	54,91 ²⁶	52,31 ⁴⁵
21	30,60 ²⁶	20,61 ⁵⁸	55,15 ²⁴	52,22 ⁹
31	30,83 ²³	21,67 ¹⁰⁶	55,37 ²²	52,49 ²⁷
Apr. 10	31,02 ¹⁹	23,13 ¹⁴⁶	55,57 ²⁰	53,06 ⁵⁷
20	31,19 ¹⁷	24,89 ¹⁷⁶	55,74 ¹⁷	53,88 ⁸²
30	31,32 ¹³	26,91 ²⁰²	55,88 ¹⁴	54,92 ¹⁰⁴
Mai 10	31,42 ¹⁰	29,05 ²¹⁴	56,00 ¹²	56,12 ¹²⁰
20	31,48 ⁶	31,29 ²²⁴	56,08 ⁸	57,41 ¹²⁹
30	31,51 ³	33,53 ²²⁴	56,14 ⁶	58,75 ¹³⁴
Jun. 9	31,51 ⁰	35,69 ²¹⁶	56,17 ³	60,09 ¹³⁴
19	31,47 ⁴	37,69 ²⁰⁰	56,17 ⁰	61,36 ¹²⁷
29	31,41 ⁶	39,50 ¹⁸¹	56,13 ⁴	62,55 ¹¹⁹
Jul. 9	31,31 ¹⁰	41,06 ¹⁵⁶	56,07 ⁶	63,63 ¹⁰⁸
19	31,18 ¹³	42,33 ¹²⁷	55,98 ⁹	64,57 ⁹⁴
29	31,03 ¹⁵	43,31 ⁹⁸	55,87 ¹¹	65,34 ⁷⁷
Aug. 8	30,86 ¹⁷	43,95 ⁶⁴	55,73 ¹⁴	65,94 ⁶⁰
18	30,68 ¹⁸	44,24 ²⁹	55,58 ¹⁵	66,37 ⁴³
28	30,49 ¹⁹	44,15 ⁹	55,42 ¹⁶	66,61 ²⁴
Spt. 7	30,30 ¹⁹	43,71 ⁴⁴	55,25 ¹⁷	66,62 ¹
17	30,12 ¹⁸	42,93 ⁷⁸	55,09 ¹⁶	66,42 ²⁰
27	29,95 ¹⁷	41,76 ¹¹⁷	54,95 ¹⁴	65,98 ⁴⁴
Oct. 7	29,81 ¹⁴	40,24 ¹⁵²	54,83 ¹²	65,31 ⁶⁷
17	29,70 ¹¹	38,40 ¹⁸⁴	54,74 ⁹	64,40 ⁹¹
27	29,64 ⁶	36,23 ²¹⁷	54,69 ⁵	63,24 ¹¹⁶
Nov. 6	29,63 ¹	33,80 ²⁴³	54,68 ¹	61,84 ¹⁴⁰
16	* 29,67 ⁴	30,86 ²⁹⁴	* 54,74 ⁶	60,05 ¹⁷⁹
26	29,76 ⁹	28,00 ²⁸⁶	54,84 ¹⁰	58,21 ¹⁸⁴
Dcb. 6	29,91 ¹⁵	25,03 ²⁹⁷	54,98 ¹⁴	56,21 ²⁰⁰
16	30,11 ²⁰	22,04 ²⁹⁹	55,17 ¹⁹	54,09 ²¹²
26	30,35 ²⁴	19,15 ²⁸⁹	55,41 ²⁴	51,92 ²¹⁷
36	30,62 ²⁷	16,41 ²⁷⁴	55,68 ²⁷	49,77 ²¹⁵

1830	α SCORPIONIS.		α HERCULIS.	
	Ger. Aufstg.	Abweichg.	Ger. Aufstg.	Abweichg.
	^h 16	^o — 26	^h 17	^o 14
Jan. 0	18' 58,62 ²⁸	2' 36,60 ⁵⁵	6' 52,53 ²¹	35' 30,52 ²³²
10	58,90 ³¹	37,15 ⁶⁹	52,74 ²³	28,20 ²¹⁹
20	59,21 ³²	37,84 ⁷⁷	52,97 ²⁶	26,01 ¹⁹⁶
30	59,53 ³²	38,61 ⁸⁹	53,23 ²⁸	24,05 ¹⁶⁹
Febr. 9	59,85 ³³	39,50 ⁸⁸	53,51 ²⁸	22,36 ¹³³
19	60,18 ³²	40,38 ⁹⁰	53,79 ²⁹	21,03 ⁹³
Mrz. 1	60,50 ³¹	41,28 ⁸⁸	54,08 ²⁸	20,10 ⁴⁹
11	60,81 ³⁰	42,16 ⁸⁴	54,36 ²⁸	19,61 ⁶
21	61,11 ²⁸	43,00 ⁷⁵	54,64 ²⁷	19,55 ³⁷
31	61,39 ²⁶	43,75 ⁶⁸	54,91 ²⁵	19,92 ⁷⁸
Apr. 10	61,65 ²³	44,43 ⁶³	55,16 ²⁴	20,70 ¹¹⁴
20	61,88 ²¹	45,06 ⁶⁰	55,40 ²²	21,84 ¹⁴²
30	62,09 ¹⁹	45,66 ⁴⁹	55,62 ¹⁹	23,26 ¹⁶⁷
Mai 10	62,28 ¹⁵	46,15 ⁴⁸	55,81 ¹⁷	24,93 ¹⁸³
20	62,43 ¹²	46,63 ⁴⁴	55,98 ¹³	26,76 ¹⁹³
30	62,55 ⁹	47,07 ⁴⁰	56,11 ¹⁰	28,69 ¹⁹⁷
Jun. 9	62,64 ⁵	47,47 ³⁵	56,21 ⁷	30,66 ¹⁹²
19	62,69 ¹	47,82 ³²	56,28 ³	32,58 ¹⁸⁴
29	62,70 ³	48,14 ²⁶	56,31 ¹	34,42 ¹⁷²
Jul. 9	62,67 ⁶	48,40 ¹⁹	56,30 ⁴	36,14 ¹⁵⁴
19	62,61 ¹⁰	48,59 ¹²	56,26 ⁸	37,68 ¹³³
29	62,51 ¹³	48,71 ²	56,18 ¹¹	39,01 ¹¹⁰
Aug. 8	62,38 ¹⁶	48,73 ⁹	56,07 ¹⁵	40,11 ⁸⁶
18	62,22 ¹⁷	48,64 ¹⁹	55,92 ¹⁷	40,97 ⁵⁸
28	62,05 ¹⁹	48,45 ³⁰	55,75 ¹⁸	41,55 ³⁰
Spt. 7	61,86 ¹⁹	48,15 ⁴⁰	55,57 ¹⁹	41,85 ¹
17	61,67 ¹⁸	47,75 ⁴⁷	55,38 ¹⁹	41,86 ²⁵
27	61,49 ¹⁵	47,28 ⁵³	55,19 ¹⁸	41,61 ⁵⁸
Oct. 7	61,34 ¹³	46,75 ⁵⁷	55,01 ¹⁶	41,03 ⁸⁶
17	61,21 ⁸	46,18 ⁵⁴	54,85 ¹³	40,17 ¹¹⁸
27	61,13 ⁴	45,64 ⁴⁷	54,72 ⁹	38,99 ¹⁴³
Nov. 6	61,09 ²	45,17 ⁴⁰	54,63 ⁵	37,56 ¹⁷²
16	61,11 ⁷	44,77 ²⁶	54,58 ⁰	35,84 ¹⁹⁴
26	61,18 ¹⁴	44,51 ⁸	54,58 ⁵	33,90 ²¹⁶
Dcb. 6	* 61,32 ¹⁸	44,43 ¹³	* 54,63 ¹⁰	31,74 ²⁵⁴
16	61,50 ²³	44,56 ²⁷	54,73 ¹⁵	29,20 ²³⁹
26	61,73 ²⁷	44,83 ³²	54,88 ¹⁹	26,81 ²³⁷
36	62,00	45,15	55,07	24,44

1830	α OPHIUCHI.		γ DRACONIS.	
	Ger. Aufstg.	Abweichg.	Ger. Aufstg.	Abweichg.
	^h 17	^o 12	^h 17	^o 51
Jan. 0	27' 1,29 ¹⁸	41' 31,31 ²²¹	52' 37,55 ¹⁶	30' 47,95 ³⁴³
10	1,47 ²²	29,10 ²¹⁰	37,71 ²²	44,52 ³²⁵
20	1,69 ²⁴	27,00 ¹⁹¹	37,93 ²⁷	41,27 ²⁹⁶
30	1,93 ²⁷	25,09 ¹⁶⁷	38,20 ³²	38,31 ²⁵⁵
Febr. 9	2,20 ²⁷	23,42 ¹³²	38,52 ³⁵	35,76 ²⁰⁵
19	2,47 ²⁸	22,10 ⁹⁷	38,87 ³⁸	33,71 ¹⁴⁸
Mrz. 1	2,75 ²⁹	21,13 ⁵⁵	39,25 ³⁹	32,23 ⁸³
11	3,04 ²⁸	20,58 ¹³	39,64 ⁴⁰	31,40 ¹⁵
21	3,32 ²⁷	20,45 ³⁰	40,04 ³⁹	31,25 ⁴⁰
31	3,59 ²⁶	20,75 ⁶⁹	40,43 ³⁷	31,65 ¹⁰⁸
Apr. 10	3,85 ²⁵	21,44 ¹⁰⁵	40,80 ³⁵	32,73 ¹⁶¹
20	4,10 ²³	22,49 ¹³⁵	41,15 ³³	34,34 ²¹⁴
30	4,33 ²¹	23,84 ¹⁵⁷	41,48 ²⁸	36,48 ²⁵²
Mai 10	4,54 ¹⁸	25,41 ¹⁷⁸	41,76 ²⁴	39,00 ²⁸⁶
20	4,72 ¹⁶	27,19 ¹⁸⁶	42,00 ¹⁹	41,86 ³⁰⁸
30	4,88 ¹²	29,05 ¹⁹¹	42,19 ¹³	44,94 ³¹⁹
Jun. 9	5,00 ⁹	30,96 ¹⁹⁰	42,32 ⁸	48,13 ³²⁴
19	5,09 ⁵	32,86 ¹⁸⁴	42,40 ²	51,37 ³¹⁵
29	5,14 ¹	34,70 ¹⁷⁰	42,42 ⁴	54,52 ³⁰³
Jul. 9	5,15 ³	36,40 ¹⁵³	42,38 ¹⁰	57,55 ²⁷⁹
19	5,12 ⁶	37,93 ¹³⁶	42,28 ¹⁶	60,34 ²⁵¹
29	5,06 ¹⁰	39,29 ¹¹⁴	42,12 ²¹	62,85 ²¹⁷
Aug. 8	4,96 ¹³	40,43 ⁹⁰	41,91 ²⁵	65,02 ¹⁷⁶
18	4,83 ¹⁶	41,33 ⁶⁵	41,66 ²⁹	66,78 ¹³⁵
28	4,67 ¹⁸	41,98 ³⁷	41,37 ³³	68,13 ⁹¹
Spt. 7	4,49 ¹⁹	42,35 ¹¹	41,04 ³⁴	69,04 ⁴¹
17	4,30 ¹⁹	42,46 ¹⁷	40,70 ³⁴	69,45 ⁹
27	4,11 ¹⁸	42,29 ⁴³	40,36 ³⁴	69,36 ⁵⁹
Oct. 7	3,93 ¹⁷	41,86 ⁷⁴	40,02 ³³	68,77 ¹⁰⁸
17	3,76 ¹⁴	41,12 ¹⁰⁰	39,69 ³⁰	67,69 ¹⁵⁹
27	3,62 ¹¹	40,12 ¹³¹	39,39 ²⁶	66,10 ²⁰⁶
Nov. 6	3,51 ⁶	38,81 ¹⁵⁵	39,13 ²¹	64,04 ²⁴⁸
16	3,45 ²	37,26 ¹⁷⁸	38,92 ¹⁴	61,56 ²⁸⁴
26	3,43 ³	35,48 ²⁰⁰	38,78 ⁸	58,72 ³¹⁸
Dcb. 6	3,46 ⁹	33,48 ²³⁷	38,70 ²	55,54 ³³⁷
16	3,55 ¹³	31,11 ²²⁵	38,68 ⁶	52,17 ³⁸⁸
26	3,68 ¹⁷	28,86 ²²⁸	* 38,74 ¹²	48,29 ³⁴⁸
36	3,85	26,58	38,86	44,81

1830	α LYRAE.		γ AQUILAE.	
	Ger. Aufstg.	Abweichg.	Ger. Aufstg.	Abweichg.
	^h 18	^o 38	^h 19	^o 10
Jan. 0	31' 9,27 ¹¹	37' 55,31 ³¹⁴	38' 9,28 ⁵	12' 24,94 ¹⁷⁸
10	9,38 ¹⁵	52,17 ³⁰⁵	9,33 ¹¹	23,16 ¹⁸¹
20	9,53 ²⁰	49,12 ²⁸³	* 9,44 ¹³	21,35 ¹⁶⁸
30	9,73 ²⁴	46,29 ²⁵⁴	9,57 ¹⁷	19,67 ¹⁵¹
Febr. 9	9,97 ²⁷	43,75 ²¹³	9,74 ¹⁹	18,16 ¹³²
19	10,24 ²⁹	41,62 ¹⁶³	9,93 ²¹	16,84 ⁹⁹
Mrz. 1	10,53 ³²	39,99 ¹⁰⁷	10,14 ²³	15,85 ⁶⁶
11	10,85 ³²	38,92 ⁵⁰	10,37 ²⁶	15,19 ³⁰
21	11,17 ³³	38,42 ¹⁰	10,63 ²⁶	14,89 ¹⁰
31	11,50 ³²	38,52 ⁶⁸	10,89 ²⁸	14,99 ⁴⁸
Apr. 10	11,82 ³²	39,20 ¹²⁴	11,17 ²⁸	15,47 ⁸⁵
20	12,14 ³⁰	40,44 ¹⁷⁵	11,45 ²⁹	16,32 ¹²⁰
30	12,44 ²⁸	42,19 ²¹⁴	11,74 ²⁸	17,52 ¹⁴⁸
Mai 10	12,72 ²⁵	44,33 ²⁵⁰	12,02 ²⁷	19,00 ¹⁷²
20	12,97 ²²	46,83 ²⁷⁸	12,29 ²⁶	20,72 ¹⁹¹
30	13,19 ¹⁸	49,61 ²⁹³	12,55 ²³	22,63 ²⁰⁰
Jun. 9	13,37 ¹⁴	52,54 ³⁰³	12,78 ²⁰	24,63 ²⁰⁷
19	13,51 ⁸	55,57 ³⁰¹	12,98 ¹⁷	26,70 ²⁰⁶
29	13,59 ⁴	58,58 ²⁹²	13,15 ¹³	28,76 ²⁰⁰
Jul. 9	13,63 ¹	61,50 ²⁷⁹	13,28 ⁹	30,76 ¹⁸⁹
19	13,62 ⁶	64,29 ²⁵⁵	13,37 ⁵	32,65 ¹⁷³
29	13,56 ¹¹	66,84 ²³⁰	13,42 ⁰	34,38 ¹⁵⁴
Aug. 8	13,45 ¹⁵	63,14 ¹⁹⁶	13,42 ⁴	35,92 ¹³⁰
18	13,30 ¹⁹	71,10 ¹⁶²	13,38 ⁸	37,22 ¹¹⁶
28	13,11 ²³	72,72 ¹²¹	13,30 ¹²	38,38 ⁸⁸
Spt. 7	12,88 ²⁴	73,93 ⁷⁶	13,18 ¹⁵	39,26 ⁶²
17	12,64 ²⁶	74,69 ³⁶	13,03 ¹⁷	39,88 ³⁹
27	12,38 ²⁷	75,05 ¹⁰	12,86 ¹⁸	40,27 ¹¹
Oct. 7	12,11 ²⁵	74,95 ⁵⁵	12,68 ¹⁸	40,38 ¹⁴
17	11,86 ²⁴	74,40 ¹⁰⁴	12,50 ¹⁸	40,24 ⁴⁰
27	11,62 ²¹	73,36 ¹⁴⁸	12,32 ¹⁶	39,84 ⁶⁵
Nov. 6	11,41 ¹⁷	71,88 ¹⁹⁰	12,16 ¹⁴	39,19 ⁹²
16	11,24 ¹³	69,98 ²²⁸	12,02 ¹¹	38,27 ¹¹³
26	11,11 ⁸	67,70 ²⁶³	11,91 ⁷	37,14 ¹³⁴
Dcb. 6	11,03 ³	65,07 ²⁹⁰	11,84 ⁴	35,80 ¹⁵⁴
16	11,00 ³	62,17 ³⁰⁷	11,80 ⁰	34,26 ¹⁶⁹
26	* 11,03 ⁹	59,10 ³⁵⁰	11,80 ⁴	32,57 ¹⁷⁵
36	11,12	55,60	11,84	30,82

1830	α AQUILAE.		β AQUILAE.	
	Ger. Aufstg.	Abweichg.	Ger. Aufstg.	Abweichg.
	^h 19	^o 8	^h 19	^o 5
Jan. 0	42' 27,92 ⁶	25' 38,73 ¹⁶⁵	46' 56,43 ⁴	59' 23,43 ¹⁵⁴
10	* 27,98 ¹⁰	37,08 ¹⁸²	* 56,47 ¹⁰	21,89 ¹⁶⁷
20	28,08 ¹³	35,26 ¹⁵⁶	56,57 ¹²	20,22 ¹⁴⁶
30	28,21 ¹⁶	33,70 ¹⁴¹	56,69 ¹⁶	18,76 ¹³⁰
Febr. 9	28,37 ¹⁸	32,29 ¹²⁰	56,85 ¹⁸	17,46 ¹⁰⁹
19	28,55 ²¹	31,09 ⁹²	57,03 ²¹	16,37 ⁸³
Mrz. 1	28,76 ²⁴	30,17 ⁶⁰	57,24 ²³	15,54 ⁵⁴
11	29,00 ²⁵	29,57 ²²	57,47 ²⁵	15,00 ¹⁸
21	29,25 ²⁶	29,35 ¹³	57,72 ²⁶	14,82 ¹⁷
31	29,51 ²⁸	29,48 ⁵⁰	57,98 ²⁷	14,99 ⁵⁰
Apr. 10	29,79 ²⁸	29,98 ⁸⁶	58,25 ²⁹	15,49 ⁸⁵
20	30,07 ²⁹	30,84 ¹¹⁹	58,54 ²⁸	16,34 ¹¹⁵
30	30,36 ²⁸	32,03 ¹⁴⁸	58,82 ²⁸	17,49 ¹⁴¹
Mai 10	30,64 ²⁸	33,51 ¹⁶⁸	59,10 ²⁸	18,90 ¹⁶²
20	30,92 ²⁶	35,19 ¹⁸⁷	59,38 ²⁶	20,52 ¹⁷⁶
30	31,18 ²³	37,06 ¹⁹⁶	59,64 ²⁴	22,28 ¹⁸⁶
Jun. 9	31,41 ²¹	39,02 ²⁰¹	59,88 ²¹	24,14 ¹⁸⁸
19	31,62 ¹⁸	41,03 ²⁰⁰	60,09 ¹⁸	26,02 ¹⁸⁸
29	31,80 ¹³	43,03 ¹⁹²	60,27 ¹⁴	27,90 ¹⁷⁹
Jul. 9	31,93 ¹⁰	44,95 ¹⁸³	60,41 ¹⁰	29,69 ¹⁶⁹
19	32,03 ⁵	46,78 ¹⁶⁶	60,51 ⁶	31,38 ¹⁵²
29	32,08 ¹	48,44 ¹⁴⁸	60,57 ¹	32,90 ¹³⁶
Aug. 8	32,09 ⁴	49,92 ¹³¹	60,58 ³	34,26 ¹¹⁵
18	32,05 ⁷	51,23 ¹⁰⁴	60,55 ⁷	35,41 ⁹⁶
28	31,98 ¹¹	52,27 ⁸⁴	60,48 ¹¹	36,37 ⁷²
Spt. 7	31,87 ¹⁵	53,11 ⁵⁹	60,37 ¹³	37,09 ⁴⁹
17	31,72 ¹⁶	53,70 ³⁶	60,24 ¹⁶	37,58 ²⁸
27	31,56 ¹⁷	54,06 ¹²	60,08 ¹⁷	37,86 ⁵
Oct. 7	31,39 ¹⁸	54,18 ¹⁵	59,91 ¹⁸	37,91 ¹⁷
17	31,21 ¹⁸	54,03 ³⁷	59,73 ¹⁸	37,74 ³⁸
27	31,03 ¹⁶	53,66 ⁶²	59,55 ¹⁶	37,36 ⁶⁰
Nov. 6	30,87 ¹⁴	53,04 ⁸⁴	59,39 ¹³	36,76 ⁸¹
16	30,73 ¹¹	52,20 ¹⁰⁵	59,26 ¹¹	35,95 ¹⁰¹
26	30,62 ⁷	51,15 ¹²⁷	59,15 ⁸	34,94 ¹¹⁹
Dcb. 6	30,55 ⁴	49,88 ¹⁴⁴	59,07 ⁴	33,75 ¹³⁴
16	30,51 ⁰	48,44 ¹⁵⁷	59,03 ⁰	32,41 ¹⁴⁵
26	30,51 ⁴	46,87 ¹⁶⁵	59,03 ³	30,96 ¹⁵⁴
36	30,55	45,22	59,06	29,42

1830	1 α CAPRICORNI.		2 α CAPRICORNI.	
	Ger. Aufstg.	Abweichg.	Ger. Aufstg.	Abweichg.
	^h 20	^o — 13	^h 20	^o — 13
Jan. 0	8' 11,70	1' 34,96	8' 35,55	3' 52,60
10	11,75	35,33	35,60	52,97
20	11,83	35,66	35,68	53,29
30	* 11,95	35,94	* 35,81	53,57
Febr. 9	12,10	36,09	35,95	53,72
19	12,26	36,10	36,13	53,74
Mrz. 1	12,48	35,95	36,33	53,60
11	12,70	35,67	36,56	53,28
21	12,95	35,18	36,80	52,79
31	13,21	34,49	37,07	52,11
Apr. 10	13,49	33,64	37,35	51,26
20	13,78	32,64	37,64	50,25
30	14,08	31,52	37,93	49,13
Mai 10	14,38	30,32	38,23	47,91
20	14,67	29,08	38,53	46,66
30	14,96	27,83	38,81	45,42
Jun. 9	15,23	26,61	39,08	44,21
19	15,47	25,49	39,33	43,10
29	15,68	24,48	39,54	42,08
Jul. 9	15,86	23,61	39,71	41,22
19	15,99	22,92	39,85	40,51
29	16,08	22,37	39,94	40,00
Aug. 8	16,13	22,01	39,98	39,62
18	16,13	21,79	39,98	39,42
28	16,08	21,76	39,94	39,37
Spt. 7	15,99	21,85	39,85	39,47
17	15,87	22,02	39,73	39,65
27	15,72	22,30	39,58	39,92
Oct. 7	15,56	22,63	39,42	40,25
17	15,38	23,01	39,24	40,63
27	15,21	23,42	39,07	41,04
Nov. 6	15,05	23,85	38,91	41,46
16	14,91	24,28	38,77	41,89
26	14,80	24,70	38,66	42,33
Decb. 6	14,72	25,15	38,58	42,79
16	14,67	25,60	38,53	43,21
26	14,66	26,03	38,52	43,65
36	14,69	26,45	38,55	44,08

1830	α CYGNI.		α CEPHEI.	
	Ger. Aufstg.	Abweichg.	Ger. Aufstg.	Abweichg.
	^h 20	^o 44	^h 21	^o 61
Jan. 0	35' 36,98	40' 47,36	14' 29,63	51' 77,99
10	36,92	44,55	29,42	75,28
20	36,91	41,58	29,27	72,28
30	* 36,96	38,27	29,20	69,09
Febr. 9	37,05	35,32	* 29,21	65,49
19	37,19	32,58	29,31	62,29
Mrz. 1	37,38	30,15	29,48	59,28
11	37,61	28,09	29,73	56,59
21	37,89	26,52	30,05	54,31
31	38,19	25,50	30,44	52,53
Apr. 10	38,52	25,05	30,88	51,33
20	38,87	25,20	31,35	50,74
30	39,24	25,92	31,85	50,74
Mai 10	39,60	27,19	32,36	51,38
20	39,95	28,96	32,87	52,60
30	40,29	31,19	33,36	54,36
Jun. 9	40,60	33,76	33,81	56,62
19	40,88	36,63	34,22	59,28
29	41,11	39,71	34,58	62,28
Jul. 9	41,30	42,93	34,86	65,55
19	41,43	46,21	35,08	68,99
29	41,51	49,43	35,21	72,52
Aug. 8	41,53	52,56	35,27	76,07
18	41,49	55,51	35,25	79,54
28	41,40	58,24	35,15	82,88
Spt. 7	41,26	60,67	34,98	86,01
17	41,07	62,78	34,74	88,87
27	40,85	64,50	34,44	91,39
Oct. 7	40,61	65,81	34,09	93,54
17	40,34	66,67	33,70	95,21
27	40,07	67,05	33,29	96,40
Nov. 6	39,81	66,95	32,87	97,07
16	39,55	66,34	32,44	97,18
26	39,32	65,23	32,03	96,73
Dcb. 6	39,11	63,65	31,64	95,71
16	38,94	61,65	31,28	94,13
26	38,81	59,27	30,98	92,06
36	38,73	56,56	30,73	89,53

1830	β CEPHEI.		α AQUARI.	
	Ger. Aufstg.	Abweichg.	Ger. Aufstg.	Abweichg.
	^h 21	^o 69	^h 21	^o — 1
Jan. 30	26' 24,56 ³⁷	48' 72,78 ²⁵⁹	57' 2,03 ⁵	8' 30,79 ⁸⁴
10	24,19 ²⁶	70,19 ²⁹²	1,98 ³	31,63 ⁷⁹
20	23,93 ¹⁷	67,27 ³¹⁹	1,95 ⁰	32,42 ⁷³
30	23,76 ⁶	64,08 ³³⁰	1,95 ³	33,15 ⁶⁴
Febr. 9	23,70 ⁷	60,78 ³⁶³	1,98 ⁶	33,79 ⁴⁸
19	* 23,77 ¹⁹	57,15 ³²⁰	2,04 ¹⁰	34,27 ³⁰
Mrz. 31	23,96 ²⁹	53,95 ²⁸⁵	* 2,14 ¹²	34,57 ⁶
11	24,25 ³⁹	51,10 ²⁵¹	2,26 ¹⁵	34,63 ²¹
21	24,64 ⁴⁹	48,59 ²⁰⁶	2,41 ¹⁹	34,42 ⁴⁹
31	25,13 ⁵⁶	46,53 ¹⁴⁹	2,60 ²¹	33,93 ⁷⁵
Apr. 10	25,69 ⁶¹	45,04 ⁹⁰	2,81 ²⁴	33,18 ¹⁰³
20	26,30 ⁶⁵	44,14 ²⁶	3,05 ²⁷	32,15 ¹²⁷
30	26,95 ⁶⁷	43,88 ³²	3,32 ²⁸	30,88 ¹⁴⁹
Mai. 10	27,62 ⁶⁶	44,20 ⁹⁶	3,60 ³⁰	29,39 ¹⁶⁶
20	28,28 ⁶⁴	45,16 ¹⁵²	3,90 ³⁰	27,73 ¹⁷⁹
30	28,92 ⁶⁰	46,68 ²⁰⁴	4,20 ³⁰	25,94 ¹⁸⁶
Jun. 9	29,52 ⁵⁴	48,72 ²⁴⁸	4,50 ²⁹	24,08 ¹⁸⁹
19	30,06 ⁴⁷	51,20 ²⁸⁴	4,79 ²⁷	22,19 ¹⁸³
29	30,53 ³⁸	54,04 ³²¹	5,06 ²⁵	20,36 ¹⁷⁷
Jul. 9	30,91 ²⁸	57,25 ³⁴¹	5,31 ²²	18,59 ¹⁶⁴
19	31,19 ¹⁸	60,66 ³⁵⁴	5,53 ¹⁷	16,95 ¹⁴⁶
29	31,37 ⁸	64,20 ³⁶⁰	5,70 ¹⁴	15,49 ¹²⁹
Aug. 8	31,45 ³	67,80 ³⁵⁸	5,84 ⁹	14,20 ¹⁰⁷
18	31,42 ¹³	71,38 ³⁵¹	5,93 ⁵	13,13 ⁸⁶
28	31,29 ²³	74,89 ³³²	5,98 ¹	12,27 ⁶¹
Spt. 7	31,06 ³²	78,21 ³⁰⁹	5,99 ³	11,66 ⁴¹
17	30,74 ⁴⁰	81,30 ²⁷⁹	5,96 ⁷	11,25 ²⁰
27	30,34 ⁴⁷	84,09 ²⁴¹	5,89 ¹⁰	11,05 ²
Oct. 7	29,87 ⁵²	86,50 ¹⁹⁹	5,79 ¹²	11,03 ¹⁷
17	29,35 ⁵⁷	88,49 ¹⁵²	5,67 ¹³	11,20 ³¹
27	28,78 ⁶⁰	90,01 ⁹⁹	5,54 ¹⁴	11,51 ⁴³
Nov. 6	28,18 ⁶¹	91,00 ⁴²	5,40 ¹⁴	11,94 ⁵⁴
16	27,57 ⁶⁰	91,42 ¹⁵	5,26 ¹⁴	12,48 ⁶⁶
26	26,97 ⁵⁷	91,27 ⁷⁵	5,12 ¹²	13,14 ⁷²
Dcb. 6	26,40 ⁵⁴	90,52 ¹³³	5,00 ¹⁰	13,86 ⁷⁸
16	25,86 ⁴⁸	89,19 ¹⁸⁷	4,90 ⁹	14,64 ⁸³
26	25,38 ⁴¹	87,32 ²³⁴	4,81 ⁶	15,47 ⁸⁴
36	24,97	84,98	4,75	16,31

1830	α PISCIS AUSTRAL.		α PEGASI.	
	Ger. Aufstg.	Abweichg.	Ger. Aufstg.	Abweichg.
	^h 22	^o — 30	^h 22	^o 14
Jan. 10	48' 13,34 ¹⁰	30' 88,27 ³²	56' 17,35 ¹⁰	17' 36,86 ¹¹⁷
10	13,24 ⁸	87,95 ⁶⁰	17,25 ⁸	35,69 ¹²⁸
20	13,16 ⁵	87,35 ⁸⁶	17,17 ⁶	34,41 ¹³⁴
30	13,11 ²	86,49 ¹¹¹	17,11 ³	33,07 ¹³¹
Febr. 9	13,09 ¹	85,38 ¹³⁵	17,08 ¹	31,76 ¹²⁵
19	13,10 ⁵	84,03 ¹⁷²	17,07 ²	30,51 ¹¹³
Mrz. 1	* 13,15 ⁸	82,31 ¹⁷⁴	* 17,09 ⁶	29,38 ⁹⁸
11	13,23 ¹²	80,57 ¹⁹²	17,15 ¹⁰	28,40 ⁶⁶
21	13,35 ¹⁶	78,65 ²⁰²	17,25 ¹⁴	27,74 ³⁶
31	13,51 ²⁰	76,63 ²¹⁶	17,39 ¹⁷	27,38 ¹
Apr. 10	13,71 ²³	74,47 ²¹⁷	17,56 ²⁰	27,37 ³²
20	13,94 ²⁷	72,30 ²¹⁹	17,76 ²⁴	27,69 ⁶⁹
30	14,21 ²⁹	70,11 ²¹⁶	18,00 ²⁷	28,38 ¹⁰⁴
Mai 10	14,50 ³²	67,95 ²⁰⁶	18,27 ²⁹	29,42 ¹³³
20	14,82 ³⁴	65,89 ¹⁹³	18,56 ³⁰	30,75 ¹⁶⁴
30	15,16 ³⁴	63,96 ¹⁷¹	18,86 ³¹	32,39 ¹⁸⁶
Jun. 9	15,50 ³⁴	62,25 ¹⁴⁷	19,17 ³¹	34,25 ²⁰⁴
19	15,84 ³⁴	60,78 ¹²⁰	19,48 ³⁰	36,29 ²¹⁸
29	16,18 ³¹	59,58 ⁸⁸	19,78 ²⁸	38,47 ²²²
Jul. 9	16,49 ²⁹	58,70 ⁵⁴	20,06 ²⁵	40,69 ²²⁴
19	16,78 ²⁶	58,16 ²⁰	20,31 ²³	42,93 ²²⁰
29	17,04 ²¹	57,96 ¹⁵	20,54 ¹⁸	45,13 ²¹⁰
Aug. 8	17,25 ¹⁶	58,11 ⁴⁹	20,72 ¹⁴	47,23 ¹⁹⁶
18	17,41 ¹²	58,60 ⁷⁷	20,86 ¹¹	49,19 ¹⁷⁹
28	17,53 ⁷	59,37 ¹⁰²	20,97 ⁶	50,98 ¹⁵⁷
Spt. 7	17,60 ²	60,39 ¹²⁴	21,03 ²	52,55 ¹³⁷
17	17,62 ³	61,63 ¹³⁹	21,05 ²	53,92 ¹¹²
27	17,59 ⁷	63,02 ¹⁴⁶	21,03 ⁵	55,04 ⁸⁸
Oct. 7	17,52 ¹⁰	64,48 ¹⁴⁶	20,98 ⁸	55,92 ⁶³
17	17,42 ¹²	65,94 ¹⁴³	20,90 ¹⁰	56,55 ³⁸
27	17,30 ¹⁵	67,37 ¹³⁰	20,80 ¹²	56,93 ¹⁴
Nov. 6	17,15 ¹⁶	68,67 ¹¹¹	20,68 ¹²	57,07 ¹¹
16	16,99 ¹⁶	69,78 ⁹²	20,56 ¹³	56,96 ³⁴
26	16,83 ¹⁵	70,70 ⁶⁵	20,43 ¹³	56,62 ⁵⁵
Dcb. 6	16,68 ¹⁴	71,35 ³⁸	20,30 ¹³	56,07 ⁷⁷
16	16,54 ¹³	71,73 ¹³	20,17 ¹²	55,30 ⁹⁶
26	16,41 ¹¹	71,86 ¹⁹	20,05 ¹¹	54,34 ¹¹²
36	16,30	71,67	19,94	53,22

1830		α ANDROMEDAE.	
		Ger. Aufstg.	Abweichg.
		^h 23	^o 28
Jan.	0	59 36,90	8 73,21
	10	36,76	72,20
	20	36,62	70,92
	30	36,49	69,48
Febr.	9	36,39	67,87
	19	36,30	66,20
Mrz.	1	36,25	64,53
	11	36,24	62,93
	21	36,26	61,48
	31	36,34	60,15
Apr.	10	36,47	59,25
	20	36,63	58,69
	30	36,84	58,49
Mai	10	37,09	58,70
	20	37,37	59,30
	30	37,68	60,27
Jun.	9	38,01	61,61
	19	38,34	63,25
	29	38,67	65,17
Jul.	9	39,00	67,32
	19	39,30	69,62
	29	39,58	72,02
Aug.	8	39,83	74,48
	18	40,04	76,93
	28	40,21	79,29
Spt.	7	40,34	81,57
	17	40,42	83,69
	27	40,47	85,63
Oct.	7	40,48	87,38
	17	40,46	88,86
	27	40,41	90,11
Nov.	6	40,33	91,06
	16	40,23	91,75
	26	40,11	92,11
Decb.	6	39,98	92,16
	16	39,84	91,90
	26	39,69	91,33
	36	39,54	90,47

An diese Oertermufs der
Strenge nach vor der Ver-
gleichung mit den Beobach-
tungen noch angebracht
werden die tägliche Ab-
erration.

Wenn t der Stunden-
winkel östlich positiv
 ϕ Polhöhe
 δ Declination
so beträgt die Correction in
Ger. Aufsteig.

$$+ 0'',021 \frac{\cos \phi \cos t}{\cos \delta} \text{ in Zeit}$$

Abweichg.

$$- 0'',31 \cos \phi \sin t \sin \delta$$

im Bogen.

Für die obere Culmina-
tion wird in Zeit

$$d\alpha = + 0'',021 \cos \phi \sec \delta$$

$$d\delta = 0$$

Für die untere Culmi-
nation in Zeit

$$d\alpha = - 0'',021 \cos \phi \sec \delta$$

$$d\delta = 0$$

Oder die Beobachtungen
müssen verbessert werden
durch

$$\text{O.C.} - 0'',021 \cos \phi \sec \delta$$

$$\text{U.C.} + 0'',021 \cos \phi \sec \delta$$

Constanten für die Stern-Tage 1830.

1830	Lg. A.	Lg. B.	Lg. C.	Lg. D.	Lg. t.
Jan. 0	8,5110 _n	0,9796	0,5091 _n	1,2999
10	6,1461 _n	0,9743	0,8068 _n	1,2790	8,4362
20	8,4771	0,9664	0,9722 _n	1,2426	8,7372
30	8,7579	0,9567	1,0812 _n	1,1879	8,9133
Febr. 9	8,9101	0,9462	1,1569 _n	1,1095	9,0383
19	9,0093	0,9362	1,2093 _n	0,9971	9,1352
Mrz. 1	9,0802	0,9277	1,2438 _n	0,8270	9,2144
11	9,1349	0,9219	1,2632 _n	0,5190	9,2813
21	9,1808	0,9194	1,2690 _n	9,2718 _n	9,3393
31	9,2225	0,9205	1,2619 _n	0,5625 _n	9,3905
Apr. 10	9,2634	0,9248	1,2415 _n	0,8445 _n	9,4362
20	9,3051	0,9316	1,2069 _n	1,0047 _n	9,4776
30	9,3483	0,9398	1,1556 _n	1,1113 _n	9,5154
Mai 10	9,3928	0,9484	1,0835 _n	1,1861 _n	9,5502
20	9,4379	0,9563	0,9824 _n	1,2391 _n	9,5823
30	9,4825	0,9626	0,8340 _n	1,2751 _n	9,6123
Jun. 9	9,5255	0,9665	0,5870 _n	1,2969 _n	9,6403
19	9,5660	0,9677	9,9058 _n	1,3061 _n	9,6667
29	9,6033	0,9659	0,3566	1,3033 _n	9,6915
Jul. 9	9,6370	0,9610	0,7233	1,2882 _n	9,7150
19	9,6668	0,9536	0,9116	1,2660 _n	9,7372
29	9,6926	0,9441	1,0338	1,2168 _n	9,7584
Aug. 8	9,7148	0,9332	1,1195	1,1550 _n	9,7786
18	9,7335	0,9221	1,1809	1,0682 _n	9,7979
28	9,7493	0,9117	1,2239	0,9432 _n	9,8164
Spt. 7	9,7627	0,9031	1,2519	0,7469 _n	9,8342
17	9,7746	0,8974	1,2664	0,3459 _n	9,8512
27	9,7857	0,8952	1,2682	0,0903	9,8676
Oct. 7	9,7968	0,8966	1,2572	0,6687	9,8834
17	9,8085	0,9014	1,2325	0,9018	9,8986
27	9,8213	0,9085	1,1920	1,0442	9,9133
Nov. 6	9,8356	0,9171	1,1323	1,1413	9,9276
16	9,8515	0,9258	1,0469	1,2098	9,9414
26	9,8686	0,9333	0,9225	1,2573	9,9547
Dcb. 6	9,8866	0,9386	0,7260	1,2880	9,9677
16	9,9049	0,9407	0,3228	1,3037	9,9803
26	9,9228	0,9394	0,0741 _n	1,3057	9,9925
36	9,9398	0,9345	0,6474 _n	1,2938	0,0044

Das Argument der nebenstehenden Tafel für die Stern-Tage ist, wenn

θSternzeit der Beobachtung in Theilen des Tages ausgedrückt;

lLänge des Ortes der Beobachtung von Berlin gezählt, ausgedrückt in Theilen des Tages, und östlich negativ, westlich positiv genommen;

für

$$1) \quad \theta < 18^h 40'$$

von Anfang des Jahres bis zu dem Tage wo $AR \odot = \theta$

$$\text{Argum.} = \text{Datum} + \theta + k + l + 1$$

von da an bis zu dem Ende des Jahres

$$\text{Argum.} = \text{Datum} + \theta + k + l + 2$$

für

$$2) \quad \theta > 18^h 40'$$

von Anfang des Jahres bis zu dem Tage wo $AR \odot = \theta$

$$\text{Argum.} = \text{Datum} + \theta + k + l$$

von da an bis zu dem Ende des Jahres

$$\text{Argum.} = \text{Datum} + \theta + k + l + 1$$

Bei der folgenden Tafel für die mittleren Tage ist es einfach die mittlere Zeit.

Constanten für die mittleren Tage 1830.

1830	<i>f</i>	<i>g</i>	<i>G</i>	<i>h</i>	<i>H</i>	<i>i</i>
Jan. 0	— 1,50	+ 9,57	93° 54'	+ 20,21	351° 11'	— 1,34
10	— 0,01	9,43	90 0	20,07	341 44	2,72
20	+ 1,39	9,28	86 15	19,85	332 7	4,02
30	2,64	9,13	82 44	19,58	322 17	5,20
Febr. 9	3,76	8,99	79 28	19,28	312 10	6,20
19	4,73	8,88	76 34	19,00	301 48	7,01
Mrz. 1	5,57	8,81	73 59	18,78	291 12	7,60
11	6,32	8,80	71 45	18,63	280 26	7,95
21	7,02	8,85	69 46	18,58	269 37	8,06
31	7,73	8,98	67 58	18,64	258 51	7,94
Apr. 10	+ 8,49	+ 9,19	66 15	+ 18,79	248 17	— 7,57
20	9,34	9,46	64 31	19,01	237 58	6,99
30	10,32	9,80	62 40	19,28	227 59	6,22
Mai 10	11,43	10,18	60 42	19,56	218 20	5,26
20	12,68	10,60	58 34	19,82	208 59	4,17
30	14,05	11,03	56 17	20,04	199 53	2,96
Jun. 9	15,51	11,46	53 52	20,19	191 0	1,67
19	17,03	11,88	51 22	20,25	182 13	— 0,34
29	18,55	12,28	48 50	20,23	173 27	+ 1,00
Jul. 9	20,04	12,64	46 19	20,12	164 39	2,31
19	+ 21,45	+ 12,97	43 51	+ 19,94	155 42	+ 3,56
29	22,77	13,26	41 32	19,70	146 33	4,71
Aug. 8	23,95	13,51	39 23	19,43	137 8	5,74
18	25,00	13,73	37 28	19,15	127 25	6,60
28	25,93	13,94	35 49	18,90	117 22	7,28
Spt. 7	26,75	14,14	34 27	18,71	107 3	7,76
17	27,49	14,35	33 23	18,60	96 30	8,02
27	28,20	14,59	32 35	18,59	85 50	8,05
Oct. 7	28,93	14,87	32 1	18,68	75 9	7,84
17	29,72	15,21	31 37	18,86	64 33	7,39
27	+ 30,62	+ 15,62	31 17	+ 19,11	54 8	+ 6,72
Nov. 6	31,65	16,08	30 57	19,39	43 58	5,84
16	32,83	16,61	30 32	19,68	34 2	4,78
26	34,17	17,19	29 58	19,94	24 21	3,57
Dcb. 6	35,62	17,79	29 14	20,13	14 50	2,24
16	37,14	18,39	28 20	20,24	5 27	+ 0,83
26	38,71	18,98	27 17	20,25	356 6	— 0,60
36	40,25	19,53	26 6	20,16	346 43	— 2,01

Sonnen- und Mond-Finsternisse.

Im Jahre 1830 ereignen sich 6 Finsternisse, von denen 1 Sonnen- und 5 Mond-Finsternisse sind. Nur die letzte Mond-Finsternis wird in unsern Gegenden von Europa sichtbar sein.

I. Sonnen-Finsternis 1830 Febr. 22.

Anfang auf der Erde überhaupt..... 16° 30' W. B. Z.

Ende auf der Erde überhaupt..... 16° 30' W. B. Z.

Größe der Finsternis..... 16° 30' W. B. Z.

Größe der Finsternis (37 Zoll)..... 16° 30' W. B. Z.

Erscheinungen und Beobachtungen.

Anfang auf der Erde überhaupt..... 16° 30' W. B. Z.

Ende auf der Erde überhaupt..... 16° 30' W. B. Z.

Größe der Finsternis..... 16° 30' W. B. Z.

Größe der Finsternis (37 Zoll)..... 16° 30' W. B. Z.

Sichtbar in einem großen Theile des nordwestlichen Asiens und der östlichen Hälfte des europäischen Festlands. Die westliche Grenze der Sichtbarkeit geht längs dem Breitenkreise von 50° östl. Länge hin, so daß Petersburg sie nicht sieht.

Kam Anfang 1830 W. Kamm. Z. bei Anfang.

Größe 23 Zoll.

Moskau Anfang vor Anfang.

Ende 18° 30' W. Mosk. Z.

Größe 23 Zoll.

II. Mond-Finsternis 1830 März 2.

Anfang der Finsternis überhaupt..... 16° 30' W. B. Z.

Ende der Finsternis überhaupt..... 16° 30' W. B. Z.

Größe der Finsternis..... 16° 30' W. B. Z.

Größe der Finsternis (37 Zoll)..... 16° 30' W. B. Z.

Für diese Nation steht der Mond im Zenith der Orte deren geographische Lage der Reihe nach ist

Sonnen- und Mond-Finsternisse.

Im Jahre 1830 ereignen sich 6 Finsternisse, von denen 4 Sonnen- und 2 Mond-Finsternisse sind. Nur die letzte Mond-Finsternis wird in unsern Gegenden von Europa sichtbar sein.

I. Sonnen-Finsternifs 1830 Febr. 22.

Anfang auf der Erde überhaupt..... $16^h 30'$ W. B. Zt.
 in $64^\circ 4'$ östl. Länge von Ferro.
 46 9 nördl. Breite.

Größte Verfinsterung (3,7 Zoll) $17^h 43'$ W. B. Zt.
 in $66^\circ 38'$ östl. Länge von Ferro.
 71 19 nördl. Breite.

Ende auf der Erde überhaupt..... $18^h 57'$ W. B. Zt.
 in $155^\circ 37'$ östl. Länge von Ferro.
 75 2 nördl. Breite.

Sichtbar in einem großen Theile des nordwestlichen Asiens und der östlichen Hälfte des europäischen Rußlands. Die westliche Grenze der Sichtbarkeit geht längs dem Breitenkreise von 50° östl. Länge hin, so daß Petersburg sie nicht sieht.

Kasan Anfang $19^h 1'$ W. Kasan. Zt. bei ☉ Aufgang.
 Ende 20 23 - - -
 Größe 2,9 Zoll.

Moskau Anfang vor ☉ Aufgang.
 Ende $19^h 29'$ W. Mosk. Zt.
 Größe 2,3 Zoll.

II. Mond-Finsternifs 1830 März 9.

Anfang der Finsternis überhaupt..... $0^h 4'$ Mittl. B. Zt.
 - - totalen Verfinsterung..... 1 43
 Mittel 2 36
 Ende..... 3 30
 Ende der Finsternis überhaupt..... 4 31

Für diese Zeiten steht der Mond im Zenith der Orte deren geographische Lage der Reihe nach ist

202° 46'	östl. Länge von Ferro ;	4° 46'	nördl. Breite.
187 31	- - - - ;	4 37	- -
174 43	- - - - ;	4 29	- -
161 45	- - - - ;	4 20	- -
146 40	- - - - ;	4 11	- -

woraus sich die Länder auf der Erde bestimmen lassen, für welche die Finsternis sichtbar ist.

Für Europa ist sie nicht sichtbar.

III. Sonnen-Finsternis 1830 März 24.

Anfang auf der Erde überhaupt 1^h 56' W. B. Zt.
in 276° 39' östl. Länge von Ferro.
73 41 südl. Breite.

Größte Verfinsterung (6,2 Zoll) 3^h 25' W. B. Zt.
in 65° 25' östl. Länge von Ferro.
72 0 südl. Breite.

Ende auf der Erde überhaupt 4^h 55' W. B. Zt.
in 46° 20' östl. Länge von Ferro.
37 24 südl. Breite.

Nur im südlichen Theile des atlantischen Oceans und im südlichen Eismeer sichtbar.

Vorgeb. d. gut. Hoffg. Anfang 4^h 20' W. Zt. des Cap.
Ende... 5 12.
Größe.. 1,2 Zoll.

IV. Sonnen-Finsternis 1830 Aug. 18.

Anfang auf der Erde überhaupt 0^h 11' W. B. Zt.
in 318° 57' östl. Länge von Ferro.
56 21 südl. Breite.

Größte Verfinsterung (1,5 Zoll) 1^h 3' W. B. Zt.
in 296° 35' östl. Länge von Ferro.
70 48 südl. Breite.

Ende auf der Erde überhaupt 1^h 55' W. B. Zt.
in 15° 34' östl. Länge von Ferro.
76 26 südl. Breite.

Nur im südlichen Eismeer und einem kleinen Theile des angrenzenden Oceans sichtbar.

V. Mond-Finsternifs 1830 Spt. 2.

Anfang der Finsternifs überhaupt..	9 ^h 43'	Mittl. B. Zt.
- - totalen Verfinsterung...	10 41	
Mittel	11 31	
Ende.....	12 22	
Ende der Finsternifs überhaupt....	13 19	

Der Mond steht im Zenith der Orte deren geographische Lage

64° 8' östl. Länge von Ferro ;	8° 20' südl. Breite.
50 10 - - - - ;	8 4
38 1 - - - - ;	7 50
25 52 - - - - ;	7 36
12 14 - - - - ;	7 20

Sichtbar in ganz Europa.

VI. Sonnen-Finsternifs 1830 Spt. 16.

Anfang auf der Erde überhaupt.....	13 ^h 31' W. B. Zt.
in 88° 8' östl. Länge von Ferro.	
75 59 nördl. Breite.	

Größte Verfinsterung (4,7 Zoll).....	15 ^h 7' W. B. Zt.
in 261° 13' östl. Länge von Ferro.	
72 4 nördl. Breite.	

Ende auf der Erde überhaupt.....	16 ^h 42' W. B. Zt.
in 232° 42' östl. Länge von Ferro.	
40 39 nördl. Breite.	

Sichtbar im nordöstlichen Asien und der nordwestlichen Spitze von Nord-Amerika.

Elemente der Sonnen-Finsternisse.

Wahre Berliner Zeit.

	Februar 22.	März 24.	August 18.	September 16.
☉	17 ^h 29' 42"	3 ^h 38' 0"	0 ^h 46' 53"	15 ^h 21' 45"
Länge ☾ und ☉ ...	334° 7' 24"	3°28' 42"	144°58' 19"	173°39' 58"
mot. hor. ☾ Länge	37 4,8	37 58,5	31 50,2	30 24,1
mot. hor. ☉ Länge	2 30,9	2 28,5	2 24,5	2 26,6
Breite ☾	+ 1 23 17	- 1 17 37	- 1 23 47	+ 1 13 9
mot. hor. ☾ Breite	- 3 18,3	- 3 24,2	+ 2 49,7	+ 2 43,8
Par. ☾	60 32,7	61 18,2	55 59,4	54 43,2
Par. ☉	8,7	8,6	8,5	8,6
Halbm. ☾	16 29,8	16 42,4	15 15,4	14 54,6
Halbm. ☉	16 11,0	16 3,4	15 50,3	15 57,1

Elemente der Mond-Finsternisse.

Mittlere Berliner Zeit.

	März 9.	September 2.
○	2 ^h 35' 20"	11 ^h 30' 47"
Länge ☾	168°31' 13"	339°53' 30"
mot. hor. ☾ Länge	29 51,7	36 11,6
mot. hor. ☉ Länge	2 29,7	2 25,4
Breite ☾	- 0 4 26	+ 0 2 13
mot. hor. ☾ Breite	+ 2 46,1	- 3 21,0
Par. ☾	54 15,7	59 52,1
Par. ☉	8,7	8,5
Halbm. ☾	14 47,2	16 18,8
Halbm. ☉	16 7,5	15 53,6



Planeten-Constellationen.

		Mittl. Berl. Zeit.	
		h ' "	
Jan.	1	13	☉ in der Erdnähe.
	7	10 6	♂ grösste helioc. südl. Breite.
	9	18 21	♀ im ♄
	13		♀ grösster Glanz als Abendstern.
	26	8 32	♂ ☿ ☉
	26	9 0	♂ im ♄
	27	1 24	♂ grösste östl. Ausweichung 18° 24'.
	30	22 18	♂ im Perihel.
Febr.	3	12 30	♂ ☿ ☉
	10	7 12	♂ grösste helioc. nördl. Breite.
	11	12 36	♂ Untere ♂ ☉
	12	2 22	♀ Perihel.
	14	15	♂ im ♄
	21	9 35	♂ ♂ ☿ in Ger. Aufst. Decl. ♀ — 14° 1',5 Decl. ☿ — 13° 36',5.
Mrz.	5	18 42	♂ im ♄
	6	6 50	♀ grösste helioc. nördl. Breite.
	7	2 55	♀ Untere ♂ ☉
	9	22 16	♂ grösste westl. Ausweichung 27° 30'.
	15	22 0	♂ im Aphel.
	20	15 30 42	☉ im ♄. Frühlings-Anfang.
Apr.	5	9 6	♂ grösste helioc. südl. Breite.
	6	8 27	☐ ☿ ☉
	21	20 38	♂ Obere ♂ ☉
	24	8 18	♂ im ♄
	25		♀ grösster Glanz als Morgenstern.
	26	18 45	♂ ☿ ☉
	28	21 36	♂ im Perihel.
	30	14 30	♂ ♀ ☉
	30	20 6	☐ ☿ ☉

Planeten-Constellationen.

		Mittl. Berl. Zeit.	
		^h ' "	
Mai	1	8 26	♀ im ♊
	2	1 40	♂ ♄ ☉
	8	2 37	♂ ♄ ☉
	9	6 30	♀ grösste helioc. nördl. Breite.
	16	6	♀ grösste westl. Ausweichung 45° 59'.
	16	7	♂ im ♊
	18	12 47	♀ ☿ ☾ in Ger. Aufst. Decl. ♀ + 3° 6',4 Decl. ☾ + 2° 31',7.
	20	18 36	♀ grösste östl. Ausweichung 22° 32'.
Jun.	1	18 0	♀ im ♊
	4	10 47	♀ im Aphel.
	11	21 12	♀ im Aphel.
	15	7 28	♀ Unt. ☿ ☉
	19	16 17	♀ ☿ ☾ in Ger. Aufst. Decl. ♀ + 18° 53',3 Decl. ☾ + 18° 14',2.
	21	12 41 45	☉ im ☊. Sommer-Anfang.
	27	5 7	♀ grösste südl. helioc. Breite.
Jul.	1	1	☉ in der Erdferne.
	2	8 6	♀ grösste helioc. südl. Breite.
	5	0 42	♂ ♄ ☉
	8	11 42	♀ grösste westl. Ausweichung 26° 29'.
	21	3 53	♂ grösste helioc. südl. Breite.
	21	7 30	♀ im ♋
	25	20 48	♀ im Perihel.
	31	20 31	♂ ☿ ☉
Aug.	4	9 12	♀ Obere ☿ ☉
	5	5 48	♀ grösste helioc. nördl. Breite.
	13	10 18	♂ im Perihel.
	14	14 18	♂ ♄ ☉
	19	6 49	♀ ☿ ☾ in Ger. Aufst. Decl. ♀ + 8° 44',9 Decl. ☾ + 7° 36',4.
	22	11 48	♀ im ♋
	25	11 22	♂ ♄ ☉
	28	17 12	♀ im ♊

Planeten-Constellationen.

		Mittl. Berl. Zeit.			
		^h	^m	^s	
Spt.	7	20	30	"	♂ im Aphel.
	17	11	0		♀ grösste östliche Ausweichung 26° 29'.
	19	5	4		♂ ☉
	23	2	35	20	☉ in ♊. Herbst-Anfang.
	24	19	11		♀ im Perihel.
	28	7	6		♀ grösste helioc. südl. Breite.
Oct.	2	11	18		☐ 2 ☉
	8	14	34		♂ ☐ ☉
	12	13	23		♀ Untere ☉
	14				♀ Bedeckung vom Monde.
	-	17	39	55	Eintritt 152°.
	-	18	35	8	Austritt 249°.
	16	23	34		♀ grösste helioc. nördl. Breite.
	17	6	48		♀ im ☊
	21	20	6		♀ im Perihel.
	28	5	12		♀ grösste westl. Ausweichung 18° 37'.
Nov.	30	1	24		☐ ☉
	1	5	6		♀ grösste helioc. nördl. Breite.
	23	17	19		☐ ☉
	24	16	36		♀ im ☊
Dcb.	3	16	40		♀ Obere ☉
	4	19	42		♀ im Aphel.
	12	1	10		♀ im ☊
	15	17	2		♂ im ☊
	20	17	18		♀ Obere ☉
	21	19	59	19	☉ im ♋. Winter-Anfang.
	25	6	6		♀ grösste helioc. südl. Breite.

Sterne im Parallel des Mondes 1830.

1830	Namen.	Gr.	Ger. Aufstg.	Abweichg.
Jan. 1	(33) Piscium	6 7	0 ^h 9' 3"	+ 0° 44' 35"
23 08 31	☾		21 58	+ 0 20
22 01	15 Ceti	7	29 22	— 1 26 20
23 22 21	26 Ceti	6 7	55 3	+ 0 27 13
31 01 22	88 Piscium	6 7	1 5 52	+ 6 5 41
22 12 8	☾		17 41	4 55
22 11	γ Piscium	5	32 35	4 37 28
12 01 01	ξ Piscium	5 6	44 45	2 20 39
01 01 03	(240) Arietis	7	1 53 54	+ 10 11 44
01 02 21	ξ ¹ Ceti	5	2 4 0	8 2 43
01 02 21	☾		2 14 4	9 11
12 01	(155) Arietis	7	32 51	9 48 52
22 2 14	(4) Ceti	6 7	3 2 3	+ 12 23 50
22 7	☾		11 29	12 49
12 2 8	f Tauri	5 6	21 30	12 20 53
02 02 8	λ Tauri	4	51 16	12 0 17
02 12 05	(249) Tauri	6	3 58 17	+ 16 52 41
22 22 11	☾		4 10 11	15 36
22 22 11	(99) Tauri	5 6	20 51	15 49 1
22 11	α Tauri	1	26 11	16 9 28
22 22 26	m Tauri	5	4 57 26	+ 18 24 32
02 11	☾		5 9 18	17 21
22 22 21	117 Tauri	6	18 11	17 5 23
11 22 21	122 Tauri	6	27 13	16 55 35
12 21 27	E ¹ Orionis	6	6 1 58	+ 19 49 13
22 22 21	☾		8 31	17 56
12 01	21 Gemin.	7	22 24	17 53 43
22 01 27	u Gemin.	5 6	32 31	17 48 12
02 12 08	(270) Gemin.	7	6 46 24	+ 17 56 57
22 22 21	(294) Gemin.	7	50 6	16 9 58
01 02 21	o Gemin.	6	58 38	16 11 40
22 22 21	☾		7 6 43	17 25
12 29	1 Cancrī	6	7 47 21	+ 16 14 17
	r Cancrī	6	51 49	16 55 2
	☾		8 3 1	15 49
	29 Cancrī	6	19 9	14 46 5

Sterne im Parallel des Mondes 1830.

1. 30	Namen.	Gr.	Ger. Aufstg.	Abweichg.
Jan. 10	α^1 Cancr.	6 7	$8^h 33' 51''$	$+ 13^{\circ} 17' 4''$
	α^2 Cancr.	5	49 12	12 30 35
	ζ		56 57	13 23
	π^2 Cancr.	6	9 5 51	15 38 32
18	α^2 Librae	3	14 41 29	— 15 19 43
	β Librae	2 3	15 7 52	— 8 44 55
	ζ		15 22 58	— 14 48
19	β Scorpionis	2	15 55 34	— 19 19 54
	ζ		16 15 26	— 17 10
	η Ophiuchi	2 3	17 0 38	— 15 30 16
20	η Ophiuchi	2 3	17 0 38	— 15 30 16
	ζ		17 10 34	— 18 44
	μ^1 Sagittar.	3 4	18 3 36	— 21 5 38
30	ζ		1 57 26	$+ 7 45$
	ξ^1 Ceti	5	2 3 59	8 2 44
	(75) Ceti	6 7	15 26	8 56 30
	ξ^2 Ceti	5	19 8	7 41 36
31	ν Arietis	6	2 27 22	$+ 11 42 25$
	38 Arietis	5 6	35 42	11 43 35
	ζ		54 30	11 37
	(4) Ceti	6 7	3 2 2	12 23 52
Febr. 1	ζ		3 52 7	$+ 14 40$
	(254) Tauri	6 7	59 33	12 56 27
	48 Tauri	6	4 6 8	14 58 11
	γ Tauri	3 4	10 8	15 12 34
2	k Tauri	6	4 40 1	$+ 15 35 58$
	ζ		50 9	16 44
	γ^3 Orionis	6 7	5 1 56	15 49 39
	110 Tauri	7	13 49	16 31 49
3	122 Tauri	6	5 27 13	$+ 16 55 35$
	126 Tauri	5 6	31 29	16 26 16
	N Tauri	6	37 33	17 39 27
	ζ		48 12	17 44

Sterne im Parallel des Mondes 1830.

1830	Namen.	Gr.	Ger. Aufstg.	Abweichg.
Febr. 4	21 Gemin.	7	^h 6 22 25	+ 17 53 43
	γ Gemin.	3	27 54	16 32 10
	u Gemin.	5 6	32 31	17 48 11
	ζ		45 36	17 38
5	k Gemin.	5	7 23 55	+ 16 11 9
	f Gemin.	6	29 41	18 3 15
	ζ		41 39	16 30
	1 Cancr.	6	47 21	16 14 16
6	29 Cancr.	6	8 19 9	+ 14 46 5
	ζ		35 51	14 27
	54 Cancr.	6 7	41 34	15 58 38
	σ^1 Cancr.	6	47 46	15 58 5
7	ω Leonis	6 7	9 19 22	+ 9 47 36
	ζ		27 56	11 40
	18 Leonis	6	37 15	12 35 24
	ν Leonis	5 6	49 5	13 15 9
8	π Leonis	4 5	9 51 15	+ 8 51 26
	λ Leonis	5	58 54	10 49 40
	ζ		10 17 59	8 20
	49 Leonis	6	26 8	9 31 37
9	d Leonis	5	10 51 48	+ 4 31 46
	p^2 Leonis	5 6	58 15	2 52 40
	ζ		11 6 18	4 40
	80 Leonis	7	17 7	4 47 45
16	m Scorp.	5	16 31 45	— 17 24 15
	ζ		45 10	17 59
	η Ophiuchi	2 3	17 0 38	15 30 16
17	θ Ophiuchi	3 4	17 11 34	— 24 49 12
	ζ		40 23	19 3
	μ^1 Sagittar.	3 4	18 3 36	21 5 37
18	μ^1 Sagittar.	3 4	18 3 36	— 21 5 37
	ζ		37 51	19 6
	σ Sagittar.	3	44 43	26 29 55

Sterne im Parallel des Mondes 1830.

1830	Namen.	Gr.	Ger. Aufstg.	Abweichg.
Mrz. 1	71 Tauri	5 6	^h 4 16' 40"	+ 15° 13' 29"
	85 Tauri	6	22 10	15 28 47
	☾		32 23	16 6
	k Tauri	6	40 1	15 35 57
	115 Tanri	5 6	5 17 16	+ 17 48 24
	119 Tauri	5 6	22 15	18 27 33
	☾		30 47	17 38
	N Tauri	6	37 32	17 39 27
	21 Gemin.	7	6 22 25	+ 17 53 42
	☾		28 14	17 42
	G Gemin.	6	40 3	16 23 17
	(270) Gemin.	7	46 24	17 56 56
	o Gemin.	6	6 58 38	+ 16 11 39
	51 Gemin.	5	7 3 38	16 26 22
	λ Gemin.	4 5	8 20	16 50 20
	☾		24 12	16 53
	1 Cancri	6	7 47 21	+ 16 14 15
	r Cancri	6	51 49	16 55 1
	s Cancri	6	59 13	14 7 44
	☾		8 18 19	15 10
	A ² Cancri	6	8 37 37	+ 12 43 43
	α ² Cancri	5	49 12	12 30 33
	z Cancri	5 6	58 34	11 20 45
	☾		9 10 25	12 39
	10 Sextantis	6	9 47 26	+ 9 44 7
	☾		10 0 38	9 33
	b ¹ Leonis	6	16 19	9 38 45
	49 Leonis	6	26 8	9 31 35
	z Leonis	6	10 14 8	+ 7 24 9
	x Sextantis	7	23 29	5 30 55
	35 Sextantis	7	34 32	5 38 16
	☾		49 8	6 1
	p ² Leonis	5 6	10 58 15	+ 2 52 38
	q Leonis	5 6	11 8 33	2 56 36
	r Leonis	5 6	15 20	2 20 26
	☾		36 28	2 14

Sterne im Parallel des Mondes 1830.

1830	Namen.	Gr.	Ger. Aufstg.	Abweichg.
Mrz. 10	(213) Virginis	7	11 ^h 52' 21"	— 0° 49' 4"
	(230) Virginis	7	57 19	2 11 10
	☾		12 23 6	1 38
	γ ¹ Virginis	4	33 4	0 31 10
11	f Virginis	6 7	12 28 4	— 4 53 44
	(183) Virginis	6 7	38 48	5 22 17
	θ Virginis	4 5	13 1 11	4 37 52
	☾		13 9 31	5 27
18	☾		19 9 18	— 18 39
	α ² Capricorni	3	20 8 39	13 3 51
	β ² Capricorni	3 4	11 28	15 18 45
19	δ Sagittar.	3 4	18 10 8	— 29 53 37
	σ Sagittar.	3	44 45	26 30 5
	☾		20 7 29	17 3
20	α ² Capricorni	3	20 8 39	— 13 3 51
	β ² Capricorni	3 4	11 28	15 18 45
	☾		21 6 32	14 20
31	☾		7 6 31	+ 17 17
	κ Gemin.	5	23 55	16 10 55
	f Gemin.	6	29 40	18 3 2
	1 Cancri	6	47 20	16 14 3
Apr. 1	1 Cancri	6	7 47 20	+ 16 14 3
	r Cancri	6	51 48	16 54 50
	☾		8 1 42	15 49
	29 Cancri	6	19 8	14 45 52
2	Δ ¹ Cancri	6 7	8 33 50	+ 13 16 50
	α ¹ Cancri	6	46 39	12 16 0
	☾		54 29	13 31
	(35) Leonis	7	9 8 38	12 12 20
3	h Leonis	6	9 22 51	+ 10 27 27
	o Leonis	4	32 5	10 39 30
	☾		45 1	10 36
	Δ Leonis	5	58 54	10 49 29

Sterne im Parallel des Mondes 1830.

1830	Namen.	Gr.	Ger. Aufstg.	Abweichg.
Apr. 4	16 Sextantis	6	10 ^h 0' 21"	+ 6° 59' 54"
	z Leonis	6	14 8	7 23 57
	☾		33 42	7 12
	c Leonis	5 6	51 57	7 0 33
	p ² Leonis	5 6	10 58 15	+ 2 52 29
	q Leonis	5 6	11 8 34	2 56 28
	r Leonis	5 6	11 15 20	2 20 18
	☾		11 21 3	3 29
	(213) Virginis	7	11 52 21	— 0 49 11
	(230) Virginis	7	57 19	2 11 11
	☾		12 7 38	0 22
	γ ¹ Virginis	4	33 4	0 31 8
	(111) Virginis	6 7	12 22 56	— 4 6 56
	(143) Virginis	6 7	30 1	3 26 24
	(183) Virginis	6 7	38 48	5 22 19
	☾		54 0	4 13
	77 Virginis	7	13 24 34	— 6 44 51
	m Virginis	5 6	32 44	7 50 38
	☾		40 42	7 56
	(270) Virginis	7	51 9	7 19 58
	λ Virginis	4	14 9 57	— 12 35 5
	2 Librae	6	14 18	10 56 0
	☾		28 15	11 21
	ξ ¹ Librae	6	45 11	11 11 56
	☾		20 41 6	— 15 44
	β Aquarii	3	21 22 37	6 18 46
	δ Aquarii	3 4	37 39	16 53 34
	β Aquarii	3	21 22 37	— 6 18 46
	γ Capricorni	4	30 40	17 25 28
	☾		38 26	12 35
	α Aquarii	3	21 57 3	— 1 8 29
	☾		22 36 14	8 34
	δ Aquarii	3	45 37	16 43 15

Sterne im Parallel des Mondes 1830.

1830	Namen.	Gr.	Ger. Aufstg.	Abweichg.
Mai 1	♄		^h 10 ['] 18 ["] 4	+ 8 ^o 30 ['] "
	48 Leonis	5 6	25 56	7 49 23
	♄ ¹ Sextantis	6	37 15	7 15 48
	♄ Leonis	4 5	56 16	8 15 1
	2			
	♂ Leonis	5	10 51 48	+ 4 31 36
	♄		11 5 52	4 50
	80 Leonis	7	17 7	4 47 33
	♂ Virginis	5 6	51 16	4 35 55
	3			
	(77) Leonis	7	11 19 14	— 0 46 6
	♄ Leonis	4 5	28 16	+ 0 6 40
	♄		52 32	0 59
	♄ Virginis	6	12 9 59	+ 0 9 20
	4			
	(143) Virginis	6 7	12 30 1	— 3 26 26
	♄		38 46	2 54
	38 Virginis	6	44 31	2 38 6
	♄ ¹ Virginis	6	50 56	2 53 43
	5			
	♄		13 25 12	— 6 42
	88 Virginis	7	39 27	5 59 14
	(238) Virginis	7	46 6	7 13 18
	(270) Virginis	7	51 9	7 20 0
	6			
	(287) Virginis	7	13 55 23	— 8 26 16
	♄ Virginis	6 7	59 59	9 31 33
	♄ Virginis	4	14 3 52	9 28 51
	♄		12 25	10 16
	7			
	♄ Librae	5 6	14 40 3	— 13 26 51
	♄		15 0 56	13 28
	♄ ² Librae	6	13 36	14 31 3
	♄ Librae	4 5	26 4	14 12 54
	8			
	♄ ⁴ Librae	6	15 23 21	— 16 16 6
	♄ Librae	4 5	34 33	15 7 23
	♄ Librae	4 5	44 12	16 13 20
	♄		51 1	16 8
	9			
	♄ Scorpii	4	16 2 10	— 19 0 40
	♄ Ophiuchi	5	17 12	18 3 44
	♄ Scorpii	5	31 47	17 24 17
	♄		42 49	18 5

Sterne im Parallel des Mondes 1830.

1830	Namen.	Gr.	Ger. Aufstg.	Abweichg.
Mai 15	α Aquarii	3	^h 21 57' 3''	— 1° 8' 30"
	ζ		22 14 8	10 24
	λ Aquarii	4	43 44	8 28 52
16	α Aquarii	3	21 57 3	— 1 8 29
	ζ		23 10 14	6 7
Jun. 1	ζ		13 8 59	— 5 14
	66 Virginis	6	15 44	4 16 25
	ι^2 Virginis	6	23 9	5 22 31
	(174) Virginis	7	35 6	4 38 23
	2			
	(238) Virginis	7	13 46 6	— 7 13 9
	ζ		13 55 47	8 56
	κ Virginis	4	14 3 52	9 28 50
	2 Librae	6	14 48	10 56 0
	3			
	λ Virginis	4	14 9 57	— 12 35 0
	2 Librae	6	14 19	10 55 57
	(127) Librae	6 7	28 1	11 34 50
	ζ		43 45	12 19
	4			
	σ^2 Librae	6	15 13 36	— 14 31 0
	ζ^1 Librae	6	18 43	16 6 55
	ζ^4 Librae	6	23 21	16 16 6
	ζ		33 22	15 14
	5			
	κ Ophiuchi	5	16 17 12	— 18 3 42
	ζ		24 53	17 32
	(232) Ophiuchi	6	46 15	16 31 41
	σ Ophiuchi	6	51 57	18 37 33
	6			
	(236) Scorpii	6 7	16 47 7	— 19 15 37
	σ Ophiuchi	6	51 58	18 37 27
	(297) Ophiuchi	6 7	58 25	17 22 24
	ζ		17 18 18	19 1
	7			
	(356) Sagittar.	7	17 57 2	— 21 27 0
	μ^1 Sagittar.	3 4	18 3 38	21 5 28
	(25) Clys. Sob.	7	7 33	18 30 42
	ζ		13 17	19 35

Sterne im Parallel des Mondes 1830.

1830	Namen.	Gr.	Ger. Aufstg.	Abweichg.
Jun. 14	☾		^h 0 43 24 " [°]	+ 1 27 "
	γ Ceti	3	2 34 30	2 30 53
	α Ceti	2	53 24	3 25 0
15	☾		1 40 17	+ 6 7
	γ Ceti	3	2 34 30	2 30 53
	α Ceti	2	53 24	3 25 0
Jul. 1	☾		15 14 4	— 14 1
	ζ ³ Librae	6	21 7	16 1 8
	γ Librae	4 5	26 4	14 12 48
	η Librae	4 5	34 33	15 7 21
2	θ Librae	4 5	15 44 12	— 16 13 15
	49 Librae	5 6	50 50	16 1 27
	☾		16 4 44	16 37
	φ Ophiuchi	4 5	21 27	16 13 55
3	χ Ophiuchi	5	16 17 13	— 18 3 34
	m Scorpii	5	31 47	17 24 7
	(251) Ophiuchi	7	49 53	17 58 18
	☾		57 31	18 29
4	☾		17 52 20	— 19 29
	μ ¹ Sagittar.	3 4	18 3 38	21 5 27
	(25) Clyp. Sob.	7	7 33	18 30 41
	(82) Sagittar.	6	20 15	18 49 28
5	r Sagittar.	6	18 39 37	— 20 30 21
	☾		48 43	19 28
	(316) Sagittar.	7	59 49	20 3 35
	d Sagittar.	5	19 7 44	19 14 38
6	ρ ² Sagittar.	5 6	19 11 59	— 18 36 35
	(1294) Sagittar.	6	18 14	18 41 28
	(176) Sagittar.	7	26 34	19 12 58
	☾		45 57	18 22
7	β ² Capricorni	3 4	20 11 30	— 15 18 20
	(194) Capricorni	7	25 27	17 5 53
	(240) Capricorni	6 7	31 2	16 43 6
	☾		43 16	16 13

Sterne im Parallel des Mondes 1830.

1830	Namen.	Gr.	Ger. Aufstg.	Abweichg.
Jul. 13	☾		^h 2 19 18	+ [°] 8 51 1
	μ Ceti	4	35 46	9 23 40
	α Ceti	2	53 25	3 25 6
14	☾		3 17 32	+ 12 40
	γ Tauri	3 4	4 10 8	15 12 37
	α Tauri	1	26 11	16 9 30
15	γ Tauri	3 4	4 10 8	+ 15 12 37
	☾		17 21	15 37
	α Tauri	1	26 11	16 9 30
30	χ Ophiuchi	5	16 17 12	— 18 3 32
	☾	7	34 58	17 39
	(251) Ophiuchi		49 53	17 58 17
	η Ophiuchi	2 3	17 0 41	15 30 6
31	(236) Scorpii	6 7	16 47 7	— 19 15 30
	s Ophiuchi	6	51 58	18 37 21
	ρ Ophiuchi	4 5	17 10 51	20 55 4
	☾		28 31	19 4
Aug. 1	(25) Cyp. Sob.	7	18 7 33	— 18 30 36
	21 Sagittar.	6	15 16	20 37 8
	☾		24 15	19 32
	r Sagittar.	6	39 37	20 30 16
2	d Sagittar.	5	19 7 44	— 19 14 30
	ρ^2 Sagittar.	5 6	11 59	18 36 33
	☾		21 29	18 56
	57 Sagittar.	5 6	42 21	19 27 44
3	☾		20 19 33	— 17 15
	(194) Capricorni	7	25 57	17 5 50
	(240) Capricorni	6 7	31 2	16 43 3
	(310) Capricorni	6 7	39 44	18 39 4
4	z^2 Aquarii	6	20 51 49	— 14 10 57
	s Capricorni	5	21 6 23	15 51 57
	☾		17 44	14 30
	(177) Capricorni	6 7	25 2	14 13 44

Sterne im Parallel des Mondes 1830.

1830	Namen.	Gr.	Ger. Aufstg.	Abweichg.
Aug. 05	c^2 Capricorni	6 7	^h 21 37 14''	— 10° 3' 0''
	36 Aquarii	7	22 0 27	9 0 45
	(46) Aquarii	6	7 56	9 52 42
	☾		15 26	10 52
12	γ Tauri	3 4	4 10 9	+ 15 12 37
	α Tauri	1	26 12	16 9 34
	☾		58 25	16 53
13	α Tauri	1	4 26 12	+ 16 9 34
	☾		5 58 21	17 57
	μ Gemin.	3	6 12 41	22 35 34
29	☾		18 54 41	— 19 18
	δ Sagittar.	5	19 7 43	19 14 30
	ρ^2 Sagittar.	5 6	11 59	18 36 31
	(1294) Sagittar.	6	18 14	18 41 23
30	☾		19 51 57	— 18 9
	π Capricorni	5	20 17 38	18 45 20
	ν Capricorni	5	30 24	18 43 26
	(310) Capricorni	6 7	39 44	18 39 4
31	β^2 Capricorni	3 4	20 11 30	— 15 18 14
	τ^1 Capricorni	6	27 51	15 43 19
	☾		50 2	15 55
	s Capricorni	5	21 6 23	15 51 57
Spt. 1	λ Capricorni	5 6	21 37 25	— 12 8 18
	☾		48 28	12 40
	e Aquarii	6	22 1 35	12 23 22
	42 Aquarii	6	7 44	13 40 6
2	N Aquarii	6	22 34 24	— 7 50 32
	☾		46 51	8 34
	82 Aquarii	6	53 46	7 28 40
	ϕ Aquarii	5	23 5 33	6 57 30
3	n Piscium	5 6	23 39 15	— 3 41 58
	☾		45 3	3 54
	q Piscium	5	53 9	3 58 3
	4 Ceti	7	59 4	3 29 20

Sterne im Parallel des Mondes 1830.

1830	Namen.	Gr.	Ger. Aufstg.	Abweichg.
Spt. 4	(33) Piscium	6 7	^h 0 ['] 9 ["] 7	+ 0 44 53
	<i>t</i> Piscium	6	16 44	0 59 35
	(131) Piscium	7	28 48	2 11 50
	☾		43 15	1 0
10	γ Gemin.	3	6 27 54	+ 16 32 13
	ε Gemin.	3	33 30	25 17 28
	☾		39 43	17 58
11	γ Gemin.	3	6 27 54	+ 16 32 13
	ε Gemin.	3	33 30	25 17 28
	☾		7 37 34	17 5
25	☾		18 30 13	— 19 30
	<i>r</i> Sagittar.	6	39 37	20 30 14
	(316) Sagittar.	7	59 48	20 3 28
	<i>d</i> Sagittar.	5	19 7 44	19 14 30
26	<i>d</i> Sagittar.	5	19 7 44	— 19 14 30
	ρ^1 Sagittar.	5	11 51	18 9 13
	(1294) Sagittar.	6	18 14	18 41 23
	☾		25 29	18 51
27	β^2 Capricorni	3 4	20 11 30	— 15 18 13
	☾		21 54	17 10
	(240) Capricorni	6 7	31 2	16 43 0
	(310) Capricorni	6 7	39 44	18 39 0
28	z^2 Aquarii	6	20 51 48	— 14 10 57
	<i>s</i> Capricorni	5	21 6 23	15 51 57
	☾		19 6	14 27
	<i>d^1</i> Capricorni	6	32 20	14 47 40
29	☾		22 16 51	— 10 47
	(142) Aquarii	7	25 12	10 28 34
	64 Aquarii	6 7	30 22	10 54 5
	λ Aquarii	4	43 47	8 28 30
30	M^1 Aquarii	7	22 46 25	— 5 53 7
	h^1 Aquarii	6	56 20	8 36 6
	ϕ Aquarii	5	23 5 34	6 57 26
	☾		15 12	6 22

Sterne im Parallel des Mondes 1830.

1830	Namen.	Gr.	Ger. Aufstg.	Abweichg.
Oct. 1	(270) Piscium	6 7	^h 23 56 24''	— 1° 26' 25''
	☾		0 13 52	1 28
	(120) Piscium	6 7	26 52	1 26 0
	m Ceti	5	44 22	2 3 46
2	(252) Piscium	6 7	0 51 4	+ 5 34 10
	e Piscium	5	59 40	4 45 10
	35 Ceti	6 7	1 3 51	1 34 40
	☾		13 24	3 33
3	ζ ¹ Ceti	5	2 4 3	+ 8 2 59
	☾		13 56	8 18
	(118) Ceti	6 7	26 7	6 44 0
	(155) Arietis	7	32 54	9 49 7
9	☾		8 16 46	+ 15 57
	α Leonis	1	9 59 20	12 47 30
	γ Leonis	2	10 10 37	20 41 49
10	☾		9 10 56	+ 13 28
	α Leonis	1	9 59 20	12 47 30
	γ Leonis	2	10 10 37	20 41 49
11	☾		10 2 35	+ 10 18
	γ Leonis	2	10 37	20 41 49
	β Leonis	2 3	11 40 24	15 31 10
23	☾		19 4 7	— 19 23
	ρ ² Sagittar.	5 6	11 58	18 36 30
	(1294) Sagittar.	6	18 13	18 41 23
	(176) Sagittar.	7	26 33	19 12 53
24	☾		19 58 39	— 18 8
	σ Capricorni	5 6	20 9 37	19 38 8
	ρ Capricorni	5	19 11	18 21 46
	(194) Capricorni	7	25 56	17 5 50
25	☾		20 53 49	— 15 56
	s Capricorni	5	21 6 22	15 51 52
	♈ Aquarii	6	14 56	13 35 45
	(154) Aquarii	7	21 23	15 1 30

Sterne im Parallel des Mondes 1830.

1830	Namen.	Gr.	Ger. Aufstg.	Abweichg.
Oct. 26	λ Capricorni	5 6	^h 21 ['] 37 ["] 24	— 12° 8' 18"
	ζ		49 29	12 47
	37 Aquarii	6	22 1 29	11 38 51
	42 Aquarii	6	7 43	13 40 6
	ζ		22 45 44	— 8 48
	81 Aquarii	6	52 36	7 57 48
	ϕ Aquarii	5	23 5 33	6 57 25
	(1596) Aquarii	7	11 58	6 49 37
	(96) Piscium	7	23 20 47	— 5 27 0
	ω^4 Piscium	6 7	25 28	2 10 44
	ζ		42 48	4 10
	p Piscium	5	50 1	4 29 30
	(33) Piscium	6 7	0 9 7	+ 0 44 53
	t Piscium	6	16 44	1 0 12
	(131) Piscium	7	28 48	2 12 26
Nov. 1	ζ		41 7	0 48
	μ Piscium	5	1 21 20	— 5 16 10
	(123) Piscium	6 7	27 13	6 46 43
	ν Piscium	4	32 38	4 37 45
	ζ		41 2	5 48
	ξ^1 Arietis	6	2 15 46	+ 9 50 29
	ν Arietis	6	27 25	11 42 42
	85 Ceti	6	33 23	10 1 7
	ζ		42 48	10 25
	f Tauri	5 6	3 21 33	+ 12 21 2
	(103) Tauri	7	29 52	15 58 48
	e Tauri	6	39 0	10 37 0
	ζ		46 14	14 13
	α Leonis	1	9 59 21	+ 12 47 24
	β Virginis	3 4	11 41 52	2 43 10
Nov. 8	ζ		10 36 57	8 3
	α Leonis	1	9 59 21	+ 12 47 24
	ζ		11 25 22	4 12
	β Virginis	3 4	11 41 52	2 43 10

Sterne im Parallel des Mondes 1830.

1830	Namen.	Gr.	Ger. Aufstg.	Abweichg.
Nov. 10	β Virginis	3 4	11 ^h 41' 52"	+ 2° 43' 10"
	ζ		12 12 26	0 12
	δ Virginis	3 4	46 37	4 22 14
21	β^2 Capricorni	3 4	20 11 29	— 15 18 15
	(145) Capricorni	6 7	19 19	17 59 3
	(194) Capricorni	7	25 56	17 5 48
	ζ		34 54	17 4
22	ζ		21 29 1	— 14 18
	μ Capricorni	5	44 3	14 20 26
	33 Aquarii	4 5	57 17	14 40 56
	42 Aquarii	6	22 7 43	13 40 8
23	ζ		22 23 12	— 10 45
	64 Aquarii	6 7	30 21	10 54 6
	70 Aquarii	6	39 36	11 26 35
	χ^1 Aquarii	5 6	23 7 1	10 0 19
24	82 Aquarii	6	22 53 45	— 7 28 37
	ϕ Aquarii	5	23 5 33	6 57 27
	96 Aquarii	6	10 37	6 2 45
	ζ		17 47	6 29
25	(282) Ceti	7	0 0 3	— 3 9 48
	ζ		13 16	1 48
	(120) Piscium	6 7	26 52	1 26 5
	m Ceti	5	44 23	2 3 50
26	ζ		1 10 20	+ 3 7
	95 Piscium	7	18 54	4 28 44
	ν Piscium	5	32 38	4 37 43
	ξ Piscium	5 6	44 49	2 20 54
27	ζ		2 9 32	+ 7 56
	ξ^2 Ceti	5	19 11	7 41 47
	(118) Ceti	6 7	26 8	6 43 53
	μ Ceti	4	35 49	9 23 46
28	σ Arietis	6	2 42 10	+ 14 22 45
	(4) Ceti	6 7	3 2 6	12 24 0
	ζ		3 11 14	12 13
	f Tauri	5 6	21 33	12 21 1

Sterne im Parallel des Mondes 1830.

1830	Namen.	Gr.	Ger. Aufstg.	Abweichg.
Nov. 29	☾		^h 4 15 14''	— [°] 15 38'
	85 Tauri	6	22 13	15 28 53
	89 Tauri	7	28 30	15 41 11
	k Tauri	6	40 4	15 36 3
30	i Tauri	5 6	4 41 29	+ 18 32 36
	I Tauri	6 7	47 37	16 52 44
	m Tauri	5	57 28	18 24 33
	☾		5 20 35	17 46
Dec. 1	N Tauri	6	5 37 35	+ 17 39 8
	χ ² Orionis	6	44 57	19 42 15
	χ ⁴ Orionis	5 6	53 28	19 40 50
	☾		6 25 44	18 30
8	β Virginis	3 4	11 41 52	+ 2 43 10
	☾		12 23 27	— 2 14
	α Virginis	1	13 16 17	— 10 16 25
9	δ Virginis	3 4	12 47 4	+ 4 19 13
	α Virginis	1	13 16 17	— 10 16 25
	☾		29 51	— 6 11
10	α Virginis	1	13 16 17	— 10 16 25
	☾		14 16 35	9 54
	2 α Librae	3	41 31	15 19 51
20	☾		22 6 40	— 12 11
	σ Aquarii	5	21 41	11 32 13
	64 Aquarii	6 7	30 21	10 54 8
	k Aquarii	6	44 33	12 30 44
21	N Aquarii	6	22 34 24	— 7 50 36
	λ Aquarii	4	43 46	8 28 34
	81 Aquarii	6	52 35	7 57 52
	☾		23 0 8	8 13
22	n Piscium	5 6	23 39 14	— 3 42 0
	24 Piscium	6 7	44 14	4 5 30
	☾		53 44	3 45
	5 Ceti	7	59 32	3 23 14

Sterne im Parallel des Mondes 1830.

1830	Namen.	Gr.	Ger. Aufstg.	Abweichg.
Dec. 23	(33) Piscium	6 7	0 ^h 9' 7"	+ 0° 44' 49"
	z Piscium	6	16 44	1 0 9
	(131) Piscium	7	28 48	2 12 23
	☾		48 8	0 58
24	μ Piscium	5	1 21 20	+ 5 16 0
	(123) Piscium	6 7	27 13	6 46 32
	ν Piscium	5	32 39	4 37 40
	☾		44 6	5 43
25	(85) Arietis	6	2 17 42	+ 9 47 52
	υ Arietis	6	27 26	11 42 31
	85 Ceti	6	33 24	10 0 57
	☾		42 18	10 9
26	☾		3 43 7	+ 13 58
	λ Tauri	4	51 19	12 0 20
	48 Tauri	6	4 6 11	14 58 16
	γ Tauri	3 4	10 11	15 12 39
27	δ ³ Tauri	5	4 15 43	+ 17 31 52
	(99) Tauri	5 6	20 54	15 49 0
	α Tauri	1	26 14	16 9 36
	☾		46 20	16 47
28	122 Tauri	6	5 27 16	+ 16 55 30
	126 Tauri	5 6	31 32	16 26 12
	N Tauri	6	37 36	17 39 22
	☾		51 2	18 19
29	21 Gemin.	7	6 22 27	+ 17 53 34
	u Gemin.	5 6	32 34	17 48 3
	(270) Gemin.	7	46 27	17 56 42
	☾		55 38	18 27
30	k Gemin.	5	7 23 58	+ 16 10 52
	g Gemin.	6	36 20	18 54 46
	(261) Cancrī	7	48 53	16 57 51
	☾		58 25	17 12

Stern-Bedeckungen 1830.

1830	Namen.	Gr.	Eintritt.		Austritt.	
			Mittl. Zt.	Ort.	Mittl. Zt.	Ort.
Jan. 2	μ Piscium	5	^h 8 ['] 3,8	72°	^h 9 14,2	243°
5	75 Tauri	6	13 19,0	68	14 18,5	280
-	(99) Tauri	5 6	14 17,4	114	15 9,4	239
-	α Tauri	1	16 35,3	56	17 18,4	297
6	111 Tauri	6	12 35,6	138	13 20,3	231
7	21 Gemin.	7	17 36,9	44	18 9,2	328
13	τ Leonis	4	11 6,9	84	12 7,9	315
17	(127) Librae	6 7	15 31,9	164	15 37,9	207
25	\mathcal{A} Aquarii	6	4 1,7	35	4 50,1	290
30	ξ^1 Ceti	5	9 3,4	südl.	0,8 vom	☾ R.
Febr. 5	1 Cancrī	6	13 27,1	102	14 35,9	285
7	ξ Leonis	5	8 23,3	105	9 35,0	281
12	77 Virginis	7	14 14,4	157	15 16,8	253
15	49 Librae	5 6	16 30,7	131	17 43,5	257
Mrz. 2	N Tauri	6	10 9,3	52	11 1,7	311
3	u Gemin.	5 6	9 43,8	57	10 40,4	315
11	θ Virginis	4 5	7 53,3	134	8 48,8	265
12	γ Virginis	6 7	16 47,3	148	17 46,2	249
14	η Librae	4 5	16 5,7	98	17 27,8	292
26	(75) Ceti	6 7	5 48,7	87	6 47,5	241
28	70 Tauri	7	6 52,3	82	7 57,8	265
-	θ^1 Tauri	5	8 18,9	92	9 18,3	257
-	θ^2 Tauri	5 6	8 22,8	114	9 15,3	237
-	(99) Tauri	5 6	9 18,1	48	10 1,8	304
-	85 Tauri	6	9 50,7	133	10 28,7	231
29	111 Tauri	6	6 47,7	83	7 57,9	272
-	117 Tauri	6	8 43,7	116	9 40,1	244
Apr. 5	82 Leonis	7	7 4,8	35	7 24,0	5
-	τ Leonis	4	8 22,5	103	9 40,7	303
7	θ Virginis	4 5	16 35,4	nörd.	0,3 vom	☾ R.
9	(127) Librae	6 7	13 25,4	südl.	1,8 vom	☾ R.
28	1 Cancrī	6	8 11,5	129	9 13,1	257

Stern-Bedeckungen 1830.

1830	Namen.	Gr.	Eintritt.		Austritt.	
			Mittl. Zt.	Ort.	Mittl. Zt.	Ort.
Mai	1 48 Leonis	5 6	12 ^h 16,1	88°	13 ^h 14,7	312°
	5 77 Virginis	7	9 41,9	153	10 47,7	258
	6 α Virginis	4	5 17,5	123	6 13,7	267
	11 112 Sagittar.	7	11 20,9	101	12 31,8	267
	- (121) Sagittar.	7	12 17,9	82	13 32,2	282
	12 (1294) Sagittar.	6	10 53,8	92	11 58,2	267
	- 180 Sagittar.	7	15 54,1	88	17 9,4	255
	22 α Tauri	1	7 51,2	26	8 15,3	303
	24 α Gemin.	5 6	9 49,2	81	10 37,3	288
Jun.	2 γ Virginis	6 7	12 4,2	165	12 43,0	229
	- α Virginis	4	14 1,0	80	14 59,4	309
	4 η Librae	4 5	10 52,7	67	11 55,5	325
	8 d Sagittar.	5	12 28,0	108	13 41,1	244
	12 λ Aquarii	4	12 6,6	45	13 1,6	281
	25 σ^1 Sextantis	6	9 10,2	134	10 6,3	266
	- σ^2 Sextantis	7	9 44,0	115	10 42,4	284
	28 θ Virginis	4 5	12 34,2	157	13 13,6	239
Jul.	9 200 Aquarii	7	14 29,2	nördl.	0,3 vom	☾ R.
	11 10 Ceti	6	11 50,7	28	12 35,5	291
	15 48 Tauri	6	14 38,9	56	15 32,5	275
	- γ Tauri	3 4	16 25,2	59	17 26,2	270
	16 α Tauri	1	1 4,1	25	1 34,8	325
	29 49 Librae	5 6	11 43,4	163	12 10,2	329
Aug.	1 (94) Sagittar.	7	8 18,5	nördl.	1,3 vom	☾ R.
	- (112) Sagittar.	7	9 52,3	60	11 1,5	296
	- (121) Sagittar.	7	10 58,7	49	11 59,4	303
	2 (180) Sagittar.	7	13 6,6	45	14 3,3	294
	3 (194) Capric.	7	14 40,0	133	15 14,4	193
	6 ϕ Aquarii	5	10 26,7	nördl.	1,3 vom	☾ R.
	- (1596) Aquarii	7	13 14,3	104	14 11,6	208
	14 (270) Gemin.	7	15 11,5	54	16 0,0	300
	23 287 Virginis	7	8 25,7	106	9 30,2	286
	25 γ Librae	4 5	7 26,8	nördl.	0,6 vom	☾ R.

Stern-Bedeckungen 1830.

1830	Namen.	Gr.	Eintritt.		Austritt.	
			Mittl. Zt.	Ort.	Mittl. Zt.	Ort.
Spt.	2 81 Aquarii	6	14 ^h 44,8	60°	15 ^h 47,7	256°
	3 24 Piscium	6 7	11 49,1	79	12 58,9	237
	5 ν Piscium	5	9 24,5	111	10 7,8	205
	6 μ Ceti	4	12 27,1	127	13 1,7	258
	7 f Tauri	5 6	9 5,6	134	9 30,0	256
	8 89 Tauri	7	11 7,3	61	11 59,4	274
	- σ^2 Tauri	5 6	11 31,3	97	12 25,0	235
	- σ^1 Tauri	5 6	11 33,5	126	12 11,1	208
	9 N Tauri	6	16 12,6	81	17 26,4	265
	10 21 Gemin.	7	10 48,0	53	11 27,9	308
	- 26 u Gemin.	5 6	14 54,7	113	15 52,9	239
	23 (251) Ophiuchi	7	7 35,5	79	8 45,7	289
	26 (180) Sagittar.	7	7 46,6	36	8 40,4	307
	27 (194) Capric.	7	9 46,2	114	10 41,8	234
	28 (177) Capric.	6 7	11 51,2	143	12 11,2	180
	30 (1596) Aquarii	7	8 14,8	84	9 20,8	232
Oct.	1 10 Ceti	6	13 21,9	53	14 26,4	259
	2 f Piscium	6	9 47,0	147	9 57,9	171
	5 48 Tauri	6	9 31,7	30	10 11,5	300
	- γ Tauri	3 4	11 14,3	36	12 3,0	293
	- 70 Tauri	7	14 2,6	47	15 5,5	285
	- 71 Tauri	5 6	14 24,4	129	15 7,6	246
	- θ^1 Tauri	5	15 28,7	78	16 41,6	259
	- θ^2 Tauri	5 6	15 31,3	97	16 40,3	240
	- (99) Tauri	5 6	16 41,4	47	17 41,0	293
	- 85 Tauri	6	17 25,2	139	18 2,1	204
	6 111 Tauri	6	13 3,1	88	14 10,9	253
	7 21 Gemin.	7	17 50,0	141	18 38,2	139
	11 A Leonis	5	17 37,3	66	18 34,6	328
	14 Venus		17 39,5	151	18 35,0	249
	20 m Scorpii	5	5 26,1	48	6 15,5	324
	23 d Sagittar.	5	6 34,4	78	7 50,0	266
	27 81 Aquarii	6	11 54,6	38	12 48,0	279
	28 24 Piscium	6 7	9 30,3	72	10 40,1	270
	30 ν Piscium	5	6 17,7	153	6 53,4	198
	31 μ Ceti	4	8 17,0	südl.	0,2 vom	☾ R.

Stern-Bedeckungen 1830.

1830	Namen.	Gr.	Eintritt.		Austritt.	
			Mittl. Zt.	Ort.	Mittl. Zt.	Ort.
Nov. 2	<i>I</i> Tauri	6 7	^h 12 10,1	^o 37	^h 13 2,3	^o 299
3	<i>N</i> Tauri	6	7 0,9	78	7 49,7	267
4	(270) Gemin.	7	10 16,1	117	11 6,7	237
-	(281) Gemin.	7	10 49,3	83	11 50,4	271
5	(261) Cancr.	7	12 9,0	111	13 10,1	255
-	<i>r</i> Cancr.	6	13 37,9	114	14 45,6	256
7	19 Leonis	7	13 16,0	55	13 59,7	328
9	80 Leonis	7	14 41,3	180	15 5,3	220
11	<i>k</i> ¹ Virginis	7	15 41,6	117	16 43,5	283
23	142 Aquarii	7	6 57,1	54	8 9,1	260
-	176 Aquarii	7	10 42,0	südl.	1,0 vom	☾ R.
25	10 Ceti	6	10 55,7	337	10 56,7	332
26	<i>f</i> Piscium	6	7 29,8	111	8 17,7	197
29	48 Tauri	6	6 49,2	77	7 47,6	252
-	<i>γ</i> Tauri	3 4	8 35,9	84	9 39,8	248
-	70 Tauri	7	11 29,6	93	12 36,6	241
-	75 Tauri	6	13 10,8	33	13 59,4	304
-	<i>θ</i> ¹ Tauri	5	13 5,8	123	13 54,9	216
-	<i>θ</i> ² Tauri	5 6	13 31,2	südl.	0,7 vom	☾ R.
-	(99) Tauri	5 6	13 58,7	89	15 4,0	253
-	<i>α</i> Tauri	1	16 30,9	35	17 19,8	295
30	111 Tauri	6	9 38,0	südl.	0,2 vom	☾ R.
-	115 Tauri	5 6	10 38,7	39	11 30,3	302
Dec. 5	<i>b</i> ¹ Leonis	6	16 3,5	195	16 9,7	205
9	<i>l</i> ² Virginis	6	15 3,9	110	16 9,9	294
19	154 Aquarii	7	8 2,2	150	8 15,3	180
22	<i>q</i> Piscium	5	4 47,3	91	5 55,0	220
-	5 Ceti	7	9 1,7	126	9 15,9	174
-	(282) Ceti	7	9 4,2	93	10 2,1	221
25	<i>μ</i> Ceti	4	4 21,1	87	5 20,6	231
27	<i>I</i> Tauri	6 7	10 30,5	65	11 39,4	287
28	<i>N</i> Tauri	6	4 51,5	126	5 29,1	217
29	(281) Gemin.	7	8 30,3	südl.	0,8 vom	☾ R.

Ort der Sterne welche bedeckt werden.

	Namen.	Gr.	Ger. Aufstg. 1830	Abweichg. 1830
(282)	Ceti	7	0° 0,07	— 3° 10,98
10	Ceti	6	4 28,58	— 0 59,46
89	<i>f</i> Piscium	6	17 15,50	+ 2 43,12
98	μ Piscium	5	20 19,23	+ 5 15,81
106	ν Piscium	5	23 8,85	+ 4 37,46
65	ξ^1 Ceti	5	30 59,88	+ 8 2,74
(75)	Ceti	6 7	33 51,50	+ 8 56,49
87	μ Ceti	4	38 56,30	+ 9 23,58
5	<i>f</i> Tauri	5 6	51 22,40	+ 12 20,92
48	Tauri	6	61 31,85	+ 14 58,23
54	γ Tauri	3 4	62 31,85	+ 15 12,61
70	Tauri	7	63 58,80	+ 15 32,80
71	Tauri	5 6	64 9,80	+ 15 13,54
75	Tauri	6	64 40,98	+ 15 58,35
77	θ^1 Tauri	5	64 42,98	+ 15 34,74
78	θ^2 Tauri	5 6	64 44,48	+ 15 29,31
(99)	Tauri	5 6	65 12,52	+ 15 49,07
85	Tauri	6	65 32,30	+ 15 28,85
87	α Tauri	1	66 32,52	+ 16 9,67
89	Tauri	7	67 6,48	+ 15 41,15
91	σ^1 Tauri	5 6	67 21,80	+ 15 27,47
92	σ^2 Tauri	5 6	67 23,42	+ 15 34,45
(246)	<i>I</i> Tauri	6 7	71 53,42	+ 16 52,78
111	Tauri	6	78 37,45	+ 17 13,06
115	Tauri	5 6	79 18,80	+ 17 48,46
117	Tauri	6	79 32,38	+ 17 5,44
130	<i>N</i> Tauri	6	84 22,88	+ 17 39,51
21	Gemin.	7	95 35,83	+ 17 53,77
26	<i>u</i> Gemin.	5 6	98 7,52	+ 17 48,24
(270)	Gemin.	7	101 35,72	+ 17 57,00
(281)	Gemin.	7	101 57,13	+ 18 7,12
1	Cancr	6	116 49,38	+ 16 14,32
(261)	Cancr	7	117 12,23	+ 16 58,19
5	<i>r</i> Cancr	6	117 56,98	+ 16 55,08
5	ξ Leonis	5	140 41,63	+ 12 2,96
19	Leonis	7	144 34,23	+ 12 21,06
31	<i>A</i> Leonis	5	149 43,10	+ 10 49,69
44	<i>b</i> ¹ Leonis	6	154 4,30	+ 9 38,81
48	Leonis	5 6	156 28,83	+ 7 49,62

Ort der Sterne welche bedeckt werden.

Namen.		Gr.	Ger. Aufstg. 1830	Abweichg. 1830
37	α^1 Sextantis	6	159° 18,45	+ 7° 16,03
38	α^2 Sextantis	7	159 36,92	+ 7 14,53
82	Leonis	7	169 13,70	+ 4 14,29
80	Leonis	7	169 16,35	+ 4 47,78
84	τ Leonis	4	169 47,82	+ 3 47,56
44	k^1 Virginis	6	192 43,55	— 2 53,50
51	θ Virginis	4 5	195 17,35	— 4 37,74
74	l^2 Virginis	6	200 46,95	— 5 22,42
77	Virginis	7	201 8,03	— 6 44,69
96	γ Virginis	6 7	209 59,38	— 9 31,46
98	κ Virginis	4	210 57,60	— 9 28,77
(127)	Librae	6 7	216 59,90	— 11 34,82
38	γ Librae	4 5	231 30,48	— 14 12,84
44	η Librae	4 5	233 37,78	— 15 7,39
49	Librae	5 6	237 41,90	— 16 1,54
24	m Scorpii	5	247 56,25	— 17 24,25
(251)	Ophiuchi	7	252 27,68	— 17 58,46
(94)	Sagittar.	7	275 28,10	— 19 14,10
(112)	Sagittar.	7	276 20,48	— 19 23,55
(121)	Sagittar.	7	276 46,45	— 19 20,44
43	d Sagittar.	5	286 55,23	— 19 14,80
[1294]	Sagittar.	6	289 32,90	— 18 41,68
(180)	Sagittar.	7	291 47,73	— 18 35,99
(194)	Sagittar.	7	306 28,55	— 17 6,14
18	A Aquarii	6	318 43,38	— 13 36,06
(154)	Aquarii	7	320 20,25	— 15 1,79
(177)	Capricorni	6 7	321 14,88	— 14 14,04
48	λ Capricorni	5 6	324 20,48	— 12 8,67
(142)	Aquarii	7	336 17,23	— 10 28,94
(176)	Aquarii	7	337 47,25	— 10 14,69
(200)	Aquarii	7	338 32,05	— 9 11,91
81	Aquarii	6	343 8,27	— 7 58,17
90	ϕ Aquarii	5	346 22,68	— 6 57,79
{1596}	Aquarii	7	347 58,73	— 6 49,99
24	Piscium	6 7	356 2,90	— 4 5,78
29	q Piscium	5	358 16,50	— 3 58,25
5	Ceti	7	359 52,40	— 3 23,54

Obere Culmination des Mondes.

JANUAR 1830.				FEBRUAR 1830.			
☾ Tage.	Par. ☾	ΔA	ΔD	☾ Tage.	Par. ☾	ΔA	ΔD
0	59' 8"	— 0,16	0,00	0	58' 43"	+ 0,08	— 0,16
1	59 12	— 0,15	— 0,05	1	58 14	+ 0,15	— 0,18
2	59 7	+ 0,04	— 0,10	2	57 43	+ 0,22	— 0,20
3	58 57	+ 0,11	— 0,13	3	57 11	+ 0,28	— 0,21
4	58 43	+ 0,18	— 0,16	4	56 41	+ 0,32	— 0,22
5	58 24	+ 0,24	— 0,18	5	56 11	+ 0,35	— 0,22
6	57 59	+ 0,28	— 0,19	6	55 41	+ 0,37	— 0,21
7	57 29	+ 0,31	— 0,19	7	55 14	+ 0,38	— 0,20
8	56 56	+ 0,33	— 0,19	8	54 49	+ 0,37	— 0,18
9	56 20	+ 0,33	— 0,18	9	54 28	+ 0,35	— 0,16
10	55 45	+ 0,31	— 0,16	10	54 14	+ 0,32	— 0,14
11	55 12	+ 0,28	— 0,14	11	54 6	+ 0,28	— 0,11
12	54 45	+ 0,24	— 0,11	12	54 6	+ 0,23	— 0,09
13	54 24	+ 0,18	— 0,08	13	54 17	+ 0,18	— 0,06
14	54 13	+ 0,12	— 0,05	14	54 37	+ 0,12	— 0,04
15	54 12	+ 0,06	— 0,03	15	55 9	+ 0,06	— 0,01
16	54 22	0,00	— 0,01	16	55 51	0,00	+ 0,01
17	54 42	— 0,06	+ 0,01	17	56 41	— 0,07	+ 0,02
18	55 14	— 0,12	+ 0,03	18	57 38	— 0,14	+ 0,03
19	55 54	— 0,18	+ 0,05	19	58 35	— 0,18	+ 0,03
20	56 41	— 0,23	+ 0,07	20	59 28	— 0,22	+ 0,02
21	57 31	— 0,27	+ 0,08	21	60 11	— 0,22	— 0,01
22	58 19	— 0,29	+ 0,07	23	60 39	— 0,21	— 0,04
23	59 1	— 0,29	+ 0,06	24	60 48	— 0,21	— 0,07
25	59 33	— 0,28	+ 0,04	25	60 40	— 0,17	— 0,10
26	59 52	— 0,26	+ 0,01	26	60 16	— 0,12	— 0,14
27	59 57	— 0,22	— 0,02	27	59 40	— 0,06	— 0,18
28	59 50	— 0,15	— 0,06	28	58 57	+ 0,01	— 0,21
29	59 34	— 0,08	— 0,10	29	58 11	+ 0,08	— 0,24
30	59 11	— 0,00	— 0,14				
31	58 43	+ 0,08	— 0,16				
32	58 14	+ 0,15	— 0,18				

Obere Culmination des Mondes.

MAERZ 1830.				APRIL 1830.			
☾ Tage.	Par. ☾	ΔA	ΔD	☾ Tage.	Par. ☾	ΔA	ΔD
0	58' 57"	+ 0,01	- 0,21	0	56' 43"	+ 0,15	- 0,27
1	58 11	+ 0,08	- 0,24	1	55 58	+ 0,22	- 0,27
2	57 27	+ 0,16	- 0,26	2	55 20	+ 0,28	- 0,27
3	56 45	+ 0,23	- 0,27	3	54 49	+ 0,33	- 0,25
4	56 8	+ 0,29	- 0,28	4	54 26	+ 0,38	- 0,23
5	55 36	+ 0,34	- 0,27	5	54 9	+ 0,41	- 0,21
6	55 8	+ 0,37	- 0,26	6	53 59	+ 0,44	- 0,18
7	54 44	+ 0,39	- 0,24	7	53 55	+ 0,45	- 0,15
8	54 25	+ 0,41	- 0,22	8	53 56	+ 0,45	- 0,12
9	54 11	+ 0,41	- 0,20	9	54 4	+ 0,44	- 0,09
10	54 1	+ 0,40	- 0,17	10	54 17	+ 0,42	- 0,06
11	53 58	+ 0,38	- 0,14	11	54 37	+ 0,38	- 0,03
12	54 2	+ 0,35	- 0,11	12	55 4	+ 0,34	- 0,01
13	54 13	+ 0,31	- 0,08	13	55 39	+ 0,29	+ 0,01
14	54 33	+ 0,26	- 0,05	14	56 21	+ 0,23	+ 0,03
15	55 2	+ 0,21	- 0,03	15	57 10	+ 0,16	+ 0,04
16	55 42	+ 0,15	- 0,01	16	58 5	+ 0,09	+ 0,03
17	56 30	+ 0,08	0,00	17	59 2	+ 0,02	+ 0,02
18	57 25	+ 0,01	+ 0,01	18	59 56	- 0,04	0,00
19	58 25	- 0,05	+ 0,01	19	60 40	- 0,09	- 0,03
20	59 24	- 0,11	- 0,00	20	61 9	- 0,13	- 0,07
21	60 16	- 0,15	- 0,02	21	61 20	- 0,15	- 0,11
22	60 56	- 0,17	- 0,05	23	61 10	- 0,16	- 0,15
24	61 17	- 0,18	- 0,09	24	60 38	- 0,13	- 0,18
25	61 16	- 0,18	- 0,12	25	59 51	- 0,09	- 0,22
26	60 55	- 0,15	- 0,15	26	58 53	- 0,04	- 0,25
27	60 17	- 0,11	- 0,19	27	57 53	+ 0,02	- 0,27
28	59 26	- 0,05	- 0,22	28	56 55	+ 0,09	- 0,27
29	58 30	+ 0,01	- 0,24	29	56 4	+ 0,16	- 0,26
30	57 35	+ 0,08	- 0,26	30	55 20	+ 0,23	- 0,25
31	56 43	+ 0,15	- 0,27	31	54 46	+ 0,29	- 0,23
32	55 58	+ 0,22	- 0,27				

Obere Culmination des Mondes.

MAI 1830.				JUNI 1830.			
☾ Tage.	Par. ☾	ΔA	ΔD	☾ Tage.	Par. ☾	ΔA	ΔD
0	55' 20"	+ 0,23	- 0,25	0	54' 12"	+ 0,37	- 0,14
1	54 46	+ 0,29	- 0,23	1	54 5	+ 0,43	- 0,10
2	54 22	+ 0,35	- 0,21	2	54 8	+ 0,48	- 0,06
3	54 6	+ 0,40	- 0,18	3	54 19	+ 0,52	- 0,02
4	53 59	+ 0,44	- 0,15	4	54 36	+ 0,55	+ 0,02
5	53 58	+ 0,47	- 0,12	5	54 59	+ 0,57	+ 0,06
6	54 4	+ 0,49	- 0,08	6	55 25	+ 0,58	+ 0,10
7	54 16	+ 0,51	- 0,04	7	55 54	+ 0,58	+ 0,13
8	54 33	+ 0,51	0,00	8	56 25	+ 0,55	+ 0,15
9	54 55	+ 0,50	+ 0,03	9	56 57	+ 0,51	+ 0,16
10	55 23	+ 0,47	+ 0,05	10	57 30	+ 0,46	+ 0,17
11	55 55	+ 0,42	+ 0,07	11	58 3	+ 0,40	+ 0,16
12	56 29	+ 0,37	+ 0,08	12	58 34	+ 0,33	+ 0,14
13	57 9	+ 0,31	+ 0,09	13	59 4	+ 0,25	+ 0,11
14	57 54	+ 0,24	+ 0,08	14	59 30	+ 0,18	+ 0,07
15	58 40	+ 0,17	+ 0,06	15	59 50	+ 0,11	+ 0,03
16	59 24	+ 0,10	+ 0,04	16	60 1	+ 0,05	- 0,02
17	60 4	+ 0,03	+ 0,01	17	59 59	0,00	- 0,07
18	60 34	- 0,02	- 0,03	18	59 45	- 0,03	- 0,11
19	60 49	- 0,07	- 0,07	19	59 17	- 0,05	- 0,15
20	60 47	- 0,10	- 0,11	21	58 39	- 0,04	- 0,17
22	60 27	- 0,11	- 0,15	22	57 52	- 0,01	- 0,19
23	59 49	- 0,10	- 0,18	23	57 3	+ 0,04	- 0,20
24	59 0	- 0,06	- 0,21	24	56 14	+ 0,09	- 0,19
25	58 3	- 0,02	- 0,23	25	55 31	+ 0,15	- 0,17
26	57 7	+ 0,04	- 0,24	26	54 56	+ 0,21	- 0,15
27	56 13	+ 0,10	- 0,23	27	54 31	+ 0,28	- 0,12
28	55 28	+ 0,17	- 0,22	28	54 16	+ 0,35	- 0,08
29	54 52	+ 0,24	- 0,20	29	54 13	+ 0,42	- 0,04
30	54 26	+ 0,31	- 0,17	30	54 19	+ 0,48	0,00
31	54 12	+ 0,37	- 0,14	31	54 34	+ 0,53	+ 0,04
32	54 5	+ 0,43	- 0,10				

Obere Culmination des Mondes.

JULI 1830.				AUGUST 1830.			
☾ Tage.	Par. ☾	ΔA	ΔD	☾ Tage.	Par. ☾	ΔA	ΔD
0	54' 19"	+ 0,48	0,00	0	55' 47"	+ 0,62	+ 0,21
1	54 34	+ 0,53	+ 0,04	1	56 29	+ 0,66	+ 0,25
2	54 58	+ 0,58	+ 0,09	2	57 13	+ 0,69	+ 0,28
3	55 28	+ 0,62	+ 0,13	3	57 56	+ 0,71	+ 0,30
4	56 1	+ 0,64	+ 0,17	4	58 35	+ 0,71	+ 0,31
5	56 36	+ 0,65	+ 0,20	5	59 5	+ 0,69	+ 0,30
6	57 11	+ 0,65	+ 0,23	6	59 26	+ 0,65	+ 0,28
7	57 43	+ 0,62	+ 0,24	7	59 36	+ 0,61	+ 0,25
8	58 12	+ 0,58	+ 0,24	8	59 36	+ 0,55	+ 0,22
9	58 35	+ 0,53	+ 0,23	9	59 27	+ 0,48	+ 0,17
10	58 54	+ 0,47	+ 0,21	10	59 12	+ 0,40	+ 0,12
11	59 7	+ 0,40	+ 0,17	11	58 53	+ 0,33	+ 0,07
12	59 15	+ 0,33	+ 0,13	12	58 29	+ 0,26	+ 0,01
13	59 19	+ 0,26	+ 0,09	13	58 3	+ 0,20	- 0,03
14	59 16	+ 0,19	+ 0,04	14	57 35	+ 0,16	- 0,07
15	59 7	+ 0,13	- 0,01	15	57 4	+ 0,12	- 0,10
16	58 51	+ 0,09	- 0,06	16	56 33	+ 0,10	- 0,12
17	58 26	+ 0,05	- 0,10	18	56 1	+ 0,10	- 0,13
18	57 54	+ 0,03	- 0,13	19	55 30	+ 0,11	- 0,14
20	57 17	+ 0,04	- 0,15	20	55 1	+ 0,13	- 0,13
21	56 38	+ 0,06	- 0,15	21	54 37	+ 0,17	- 0,11
22	55 59	+ 0,09	- 0,15	22	54 19	+ 0,21	- 0,07
23	55 22	+ 0,14	- 0,13	23	54 9	+ 0,26	- 0,01
24	54 52	+ 0,19	- 0,10	24	54 9	+ 0,32	+ 0,05
25	54 29	+ 0,25	- 0,07	25	54 19	+ 0,38	+ 0,11
26	54 16	+ 0,31	- 0,03	26	54 39	+ 0,44	+ 0,17
27	54 14	+ 0,37	+ 0,01	27	55 10	+ 0,51	+ 0,22
28	54 23	+ 0,43	+ 0,06	28	55 51	+ 0,57	+ 0,26
29	54 42	+ 0,50	+ 0,11	29	56 39	+ 0,63	+ 0,30
30	55 11	+ 0,56	+ 0,16	30	57 32	+ 0,67	+ 0,33
31	55 47	+ 0,62	+ 0,21	31	58 26	+ 0,71	+ 0,35
32	56 29	+ 0,66	+ 0,25	32	59 14	+ 0,74	+ 0,36

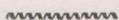
Obere Culmination des Mondes.

SEPTEMBER 1830.				OCTOBER 1830.			
☾ Tage.	Par. ☾	ΔA	ΔD	☾ Tage.	Par. ☾	ΔA	ΔD
0	58' 26"	+ 0,71	+ 0,35	0	60' 14"	+ 0,77	+ 0,35
1	59 14	+ 0,74	+ 0,36	1	60 50	+ 0,79	+ 0,33
2	59 53	+ 0,75	+ 0,35	2	61 8	+ 0,78	+ 0,29
3	60 18	+ 0,74	+ 0,33	3	61 5	+ 0,76	+ 0,23
4	60 27	+ 0,71	+ 0,29	4	60 45	+ 0,73	+ 0,17
5	60 21	+ 0,67	+ 0,24	5	60 7	+ 0,68	+ 0,10
6	60 2	+ 0,61	+ 0,19	6	59 20	+ 0,62	+ 0,04
7	59 31	+ 0,55	+ 0,13	7	58 27	+ 0,55	- 0,01
8	58 55	+ 0,47	+ 0,07	8	57 34	+ 0,47	- 0,06
9	58 15	+ 0,39	+ 0,02	9	56 45	+ 0,40	- 0,10
10	57 36	+ 0,33	- 0,03	10	56 3	+ 0,34	- 0,12
11	56 59	+ 0,27	- 0,06	11	55 27	+ 0,29	- 0,12
12	56 24	+ 0,23	- 0,08	12	54 57	+ 0,24	- 0,12
13	55 52	+ 0,19	- 0,09	13	54 33	+ 0,21	- 0,10
14	55 23	+ 0,16	- 0,10	14	54 16	+ 0,19	- 0,07
15	54 58	+ 0,15	- 0,09	15	54 3	+ 0,18	- 0,04
17	54 36	+ 0,15	- 0,07	17	53 56	+ 0,18	0,00
18	54 18	+ 0,16	- 0,04	18	53 55	+ 0,19	+ 0,05
19	54 6	+ 0,18	0,00	19	53 59	+ 0,21	+ 0,11
20	54 0	+ 0,21	+ 0,04	20	54 10	+ 0,25	+ 0,16
21	54 1	+ 0,26	+ 0,09	21	54 29	+ 0,29	+ 0,21
22	54 12	+ 0,31	+ 0,14	22	54 55	+ 0,35	+ 0,26
23	54 31	+ 0,37	+ 0,19	23	55 32	+ 0,41	+ 0,30
24	55 1	+ 0,43	+ 0,24	24	56 17	+ 0,49	+ 0,34
25	55 41	+ 0,50	+ 0,29	25	57 10	+ 0,56	+ 0,36
26	56 32	+ 0,56	+ 0,33	26	58 9	+ 0,63	+ 0,37
27	57 28	+ 0,63	+ 0,36	27	59 8	+ 0,69	+ 0,36
28	58 28	+ 0,69	+ 0,37	28	60 3	+ 0,75	+ 0,33
29	59 25	+ 0,73	+ 0,37	29	60 49	+ 0,80	+ 0,29
30	60 14	+ 0,77	+ 0,35	30	61 17	+ 0,83	+ 0,25
31	60 50	+ 0,79	+ 0,33	31	61 25	+ 0,84	+ 0,19
				32	61 11	+ 0,82	+ 0,11

Obere Culmination des Mondes.

NOVEMBER 1830.				DECEMBER 1830.			
☾ Tage.	Par. ☾	ΔA	ΔD	☾ Tage.	Par. ☾	ΔA	ΔD
0	61' 25"	+ 0,84	+ 0,19	0	60' 45"	+ 0,90	- 0,04
1	61 11	+ 0,82	+ 0,11	1	60 3	+ 0,88	- 0,12
2	60 37	+ 0,79	+ 0,03	2	59 10	+ 0,84	- 0,19
3	59 49	+ 0,75	- 0,03	3	58 11	+ 0,79	- 0,23
4	58 51	+ 0,69	- 0,08	4	57 11	+ 0,73	- 0,26
5	57 51	+ 0,62	- 0,12	5	56 15	+ 0,66	- 0,28
6	56 54	+ 0,55	- 0,15	6	55 28	+ 0,59	- 0,27
7	56 3	+ 0,48	- 0,17	7	54 51	+ 0,53	- 0,25
8	55 20	+ 0,42	- 0,18	8	54 24	+ 0,47	- 0,21
9	54 47	+ 0,37	- 0,16	9	54 7	+ 0,42	- 0,16
10	54 22	+ 0,32	- 0,14	10	54 0	+ 0,37	- 0,11
11	54 6	+ 0,28	- 0,11	11	54 1	+ 0,33	- 0,05
12	53 57	+ 0,24	- 0,07	12	54 10	+ 0,31	+ 0,01
13	53 55	+ 0,22	- 0,01	13	54 23	+ 0,30	+ 0,07
14	53 58	+ 0,20	+ 0,04	15	54 42	+ 0,29	+ 0,13
16	54 6	+ 0,21	+ 0,10	16	55 5	+ 0,30	+ 0,19
17	54 20	+ 0,23	+ 0,16	17	55 30	+ 0,33	+ 0,24
18	54 39	+ 0,27	+ 0,21	18	55 59	+ 0,36	+ 0,28
19	55 4	+ 0,31	+ 0,26	19	56 31	+ 0,41	+ 0,31
20	55 35	+ 0,37	+ 0,30	20	57 5	+ 0,47	+ 0,32
21	56 13	+ 0,43	+ 0,33	21	57 42	+ 0,55	+ 0,30
22	56 57	+ 0,50	+ 0,34	22	58 21	+ 0,63	+ 0,28
23	57 47	+ 0,57	+ 0,35	23	59 0	+ 0,70	+ 0,24
24	58 40	+ 0,65	+ 0,33	24	59 37	+ 0,78	+ 0,18
25	59 32	+ 0,73	+ 0,30	25	60 6	+ 0,85	+ 0,10
26	60 18	+ 0,79	+ 0,25	26	60 24	+ 0,91	+ 0,02
27	60 52	+ 0,85	+ 0,19	27	60 28	+ 0,96	- 0,06
28	61 9	+ 0,89	+ 0,12	28	60 15	+ 0,99	- 0,14
29	61 7	+ 0,91	+ 0,04	29	59 46	+ 1,00	- 0,21
30	60 45	+ 0,90	- 0,04	30	59 4	+ 0,99	- 0,27
31	60 3	+ 0,88	- 0,12	31	58 13	+ 0,97	- 0,33
				32	57 19	+ 0,94	- 0,37

A n h a n g.



Über die Einrichtung des Jahrbuchs.

Wir beobachten die Körper unseres Sonnensystems nicht aus dem Centralpunkte ihrer Bewegung, sondern von einem Punkte der Erdoberfläche aus, der eine zweifache Bewegung um den Centralpunkt hat. Man könnte deswegen wünschen, durch die Ephemeriden die Stellung der Himmelskörper in Bezug auf drei Punkte zu erfahren, den Mittelpunkt der Sonne, der Erde, und den Ort der Erdoberfläche für welchen die Ephemeriden berechnet sind. Diese drei Rücksichten modificiren sich indessen so, daß bei jedem Körper unseres Sonnensystems nur zwei übrig bleiben, für welche die genaueren Data wünschenswerth sind. Denn bei den Planeten, die entfernter sind, und weniger regelmäßig das ganze Jahr hindurch beobachtet werden, ist die Reduction von dem Mittelpunkte der Erde auf einen bestimmten Ort der Oberfläche so einfach, daß eine Erleichterung kaum nothwendig ist, und für die Sonne und den Mond, fällt die Beziehung auf den Mittelpunkt des ganzen Systems weg, weil sie für jene schon an sich statt findet, der Lauf des letzteren aber nur auf die Erde bezogen wird. Hiernach geben jede zwei nebeneinanderstehende Seiten des aufgeschlagenen Buches für die Körper unseres Sonnensystems die Polarcoordinaten in Bezug auf zwei Punkte an. Bei dem Monde und der Sonne, in Bezug auf den Mittelpunkt der Erde und den Ort Berlin (wobei indessen bei der letzteren Beziehung die Entfernung als unnöthig weggelassen ist); für die Planeten und Jupiterstrabanten den helio- und geocentrischen Ort, oder was die Stelle derselben vertreten kann. Bei den Coordinaten welche die Beobachtungsmomente unmittelbar angeben, oder aus welchen die letzteren hergeleitet werden sollen, ist der Äquator zum Grunde gelegt,

bei den andern die Ekliptik. Die einzige Ausnahme hievon machen die kleineren Planeten. Die Zeit die überall, wo es nicht ausdrücklich angedeutet ist, angewandt worden, ist die mittlere. Der Anfang des Tages um Mittag, und die Zählung der Stunden durchgängig bis vierundzwanzig angenommen, so daß die Stunden weniger als zwölf, die Nachmittagsstunden desselben bürgerlichen Tages, die über zwölf, um zwölf vermindert, die Vormittagsstunden des bürgerlichen Tages sind, der auf den beigesetzten astronomischen folgt.

Alle Längen, Breiten, geraden Aufsteigungen und Abweichungen, beziehen sich auf das wahre oder scheinbare Äquinocetium, und die wahre oder scheinbare Lage der verschiedenen Ebenen, wobei die Nutation und Schiefe der Ekliptik, durchgängig nach Bessel zum Grunde gelegt sind.

Alle Angaben sind ohne irgend welche Vernachlässigung einer Correction aus den Tafeln berechnet, und ganz so angesetzt wie die Tafeln sie geben. Es würde ein Hauptzweck dieser Ephemeriden erreicht werden, wenn sie den Astronomen die zeitraubenden, unmittelbaren Berechnungen aus den Tafeln ersparten.

Das Jahrbuch theilt sich außer der Angabe der Bezeichnungen, und der Festrechnung, in vier Hauptabschnitte, Ephemeride der Sonne und des Mondes, Ephemeride der Planeten und ihrer Trabanten, Sternörter, Erscheinungen und Beobachtungen.

Für die Sonne und den Mond hat jeder Monat sechs Seiten, die der leichteren Übersicht wegen noch besonders mit den römischen Zahlen I-VI paginirt sind. Die erste Seite enthält die Data welche bei der Beobachtung der Sonne gebraucht werden. Ihre Epoche ist deswegen der wahre Berliner Mittag. Auf die zwei ersten Columnen des Monats- und Wochentages, folgt die mittlere Zeit im Augenblick des wahren Mittags, oder die sogenannte Zeitgleichung, hierauf die gerade Aufsteigung der Sonne oder die Sternzeit im wahren Mittage, dann die Declination, begleitet von der Columne $\log. \mu$ (nach Gauß's Bezeichnung, ganz nach der Art der Schumacherschen Hülftafeln), welches der $\log.$ der achtundvierzigstündigen Änderung der Declination in Bo-

gensekunden ist, jedesmal von dem vorhergehenden Mittage bis zum folgenden gerechnet, oder sehr nahe die achtundvierzigstündige Änderung der Declination für den Mittag bei welchem der log. steht. Zuletzt kommt die Sternzeit, welche die Sonnenscheibe gebraucht, um durch einen Faden eines Meridianinstrumentes zu gehen.

Die nebenstehende Seite II, enthält die Data für die Sonne, welche man bei Planetenrechnungen gebraucht. Ihre Epoche ist deshalb der mittlere Mittag. Auf die Columnen Monats- und Jahrestag, folgt die Sternzeit im Augenblicke des mittleren Mittags, nöthig, um eine Beobachtung in Sternzeit auf mittlere Zeit zu bringen. Hierauf Länge, Breite und Radius vector der Sonne. Bei der ersteren ist die Aberration nicht angebracht, so daß man unmittelbar die gegebenen Zahlen anwenden muß, bei der Verwandlung geocentrischer in heliocentrische Örter und umgekehrt. Zuletzt steht der Halbmesser der Sonne der bei Declinationsbeobachtungen gebraucht wird.

Bei diesen Angaben sind die Carlinischen Sonnentafeln benutzt, verbessert durch Hrn. Prof. Bessel's Correctionen, welche er die Güte hatte mir mitzutheilen. Auch die Columnen der Culminationsdauer und des Sonnenhalbmessers sind aus Bessel's Tafeln genommen. Die Berechnung ist auf das strengste geführt, und bei den geraden Aufsteigungen und Abweichungen die Breite gehörig berücksichtigt. Es ist deswegen zu hoffen, daß wenn auch bis zum Jahre 1830 neue Sonnentafeln erscheinen sollten, der berechnete Lauf nicht allzustark von dem wahren abweichen wird.

Die folgenden vier Seiten III-VI enthalten den Mondslauf. Die ungeraden III und V geben die Länge und Breite, so wie die gerade Aufsteigung und Abweichung des Mondes, für den jedesmaligen mittleren Berliner Mittag und die Mitternacht. Die Anordnung dieser Angaben, wobei die mittäglichen Örter nicht von den mitternächtlichen getrennt sind, wie es sonst Sitte ist, schien mir für die Bildung der Differenzen bequemer. Auf den nebenstehenden Seiten IV und VI, findet sich zuerst für dieselben Epochen die Horizontal-Äquatoreal-Parallaxe des Mondes, welche die Stelle der Entfernung vertritt, und der Halbmesser

vom Mittelpunkte der Erde aus gesehen. Es folgen dann drei zusammengehörige Columnen, welche sich auf den Augenblick der Culmination des Mondes zu Berlin beziehen, nämlich die mittlere Zeit wann der Mond in seiner oberen und unteren Culmination sich befindet, mit der ihm dann zugehörigen geraden Aufsteigung und Abweichung, immer auf den Mittelpunkt der Erde noch bezogen. Die obern und untern Culminationen sind durch die Buchstaben *O* und *U* unterschieden. Die beiden letzten Columnen geben den Auf- und Untergang des Mondes und der Sonne, bezeichnet durch die Buchstaben *A* und *U*. Unter den ungeraden Seiten III und V stehen die Mondphasen nach mittlerer Zeit, unter den geraden die Zeiten der Erdnähe und Erdferne.

Die auf den geraden Seiten vereinigten Angaben, bezwecken die Berechnung des scheinbaren von der Parallaxe afficirten Ortes zu erleichtern, worüber weiter unten etwas ausführlicheres folgt. Aus demselben Grunde ist auch der etwas fremdartige Zusatz Auf- und Untergang der Sonne hier eingeschaltet. Überdem hat diese Angabe, nur in Bezug auf die Sichtbarkeit eines andern Himmelskörpers, in astronomischer Hinsicht ein wesentliches Interesse. Die angegebene Zeit des Auf- und Unterganges bei dem Monde und der Sonne ist, wie immer wo es nicht ausdrücklich bemerkt ist, die mittlere Zeit.

Alle Mondsrechnungen sind nach Burkhardts Tafeln geführt, von denen die neueren Damoiseauschen nirgends bedeutend unterschieden zu sein scheinen. Da nach dem Urtheile eines sehr competenten Richters die Genauigkeit der Burkhardtschen Tafeln in den letzten Jahren sich sehr bewährt hat, so wurden sie den mehr auf der Theorie begründeten einstweilen noch vorgezogen.

Ihre sorgfältige Ausführung verdanke ich dem ausdauernden Fleiße der Herren Oberlehrer Herter, Wolfers und Deinhardt, welche sich in die Berechnung jeder Länge und Breite, so wie jeder geraden Aufsteigung und Abweichung unmittelbar aus den Tafeln getheilt haben. Da es für alle drei die erste astronomische Rechnung von einigem Umfange ist, welche sie ausgeführt haben, so ist keine Mühe gespart worden, durch Bildung der vier ersten Differenzen, möglichst die Fehler

zu entdecken und fortzuschaffen. Überall wo durch Anbringung von einer Correction von $0'',5$ der Gang der Differenzen regelmässiger zu werden schien, ist die Rechnung völlig revidirt worden. In seltenen Fällen mußte man sich begnügen die gefundenen Zahlen ungeändert beizubehalten, so daß diese GröÙe als das Maximum des Fehlers angesehen werden kann. Unterschiede von $0'',3$ und darunter, lassen sich wegen der großen Anzahl der Gleichungen nicht verbürgen. Auf dieselbe Art ist auch die Parallaxe und der Halbmesser geprüft worden. Die Berechnungsart der andern Columnen wird weiter unten vorkommen. Den Beschluß dieser Abtheilung macht eine Tabelle in welcher die scheinbare Schiefe der Ekliptik, die wahre Sonnenparallaxe, die Aberration der Sonnenlänge, die Gleichung der Äquinocialpunkte und die Länge des Mondsknotens zusammengestellt sind für jeden zehnten Tag. Das Zeichen bei der Aberration ist so zu verstehen, daß sie zu den auf der Seite II gegebenen Werthen algebraisch addirt werden muß wenn man die wirklich zu beobachtende Sonnenlänge erhalten will. Das Zeichen bei der Gleichung der Äquinocialpunkte giebt an, daß das mittlere Äquinoccium in diesem Jahre hinter dem wahren zurück ist, oder alle mittleren Längen größer sind als die wahren. Der Mondsknoten ist nach Burkhardt angesetzt.

Hierauf folgen die Planeten und Trabantenephemeriden. Bei den älteren Planeten steht auf der linken Seite der heliocentrische Ort, nebst den Columnen des Auf- und Unterganges, auf der rechten der geocentrische, nebst dem Durchgange durch den Meridian in mittlerer Zeit, jener auf die Ekliptik, dieser auf den Äquator bezogen, wobei die gerade Aufsteigung in Zeit angegeben ist. Für Merkur und Venus sind die Örter von zwei zu zwei Tagen für den mittleren Berliner Mittag, für die übrigen von vier zu vier Tagen für die mittlere Mitternacht berechnet.

Den Merkur, bei welchem durch Vergessenheit die eine von Hrn. Prof. Schumacher angezeigten Correctionen der Tafeln des Hrn. von Lindenau, welche sich auf den Radius vector bezieht, weggelassen ist, hat Hr. Oberlehrer Herter übernommen. Die kleine Versäumnis

hat nur auf die letzten Ziffern des Radius vectors Einfluß, und scheint völlig innerhalb der Grenzen der Unsicherheit, selbst der v. Lindenauschen Tafeln, zu liegen. Die Differenzen wurden hier ebenfalls bis zur vierten fortgesetzt, ließen aber bei ihrer Größe an einigen Stellen nicht völlig über die absolute Richtigkeit der Rechnung mit Sicherheit entscheiden. Sollte es gewünscht werden, so würden in Zukunft bei dem Merkur die Örter von Tag zu Tag gegeben werden.

Die Venus, und den größeren Theil der Jupiters und Saturnsrechnungen, hat Hr. Wolfers gemacht. Bei jener und dem Mars liegen die v. Lindenauschen Tafeln, bei dem Jupiter, Saturn und Uranus, die neuesten Bouvardschen zum Grunde.

Die Angabe des Durchganges durch den Meridian ist nur beiläufig zu verstehen, da der astronomische Gebrauch durch die angegebene gerade Aufsteigung in Zeit ersetzt wird. Nennt man θ die Sternzeit des Moments, für welchen die gerade Aufsteigung α berechnet ist, so ist die in der Columnne „Planet im Meridian“ gegebene Zeit, für die

obern Planeten..... $\alpha - \theta$,

untern Planeten $12^h + \alpha - \theta$.

Es hätte an $\alpha - \theta$ noch der Verbesserungsfaktor

Mittlerer Tag,

Planeten-Tag,

angebracht werden müssen, der indessen stets einen für diesen Gegenstand unbedeutenden Einfluß gehabt haben würde, und wo es der Mühe werth sein sollte, leicht von Jedem ersetzt werden kann. Aus dem Durchgange durch den Meridian ist mit der Declination desselben Tages, der Auf- und Untergang hergeleitet worden, welche deshalb ebenfalls nicht strenge zu nehmen sind. Die Auf- und Untergangszeiten der Himmelskörper überhaupt sind mit Rücksicht auf die Refraction unter Voraussetzung der Besselschen Horizontalrefraction von $36'$ berechnet. Bei dem Monde ist außerdem noch die mittlere Parallaxe mit $57'$ berücksichtigt. Die übrigen Himmelskörper stehen also in diesen Augen-

blicken 36' unter, der Mond 21' über der dem Horizonte durch den Mittelpunkt der Erde parallel gelegten Ebene.

Eine Ausnahme machen die vier neuen Planeten, für welche nur der geocentrische Ort in Zeit, nebst den Hülfscolumnen angesetzt ist. Bei der Form in welcher ihre Störungen berechnet werden, würde die schärfere Bestimmung ihres jedesmaligen Ortes eine größere Weitläufigkeit der Rechnung erfordert haben, als der mögliche Gebrauch nöthig macht. Eben so würde auch die Angabe des heliocentrischen Ortes eine Änderung der Rechnungsform herbeigeführt haben, die mit dem etwaigen Nutzen nicht in Verhältniß zu stehen schien. Es sind deswegen die Elemente für das Zeitmoment der Opposition streng abgeleitet, und diese unverändert für das ganze Jahr beibehalten. Als Ersatz sind bei jedem Planeten genauere Ephemeriden von Tag zu Tag, für die achtundzwanzig Tage welche die Opposition einschließen, beigefügt.

Die Störungen der Pallas, Juno und Vesta, sind bis zu dem Jahre 1830 fortgeführt. Bei der ersteren liegen die Elemente von Gaufs, bei der zweiten die von Nicolai, bei der dritten die meinigen zum Grunde, die an einem andern Orte erscheinen werden. Für diese drei Planeten dürfte der Fehler kaum eine Minute betragen. Die Ceres dagegen, welche, seitdem Hr. Hofrath Gaufs zuletzt im Jahre 1809 (*Elem.* XIII) die Elemente verbessert hat, nicht weiter untersucht worden ist, und deren Störungen selbst nicht vollständig entwickelt sind, kann stärker abweichen. Vermittelst der letzten Oppositionen ist die Epoche der mittleren Länge vorläufig für 1830 um 14' vermindert worden. Hoffentlich wird sie damit ebenfalls dem wahren Stande ziemlich genähert sein.

Alle Angaben für die Planeten sind ohne Berücksichtigung der Aberration und Parallaxe angesetzt. Wegen der ersteren gelten die Örter in Bezug auf die wirkliche Beobachtung, deswegen nicht für 0^h , und 12^h , sondern wenn Δ die geocentrische Entfernung des Planeten, für diese Zeitmomente

$$+ 493'', 2 \cdot \Delta$$

in Zeit.

Bei den darauf folgenden Jupiterstrabanten, pflegte man gewöhnlich, außer den Verfinsterungen, welche die Stelle des heliocentrischen Ortes vertreten, eine graphische Darstellung ihrer geocentrischen Lage gegen den Jupiter, zu einer bestimmten Stunde zu geben. Da man auf diese Weise doch nur für ein Zeitmoment die Stellung hat, so hat es mir geschienen, als stehe der Vortheil der sinnlicheren graphischen Darstellung, nicht in Verhältniß mit dem dadurch herbei geführten Mangel, die Hilfsmittel zur Herleitung der geocentrischen Stellung für jede beliebige Zeit ganz zu entbehren. Es ist deswegen vorgezogen worden, die Zeit der geocentrischen oberen Conjunction, nebst dem jedesmaligen Axenverhältnisse der scheinbaren Ellipse der Trabantenbahn anzusetzen, begleitet von den Reductionstafeln, welche aus der verflossenen Zeit von der nächsten vorhergehenden Conjunction an gerechnet, die geocentrischen Coordinaten des Trabanten in Bezug auf den Mittelpunkt des Jupiters geben.

Diese Angaben sind übrigens, sowohl was die Herleitung der obern geocentrischen Conjunction aus der heliocentrischen, als die bei den Reductionstafeln zum Grunde liegende Umlaufszeit betrifft, in der Voraussetzung der mittleren heliocentrischen synodischen Trabantenbewegung gemacht, und der vollkommenen Kreisgestalt ihrer Bahnen, während die wahre synodische geocentrische Umlaufszeit hätte genommen werden sollen. Sie lassen sich, wenn schärfere Messungen es nöthig machen sollten, ohne große Mühe verbessern. Der Unterschied wird stets von sehr geringer Bedeutung sein, und für die Anschauung ganz unbedeutend.

Durch diese Anordnung wird zugleich der Beobachter von Verfinsterungen in den Stand gesetzt, den Ort des Austritts sich genau zu bestimmen, weswegen die Angabe der Coordinaten für diese Momente nicht hinzugefügt ist.

Bei den beiden ersten Trabanten stehen auf der linken Seite die Verfinsterungen; die in Berlin sichtbaren mit einem * bezeichnet. Auf der rechten Seite stehen die Zeiten der geocentrischen obern Conjunctionen, nebst dem zugehörigen Axenverhältnisse $\frac{a}{b}$, wo a die halbe

große, b die halbe kleine Axe bedeutet. Das Minuszeichen bedeutet, daß der Trabant in der oberen Conjunction eine südliche jovicentrische Breite hat, oder daß wir die südliche Fläche der Trabantenbahn sehen. Das Pluszeichen würde die Sichtbarkeit der nördlichen Fläche andeuten. Hinter jedem Trabanten folgen die ihm zugehörigen Reductionstafeln.

Die Benutzung kommt dabei auf folgendes hinaus. Gesetzt man wolle die Stellung der beiden Trabanten für Apr. 14. $15^h 14', 2$ kennen, so nehme man aus den geocentrischen Conjunctionen die nächst vorhergehenden, nebst $\frac{a}{b}$ der gegebenen Zeit gemäß.

$$\text{Tr. I. Apr. 14. } 13^h 53', 5 \quad - 63, 7$$

$$\text{II. } 13. \quad 9 \quad 57, 1 \quad - 63, 7$$

diese von der gegebenen Zeit abgezogen, geben die Argumente für die Reductionstafeln

$$\text{Tr. I. } 0^t 1^h 20', 7$$

$$\text{II. } 1 \quad 5 \quad 17, 1$$

womit aus den Tafeln erhalten wird

$$\text{Tr. I. } x = + 1, 13 \quad y' = + 5, 59$$

$$\text{II. } \quad = + 7, 55 \quad = - 5, 01$$

die letzteren, y' , dividirt durch $\frac{a}{b}$ mit gehöriger Rücksicht auf das Zeichen, geben dann die Stellungen

$$\text{Tr. I. } x = + 1, 13$$

$$y = - 0, 09$$

$$\text{Tr. II. } x = + 7, 55$$

$$y = + 0, 08$$

Beide x und y sind in Halbmessern des Jupiters ausgedrückt, x ist die Abscisse auf der großen Axe der Trabantenellipse, positiv genommen im Sinne der Bewegung, oder östlich, y im Sinne der jovicentrischen Breite, nördlich positiv. Für den Anblick im Fernrohr zeigt ein positives x die Lage des Trabanten rechts vom Jupiter, und ein positives y eine südliche Stellung an. Es schien unnöthig den Winkel den die halbe kleine oder große Axe mit einem Breiten- oder Declinationskreise macht

hinzu­zu­fü­gen, da die Lage der Streifen des Jupiters, die halbe große Axe für den Anblick hinlänglich andeutet.

Bei dem dritten und vierten Trabanten sind nicht die Verfinsterungen, sondern die Zeiten der Mitte der Verfinsterungen, so genommen als ob sie sichtbar wären, und die halben Dauern angesetzt, um die Momente wo keine Verfinsterung statt findet, unter dieselbe Form bringen zu können.

Die Berechnung geschah nach den neuesten Delambreschen Satellitentafeln durch Hrn. Wolfers. So gegründet auch die Erinnerung des Hrn. Directors Hansen von der Unrichtigkeit der Gleichungstafel C für den ersten Trabant ist, so wurde es doch vorgezogen die Tafeln ganz ungeändert beizubehalten, weil theils einige andere Correctionen in der Vorrede ebenfalls einer Verbesserung zu bedürfen schienen, theils es zweifelhaft ist, ob Delambre nicht die Beobachtungen mit Tafeln, die dieselben kleinen Abweichungen enthielten, verglichen hat. Auf jeden Fall wird selten der Unterschied bei dem ersten Trabanten 1'' betragen, bei allen übrigen bleibt er noch innerhalb dieser Grenze.

Auf der letzten Seite dieser Abtheilung stehen die Angaben für die geocentrische Gestalt des Saturnsringes, mit der Erklärung der Bezeichnungen. Für den Knoten und die Neigung wurden Bessel's Aufsatz im astronomischen Jahrbuch 1829, für die Dimensionen des Saturnsringes Struve's Messungen in den astronomischen Nachrichten Bd. V. No. 97 benutzt.

Der dann folgende Abschnitt enthält die Örter des Polarsterns, δ URS. MIN., und der fünfundvierzig Besselschen Sterne, ganz nach dem Muster der vortrefflichen Schumacherschen Hülftafeln, mit dem einzigen Unterschiede, daß die untern Culminationen der beiden Polarsterne nicht angesetzt sind. Die scheinbaren Örter beziehen sich auf die jedesmalige Culminationszeit in Berlin, und das Sternchen zeigt an, daß an dieser Stelle nicht zehn, wie sonst überall, sondern elf Sterntage als Zwischenzeit zu nehmen sind.

Die dabei zum Grunde liegenden mittleren Örter sind vorne zusammengestellt. Ihre Vergleichung mit den Angaben in den Hülftafeln

für 1827 hat gezeigt, daß nur bei einigen der Sterne die Bessel nicht in seinen Fundamentalcatalog aufgenommen hat, eine kleine Abweichung von ein bis zwei Hunderttheilen statt findet, wahrscheinlich als Folge der verschieden angenommenen eigenen Bewegung. Alle beruhen auf den neuesten Besselschen Bestimmungen. Die Berechnung ist von Herrn Dannemann mit vieler Sorgfalt ausgeführt.

Die tägliche Aberration bei den Polarsternen ist für die Culminationen unten angegeben. Ihr Werth für die andern Sterne findet sich neben dem letzten, α ANDROMEDAE.

Zur Reduction anderer Sterne, vom mittleren Ort am Anfange des Jahres, auf den scheinbaren zu irgend anderer Zeit, sind zwei Tafeln hinzugefügt, deren Zusammensetzung aus den Formeln am Anfange dieses Abschnittes erhellt. Die erste, die bekannte von Bessel, hat neben sich die nöthige Erläuterung der Art wie das Argument zu nehmen ist. Sie ist nach Sterntagen geordnet. Die andere, nach mittleren Tagen, ist bequemer, wenn man, wie bei Cometenbeobachtungen der Fall ist, nur eine einzige Position eines Sternes gebraucht, da sie, gebildet nach der Gauß'schen allgemeinen Tafel, die Formirung der Constanten $a b c d$ nicht erfordert.

Eine zu spät bemerkte kleine Verschiedenheit in den zum Grunde liegenden Elementen macht, daß beide Tafeln nicht ganz scharf übereinstimmen, doch ist der Unterschied für die Praxis ganz unbedeutend, da er im Maximum doch nur Hunderttheile betragen wird.

Der letzte Abschnitt enthält die Hauptmomente der Beobachtung.

Zuerst die Mond- und Sonnenfinsternisse, so weit angedeutet, daß man die Gegenden der Erde, die sie sehen werden, sich daraus ableiten kann. Für die Liebhaber der Constructionen sind hinten die Elemente beigelegt, aus welchen sich die Erscheinungen ergeben. Bei Finsternissen, die für unsere Gegenden von Interesse sind, doch nur bei Sonnenfinsternissen, wird etwas mehr Detail künftig gegeben werden.

Hierauf die Planetenconstellationen. Bei ihnen ist Rücksicht genommen: auf die zwei Hauptpunkte der elliptischen Bahn, Sonnennähe und Sonnenferne, die vier Hauptpunkte der Lage der heliocen-

trischen Bahn, beide Knoten und Maximum und Minimum der Breite, auf die vier Hauptpunkte der synodischen Bahn $\varnothing \varnothing \square$, oder was bei der Sonne und den obern Planeten diesem correspondirt.

Es ist mir kein astronomischer Gebrauch bekannt von den gewöhnlich in den Ephemeriden angesetzten Zusammenkünften des Mondes mit Sternen. Auch scheint es, als ob die Angabe der Geraden Aufsteigung und Abweichung des Mondes, diese Anführungen entbehrlich macht, da bei der Einrichtung unserer Sternverzeichnisse es keine Mühe machen kann, die Sterne, welche in der Nähe des Mondes stehen, zu finden. Sie sind deshalb weggelassen, dagegen sind die möglichen Bedeckungen der Planeten sorgfältig untersucht, und wo eine Möglichkeit der Bedeckung, wenn auch für Berlin keine wirkliche statt fand, ist die Conjunction bemerkt worden. Nur die Venus wird im Jahre 1830 für Berlin bedeckt werden.

In dem gegenwärtigen Jahrgange fehlen noch die Bedeckungen der Fixsterne durch Planeten, da mir die Grenze bis zu welcher diese Untersuchungen ausgedehnt werden müßten, zweifelhaft war. Dafs von den helleren Sternen bis zur dritten Gröfse keiner bedeckt wird, ist untersucht worden. Ob übrigens die Angabe bis auf Sterne vierter, fünfter und sechster Gröfse ausgedehnt werden solle, werde ich der Entscheidung der Astronomen überlassen. Die strenge Untersuchung bis auf diese Grenze hin, wenn man es verbürgen wollte keine übersehen zu haben, würde immer mit Zeitaufwand verbunden sein.

Dann folgen die sogenannten Mondsterne, oder die Sterne welche möglichst nahe dem Parallel des Mondes bei seiner Culmination, auch in der Zeit nicht weit von ihm abstehen. Es war ursprünglich nicht die Absicht sie hinzuzufügen. So erfolgreich auch die Beobachtungen, durch die bereitwillige Bekanntmachung in Schumachers astronomischen Nachrichten geworden sind, so werden sie doch nur dann ihren Nutzen haben, wenn nur ein einziger solcher Catalog jährlich angezeigt wird. Die Aufforderung eines meiner hochgeehrten Correspondenten, da es im Anfange dieses Jahres schien als ob eine Stockung in den Bekanntmachungen eines solchen Catalogs eingetreten war, konnte allein

mich bewegen das gegenwärtige Verzeichniß zu geben. Sollte deswegen von England aus ein anderer, vielleicht etwas mehr mit helleren Sternen versehener gegeben werden, so würde ich bitten den hier gegebenen ganz zu vernachlässigen. Da seine Zusammenstellung etwas eilig geschehen mußte, so hätten besonders für den zweiten Mondsrand wohl auch schicklichere Sterne ausgewählt werden können.

Über die Benutzung derselben für Längenbestimmungen, selbst bei nicht ganz vollkommenen Meridianinstrumenten, ist vor Allen der vortreffliche Aufsatz von Prof. Nicolai Astr. Nachr. Bd. II. No. 26., und die Berechnung der stündlichen Bewegungen des Mondes von den Herrn Professor Bessel und Director Hansen Astr. Nachr. II. No. 33. nachzusehen.

Die Bezeichnung und der Ort der Sterne, sowohl bei diesen Mondsternen, als bei den folgenden Sternbedeckungen, ist aus dem vortrefflichen Zodiakal-Cataloge entlehnt, mit welchem Herr Baily den Astronomen ein werthvolles Geschenk gemacht hat.

Bei den Sternbedeckungen sind alle die aus diesem Cataloge genommenen Sterne aufgeführt, welche in der Zeit, daß der Mond über unserem Horizonte, und die Sonne darunter ist, bedeckt werden. Hin und wieder sind auch die aufgeführt, die dem Mondsrande so nahe kommen, daß erst die Rechnung entscheiden mußte, ob Bedeckungen statt fanden. Bei helleren Sternen sind Tagbedeckungen mitgenommen, namentlich bei α TAURL. Einige Austritte oder Eintritte fallen dabei noch unter den Berliner Horizont, doch sind sie angesetzt worden, insofern andere Orte davon noch Gebrauch machen können.

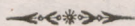
Den Inhalt der Columnen geben die Überschriften. Die beiden Columnen „Ort“ zeigen an, wo der Ein und Austritt am Mondsrande statt findet, so gezählt, daß der Punkt der Mondscheibe der die nördlichste Deklination hat, mit 0° bezeichnet ist, und die Grade bis zu 360° herum, durch Osten Süden und Westen gezählt sind. Mit wenigen Ausnahmen fallen deswegen die Eintritte in die beiden ersten, die Austritte in die beiden letzten Quadranten.

Hinter den Sternbedeckungen folgt der mittlere Ort der bedeckten Sterne für den Anfang von 1830, aus Baily's Catalog, so ausgedrückt, wie er in der unten gegebenen Berechnungsart der Sternbedeckungen gebraucht wird.

Die dann folgenden Hülftafeln finden in dem folgenden Aufsatze ihre Erläuterung. Die angegebene Horizontal-Äquatoreal-Parallaxe bezieht sich auf den Augenblick der Culmination des Mondes, und die Gröſſen $\Delta\alpha$ und $\Delta\delta$ geben, zu dem mittleren Ort eines Sterns für 1830 addirt, sehr nahe den scheinbaren Ort jedes Sternes, der überhaupt vom Monde bedeckt werden kann.

Bei der Ungewissheit über die Ausdehnung der Rechnung, und die Vertheilung der einzelnen Data, wie sie auch für den Druck geeignet sein möchten, ist in diesem Jahre ein so häufiges Umschreiben und Abänderung nöthig gewesen, daß schon dadurch allein einzelne Fehler herbeigeführt sein können. Sollten deswegen hin und wieder irrige Angaben vorkommen, für deren Anzeige ich sehr dankbar sein würde, so möchte ich bitten sie nicht der Arbeit meiner Herrn Gehülffen, die mit großer Aufopferung ihre Berechnungen ausgeführt haben, Schuld zu geben. Jeder Anzeige von Mängeln, oder jeder Verbesserung in Hinsicht auf Form und Gehalt, werde ich wo möglich Genüge zu thun mich bemühen.

Die typographische Schönheit des Druckes, ein Erzeugniß der hiesigen akademischen Druckerei, welche mit den größten Opfern von Seiten der Akademie im Ganzen, und eines der am meisten in Anspruch genommenen Mitglieder insbesondere, zu einer hohen Vollkommenheit ausgebildet ist, wird hoffentlich jeden befriedigen, als eine würdige aber nicht auf Schmuck und Pracht Anspruch machende Ausstattung. Kennern wird bei genauerer Untersuchung, die sorgfältige Aufsicht des Faktors der Druckerei nicht entgehen, der bei der ersten Einrichtung keine Mühsal gescheut hat, um meinen Wünschen durch seine Erfahrung zu Hülfe zu kommen.



Über die Vorausberechnung der Sternbedeckungen.

Die Angaben welche auf den Seiten IV und VI jedes Monats vereinigt sind, sollen die genäherte Kenntniß des täglichen Mondlaufes erleichtern. Über die Art der Benutzung derselben, für die häufigste und nützlichste Anwendung, die Vorausberechnung der Zeiten, in welchen der Mond einen Himmelskörper bedeckt, erlaube ich mir hier noch einige Erläuterung in Hinsicht auf die bequemste Form der Berechnung hinzuzufügen.

Wenn $\alpha \delta \pi r$ die Gerade Aufsteigung des Mondes, Abweichung, Horizontal-Äquatoreal-Parallaxe und Halbmesser des Mondes, vom Mittelpunkt der Erde aus gesehen, sind, $\alpha' \delta' r'$ die correspondirenden Größen für einen Punkt der Erdoberfläche, dessen verbesserte Polhöhe ϕ , Halbmesser des Erdsphäroids ρ ; wenn ferner θ die Sternzeit, A, D mittlere Gerade Aufsteigung und Abweichung eines Sterns am Anfange des Jahres, A', D' der scheinbare Ort desselben zu einer andern gegebenen Zeit sind, so erfordert die strenge Berechnung der Zeit des Eintritts und Austritts die folgenden Operationen.

Für wenigstens zwei Zeitpunkte t , welche den gesuchten nahe liegen, interpolirt man sich aus den Ephemeriden die Größen $\alpha, \delta, \pi, r, \theta$, und berechnet damit $\alpha' \delta' r'$. Wenn man die endlichen Ausdrücke in Reihen entwickelt, und die in den meisten Fällen unmerklichen Glieder dritter Ordnung (π als von der ersten betrachtet) wegläßt, so sind die Formeln:

$$\alpha' = \alpha - \frac{\rho \sin \pi \cos \phi}{\cos \delta} \sin (\theta - \alpha) \\ - \frac{1}{2} \left(\frac{\rho \sin \pi \cos \phi}{\cos \delta} \right)^2 \sin 2(\theta - \alpha) - \dots$$

$$\operatorname{tg} \gamma = \operatorname{tg} \phi \cdot \frac{\cos \frac{1}{2} (\alpha' - \alpha)}{\cos \left\{ \theta - \alpha - \frac{1}{2} (\alpha' - \alpha) \right\}}$$

$$\delta' = \delta - \left(\frac{\rho \sin \pi \sin \phi}{\sin \gamma} \right) \sin (\gamma - \delta) \\ - \frac{1}{2} \left(\frac{\rho \sin \pi \sin \phi}{\sin \gamma} \right)^2 \sin 2(\gamma - \delta) - \dots$$

$$r' = r + r \left(\frac{\rho \sin \pi \sin \phi}{\sin \gamma} \right) \cos (\gamma - \delta) + \dots$$

Aus der doppelten oder mehrfachen Berechnung findet man die wahre parallatische Bewegung des Mondes in Gerader Aufsteigung und Abweichung $\Delta \alpha'$ und $\Delta \delta'$. Hat man nun ebenfalls A' und D' , aus A und D abgeleitet, so sind die Zeiten des Eintritts und Austritts

$$t \pm \Delta t;$$

wo Δt aus der quadratischen Gleichung

$$(A' - \alpha' - \Delta t \cdot \Delta \alpha')^2 \cos \delta'^2 + (D' - \delta' - \Delta t \Delta \delta')^2 = r'^2$$

gefunden wird, und r' schon dem Zeitpunkte $t \pm \Delta t$ entsprechend angenommen sein muß.

Bei der Vorausberechnung für die Ephemeriden findet eine vorläufige Kenntniss der Zeiten nicht statt. Es würden deshalb häufig unnütze Versuche gemacht werden müssen, wenn man verbürgen wollte keinen Stern übergangen zu haben.

Die Entfernung der beiden Zeitmomente, aus denen man $\Delta \alpha'$ und $\Delta \delta'$ herleitet, kann füglich eine Stunde betragen. Da nun $\theta - \alpha$ der Stundenwinkel des Mondes ist, westlich positiv, so würde man sich die Parallaxenrechnung erleichtern können, wenn man den Mondslauf nicht nach mittlerer Zeit, sondern nach wahrer Mondszeit regulirt hätte. Denn wenn τ beliebige Stundenwinkel bedeutet, westlich positiv, die je um 15° von einander verschieden sind, während des grössten Tagebogens

des Mondes, also etwa innerhalb 15^h bis 9^h , so könnte man sich für jedes τ eine Tafel berechnen, deren doppelte Eingänge δ und π , und aus welchen unmittelbar $\alpha' - \alpha$, $\delta' - \delta$, $r' - r$ genommen würden. In Allem wären dieses neunzehn Tafeln, die zwar nur für einen Ort, aber für alle Jahre gelten würden. Freilich wird dabei vorausgesetzt, daß man die t , α , δ , r , π für dieselben τ stets mit Leichtigkeit finden kann.

Dieses letztere bezwecken die drei Columnen der Seiten IV und VI, überschrieben *im Meridian*. Sie geben die Zeit und den Ort des Mondes, wann er in der obern und untern Culmination zu Berlin ist, oder wenn man das Zeichen h auf wahre Mondstunden bezieht, die Zeit und den Ort des Mondes auf den Mittelpunkt der Erde bezogen, für 0^h und 12^h für Berlin. Aus ihnen läßt sich durch eine leichte Interpolation, weil man nur mit ganzen Zahlen und zweiten Differenzen zu thun hat, Zeit und Ort für

$$0^h, \pm 1^h, \pm 2^h, \dots$$

finden, auf Berlin bezogen; für einen andern Ort der Erde, dessen Länge von Berlin, östlich positiv, l wäre, würden diese Örter und Zeiten dem

$$\tau = 0^h + l, \pm 1^h + l, \pm 2^h + l, \dots$$

correspondiren.

Die Herleitung dieser drei Columnen beruht der Strenge nach auf einer Interpolation mit ungleich wachsendem Argumente. Man kennt die θ und α für jeden mittleren Mittag und Mitternacht, und soll daraus die Zeiten und α und δ finden für $\theta - \alpha = 0$, und $\theta - \alpha = 180^\circ$. Bildet man sich also die $\theta - \alpha$ für jeden mittleren Mittag und Mitternacht, und betrachtet sie als die Argumente einer Tafel, deren Functionen respective die mittleren halben Tage, und α und δ von zwölf zu zwölf mittleren Stunden sind, so kann man die Formeln des folgenden Aufsatzes „über Interpolation“ anwenden, um den Werth der Functionen stets für $\theta - \alpha = 0^\circ$ und $\theta - \alpha = 180^\circ$ zu finden.

Eine vollkommne Strenge würde indessen bei der Vorausberechnung unnöthig sein. Auch bei den neuesten Mondstafeln kommen noch

einzelne Fehler von $10''$ in Länge vor, und der Ort der kleineren Sterne kann auch wohl hin und wieder um $5''$ irrig sein, so daß man auch bei der schärfsten Berechnung im Maximum um eine halbe Zeitminute fehlen könnte. Man braucht deswegen wohl nicht bei der Vorausberechnung, den Ort des Mondes genauer als auf $0,1$ Bogenminute, und die Zeit genauer als $0,1$ Zeitminute zu haben. In diesem Falle kann man bei der Herleitung der Zeit der Culminationen aus den gebildeten $\theta - \alpha$ sich mit einem indirecten Verfahren begnügen, wodurch nach der Anleitung des folgenden Aufsatzes, die mittleren Tage als Argument, die $\theta - \alpha$ als Function angesehen, durch genäherte Schätzung des Correctionsfactors die ersten Differenzen von $\theta - \alpha$ so verbessert werden, daß man einfach sie als Divisoren anzusehen hat, und die Zeiten der Culminationen aus den Quotienten findet:

$$\frac{\alpha - \theta}{\Delta(\theta - \alpha)} 12^h \quad \text{und} \quad \left(\frac{\alpha - \theta - 180^\circ}{\Delta(\theta - \alpha)} + 1 \right) 12^h$$

Auf diese Weise sind die Zeiten der Culminationen bis auf $0,1$ Zeitminute genau gefunden worden. Eine Genauigkeit, die keine größere Mühe machte als die gewöhnlichen Angaben gemacht haben würden, da man doch mit Logarithmen rechnen muß.

Vermittelst dieser Zeiten sind dann aus den zur Prüfung der α und δ schon gebildeten Differenzen, die zugehörigen Mondsörter hergeleitet. Im Allgemeinen wird die Grenze der Richtigkeit $0',1$ betragen. Doch können besonders in den ersten Monaten, bei den δ , an den Orten der schnellsten Änderung, Fehler bis $0',3$ vorkommen; welches von der Anfangs nur für die oberen Culminationen geführten Rechnung herrührt. Größere Abweichungen würden nur durch Druckfehler herbeigeführt worden sein.

Bei der Ableitung der Örter für die einzelnen τ aus den Culminationen scheint es unnöthig zu sein weiter als bis zu den zweiten Differenzen zu gehen.

Für die Parallaxentafeln dieser einzelnen τ möchte indessen bei der schnellen Änderung von δ , die Form der doppelten Eingänge nicht die bequemste sein. Nach dem von Gauß so häufig und glücklich ange-

wandten Verfahren, solche Tafeln durch einfache Eingänge verbunden mit einer kleinen logarithmischen Rechnung zu umgehen, habe ich die letztere Form bequemer gefunden.

Da der Ort des Mondes nur in $0',1$ Bogenminute bekannt ist, so braucht man auch die Parallaxen nur bis auf $0,01$ Minute zu kennen, wenn man ganz sicher sein will, daß durch sie kein weiterer Fehler herbeigeführt werden soll. Man braucht deswegen auch nur Logarithmen von vier Decimalen, die jeder sich leicht zusammenschreiben wird. Zehn Duodezblätter enthalten bei ihnen die Zahlen, die trigonometrischen Functionen, und die Gaußsischen Hülftafeln für Addition und Subtraction in der möglichst bequemsten Ausdehnung.

Die von mir gewählte Form ist die folgende: Für jedes τ von 15^h bis 9^h habe ich mir für π von $10''$ zu $10''$ innerhalb der Grenzen $\pi = 53'$ bis $\pi = 62' 10''$ berechnet:

$$a = - \rho \sin \pi \cos \phi \sin \tau \cdot 3437,75$$

$$\operatorname{tg} \gamma = \operatorname{tg} \phi \frac{\cos \frac{1}{2} (\alpha' - \alpha)}{\cos (\tau - \frac{1}{2} (\alpha' - \alpha))}$$

$$b = - \frac{\rho \sin \pi \sin \phi}{\sin \gamma} \cdot 3437,75.$$

Bei γ ist für $\frac{1}{2} (\alpha' - \alpha)$ angenommen worden

$$\frac{1}{2} \alpha \sec 21^\circ$$

wobei α für $\pi = 57' 40''$; die $\sec 21^\circ$ ist etwa der mittlere Werth zwischen der kleinsten und größten $\sec \delta$ die der Mond haben kann. Der Einfluß dieser mittleren Annahmen kann nur einen ganz unmerklichen Einfluß auf die Richtigkeit der Rechnung haben. Von a und b sind die log in 4 Decimalen angesetzt, wobei die Bogenminute als Einheit angesehen ward.

Ferner wurden in Tafeln mit doppelten Eingängen, δ von -30° bis $+30^\circ$ von 5 zu 5° , π von $53'$ bis $62'$, von 3 zu $3'$, die Größen zweiter Ordnung gebracht:

$$a' = -\frac{1}{2} \left(\frac{\rho \sin \pi \cos \phi}{\cos \delta} \right)^2 \sin 2\tau \quad . 3437,75$$

$$b' = -\frac{1}{2} \left(\frac{\rho \sin \pi \sin \phi}{\sin \gamma} \right)^2 \sin 2(\gamma - \delta) \quad . 3437,75$$

$$\Delta r = + r \left(\frac{\rho \sin \pi \sin \phi}{\sin \gamma} \right) \cdot \cos (\gamma - \delta)$$

in Hunderttheilen der Bogenminute ausgedrückt.

Hierdurch wird

$$\alpha' - \alpha = a \sec \delta \quad + a'$$

$$\delta' - \delta = a \sin (\gamma - \delta) + b'$$

$$r' - r = \Delta r$$

fast so genau gefunden als man es bei der schärfsten Rechnung gebraucht, da der Fehler nur höchst selten 1'' betragen dürfte.

Außerdem bedarf man noch die, wenn man es so ausdrücken will, parallatische Geschwindigkeit des Mondes $\Delta \alpha'$ und $\Delta \delta'$. Seine Geschwindigkeit in Bezug auf den Mittelpunkt der Erde in gerader Aufsteigung m und Abweichung n , geben die ersten Differenzen des α und δ , und da man die höhern Differenzen als die 2^{te} vernachlässigt, so läßt sich annehmen, daß die ersten Differenzen $12m$ und $12n$ sind, für $\tau = 6^h$ und $\tau = 18^h$. Als Zeit-Einheit liegt dabei die wahre Mondszeit zum Grunde, deren Verhältniß zur mittleren Zeit die ersten Differenzen der Zeit-Angaben bestimmen.

In $\alpha' - \alpha$, $\delta' - \delta$, sind die drei Variablen π , δ und τ . Die Änderung der Glieder zweiter Ordnung wird nie von Bedeutung sein, und in denen der ersten kann man π unbedenklich, und selbst δ als constant ansehen. Der Einfluß des letzteren würde nur merklich sein, wenn der Zeitpunkt des Ein- oder Austrittes, von der Mondsstunde für die τ angenommen, sehr weit abläge, in welchem Falle aber auch die ersten Differentialquotienten allein nicht ausreichen würden.

Berechnet man sich also noch für jedes τ mit Vernachlässigung der kleineren Größen

$$m' = -\varrho \sin \pi \cos \phi \cos \tau \cdot 900$$

$$n' = -\varrho \sin \pi \cos \phi \sin \tau \cdot 900$$

und setzt ihre Logarithmen mit vier Decim. ebenfalls für jedes π an, so hat man sehr nahe

$$\Delta \alpha' = m + m' \sec \delta$$

$$\Delta \delta' = n + n' \sin \delta.$$

Es bleibt nun noch die Erleichterung der Berechnung von A' und D' aus A und D übrig, da ihr Einfluss, wenn man sie ganz bei Seite setzen wollte, besonders gegen das Ende des Jahres bei weitem den Fehler übersteigen würde, den die auf die angezeigte Weise ausgeführte Berechnung des scheinbaren Mondsortes in den schlimmsten Fällen haben kann. Zu dem Ende braucht man indessen nur zu bemerken, dass ein bedeckter Stern von dem scheinbaren Mondsorte nur $15'$, und von dem mittleren Mondsorte nur $1^\circ 15'$ abstehen kann. In den Grenzen der Declination des Mondes, kann man annehmen, dass Sterne, die so nahe bei einander stehen, völlig gleiche Correctionen ihres Ortes haben. Betrachtet man also den mittleren Ort des Mondes als eine Sternposition, und berechnet sich vermittelst der Hülfsstafel pag. 198 für jede obere Culmination das ganze Jahr hindurch, die Correction, welche an den mittleren Ort eines Sterns von derselben Geraden Aufsteigung und Abweichung im Anfange des Jahres angebracht werden müsste, um den scheinbaren Ort für die Zeit der oberen Culmination zu haben, so hat man eine Tabelle, die den scheinbaren Ort jedes Sterns sehr nahe giebt, insofern er vom Monde bedeckt werden kann. Es sind dies die Größen, welche in den Tabellen „Hülfsstafeln für die Sternbedeckungen“ durch ΔA und ΔD bezeichnet sind, so dass, wenn man ΔA und ΔD für den gegebenen Zeitpunkt aus ihnen nimmt, man für alle bedeckten Sterne hat:

$$A' = A + \Delta A$$

$$D' = D + \Delta D.$$

Bei der Berechnung dieser Tabellen sind, da die Zeit etwas drängte, einige der kleineren Glieder weggelassen worden, und blofs die Form angenommen

Über die Vorausberechnung

$$\Delta A = f + h \sin (H + \alpha)$$

$$\Delta D = i + g \cos (G + \alpha).$$

Die Declination des Mondes kommt in diesem Jahre nie über $\pm 19^\circ$ hinaus, so daß die Glieder, welche in $\operatorname{tg} \delta$ und $\sin \delta$ multiplicirt sind, sehr klein werden, auch $\sec \delta$ und $\cos \delta = 1$ gesetzt werden können.

Will man nun noch, um alles auf feste Formen zu bringen, was bei häufiger Wiederholung die Rechnung sehr erleichtert, die Auflösung der obigen quadratischen Gleichung durch trigonometrische Hülfsgrößen abkürzen, so kann man die folgenden Ausdrücke gebrauchen.

$$\begin{aligned} \text{Für } \tau = & 0^h + l \\ & \pm 1^h + l \\ & \pm 2^h + l \text{ etc.} \end{aligned}$$

bringt man sich die folgenden Größen in eine allgemeine Tafel mit einfachem Eingange:

$$\lg a, \lg b, \gamma, r, m', n'$$

deren Argument π von 10 zu $10''$ ist. In Tafeln mit doppelten Eingängen δ und π kommen für jedes τ die Größen:

$$a' \quad b' \quad \Delta r.$$

So ist z. B. das Stück der allgemeinen Tafel für Berlin, (Polhöhe: $52^\circ 31' 15''$, Abplattung: $\frac{1}{302,78}$) welches bei der Bedeckung von 82 LEON. 1830 Apr. 5. gebraucht wird:

21^h

π	$\lg a$	$\lg b$	γ	r	$\lg m'$	$\lg n'$
54' 0"	1,3670	1,6862 _n	61 27,7	14,72	0,7850 _n	0,7850
10	1,3684	1,6876 _n		14,76	0,7864 _n	0,7864
20	1,3697	1,6889 _n		14,81	0,7877 _n	0,7877
30	1,3710	1,6902 _n		14,85	0,7890 _n	0,7890
40	1,3723	1,6915 _n		14,90	0,7903 _n	0,7903
50	1,3737	1,6929 _n		14,94	0,7917 _n	0,7917
55 0	1,3750	1,6942 _n	61 27,9	14,99	0,7930 _n	0,7930

a'

$\pi =$	53'	56'	59'	62'
$\delta = \begin{cases} 0 \\ \pm 5 \\ 10 \\ 15 \end{cases}$	$\begin{cases} + 0,15 \\ + 0,15 \\ + 0,16 \\ + 0,16 \end{cases}$	$\begin{cases} + 0,17 \\ + 0,17 \\ + 0,17 \\ + 0,18 \end{cases}$	$\begin{cases} + 0,19 \\ + 0,19 \\ + 0,19 \\ + 0,20 \end{cases}$	$\begin{cases} + 0,21 \\ + 0,21 \\ + 0,21 \\ + 0,22 \end{cases}$

b'

$\pi =$	53'	56'	59'	62'
$\delta = \begin{cases} - 10 \\ - 5 \\ 0 \\ + 5 \\ + 10 \end{cases}$	$\begin{cases} - 0,20 \\ - 0,24 \\ - 0,28 \\ - 0,30 \\ - 0,32 \end{cases}$	$\begin{cases} - 0,22 \\ - 0,27 \\ - 0,31 \\ - 0,34 \\ - 0,36 \end{cases}$	$\begin{cases} - 0,25 \\ - 0,30 \\ - 0,34 \\ - 0,38 \\ - 0,40 \end{cases}$	$\begin{cases} - 0,27 \\ - 0,33 \\ - 0,38 \\ - 0,42 \\ - 0,44 \end{cases}$

Δr

$\pi =$	53'	56'	59'	62'
$\delta = \begin{cases} - 10 \\ - 5 \\ 0 \\ + 5 \\ + 10 \end{cases}$	$\begin{cases} + 0,06 \\ + 0,08 \\ + 0,10 \\ + 0,11 \\ + 0,12 \end{cases}$	$\begin{cases} + 0,07 \\ + 0,09 \\ + 0,11 \\ + 0,12 \\ + 0,14 \end{cases}$	$\begin{cases} + 0,08 \\ + 0,10 \\ + 0,12 \\ + 0,14 \\ + 0,15 \end{cases}$	$\begin{cases} + 0,09 \\ + 0,11 \\ + 0,13 \\ + 0,15 \\ + 0,17 \end{cases}$

Für die ganze Berliner Mondstunde, welche in τ enthalten ist, nimmt man aus der Ephemeride, Seite IV und VI, die mittlere Zeit T , α , δ , die Größe der wahren Mondstunde $60' + \Delta t$, so wie m und n . Die ersten Größen, mit Rücksicht auf die zweiten Differenzen, wobei man immer nur die bequemen Interpolationsfactoren $\frac{1}{12} \frac{1}{6} \frac{1}{4} \frac{1}{3} \frac{5}{12} \frac{1}{2}$ zu gebrauchen hat.

Aus den Hülftafeln für die Sternbedeckungen hat man π , ΔA und ΔD , und aus dem Sterncataloge A und D .

Man berechnet dann:

$$\alpha' = \alpha + a \sec \delta + a'$$

$$\delta' = \delta + b \sin (\gamma - \delta) + b'$$

$$r' = r + \Delta r$$

$$\Delta \alpha' = m + m' \sec \delta$$

$$\Delta \delta' = n + n' \sin \delta$$

$$A' = A + \Delta A$$

$$D' = D + \Delta D$$

Setzt man jetzt:

$$(A' - \alpha') \cos \delta' = N \sin \eta \quad \Delta \alpha' \cos \delta' = M \sin \zeta$$

$$(D' - \delta') = N \cos \eta \quad \Delta \delta' = M \cos \zeta$$

wo die verschiedenen Zeichen die Quadranten von η und ζ bestimmen, (N und M immer als positiv betrachtet) und bestimmt ferner i aus der Gleichung

$$\frac{N \sin (\eta - \zeta)}{r'} = \sin i$$

so hat man für die mittlere Zeit des Ein- oder Austritts

$$T + t + l$$

wo der doppelte Werth von t in Zeitminuten erhalten wird aus:

$$t = \frac{60 + \Delta t}{M} \{ N \cos (\eta - \zeta) \mp r' \cos i \}$$

Das obere Zeichen für den Eintritt, das untere für den Austritt.

Wenn $N \sin (\eta - \zeta) > r'$, so findet keine Bedeckung statt. Der Mond geht nördlich von dem Stern vorüber, wenn $\sin \eta - \zeta$ positiv, südlich wenn $\sin \eta - \zeta$ negativ. Für den Ort des Eintrittes oder Austrittes hat man den Winkel u von dem nördlichsten Punkte der Mondscheibe durch Osten, Süden, Westen gezählt:

$$r' \sec \delta' \sin u = A' - \alpha' - \Delta \alpha' \left(\frac{t}{60 + \Delta t} \right)$$

$$r' \cos u = D' - \delta' - \Delta \delta' \left(\frac{t}{60 + \Delta t} \right)$$

wo mit seltenen Ausnahmen u für die Eintritte in den zwei ersten, für die Austritte in den zwei letzten Quadranten genommen werden muß.

Da die Angabe von u nur beiläufig zu sein braucht, so kann man sich bloß mit der zweiten Formel begnügen.

Unter den verschiedenen τ wird am vortheilhaftesten der Werth genommen, welcher der wahren Conjunction des Sterns mit dem Monde in Gerader Aufsteigung am nächsten liegt, wobei die Wahl erleichtert wird durch die Betrachtung, daß bei positiven τ die scheinbare Gerade Aufsteigung kleiner ist als die wahre, bei negativen größer, oder daß die Parallaxe in Gerader Aufsteigung stets das entgegengesetzte Zeichen von τ hat. Sollte übrigens die wahre Conjunction in der Mitte einer Mondstunde fallen, so müßte man, wenn man alle Genauigkeit erreichen will, die das Verfahren erlaubt, die Rechnung für die beiden einschließenden Mondstunden machen, und aus den doppelten Werthen immer den nehmen, welcher einer Mondstunde am nächsten liegt, wenn man nicht auch noch hiebei eine einfache Interpolation anwenden wollte.

Als Beispiel füge ich die vollständige Berechnung für 82 LEONIS hinzu, wo Jeder sich die Bedeutung der Zahlen vermittelt der Hülf- und Parallaxentafel leicht ableiten wird.

1830 April 5.

82 LEON.		169° 13',70		+ 4° 14',29	
		+ 0,41		- 0,21	
		<hr/> 169 14,11		<hr/> + 4 14,08	
$\tau = 21^h$				$\pi = 54' 11''$	
7 ^h 20',9	168° 47',8	+ 4° 40',8	+ 29',31	- 9',35	
1,3685	1,6877 _n	61 27,7	0,7865 _n	0,7865	
0,0014	9,9225	56 46,9	0,0014	8,9116	
+ 23,44	- 40,75	14,76	- 6,10	+ 0,50	
+ 0,16	- 0,31	+ 0,11	+ 23,21	- 8,85	
<hr/> + 23,60	<hr/> - 41,06	<hr/> + 14,87	lg 61',8...	1,7910	
			lg cos δ' ...	9,9989	
169 11,40	+ 3 59,74	259° 45',6			
+ 2,71	+ 14,34	9,9930 _n	9,2499 _n	+ 12,1	
0,4319	1,3646	9,9918	1,5609	+ 14,8	
1,1565	0,9469 _n	9,4146	- 6,5	1,0828	
10 40,6	110 55,0	1,5691	7 14,4	1,1703	
9,9924	9,9704		\pm 9,6	1,1723	
<hr/> 1,1641	<hr/> 1,3942	Eintr.	7 4,8	35°	
1,1723	0,3968	Austr.	7 24,0	5°	

Die strenge Berechnung hat dafür gegeben:

Eintritt $7^h 4' 21''$.Austritt $7 24 16$.

Für die Berechnung in den Ephemeriden kann man sich durch einige Hülftafeln noch Erleichterungen verschaffen.

Zu diesem Zwecke habe ich mir durch Interpolation in die Mitte hinein, den Lauf des Mondes von drei zu drei Mondstunden entworfen, eine Tabelle, die zugleich die Sicherheit vergrößert, und außerdem den Auf- und Untergang des Mondes, deren jeder sonst eine besondere Rechnung erfordern würde, auf ein bloßes Ausschreiben der Zahlen zurückbringt. Denn wenn man die Tafel, aus der man bei gegebener Declination den halben Tagebogen des Mondes nimmt, so schreibt, daß stets die Mondstunden von der Form $3n$ besonders genommen, und der Überschufs des halben Tagebogens über diese Mondstunden, durch die mittlere Mondsbeugung in mittlere Zeit verwandelt wird, so hat man ohne weitere Zwischenrechnung den Auf- und Untergang genauer, als sie nur zu irgend welchem Zwecke gebraucht werden.

Eine zweite Hülftafel für die Sternbedeckungen war die Tabelle, welche die Zeiten enthält, wann der Mond über, und die Sonne unter dem Horizont ist. Bei den nebeneinanderstehenden Auf- und Untergängen beider Himmelskörper, ist dieses wiederum ein bloßes Ausschreiben der Zahlen.

Eine dritte endlich war die, welche die Sterne enthielt, die innerhalb der möglichst weitesten Grenzen bedeckt werden können. Zu diesem Zwecke suchte ich für Anfang, Mitte und Ende des Jahres, die Declination, welche der Mond bei jedem 5° der Geraden Aufsteigung hat, und nahm alle Sterne auf, welche $40'$ nördlicher und $1^\circ 40'$ südlicher, als die nördlichste und südlichste Grenze dieser Zonen waren.

Vermittelst dieser Tafeln wird die Übersicht der Möglichkeit einer Bedeckung überhaupt so erleichtert, daß außer den 130 angegebenen Bedeckungen, nur zwei berechnet wurden, bei welchen der Mond etwas mehr als $2'$, die Grenze, bis zu welcher noch Zusammenkünfte anzugeben ich mir vorgesetzt hatte, entfernt blieb.



Über Interpolation. (*)

Interpoliren heisst im Allgemeinen das Verfahren, wodurch man aus gegebenen numerischen Werthen irgend welcher Function einer Gröfse, oder nach dem astronomischen Sprachgebrauch, eines Argumentes, den Werth dieser Function für einen andern gegebenen Werth des Argumentes bestimmt, ohne die Form der Function selbst zu kennen, ja ohne sie kennen zu wollen. Als Hülfstheorem dient hiezu der Taylorsche Lehrsatz, insofern er allgemein die Entwicklung jeder Function umfasst. Nach ihm lässt sich jede Function einer zweitheiligen Gröfse in eine Reihe auflösen, die zum ersten Gliede die Function des ersten Theiles selbst hat, und in den folgenden nach Potenzen des zweiten Theiles fortschreitet, wobei die Coefficienten aus den derivirten Functionen oder den Differentialen des ersten Theiles gebildet werden. Um die Reihe schnell convergiren zu machen, nimmt man gewöhnlich diesen zweiten Theil sehr klein an. Man mufs daher auch bei der Anwendung auf das Interpoliren den Werth, von welchem man ausgehen will, so nahe als möglich dem gegebenen zu bringen suchen.

Die Fälle, in welchen der Taylorsche Satz eine Ausnahme erleidet, kommen bei der Interpolation nicht vor, wenn man sie nur so anwendet, wie sie allein angewandt werden sollte, das heisst, wenn der

(*) Der folgende Aufsatz ist aus den Vorlesungen entlehnt, die ich im Jahre 1812 bei dem Herrn Hofrath Gauß zu hören das Glück hatte. In dem ganzen Gange der Entwicklung bin ich, so viel die Erinnerung gestattete, dem Vortrage meines hochgeehrten Lehrers gefolgt, da er die grösste Gründlichkeit mit der grössten Einfachheit und Eleganz verbindet.

gesuchte numerische Werth der Function von den gegebenen eingeschlossen ist, und sie innerhalb dieser Grenzen nicht unendlich oder unmöglich wird.

Der leichteren Übersicht wegen soll angenommen werden, daß vier Werthe gegeben sind. Das Verfahren wird sich ohne Mühe auf jede größere Zahl ausdehnen lassen. Die vier Werthe des Argumentes sollen mit $p q r s$, die zugehörigen der Function mit $P Q R S$ bezeichnet werden. Für das Argument x sucht man den numerischen Werth der Function X .

Nach dem Taylorschen Lehrsatz ist

$$f(A + \omega) = c + c_1\omega + c_2\omega^2 + c_3\omega^3 \dots$$

Nimmt man einen Werth a nahe an x , so daß

$$\omega = x - a$$

so wird

$$fx = \alpha + \beta(x - a) + \gamma(x - a)^2 + \delta(x - a)^3 \dots$$

wo $\alpha\beta\gamma\delta$ unbekannte Coefficienten sind. Zu ihrer Bestimmung dienen die vier Bedingungen, daß für

$$x = p$$

$$fx = P$$

$$x = q$$

$$fx = Q \text{ u. s. w.}$$

Man hat also die vier Gleichungen

$$P = \alpha + \beta(p - a) + \gamma(p - a)^2 + \delta(p - a)^3$$

$$Q = \alpha + \beta(q - a) + \gamma(q - a)^2 + \delta(q - a)^3$$

$$R = \alpha + \beta(r - a) + \gamma(r - a)^2 + \delta(r - a)^3$$

$$S = \alpha + \beta(s - a) + \gamma(s - a)^2 + \delta(s - a)^3$$

aus welchen sich die vier Coefficienten $\alpha\beta\gamma\delta$, aber auch nicht mehrere, durch Elimination bestimmen lassen. Folglich erhält man auch nur die Entwicklung von fx bis zu $(x - a)^3$ inclusive, und muß annehmen daß die folgenden Glieder der Reihe als verschwindend betrachtet werden können.

Die Elimination ist leicht zu übersehen, und bedarf nicht einer weiteren Ausführung. Statt indessen die Werthe $\alpha \beta \gamma \delta$ in jedem einzelnen Falle zu suchen, und dann in fx zu substituiren, kommt man durch eine andere Betrachtung kürzer zum Ziele.

Aus der Übersicht des Geschäftes der Elimination, ergiebt sich sogleich wie die Werthe von $\alpha \beta \gamma \delta$ in Bezug auf die Potenzen von $P Q R S$ beschaffen sein werden. Bei der linearen Form der Gleichungen, werden $P Q R S$ nur linear darin vorkommen, zugleich wird es aber auch in $\alpha \beta \gamma \delta$ kein Glied geben, welches nicht eine der Gröſſen $P Q R S$ als Faktor enthielte. Oder die Form von $\alpha \beta \gamma \delta$ wird im allgemeinen sein:

$$cP + c_1 Q + c_2 R + c_3 S.$$

Substituirt man diese Werthe nun in fx , so wird auch in fx kein Glied ohne eine der Gröſſen $P Q R S$ vorkommen, oder es wird

$$X = \pi P + \chi Q + \rho R + \sigma S$$

wo $\pi \chi \rho \sigma$ bis jetzt noch unbestimmte Coefficienten sind, welche indessen, wie sie auch beschaffen sein mögen, x nur auf die dritte Potenz inclusive enthalten dürfen, weil in der ursprünglichen Gleichung nur $(x - a)^3$ vorkommt.

Wendet man nun auf diese letzte Form die vier Bedingungen des Problems an, so hat man offenbar für

$x = p$	$\pi = 1$	$\chi = 0$	$\rho = 0$	$\sigma = 0$
$x = q$	$\pi = 0$	$\chi = 1$	$\rho = 0$	$\sigma = 0$
$x = r$	$\pi = 0$	$\chi = 0$	$\rho = 1$	$\sigma = 0$
$x = s$	$\pi = 0$	$\chi = 0$	$\rho = 0$	$\sigma = 1$

Soll aber $\pi = 0$ werden für $x = q$, $x = r$, $x = s$, so lehrt die Algebra daß π die Factoren $x - q$, $x - r$, $x - s$, enthalten muß, und zwar wenn, was hier stillschweigend vorausgesetzt wird, $q r s$ verschiedene Gröſſen sind, alle drei Factoren zugleich. In dem was π sonst noch enthält, darf kein x mehr vorkommen, weil x sonst gegen die Voraus-

setzung die dritte Potenz überschreiten würde. Nennt man also den Begriff der übrigen Constanten Factoren von $\pi \dots C$, so ist

$$\pi = C x - q x - r x - s.$$

Nach der ersten Bedingung ist aber $\pi = 1$ für $x = p$, folglich

$$1 = C p - q p - r p - s$$

oder

$$C = \frac{1}{p - q p - r p - s}$$

und also

$$\pi = \frac{x - q x - r x - s}{p - q p - r p - s}$$

Dieselben Schlüsse auf χ ϱ σ angewendet geben den allgemeinen Ausdruck

$$(I) \quad \begin{aligned} X = & p \frac{x - q x - r x - s}{p - q p - r p - s} + Q \frac{x - p x - r x - s}{q - p q - r q - s} \\ & + R \frac{x - p x - q x - s}{r - p r - q r - s} + S \frac{x - p x - q x - r}{s - p s - q s - r} \end{aligned}$$

welcher die gegebenen Bedingungen nicht nur erfüllt, sondern auch wenn x die dritte Potenz nicht überschreiten soll, der einzige ist der sie vollständig erfüllt. Die Differenz eines jeden andern nicht damit identischen von (I), müßte nämlich, den Bedingungen der Aufgabe zufolge, Null werden für die vier Werthe:

$$x = p, \quad x = q, \quad x = r, \quad x = s$$

folglich die vier Factoren $x - p$ $x - q$ $x - r$ $x - s$ zugleich enthalten, oder x auf die vierte Potenz erhoben, gegen die Voraussetzung.

Man kann der Gleichung (I) noch eine elegantere Form geben, wenn man auf beiden Seiten mit

$$x - p \quad x - q \quad x - r \quad x - s$$

dividirt. Sie wird dann

$$0 = \frac{X}{x-p x-q x-r x-s} + \frac{P}{p-x p-q p-r p-s} + \frac{Q}{q-x q-p q-r q-s} \\ + \frac{R}{r-x r-p r-q r-s} + \frac{S}{s-x s-p s-q s-r}$$

Nimmt man hier, da die Form von fx ganz willkürlich gelesen ist, für $X\dots x^m$ an, wodurch also $P\dots p^m$ $Q\dots q^m$ u.s.w. wird, so läßt sich diese Gleichung auch so ausdrücken: Wenn n Größen $a b c d$ gegeben sind (statt der vorigen $x p q r$), und die m^{te} Potenz einer jeden derselben dividirt wird durch das Product aller Differenzen der zur Potenz erhobenen Gröfse von jeder der übrigen, so ist die Summe aller n Quotienten jedesmal $= 0$, so lange m zwischen 0 und $n-2$ beides inclusive liegt. Diese letztere Beschränkung wird durch die Bedingung herbeigeführt, dafs bei der Herleitung der Reihe die Potenzen höher als x^3 ausgeschlossen wurden.

Die Untersuchung über den Werth der Reihe

$$\frac{a^m}{a-b a-c a-d\dots} + \frac{b^m}{b-a b-c b-d\dots} + \frac{c^m}{c-a c-b c-d\dots} \text{ etc.} \quad (\text{A})$$

bei n Gröfsen für jeden beliebigen Werth von m , führt zu einer näheren Schätzung des Fehlers einer Interpolation. Zu diesem Ende entwickle man den Bruch

$$\frac{1}{Y} = \frac{1}{y-a y-b y-c y-d\dots}$$

auf zweifache Weise. Zuerst, indem man ihn ansieht als das Product der einzelnen Brüche

$$\frac{1}{y-a}, \frac{1}{y-b}, \frac{1}{y-c}, \text{ etc.}$$

jeden von diesen für sich entwickelt, und dann alle multiplicirt. Da

$$\frac{1}{y-a} = y^{-1} + ay^{-2} + a^2y^{-3}\dots$$

$$\frac{1}{y-b} = y^{-1} + by^{-2} + b^2y^{-3}\dots$$

so wird

$$(\text{B}) \quad \frac{1}{Y} = y^{-n} + Ay^{-(n+1)} + By^{-(n+2)} + \dots$$

Für den gegenwärtigen Zweck braucht man die Coefficienten $AB\dots$ nicht weiter zu kennen. Sie sind übrigens nach combinato-
rischen Lehren für die $-(n+r)^{\text{te}}$ Potenz von y , die r^{te} Classe der
Combinationen mit Wiederholungen aus n Elementen, nach Posselt's
Bezeichnung, welcher diese Reihen (A) näher untersucht hat (*),

$$r(0)^n$$

Löst man zweitens $\frac{1}{Y}$ in die Summe der einzelnen Partial-
brüche auf, deren Nenner respective $y-a$, $y-b$, $y-c$ sind, so
lehrt das bekannte Verfahren, daß die Zähler dieser Brüche erhal-
ten werden, wenn man in die übrigen Factoren von $\frac{1}{Y}$, für y bei je-
dem Partialbruche den Werth substituirt, der entsteht, wenn man
den Nenner des Partialbruches $=0$ setzt, insofern $abcd$ alle von
einander verschieden sind. Folglich wird

$$\frac{1}{Y} = \frac{1}{a-b} \frac{1}{a-c} \frac{1}{a-d} \cdot \frac{1}{y-a} \\ + \frac{1}{b-a} \frac{1}{b-c} \frac{1}{b-d} \cdot \frac{1}{y-b} \text{ etc.}$$

Entwickelt man hier wieder die Brüche

$$\frac{1}{y-a}, \frac{1}{y-b} \text{ etc.}$$

in Reihen, so wird

$$\frac{1}{Y} = \frac{1}{a-b} \frac{1}{a-c} \frac{1}{a-d} \dots \{ y^{-1} + ay^{-2} + a^2y^{-3} \dots \\ + \frac{1}{b-a} \frac{1}{b-c} \frac{1}{b-d} \dots \{ y^{-1} + by^{-2} + b^2y^{-3} \dots \\ + \frac{1}{c-a} \frac{1}{c-b} \frac{1}{c-d} \dots \{ y^{-1} + cy^{-2} + c^2y^{-3} \dots$$

Summirt man alle diese, so werden die Coefficienten der ver-
schiedenen Potenzen von y lauter Reihen von derselben Form wie

(*) In seiner vortrefflichen Dissertation: *De functionibus quibusdam symmetricis* Auct.
Posselt, Göttingae 1818.

(A). Bezeichnet man also die Summe einer solchen Reihe mit $[0]$, $[1]$, ... $[m]$, je nach dem Grade der Potenz, zu welcher die Zähler der Brüche erhoben sind, so wird

$$(C) \quad \frac{1}{Y} = [0]y^{-1} + [1]y^{-2} + [2]y^{-3} \dots \\ + [n-2]y^{-(n-1)} + [n-1]y^{-n} \dots + [n+r-1]y^{-(n+r)}$$

und die Vergleichung der Coefficienten derselben Potenz von y in (B) und (C), giebt sogleich übereinstimmend mit dem Obigen

$$[0] = 0 \quad [1] = 0 \dots \text{bis} \quad [n-2] = 0$$

dagegen aber

$$[n-1] = 1 \text{ und allgemein } [n+r-1] = {}^r(0)^n.$$

Aus dem ersten Resultate

$$[n-1] = 1$$

wird sich das für die Interpolation verlangte ergeben.

Gesetzt nämlich, es sei in dem vollständigen Ausdrucke von fx , das vierte oder merklichste Glied außer den angewandten noch

$$+ \varepsilon \cdot (x-a)^4$$

so werden auch $PQRS$, da sie aus dem vollständigen Ausdruck berechnet sind, noch die Glieder $\varepsilon(p-a)^4$, $\varepsilon(q-a)^4$, $\varepsilon(r-a)^4$, $\varepsilon(s-a)^4$, enthalten, und der Ausdruck (I) wird außer den Werthen, die von den niederen Potenzen bis zur 3^{ten} inclusive herrühren, noch das Increment haben:

$$- \varepsilon \cdot x-p \ x-q \ x-r \ x-s \left\{ \begin{aligned} & \frac{(p-a)^4}{p-x \ p-q \ p-r \ p-s} \\ & + \frac{(q-a)^4}{q-x \ q-p \ q-r \ q-s} \\ & + \frac{(r-a)^4}{r-x \ r-p \ r-q \ r-s} \\ & + \frac{(s-a)^4}{s-x \ s-p \ s-q \ s-r} \end{aligned} \right\}$$

Es werden aber die Nenner dieser Brüche nicht geändert, wenn man in ihnen die Werthe von $x p q r s$ sämtlich um a vermindert, folglich wird man nach dem eben bewiesenen Theorem den in $\{ \}$ eingeschlossenen Theil auch so schreiben können:

$$1 - \frac{(x-a)^4}{x-p \ x-q \ x-r \ x-s}$$

und die Formel (I) giebt folglich den Werth

$$X = \alpha + \beta (x-a) + \gamma (x-a)^2 + \delta (x-a)^3 \\ + \varepsilon (x-a)^4 - \varepsilon \frac{x-p \ x-q \ x-r \ x-s}{x-p \ x-q \ x-r \ x-s}$$

Oder in Bezug auf die vierten Potenzen allein, ist der Fehler der Interpolation, d. h. das was man ihr noch hinzufügen müßte, um den wahren Werth zu erhalten:

$$+ \varepsilon (x-p) (x-q) (x-r) (x-s).$$

Die Bedingungen der Aufgabe lehren zwar nichts über den Werth von ε , allein wenn man die Wahl hat, welche Argumente man zur Interpolation anwenden kann, so kann man sie wenigstens so wählen, dafs das Product

$$x-p \ x-q \ x-r \ x-s$$

ein Minimum wird. Offenbar aber wird das der Fall sein, wenn einer der Werthe $p q r s$ dem x so nahe als möglich liegt, und die andern zu beiden Seiten so gleichförmig, als die gegebenen Daten verstaten, vertheilt sind. Wollte man z. B. für $x = 41 \frac{1}{3}$ interpoliren, so würde, wenn man die Argumente 40 41 42 43 wählte, der Fehler der Kleinstmögliche

$$= + \frac{40}{81} \varepsilon$$

für 41 42 43 44 würde er $= - \frac{80}{81} \varepsilon$, und für die Argumente 39 40 41 42 $= - \frac{56}{81} \varepsilon$; so dafs das Verhältnifs der Fehler, abgesehen von dem Zeichen, sein würde:

$$10 : 20 : 14.$$

Diese Regel, die anzuwendenden Werthe $p q r s$ stets so zu wählen, daß x möglichst nahe ihrer Mitte fällt, sollte nie außer Acht gelassen werden.

Die allgemeine Formel (I) kann bei einer einzelnen Interpolation manchmal mit Nutzen gebraucht werden. Sie hat den Vortheil, daß, wenn vielleicht eine der Größen $P Q R S$ fehlerhaft sein sollte, man bei ihr sogleich übersieht, wie groß der Einfluß dieses Fehlers auf X sei. Sie hat aber den Nachtheil, daß man gewöhnlich nicht weiß, wie viele Glieder $P Q R S$ zur genauen Interpolation hinreichen und nöthig sind, und darum auch bei ihrer einzelnen Anwendung nicht sicher ist, ob man die äußerste Genauigkeit erreicht hat.

Um diese Übersicht zu erleichtern, entwickle man die Formel (I) in eine Reihe, die successive von dem Gebrauche zweier Größen, zu dem von dreien u. s. w. aufsteigt. Nennt man den Werth von X aus n Größen hergeleitet X_n , so hat man

$$\begin{aligned} X_4 - X_3 = & S \frac{x-p}{s-p} \frac{x-q}{s-q} \frac{x-r}{s-r} \\ & + R \left(\frac{x-p}{r-p} \frac{x-q}{r-q} \frac{x-s}{r-s} - \frac{x-p}{r-p} \frac{x-q}{r-q} \right) \\ & + Q \left(\frac{x-p}{q-p} \frac{x-r}{q-r} \frac{x-s}{q-s} - \frac{x-p}{q-p} \frac{x-r}{q-r} \right) \\ & + P \left(\frac{x-q}{p-q} \frac{x-r}{p-r} \frac{x-s}{p-s} - \frac{x-q}{p-q} \frac{x-r}{p-r} \right) \end{aligned}$$

oder wenn man zusammenzieht

$$\begin{aligned} X_4 - X_3 = x-p x-q x-r \left\{ \frac{P}{p-q} \frac{1}{p-r} \frac{1}{p-s} + \frac{Q}{q-p} \frac{1}{q-r} \frac{1}{q-s} \right. \\ \left. + \frac{R}{r-p} \frac{1}{r-q} \frac{1}{r-s} + \frac{S}{s-p} \frac{1}{s-q} \frac{1}{s-r} \right\} \end{aligned}$$

Eben so wird

$$X_3 - X_2 = x-p x-q \left\{ \frac{P}{p-q} \frac{1}{p-r} + \frac{Q}{q-p} \frac{1}{q-r} + \frac{R}{r-p} \frac{1}{r-q} \right\}$$

$$X_2 - X_1 = x-p \left\{ \frac{P}{p-q} + \frac{Q}{q-p} \right\}$$

$X_1 = P$ da bei einem gegebenen Werthe von Interpolation ei-

gentlich nicht die Rede sein kann. Eben so ist $X_2 - X_1$ nichts anderes als der einfache Proportionaltheil.

Die in $\{ \}$ eingeschlossenen Größen sind ganz symmetrische Functionen von 2, 3, 4, und, wie man ohne vollständigen Beweis doch bald übersieht, von fünf und mehreren Größen. Jeder Functionenwerth ist in ihnen dividirt durch das Product aller Differenzen des zugehörigen Argumentes von jedem der übrigen. Man nenne sie Differenzgrößen, und bezeichne sie, je nach den Größen, die zu ihrer Bildung beitragen, durch $[pq]$, $[pqr]$ u. s. w. Bei der Symmetrie der Formeln sind $[pqr]$ und $[qrp]$ identisch, oder die Buchstaben lassen sich willkürlich vertauschen.

Durch die Addition der verschiedenen Werthe erhält jetzt die Formel (I) die zum Gebrauch bequemere Gestalt

$$X_4 = P + x - p [p \cdot q] + x - p x - q [p \cdot q \cdot r] + x - p x - q x - r [p \cdot q \cdot r \cdot s] \quad (\text{II})$$

Am leichtesten wird die Bildung der Differenzgrößen übersehen, wenn man zwei von denselben Dimensionen, in welchen alle Elemente bis auf eines dieselben sind, von einander abzieht. So z. B. ist

$$\begin{aligned} [q \cdot r \cdot s] - [p \cdot q \cdot r] &= \frac{S}{s - q \ s - r} + R \left\{ \frac{1}{r - q \ r - s} - \frac{1}{r - p \ r - q} \right\} \\ &\quad + Q \left\{ \frac{1}{q - r \ q - s} - \frac{1}{q - p \ q - r} \right\} - P \frac{1}{p - q \ p - r} \\ &= \frac{S}{s - q \ s - r} + \frac{R \ s - p}{r - p \ r - q \ r - s} \\ &\quad + \frac{Q \ s - p}{q - p \ q - r \ q - s} - \frac{P}{p - q \ p - r} \\ &= (s - p) [p \cdot q \cdot r \cdot s] \end{aligned}$$

und wie man bald übersieht, ganz allgemein

$$[q \dots yz] - [p \dots y] = (z - p) [p \dots yz]$$

Denkt man sich also die Differenzgrößen, wozu man der Symmetrie wegen $PQRS$ selbst rechnen kann, so untereinandergesetzt:

p	P	$[p.q]$			
q	Q	$[q.r]$	$[p.q.r]$	$[p.q.r.s]$	
r	R	$[r.s]$	$[q.r.s]$	$[q.r.s.t]$	$[p.q.r.s.t]$
s	S	$[s.t]$	$[r.s.t]$		
t	T				

so entsteht jede folgende Verticalreihe, indem man ein Glied der vorhergehenden von dem darunterstehenden abzieht, und diese Differenz dividirt durch die Differenz der Argumente, auf welche die beiden durch die nächst höhere und nächst tiefere Differenzgröfse gezogenen Diagonalen hinweisen. Es ist nämlich:

$$[p.q] = \frac{Q-P}{q-p}$$

$$[p.q.r] = \frac{[q.r] - [p.q]}{r-p}$$

$$[p.q.r.s] = \frac{[q.r.s] - [p.q.r]}{s-p} \text{ u. s. w.}$$

Bei dieser Anwendung der Formel (II) wird man immer von oben herunter interpoliren, und auf die verschiedenen Zeichen Rücksicht nehmen müssen. Vortheilhafter und leichter zu übersehen ist es, wenn man aus der Mitte, oder aus der Gegend wo x sich befindet, heraus interpolirte. Bei allen Formeln ist bisher auf eine bestimmte Anordnung gar keine Rücksicht genommen worden. Man wird also auch eine andere Gröfse als P zur ersten machen können. Wählt man die Anordnung $R Q S P T$, so wird die Formel (II):

$$X_4 = R + x-r [r.q] + x-r x-q [r.q.s] \\ + x-r x-q x-s [r.q.s.p]$$

oder mit erlaubter Vertauschung der Buchstaben:

$$(III) \quad X_4 = R + x-r [q.r] + x-r x-q [q.r.s] \\ + x-r x-q x-s [p.q.r.s]$$

und wenn man einen Blick auf das obige Schema wirft, so sieht man, daß die hier gebrauchten Differenzgrößen $[q.r]$, $[q.r.s]$, $[p.q.r.s]$

alle wechselsweise über und unter einer horizontalen Linie liegen, die man zwischen R und $[q.r]$ mitten durchziehen kann. Eben so würde die Anordnung $R S Q T P$ die Formel geben:

$$(IV) \quad X_4 = R + x - r [r.s] + x - r x - s [q.r.s] \\ + x - r x - s x - q [q.r.s.t]$$

wo die horizontale Linie zwischen R und $[r.s]$ durchgezogen werden muß. Die Formel (III) gilt für den Fall, wo x zwischen q und r , die (IV), wo x zwischen r und s liegt.

Man kann beide in einen Ausdruck zusammenfassen, wenn man alle Größen $p q r$ u. s. w., die auf der einen Seite von x liegen, mit $a_n a_{n-1} \dots a_1 a$ bezeichnet, wobei a dem x am nächsten, die auf der andern Seite liegenden $s t \dots$ mit $b b_1 b_2 \dots b_n$ wobei wiederum b dem x am nächsten. Setzt man nun überhaupt daß unter a immer die dem x nähere Gröfse, unter b die entferntere verstanden werden soll, so werden beide Formeln

$$(V) \quad X = A + x - a [a.b] + x - a x - b [a_1 a b] \\ + x - a x - b x - a_1 [a_1 a b b_1] \\ + x - a x - b x - a_1 x - b_1 [a_2 a_1 a b b_1] \dots$$

Zur Berechnung ist es am bequemsten, die Differenzgrößen successive durch die folgenden zu verbessern, oder die Formel, mit Absonderung der gemeinschaftlichen Factoren, so zu schreiben:

$$(VI) \quad X = A + x - a \{ [a b] + x - b \{ [a_1 a b] + x - a_1 \{ [a_1 a b b_1] \dots \} \} \}$$

Man gebraucht dabei die Factoren in folgender Ordnung

$$x - b_n, x - a_n, x - b_{n-1}, x - a_{n-1} \dots x - a_1, x - b, x - a.$$

Wenn man also von x ausgeht, und zuerst das nächste Glied nimmt um $x - a$ zu erhalten, dann auf der andern Seite $x - b$ bildet, jetzt wieder $x - a_1$ und so immer abwechselnd, so muß man beim Gebrauch die Reihe der Factoren gänzlich umkehren.

Diese letzteren Formeln haben den erheblichen Vorzug, daß man bei ihnen die Zeichen nicht zu berücksichtigen braucht, wenn man sich nur zur Regel macht, die Differenzgrößen immer so zu verbessern, daß sie dadurch dem früher erwähnten Striche, über und unter welchem sie wechselseitig liegen, stets näher gebracht werden, oder daß die Correction sie der jenseits des Striches liegenden Differenzgröße annähert. Den Grund hievon ersieht man, wenn man die beiden Fälle, wo der Correctionsfactor von der Form $x - a_n$, und wo er von der $x - b_n$ ist, unterscheidet. Im ersteren Falle ist die Correction stets

$$+ x - a_n [a_n a_{n-1} \dots a b \dots b_{n-1} b_n]$$

Wählt man der Kürze wegen ein bestimmtes Beispiel, wo n etwa $= 1$, und entwirft sich das gehörige Schema, so wird man finden, daß die angegebene Regel verlangt, daß

$$(C) \quad [a_1 a b] + (x - a_1) [a_1 a b b_1]$$

immer falle zwischen

$$[a b b_1] \text{ und } [a_1 a b]$$

Nun ist aber nach dem früher Bewiesenen

$$[a_1 a b b_1] = \frac{[a b b_1] - [a_1 a b]}{b_1 - a_1}$$

folglich wird der Ausdruck (C)

$$= [a_1 a b] + \frac{x - a_1}{b_1 - a_1} \{[a b b_1] - [a_1 a b]\}$$

und der Factor

$$\frac{x - a_1}{b_1 - a_1}$$

ist in allen Fällen, vermöge der angenommenen Bezeichnung, positiv und kleiner als 1. Da man nun statt $[a b b_1]$ auch schreiben kann

$$[a_1 a b] + \{[a b b_1] - [a_1 a b]\}$$

so sieht man, daß die Correction stets, der Regel gemäß, nach $[a b b_1]$ zu, die Differenzgröße $[a_1 a b]$ hin corrigirt, den einzigen Fall ausgenommen, daß durch eine frühere Correction die Differenzgröße $[a_1 a b b_1]$ in ihrem Zeichen geändert wäre. In diesem einzigen Ausnahmefall wird eine Entfernung statt finden. Allein bei einiger Aufmerksamkeit wird man besonders bei mehreren Interpolationen sich hierin nicht irren können.

Dasselbe findet bei dem zweiten Falle, wo der Correctionsfactor von der Form $x - b_n$ ist, statt. Die Correction ist dann

$$(x - b_n) [a_{n+1} a_n \dots a b \dots b_n]$$

wird angebracht an $[a_n \dots a b \dots b_n]$, und soll dieses der Differenzgröße

$$[a_{n+1} \dots a b \dots b_{n-1}]$$

näher bringen. Die beiden Ausdrücke werden hier:

$$[a_n \dots a b \dots b_n] - \frac{x - b_n}{a_{n+1} - b_n} ([a_n \dots a b \dots b_n] - [a_{n+1} \dots a b \dots b_{n-1}])$$

$$[a_n \dots a b \dots b_n] - ([a_n \dots a b \dots b_n] - [a_{n+1} \dots a b \dots b_{n-1}])$$

wobei wiederum der Factor

$$\frac{x - b_n}{a_{n+1} - b_n}$$

stets positiv und kleiner als 1 ist. Dieselbe Ausnahme findet auch hier wie oben statt.

Wendet man nun diese allgemeinen Formeln auf den bei astronomischen Interpolationen häufigsten Fall an, wo $p q r s$ eine arithmetische Reihe bilden, so sieht man sogleich, daß die Differenzgrößen in die sogenannten ersten, zweiten, dritten und folgenden Differenzen übergehen, jede respective durch das Product aller ganzen Zahlen bis zu ihrem Zeiger inclusive dividirt. Oder es wird

$$[p.q] = \Delta P$$

$$[p.q.r] = \frac{\Delta^2 P}{1 \ 2}$$

$$[p.q.r.s] = \frac{\Delta^3 P}{1 \ 2 \ 3}$$

wobei die gleichen Intervalle $q-p$, $r-q$ etc. als Einheiten angesehen werden. Setzt man

$$x-p = t$$

in diesen Einheiten ausgedrückt, und schreibt überall

$$\text{statt } x-q \dots x-p = (q-p)$$

$$x-r \dots x-p = (r-p)$$

so wird die Formel (II):

$$(II)* \quad X = P + t \cdot \Delta P + \frac{t \cdot t-1}{1 \ 2} \Delta^2 P + \frac{t \cdot t-1 \cdot t-2}{1 \ 2 \ 3} \Delta^3 P \dots$$

die gewöhnliche Interpolationsformel.

Versteht man dagegen unter $\Delta \Delta^2 \Delta^3$ die Differenzen, welche wechselseitig unter und über dem horizontalen Striche liegen, der von der Gegend des x aus gezogen wird, so wird bei aufsteigendem Argumente aus (III.), wenn $r-x=t$, oder x zwischen q und r liegt:

$$(III)* \quad X = R - t \cdot \Delta Q + \frac{t \cdot t-1}{1 \ 2} \Delta^2 R - \frac{t \cdot t-1 \cdot t+1}{1 \ 2 \ 3} \Delta^3 Q \dots$$

und aus (IV) wenn $x-r=t$, oder x zwischen r und s liegt.

$$(IV)* \quad X = R + t \Delta R + \frac{t \cdot t-1}{1 \ 2} \Delta^2 R + \frac{t \cdot t-1 \cdot t+1}{1 \ 2 \ 3} \Delta^3 R \dots$$

Wäre das Argument bei den letzten Formeln nicht aufsteigend, sondern niedersteigend so würden die Zeichen der Glieder in beiden nur zu vertauschen sein, wenn man t immer als positiv ansehen will. Für die successive Verbesserung der Differenzen erhält man

$$X = R - t \left\{ \Delta Q - \frac{t-1}{2} \left\{ \Delta^2 R - \frac{t+1}{3} \left\{ \Delta^3 Q - \frac{t-2}{4} \left\{ \Delta^4 R \dots \right\} \right\} \right\} \right\}$$

$$X = R + t \left\{ \Delta R + \frac{t-1}{2} \left\{ \Delta^2 R + \frac{t+1}{3} \left\{ \Delta^3 R + \frac{t-2}{4} \left\{ \Delta^4 R \dots \right\} \right\} \right\} \right\}$$

Wenn t genau gleich $\frac{1}{2}$, oder wenn x genau in der Mitte zwischen q und r liegt, so ist es, in Hinsicht auf die Genauigkeit, einerlei, ob man von q aus vorwärts, oder von r aus rückwärts interpolirt. Die erste Form würde nach (IV)* heißen:

$$X = Q + \frac{1}{2} \Delta Q + \frac{\frac{1}{2} \cdot -\frac{1}{2}}{1 \cdot 2} \Delta^2 Q + \frac{\frac{1}{2} \cdot -\frac{1}{2} \cdot -\frac{3}{2}}{1 \cdot 2 \cdot 3} \Delta^3 Q$$

und die zweite nach (III)*

$$X = R - \frac{1}{2} \Delta Q + \frac{\frac{1}{2} \cdot -\frac{1}{2}}{1 \cdot 2} \Delta^2 R - \frac{\frac{1}{2} \cdot -\frac{1}{2} \cdot -\frac{3}{2}}{1 \cdot 2 \cdot 3} \Delta^3 Q$$

Bei der Verbindung beider fallen alle ungeraden Differenzen heraus, und wenn man die jedesmaligen Summen der geraden Differenzen, die auf derselben horizontalen Linie mit Q und R stehen, durch $k' k''$ u. s. w. bezeichnet, oder setzt

$$\begin{aligned} Q + R &= k \\ \Delta^2 Q + \Delta^2 R &= k' \\ \Delta^4 Q + \Delta^4 R &= k'' \text{ u. s. w.} \end{aligned}$$

so heist die Formel

$$(V)^* \quad X = \frac{1}{2} k - \frac{1 \cdot 1}{2 \cdot 4} \frac{k'}{2} + \frac{1 \cdot 1 \cdot 3 \cdot 3}{2 \cdot 4 \cdot 6 \cdot 8} \frac{k''}{2} - \frac{1 \cdot 1 \cdot 3 \cdot 3 \cdot 5 \cdot 5}{2 \cdot 4 \cdot 6 \cdot 8 \cdot 10 \cdot 12} \frac{k'''}{2} \dots$$

$$= \frac{1}{2} \left\{ k - \frac{1}{8} \left\{ k' - \frac{3}{16} \left\{ k'' - \frac{5}{24} \left\{ k''' \dots \right\} \right\} \right\} \right\}$$

Bei dieser Formel kann man sich wieder die Rücksicht auf die Zeichen durch eine andere Betrachtung ersparen. Bezeichnet man

nämlich die beiden Differenzen, die irgend welches k bilden, mit β und β' , und die nächstvorhergehende und folgende mit $'\beta$ und β'' , und bildet sich das Schema:

$$\begin{array}{rcccc} & & '\beta & & \\ & & \beta - '\beta & & \\ \beta & & \beta' - \beta & & \beta' - 2\beta + '\beta \\ & & \beta'' - \beta' & & \beta'' - 2\beta' + \beta \\ \beta' & & \beta'' - \beta' & & \\ & & \beta'' & & \end{array}$$

so wird, wenn

$$\begin{aligned} k^n &= \beta + \beta' & k^{n+1} &= \beta'' - \beta' - \beta + '\beta \\ & & &= \beta'' + '\beta - k^n \end{aligned}$$

oder es ist immer

$$k^n + k^{n+1} = \beta'' + '\beta$$

Die Correction hat aber immer die Form

$$k^n - \alpha k^{n+1}$$

wo α positiv und kleiner als 1. Folglich wird die an k^n oder $\beta + \beta'$ angebrachte Correction stets so wirken, daß sie die Summe $\beta + \beta'$ von der Summe der nächstfolgenden und nächstvorhergehenden Differenz entfernt, den Fall ausgenommen, wo k^{n+1} durch eine frühere Correction sein Zeichen geändert haben sollte, was bei mehreren aufeinanderfolgenden Interpolationen leicht zu übersehen ist, und nie zu Irrthümern führen wird. Diese letzte Formel (V)* ist so genau, und zugleich so bequem, daß bei Berechnung einer Tafel man immer wohl thun wird, für Intervalle, die um eine ganze Potenz von 2 von einander entfernt sind, die strengen Werthe zu berechnen, und dann die zwischenliegenden nach dieser Formel zu suchen.

Als Beispiel möge die Länge des Mondes für die oben berechnete Sternbedeckung Apr. 5 dienen. Aus der Ephemeride hat man:

	λ	Δ	Δ^2	Δ^3	Δ^4
Apr. 4	0 ^h 152° 15' 56",6	+ 5 59 48,9			
	12 158 15 45,5	5 58 0,7	— 1 48,2	+ 23,1	
	5 0 164 13 46,2	5 56 35,6	1 25,1	21,9	— 1,2
	12 170 10 21,8	5 55 32,4	1 3,2	19,4	2,5
	6 0 176 5 54,2	5 54 48,6	0 43,8		
	12 182 0 42,8				

Wollte man hier die Länge für Apr. 5 7^h haben, so müßte man von Apr. 5 12^h ausgehen und die Formel (III)* anwenden. Die Factoren $x - a$ $x - b$ etc. nach V und VI, immer durch die Ordnungszahl der Differenz dividirt, sind dasselbe, was in III* durch t , $\frac{t-1}{2}$ etc. ausgedrückt wird; man hat also die Correctionsfactoren:

$$\frac{5}{12} \qquad \frac{7}{24} \qquad \frac{17}{36} \qquad \frac{19}{48}$$

und wenn man die Reihe umkehrt:

$$\frac{19}{48} \qquad \frac{17}{36} \qquad \frac{7}{24} \qquad \frac{5}{12}$$

Die Verbesserung der dritten Differenz durch die vierte wird

$$\frac{2,5 \cdot 19}{48} = 1,0$$

und ist, ohne weitere Rücksicht auf das Zeichen zu nehmen, so anzubringen, daß 21,9 dem 19,4 genähert wird. Folglich wird die verbesserte dritte Differenz 20,9. Hiemit wird die zweite:

$$1 \ 3,2 + \frac{17}{36} 20,9 = 1 \ 13,07$$

weil die Verbesserung eine Annäherung an 1 25,1 bewirken soll.

Die verbesserte erste wird jetzt:

$$5 \ 56 \ 35,6 - \frac{7}{24} 73,07 = 5 \ 56 \ 14,29$$

aus dem nämlichen Grunde. Nimmt man hievon $\frac{5}{12}$ und subtrahirt sie von 170 10 21,8, so hat man:

$$\text{Apr. 5. } 7^h \dots 167^\circ 41' 55'',85$$

Wäre man von Apr. 5 0^h nach der Formel (IV)* ausgegangen, gegen die obige Regel, so würden die Factoren gewesen sein:

$$\frac{7}{12} \quad \frac{5}{24} \quad \frac{19}{36} \quad \frac{17}{48}$$

und die verbesserten Differenzen nach der Ordnung:

$$22,3 \quad 1 \ 13,3 \quad 5 \ 56 \ 50,87$$

wodurch ebenfalls dieselbe Länge erhalten wäre. Dafs die gegebene Regel vollkommen mit dem Wechsel der Zeichen in diesem Beispiel übereinstimmt, wird Jeder bei genommener Rücksicht darauf finden.

Um die Leichtigkeit der Interpolation in die Mitte hinein nach der Formel (V)* zu bemerken, suche man die Längen für Apr. 5 6^h und 18^h. Da die vierten Differenzen unsicher sind, so braucht man sie eigentlich nicht einmal mitzunehmen, auch wird ihr Einfluß nur dann merklich sein, wenn sie beträchtlicher sind wie hier, da die Summe k'' multiplicirt wird mit $\frac{1}{2} \cdot \frac{1}{8} \cdot \frac{3}{16} = \frac{3}{256}$. Man hat folglich für

$$6^h \dots k' = -2 \ 28,3 \dots - \frac{1}{8} k' = +18,54$$

$$18^h \dots k' = -1 \ 47,0 \dots - \frac{1}{8} k' = +13,38$$

Und dann:

$$\begin{array}{rcl} \text{Apr. 5. } 0^h & 164^\circ 13' 46'',2 & \\ & + 2 \ 58 \ 27,1 & \\ 6 & 167 \ 12 \ 13,3 & -18,6 \\ & 58 \ 8,5 & \\ 12 & 170 \ 10 \ 21,8 & 15,6 \\ & 57 \ 52,9 & \\ 18 & 173 \ 8 \ 14,7 & 13,4 \\ & 57 \ 39,5 & \\ 6. \ 0 & 176 \ 5 \ 54,2 & \end{array}$$

Interpolirt man wieder in die Mitte hinein, so hat man für

$$9^h \dots k' = -34,2 \dots - \frac{1}{8} k' = +4,3$$

$$\begin{array}{rcl} \text{Apr. 5. } 6^h & 167 \ 12 \ 13,3 & \\ & + 1 \ 29 \ 6,4 & \\ 9 & 168 \ 41 \ 19,7 & -4,3 \\ & 1 \ 29 \ 2,1 & \\ 12 & 170 \ 10 \ 21,8 & \end{array}$$

woraus nach der gewöhnlichen Interpolationsformel (II)* für 7^h

$$t = \frac{1}{3}$$

$$\begin{array}{r}
 167 \ 12 \ 13,3 \\
 + \ 29 \ 42,13 \\
 + \quad \quad 0,48 \\
 \hline
 7^h \dots 167 \ 41 \ 55,9
 \end{array}$$

wie oben. Die Rücksicht auf die Zeichen hätte man sich bei der Interpolation in die Mitte hinein wieder ersparen können, weil ein Blick zeigt, daß die k vergrößert werden müssen.

Hat man nicht für ganze Stunden zu interpoliren, sondern für eine Zeit die einzelne Secunden enthält, so kann man sich erlauben, bei den Correctionsfactoren der höheren Differenzen einen genäherten achten Bruch statt des wahren t zu substituiren. So wenn man die Länge für den Austritt von 82 LEONIS $7^h \ 24' \ 16''$ haben will, so wird, wenn man von Apr. 5 12^h ausgeht:

$$t = \frac{4^h \ 35' \ 44''}{12}$$

wofür man aus den Kettenbrüchen den genäherten Werth $\frac{5}{13}$ erhält. Die Factoren werden also:

$$\begin{array}{ccc}
 \frac{8}{26} & \frac{18}{39} & \frac{21}{52}
 \end{array}$$

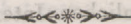
die verbesserten Differenzen

$$20,9 \quad 1 \ 12,8 \quad 5^\circ \ 56' \ 13'',20$$

Wendet man bei dieser letzten den genauen Werth von t an, so erhält man:

$$7^h \ 24' \ 16'' \dots 167^\circ \ 53' \ 56'',7$$

übereinstimmend mit der Interpolation aus den gefundenen Werthen für $6^h \ 9^h$ und 12^h .



Über den Spiegelsextanten.

Bei den Reflexions-Instrumenten geschieht die Messung des Winkels durch Coincidenz eines direct vom Gegenstande in das Auge kommenden, und eines zweiten ein oder mehrmale reflectirten Lichtstrahls. Die Coincidenz ersetzt das zweite Zielen der einfachen Winkelinstrumente, und macht die Untersuchung unnöthig, ob während der zweiten Operation, der durch die erste Ablesung bestimmte Halbmesser unwandelbar fest, oder doch sich parallel geblieben ist. Da es hier blofs auf die Winkel der verschiedenen Linien unter sich, nicht auf ihre absolute Lage im Raume ankommt, so wird es erlaubt sein, statt der wirklichen Linien lauter Parallelen durch einen bestimmten Punkt zu legen, und so die vorkommenden Aufgaben in das Gebiet der sphärischen Trigonometrie zu ziehen.

Es sei also (Fig. 1.) O der Mittelpunkt der Theilung, und um diesen Punkt eine Kugel mit willkürlichem Halbmesser beschrieben. Die getheilte Ebene des Sextanten wird auf derselben einen grössten Kreis abschneiden. Soll für jeden Winkel die Theilung den richtigen Werth angeben, so müssen der directe Strahl und der reflectirte, der hier die Stelle des zweiten Pointirens vertritt, völlig in derselben liegen; woraus die Bedingungen für die fehlerfreie Messung hervorgehen: Parallelismus der Gesichtslinie des Fernrohrs mit der Sextantenebene, und senkrechte Stellung beider Spiegel auf derselben. In dieser Voraussetzung sei OA die der Gesichtslinie parallele, ferner sei p der Pol der Ebene, welche dem kleinen Spiegel parallel ist, und zwar der Pol, welcher der Rückseite des Spiegels entspricht, eben so P für den grofsen Spiegel, bei diesem aber der Pol der reflectirenden Fläche. Vermöge der Annahme fallen ApP in den grössten Kreis der Ebene des Sextanten. Um die Ge-

genstände zu finden, welche bei dieser Stellung der Spiegel gemessen werden, lasse man die Lichtstrahlen nicht in der Richtung, die sie wirklich haben, von dem Gegenstande in das Auge kommen, sondern verfolge sie in der entgegengesetzten vom Auge aus. Bekanntlich ist der Weg des Lichtes bei Vertauschung des leuchtenden und erleuchteten Punktes stets der nämliche. Der directe Strahl hat dann die Richtung OA . Der mit ihm coincidirende doppelt reflectirte anfangs dieselbe. Er trifft auf denselben den kleinen Spiegel, und wird von diesem auf den großen zurückgeworfen. Nimmt man pB auf der andern Seite von p gleich pA in dem größten Kreise der Sextantenebene, so wird BO der Weg nach der ersten Reflexion sein. Auf dieselbe Weise wird OC der Weg nach der zweiten Reflexion sein, wenn man $PC = PB$, auf der andern Seite von P nimmt. Die gemessenen Objecte sind A und C .

Aus dieser Construction ergiebt sich sogleich das Gesetz, von welchem die Messung des Winkels abhängt. Denn da p den Bogen AB , P den Bogen BC halbirt, so ist

$$pP = \frac{1}{2} AC$$

oder der Winkel der beiden Spiegelpole, identisch mit dem der Spiegelsebenen, ist stets die Hälfte des wirklichen Winkels. Auf dem Sextanten sind immer schon die doppelten Winkel angeschrieben.

Man kann auf dieselbe Weise den Weg eines Lichtstrahls nach drei, vier, oder so vielen Reflexionen als man will, verfolgen. Nur möchte dann die analytische Form bequemer sein, und die Formeln an Symmetrie gewinnen, wenn man stets dieselben Pole, seien es die der reflectirenden Fläche ab- oder zugewendeten, benutzte, so wie auch die Eintritte oder Austritte aus der Kugel bei dem Strahle.

Die Fehler, welche man bei dieser Messung begehen kann, abgesehen von den zufälligen Beobachtungsfehlern, sind zum Theil in der Natur des Instrumentes begründet. Hieher gehören die Excentricitäts- und Theilungsfehler, welche bei einem guten Instrumente nur durch ungewöhnlich genaue mechanische Hilfsmittel ausgemittelt werden können. Nachmessung bekannter Winkel, Rundmessung des Horizonts, wenn

sich die Gelegenheit dazu findet, sind die Mittel, durch welche man sich in gewöhnlichen Fällen von dem Vorhandensein und der ungefähren Gröfse dieser Fehler überzeugen kann. Andere Fehlerquellen entstehen aus der Unvollkommenheit des Materials, und werden ganz vielleicht bei keinem Instrumente fehlen, bei den besseren aber wenigstens in enge Grenzen eingeschlossen sein. Hieher kann man die Schwierigkeit rechnen, ganz ebene, und bei den zwei reflectirenden Flächen, von aller prismatischen Gestalt freie gläserne Spiegel zu schleifen. Möglichste Deutlichkeit der Bilder kann über die Güte der Spiegel entscheiden, und wenn auch das Nachfolgende einen Weg angiebt, auf welchem man die Fehler der prismatischen Gestalt in Rechnung ziehen könnte, so würde es doch unnütz sein, darauf Rücksicht zu nehmen, da man genaue Messungen doch bei einer solchen Beschaffenheit nicht erhalten kann. Auch die Farbengläser bei Sonnenbeobachtungen können nachtheilig wirken. Kann man sie in entgegengesetzten Lagen anwenden, oder bestimmt man den Fehler des Index mit und ohne Farbengläser, so wird man auf die Gröfse des durch sie bewirkten Irrthums schliessen können. Er wird ganz unschädlich, wenn man den Fehler des Index mit denselben Farbengläsern bestimmt, mit welchen man mißt. In allen diesen Punkten wird man sich auf die Genauigkeit des Künstlers, bei nicht zu grofsen Abweichungen, verlassen müssen.

Die dann noch zurückbleibenden Fehler entspringen aus der Nichterfüllung der oben angegebenen drei Bedingungen.

Es sei nun der Sextant mit allen drei Fehlern zugleich behaftet, des Nicht-Parallelismus der Gesichtslinie und der geneigten Stellung beider Spiegel gegen die getheilte Ebene, so sei wiederum in (Fig. 2.) BC die Ebene des Sextanten, und die gleichen Buchstaben mögen dieselbe Bedeutung wie in (Fig. 1.) haben. Wenn Q der Pol der Sextantenebene, so wird jetzt die Parallele der Gesichtslinie nicht mehr OA sein, sondern sie sei OA' , wo A' in dem grössten Kreise QA liegt. Der Bogen AA' , die Neigung der Gesichtslinie, heisse \dots . Eben so falle der Pol des kleinen Spiegels in p' , der des grofsen in P' , beide Punkte in den grössten Kreisen Qp und QP . Man bezeichne diese Neigungen des

kleinen Spiegels pp' , und des großen PP' , durch k und l . Die Größen i, k, l , sollen positiv sein, wenn die Punkte A', p', P' , oberhalb der getheilten Fläche liegen.

Bei dieser Stellung wird man immer noch den Bogen $pP = \alpha$, oder in der Wirklichkeit 2α ablesen, allein man läßt nicht mehr die Lichtstrahlen von A und C coincidiren. Um die Objecte zu finden, für welche die Coincidenz statt findet, gehe man denselben Weg wie oben. Das direct gesehene ist A' . Man lege durch A' und p' einen größten Kreis, und nehme auf ihm $p'B' = p'A'$ auf der andern Seite von p' , eben so lege man durch den so bestimmten Punkt B' und P' einen größten Kreis, und nehme in ihm auf dieselbe Weise $C'P' = B'P'$. Es wird dann C' das zweite Object. Der Bogen $A'C'$ ist der Winkel, den man messen will, und wenn man diesen durch $2\alpha'$ bezeichnet, so wird die Correction des auf dem Sextanten abgelesenen Winkels

$$+ 2(\alpha' - \alpha).$$

In dem so gebildeten sphärischen Dreieck $A'B'C'$, sind zwei Seiten durch die Punkte p' und P' halbirte, und die relative Lage der Halbierungspunkte, so wie des einen Winkelpunkts A' , ist durch die als bekannt vorausgesetzten Größen i, k, l , dem auf dem Sextanten abgelesenen Winkel $pQP = \alpha$, und dem der Natur des Sextanten nach constanten Winkel pQA , dem Complement der Neigung der Gesichtslinie gegen die Spiegelebene, gegeben. Der letztere Winkel pQA werde durch β bezeichnet. Die Aufgabe aus diesen Daten $A'C' = 2\alpha'$ zu finden, die Basis des sphärischen Dreiecks, muß vermöge der innigen Verbindung der ebenen und sphärischen Trigonometrie zu einfachen Ausdrücken führen, da in jener das Verhältniß unmittelbar gegeben ist.

Bezeichnet man die den Winkeln A', B', C' , gegenüberstehenden Seiten mit a', b', c' , setzt $p'P' = \frac{1}{2}b''$, und den Winkel $P'p'A' = B''$, so hat man aus dem Dreieck $p'B'P'$ die Gleichungen:

$$\cos \frac{1}{2}b'' = \cos \frac{1}{2}a' \cos \frac{1}{2}c' + \sin \frac{1}{2}a' \sin \frac{1}{2}c' \cos B'.$$

$$\sin \frac{1}{2}b'' \sin B'' = \sin \frac{1}{2}a' \sin B'.$$

$$\sin \frac{1}{2}b'' \cos B'' = - \sin \frac{1}{2}c' \cos \frac{1}{2}a' + \cos \frac{1}{2}c' \sin \frac{1}{2}a' \cos B'.$$

Da $\cos b' = \cos a' \cos c' + \sin a' \sin c' \cos B'.$

$$\cos b'' = \cos \frac{1}{2} b''^2 - \sin \frac{1}{2} b''^2$$

so erhält man aus der Quadrirung dieser Gleichungen, nach einigen kleinen Reductionen:

$$\begin{aligned} \cos b'' &= \cos b' - 2 \sin \frac{1}{2} c'^2 \sin \frac{1}{2} a'^2 \sin B'^2. \\ &= \cos b' - 2 \sin \frac{1}{2} c'^2 \sin \frac{1}{2} b''^2 \sin B'^2. \end{aligned}$$

Ein Ausdruck, der, wenn man das Perpendikel von A' oder B' auf $p'p'$ gefällt, mit π bezeichnen wollte, sich auch so schreiben lassen würde:

$$\sin \frac{1}{2} b' = \sin \frac{1}{2} b'' \cos \pi$$

unter welcher Form er mit dem ebenen Ausdruck zusammenfällt.

Den obigen Bezeichnungen zufolge wird

$$b' = 2a' \quad c' = 2p'A' \quad b'' = 2p'P'$$

$$B'' = Qp'A' - Qp'P'$$

und aus den Dreiecken $Qp'A'$ und $Qp'P'$ hat man die Gleichungen:

$$\cos \frac{1}{2} c' = \sin k \sin i + \cos k \cos i \cos \beta$$

$$\sin \frac{1}{2} c' \sin Qp'A' = \cos i \sin \beta$$

$$\sin \frac{1}{2} c' \cos Qp'A' = \cos k \sin i - \sin k \cos i \cos \beta$$

$$\cos \frac{1}{2} b'' = \sin k \sin l + \cos k \cos l \cos \alpha$$

$$\sin \frac{1}{2} b'' \sin Qp'P' = \cos l \sin \alpha$$

$$\sin \frac{1}{2} b'' \cos Qp'P' = \cos k \sin l - \sin k \cos l \cos \alpha.$$

Aus den letzten drei erhält man:

$$\cos b'' = 1 - 2 \sin \alpha^2 \cos l^2 - 2 (\sin l \cos k - \sin k \cos l \cos \alpha)^2$$

$$= \cos 2\alpha + 2 \sin \alpha^2 \sin l^2 - 2 (\sin l \cos k - \sin k \cos l \cos \alpha)^2$$

und aus der zweiten, dritten, fünften und sechsten wird:

$$\sin \frac{1}{2} c' \sin \frac{1}{2} b'' \sin B'' = \begin{cases} \cos i \cos k \sin l \sin \beta \\ + \cos i \cos l \sin k \sin (\alpha - \beta) \\ - \cos k \cos l \sin i \sin \alpha \end{cases}$$

woraus da

$$\cos 2\alpha' = \cos b'' + 2 \sin \frac{1}{2} c'^2 \sin \frac{1}{2} b''^2 \sin B''^2$$

die strenge Formel folgt:

$$\begin{aligned} & \sin(\alpha' - \alpha) \sin(\alpha' + \alpha) = \\ & \left\{ -\cos l^2 (\operatorname{tg} l \sin \alpha)^2 \right. \\ & \quad + \cos k^2 \cos l^2 (\operatorname{tg} l - \operatorname{tg} k \cos \alpha)^2 \\ & \quad \left. - \cos i^2 \cos k^2 \cos l^2 (\operatorname{tg} l \sin \beta + \operatorname{tg} k \sin(\alpha - \beta) - \operatorname{tg} i \sin \alpha)^2 \right\} \end{aligned} \quad (A)$$

Die Größen i und k sind der Natur des Sextanten nach constant, so lange keine Änderung mit dem Instrumente vorgenommen wird. Die Größe l kann aber mit dem Winkel veränderlich sein. Ihr Verschwinden hängt von den zwei Bedingungen ab, daß die Umdrehungsaxe senkrecht, und die reflectirende Fläche der Umdrehungsaxe parallel ist. Ist die erste Bedingung erfüllt, aber nicht die zweite, so beschreibt der Pol einen der Ebene des Sextanten parallelen kleinen Kreis, und l ist constant. Findet die zweite Bedingung statt, ohne die erste, so beschreibt der Pol einen gegen die Ebene geneigten größten Kreis, und l ist mit dem Winkel veränderlich. Sind beide Bedingungen nicht erfüllt, so beschreibt er einen gegen die Ebene geneigten kleinen Kreis, und l ist ebenfalls variabel.

Nimmt man den letzteren allgemeinsten Fall, und nennt γ die Entfernung des Punktes vom Pole der Sextantenebene, in welchem die oberhalb verlängerte Umdrehungsaxe die Kugel trifft, so wie u den Winkel am Pol, gezählt in dem Sinne der Theilung, zwischen dem Bogen γ und Qp , ferner δ die Neigung der Spiegelfläche gegen die Umdrehungsaxe, positiv, wenn ihr Pol oberhalb der auf der Umdrehungsaxe senkrechten Ebene fällt, so hat man die Gleichung:

$$\sin \delta = \sin l \cos \gamma + \cos l \sin \gamma \cos(u - \alpha).$$

Zur Bestimmung der Größen δ γ u würde man drei l nebst den zugehörigen α kennen müssen, und die Aufgabe dann zusammenfallen, mit der Bestimmung der Rotation der Sonne aus Sonnenflecken, oder der Aufgabe aus drei unbekannten aber gleichen Höhen, Zeit, Polhöhe und Höhe zu finden, wovon in der Monatl. Corresp. 1808 Octb. sich die ele-

gante Auflösung des Hrn Hofr. Gaußs befindet. In dem gegenwärtigen Falle erlaubt die Kleinheit der Gröfsen γ und δ , und die Möglichkeit die verschiedenen α sehr scharf zu nehmen, eine Abkürzung.

Fast alle Sextanten erlauben noch eine Messung von 120° . Bringt man also den Spiegel in die drei Lagen, wo man 0° 60° und 120° abliest, und bestimmt in jeder Lage das zugehörige l , so hat man:

$$\alpha = 0^\circ \quad l = l_0$$

$$\alpha = 30^\circ \quad l = l_1$$

$$\alpha = 60^\circ \quad l = l_2$$

und dann mit überflüssiger Schärfe:

$$\delta = (2l_0 - 3l_1 + 2l_2) + (l_0 - 2l_1 + l_2) \sqrt{3}$$

$$\gamma \sin u = (l_0 - 2l_1 + l_2) + (l_0 - l_1) \sqrt{3}$$

$$\gamma \cos u = (l_0 - 3l_1 + 2l_2) + (l_0 - 2l_1 + l_2) \sqrt{3}$$

Bei prismatischen Spiegeln würde man hierdurch die gegenseitige Lage der beiden Ebenen bestimmen können, wenn sich die Bilder unterscheiden ließen.

Das bisherige kommt nur in Anwendung, wenn man die Mittel und den besonderen Zweck hat, alles auf das schärfste bestimmen zu wollen. Für den Gebrauch des Sextanten kann man sich mit Näherungen begnügen.

Bei den neueren Sextanten sind die Correctionsschrauben für die Stellung des großen Spiegels ganz weggelassen. Der Künstler wird bei einem guten Instrumente sich die möglichste Mühe gegeben haben, die Umdrehungsaxe senkrecht auf die Ebene zu stellen, so daß in der Gleichung

$$l = \delta - \gamma \cos (u - \alpha)$$

das letzte Glied vernachlässigt, oder doch bei dem ohnehin kleinen Einflusse von l , die Änderungen desselben außer Acht gelassen werden können. Außerdem ist die einfachste und zugleich mit großer Schärfe anzustellende Berichtigung, die, daß man durch Deckung der beiden Bilder desselben terrestrischen Objects den kleinen Spiegel dem großen

parallel stellt, für α ungefähr $= 0$. Setzt man also diese Berichtigung voraus, so wird $k = l$, und l wird als constant angesehen werden können. Damit wird die Formel (A):

$$\sin(\alpha' - \alpha) = \frac{4 \sin \frac{1}{2} \alpha^2}{\sin(\alpha' + \alpha)} \left\{ \begin{array}{l} -\sin l^2 (\cos \alpha + \sin l^2 \sin \frac{1}{2} \alpha^2) \\ -\cos i^2 \cos l^4 (\operatorname{tg} l \cos(\frac{1}{2} \alpha - \beta) - \operatorname{tg} i \cos \frac{1}{2} \alpha)^2 \end{array} \right.$$

Nennt man jetzt den auf dem Sextanten abgelesenen Winkel ... , wo

$$s = 2\alpha$$

und erlaubt sich die immer gestatteten Vernachlässigungen, so wird die Correction von s :

$$(B) \quad \Delta s = -2 \operatorname{tg} \frac{1}{4} s \left\{ l^2 + \sec \frac{1}{2} s (l \cos(\frac{1}{4} s - \beta) - i \cos \frac{1}{4} s)^2 \right\}$$

Die Vergleichung mit den Vorschriften in Bohnenberger zeigt, wie sich erwarten liefs, eine völlige Übereinstimmung.

Für

$$k = l = 0$$

wird aus (B)

$$\Delta s = -i^2 \operatorname{tg} \frac{1}{2} s. \quad (\text{Bohnenb. p. 123.})$$

Für

$$i = 0 \text{ und } l = 0$$

wird aus (A)

$$\alpha' - \alpha = k^2 \frac{\cos \alpha^2 - \sin(\alpha - \beta)^2}{\sin 2\alpha}$$

folglich

$$\begin{aligned} \Delta s &= \frac{2 \cos \beta \cos s - \beta}{\sin s} k^2 \\ &= \frac{2 \cos \beta^2}{\operatorname{tg} s} k^2 + \sin 2\beta k^2 \end{aligned}$$

Der letztere Theil, constant für alle Winkel, fällt weg, weil er auch bei Bestimmung des Indexfehlers derselbe ist. Die Formel wird dann übereinstimmend mit Bohnenb. p. 132.

Bei dem dritten Fall, den Bohnenb. §. 88. behandelt, muß man bemerken, daß wenn $k = l$, und l constant, außerdem aber noch die Gesichtslinie des Fernrohrs in der Ebene liegen soll, welche beide

Spiegel senkrecht durchschneidet, i mit dem Winkel veränderlich ist. Denn jeder Punkt P' eines kleinen Kreises giebt mit dem festen Punkte p' einen andern grössten Kreis, in welchem A' jedesmal liegen soll. Bestimmt man unter diesen Bedingungen i , so wird man erhalten:

$$\operatorname{tg} i = \frac{\cos(\frac{1}{4}s - \beta)}{\cos \frac{1}{4}s} \operatorname{tg} l$$

hierdurch fällt das letzte Glied in (B) ganz weg, und die Correction wird

$$\Delta s = -2l^2 \operatorname{tg} \frac{1}{4}s \quad \text{Bohnenb. p. 129.}$$

Man könnte daher die Formel (B) auch so schreiben: Es sei i^1 die Erhöhung des Punktes über der Ebene der Sextanten, wo der durch beide Spiegelpole gelegte grösste Kreis, die Verticalebene des Sextanten trifft, in welcher das direct gesehene Object liegt, so ist:

$$\Delta s = -(i^1 - i)^2 \operatorname{tg} \frac{1}{2}s - 2 \operatorname{tg} \frac{1}{4}s \cdot l^2. \quad (C)$$

Man sieht aus dieser Form, daß wenn die Fehler nicht zugleich, sondern jeder einzeln betrachtet worden wäre, und die Einwirkungen nachher zusammen addirt, der einzige Unterschied gewesen sein würde, daß $i^1 = 0$ gesetzt wäre.

Der eingeführte Winkel β wird zwar bei Winkelmessungen unmittelbar nicht gebraucht. Ausser seinem Gebrauch bei den Correctionsformeln, kommt er indessen bei einigen Anwendungen noch vor, so daß es der Mühe werth ist, ihn für jeden Sextanten auszumitteln.

So bestimmt er z. B. die Grenze bis zu welcher man noch mit dem Sextanten Winkel messen kann. Alle Reflexion hört auf wenn der grofse Spiegel gegen den kleinen um $90^\circ - \beta$ geneigt ist. Die Grenze der Messung ist folglich $180^\circ - 2\beta$, aus welchem Grunde auch bei den meisten Sextanten β ziemlich von gleicher Gröfse ist.

Eben so dient er den Fehler des Index, wenn man denselben vermittelst terrestrischer Objecte bestimmt, zu verbessern. Versteht man unter dem Fehler des Index stets die Gröfse, welche man von jedem abgelesenen Winkel abziehen muß, um den richtigen Werth zu erhalten, eine Annahme durch welche ein Bogen auf dem Excedens als negativ an-

gesehen wird, zeichnet sich das Dreieck zwischen den beiden Spiegeln und dem Object, nennt die Entfernung des letzteren von dem kleinen Spiegel ... d ..., die Entfernung beider Spiegel von einander f und den bei der Coincidenz abgelesenen Winkel ... c_1 , den wahren Fehler des Index c_0 so hat man die Gleichung

$$\operatorname{tg}(c_0 - c_1) = \frac{f \sin 2\beta}{d + f \cos 2\beta}$$

und also

$$c_0 = c_1 + \frac{f}{d} \sin 2\beta - \frac{1}{2} \frac{f^2}{d^2} \sin 4\beta \dots$$

Er kommt ebenfalls vor, wenn man es der Mühe werth findet, den Punkt für welchen eigentlich der gemessene Winkel gilt, schärfer zu bestimmen. Die wirklichen Lichtstrahlen werden sich bei positiver Able- sung, in der Verlängerung der Gesichtslinie schneiden, in dem Sinne vom kleinen Spiegel nach dem Fernrohre genommen. Nennt man die Ent- fernung des Durchschnittspunktes von dem kleinen Spiegel in diesem Sinne positiv genommen ... g ..., und versteht unter s den noch nicht durch den Fehler des Index verbesserten abgelesenen Winkel, so wird

$$\begin{aligned} g &= f \frac{\sin(s - c_0 + 2\beta)}{\sin s - c_0} \\ &= f \cos 2\beta + \frac{f \sin 2\beta}{\operatorname{tg} s - c_0} \end{aligned}$$

woraus sich auch die Möglichkeit ergibt, wenn man f und c_0 scharf ge- nug bestimmen könnte, auf die Entfernung eines nahen Objectes schliessen zu können.

Endlich dient auch der Winkel β , wenn man sich des Sextanten als eines Heliotrops bedienen will. Wäre in Fig. 1. das zweite Object C die Sonne, so würde der Gegenstand welcher in der Richtung OB liegt, die reflectirten Sonnenstrahlen erhalten. Soll das Object A sie bekom- men, so muß man den Pol P in dem Sinne der Theilung um β , oder weil man auf dem Sextanten die doppelten Winkel abliest, die Alhidade um 2β vorwärts bewegen. Die Operationen sind also die folgenden: Man bringt die Ebene des Sextanten in die Ebene des Objects, nach welchem die Strahlen hingeworfen werden sollen, und der Sonne, mißt auf

gewöhnliche Weise den Winkel, und bewegt dann, ohne die Ebene zu verändern, die Alhidade um 2β über den abgelesenen Theilstrich hinaus. Es geht hieraus hervor, daß ein Stativ durchaus nothwendig ist. So lange noch irgend ein Theil der Sonnenscheibe den Punkt des Fadenkreuzes erleuchtet, für welchen man den Winkel β bestimmt hat, so lange wird das Object Licht erhalten, ein Zeitraum der etwa 2 Minuten beträgt. Man wird folglich alle zwei oder drei Minuten die Operation des Winkelmessens wiederholen müssen, und dabei der Bewegung der Sonne gemäß, den Punkt nehmen, der zuerst durch das Fadenkreuz geht. Ist die Sonne das direct gesehene Object, so erleichtert der unmittelbare Anblick, die Beurtheilung wann man von neuem einstellen muß; in dem andern Falle wird man sich bloß nach der verflossenen Zeit richten können. Diesen letzteren Gebrauch zeigte mir Herr Hofrath Gauß bei den ersten Versuchen mit dem Heliotrope, wo die eigentlich dazu bestimmten Instrumente noch nicht fertig waren. Versuche auf eine Entfernung von 9 Meilen, wo die Sonne direct gesehen ward, gelangen vollkommen, und selbst Versuche auf eine Entfernung von 14 Meilen, unter den ungünstigsten Umständen, wo gleich nach Aufgang der Sonne, die letztere reflectirt gesehen ward, führten zu einem befriedigenden Resultate. Dem Mangel, daß man bei einem Sextanten, den heliotropischen Gebrauch nicht viel über eine Entfernung der Sonne und des Objects von 90° wird ausdehnen können, kann man durch einen größeren Spiegel, der das Sonnenbild zurückwirft, abhelfen.

Es wird vielleicht gut sein, hier noch eine Erscheinung zu erwähnen, die auf den ersten Anblick befremden kann. Mißt man den Winkel von Objecten an denen parallele Linien sichtbar sind, und bei denen die Winkeldistanz nicht zu klein ist, so werden diese parallelen Linien bei der Zusammenbringung der Bilder sich unter sehr merkbaren Winkeln schneiden, sobald die Ebene des Sextanten gegen diese Linien merklich geneigt werden muß. Das doppelt reflectirte Bild behält dieselbe Neigung gegen die Sextantenebene, in demselben Sinne genommen, nach der zweimaligen Reflexion bei, aber eben deshalb verlieren die Linien ihren Parallelismus. Bezeichnet man der Kürze wegen, wie der Fall am

häufigsten vorkommt, die Ebene welche die parallelen Linien senkrecht durchschneidet mit dem Namen des Horizonts, nennt die Erhöhung der Objecte über den Horizont $..h$ und h^1 , und bildet sich das Dreieck zwischen dem Zenith und den beiden Objecten, bezeichnet den Winkel am Zenith durch A , den innern Winkel am directen Bilde mit C , den äußern am doppelreflectirten Objecte mit B , so wird der Winkel unter dem sich die verticalen Bilder schneiden werden

$$B - C$$

Aus den Neperschen Analogien oder den Gaußsischen Formeln erhält man

$$\operatorname{tg} \frac{1}{2} (B - C) = \frac{\sin \frac{1}{2} h^1 + h}{\cos \frac{1}{2} h^1 - h} \operatorname{tg} \frac{1}{2} A$$

und wenn man den gemessenen Winkel s einführt

$$\operatorname{tg} \frac{1}{2} (B - C) = \operatorname{tg} \frac{1}{2} s \operatorname{tg} \frac{1}{2} (h^1 + h) \sqrt{\left(\frac{1 - \operatorname{tg} \frac{1}{2} \frac{(h^1 - h)^2 \cotg \frac{1}{2} s^2}{1 - \operatorname{tg} \frac{1}{2} (h^1 + h)^2 \operatorname{tg} \frac{1}{2} s^2}} \right)}$$

Die Gröfse unter dem Wurzelzeichen wird selten viel von 1 verschieden sein, so daß man sich mit den ersten beiden Factoren begnügen kann.

Wer im Besitz anderer astronomischen Hilfsmittel ist, wird die vorkommenden Constanten mit leichter Mühe bestimmen. Hier möge es genügen wenigstens einen Weg anzudeuten, der nur geringe andere Mittel, und solche voraussetzt, die Jeder sich leicht verschaffen kann.

Unumgänglich nothwendig ist ein Instrument wodurch man die Lage der Sextantenebene bestimmt. Für den Gebrauch des Sextanten braucht man sie nur etwa auf eine Minute genau zu haben, was durch ein gewöhnliches Niveau, oder auf anderem Wege erreicht werden kann. In der That gehören auch die gleich hohen Dioptern, oder das sogenannte Probierfernrohr, was sonst vorgeschlagen wird, in die Categorien der Niveaus. Fügt man zu dem Niveau noch ein freistehendes mit einem Fadenkreuz versehenes Fernrohr, dessen Vergrößerung nicht stärker zu sein braucht als die des Sextantenfernrohrs, bei welchem aber eine große Öffnung vortheilhaft ist, etwa einen Cometensucher, so kann man damit ausreichen.

Gewöhnlich haben die Sextantenfernrohre zwei starke Fäden, zwischen denen der Contact genommen werden soll. Zur schärfern Bestimmung der Gesichtslinie ziehe man noch ein Fadenkreuz ein, ungefähr in der Mitte der beiden andern Fäden.

Man kann zuerst den Abstand jedes Fadens vom Fadenkreuze bestimmen. Zu dem Ende stelle man sie nach dem Augenmaalse senkrecht auf die Ebene des Sextanten, und bringe zuerst das directe Bild eines terrestrischen deutlichen Objects auf den Kreuzfaden, und zugleich das doppelt reflectirte desselben Objects auf den einen der Seitenfäden. Der jetzt abgelesene Winkel heiße s , negativ genommen wenn er auf den Excedens fällt. Dann vertausche man die Bilder, und bringe das directe auf den vorigen Seitenfaden, das doppelt reflectirte auf den Kreuzfaden. Der jetzt abgelesene Winkel sei s' . Aus der Betrachtung der Fig. 1. wird man leicht ersehen, dafs unter diesen Umständen, wenn m der Abstand des Seitenfadens, positiv wenn er rechts vom Kreuzfaden liegt,

$$\begin{aligned} s - c_0 &= m - \frac{f}{d} \sin 2\beta \\ s' - c_0 &= -m - \frac{f}{d} \sin 2(\beta - m) \end{aligned}$$

woraus

$$\begin{aligned} m &= \frac{1}{2} (s - s') + \frac{f}{d} \sin m \cos (2\beta - m) \\ c_0 &= \frac{1}{2} (s + s') + \frac{f}{d} \cos m \sin (2\beta - m) \end{aligned}$$

Das Zeichen von m wird ohne weitere Unsicherheit über die Lage des Seitenfadens entscheiden, wenn man nur hier wie immer alle s , die auf dem Excedens abgelesen werden, negativ setzt. Diese Bestimmungen dienen um in dem Gesichtsfelde einen Schätzungswerth für die übrig bleibenden Fehler zu haben.

Man stelle dann die Fäden der Ebene parallel, lege den Sextanten horizontal, und mache seine Ebene wagrecht, während das Fernrohr auf ein deutliches mit einigen ausgezeichneten Punkten versehenes terrestrisches Object zeigt. Es dürfte gut sein den kleinen Spiegel der im Sehen hindert ganz abzunehmen, so wie auch die Farbengläser wenn sie etwa hindern sollten. Hinter den Sextanten stelle man das freie Fernrohr, so dafs seine Gesichtslinie möglichst genau in derselben Höhe ist, wie die

des Sextantenfernrohrs, und richte es auf denselben Punkt. Wenn das Fernrohr eine große Öffnung hat, so wird das Zwischenstehen des Sextanten, nicht wesentlich die Deutlichkeit hindern. Wendet man dann den Sextanten um 180° , macht seine Ebene wieder wagrecht, und sieht in das freie Fernrohr hinein, so wird das eine Fadenkreuz das andere decken, wenn kein Fehler der Neigung vorhanden ist, die übrigbleibende Abweichung ist $= 2i$. Es wird sehr leicht sein diese Abweichung zu halbiren, weil man durch das freie Fernrohr in der obigen Voraussetzung zugleich den früher bestimmten Punkt, und das Fadenkreuz des Sextantenfernrohrs sieht. Stellt man es also auf die Mitte dieser Distanz, und corrigirt dann die Lage des Sextantenfernrohrs so, daß es das Fadenkreuz in der neuen Stellung deckt, so wird $i = 0$, wovon man sich bei nochmaligem Umkehren auf das Object selbst überzeugen kann.

Gewöhnlich hat der Ring, in welchem das Sextantenfernrohr eingeschraubt ist die Vorrichtung zur Correction durch Drehung um zwei Spitzen. Sonst muß man sich die Stelle im Gesichtsfelde durch einen neuen Kreuzfaden, oder wenn die Entfernung gering ist durch Schätzung gegen den Abstand der Seitenfäden bemerken.

Bei einem Versuche an einem hiesigen Troughtonschen Sextanten, wobei zuerst ganz rohe Mittel angewandt wurden, und nachher bei genaueren das terrestrische Object durch das Fadenkreuz eines Höhenkreises ersetzt wurde, fand sich ein Unterschied von $30''$, wovon der Grund allein in dem anfangs angewandten ungenauen Niveau liegt. Bei geringer Sorgfalt wird man i so genau ausmitteln können, als man mit dem Sextantenfernrohr sehen kann.

Vermittelst des so berichtigten Sextantenfernrohrs stelle man jetzt das freie Fernrohr seitwärts, so daß seine Gesichtslinie horizontal ist, indem man den Sextanten wagrecht macht, und das freie Fernrohr so lange corrigirt, bis sein Fadenkreuz die Stelle des Sextantenfadenkreuzes deckt, für welche $i = 0$. Den Winkel, den die Gesichtslinie mit dem vorigen Object macht, kann man mit dem Sextanten selbst messen, er sei $= p$. Verrückt man den Sextanten, jedesmal bei wagrechter Ebene, so lange bis man im Fernrohr das einmal im großen Spiegel reflectirte Bild

des vorigen in derselben horizontalen Ebene gelegenen terrestrischen Objects sieht, so hat man die Data zur Bestimmung von l . Deckt das Fadenkreuz vollkommen genau den Gegenstand bei Drehung des großen Spiegels, so ist $l=0$. Ist dieses nicht möglich, so bemerke man sich die Punkte, auf welche das Fernrohr zeigt, und betrachte sie durch das Sextantenfernrohr, wo die bekannte Entfernung der Seitenfäden ein für den gegenwärtigen Zweck hinlänglich genaues Schätzungsmaafs abgiebt. Wenn der Winkelabstand dieser Punkte, positiv wenn nördlich, von dem vorher bestimmten $=q$, so erhält man aus der Auflösung des rechtwinklichten Dreiecks, dessen Hypothenuse halbirt ist,

$$\sin l = \frac{\sin q}{2 \cos \frac{1}{2} p} \sqrt{(\cos \frac{1}{2} q^2 + \sin \frac{1}{2} q^2 \operatorname{tg} \frac{1}{2} p^2)}$$

wofür man immer setzen kann

$$l = \frac{1}{2} q \sec \frac{1}{2} p.$$

Je nachdem man die Alhidade auf $0^\circ 60^\circ 120^\circ$ oder andere Winkel gestellt hat, wird man $l_0 l_1 l_2$ finden, und sich überzeugen können, ob die Einführung der Größen $\delta \gamma u$ nothwendig ist. Schwerlich wird sie bei einem guten Sextanten je erforderlich sein.

Bei dem hiesigen Troughtonschen Sextanten war für

$$\begin{aligned} p = 89^\circ 25' \text{ und } s = 0^\circ \dots\dots\dots q &= + 11' 20'' \\ &= 60 \dots\dots\dots = + 11 \ 20 \\ &= 120 \dots\dots\dots = + 12 \ 0 \end{aligned}$$

woraus

$$\begin{aligned} l_0 &= 7' 58'' \\ l_1 &= 7' 58'' \\ l_2 &= 8' 27'' \end{aligned}$$

Die Unterschiede können dem Instrumente nicht zur Last fallen. Sie liegen theils an der Ungleichheit der verschiedenen Nivellirungen, theils an der Unmöglichkeit, auf dem schwankenden Fußboden der hiesigen Sternwarte des unverrückten Standes des freien Fernrohrs versichert zu sein. Übrigens ist ihr Einfluss auch gänzlich verschwindend.

Man setze dann den kleinen Spiegel wieder ein, und richte den Sextanten bei festem Stande auf ein Object, dessen Bilder man auf dem Fadenkreuze durch die Correctionsschrauben des kleinen Spiegels unter sich zur Deckung bringt. Dadurch ist der kleine Spiegel dem großen parallel gemacht. Diese Ablesung wird c_1 geben. Hierauf sehe man mit dem freien Fernrohr in den großen Spiegel, und richte sein Fadenkreuz auf das einmal reflectirte Bild desselben Objects. Mißt man dann mit dem Sextanten den Winkel zwischen dem Fadenkreuze und dem Objecte, so hat man

$$s - c_0 = 2\beta - \frac{f}{d} \sin 2\beta$$

da aber

$$c_0 = c_1 + \frac{f}{d} \sin 2\beta$$

so hat man

$$2\beta = s - c_1$$

bei dem Troughtonschen Sextanten war $2\beta = 33^\circ 46' 40''$, bei einem Ramsdenschen der Seeberger Sternwarte $31^\circ 40'$, bei dem Caryschen der Göttinger Sternwarte nach Bohnenberger 30° . Im Allgemeinen wird er nie viel von 30° unterschieden sein, da seine Größe auf der einen Seite die Möglichkeit der Größe des Winkels, den man noch messen kann, bedingt, auf der andern von den Dimensionen und der Entfernung der beiden Spiegel von einander beschränkt wird. Die aus der Neigung des großen Spiegels entspringende kleine Correction von β ist ganz zu vernachlässigen.

Vermittelst dieser Operation hat man zugleich den Fehler des Index. Es scheint dafs man mit Unrecht die Bestimmung desselben durch ein terrestrisches Object für weniger genau hält, als durch die Sonne. Die Data zu der kleinen erforderlichen Correction lassen sich in den meisten Fällen mit hinlänglicher Genauigkeit erhalten. Projicirt sich das Object gegen den Himmel, so hat man den Vortheil einer vollkommen ruhigen Einstellung, während der Sextant fest ruht, und die Berührung der Bilder läßt sich mit größerer Schärfe machen, als man bei den meisten Sextanten ablesen kann. Zugleich hat man dadurch ein Mittel, den etwa-

nigen Fehler der Farbengläser zu bestimmen, wenn man den so bestimmten Fehler des Index, mit dem mittelst der einzelnen Farbengläser bestimmten vergleicht. Diese Correction ist für alle Winkel dieselbe, da der Weg der Lichtstrahlen durch die Farbengläser stets der nämliche ist.

Es giebt noch ein anderes Mittel den Winkel β ganz allein durch den Sextanten zu bestimmen, ein Verfahren womit der Herr Hofrath Gauß bei dem obenerwähnten heliotropischen Gebrauch des Sextanten mich bekannt machte. Wenn man den großen Spiegel so weit zurückbringt, als etwa bei einem dem größtmöglichen Winkel, den der Sextant zu messen erlaubt, nahen noch angeht, so erhält man bei hellen Objecten, außer den zwei gewöhnlichen Bildern noch ein drittes, von den Objecten nämlich, welche an der Fassung des großen Spiegels vorbei, ihre Lichtstrahlen auf den kleinen Spiegel unmittelbar fallen lassen, von wo sie durch einmalige Reflexion von dem kleinen Spiegel in das Fernrohr kommen. Diese Objecte werden aber freilich nur an der linken Seite des Gesichtsfeldes sichtbar sein, weil in der Mitte der große Spiegel hindert. Es wird dabei gut sein den kleinen Spiegel durch die Farbengläser oder sonst so zu verdecken, daß die Helligkeit des directen Strahles, nicht die schwachen ein und zweimal reflectirten unsichtbar macht.

Um diese Wege der beiden Strahlen zu vergleichen, denke man sich die Ebene des Sextanten in die Ebene der einmal und zweimal reflectirten Objecte gebracht. Die Gesichtslinie stehe fest, ihre Richtung sei A (Fig. 1.). Befindet sich das einmal reflectirte Bild an einem Seitenfaden dessen positiver Abstand nach den obigen Annahmen bei Bestimmung der Fädendistanzen ... m ., und zählt man die Winkel von p nach A herum, so trifft der erste Weg des einmal reflectirten Strahles vom Auge aus in den Punkt

$$\beta - m$$

und nach der einmaligen Reflexion geht es von O aus durch den Punkt

$$180^\circ - (\beta - m)$$

in welcher Richtung das Object mit Vernachlässigung der Parallaxe wirklich liegt. Ist zu derselben Zeit das doppelt reflectirte Bild eines andern

Objectes an dem Seitenfaden dessen Abstand ... m' , so liegt dieses von O aus in der Richtung

$$2\alpha + \beta - m'$$

liest man auf dem Sextanten bei dieser Stellung s ab, so hat man

$$s - c_0 = 2\alpha$$

der Unterschied beider Richtungen ist der wirkliche Winkelabstand beider Objecte. Mißt man diesen nachher mit dem Sextanten, und liest dabei s' ab, so hat man die Gleichung

$$s' - c_0 = 180^\circ - (\beta - m) - (s - c_0 + \beta - m')$$

woraus

$$2\beta = 180^\circ - (s + s' - m - m' - 2c_0).$$

Es wird hier m immer negativ sein müssen. Erlaubt die Construction des Sextanten und die Helligkeit der Bilder, beide an demselben Seitenfaden in Berührung zu bringen, wobei auch die Anzahl der Objecte unter denen man die Wahl hat in Betracht kommt, so hat man, wenn man den Fadenabstand absolut genommen m nennt

$$2\beta = 180^\circ - (s + s' + 2m - 2c_0).$$

Das Verfahren ist also folgendes: man zieht sich nahe am linken Rande des Gesichtsfeldes einen Faden ein, dessen absoluten Abstand man wie oben bestimmt $= m$. An ihm bringt man wo möglich zwei Objecte nach ein und zweimaliger Reflexion in Berührung, möglichst nahe an dem Horizontalfaden des Fadenkreuzes, und liest ab ... s . Dann mißt man den wirklichen Winkel beider Objecte, wobei wenn die Ablesung s' , und der Fehler des Index c_0 , die obige Formel den Winkel β giebt. Dafs hiebei die Berichtigungen des Sextanten vorausgesetzt werden, ist einleuchtend. Auch wird man ohne Stativ die erste dieser Operationen nicht wohl ausführen können.

Bei dem Troughtonschen Sextanten war der Abstand der beiden Seitenfäden vom mittleren Faden fast genau gleich, jeder $33'$. Mit $l = + 8'$, als einem hinreichend genauen mittleren Werthe erhält man

s	i^1	$-2l^2 \lg \frac{1}{4} s$
0	+ 7' 39"	0,0
10	7 45	- 0,1
20	7 51	- 0,2
30	7 53	- 0,3
40	8 4	- 0,4
50	8 10	- 0,5
60	8 17	- 0,6
70	8 23	- 0,7
80	8 30	- 0,8
90	8 37	- 0,9
100	8 44	- 1,0
110	8 52	- 1,2
120	9 0	- 1,3
130	9 8	- 1,4

Dem untern Seitenfaden correspondirt $i = +33'$, dem oberen $i = -33'$. Wäre i nicht $= 0$ sondern gleich dem mittleren Werth von i^1 gemacht, so würde die Abweichung auf beiden Seiten gleich sein, und vielleicht möchte es so am bequemsten für die Beobachtung sein. Bezeichnet man indessen in dem gegenwärtigen Falle den Ort des Bildes, wenn es am untern Faden ist mit U , wenn in der Mitte zwischen dem untern und Kreuzfaden mit $\frac{1}{2} U$, und versteht eben so beim obern Faden $\frac{1}{2} O$ und O , so wie beim Kreuzfaden K so hat man die Tabelle für den hiesigen Sextanten:

Δs					
	U	$\frac{1}{2} U$	K	$\frac{1}{2} O$	O
0	0,0	0,0	0,0	0,0	0,0
10	- 1,1	- 0,2	- 0,2	- 1,1	- 2,6
20	- 2,1	- 0,4	- 0,4	- 2,0	- 5,3
30	- 3,2	- 0,6	- 0,6	- 3,1	- 8,1
40	- 4,3	- 0,9	- 0,8	- 4,2	- 11,1
50	- 5,5	- 1,0	- 1,0	- 5,5	- 14,3
60	- 6,8	- 1,3	- 1,3	- 6,8	- 17,8
70	- 8,1	- 1,5	- 1,6	- 8,3	- 21,6
80	- 9,6	- 1,7	- 1,9	- 10,0	- 26,0
90	- 11,3	- 2,0	- 2,2	- 11,9	- 31,1
100	- 13,2	- 2,3	- 2,6	- 14,2	- 37,2
110	- 15,7	- 2,7	- 3,2	- 17,2	- 44,9
120	- 18,7	- 3,0	- 3,8	- 21,0	- 54,6
130	- 22,7	- 3,4	- 4,5	- 26,0	- 67,9

Wenn der Ring des Fernrohrs fest genug ist, so wird diese Fehler-tabelle sehr lange Zeit dieselbe bleiben, weil l so gut wie unveränderlich

ist, so bald man sich nur jedesmal von dem parallelen Stande des kleinen Spiegels versichert. Es erhellt zugleich wie weit man noch etwa entfernt von der Mitte die Bilder zur Berührung bringen darf, um keine merklichen Fehler zu begehen, so wie auch hervorgeht, daß man schwerlich hoffen darf, selbst durch die größte Anzahl von Sextantenbeobachtungen einen größeren Winkel innerhalb 3 oder 4'' bestimmen zu können, theils wegen der geringen Kraft der Sextantenfernrohre, theils weil die Fehler bei der Beobachtung aus der freien Hand stets einerlei Zeichen haben. Bei der ersten Bekanntwerdung dieses Instruments in Deutschland scheint man seine Kraft in der That überschätzt zu haben.



Δ

0	10	20	30	40	50
0,0	0,0	0,0	0,0	0,0	0
— 2,6	— 1,1	— 0,3	— 0,0	— 1,1	10
— 5,6	— 3,9	— 0,4	— 0,4	— 3,4	20
— 8,1	— 5,1	— 0,5	— 0,6	— 5,3	30
— 11,1	— 6,2	— 0,6	— 0,8	— 7,3	40
— 14,1	— 7,2	— 0,7	— 1,0	— 9,3	50
— 17,2	— 8,2	— 0,8	— 1,2	— 11,3	60
— 20,2	— 9,2	— 0,9	— 1,4	— 13,3	70
— 23,0	— 10,0	— 1,0	— 1,7	— 15,3	80
— 25,7	— 10,9	— 1,1	— 2,0	— 17,3	90
— 28,3	— 11,7	— 1,2	— 2,3	— 19,3	100
— 30,9	— 12,5	— 1,3	— 2,7	— 21,3	110
— 33,6	— 13,0	— 1,4	— 3,0	— 23,7	120
— 36,2	— 13,9	— 1,5	— 3,4	— 25,7	130

Über das Mittagsfernrohr.

Die vortrefflichen Aufsätze des Herrn Director Hansen und Professor Bessel in den letzten Blättern der astronomischen Nachrichten, haben eine Zusammenstellung des Gebrauchs des Mittagsfernrohrs zur Zeit- und Breitenbestimmung, welche für diesen Band bestimmt war, überflüssig gemacht. Als ein Bruchstück daraus erlaube ich mir nur die strenge Ableitung der Formeln für den ersten Fall herzusetzen. Schon Herr Prof. Bohnenberger hat in der Zeitschrift für Astronomie eine solche gegeben. Bei der gegenwärtigen bin ich bemüht gewesen, die strenge Form den Näherungsformeln möglichst ähnlich zu machen.

Unter der Voraussetzung der richtigen Gestalt der Zapfen wird die Gesichtslinie des Mittagsfernrohrs in jeder Lage einen größten Kreis der Sphäre beschreiben, wenn sie senkrecht auf der Umdrehungsaxe steht. Hat das Instrument einen sogenannten Collimationsfehler $\dots c$, so beschreibt die Gesichtslinie einen dem vorigen größten parallelen kleinen Kreis, dessen Abstand in Theilen des größten Kreises von jenem überall $= c$. Denkt man sich die Umdrehungsaxe bis zur Sphäre verlängert, und nennt die Punkte, in welchen sie die Sphäre trifft, ihre Pole, so wird zur vollkommenen Kenntniß des jedesmaligen Standes des Instrumentes, nur die Lage eines dieser Pole gegen bekannte Ebenen und Punkte, und die Größe c erfordert. Bei dem Gebrauche zur Zeitbestimmung ist die zweckmäßigste Ebene, auf welche man die Lage des Pols beziehen kann, der Meridian. Für den festen Punkt in dieser Ebene, von welchem man ausgehen will, kann man entweder den Pol, oder das Zenith, oder beide zugleich wählen. Der erste Fall giebt die Formel, welche Bessel eingeführt hat, der zweite die Mayersche, der dritte die, deren sich Herr Director Hansen auf Helgoland bediente.

Es sei jetzt Fig. 3 PZA der Meridian, P der Pol, Z das Zenith, A der Durchschnittspunkt des Äquators, O der Ostpunkt, p der östliche Pol der Umdrehungsaxe, Sp' der größte Kreis, den das Instrument beschreiben würde, wenn $c=0$, der punktirte Kreis der, den es wirklich

bei einem gegebenen c beschreibt, sein Abstand von $p'S=c$ werde positiv genommen, wenn er östlich ist. Um die Lage von p auf den Meridian, Pol und Zenith beziehen zu können, führe man die Bezeichnungen ein:

$$\begin{aligned} Zp &= 90^\circ + i & \text{Winkel } AZp &= 90^\circ + k \\ Pp &= 90^\circ + n & \text{Winkel } APp &= 90^\circ + m \end{aligned}$$

Da S der Durchschnittspunkt von Sp' mit dem Äquator ein Pol des größten Kreises Pp ist, so wird auch m durch den Bogen AS gemessen. Die Größen m und n sind folglich dieselben, wie bei Bessel. Jenes die Entfernung des Durchschnittspunktes der auf der Umdrehungsaxe senkrechten Ebene mit dem Äquator, vom Meridian an gerechnet, dieses die Entfernung der senkrechten Ebene vom Welpole, beide positiv, wenn östlich.

Zwischen den Größen $i k m n$ giebt das Dreieck PZp , wenn man die Polhöhe ϕ nennt, die Relationen:

$$\begin{aligned} \sin n &= \sin i \sin \phi - \cos i \sin k \cos \phi \\ \sin m \cos n &= \sin i \cos \phi + \cos i \sin k \sin \phi \\ \cos m \cos n &= \cos i \cos k \\ \sin i &= \sin n \sin \phi + \cos n \sin m \cos \phi \\ \sin k \cos i &= -\sin n \cos \phi + \cos n \sin m \sin \phi \end{aligned}$$

Befindet sich nun ein Stern, dessen Declination δ , in der wirklichen Gesichtslinie in s , und nennt man den Stundenwinkel, den man noch zu dem beobachteten hinzuzulegen hat, um die Zeit zu erhalten, wo der Stern im Meridian ist τ , so giebt das Dreieck Psp die Gleichung

$$\text{I.} \quad \sin c = -\sin \delta \sin n + \cos \delta \cos n \sin (\tau - m)$$

aus welcher τ gefunden werden soll. Diese Gleichung, von welcher alle andern ausgehen, gilt für die obere und untere Culmination, wenn man bei der letzteren nur δ stets von demselben Halbkreise des Äquators ASO an rechnet, also δ durch den Pol durch über 90° wachsen läßt, oder wie man es auch auszudrücken pflegt, bei den untern Culminationen statt der gebräuchlichen Declination ihr Supplement setzt.

Sucht man aus I. das τ , so wird die Gleichung:

$$\sin (\tau - m) \cos n = \sin n \operatorname{tg} \delta + \sin c \sec \delta$$

und wenn man auf beiden Seiten $\sin m \cos n$ hinzuaddirt:

$$(A) \quad 2 \sin \frac{1}{2} \tau \cos \left(\frac{1}{2} \tau - m \right) \cos n = \sin m \cos n + \sin n \operatorname{tg} \delta + \sin c \sec \delta$$

welches die Besselsche Form, wo p allein auf den Pol bezogen wird, ist

$$\tau = m + n \operatorname{tg} \delta + c \sec \delta$$

Da man zwar n aus Beobachtung der Circumpolarsterne, aber m durch kein directes Mittel finden kann, so muß man mit dieser Gleichung, je nachdem entweder i durch das Niveau, oder k durch ein Meridianzeichen sicherer gefunden werden kann, die 4^{te} oder 5^{te} Relation verbinden

$$\begin{aligned}\sin m \cos n &= \sin i \sec \phi - \sin n \operatorname{tg} \phi \\ &= \cos i \sin k \operatorname{cosec} \phi + \sin n \cotg \phi\end{aligned}$$

Der Factor

$$\cos \left(\frac{1}{2} \tau - m \right) \cos n$$

ist der Cosinus des Winkels, unter welchem der τ halbirende größte Kreis den Kreis Sp' schneidet, so wie $\cos m \cos n$ der Cos des Winkels von Sp' und dem Meridian an ihrem Durchschnittspunkte Q ist. Die Entfernung AQ erhält man aus der Gleichung

$$\operatorname{tg} AQ = - \frac{\sin m}{\operatorname{tg} n}$$

Substituirt man in die rechte Seite von (A) die erste und zweite Relation, so hat man

$$\begin{aligned}(B) \quad 2 \sin \frac{1}{2} \tau \cos \left(\frac{1}{2} \tau - m \right) \cos n &= \sin i \frac{\cos \phi - \delta}{\cos \delta} \\ &+ \sin k \cos i \frac{\sin \phi - \delta}{\cos \delta} + \sin n \sec \delta\end{aligned}$$

welches die Mayersche Form ist

$$\tau = i \cos z \sec \delta + k \sin z \sec \delta + c \sec \delta$$

p wird hier allein auf das Zenith bezogen.

Bei der Bestimmung aus Pol und Zenith gemeinschaftlich hat man die Wahl zwischen der Verbindung von je einer der Größen m und n mit einer der beiden i und k . Diese Verbindungen geben je nach der Elimination und Substituierung der verschiedenen Größen aus (A) vermittelst der obigen Relationen:

$$\begin{aligned}&2 \sin \frac{1}{2} \tau \cos \left(\frac{1}{2} \tau - m \right) \cos n \\ &= \sin i \sec \phi - \sin n \left(\frac{\sin \phi - \delta}{\cos \delta \cos \phi} \right) + \sin c \sec \delta \\ &= \sin k \cos i \operatorname{cosec} \phi + \sin n \left(\frac{\cos \phi - \delta}{\cos \delta \sin \phi} \right) + \sin c \sec \delta \\ &= \sin i \frac{\operatorname{tg} \delta}{\sin \phi} + \sin m \cos n \left(\frac{\sin \phi - \delta}{\cos \delta \sin \phi} \right) + \sin c \sec \delta \\ &= -\sin k \cos i \frac{\operatorname{tg} \delta}{\cos \phi} + \sin m \cos n \left(\frac{\cos \phi - \delta}{\cos \delta \cos \phi} \right) + \sin c \sec \delta\end{aligned}$$

Von diesen ist die erste die Form, welche Herr Director Hansen gewählt hat, die zweckmäßigste.

$$\tau = i \sec \phi - \sin n \sin z \sec \phi \sec \delta + c \sec \delta$$

da sie nur solche Größen i und c enthält, die unmittelbar durch Beobachtungen bestimmt werden können. Sie zeigt auch am deutlichsten, wie bei gleich guten Instrumenten, und folglich gleicher Unsicherheit in den Werthen von i und n , die Ungewissheit der Zeitbestimmung mit der Polhöhe wächst.

Beobachtet man an einem Seitenfaden, dessen Abstand von dem Punkte, für welchen c bestimmt ist, f sein mag, positiv genommen, in demselben Sinne wie oben c , und nennt t den Stundenwinkel, den man zu der Beobachtung am Seitenfaden hinzulegen müßte, um sie auf eine Beobachtung am Meridianfaden zu reduciren, so hat man die beiden Gleichungen

$$\begin{aligned} \sin(c+f) &= -\sin \delta \sin n + \cos \delta \cos n \sin(t+\tau-m) \\ \sin c &= -\sin \delta \sin n + \cos \delta \cos n \sin(\tau-m) \end{aligned}$$

woraus

$$\sin t = \sin f \sec \delta \left\{ \frac{\cos(c+\frac{1}{2}f)}{\cos \frac{1}{2}f} \cdot \frac{\cos \frac{1}{2}t}{\cos \frac{1}{2}t+\tau-m} \sec n \right\}$$

woraus die gewöhnliche Form für nicht zu große Declinationen

$$t = f \sec \delta$$

und für dem Pole nahe Sterne

$$\sin t = \sin f \sec \delta$$

Wenn man den Zweck hat, Differenzen der geraden Aufsteigungen zu bestimmen, so ist die Besselsche Form die bequemste, weil man dann das constante m nicht anzubringen braucht. Für absolute Zeitbestimmung ist die Form von Herrn Director Hansen vortheilhafter.



fig. 1.

Spiegelsextant.

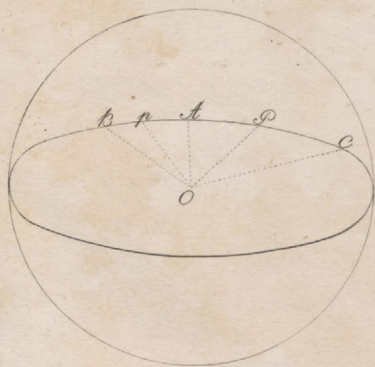
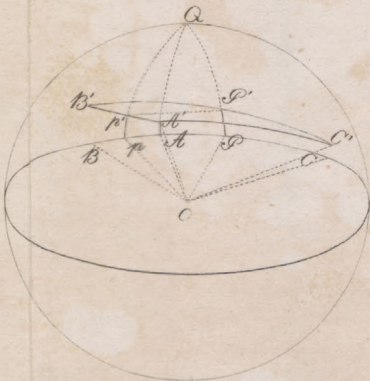


fig. 2.



Passage Instrument
fig. 3.

